

泊発電所 3号炉 DB基準適合性 比較表

赤字：設備、運用又は体制の相違（設計方針の相違）
青字：記載箇所又は記載内容の相違（記載方針の相違）
緑字：記載表現、設備名称の相違（実質的な相違なし）

第6条 外部からの衝撃による損傷の防止（火山：個別評価）

大飯発電所3／4号炉	女川原子力発電所2号炉	泊発電所3号炉	相違理由
<p>図2 主蒸気逃がし弁出口配管形状および消音器の構造</p> <p>主蒸気逃がし弁元弁 主蒸気逃がし弁</p>		<p>図2 主蒸気逃がし弁出口配管形状及び消音器の構造</p> <p>降下火碎物荷重 13kg 1,530kg 噴出圧力 消音器 Φ1780mm 多孔板+吸音材 Φ165.2mm ドレン管 Φ27.2mm 主蒸気逃がし弁元弁 主蒸気逃がし弁</p>	<p>また、各主蒸気逃がし弁の設置状況より、降下火碎物の周辺の構築物からの落下による侵入等は考えにくい。</p> <p>図3 主蒸気逃がし弁消音器の設置状況（左3号機、右4号機）</p> <p>以上</p> <p>図3 主蒸気逃がし弁消音器の設置状況</p> <p>Aループ 手前からB,C,Aループ</p> <p>以上</p>

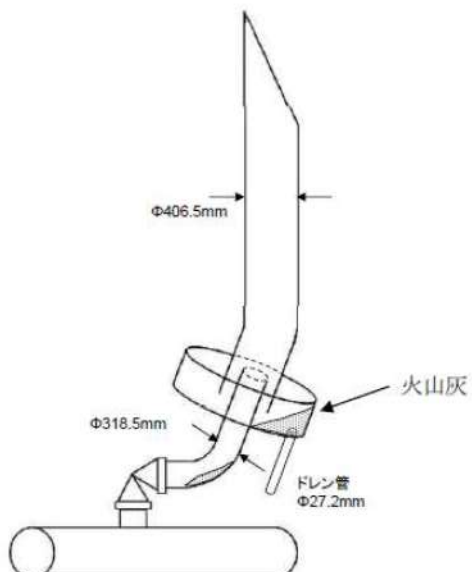
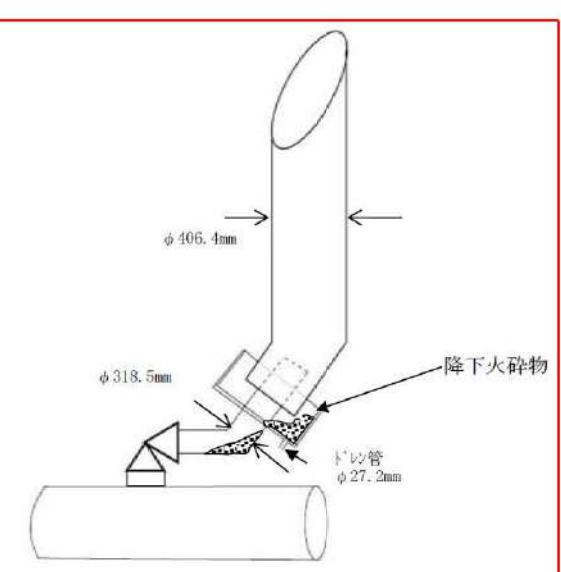
泊発電所3号炉 DB基準適合性 比較表

赤字：設備、運用又は体制の相違（設計方針の相違）
 青字：記載箇所又は記載内容の相違（記載方針の相違）
 緑字：記載表現、設備名称の相違（実質的な相違なし）

第6条 外部からの衝撃による損傷の防止（火山：個別評価）

大飯発電所3／4号炉	女川原子力発電所2号炉	泊発電所3号炉	相違理由
<p>個別評価－4 主蒸気安全弁排気管に係る影響評価</p> <p>火山灰による主蒸気安全弁排気管への影響について以下のとおり評価する。</p> <p>(1)評価項目及び内容 ①換気系に対する機械的影響（降雨等の影響を含む） 火山灰の主蒸気安全弁排気管への侵入により、機器の機能に影響がないことを評価する。具体的には、主蒸気安全弁は、火山灰が侵入しにくい構造であることと、及び主蒸気安全弁の噴出力が火山灰の重量よりも大きいことを確認する。</p> <p>(2)評価条件 ①火山灰条件 a. 密度：1.5g/cm³（湿潤状態）（火山灰の層厚1cm当たり 150N/m²） b. 堆積量：10cm ②積雪条件 a. 密度：0.3g/cm³（積雪の単位荷重は1cm当たり 30N/m²）※1 b. 堆積量：100cm※2 ※1：福井県建築基準法施行細則に基づく積雪の単位荷重を用いる。 ※2：火山事象と積雪事象は独立の関係にあることから、組み合わせる積雪量については同建築基準法の設計積雪「100cm」を用いる。</p> <p>(3)評価結果 ①換気系に対する機械的影響（降雨等の影響を含む） 主蒸気安全弁の排気管は図1のように斜めに配管が接続される構造となっている。 仮に火山灰が主蒸気安全弁排気管内部に侵入したとしても、大部分はドレン受皿に溜まり、一部主蒸気安全弁の弁出口管に侵入するが、配管径が20cm以上あり、火山灰により出口配管を閉塞させることはないと考えられるため、主蒸気安全弁の蒸気放出機能に影響を与えることはない。</p>		<p>個別評価－10 主蒸気安全弁排気管に係る影響評価</p> <p>降下火砕物による主蒸気安全弁排気管への影響について以下のとおり評価する。</p> <p>(1)評価項目 ①換気系に対する機械的影響（閉塞） 降下火砕物の主蒸気安全弁排気管への侵入により、機器の機能に影響がないことを評価する。 具体的には、主蒸気安全弁は、降下火砕物が侵入しにくい構造であること、及び主蒸気安全弁の噴出力が降下火砕物と積雪の組合せ荷重よりも大きいことを確認する。</p> <p>(2)評価条件 ①降下火砕物条件 ・密度：1.5g/cm³（湿潤状態） ・堆積量：20cm, 2cm※1 ②積雪条件 ・積雪量：189cm（最寄りの気象観測所である寿都の既往最大値） ・単位荷重：積雪量1cm当たり 30N/m²（建築基準法施行令に基づく積雪の単位荷重） ※1：降下火砕物単体で考える際は設計基準値である20cmを、積雪との組合せを考慮する場合は從荷重であることから、噴火規模を1段階下げた層厚とした</p> <p>(3)評価結果 ①換気系に対する機械的影響（降雨等の影響を含む） 主蒸気安全弁の排気管は図1のように斜めに配管が接続される構造となっている。 仮に降下火砕物が主蒸気安全弁排気管内部に侵入したと仮定すると、大部分はドレン受皿に溜まり、一部主蒸気安全弁の弁出口管に侵入するが、配管径が30cm以上あり、降下火砕物により出口配管を閉塞させることはないと考えられるため、主蒸気安全弁の蒸気放出機能に影響を与えることはない。</p>	<p>【女川】設備の相違 ・泊で抽出した評価対象施設について影響評価を実施</p> <p>【大飯】記載表現の相違 【大飯】記載表現の相違</p> <p>【大飯】記載表現の相違 【大飯】設計方針の相違 ・評価条件の相違</p> <p>【大飯】記載方針の相違</p> <p>【大飯】記載表現の相違 【大飯】設計方針の相違 ・設備仕様の相違</p>

第6条 外部からの衝撃による損傷の防止（火山：個別評価）

大飯発電所3／4号炉	女川原子力発電所2号炉	泊発電所3号炉	相違理由
			
<p>図1 主蒸気安全弁排気管の構造図</p> <p>なお、仮に火山灰が主蒸気逃がし弁出口配管内に侵入し、配管を閉塞させた場合についても以下のとおり評価する。</p> <p>主蒸気安全弁の噴出力の評価においては、想定堆積荷重である湿润状態の火山灰（厚さ10cm、密度1.5g/cm³）と建築基準法における設計積雪（厚さ100cm、密度0.3g/cm³）の組み合わせ荷重により評価する。</p> <p>主蒸気安全弁の出口配管外径Φ31.85cmであることから、火山灰の堆積荷重は以下のとおりである。</p> $\pi \times \left(\frac{31.85}{2} \right)^2 \times (10 \times 1.5 + 100 \times 0.3) \approx 35835(\text{g}) \approx 36(\text{kg})$ <p>主蒸気安全弁の噴出力は、弁の噴出圧力83.3kg/cm²と、弁出口側の流体通過断面積が約706cm²であることから、以下のとおりである。 $83.3 \times 706 = 58809(\text{kg})$</p> <p>以上より、火山灰が直接配管内に侵入し、仮に配管を閉塞させた場合でも、火山灰（湿润状態）と積雪の組み合わせ荷重よりも主蒸気安全弁の噴出力が十分大きいことから、主蒸気安全弁の機能に影響を及ぼすことはない。</p>		<p>図1 主蒸気安全弁排気管の構造図</p> <p>なお、仮に降下火碎物が主蒸気安全弁出口配管内に進入し、配管を閉塞させた場合についても以下のとおり評価する。</p> <p>主蒸気安全弁の噴出力の評価においては、想定堆積荷重である湿润状態の降下火碎物（厚さ2cm、密度1.5g/cm³）と設計積雪（厚さ189cm、密度0.3g/cm³）の組合せ荷重により評価する。</p> <p>主蒸気安全弁の出口配管外形はΦ31.85cmであることから、降下火碎物の堆積荷重は以下のとおりである。</p> $\pi \times \left(\frac{31.85}{2} \right)^2 \times (2 \times 1.5 + 189 \times 0.3) \approx 47,565(\text{g}) \approx 48(\text{kg})$ <p>主蒸気安全弁の噴出力は、弁の噴出圧力76.3kg/cm²と、弁出口側の流体通過断面積が約707cm²であることから、以下のとおりである。 $76.3 \times 707 = 53,944(\text{kg})$</p> <p>以上より、降下火碎物が直接配管内に侵入し、仮に配管を閉塞させた場合でも、降下火碎物（湿润状態）と積雪の組合せ荷重よりも主蒸気安全弁の噴出力が十分大きいことから主蒸気安全弁の機能に影響を及ぼすことはない。</p>	<p>【大飯】記載表現の相違</p> <p>【大飯】設計方針の相違 ・設備仕様の相違</p> <p>【大飯】設計方針の相違 ・設備仕様の相違 ・評価結果の相違</p>

泊発電所 3号炉 DB基準適合性 比較表

赤字：設備、運用又は体制の相違（設計方針の相違）
青字：記載箇所又は記載内容の相違（記載方針の相違）
緑字：記載表現、設備名称の相違（実質的な相違なし）

第6条 外部からの衝撃による損傷の防止（火山：個別評価）

大飯発電所3／4号炉	女川原子力発電所2号炉	泊発電所3号炉	相違理由
<p>図2 主蒸気安全弁出口配管および排気管の構造</p>		<p>図2 主蒸気安全弁出口配管及び排気管の構成</p>	<p>以上</p>

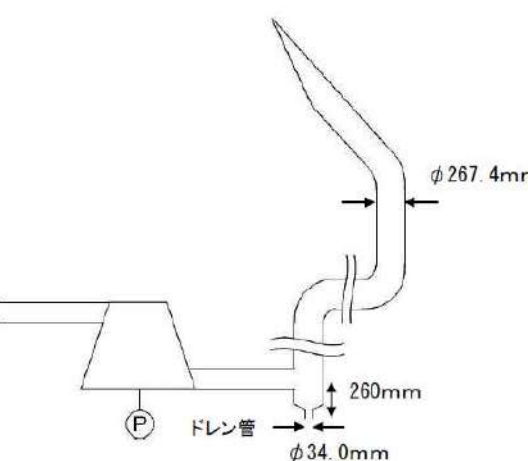
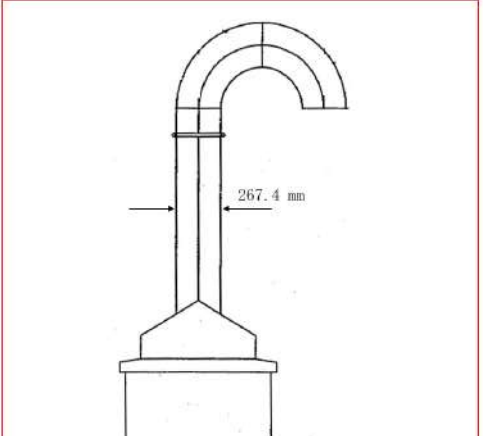
赤字: 設備、運用又は体制の相違 (設計方針の相違)
 青字: 記載箇所又は記載内容の相違 (記載方針の相違)
 緑字: 記載表現、設備名称の相違 (実質的な相違なし)

大飯発電所3／4号炉	女川原子力発電所2号炉	泊発電所3号炉	相違理由
<p>個別評価—5 タービン動補助給水ポンプ蒸気大気放出管に係る影響評価 火山灰によるタービン動補助給水ポンプ蒸気大気放出管への影響について以下のとおり評価する。</p> <p>(1)評価項目及び内容 ①換気系に対する機械的影響 (降雨等の影響を含む) 火山灰のタービン動補助給水ポンプ蒸気大気放出管への侵入により、機器の機能に影響がないことを評価する。具体的には、タービン動補助給水ポンプ蒸気大気放出管は、火山灰が侵入しにくい構造であることを確認する。</p> <p>(2)評価条件 ①火山灰条件 a. 密度: 1.5g/cm³ (湿潤状態) (火山灰の層厚1cm当たり 150N/m²) b. 堆積量: 10cm</p> <p>(3)評価結果 ①換気系に対する機械的影響 (降雨等の影響を含む) タービン動補助給水ポンプの蒸気大気放出管は、火山灰が直接侵入しにくい構造であり、仮に一部火山灰が侵入した場合でも、配管の構造等から閉塞することなく機能に影響を及ぼすことはない。 タービン動補助給水ポンプの蒸気大気放出管の設置状況を図1に、蒸気大気放出管の構造を図2に各々示す。</p>  <p>図1 タービン動補助給水ポンプ蒸気大気放出管の設置状況</p>		<p>個別評価—11 タービン動補助給水ポンプ排気管に係る影響評価 降下火碎物によるタービン動補助給水ポンプ排気管への影響について以下のとおり評価する。</p> <p>(1)評価項目 ①換気系に対する機械的影響(閉塞) 降下火碎物のタービン動補助給水ポンプ排気管への侵入により、機器の機能に影響がないことを評価する。具体的には、タービン動補助給水ポンプ排気管は、降下火碎物が侵入しにくい構造であることを確認する。</p> <p>(2)評価条件 ①降下火碎物条件 ・密度: 1.5g/cm³ (湿潤状態) ・堆積量: 20cm ②積雪条件 ・積雪量: 189cm (最寄りの気象観測所である寿都の既往最大値) ・単位荷重: 積雪量1cm当たり 30N/m² (建築基準法施行令に基づく積雪の単位荷重)</p> <p>(3)評価結果 ①換気系に対する機械的影響(閉塞) タービン動補助給水ポンプの排気管は、屋外に開口しているが、その構造は開口部が下向きになっていることから、降下火碎物が直接侵入しにくい構造であり、機能に直接影響を及ぼすことはない。 タービン動補助給水ポンプの排気管の設置状況を図1に、排気管の構造を図2に各々示す。</p>	<p>【女川】設備の相違 ・泊で抽出した評価対象施設について影響評価を実施 【大飯】記載表現の相違 【大飯】記載表現の相違</p> <p>【大飯】記載表現の相違 【大飯】設計方針の相違 ・評価条件の相違 【女川】設計方針の相違 ・主荷重及び從荷重の相違 【女川】記載表現の相違 ・立地及び積雪の単位荷重の相違 【大飯】記載表現の相違</p>

泊発電所 3号炉 DB基準適合性 比較表

赤字：設備、運用又は体制の相違（設計方針の相違）
 青字：記載箇所又は記載内容の相違（記載方針の相違）
 緑字：記載表現、設備名称の相違（実質的な相違なし）

第6条 外部からの衝撃による損傷の防止（火山：個別評価）

大飯発電所3／4号炉	女川原子力発電所2号炉	泊発電所3号炉	相違理由
 <p>図2 タービン動補助給水ポンプ蒸気大気放出管の構造</p> <p style="text-align: center;">以 上</p>		 <p>図1 タービン動補助給水ポンプ排気管の設置状況</p>  <p>図2 タービン動補助給水ポンプ排気管の構造</p> <p style="text-align: right;">以 上</p>	

泊発電所3号炉 DB基準適合性 比較表

赤字：設備、運用又は体制の相違（設計方針の相違）
 青字：記載箇所又は記載内容の相違（記載方針の相違）
 緑字：記載表現、設備名称の相違（実質的な相違なし）

第6条 外部からの衝撃による損傷の防止（火山：個別評価）

大飯発電所3／4号炉	女川原子力発電所2号炉	泊発電所3号炉	相違理由
<p>個別評価-11 制御用空気圧縮機に係る影響評価</p> <p>火山灰による制御用空気圧縮機への影響について以下のとおり評価する。</p> <p>(1) 評価項目及び内容 ①換気系、電気系及び計装制御系に対する機械的影響（磨耗） 火山灰が制御用空気圧縮機の摺動部に侵入する可能性を考慮し、侵入した場合の影響について評価する。</p> <p>(2) 評価条件 ①火山灰条件 a. 粒径：1 mm以下</p> <p>(3) 評価結果 制御用空気圧縮機が設置されているエリアは、制御用空気圧縮機室換気空調設備にて空調管理されている。 制御用空気圧縮機は、室内の空気を吸入して圧縮空気を供給しているため、火山灰の降灰の際に、機器内に火山灰が侵入する可能性があるが、制御用空気圧縮機室換気空調設備の外気取入口には、微細な粒子を除去できる平型フィルタ（粒径がおよそ5 μmより大きい粒子を除去）が設置されている。このため、火山灰に対して高い防護性能を有しており、室内に侵入した火山灰の粒径はほぼ5 μm以下の細かな粒子であると推定される。 なお、微細な粒子であっても、制御用空気圧縮機のシリングライナ内面とピストンリングは直接、接触摺動している状態であり、機器内に吸入された火山灰がシリングライナ内面とピストンリングの間に侵入した場合には摩耗の発生が懸念される。 しかしながら、シリングライナはハードクロムメッキ処理、ピストンリングはカーボングラファイトであり、火山灰は硬度が低くもろいことから、摺動部に侵入した火山灰により磨耗が発生し、摺動部に損傷を発生させることはない。 さらに、火山灰の降灰時には、外気取入ダンパを閉止することにより侵入を阻止することが可能であることから、制御用空気圧縮機の機能に影響を及ぼすことはない。</p> <p style="text-align: center;">以 上</p>		<p>個別評価-12 制御用空気圧縮機に係る影響評価</p> <p>降下火碎物による制御用空気圧縮機への影響について以下のとおり評価する。</p> <p>(1) 評価項目 ①換気系、電気系及び計測制御系に対する機械的影響（磨耗） 降下火碎物が制御用空気圧縮機の摺動部に侵入する可能性を考慮し、侵入した場合の影響について評価する。</p> <p>(2) 評価条件 ①降下火碎物条件 a. 粒径：4 mm以下</p> <p>(3) 評価結果 制御用空気圧縮機が設置されているエリアは、制御用空気圧縮機室換気装置にて空調管理されている。 制御用空気圧縮機は、室内の空気を吸入して圧縮空気を供給しているため、降下火碎物の降灰の際に、機器内に降下火碎物が侵入する可能性があるが、制御用空気圧縮機室換気装置の外気取入口には、微細な粒子を除去できる平型フィルタ（粒径がおよそ5 μmより大きい粒子を除去）が設置されている。このため、降下火碎物に対して高い防護性能を有しており、室内に侵入した降下火碎物の粒径はほぼ5 μm以下の細かな粒子であると推定される。 なお、微細な粒子であっても、制御用空気圧縮機のシリングライナ内面とピストンリングは直接、接触摺動している状態であり、機器内に吸入された降下火碎物がシリングライナ内面とピストンリングの間に侵入した場合には摩耗の発生が懸念される。 しかしながら、シリングライナはハードクロムメッキ処理、ピストンリングはカーボングラファイトであり、降下火碎物は硬度が低くもろいことから、摺動部に侵入した降下火碎物により磨耗が発生し、摺動部に損傷を発生させることはない。 さらに、降下火碎物の降灰時には、外気取入ダンパを閉止することにより侵入を阻止することが可能であることから、制御用空気圧縮機の機能に影響を及ぼすことはない。</p> <p style="text-align: center;">以 上</p>	<p>【女川】設備の相違 ・泊で抽出した評価対象施設について影響評価を実施</p> <p>【大飯】記載表現の相違</p> <p>【大飯】記載表現の相違 【大飯】設計方針の相違 ・評価条件の相違</p> <p>【大飯】記載表現の相違</p>

第6条 外部からの衝撃による損傷の防止（火山：別添資料1）

赤字	設備、運用又は体制の相違（設計方針の相違）
青字	記載箇所又は記載内容の相違（記載方針の相違）
緑字	記載表現、設備名称の相違（実質的な相違なし）

第6条 外部からの衝撃による損傷の防止（火山：別添資料1）

大飯発電所3／4号炉	女川原子力発電所2号炉	泊発電所3号炉	相違理由
<p>原子力発電所の火山影響評価ガイド 2. 原子力発電所に及ぼす火山影響評価 (地下火山影響評価の基準) 2. 原子力発電所に及ぼす火山影響評価 (地上火山影響評価の基準) ガイドに依る評価</p> <p>立地評価は、まずは原子力発電所に及ぼす火山影響評価の2段階で行う。 影響を及ぼす場合は、原子力発電所が抽出された場合には、抽出された火山事象が原子力発電所に及ぼす影響評価を行う。即ち、設計対応下限値が火山事象が原子力発電所の運用期間中に影響を及ぼす可能性の評価を行う。(解説-1) 影響を及ぼす可能性が十分小ささいと評価された場合は、火山活動の中々クリックと火山活動の先端把査時に対する対応を最初にすることを条件として、個々の火山事象への対応及び運転対応の妥当性について評価を行う。</p> <p>解説-1. IAEA SGG-21では、火山物密度流、溶岩流、碎屑なだれ、地滑り及び斜面崩壊、新しい火道の開拓及び地盤変形を対応対応が不可能な火山事象としており、本評価ガイドでも、これを適用する。</p> <p>影響評価では、個々の火山事象への対応及び運転対応の妥当性について評価を行う。</p> <p>解説-1. IAEA SGG-21では、火山物密度流、溶岩流、碎屑なだれ、地滑り及び斜面崩壊、新しい火道の開拓及び地盤変形を対応対応が不可能な火山事象としており、本評価ガイドでも、これを適用する。</p>	<p>原子力発電所の火山影響評価ガイド 2. 原子力発電所に及ぼす火山影響評価 (地下火山影響評価の基準) ガイドに依る評価</p> <p>立地評価は、原子力発電所が抽出された場合には、抽出された火山事象が原子力発電所に及ぼす影響評価を行う。即ち、設計対応下限値が火山事象が原子力発電所の運用期間中に影響を及ぼす可能性の評価を行う。(解説-1) 影響を及ぼす可能性が十分小ささいと評価された場合は、火山活動の中々クリックと火山活動の先端把査時に対する対応を最初にすることを条件として、個々の火山事象への対応及び運転対応の妥当性について評価を行う。</p> <p>解説-1. IAEA SGG-21では、火山物密度流、溶岩流、碎屑なだれ、地滑り及び斜面崩壊、新しい火道の開拓及び地盤変形を対応対応が不可能な火山事象としており、本評価ガイドで、これを適用する。</p>	<p>原子力発電所の火山影響評価ガイド 2. 原子力発電所に及ぼす火山影響評価 (地下火山影響評価の基準) ガイドに依る評価</p> <p>立地評価は、原子力発電所が抽出された場合には、抽出された火山事象が原子力発電所に及ぼす影響評価を行う。(解説-1) 影響を及ぼす可能性が十分小ささいと評価された場合は、火山活動の中々クリックと火山活動の先端把査時に対する対応を最初にすることを条件として、個々の火山事象への対応及び運転対応の妥当性について評価を行う。</p> <p>解説-1. IAEA SGG-21では、火山物密度流、溶岩流、碎屑なだれ、地滑り及び斜面崩壊、新しい火道の開拓及び地盤変形を対応対応が不可能な火山事象としており、本評価ガイドで、これを適用する。</p>	<p>【大飯、女川】 記載方針の相違 ・泊は火山ガイドの最新版（モニタリングの項目追加）を掲載した（赤枠は対象箇所を示す）</p>

第6条 外部からの衝撃による損傷の防止（火山：別添資料1）

大飯発電所3／4号炉	女川原子力発電所2号炉	泊発電所3号炉	相違理由
<p>【立地評価】(項目名のみ記載)</p> <p>3．原子力発電所に影響を及ぼし得る火山の抽出</p> <p>3．1 文獻調査</p> <p>3．2 地形・地質調査及び火山学的調査</p> <p>3．3 平成の火山活動可能性</p> <p>4．原子力発電所の運用期間における火山活動に関する個別評価</p> <p>4．1 疎計対応可能な火山事象を伴う火山活動の評価</p> <p>4．2 地球物理学的及び地球化学的調査</p> <p>5．火山活動のモニタリング</p> <p>5．1 監視対象火山</p> <p>5．2 観測項目</p> <p>5．3 定期的評価</p> <p>5．4 火山活動の痕跡を把握した場合の対応</p>	<p>【立地評価】(項目名のみ記載)</p> <p>3．原子力発電所に影響を及ぼし得る火山の抽出</p> <p>3．1 文獻調査</p> <p>3．2 地形・地質調査及び火山学的調査</p> <p>3．3 平成の火山活動可能性</p> <p>4．原子力発電所の運用期間における火山活動の評価</p> <p>4．1 疎計対応可能な火山事象を伴う火山活動の評価</p> <p>4．2 地球物理学的及び地球化学的調査</p> <p>5．火山活動のモニタリング</p> <p>5．1 監視対象火山</p> <p>5．2 観測項目</p> <p>5．3 定期的評価</p> <p>5．4 火山活動の痕跡を把握した場合の対応</p>	<p>【立地評価】(項目名のみ記載)</p> <p>3．原子力発電所に影響を及ぼし得る火山の抽出</p> <p>3．1 文獻調査</p> <p>3．2 地形・地質調査及び火山学的調査</p> <p>3．3 平成の火山活動可能性</p> <p>4．原子力発電所の運用期間における火山活動の評価</p> <p>4．1 疎計対応可能な火山事象を伴う火山活動の評価</p> <p>4．2 地球物理学的及び地球化学的調査</p> <p>5．火山活動のモニタリング</p> <p>5．1 監視対象火山</p> <p>5．2 観測項目</p> <p>5．3 定期的評価</p> <p>5．4 火山活動の痕跡を把握した場合の対応</p>	<p>【大飯、女川】 記載方針の相違</p> <ul style="list-style-type: none"> 泊は火山ガイドの最新版（モニタリングの項目追加）を掲載した（赤枠は対象箇所を示す）

泊発電所 3号炉 DB基準適合性 比較表

第6条 外部からの衝撃による損傷の防止 (火山:別添資料1)

赤字: 設備、運用又は体制の相違 (設計方針の相違)
 青字: 記載箇所又は記載内容の相違 (記載方針の相違)
 緑字: 記載表現、設備名称の相違 (実質的な相違なし)

大飯発電所3／4号炉	女川原子力発電所2号炉	泊発電所3号炉	相違理由												
		<p>表1 原子力発電所の火山影響評価ガイドと陸上火葬物（火山灰）に対する設備影響の評価の整合性(4/8)</p> <table border="1"> <tr> <td>原子力発電所の火山影響評価ガイド</td> <td>降下水貯物（火山灰）に対する設備影響の評価の整合性</td> </tr> <tr> <td>6.火山影響評価の世帯が維持されていることの確認を目的とした火山活動のモニタリング</td> <td>3.火山活動のモニタリング</td> </tr> <tr> <td>6.1監視対象火山</td> <td>追加【地盤調査結果の反映】 （火山活動のモニタリングについて、 地盤調査結果を反映するため）</td> </tr> <tr> <td>6.2監視項目</td> <td></td> </tr> <tr> <td>6.3定期的評価</td> <td></td> </tr> <tr> <td>6.4観測データの有意な変化を把握した場合の対応</td> <td></td> </tr> </table>	原子力発電所の火山影響評価ガイド	降下水貯物（火山灰）に対する設備影響の評価の整合性	6.火山影響評価の世帯が維持されていることの確認を目的とした火山活動のモニタリング	3.火山活動のモニタリング	6.1監視対象火山	追加【地盤調査結果の反映】 （火山活動のモニタリングについて、 地盤調査結果を反映するため）	6.2監視項目		6.3定期的評価		6.4観測データの有意な変化を把握した場合の対応		<p>【大飯、女川】 記載方針の相違 ・泊は火山ガイドの最新版（モニタリングの項目追加）を掲載した</p>
原子力発電所の火山影響評価ガイド	降下水貯物（火山灰）に対する設備影響の評価の整合性														
6.火山影響評価の世帯が維持されていることの確認を目的とした火山活動のモニタリング	3.火山活動のモニタリング														
6.1監視対象火山	追加【地盤調査結果の反映】 （火山活動のモニタリングについて、 地盤調査結果を反映するため）														
6.2監視項目															
6.3定期的評価															
6.4観測データの有意な変化を把握した場合の対応															

相違理由	泊発電所 3号炉	女川原子力発電所 2号炉	大飯発電所 3／4号炉
【大飯】 記載方針の相違 泊及び女川では、表1原子力発電所に影響を与える可能性のある火山事象及び位置関係を記載している			<p>6. 原子力発電所への火山事象の影響評価</p> <p>原子力発電所の運用期間中ににおいて設置対応不可能な大火山事象によって原子力発電所が完全性に影響を及ぼす可能性が十分小さいと評価された火山について、それが噴火した場合、原子力発電所の安全性に影響を与える可能性のある火山事象を抽出し、その影響評価を行う。</p> <p>ただし、降下火砕物については、火山噴出物による降下火砕物の堆積量を評価抽出された火山事象のうち、火砕物堆積量については、「設置対応不可能な大火山事象に対する火山活動の評価」において、大飯発電所に到達する可能性が十分小さきことを評価している。</p> <p>以上のことより、降下火砕物（火山灰）による影響評価を行った。</p> <p>なお、降下火砕物（火山灰）の影響評価では、敷地周辺の影響範囲結果等より、火成灰の堆積物草を10cm、並びに火山灰の粒度及堆積度をそれぞれ以下の通り設定している。なお、降雨等の時期に想定される気象が火山噴出物に及ぼす影響についても考慮している。</p> <p>被曝は、大飯発電所の近傍である中山西地区における堆積物調査で行われた火山灰の堆積度試験結果より、1mm以下と設定する。</p> <p>また、密度は、降下等水分を含むことにより増大することから恒状態とする。大飯発電所の近傍である宮城県における堆積物調査においては、火山灰データの田畠体積重量、並びに、火山噴火と災害（原田人、京大学出版会、1997）を参照し、1.0g/cm³と設定する。</p>

第6条 外部からの衝撃による損傷の防止（火山：別添資料1）

由発電所 3 号炉 DB 基準適合性 比較表

第6条 外部からの衝撃による損傷の防止 (火山:別添資料1)

自発電所 3 号炉 DB 基準適合性 比較表

赤字：設備、運用又は体制の相違（設計方針の相違）
 青字：記載箇所又は記載内容の相違（記載方針の相違）
 緑字：記載表現、設備名称の相違（実質的な相違なし）

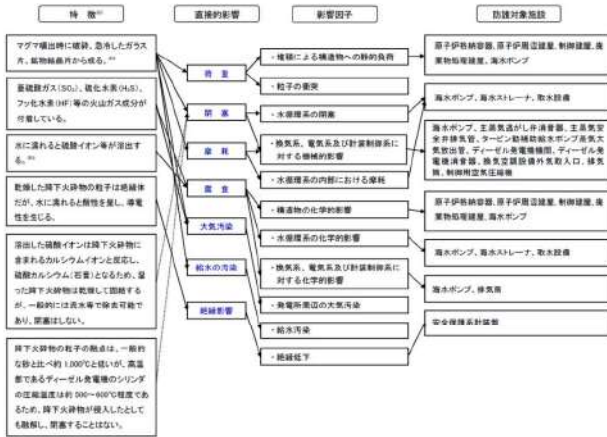
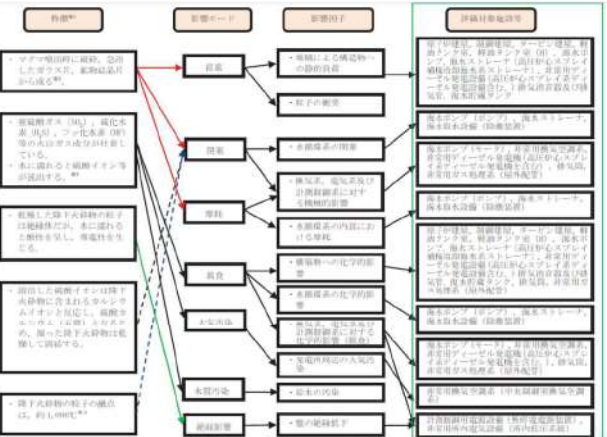
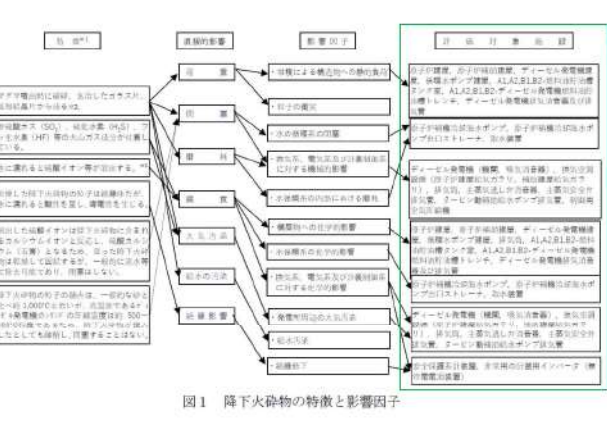
第6条 外部からの衝撃による損傷の防止（火山：別添資料1）

泊発電所3号炉 DB基準適合性 比較表

大飯発電所3／4号炉	女川原子力発電所2号炉	泊発電所3号炉	相違理由
<p>【立地評価の結果を考慮し評価する項目】（項目名のみ記載）</p> <p>6. 2 土砂堆積地化 6. 3 泥岩流 6. 4 崩壊などれ、地滑り及び斜面崩壊 6. 5 火山性土石流、火山泥流及び洪水 6. 6 火山から発生する堆積物（噴行） 6. 7 火山ガス 6. 8 新しい火口の開口 6. 9 地震及び静脈 6. 10 大気現象 6. 11 地殻変動 6. 12 火山性地震とこれに連関する事象 6. 13 熱水系及び地下水の異常</p>	<p>【立地評価の結果を考慮し評価する項目】（項目名のみ記載）</p> <p>6. 2 土砂堆積地化 6. 3 泥岩流 6. 4 崩壊などれ、地滑り及び斜面崩壊 6. 5 火山性土石流、火山泥流及び洪水 6. 6 火山から発生する堆積物（噴行） 6. 7 火山ガス 6. 8 新しい火口の開口 6. 9 地震及び静脈 6. 10 大気現象 6. 11 地殻変動 6. 12 火山性地震とこれに連関する事象 6. 13 熱水系及び地下水の異常</p>	<p>【立地評価の結果を考慮し評価する項目】（項目名のみ記載）</p> <p>5. 2 火砂物質堆積 5. 3 崩壊 5. 4 剥離などれ、地滑り及び斜面崩壊 5. 5 土砂流、火山泥流及び洪水 5. 6 火山から発生する堆積物（噴行） 5. 7 火山ガス 5. 8 新しい火口の開口 5. 9 地震及び静脈 5. 10 大気現象 5. 11 地殻変動 5. 12 火山性地震とこれに連関する事象 5. 13 熱水系及び地下水の異常</p>	

泊発電所 3 号炉 DB 基準適合性 比較表

第6条 外部からの衝撃による損傷の防止（火山：別添資料 1）

大飯発電所 3 / 4 号炉	女川原子力発電所 2 号炉	泊発電所 3 号炉	相違理由
<p>補足資料－2 2. 火山灰の特徴から抽出される直接的影響因子と防護対象施設の組合せ</p> <p>火山灰の特徴とその特徴から抽出される直接的影響因子、さらに影響因子の影響を受ける可能性のある防護対象施設との関係について、p. 山別添-1-14, 15「表 1.4 火山灰が影響を与える防護対象施設と影響因子の組合せ」において、影響評価すべき組合せを検討した結果を図のフローに示す。</p>  <p>※1: (参考文献) 広域的な火山防災対策に係る検討会(第3回)(資料2)</p> <p>※2: 粘性を生じさせる粘土鉱物等は含まれていない。</p> <p>※3: [火山灰による金属腐食の研究報告の例]</p> <p>4種類の金属材料(Zn メッキ, Al, SS41, Cu)に対して、桜島火山灰による金属腐食の程度は、実際の自然条件より厳しい条件においても表面厚さに対して十数 μm のオーダーの腐食。</p> <p>試験条件・・・温度、湿度、保持時間 [① (40°C, 95%, 4h) ~ ② (20°C, 80%, 2h) × 18 サイクル]</p> <p>(参考文献) 出雲茂人、末吉秀一他、火山環境における金属材料の腐食、1990、防食技術 Vol. 39, pp. 247-253)</p> <p>⇒設計時の腐食代(数 mm オーダー)を考慮すると、構造健全性に影響を与えることはないと考えられる。</p>	<p>補足資料－2 降下火碎物の特徴及び影響モードと、影響モードから選定された影響因子に対し影響を受ける評価対象施設等の組合せについて</p> <p>降下火碎物の特徴から抽出される影響モード、影響モードから選定される影響因子、影響因子から影響を受ける評価対象施設等の組合せについて、本資料「表 3.4.4-1 降下火碎物が影響を与える評価対象施設等と影響因子の組合せ」にて、評価すべき組合せを検討した結果、図 1 に示す結果となった。なお、選定された影響因子は、「原子力発電所の火山影響評価ガイド」に示されたものと同じ項目となった。</p>  <p>※1: 「広域的な火山防災対策に係る検討会(第3回)(資料2)」(事務局: 内閣府(防災担当), 消防庁, 国土交通省水管理・国土保全局砂防部, 気象庁: 平成 24 年 11 月)</p> <p>※2: 粘性を生じさせる粘土鉱物等は含まれていない。</p> <p>※3: [火山灰による金属腐食の研究報告の例]</p> <p>4種類の金属材料(Zn メッキ, Al, SS41, Cu)に対して、桜島の降下火碎物を水で洗浄し、可溶性の成分を除去した後、金属試験片に堆積させ、実際の自然条件より厳しい条件である高濃度の SO₂ガス雰囲気(150~200ppm)で加熱、冷却を繰り返すことで、結露、蒸発を繰り返した金属腐食の程度は、表面厚さとして十数~数十 μm のオーダーの腐食。(補足資料-8 参照)</p> <p>試験条件・・・温度、湿度、保持時間 [① (40°C, 95%, 4h) ~ ② (20°C, 80%, 2h) × 18 サイクル]</p> <p>(参考文献) 出雲茂人、末吉秀一ほか、火山環境における金属材料の腐食、1990、防食技術 Vol. 39, pp. 247-253)</p> <p>⇒設計時の腐食代(数 mm オーダー)を考慮すると、構造健全性に影響を与えることはないと考えられる。</p>	<p>補足資料－2 降下火碎物の特徴及び影響モードと、影響モードから選定された影響因子に対し影響を受ける評価対象施設等の組合せについて</p> <p>降下火碎物の特徴から抽出される影響モード、影響モードから選定される影響因子、影響因子から影響を受ける評価対象施設等の組合せについて、本資料「表 4.4.4-1 降下火碎物が影響を与える評価対象施設等と影響因子の組合せ」にて、評価すべき組合せを検討した結果、図 1 に示す結果となった。なお、選定された影響因子は、「原子力発電所の火山影響評価ガイド」に示されたものと同じ項目となった。</p>  <p>※1: 「広域的な火山防災対策に係る検討会(第3回)(資料2)」(事務局: 内閣府(防災担当), 消防庁, 国土交通省水管理・国土保全局砂防部, 気象庁: 平成 24 年 11 月)</p> <p>※2: 粘性を生じさせる粘土鉱物等は含まれていない。</p> <p>※3: [火山灰による金属腐食の研究報告の例]</p> <p>4種類の金属材料(Zn メッキ, Al, SS41, Cu)に対して、桜島の降下火碎物を水で洗浄し、可溶性の成分を除去した後、金属試験片に堆積させ、実際の自然条件より厳しい条件である高濃度の SO₂ガス雰囲気(150~200ppm)で加熱、冷却を繰り返すことで、結露、蒸発を繰り返した金属腐食の程度は、表面厚さとして十数~数十 μm のオーダーの腐食。(補足資料-8 参照)</p> <p>試験条件・・・温度、湿度、保持時間 [① (40°C, 95%, 4h) ~ ② (20°C, 80%, 2h) × 18 サイクル]</p> <p>(参考文献) 出雲茂人、末吉秀一ほか、火山環境における金属材料の腐食、1990、防食技術 Vol. 39, pp. 247-253)</p> <p>⇒設計時の腐食代(数 mm オーダー)を考慮すると、構造健全性に影響を与えることはないと考えられる。</p>	<p>【大飯】 記載表現の相違</p> <p>【女川】 表番号の相違</p> <p>【女川】 設備名称の相違</p>

泊発電所 3号炉 DB基準適合性 比較表

第6条 外部からの衝撃による損傷の防止 (火山:別添資料1)

赤字: 設備、運用又は体制の相違（設計方針の相違）
 青字: 記載箇所又は記載内容の相違（記載方針の相違）
 緑字: 記載表現、設備名称の相違（実質的な相違なし）

大飯発電所3／4号炉	女川原子力発電所2号炉	泊発電所3号炉	相違理由
以上	<p>※4: 降下火砕物の融点は約1,000°Cであり、一般的な砂に比べて低いとされているが、調査の結果、女川原子力発電所で想定する降下火砕物を構成する火山ガラス及び鉱物結晶片の融点は850°C以上であると考えられる。(補足資料-19参照)</p>	<p>※4: 降下火砕物の融点は約1,000°Cであり、一般的な砂に比べて低いとされているが、調査の結果、泊発電所で想定する降下火砕物を構成する火山ガラス及び鉱物結晶片の融点は850°C以上であると考えられる。(補足資料-19参照)</p>	<p>以上</p> <p>【女川】 プラント名称の相違</p>

泊発電所3号炉 DB基準適合性 比較表

第6条 外部からの衝撃による損傷の防止 (火山:別添資料1)

赤字: 設備、運用又は体制の相違 (設計方針の相違)
 青字: 記載箇所又は記載内容の相違 (記載方針の相違)
 緑字: 記載表現、設備名称の相違 (実質的な相違なし)

大飯発電所3／4号炉	女川原子力発電所2号炉	泊発電所3号炉	相違理由
	<p>補足資料-2 (別紙) 降水による降下火砕物の固結の影響について</p> <p>降下火砕物は、湿ったのち乾燥することで固結する特徴をもっており、影響モードとして閉塞が考えられるが、一般的に流水等で除去可能である。</p> <p>降下火砕物が固結した場合の評価対象施設等に対する影響モードとしては、水循環系の閉塞及び換気系、電気系及び計測制御系に対する機械的影響(閉塞)が考えられるが、水循環系の閉塞においては、大量の海水が通水しているため、固結による影響はない。</p> <p>換気系、電気系及び計測制御系に対する機械的影響(閉塞)としては、非常用換気空調系のバグフィルタ(粒径約$2\mu\text{m}$に対して80%以上を捕獲する性能)の閉塞が考えられるが、非常用換気空調系の外気取入口にはルーバーが設置されており、下向から吸い込む構造となっていることから、平時に比べ雨が降っている場合の降下火砕物の侵入は減少すると考えられる。なお、侵入した降下火砕物は、非常用換気空調系のバグフィルタによって除去されるが、湿った降下火砕物がバグフィルタに付着し固結した場合においても、バグフィルタの取替えが可能なことから、固結による影響はない。</p> <p>一方、評価対象施設等に対して間接的な影響を与える事象としては、固結した降下火砕物によって、構内排水に影響を及ぼす事象が考えられる。構内に降った雨水は、最終的には、北側及び南側に設置されている各幹線排水路に集水され海域に排水される。各幹線排水路は、評価対象施設等に有意な影響を及ぼし得る大雨時の流入量に対して、十分な裕度を有していることから、構内の排水に対して影響を及ぼさない。</p> <p>なお、原子炉建屋等については、溢水対策として建屋貫通部の止水処置等を実施していることから、評価対象施設等への影響はない。</p> <p style="text-align: right;">以上</p>	<p>補足資料-2 (別紙) 降水による降下火砕物の固結の影響について</p> <p>降下火砕物は、湿ったのち乾燥することで固結する特徴をもっており、影響モードとして閉塞が考えられるが、一般的に流水等で除去可能である。</p> <p>降下火砕物が固結した場合の評価対象施設等に対する影響モードとしては、水循環系の閉塞及び換気系、電気系及び計測制御系に対する機械的影響(閉塞)が考えられるが、水循環系の閉塞においては、大量の海水が通水しているため、固結による影響はない。</p> <p>換気系、電気系及び計測制御系に対する機械的影響(閉塞)としては、換気空調設備の平型(粒径約$5\mu\text{m}$に対して85%以上を捕獲する性能)の閉塞が考えられるが、換気空調設備の外気取入口にはガラリフードが設置されており、下向から吸い込む構造となっていることから、平時に比べ雨が降っている場合の降下火砕物の侵入は減少すると考えられる。なお、侵入した降下火砕物は、換気空調設備の平型フィルタによって除去されるが、湿った降下火砕物が平型フィルタに付着し固結した場合においても、平型フィルタの取替えが可能なことから、固結による影響はない。</p> <p>一方、評価対象施設等に対して間接的な影響を与える事象としては、固結した降下火砕物によって、構内排水に影響を及ぼす事象が考えられる。構内に降った雨水は、最終的には、構内排水設備に集水され海域に排水される。構内排水設備は、評価対象施設等に有意な影響を及ぼし得る大雨時の流入量に対して、十分な裕度を有していることから、構内の排水に対して影響を及ぼさない。</p> <p>なお、原子炉建屋等については、溢水対策として建屋貫通部の止水処置等を実施していることから、評価対象施設等への影響はない。</p> <p style="text-align: right;">以上</p>	<p>【大飯】記載方針の相違 ・女川審査実績の反映</p> <p>【女川】名称の相違 【女川】設備の相違 ・プラント設計の相違によるフィルタ仕様の相違(火山灰の除去の観点では同等の性能を有する)</p> <p>【女川】設計方針の相違 ・泊は防潮堤横断部の3系統ある排水路を構内排水設備とする</p>

泊発電所3号炉 DB基準適合性 比較表

赤字：設備、運用又は体制の相違（設計方針の相違）
 青字：記載箇所又は記載内容の相違（記載方針の相違）
 緑字：記載表現、設備名称の相違（実質的な相違なし）

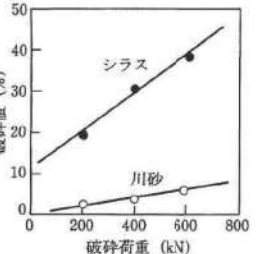
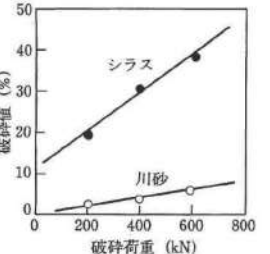
第6条 外部からの衝撃による損傷の防止（火山：別添資料1）

大飯発電所3／4号炉	女川原子力発電所2号炉	泊発電所3号炉	相違理由
<p>補足資料－6 6. 火山灰による磨耗の影響（破碎しやすさ・硬度）について</p> <p>火山灰による水循環系、ディーゼル発電機の機関内部における磨耗の影響について以下のとおり評価する。</p> <p>1. 水循環系の内部の磨耗</p> <p>火山灰による水循環系の内部における磨耗について、火山灰は砂等に比べて破碎し易く^{※1}、硬度が小さい^{※2}こと、またプラントの供用期間中において海水取水中に含まれる砂等の磨耗によるトラブルは発生していないことから、火山灰粒子による磨耗が設備に影響を与える可能性は小さい。</p> <p>水循環系の内部には一定の水の流れがあり、冷却管等の内部に火山灰が長期に留まることは考えにくい。仮に火山灰粒子が内部に長期的に滞留したとしても、火山灰粒子の硬さは、モース硬度^{※3}で約5程度であり、砂のモース硬度の約7程度と比較して、砂よりも硬度の低い火山灰による水循環系の設備に対する長期的な影響も小さいと考えられる。</p> <p>2. ディーゼル発電機の機関内部の磨耗</p> <p>ディーゼル発電機の機関内部における磨耗について、仮に機関吸気に火山灰等の固形物が混入した場合でも、シリンダライナー及びピストンリングは磨耗に強い鉄（ブリネル硬さ^{※4}230程度（SUS180程度））であること、また前述のとおり、火山灰は砂と比較して破碎しやすく硬度が低く、定期検査ごとに行うシリンダライナー及びピストンリングの点検においても砂等による有意な磨耗影響は確認されていない。</p> <p>長期的な影響についても、シリンダライナー及びピストンの間隙内へ侵入した火山灰は、シリンダとピストン双方の摺動運動が繰り返されるごとに、さらに細かな粒子に破碎され、破碎された粒子はシリンダライナー及びピストンリング間隙に付着している潤滑油により機関外へ除去されること、また火山灰が燃焼室内に一時的に滞留したとしても、排気ガスと共に大気へ放出されることから、火山灰粒子による長期的な影響も小さいと考えられる。</p> <p>※1 武若耕司（2004）：シラスコンクリートの特徴とその実用化の現状、コンクリート工学、vol.42、No.3、p.38-47</p> <p>※2 恒松修二・井上耕三・松田応作（1976）：シラスを主原料とする結晶化ガラス、窯業協会誌84[6]、p.32-40</p> <p>※3 モース硬度とは、一般的に鉱物の硬度に用いられる硬さの単位</p> <p>※4 ブリネル硬さとは、一般的に金属等の工業材料に用いられる硬さの単位</p> <p style="text-align: center;">以上</p>	<p>補足資料－3 降下火砕物による摩耗について</p> <p>水循環系において最も磨耗の影響を受けやすい箇所はライニングが施されていない各冷却器の伝熱管と考えられるが、発電所の運用期間中において海水取水中に含まれる砂等の磨耗によるトラブルは発生していないこと、及び主要な降下火砕物は、砂と同等又は砂より硬度が低くもらいことから、降下火砕物による磨耗が設備に影響を与える可能性はないと評価している。</p> <p>また、ディーゼル発電機の機関内部における磨耗について、仮に機関吸気に降下火砕物等の固形物が混入した場合でも、シリンダライナー及びピストンリングは磨耗に強い鉄（ブリネル硬さ^{※1}230程度（SUS180程度））であること、また前述のとおり、降下火砕物は砂と比較して破碎し易く硬度が低く、定期検査ごとに行うシリンダライナー及びピストンリングの点検においても砂等による有意な磨耗影響は確認されていない。</p> <p>長期的な影響についても、シリンダライナー及びピストンの間隙内へ侵入した降下火砕物は、シリンダとピストン双方の摺動運動が繰り返されるごとに、さらに細かな粒子に破碎され、破碎された粒子はシリンダライナー及びピストンリング間隙に付着している潤滑油により機関外へ除去されること、また降下火砕物が燃焼室内に一時的に滞留したとしても、排気ガスと共に大気へ放出されることから、降下火砕物粒子による長期的な影響も小さいと考えられる。</p> <p>※1 ブリネル硬さとは、一般的に金属等の工業材料に用いられる硬さの単位</p>	<p>補足資料－3 降下火砕物による摩耗について</p> <p>水循環系において最も磨耗の影響を受けやすい箇所はライニングが施されていない各冷却器の伝熱管と考えられるが、発電所の運用期間中において海水取水中に含まれる砂等の磨耗によるトラブルは発生していないこと、及び主要な降下火砕物は、砂と同等又は砂より硬度が低くもらいことから、降下火砕物による磨耗が設備に影響を与える可能性はないと評価している。</p> <p>また、ディーゼル発電機の機関内部における磨耗について、仮に機関吸気に降下火砕物等の固形物が混入した場合でも、シリンダライナー及びピストンリングは磨耗に強い鉄（ブリネル硬さ^{※1}230程度（SUS180程度））であること、また前述のとおり、降下火砕物は砂と比較して破碎し易く硬度が低く、定期検査ごとに行うシリンダライナー及びピストンリングの点検においても砂等による有意な磨耗影響は確認されていない。</p> <p>長期的な影響についても、シリンダライナー及びピストンの間隙内へ侵入した降下火砕物は、シリンダとピストン双方の摺動運動が繰り返されるごとに、さらに細かな粒子に破碎され、破碎された粒子はシリンダライナー及びピストンリング間隙に付着している潤滑油により機関外へ除去されること、また降下火砕物が燃焼室内に一時的に滞留したとしても、排気ガスと共に大気へ放出されることから、降下火砕物粒子による長期的な影響も小さいと考えられる。</p> <p>※1 ブリネル硬さとは、一般的に金属等の工業材料に用いられる硬さの単位</p>	<p>【大飯】記載表現の相違</p> <p>【大飯】記載方針の相違 ・女川審査実績の反映</p> <p>【女川】記載方針の相違 ・大飯審査実績の反映</p> <p>【大飯】記載表現の相違</p>

泊発電所3号炉 DB基準適合性 比較表

第6条 外部からの衝撃による損傷の防止 (火山:別添資料1)

赤字: 設備、運用又は体制の相違 (設計方針の相違)
 青字: 記載箇所又は記載内容の相違 (記載方針の相違)
 緑字: 記載表現、設備名称の相違 (実質的な相違なし)

大飯発電所3／4号炉	女川原子力発電所2号炉	泊発電所3号炉	相違理由
	<p>1. 降下火碎物と砂の破碎しやすさの違いについて 降下火碎物と砂の破碎しやすさの違いについては、「武若耕司(2004) : シラスコンクリートの特徴とその実用化の現状、コンクリート工学、vol. 42, No. 3, P38-47.」による調査報告があり、図1に示すとおり、「シラスは川砂などに比べて極めて脆弱な材料である」とされており、シラスと同様、火山ガラスを主成分とする降下火碎物は、砂と比較して破碎しやすいと考えられる。</p>  <p>図1 シラスの破碎試験結果</p> <p>2. 降下火碎物と砂及び設備材料の硬度の比較について 鉱物の硬度は搔傷硬度で表されており、ここではモース硬度による比較を行う。以下のとおり、主要な降下火碎物の硬度は砂と同等又は砂より低いため、設備への影響は軽微と考える。</p> <ul style="list-style-type: none"> 降下火碎物の主成分は、火山ガラスであり、「恒松修二・井上耕三・松田応作(1976) : シラスを主原料とする結晶化ガラス、窯業協会誌84[6], P32-40.」によると、火山ガラスのモース硬度は5と記載されている。 女川原子力発電所で想定する降下火碎物の成分である鉱物結晶片は石英、(斜方・单斜)輝石、角閃石、カミントン閃石、黒雲母、磁鐵鉱であり、これらのモース硬度の最大値は7である（補足資料-19参照）。 砂の主成分は石英、長石類、雲母類であり、モース硬度の最大値は石英の7である。 また、発電所運用期間中において海水取水中に含まれる砂等による摩耗によるトラブルは経験していないことから、設備材料は砂に対して耐性を有すると考える。また、東北地方太平洋沖地震に伴う津波による海水中の砂に対しても、海水ポンプの運転が継続している実績があることから、摩耗による設備への影響は軽微と考える。 <p style="text-align: right;">以上</p>	<p>1. 降下火碎物と砂の破碎しやすさの違いについて 降下火碎物と砂の破碎しやすさの違いについては、「武若耕司(2004) : シラスコンクリートの特徴とその実用化の現状、コンクリート工学、vol. 42, No. 3, P38-47.」による調査報告があり、図1に示すとおり、「シラスは川砂等に比べて極めて脆弱な材料である」とされており、シラスと同様、火山ガラスを主成分とする降下火碎物は、砂と比較して破碎しやすいと考えられる。</p>  <p>図1 シラスの破碎試験結果</p> <p>2. 降下火碎物と砂及び設備材料の硬度の比較について 鉱物の硬度は搔傷硬度で表されており、ここではモース硬度による比較を行う。以下のとおり、主要な降下火碎物の硬度は砂と同等又は砂より低いため、設備への影響は軽微と考える。</p> <ul style="list-style-type: none"> 降下火碎物の主成分は、火山ガラスであり、「恒松修二・井上耕三・松田応作(1976) : シラスを主原料とする結晶化ガラス、窯業協会誌84[6], P32-40.」によると、火山ガラスのモース硬度は5と記載されている。 泊発電所で想定する降下火碎物の成分である鉱物結晶片は石英、(斜方・单斜)輝石、角閃石であり、これらのモース硬度の最大値は7である（補足資料-19参照）。 <p>上記降下火碎物成分等の記載については立地評価が確定した後、再度評価する。</p> <p>砂の主成分は石英、長石類、雲母類であり、モース硬度の最大値は石英の7である。 また、発電所運用期間中において海水取水中に含まれる砂等による摩耗やディーゼル発電機の機関内部における砂等による摩耗によるトラブルは経験していないことから、設備材料は砂に対して耐性を有すると考える。</p> <p style="text-align: right;">以上</p>	<p>【大飯】記載方針の相違 ・女川審査実績の反映</p> <p>【女川】 プラント名称の相違 【女川】 ・鉱物結晶片の相違</p> <p>【女川】記載方針の相違 ・大飯、泊はディーゼル発電機機関の摩耗についても評価している 【女川】記載方針の相違 立地の相違による記載の相違</p>

泊発電所3号炉 DB基準適合性 比較表

赤字：設備、運用又は体制の相違（設計方針の相違）
 青字：記載箇所又は記載内容の相違（記載方針の相違）
 緑字：記載表現、設備名称の相違（実質的な相違なし）

第6条 外部からの衝撃による損傷の防止（火山：別添資料1）

大飯発電所3／4号炉	女川原子力発電所2号炉	泊発電所3号炉	相違理由
<p>補足資料－4 4. 塗装による火山灰の化学的影響（腐食）について</p> <p>1. 大飯発電所における塗装 大飯発電所では、炭素鋼、低合金鋼及びステンレス鋼の機器、配管、制御盤及びダクト等の外表面に対する塗装は、耐水性、耐熱性、耐油性等を考慮した塗料を使用している。（大飯発電所における塗装の例を下表に示す）</p> <p>2. 火山灰による腐食影響 (1) 屋外設備に対する腐食影響 屋外設備については、海塩粒子等の腐食性有害物質が付着しやすく、最も厳しい腐食環境にさらされるため、エポキシ系やウレタン系の塗料が複数層で塗布されている。エポキシ系及びウレタン系は、耐薬品性が強く、酸性物質を帯びた火山灰が堆積したとしても、直ちに金属表面の腐食が進むことはない。</p> <p>(2) 海水系機器に対する腐食影響 海水ポンプ、海水管等の海水に直接触れる部分については、エポキシ系等の耐食性塗料（含むライニング）が施工されており、火山灰が外表面に堆積ならびに混入した海水を取水したとしても、直ちに金属表面の腐食が進むことはない。</p> <p>以上より、火山灰による「構造物の化学的影響（腐食）」について、評価対象施設が塗装されていることで直ちに機能に影響を及ぼすことはない。</p>	<p>補足資料－4 降下火砕物の化学的影響（腐食）について</p> <p>女川原子力発電所第2号炉の降下火砕物による化学的影響（腐食）については、「構造物への化学的影響（腐食）」、「水循環系への化学的影響（腐食）」又は「換気系・電気系及び計測制御系に対する化学的影響（腐食）」を影響因子として、評価対象施設等に対する評価を行い、評価対象施設等が耐食性のある金属材料の使用や防食塗装、ライニングの実施による短期的な腐食により安全機能への影響がないことを評価している。影響因子と評価対象施設等について整理した。詳細について以下に示す。</p> <p>1. 構造物への化学的影響（腐食） 降下火砕物には腐食性ガス（SO₂）が付着しており、水に濡れると硫酸イオン（SO₄²⁻）が流出することから、建屋及び屋外施設の外表面を腐食させることで設備に影響を与える可能性がある。 評価対象施設等について評価を行った結果、原子炉建屋、制御建屋、タービン建屋、海水ポンプ（原子炉補機冷却海水ポンプ、高圧炉心スプレイ補機冷却海水ポンプ）、海水ストレーナ（高圧炉心スプレイ補機冷却海水系ストレーナ）、排気筒、非常用ガス処理系（屋外配管）、復水貯蔵タンク、軽油タンク室、軽油タンク室（II）、非常用ディーゼル発電設備（高圧炉心スプレイディーゼル発電設備含む。）排気消音器及び排気管については、強度腐食環境に対する塗料であるエポキシ樹脂系の塗装を外表面に実施していることで、直ちに金属表面等の腐食が進むことはないことを確認した。</p> <p>2. 水循環系の化学的影響（腐食） 海水中には元々多量の腐食性成分が含まれているが、降下火砕物が海水に接触して腐食性成分（硫酸イオン（SO₄²⁻））が溶出することにより、設備に影響を与える可能性がある。 評価対象施設等について評価を行った結果、海水ポンプ（原子炉補機冷却海水ポンプ、高圧炉心スプレイ補機冷却海水ポンプ）、海水ストレーナ（原子炉補機冷却海水系ストレーナ、高圧炉心スプレイ補機冷却海水系ストレーナ）及びその下流設備、海水取水設備（除塵装置）についてはエポキシ樹脂系、タールエポキシ樹脂系の塗装やゴムライニング等を実施していることで、直ちに金属表面等の腐食が進むことはないことを確認した。また、海水ストレーナの下流設備である熱交換器の伝熱管については、耐食性に優れたアルミニウム黄銅を使用していること、鉄イオン注入による管内面の保護被膜により腐食対策を実施していることから、短期での腐食により設備の健全性に影響を与えるものではないと考える。</p>	<p>補足資料－4 降下火砕物の化学的影響（腐食）について</p> <p>泊発電所3号炉の降下火砕物による化学的影響（腐食）については、「構造物への化学的影響（腐食）」、「水循環系への化学的影響（腐食）」又は「換気系・電気系及び計測制御系に対する化学的影響（腐食）」を影響因子として、評価対象施設等に対する評価を行い、評価対象施設等が耐食性のある金属材料の使用や防食塗装、ライニングの実施により短期的な腐食による安全機能への影響がないことを評価している。影響因子と評価対象施設等について整理した。詳細について以下に示す。</p> <p>1. 構造物への化学的影響（腐食） 降下火砕物には腐食性ガス（SO₂）が付着しており、水に濡れると硫酸イオン（SO₄²⁻）が流出することから、建屋及び屋外施設の外表面を腐食させることで設備に影響を与える可能性がある。 評価対象施設等について評価を行った結果、A1、A2-ディーゼル発電機燃料油貯油槽トレンチ、B1、B2-ディーゼル発電機燃料油貯油槽トレンチについてはコンクリート構造としていること、原子炉建屋、原子炉補助建屋、ディーゼル発電機建屋、循環水ポンプ建屋、排気筒、A1、A2-燃料油貯油槽タンク室、B1、B2-燃料油貯油槽タンク室、主蒸気逃がし弁消音器、主蒸気安全弁排気管、タービン動動補助給水ポンプ排気管、ディーゼル発電機排気消音器及び排気管については、強度腐食環境に対する塗料であるアクリルゴム系やシリコン系の塗装を外表面に実施していることで、直ちに金属表面等の腐食が進むことはないことを確認した。</p> <p>2. 水循環系の化学的影響（腐食） 海水中には元々多量の腐食性成分が含まれているが、降下火砕物が海水に接触して腐食性成分（硫酸イオン（SO₄²⁻））が溶出することにより、設備に影響を与える可能性がある。 評価対象施設等について評価を行った結果、原子炉補機冷却海水ポンプ、原子炉補機冷却海水ポンプ出口ストレーナ及びその下流設備、取水装置（除塵設備）についてはエポキシ樹脂系の塗装やゴムライニング等を実施していることで、直ちに金属表面等の腐食が進むことはないことを確認した。また、原子炉補機冷却海水ポンプ出口ストレーナの下流設備である熱交換器の伝熱管及び伝熱板については、耐食性に優れたチタン合金を使用することにより腐食対策を実施していることから、短期での腐食により設備の健全性に影響を与えるものではないと考える。</p>	<p>【大飯】記載表現の相違</p> <p>【大飯】記載方針の相違 ・女川審査実績の反映</p> <p>【女川】 プラント名称の相違</p> <p>【女川】設備の相違 ・プラント設計の相違による評価対象施設の相違</p> <p>【女川】 設備名称の相違</p> <p>【大飯、女川】 設計方針の相違 ・プラント設計の相違による塗装の種類の相違はあるが耐食性は同等</p> <p>【女川】 設備名称の相違</p> <p>【女川】 設備仕様の相違 ・材料の相違 ・プラント設計の相違</p> <p>【女川】 名称の相違</p>

泊発電所3号炉 DB基準適合性 比較表

赤字：設備、運用又は体制の相違（設計方針の相違）
青字：記載箇所又は記載内容の相違（記載方針の相違）
緑字：記載表現、設備名称の相違（実質的な相違なし）

第6条 外部からの衝撃による損傷の防止（火山：別添資料1）

大飯発電所3／4号炉

表 大飯発電所における塗装の例			
下地処理	下塗り	中塗り	上塗り
原子炉周辺建屋 —	エポキシ樹脂系	アクリルゴム系	アクリルウレタン樹脂系
海水ポンプ吐出管内面 2種ケレン	エポキシ樹脂系	エポキシ樹脂系	エポキシ樹脂系
海水ポンプ吐出管外面 2種ケレン	変性エポキシ樹脂系	変性エポキシ樹脂系	変性エポキシ樹脂系

以上

表1 降下火砕物による化学的影響（腐食）に対する影響対策（1/2）

影響因子	評価対象施設等	評価対象部位		腐食対策 仕様 ^①
		外壁	ケーシング	
構造部への化学的影響（腐食）	・原子炉建屋、防護建屋、タービン建屋 ・海水ポンプ（原子炉補機冷却海水ポンプ、高圧ポンプ、高圧炉心スプレイ補機冷却海水ポンプ） ・海水ストレーナー（高圧炉心スプレイ補機冷却海水系ストレーナー） ・非常用ガス処理系（屋外配管） ・排気筒 ・海水貯蔵タンク ・堅油タンク室、堅油タンク室（II） ・非常用ディーゼル発電設備（高圧ポンプ及び排気管 一セグメント設置含む。）排気消音器及び排気管	ポンプ モータ ストレーナー外表面 配管、支持構造物 排気筒、支持構造物 タンク ハッチ 排気消音器	ケーシング 外表面 塗装 塗装 塗装 塗装 塗装 塗装 塗装	エポキシ樹脂による防腐塗装 エポキシ樹脂による防腐塗装

※1：塗装ヘンドブリックによると、プラントの使用として、樹、アルカリなどに水分の届いた塗膜が食害を受けた際にも塗膜品質のある要件として、二重防護層構成を、タービン建屋、海水ポンプ等の塗装は、通常の塗装と同様である。
※2：参考文献：「68年・中塗り用樹脂等の品質」、1996、総合商社店、P12
※3：評価対象設備等（W）、原子炉建屋、防護建屋、タービン建屋、海水ポンプ建屋、高圧ポンプ建屋、排気筒、非常用ガス処理系、屋外配管、非常用電源設備、計測機器用電源設備、及び外部給水装置、原子炉建屋内に設置されているバッファード・タワー、高圧ポンプ（原水ポンプ、低圧ポンプ）上を除ます（注：屋外配管、海水ポンプ建屋、海水ポンプ等の塗装は、Wより除外する可能性があります）。実際での施工は、上に示す安全地帯が設けられないことがあります。

表1 降下火砕物による化学的影響（腐食）に対する影響対策（1/2）

影響因子	評価対象施設等	評価対象部位		腐食対策 仕様 ^②
		原子炉建屋、原子炉補助建屋、ディーゼル発電機建屋 海水ポンプ建屋	スリート	
排気筒	排気筒、支持構造物 主燃氣送入弁、弁用音響器 主燃氣安全弁音響器（屋外配管） タービン動力辅助海水ポンプ装置（屋外配管）	主燃氣送入弁が燃焼装置 配管、支持構造物 配管、支持構造物 排気用音響器	塗装 塗装 塗装 塗装	エポキシ樹脂による防腐塗装 エポキシ樹脂による防腐塗装 シリコン系塗料による防腐塗装 エポキシ樹脂による防腐塗装 シリコン系塗料による防腐塗装
構造部への化学的影響（腐食）	A1、A2－燃料油燃焼タンク室、 ディーゼル発電機燃焼タンク室 B1、B2－燃料油燃焼タンク室 A1、A2－ディーゼル発電機燃料油貯槽 B1、B2－ディーゼル発電機燃料油貯槽	鋼製槽 排気管 鋼製槽	塗装 塗装 塗装	エポキシ樹脂による防腐塗装 シリコン系塗料による防腐塗装 エポキシ樹脂による防腐塗装 コンクリート 金属材料

※1：塗装ヘンドブリックによると、プラントの使用として、樹、アルカリ等に水分の届いた塗膜が食害を受けた際にも塗膜品質のある要件として、エポキシ樹脂塗料、ターベルエポキシ樹脂等が使用されるなどの記載がある。
※2：参考文献：石炭炉建屋・中塗り用樹脂、塗装ヘンドブリック、1996、総合商社店、P12
※3：評価対象設備等のうち、屋内設備（ディーゼル発電機、安全回復系装置及び非常用の主装置インバータ（無停電電源装置））は外設取入口に設置され、廊下での運搬が大変なことから、屋外での運搬する可能性はなく、相場での運搬が困難なことはない。

泊発電所3号炉

相違理由

【大飯】記載方針の相違
・女川審査実績の反映

【女川】設備の相違
・プラント設計の相違による評価対象施設の相違

【女川】名称の相違
【大飯、女川】
設計方針の相違

・プラント設計の相違による塗装の種類の相違

【大飯、女川】
設計方針の相違
・プラント設計の相違による塗装の種類の相違

赤字：設備、運用又は体制の相違（設計方針の相違）
 青字：記載箇所又は記載内容の相違（記載方針の相違）
 緑字：記載表現、設備名称の相違（実質的な相違なし）

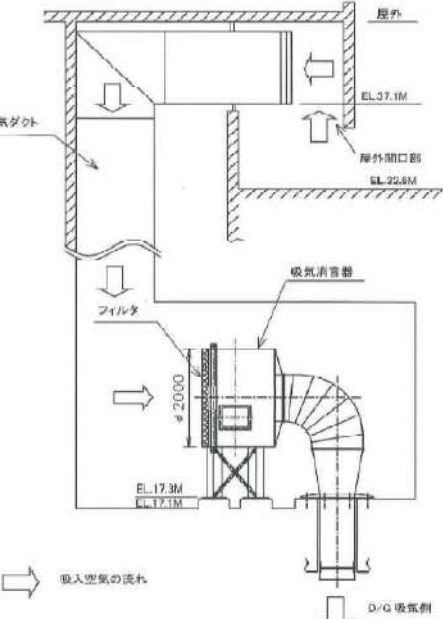
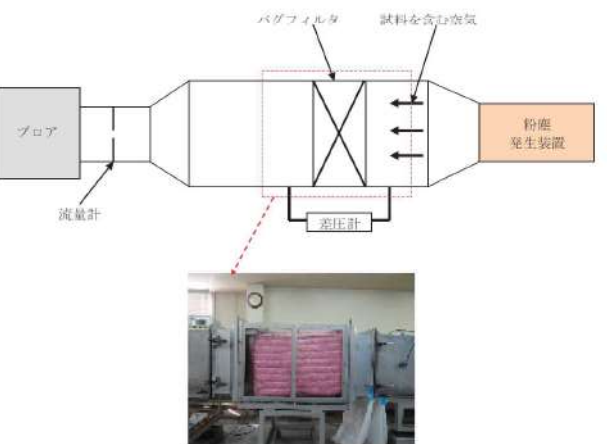
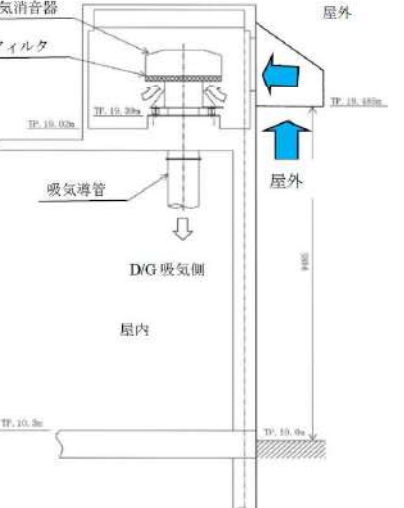
第6条 外部からの衝撃による損傷の防止（火山：別添資料1）

大飯発電所3／4号炉

泊発電所3号炉 DB基準適合性 比較表

女川原子力発電所2号炉						泊発電所3号炉	相違理由
影響因子	評価対象施設等	評価対象部位	露食対策	仕様①	仕様②		
・海水ポンプ（原子炉制御冷却海水ポンプ、高圧ポンプ）、海水ストレーナ（原子炉制御冷却海水系ストレーナ、高圧ポンプ）、海水冷却海水系ストレーナ、下流設備	ボンブ インペラ、主軸	ゴムライニング ゴムキシングル材質直付による 防腐塗装	ゴムライニング 金具	ゴムライニング 金具	ゴムライニング 金具		
水循環系への化学的影響（露食）に対する化学的影響（露食）	ストレーナ内面	ゴムライニング 機械溶接海水系ストレーナ	ゴムライニング 機械溶接海水系ストレーナ	ゴムライニング 金屬材料	ゴムライニング 金屬材料		
・非常用換気空調系（外気取入口）	配管 熱交換器水室 自然管	ゴムライニング アルミニウム黄銅 ダーリエゴキシングル材質直付による 防腐塗装	ゴムライニング 金屬（金具） ダーリエゴキシングル材質直付による 防腐塗装	金屬材料 金屬（金具）	金屬材料 金屬（金具）		
・海水取水設備（除塵装置）	スクリーン	ゴムライニング 金屬材料	ゴムライニング 金屬材料	ゴムライニング 金屬（金具）	ゴムライニング 金屬（金具）		
換気系、電気系及び計測防衛系に対する化学的影響（露食）	モータ 空気冷却却海水ポンプ	空気冷却却海水ポンプ 防腐塗装	空気冷却却海水ポンプ 防腐塗装	モータ 空気冷却却海水ポンプ 防腐塗装	モータ 空気冷却却海水ポンプ 防腐塗装		
・非常用換気空調系（外気取入口）	外気取入口	ループ	ループ	金属（金具）	金属（金具）		
海水ポンプ（原子炉制御冷却海水ポンプ）、高圧ポンプ、海水ストレーナ（原子炉制御冷却海水系ストレーナ）、海水冷却海水系ストレーナ、下流設備	（参考文献）：石塚末豊、中道政志、896、飯野書店、P312	（参考文献）：石塚末豊、中道政志、896、飯野書店、P312	（参考文献）：石塚末豊、中道政志、896、飯野書店、P312	（参考文献）：石塚末豊、中道政志、896、飯野書店、P312	（参考文献）：石塚末豊、中道政志、896、飯野書店、P312	（参考文献）：石塚末豊、中道政志、896、飯野書店、P312	【大飯、女川】 設計方針の相違 ・プラント設計の相違による塗装の種類の相違
影響因子	評価対象施設等	評価対象部位	露食対策	仕様①	仕様②		
原子炉制御冷却海水ポンプ	揚水管 インペラ、主軸	金屬材料 金屬材料	金屬材料 金屬材料	金屬材料 金屬材料	金屬材料 金屬材料		
水循環系への化学的影響（露食）に対する化学的影響（露食）	ストレーナ内面	ゴムライニング ゴムライニング ゴムライニング ゴムライニング ゴムライニング ゴムライニング チタン合金	ゴムライニング ゴムライニング ゴムライニング ゴムライニング ゴムライニング ゴムライニング チタン合金	ゴムライニング ゴムライニング ゴムライニング ゴムライニング ゴムライニング ゴムライニング チタン合金	ゴムライニング ゴムライニング ゴムライニング ゴムライニング ゴムライニング ゴムライニング チタン合金		
・海水取水設備（除塵装置）	配管 熱交換器水室 伝熱管及び伝熱板等	金屬材料 金屬材料	金屬材料 金屬材料	金屬材料 金屬材料	金屬材料 金屬材料		
換気系、電気系及び計測防衛系に対する化学的影響（露食）	スクリーン 吸気消音器 換気空調設備 換気空調設備 （補助送風給気カギリ）	ゴムライフル ゴムライフル	ゴムライフル ゴムライフル	ゴムライフル ゴムライフル	ゴムライフル ゴムライフル		
海水ポンプ（原子炉制御冷却海水ポンプ）	（参考文献）：石塚末豊、中道政志、896、飯野書店、P312	（参考文献）：石塚末豊、中道政志、896、飯野書店、P312	（参考文献）：石塚末豊、中道政志、896、飯野書店、P312	（参考文献）：石塚末豊、中道政志、896、飯野書店、P312	（参考文献）：石塚末豊、中道政志、896、飯野書店、P312	（参考文献）：石塚末豊、中道政志、896、飯野書店、P312	（参考文献）：石塚末豊、中道政志、896、飯野書店、P312
・非常用換気空調設備	（参考文献）：石塚末豊、中道政志、896、飯野書店、P312	（参考文献）：石塚末豊、中道政志、896、飯野書店、P312	（参考文献）：石塚末豊、中道政志、896、飯野書店、P312	（参考文献）：石塚末豊、中道政志、896、飯野書店、P312	（参考文献）：石塚末豊、中道政志、896、飯野書店、P312	（参考文献）：石塚末豊、中道政志、896、飯野書店、P312	（参考文献）：石塚末豊、中道政志、896、飯野書店、P312
海水ポンプ（原子炉制御冷却海水ポンプ）	（参考文献）：石塚末豊、中道政志、896、飯野書店、P312	（参考文献）：石塚末豊、中道政志、896、飯野書店、P312	（参考文献）：石塚末豊、中道政志、896、飯野書店、P312	（参考文献）：石塚末豊、中道政志、896、飯野書店、P312	（参考文献）：石塚末豊、中道政志、896、飯野書店、P312	（参考文献）：石塚末豊、中道政志、896、飯野書店、P312	（参考文献）：石塚末豊、中道政志、896、飯野書店、P312
影響因子	評価対象施設等	評価対象部位	露食対策	仕様①	仕様②		
原子炉制御冷却海水ポンプ	揚水管 インペラ、主軸	金屬材料 金屬材料	金屬材料 金屬材料	金屬材料 金屬材料	金屬材料 金屬材料		
水循環系への化学的影響（露食）に対する化学的影響（露食）	ストレーナ内面	ゴムライニング ゴムライニング ゴムライニング ゴムライニング ゴムライニング ゴムライニング チタン合金	ゴムライニング ゴムライニング ゴムライニング ゴムライニング ゴムライニング ゴムライニング チタン合金	ゴムライニング ゴムライニング ゴムライニング ゴムライニング ゴムライニング ゴムライニング チタン合金	ゴムライニング ゴムライニング ゴムライニング ゴムライニング ゴムライニング ゴムライニング チタン合金		
・海水取水設備（除塵装置）	配管 熱交換器水室 伝熱管及び伝熱板等	金屬材料 金屬材料	金屬材料 金屬材料	金屬材料 金屬材料	金屬材料 金屬材料		
換気系、電気系及び計測防衛系に対する化学的影響（露食）	スクリーン 吸気消音器 換気空調設備 換気空調設備 （補助送風給気カギリ）	ゴムライフル ゴムライフル	ゴムライフル ゴムライフル	ゴムライフル ゴムライフル	ゴムライフル ゴムライフル		
海水ポンプ（原子炉制御冷却海水ポンプ）	（参考文献）：石塚末豊、中道政志、896、飯野書店、P312	（参考文献）：石塚末豊、中道政志、896、飯野書店、P312	（参考文献）：石塚末豊、中道政志、896、飯野書店、P312	（参考文献）：石塚末豊、中道政志、896、飯野書店、P312	（参考文献）：石塚末豊、中道政志、896、飯野書店、P312	（参考文献）：石塚末豊、中道政志、896、飯野書店、P312	（参考文献）：石塚末豊、中道政志、896、飯野書店、P312
影響因子	評価対象施設等	評価対象部位	露食対策	仕様①	仕様②		
原子炉制御冷却海水ポンプ	揚水管 インペラ、主軸	金屬材料 金屬材料	金屬材料 金屬材料	金屬材料 金屬材料	金屬材料 金屬材料		
水循環系への化学的影響（露食）に対する化学的影響（露食）	ストレーナ内面	ゴムライニング ゴムライニング ゴムライニング ゴムライニング ゴムライニング ゴムライニング チタン合金	ゴムライニング ゴムライニング ゴムライニング ゴムライニング ゴムライニング ゴムライニング チタン合金	ゴムライニング ゴムライニング ゴムライニング ゴムライニング ゴムライニング ゴムライニング チタン合金	ゴムライニング ゴムライニング ゴムライニング ゴムライニング ゴムライニング ゴムライニング チタン合金		
・海水取水設備（除塵装置）	配管 熱交換器水室 伝熱管及び伝熱板等	金屬材料 金屬材料	金屬材料 金屬材料	金屬材料 金屬材料	金屬材料 金屬材料		
換気系、電気系及び計測防衛系に対する化学的影響（露食）	スクリーン 吸気消音器 換気空調設備 換気空調設備 （補助送風給気カギリ）	ゴムライフル ゴムライフル	ゴムライフル ゴムライフル	ゴムライフル ゴムライフル	ゴムライフル ゴムライフル		
海水ポンプ（原子炉制御冷却海水ポンプ）	（参考文献）：石塚末豊、中道政志、896、飯野書店、P312	（参考文献）：石塚末豊、中道政志、896、飯野書店、P312	（参考文献）：石塚末豊、中道政志、896、飯野書店、P312	（参考文献）：石塚末豊、中道政志、896、飯野書店、P312	（参考文献）：石塚末豊、中道政志、896、飯野書店、P312	（参考文献）：石塚末豊、中道政志、896、飯野書店、P312	（参考文献）：石塚末豊、中道政志、896、飯野書店、P312

第6条 外部からの衝撃による損傷の防止（火山：別添資料1）

大飯発電所3／4号炉	女川原子力発電所2号炉	泊発電所3号炉	相違理由
<p>補足資料－10 1.0. ディーゼル発電機吸気消音器の吸気フィルタへの影響について</p> <p>大気中の火山灰を吸入することによるディーゼル発電機吸気消音器の吸気フィルタへの影響について以下に示す。</p> <p>1. ディーゼル発電機の吸気消音器吸気フィルタの閉塞 下図のとおり、ディーゼル発電機の吸気消音器は屋外からの給気口が下向きに設置されており、火山灰を吸い込みにくい構造である。</p> <p>仮に浮遊性粒子の吸い込みを考慮しても、浮遊性粒子は粒径が小さいこと、降下速度が比較的遅いことから、フィルタは目詰まりしにくく、フィルタは容易に閉塞しない。仮にディーゼル機関内に侵入しても火山灰は硬度が小さく、破碎しやすいことから、ディーゼル機関内部の磨耗等による影響は小さい。また、ディーゼル発電機は、万一封止が閉塞するおそれが生じたとしても、フィルタの清掃や取替えを行うことも可能である。</p>  <p>図 ディーゼル発電機の吸気口</p>	<p>補足資料－5 降下火碎物による非常用ディーゼル発電機の吸気に係るバグフィルタの影響評価について</p> <p>非常用ディーゼル発電機の吸気は換気空調系のバグフィルタ（粒径約$2\mu\text{m}$に対して80%以上を捕捉する性能）を介した換気空気を吸入しているため、降下火碎物の侵入による非常用ディーゼル発電機への影響は小さいと考えられる。なお、バグフィルタの手前には、外気取り入口に下向き羽根のついたルーバーが設置されており、降下火碎物により容易に閉塞しないと考えられるが、閉塞までの灰捕集容量について、以下のとおり評価する。</p> <p>1. 降下火碎物によるバグフィルタ閉塞試験 バグフィルタの閉塞試験は、実機で使用しているバグフィルタを用い、実際の火山灰を用いて実施した。</p> <p>(1) 試験装置の構成 試験装置は図1に示すように、下流側にプロアを設置し、フィルタ通過風量が非常用ディーゼル発電機運転時と同様となるように流量調整が可能な設計とする。上流には粉塵発生装置を設置し、規定の火山灰を供給する。</p>  <p>図1 試験装置の構成</p> <p>(2) 試験条件及び試験方法 a. 試験条件 ・降下火碎物の濃度 降下火碎物の大気中濃度には、評価対象火山のうち堆積層厚の最大値を与える鳴子カルデラに対して、「原子力発電所の火山影響評価ガイド」に示される数値シミュレーション（Tephra2）により気中降下火碎</p>	<p>補足資料－5 ディーゼル発電機吸気消音器の吸気フィルタへの影響について</p> <p>大気中の降下火碎物を吸入することによるディーゼル発電機吸気消音器の吸気フィルタへの影響について以下に示す。</p> <p>1. ディーゼル発電機の吸気消音器吸気フィルタの閉塞 図1のとおり、ディーゼル発電機の吸気消音器は屋外からの給気口が下向きに設置されており、降下火碎物を吸い込みにくい構造である。</p> <p>仮に浮遊性粒子の吸い込みを考慮しても、浮遊性粒子は粒径が小さいこと、降下速度が比較的遅いことから、フィルタは目詰まりしにくく、フィルタは容易に閉塞しない。仮にディーゼル機関内に侵入しても降下火碎物は硬度が小さく、破碎しやすいことから、ディーゼル機関内部の磨耗等による影響は小さい。また、ディーゼル発電機は、万一封止が閉塞するおそれが生じたとしても、フィルタの清掃や取替えを行うことも可能である。</p>  <p>図1 ディーゼル発電機の吸気口</p>	<p>【女川】 設備の相違 ・泊は火山灰フィルタを設置する方針としているため、同様の評価は行っていない 【大飯】 記載表現の相違</p>

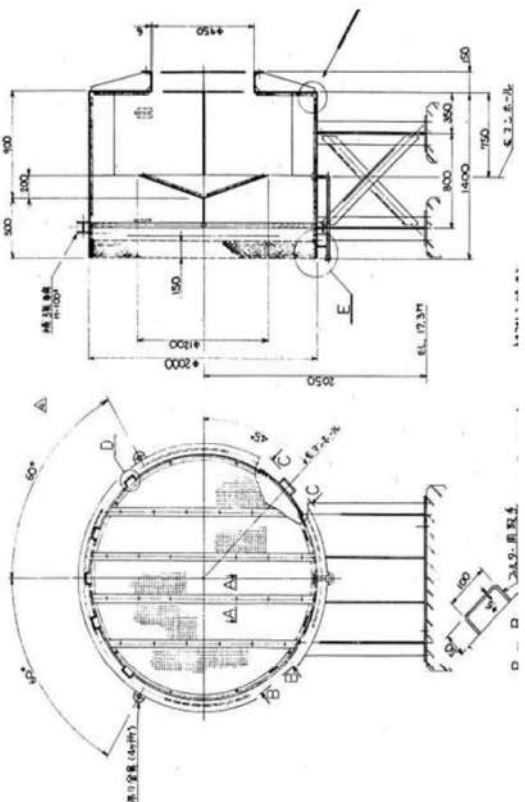
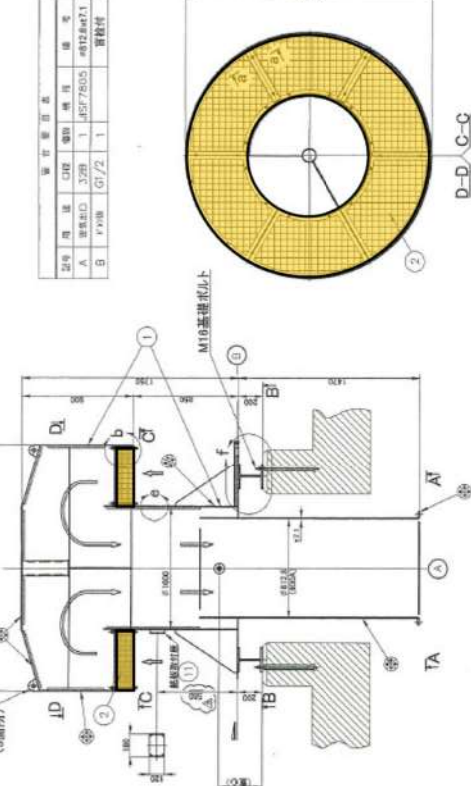
泊発電所3号炉 DB基準適合性 比較表

赤字：設備、運用又は体制の相違（設計方針の相違）
 青字：記載箇所又は記載内容の相違（記載方針の相違）
 緑字：記載表現、設備名称の相違（実質的な相違なし）

第6条 外部からの衝撃による損傷の防止（火山：別添資料1）

大飯発電所3／4号炉	女川原子力発電所2号炉	泊発電所3号炉	相違理由
<p>なお、念のため、仮に大気中の火山灰がフィルタへすべて付着したと想定し、アイスランド火山による観測最大濃度を用いて評価した結果、以下に示すとおり、フィルタ閉塞時間は約18時間であり、フィルタ交換は概ね1台当たり約0.4時間で取替えが可能である。</p> <p>＜参考＞ディーゼル発電機の吸気フィルタの閉塞時間の試算 以下の想定時におけるディーゼル機関の吸気フィルタの閉塞までの時間評価を行うと、約18時間ディーゼル発電機は運転が可能との結果となる。</p> <p>[ダスト捕集量／1時間当たりの付着量=⑤÷(①×②)]</p> <p>【想定】</p> <p>①火山灰の大気中濃度：3,241 μg/m³ ^{※1} ②DG発電機吸気流量：52,500m³/h ③DG発電機吸気フィルタ火山灰捕集容量：1,000g/m² ^{※2} ④DGフィルタ表面積：3.14m² ⑤DGフィルタでのダスト（火山灰）捕集量：3,140g ^{※2}</p> <p>(※1) アイスランド南部エイヤヒヤトラ氷河で発生(H22年4月)した火山噴火地点から約40km離れたヘイマランド地区における大気中の火山灰濃度値(24時間観測ピーク値)</p> <p>(※2) DG発電機吸気フィルタの「火山灰捕集容量」、「ダスト（火山灰）捕集量」については、添付の参考資料「DG発電機吸気フィルタの火山灰捕集容量（捕集量）の算定方法について」参照</p>	<p>物濃度を推定する手法に基づき、算出される値 2.7g/m³ (以下「参考濃度」という。) を用いた。</p> <ul style="list-style-type: none"> 降下火砕物の粒径 降下火砕物の粒径は、参考濃度の算出で用いる数値シミュレーション (Tephra2) によって得られた粒径分布を基に表1のとおり設定した。 <p>表1 試験にて噴霧する降下火砕物の粒径</p>  <p>・試験風量 非常用ディーゼル発電機の吸気に係わるバグフィルタの定格風量 () m³/h とした。</p> <p>・試験方法 フィルタの差圧を連続的に測定し、差圧が設定値（系統要求値）に到達するまでの火山灰の供給量を測定する。</p> <p>(3) 判定基準 バグフィルタ差圧（圧力損失）の判定基準は、設計値（系統要求値）の () Pa とした。</p> <p>枠囲みの内容は商業機密の観点から公開できません</p> <p>(4) 試験結果 バグフィルタの差圧と捕集重量の関係を図2に示す。図2より、バグフィルタの差圧が設定値である () Pa に到達したときの灰捕集量は約 () g/枚であった。</p>	<p>なお、念のため、仮に大気中の降下火砕物がフィルタへすべて付着したと想定し、アイスランド火山による観測最大濃度を用いて評価した結果、以下に示すとおり、フィルタ閉塞時間は約19時間であり、フィルタ交換は概ね1台当たり約0.7時間で取替えが可能である。</p> <p>＜参考＞ディーゼル機関の吸気フィルタの閉塞時間の試算 以下の想定時におけるディーゼル発電機の吸気フィルタの閉塞までの時間評価を行うと、約19時間運転が可能との結果となる。</p> <p>[ダスト捕集量／1時間あたりの付着量=⑤÷(①×②)]</p> <p>【想定】</p> <p>①降下火砕物の大気中濃度：3,241 μg/m³ ^{※1} ②ディーゼル発電機吸気流量：38,000m³/h ③ディーゼル発電機吸気フィルタ降下火砕物捕集容量：1,000g/m² ^{※2} ④ディーゼル発電機吸気フィルタ表面積：2.3m² ⑤ディーゼル発電機吸気フィルタでのダスト捕集量：2,300g ^{※2}</p> <p>※1 アイスランド南部エイヤヒヤトラ氷河で発生(H22年4月)した火山噴火地点から約40km離れたヘイマランド地区における大気中の降下火砕物濃度値(24時間観測ピーク値)</p> <p>※2 ディーゼル発電機吸気フィルタの「降下火砕物捕集容量」、「ダスト（降下火砕物）捕集量」については、添付の参考資料「ディーゼル発電機吸気フィルタの降下火砕物捕集容量（捕集量）の算定方法について」参照</p>	<p>【大飯】 記載表現の相違 【大飯】 評価結果の相違</p> <p>【大飯】 評価結果の相違</p> <p>【大飯】 記載表現の相違 【大飯】 評価条件の相違</p> <p>【大飯】 設備名称の相違</p> <p>【大飯】 要因、時間の相違</p>
<p>【手順】</p> <ol style="list-style-type: none"> 層状フィルタのカバー取付けナットを緩めて、カバーを外す。 層状フィルタを外す。 層状フィルタ及び収納部を清掃する。 組立前の内部確認を行う。 層状フィルタを取付ける。 カバーを取付ける。 <p>【要員】：4人、【所要時間】：約20分</p>	<p>【手順】</p> <ol style="list-style-type: none"> 層状フィルタの押さえ板の取り付けナットを緩めて、押さえ板を外す。 層状フィルタを外す。 層状フィルタ及び収納部を清掃する。 組立前の内部確認をする。 層状フィルタを取り付ける。 押さえ板を取り付ける。 <p>【要員】：3人、【所要時間】：40分</p>		

第6条 外部からの衝撃による損傷の防止（火山：別添資料1）

大飯発電所3／4号炉	女川原子力発電所2号炉	泊発電所3号炉	相違理由												
 <p>図 ディーゼル発電機の吸気口</p> <p>以上</p>	<p>図2 バグフィルタ閉塞試験の結果</p> <p>表2に吸気バグフィルタ閉塞までの保持容量の比較を示す。吸気バグフィルタの閉塞までの灰捕集容量は設計値である粉塵保持容量g/枚に対して□倍程度となった。</p> <p>なお、本試験は現在継続中であり、今後実施予定の試験等についても適切に反映していく。</p> <p>表2 吸気バグフィルタ閉塞までの保持容量の比較</p> <table border="1"> <thead> <tr> <th></th> <th>粉塵保持容量^{※1}</th> <th>降下火砕物による試験結果に基づく灰捕集容量</th> </tr> </thead> <tbody> <tr> <td>① バグフィルタ ダスト保持容量(g/枚)</td> <td>□</td> <td>□</td> </tr> <tr> <td>② バグフィルタ 1枚あたりの定格風量(m³/h)</td> <td>□</td> <td>□</td> </tr> <tr> <td>③ 降下火砕物の大気中濃度(g/m³)</td> <td>2.7</td> <td></td> </tr> </tbody> </table> <p>※1：定格風量で最終圧力損失に達した時点においてバグフィルタが保持している粉塵量の設計値。（試験用粉体は換気エアフィルタユニットの性能試験方法（JIS B 9908）で用いられる、JIS Z 8901の試験粉体1-15種を使用）</p> <p>枠囲みの内容は商業機密の観点から公開できません</p> <p>2. バグフィルタの閉塞に対する対応</p> <p>非常用ディーゼル発電機の吸気バグフィルタは1系統あたり最大で48枚で構成されており、バグフィルタの取替え又は清掃に複雑な作業の必要はない。</p> <p>ただし、参考濃度を想定した場合には取替え又は清掃時のバグフィルタの重量が通常時よりも重くなることで、時間や要員が多く必要になると考えられるため、取替え又は清掃に要する要員及び手順については、これらの結果を踏まえて今後検討を行うこととする。非常用ディーゼル発電機のバグフィルタの写真を図3に示す。</p> <p>なお、今後実施予定の試験等についても適切に対応に反映していく。</p>		粉塵保持容量 ^{※1}	降下火砕物による試験結果に基づく灰捕集容量	① バグフィルタ ダスト保持容量(g/枚)	□	□	② バグフィルタ 1枚あたりの定格風量(m ³ /h)	□	□	③ 降下火砕物の大気中濃度(g/m ³)	2.7		 <p>図2 ディーゼル発電機の吸気口</p> <p>以上</p>	
	粉塵保持容量 ^{※1}	降下火砕物による試験結果に基づく灰捕集容量													
① バグフィルタ ダスト保持容量(g/枚)	□	□													
② バグフィルタ 1枚あたりの定格風量(m ³ /h)	□	□													
③ 降下火砕物の大気中濃度(g/m ³)	2.7														

泊発電所 3号炉 DB基準適合性 比較表

第6条 外部からの衝撃による損傷の防止 (火山:別添資料1)

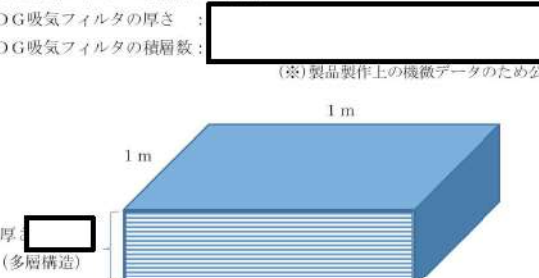
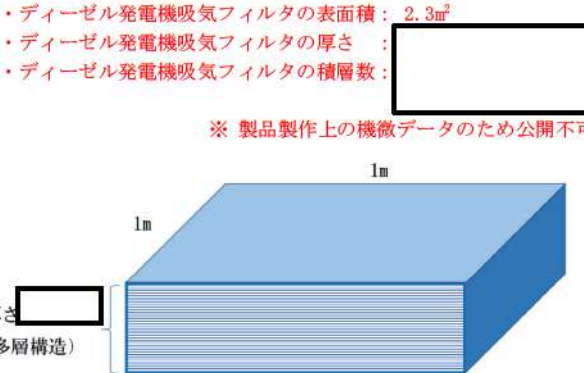
赤字: 設備、運用又は体制の相違 (設計方針の相違)
 青字: 記載箇所又は記載内容の相違 (記載方針の相違)
 緑字: 記載表現、設備名称の相違 (実質的な相違なし)

大飯発電所3／4号炉	女川原子力発電所2号炉	泊発電所3号炉	相違理由
	 <p>(バグフィルタ入口側)</p>  <p>(バグフィルタ出口側)</p> <p>図3 非常用ディーゼル発電機のバグフィルタ</p> <p style="text-align: right;">以 上</p>		

泊発電所3号炉 DB基準適合性 比較表

赤字：設備、運用又は体制の相違（設計方針の相違）
 青字：記載箇所又は記載内容の相違（記載方針の相違）
 緑字：記載表現、設備名称の相違（実質的な相違なし）

第6条 外部からの衝撃による損傷の防止（火山：別添資料1）

大飯発電所3／4号炉	女川原子力発電所2号炉	泊発電所3号炉	相違理由
<p>参考資料 DG発電機吸気フィルタの火山灰捕集容量（捕集量）の算定方法について</p> <p>1. DG発電機吸気フィルタ火山灰捕集容量：1,000g/m²の算定方法</p> <p>DG吸気フィルタは鋼線を格子状に編み込んだフィルタが多層に積層された構造（図「DG吸気フィルタの多層構造（概念図）」参照）をしており、本フィルタの仕様は以下の通りである。</p> <ul style="list-style-type: none"> DG吸気フィルタの空間率：98.2%（フィルタメーカーのカタログ値） DG吸気フィルタの表面積：3.14m² DG吸気フィルタの厚さ：[] DG吸気フィルタの積層数：[] (※)製品製作上の機微データのため公開不可  <p>図 DG吸気フィルタの多層構造（概念図）</p> <p>なお、本フィルタについて、火山灰の捕集容量に係る性能規定値等がないため、上記の仕様を用いて、以下の通り、単位面積当たりの火山灰捕集容量を試算し設定している。</p> <p>(1) 単位面積当たりのDG吸気フィルタの空間量 (m³/m²) []</p> <p>(2) 単位面積当たりのフィルタ灰捕集容量 (g/m²) 火山灰の捕集容量の想定に当たり、厚さ[]のフィルタの全ての空間に火山灰が取り込まれたと想定すると、添付六記載の火山灰の最低密度0.7g/cm³より、灰捕集容量は次の通りとなる。 []</p> <p>枠囲みの範囲は機密に係る事項ですので公開することはできません</p>		<p>参考資料 ディーゼル発電機吸気フィルタの降下火砕物捕集容量（捕集量）の算定方法について</p> <p>1. ディーゼル発電機吸気フィルタ降下火砕物捕集容量：1,000g/m²の算定方法</p> <p>ディーゼル発電機吸気フィルタは鋼線を格子状に編み込んだフィルタが多層に積層された構造（図3「ディーゼル発電機吸気フィルタの多層構造（概念図）」参照）をしており、本フィルタの仕様は以下の通りである。</p> <ul style="list-style-type: none"> ディーゼル発電機吸気フィルタの空間率：98.2%（フィルタメーカーのカタログ値） ディーゼル発電機吸気フィルタの表面積：2.3m² ディーゼル発電機吸気フィルタの厚さ：[] ディーゼル発電機吸気フィルタの積層数：[] (※)製品製作上の機微データのため公開不可  <p>図3 ディーゼル発電機吸気フィルタの多層構造（概念図）</p> <p>なお、本フィルタについて、降下火砕物の捕集容量に係る性能規定値等がないため、上記の仕様を用いて、以下の通り、単位面積当たりの降下火砕物捕集容量を試算し設定している。</p> <p>(1) 単位面積当たりのディーゼル吸気フィルタの空間量 (m³/m²) []</p> <p>(2) 単位面積当たりのフィルタ灰捕集容量 (g/m²) 降下火砕物の捕集容量の想定に当たり、厚さ[]のフィルタのすべての空間に降下火砕物が取り込まれたと想定すると、添付六記載の降下火砕物の最低密度0.7g/cm³より、降下火砕物捕集容量は次の通りとなる。 []</p> <p>枠囲みの範囲は機密に係る事項ですので公開することはできません</p>	<p>【女川】 設備の相違 ・泊は火山灰フィルタを設置する方針をしているため、バグフィルタの評価は行っていない</p> <p>【大飯】 設備名称の相違</p>

泊発電所 3号炉 DB基準適合性 比較表

第6条 外部からの衝撃による損傷の防止 (火山:別添資料1)

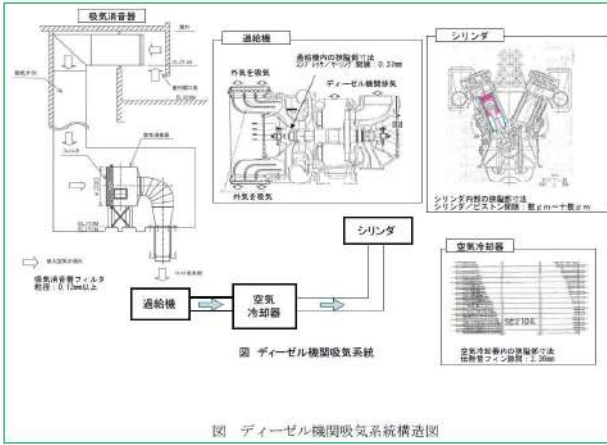
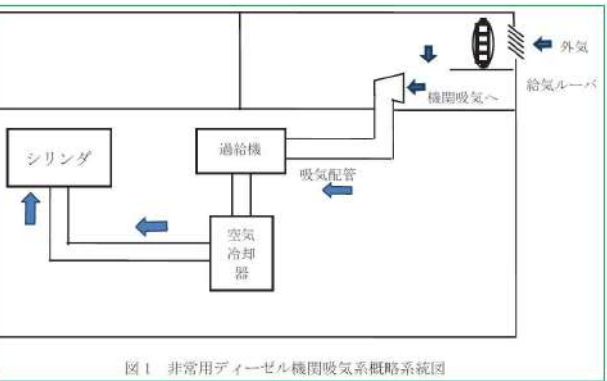
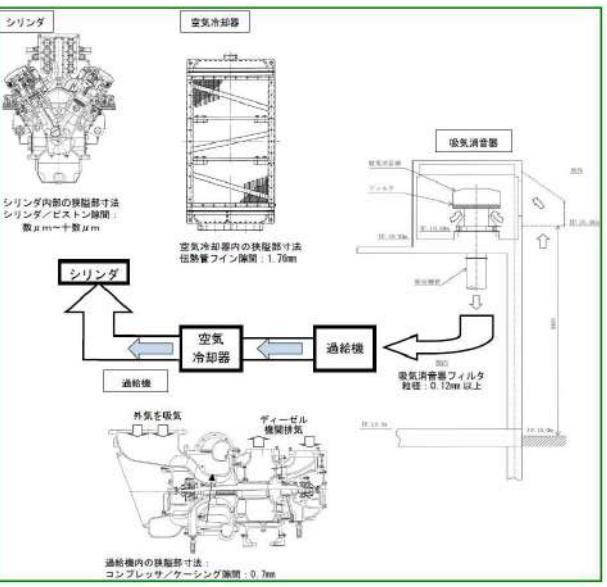
赤字: 設備、運用又は体制の相違 (設計方針の相違)
 青字: 記載箇所又は記載内容の相違 (記載方針の相違)
 緑字: 記載表現、設備名称の相違 (実質的な相違なし)

大飯発電所3／4号炉	女川原子力発電所2号炉	泊発電所3号炉	相違理由
<p>しかしながら、理想的に全ての空間に火山灰が捕集されるとは考えにくいことから、ここでは、保守的に、多層フィルタのうち、表層1層目だけに灰の捕集が期待されるものと想定し、以下の通りフィルタの灰捕集容量を試算し設定している。</p> <p>①単位面積当たりの表層のフィルタ1層分の空間量 (m^3/m^2) (約 1,000g/m²)</p> <p>②単位面積当たりの表層のフィルタ1層分による灰捕集容量 (m^3/m^2) (約 1,000g/m²) 火山灰の最低密度 $0.7g/cm^3$ より、灰捕集容量は次の通りとなる。 (約 1,000g/m²) この捕集容量を「ディーゼル発電機の吸気フィルタの閉塞時間の試算」に用いる火山灰の捕集容量として設定し、DG吸気フィルタの閉塞時間の試算を行っている。</p> <p>2. DGフィルタでのダスト捕集量: 3,140g の算定方法</p> <p>DG吸気フィルタでのダスト捕集量は、前述の1.で設定した火山灰の捕集容量 $1,000g/m^2$ より、以下の通り DG吸気フィルタの表面積 $3.14m^2$ を乗じて算出している。 • DGフィルタでのダスト (火山灰) 捕集量 : $1,000g/m^2 \times 3.14m^2 = 3,140g$</p> <p style="text-align: center;">以 上</p> <p>枠囲みの範囲は機密に係る事項ですので公開することはできません</p>		<p>しかしながら、理想的にすべての空間に降下火砕物が捕集されるとは考えにくいことから、ここでは、保守的に、多層フィルタのうち、表層1層目だけに降下火砕物の捕集が期待されるものと想定し、以下の通りフィルタの降下火砕物捕集容量を試算し設定している。</p> <p>①単位面積当たりの表層のフィルタ1層分の空間量 (m^3/m^2) (約 1,000g/m²)</p> <p>②単位面積当たりの表層のフィルタ1層分による降下火砕物捕集容量 (m^3/m^2) (約 1,000g/m²) 降下火砕物の最低密度 $0.7g/cm^3$ より、降下火砕物捕集容量は次の通りとなる。 (約 1,000g/m²) この捕集容量を「ディーゼル発電機の吸気フィルタの閉塞時間の試算」に用いる降下火砕物の捕集容量として設定し、ディーゼル発電機吸気フィルタの閉塞時間の試算を行っている。</p> <p>2. ディーゼル発電機吸気フィルタでのダスト捕集量: 2,300g の算定方法</p> <p>ディーゼル発電機吸気フィルタでのダスト捕集量は、前述の1.で設定した降下火砕物の捕集容量 $1,000g/m^2$ より、以下の通りディーゼル発電機吸気フィルタの表面積 $2.3m^2$ を乗じて算出している。 • ディーゼル発電機吸気フィルタでのダスト (降下火砕物) 捕集量 : $1,000g/m^2 \times 2.3m^2 = 2,300g$</p> <p style="text-align: center;">以 上</p> <p>枠囲みの範囲は機密に係る事項ですので公開することはできません</p>	

泊発電所3号炉 DB基準適合性 比較表

赤字：設備、運用又は体制の相違（設計方針の相違）
 青字：記載箇所又は記載内容の相違（記載方針の相違）
 緑字：記載表現、設備名称の相違（実質的な相違なし）

第6条 外部からの衝撃による損傷の防止（火山：別添資料1）

大飯発電所3／4号炉	女川原子力発電所2号炉	泊発電所3号炉	相違理由
<p>補足資料-9 9. 火山灰侵入によるディーゼル機関空気冷却器への影響について</p> <p>ディーゼル機関空気冷却器への火山灰による冷却機能への影響について以下に示す。</p> <p>ディーゼル機関の吸気系統の構造は以下のようになっており、吸気消音器から給気された大気中の火山灰がフィルタや過給機を経て一部空気冷却器に侵入し、空気冷却器を通過する際に、仮に冷却器内が結露していた場合、伝熱管に火山灰が付着し冷却機能へ影響を及ぼす可能性があるが、空気冷却器出口温度は、吸入空気の温度（外気温度）より常に高い状態で運転されるため冷却器は結露することはなく、火山灰の付着による冷却機能への影響はない。</p>  <p>図 ディーゼル機関吸気系統構造図</p> <p style="text-align: center;">以上</p>	<p>補足資料-6 降下火碎物の侵入による非常用ディーゼル機関空気冷却器への影響について</p> <p>非常用ディーゼル機関空気冷却器への降下火碎物による冷却機能への影響について以下に示す。</p> <p>非常用ディーゼル機関の吸気系統の構造は以下のようになっており、給気ルーバから給気された大気中の降下火碎物がフィルタや過給機を経て一部空気冷却器に侵入し、空気冷却器を通過する際に、仮に冷却器内が結露していた場合、伝熱管に降下火碎物が付着し冷却機能へ影響を及ぼす可能性があるが、空気冷却器出口温度は、吸入空気の温度（外気温度）より常に高い状態で運転されるため冷却器は結露することはなく、降下火碎物の付着による冷却機能への影響はない。図1に非常用ディーゼル機関吸気系の概略系統図を示す。</p>  <p>図1 非常用ディーゼル機関吸気系概略系統図</p> <p style="text-align: center;">以上</p>	<p>補足資料-6 降下火碎物の侵入によるディーゼル発電機空気冷却器への影響について</p> <p>ディーゼル発電機空気冷却器への降下火碎物による冷却機能への影響について以下に示す。</p> <p>ディーゼル機関の吸気系統の構造は以下のようになっており、給気ガラリから給気された大気中の降下火碎物がフィルタや過給機を経て一部空気冷却器に侵入し、空気冷却器を通過する際に、仮に冷却器内が結露していた場合、伝熱管に降下火碎物が付着し冷却機能へ影響を及ぼす可能性があるが、空気冷却器出口温度は、吸入空気の温度（外気温度）より常に高い状態で運転されるため冷却器は結露することはなく、降下火碎物の付着による冷却機能への影響はない。図1にディーゼル機関吸気系の概略系統図を示す。</p>  <p>図1 ディーゼル機関吸気系概略系統図</p> <p style="text-align: center;">以上</p>	<p>【大飯】記載表現の相違 【女川】記載表現の相違 ・設備名称の相違</p> <p>【大飯】記載表現の相違 【女川】記載表現の相違 ・名称の相違</p> <p>【大飯、女川】記載表現の相違 ・ディーゼル機関の吸気系統に相違はない</p>

泊発電所3号炉 DB基準適合性 比較表

第6条 外部からの衝撃による損傷の防止 (火山:別添資料1)

赤字: 設備、運用又は体制の相違 (設計方針の相違)
 青字: 記載箇所又は記載内容の相違 (記載方針の相違)
 緑字: 記載表現、設備名称の相違 (実質的な相違なし)

大飯発電所3／4号炉	女川原子力発電所2号炉	泊発電所3号炉	相違理由																																							
	<p>補足資料-7 降下火碎物の侵入による潤滑油への影響について</p> <p>降下火碎物が、非常用ディーゼル発電機吸気口上流に設置されているバグフィルタを通過し、燃焼用空気とともに機関内に取り込まれ、潤滑油へ混入する場合を想定し、潤滑油に降下火碎物を混入させた状態での潤滑油の成分分析を実施した結果を以下に示す。</p> <p>1. 試験概要 非常用ディーゼル発電機に使用しているものと同様の潤滑油 (マリンT103) に降下火碎物を混入・攪拌させ、間接的影響で期待される運転期間である7日間保管した後、粘性等の成分分析を実施した。</p> <p>2. 試験条件 (1) 潤滑油中の降下火碎物濃度 想定される潤滑油中の降下火碎物の濃度は、表1より □ g/L となるが、本試験においては保守的に降下火碎物の濃度を □ g/L とした。 また、潤滑油中の降下火碎物の濃度依存性を確認するため、参考に □ g/L の降下火碎物の濃度においても試験を実施した。</p> <p style="text-align: center;">表1 想定される潤滑油中の降下火碎物濃度</p> <table border="1"> <thead> <tr> <th>非常用ディーゼル発電機</th> <th>非常用ディーゼル発電機</th> </tr> </thead> <tbody> <tr> <td>①非常用ディーゼル発電機の吸気用として外気取込口から取込まれる降下火碎物の総量(g) $= a \times b \times c$</td> <td>□</td> </tr> <tr> <td>a. 非常用ディーゼル発電機の吸気風量(m³/h)</td> <td>□</td> </tr> <tr> <td>b. 気中降下火碎物算定時に仮定する降灰継続時間(h)</td> <td>24</td> </tr> <tr> <td>c. 火山影響評価ガイドに定める手法で算定した気中降下火碎物濃度(g/m³)^{※1}</td> <td>2.7</td> </tr> <tr> <td>②非常用ディーゼル発電機(機関)に取込まれる降下火碎物(g) $= ① \times (100-d) / 100 \times e / 100$</td> <td>□</td> </tr> <tr> <td>d. 非常用換気空調系のバグフィルタの除去効率(%)</td> <td>80</td> </tr> <tr> <td>e. 非常用換気空調系のバグフィルタを通過する降下火碎物の粒径割合(%)^{※2}</td> <td>□</td> </tr> <tr> <td>③非常用ディーゼル発電機潤滑油系の潤滑油量(l)</td> <td>□</td> </tr> <tr> <td>④潤滑油中の降下火碎物濃度(g/l) $= ② \div ③$</td> <td>□</td> </tr> </tbody> </table> <p>※1: 降下火碎物の大気中濃度は、評価対象火山の一つである鳴子カルデラに対して、「原子力発電所の火山影響評価ガイド」に示される気中降下火碎物濃度を数値シミュレーションにより推定する手法に基づき、算出される値 2.7 g/m³ を用いた。 ※2: 2 μm以下の降下火碎物の割合。</p> <p>枠囲みの内容は商業機密の観点から公開できません</p>	非常用ディーゼル発電機	非常用ディーゼル発電機	①非常用ディーゼル発電機の吸気用として外気取込口から取込まれる降下火碎物の総量(g) $= a \times b \times c$	□	a. 非常用ディーゼル発電機の吸気風量(m ³ /h)	□	b. 気中降下火碎物算定時に仮定する降灰継続時間(h)	24	c. 火山影響評価ガイドに定める手法で算定した気中降下火碎物濃度(g/m ³) ^{※1}	2.7	②非常用ディーゼル発電機(機関)に取込まれる降下火碎物(g) $= ① \times (100-d) / 100 \times e / 100$	□	d. 非常用換気空調系のバグフィルタの除去効率(%)	80	e. 非常用換気空調系のバグフィルタを通過する降下火碎物の粒径割合(%) ^{※2}	□	③非常用ディーゼル発電機潤滑油系の潤滑油量(l)	□	④潤滑油中の降下火碎物濃度(g/l) $= ② \div ③$	□	<p>補足資料-7 降下火碎物の侵入による潤滑油への影響について</p> <p>降下火碎物が、ディーゼル発電機吸気口上流に設置されている吸気フィルタを通過し、燃焼用空気とともに機関内に取り込まれ、潤滑油へ混入する場合を想定し、潤滑油に降下火碎物を混入させた状態での潤滑油の成分分析を実施した結果を以下に示す。</p> <p>1. 試験概要 ディーゼル発電機に使用しているものと同様の潤滑油 (マリンT104) に降下火碎物を混入・攪拌させ、間接的影響で期待される運転期間である7日間保管した後、粘性等の成分分析を実施した。</p> <p>2. 試験条件 (1) 潤滑油中の降下火碎物濃度 想定される潤滑油中の降下火碎物の濃度は、表1より □ g/L となるが、本試験においては保守的に降下火碎物の濃度を □ g/L とした。 また、潤滑油中の降下火碎物の濃度依存性を確認するため、参考に □ g/L の降下火碎物の濃度においても試験を実施した。</p> <p style="text-align: center;">表1 想定される潤滑油中の降下火碎物濃度</p> <table border="1"> <thead> <tr> <th>ディーゼル発電機</th> </tr> </thead> <tbody> <tr> <td>①ディーゼル発電機の吸気用として吸入口から取込まれる降下火碎物の総量(g) $= a \times b \times c$</td> <td>□</td> </tr> <tr> <td>a. ディーゼル発電機の吸気風量(m³/h)</td> <td>□</td> </tr> <tr> <td>b. 気中降下火碎物算定時に仮定する降灰継続時間(h)</td> <td>24</td> </tr> <tr> <td>c. 火山影響評価ガイドに定める手法で算定した気中降下火碎物濃度(g/m³)^{※1}</td> <td>3.7</td> </tr> <tr> <td>②ディーゼル発電機機間に取込まれる降下火碎物(g) $= ① \times (100-d) / 100 \times e / 100$</td> <td>□</td> </tr> <tr> <td>d. 吸気フィルタの除去効率(%)</td> <td>90</td> </tr> <tr> <td>e. 吸気フィルタを通過する降下火碎物の粒径割合(%)^{※2}</td> <td>□</td> </tr> <tr> <td>③ディーゼル発電機潤滑油系の潤滑油量(l)</td> <td>□</td> </tr> <tr> <td>④潤滑油中の降下火碎物濃度(g/L) $= ② \div ③$</td> <td>□</td> </tr> </tbody> </table> <p>※1: 降下火碎物の大気中濃度は、評価対象火山の1つである恵庭岳に対して、「原子力発電所の火山影響評価ガイド」に示される気中降下火碎物濃度を数値シミュレーションにより推定する手法に基づき、算出される値 3.7 g/m³ を用いた。 ※2: 0.12mm以下の降下火碎物の割合。</p> <p>枠囲みの内容は商業機密の観点から公開できません</p>	ディーゼル発電機	①ディーゼル発電機の吸気用として吸入口から取込まれる降下火碎物の総量(g) $= a \times b \times c$	□	a. ディーゼル発電機の吸気風量(m ³ /h)	□	b. 気中降下火碎物算定時に仮定する降灰継続時間(h)	24	c. 火山影響評価ガイドに定める手法で算定した気中降下火碎物濃度(g/m ³) ^{※1}	3.7	②ディーゼル発電機機間に取込まれる降下火碎物(g) $= ① \times (100-d) / 100 \times e / 100$	□	d. 吸気フィルタの除去効率(%)	90	e. 吸気フィルタを通過する降下火碎物の粒径割合(%) ^{※2}	□	③ディーゼル発電機潤滑油系の潤滑油量(l)	□	④潤滑油中の降下火碎物濃度(g/L) $= ② \div ③$	□	<p>【女川】 設備名称の相違 【女川】 設計方針の相違 ・プラント設計の相違 によるフィルタ仕様の相違 【女川】 設計方針の相違 ・プラント設計の相違 による使用する潤滑油の相違 【女川】 記載表現の相違</p>
非常用ディーゼル発電機	非常用ディーゼル発電機																																									
①非常用ディーゼル発電機の吸気用として外気取込口から取込まれる降下火碎物の総量(g) $= a \times b \times c$	□																																									
a. 非常用ディーゼル発電機の吸気風量(m ³ /h)	□																																									
b. 気中降下火碎物算定時に仮定する降灰継続時間(h)	24																																									
c. 火山影響評価ガイドに定める手法で算定した気中降下火碎物濃度(g/m ³) ^{※1}	2.7																																									
②非常用ディーゼル発電機(機関)に取込まれる降下火碎物(g) $= ① \times (100-d) / 100 \times e / 100$	□																																									
d. 非常用換気空調系のバグフィルタの除去効率(%)	80																																									
e. 非常用換気空調系のバグフィルタを通過する降下火碎物の粒径割合(%) ^{※2}	□																																									
③非常用ディーゼル発電機潤滑油系の潤滑油量(l)	□																																									
④潤滑油中の降下火碎物濃度(g/l) $= ② \div ③$	□																																									
ディーゼル発電機																																										
①ディーゼル発電機の吸気用として吸入口から取込まれる降下火碎物の総量(g) $= a \times b \times c$	□																																									
a. ディーゼル発電機の吸気風量(m ³ /h)	□																																									
b. 気中降下火碎物算定時に仮定する降灰継続時間(h)	24																																									
c. 火山影響評価ガイドに定める手法で算定した気中降下火碎物濃度(g/m ³) ^{※1}	3.7																																									
②ディーゼル発電機機間に取込まれる降下火碎物(g) $= ① \times (100-d) / 100 \times e / 100$	□																																									
d. 吸気フィルタの除去効率(%)	90																																									
e. 吸気フィルタを通過する降下火碎物の粒径割合(%) ^{※2}	□																																									
③ディーゼル発電機潤滑油系の潤滑油量(l)	□																																									
④潤滑油中の降下火碎物濃度(g/L) $= ② \div ③$	□																																									

泊発電所3号炉 DB基準適合性 比較表

第6条 外部からの衝撃による損傷の防止 (火山:別添資料1)

赤字: 設備、運用又は体制の相違 (設計方針の相違)
 青字: 記載箇所又は記載内容の相違 (記載方針の相違)
 緑字: 記載表現、設備名称の相違 (実質的な相違なし)

大飯発電所3／4号炉	女川原子力発電所2号炉	泊発電所3号炉	相違理由
	<p>(2) 粒径</p> <p>混入させる降下火砕物の粒径は、原子炉補機室換気空調系のバグフィルタ（粒径約 $2\mu\text{m}$ に対し 80%以上を捕獲する性能）を通過した際に想定される $2\mu\text{m}$ 程度とする。</p> <p>なお、$2\mu\text{m}$ 程度は、潤滑油に有意な影響を与える非常用ディーゼル発電機の機関付メッシュ寸法 ($30\mu\text{m}$) と比べて十分小さいため本試験においても降下火砕物の粒径分布は設定しない。</p> <p>(3) 潤滑油温度</p> <p>潤滑油の温度は、非常用ディーゼル発電機の運転時における潤滑油の最高温度である□とする。</p> <p>非常用ディーゼル発電機の運転時における潤滑油の状況を考慮し、降下火砕物を潤滑油に混入させた後の保管期間（7日間）中は、潤滑油の温度を上記温度に保つとともに、定期的に攪拌を実施した。</p> <p>3. 試験項目及び判定基準等</p> <p>降下火砕物が混入した際の潤滑油の粘性等への影響を確認する観点から、表2の試験項目について分析を実施した。</p> <p>補足資料-2より、降下火砕物の影響としては、その粒子による機械的影響（閉塞等）や水に濡れると酸性を呈することによる化学的影响（腐食等）が想定される。そのため、表2の試験項目は、降下火砕物（酸性の可能性がある物質）が混入した場合における塩基価を確認することとした。</p> <p>また、表2の試験項目については、非常用ディーゼル発電機の分解点検の際にも確認している項目であり、判定基準については分解点検の基準と同様とした。なお、各試験項目における分析方法については、JIS規格等に定まるそれぞれの方法にて実施した。</p> <p>枠囲みの内容は商業機密の観点から公開できません</p>	<p>(2) 粒径</p> <p>混入させる降下火砕物の粒径は、吸気フィルタ（粒径約 0.12mm に対し 90%以上を捕獲する性能）を通過し、ディーゼル発電機機間に取り込まれたのち、潤滑油系統に取り込まれる場合に想定される $20\mu\text{m}$ 程度とする。</p> <p>なお、$20\mu\text{m}$ 程度は、潤滑油に有意な影響を与えるディーゼル発電機潤滑油こし器のこし網寸法 ($30\mu\text{m}$) と比べて十分小さいため本試験においても降下火砕物の粒径分布は設定しない。</p> <p>(3) 潤滑油温度</p> <p>潤滑油の温度は、ディーゼル発電機の運転時における潤滑油の最高温度である□とする。</p> <p>ディーゼル発電機の運転時における潤滑油の状況を考慮し、降下火砕物を潤滑油に混入させた後の保管期間（7日間）中は、潤滑油の温度を上記温度に保つとともに、定期的に攪拌を実施した。</p> <p>3. 試験項目及び判定基準等</p> <p>降下火砕物が混入した際の潤滑油の粘性等への影響を確認する観点から、表2の試験項目について分析を実施した。</p> <p>補足資料-2より、降下火砕物の影響としては、その粒子による機械的影響（閉塞等）や水に濡れると酸性を呈することによる化学的影响（腐食等）が想定される。そのため、表2の試験項目は、降下火砕物（酸性の可能性がある物質）が混入した場合における塩基価を確認することとした。</p> <p>また、表2の試験項目については、ディーゼル発電機の分解点検の際にも確認している項目であり、判定基準については分解点検の基準と同様とした。なお、各試験項目における分析方法については、JIS規格等に定まるそれぞれの方法にて実施した。</p> <p>枠囲みの内容は商業機密の観点から公開できません</p>	<p>【女川】設計方針の相違 ・プラント設計の相違による使用する潤滑油の相違及び降下火砕物が潤滑油系統内に取り込まれる条件の相違</p> <p>【女川】設備名称の相違</p> <p>【女川】設計方針の相違 ・プラント設計の相違による設備の相違</p> <p>【女川】設備名称の相違</p>

泊発電所 3号炉 DB基準適合性 比較表

第6条 外部からの衝撃による損傷の防止（火山：別添資料1）

大飯発電所3／4号炉	女川原子力発電所2号炉	泊発電所3号炉	相違理由																				
	<table border="1" style="width: 100%; border-collapse: collapse;"> <thead> <tr> <th style="width: 33%;">試験項目</th> <th style="width: 33%;">測定理由</th> <th style="width: 33%;">判定基準</th> </tr> </thead> <tbody> <tr> <td>引火点・閃</td> <td>未回答 1周潤滑油の栓塞に熱影響する直前ではないが、自動脱脂装置の安全運転で着火を要されない限りの測定結果が正確に得られるようとした。</td> <td style="text-align: center;">(JIS K2265) 試験試験器を用いて。試料の引火点を測定する。</td> </tr> <tr> <td>動粘度 (40°C)</td> <td>潤滑油の測定結果が正確に得られるようする項目であるため測定した。動粘度が低いと油温が低くなる。油温が低くなると機器故障が発生する可能性があることから選定した。</td> <td style="text-align: center;">(JIS K2265) 試験試験器を用いて、JISの動粘度を測定する。</td> </tr> <tr> <td>水分 (蒸留法)</td> <td>本項は既往の経験となるとともに、潤滑油の變化を把握させ、潤滑油切替による潤滑不良を起こさないを達成した。</td> <td style="text-align: center;">(JIS K2265) 蒸留法を用いて、ガラス電極式水分測定器を用いて、電極を測定する。測定結果より水分を求める。</td> </tr> <tr> <td>塗抹面</td> <td>塗抹面は潤滑油中に混入する機器内部を保護することから選定された。また、測定される塗抹水分を把握することで潤滑油の不溶分が増加すると粘度の上昇、潤滑油系統の清掃工程の悪化、フィルタ目品まわり等を起こすことがある。</td> <td style="text-align: center;">(JSTN R8903) 試験試験器を用いて均一に分散した液体を滴下する。過剰分を分離する。この操作を複数回繰り返し、不溶分を抽出させ重畠と測定する。</td> </tr> <tr> <td>ベント管不溶分 (A注)</td> <td>潤滑油の不溶分が増加すると粘度の上昇、潤滑油系統の清掃工程の悪化、フィルタ目品まわり等を起こすことがある。</td> <td style="text-align: center;">(JSTN R8903) 試験試験器を用いて均一に分散した液体を滴下する。過剰分を分離する。この操作を複数回繰り返し、不溶分を抽出させ重畠と測定する。</td> </tr> <tr> <td>トルエン不溶分 (A注)</td> <td></td> <td style="text-align: center;">(JSTN R8903) 試験試験器を用いて均一に分散した液体を滴下する。過剰分を分離する。この操作を複数回繰り返し、不溶分を抽出させ重畠と測定する。</td> </tr> </tbody> </table>	試験項目	測定理由	判定基準	引火点・閃	未回答 1周潤滑油の栓塞に熱影響する直前ではないが、自動脱脂装置の安全運転で着火を要されない限りの測定結果が正確に得られるようとした。	(JIS K2265) 試験試験器を用いて。試料の引火点を測定する。	動粘度 (40°C)	潤滑油の測定結果が正確に得られるようする項目であるため測定した。動粘度が低いと油温が低くなる。油温が低くなると機器故障が発生する可能性があることから選定した。	(JIS K2265) 試験試験器を用いて、JISの動粘度を測定する。	水分 (蒸留法)	本項は既往の経験となるとともに、潤滑油の變化を把握させ、潤滑油切替による潤滑不良を起こさないを達成した。	(JIS K2265) 蒸留法を用いて、ガラス電極式水分測定器を用いて、電極を測定する。測定結果より水分を求める。	塗抹面	塗抹面は潤滑油中に混入する機器内部を保護することから選定された。また、測定される塗抹水分を把握することで潤滑油の不溶分が増加すると粘度の上昇、潤滑油系統の清掃工程の悪化、フィルタ目品まわり等を起こすことがある。	(JSTN R8903) 試験試験器を用いて均一に分散した液体を滴下する。過剰分を分離する。この操作を複数回繰り返し、不溶分を抽出させ重畠と測定する。	ベント管不溶分 (A注)	潤滑油の不溶分が増加すると粘度の上昇、潤滑油系統の清掃工程の悪化、フィルタ目品まわり等を起こすことがある。	(JSTN R8903) 試験試験器を用いて均一に分散した液体を滴下する。過剰分を分離する。この操作を複数回繰り返し、不溶分を抽出させ重畠と測定する。	トルエン不溶分 (A注)		(JSTN R8903) 試験試験器を用いて均一に分散した液体を滴下する。過剰分を分離する。この操作を複数回繰り返し、不溶分を抽出させ重畠と測定する。	
試験項目	測定理由	判定基準																					
引火点・閃	未回答 1周潤滑油の栓塞に熱影響する直前ではないが、自動脱脂装置の安全運転で着火を要されない限りの測定結果が正確に得られるようとした。	(JIS K2265) 試験試験器を用いて。試料の引火点を測定する。																					
動粘度 (40°C)	潤滑油の測定結果が正確に得られるようする項目であるため測定した。動粘度が低いと油温が低くなる。油温が低くなると機器故障が発生する可能性があることから選定した。	(JIS K2265) 試験試験器を用いて、JISの動粘度を測定する。																					
水分 (蒸留法)	本項は既往の経験となるとともに、潤滑油の變化を把握させ、潤滑油切替による潤滑不良を起こさないを達成した。	(JIS K2265) 蒸留法を用いて、ガラス電極式水分測定器を用いて、電極を測定する。測定結果より水分を求める。																					
塗抹面	塗抹面は潤滑油中に混入する機器内部を保護することから選定された。また、測定される塗抹水分を把握することで潤滑油の不溶分が増加すると粘度の上昇、潤滑油系統の清掃工程の悪化、フィルタ目品まわり等を起こすことがある。	(JSTN R8903) 試験試験器を用いて均一に分散した液体を滴下する。過剰分を分離する。この操作を複数回繰り返し、不溶分を抽出させ重畠と測定する。																					
ベント管不溶分 (A注)	潤滑油の不溶分が増加すると粘度の上昇、潤滑油系統の清掃工程の悪化、フィルタ目品まわり等を起こすことがある。	(JSTN R8903) 試験試験器を用いて均一に分散した液体を滴下する。過剰分を分離する。この操作を複数回繰り返し、不溶分を抽出させ重畠と測定する。																					
トルエン不溶分 (A注)		(JSTN R8903) 試験試験器を用いて均一に分散した液体を滴下する。過剰分を分離する。この操作を複数回繰り返し、不溶分を抽出させ重畠と測定する。																					
	<table border="1" style="width: 100%; border-collapse: collapse;"> <thead> <tr> <th style="width: 33%;">試験項目</th> <th style="width: 33%;">測定理由</th> <th style="width: 33%;">判定基準</th> </tr> </thead> <tbody> <tr> <td>引火点・閃</td> <td>未回答 1周潤滑油栓塞に熱影響する直前ではないが、自動脱脂装置の安全運転で着火を要されない限りの測定結果が正確に得られるようとした。</td> <td style="text-align: center;">(JIS K2265) 試験試験器を用いて。試料の引火点を測定する。</td> </tr> <tr> <td>動粘度 (40°C)</td> <td>潤滑油の測定結果が正確に得られるようする項目であるため測定した。動粘度が低いと油温が低くなる。油温が低くなると機器故障が発生する可能性があることから選定した。</td> <td style="text-align: center;">(JIS K2265) 試験試験器を用いて、JISの動粘度を測定する。</td> </tr> <tr> <td>水分</td> <td>本項は既往の経験となるとともに、潤滑油の変化を把握させ、潤滑油切替による潤滑不良を起こさないを達成した。</td> <td style="text-align: center;">(JIS K2265) 蒸留法を用いてガラス電極式水分測定器を用いて、電極を測定する。</td> </tr> </tbody> </table>	試験項目	測定理由	判定基準	引火点・閃	未回答 1周潤滑油栓塞に熱影響する直前ではないが、自動脱脂装置の安全運転で着火を要されない限りの測定結果が正確に得られるようとした。	(JIS K2265) 試験試験器を用いて。試料の引火点を測定する。	動粘度 (40°C)	潤滑油の測定結果が正確に得られるようする項目であるため測定した。動粘度が低いと油温が低くなる。油温が低くなると機器故障が発生する可能性があることから選定した。	(JIS K2265) 試験試験器を用いて、JISの動粘度を測定する。	水分	本項は既往の経験となるとともに、潤滑油の変化を把握させ、潤滑油切替による潤滑不良を起こさないを達成した。	(JIS K2265) 蒸留法を用いてガラス電極式水分測定器を用いて、電極を測定する。										
試験項目	測定理由	判定基準																					
引火点・閃	未回答 1周潤滑油栓塞に熱影響する直前ではないが、自動脱脂装置の安全運転で着火を要されない限りの測定結果が正確に得られるようとした。	(JIS K2265) 試験試験器を用いて。試料の引火点を測定する。																					
動粘度 (40°C)	潤滑油の測定結果が正確に得られるようする項目であるため測定した。動粘度が低いと油温が低くなる。油温が低くなると機器故障が発生する可能性があることから選定した。	(JIS K2265) 試験試験器を用いて、JISの動粘度を測定する。																					
水分	本項は既往の経験となるとともに、潤滑油の変化を把握させ、潤滑油切替による潤滑不良を起こさないを達成した。	(JIS K2265) 蒸留法を用いてガラス電極式水分測定器を用いて、電極を測定する。																					
	<table border="1" style="width: 100%; border-collapse: collapse;"> <thead> <tr> <th style="width: 33%;">試験項目</th> <th style="width: 33%;">測定理由</th> <th style="width: 33%;">判定基準</th> </tr> </thead> <tbody> <tr> <td>引火点・閃</td> <td>未回答 1周潤滑油栓塞に熱影響する直前ではないが、自動脱脂装置の安全運転で着火を要されない限りの測定結果が正確に得られるようとした。</td> <td style="text-align: center;">(JIS K2265) 試験試験器を用いて。試料の引火点を測定する。</td> </tr> <tr> <td>動粘度 (40°C)</td> <td>潤滑油の測定結果が正確に得られるようする項目であるため測定した。動粘度が低いと油温が低くなる。油温が低くなると機器故障が発生する可能性があることから選定した。</td> <td style="text-align: center;">(JIS K2265) 試験試験器を用いて、JISの動粘度を測定する。</td> </tr> <tr> <td>水分</td> <td>本項は既往の経験となるとともに、潤滑油の変化を把握させ、潤滑油切替による潤滑不良を起こさないを達成した。</td> <td style="text-align: center;">(JIS K2265) 蒸留法を用いてガラス電極式水分測定器を用いて、電極を測定する。</td> </tr> </tbody> </table>	試験項目	測定理由	判定基準	引火点・閃	未回答 1周潤滑油栓塞に熱影響する直前ではないが、自動脱脂装置の安全運転で着火を要されない限りの測定結果が正確に得られるようとした。	(JIS K2265) 試験試験器を用いて。試料の引火点を測定する。	動粘度 (40°C)	潤滑油の測定結果が正確に得られるようする項目であるため測定した。動粘度が低いと油温が低くなる。油温が低くなると機器故障が発生する可能性があることから選定した。	(JIS K2265) 試験試験器を用いて、JISの動粘度を測定する。	水分	本項は既往の経験となるとともに、潤滑油の変化を把握させ、潤滑油切替による潤滑不良を起こさないを達成した。	(JIS K2265) 蒸留法を用いてガラス電極式水分測定器を用いて、電極を測定する。										
試験項目	測定理由	判定基準																					
引火点・閃	未回答 1周潤滑油栓塞に熱影響する直前ではないが、自動脱脂装置の安全運転で着火を要されない限りの測定結果が正確に得られるようとした。	(JIS K2265) 試験試験器を用いて。試料の引火点を測定する。																					
動粘度 (40°C)	潤滑油の測定結果が正確に得られるようする項目であるため測定した。動粘度が低いと油温が低くなる。油温が低くなると機器故障が発生する可能性があることから選定した。	(JIS K2265) 試験試験器を用いて、JISの動粘度を測定する。																					
水分	本項は既往の経験となるとともに、潤滑油の変化を把握させ、潤滑油切替による潤滑不良を起こさないを達成した。	(JIS K2265) 蒸留法を用いてガラス電極式水分測定器を用いて、電極を測定する。																					
			<p style="color: red; font-weight: bold;">【女川】試験方法の相違</p> <ul style="list-style-type: none"> ・水分試験について女川の蒸留法に対して泊はカールフィッシャー式電量滴定法にて実施している。 																				

4. 試験結果

以下の表3のとおり、各試験項目における判定基準を満足していることから、潤滑油の各性状に影響がないことを確認した。

なお、降下火碎物が潤滑油に混入した際の影響の度合いは、降下火碎物の給源や**非常用ディーゼル発電機の運転状態（非常用ディーゼル発電機が運転している状態においては、潤滑油に運転圧が加わる）**によって異なる可能性があるが、系統内において常にその運転圧が加わることがないこと、また、想定される潤滑油中の降下火碎物の濃度より保守的な条件で実施した本試験においても潤滑油の性状に有意な変化がなかったことから、想定される降下火碎物の濃度に対して、**非常用ディーゼル発電機の機能に影響はない**と判断した。

4. 試験結果

以下の表3のとおり、各試験項目における判定基準を満足していることから、潤滑油の各性状に影響がないことを確認した。

なお、降下火碎物が潤滑油に混入した際の影響の度合いは、降下火碎物の給源や**ディーゼル発電機の運転状態（ディーゼル発電機が運転している状態においては、潤滑油に運転圧が加わる）**によって異なる可能性があるが、系統内において常にその運転圧が加わることがないこと、また、想定される潤滑油中の降下火碎物の濃度より保守的な条件で実施した本試験においても潤滑油の性状に有意な変化がなかったことから、想定される降下火碎物の濃度に対して、**ディーゼル発電機の機能に影響はない**と判断した。

【女川】
設備名称の相違

泊発電所3号炉 DB基準適合性 比較表

第6条 外部からの衝撃による損傷の防止 (火山:別添資料1)

赤字: 設備、運用又は体制の相違（設計方針の相違）
 青字: 記載箇所又は記載内容の相違（記載方針の相違）
 緑字: 記載表現、設備名称の相違（実質的な相違なし）

大飯発電所3／4号炉	女川原子力発電所2号炉	泊発電所3号炉	相違理由																																																																														
	<p style="text-align: center;">表3 潤滑油の成分分析結果</p> <table border="1" style="width: 100%; border-collapse: collapse;"> <thead> <tr> <th>試験結果</th> <th>代表性状</th> <th>判定基準^{※1}</th> <th>試験結果^{※2}</th> <th>判定</th> <th>参考^{※3}</th> </tr> </thead> <tbody> <tr> <td>引火点[℃]</td> <td>258</td> <td>208以上</td> <td></td> <td>○</td> <td></td> </tr> <tr> <td>動粘度[mm²/s]</td> <td>97.9</td> <td>122以下</td> <td></td> <td>○</td> <td></td> </tr> <tr> <td>水分[%]</td> <td>-</td> <td>0.5以下</td> <td></td> <td>○</td> <td></td> </tr> <tr> <td>塩基価[mgKOH/g]</td> <td>13</td> <td>6以上</td> <td></td> <td>○</td> <td></td> </tr> <tr> <td>ベンタン不溶[%]</td> <td>-</td> <td>5以下</td> <td></td> <td>○</td> <td></td> </tr> </tbody> </table> <p>※ 1 引火点及び動粘度については、構内に保管してある新油を基準値とするが、今後データ採取をする計画であるため、今回の比較では代表性状（カタログ値）を参照した。</p> <p>※ 2 引火点の試験結果が代表性状に比べて低い値となっているのは、代表性状を確認するため新油に対して実施される試験方法「C.O.C法」に比べ、今回実施した「P.M法（分解点検等の際に実施される）」では、引火点が測定値より10～20度程度低く示される。なお、試験結果の比較より、降下火砕物濃度が □ g/L より低い □ g/L の場合においても、引火点に大きい違いは見られなかったことから、降下火砕物の侵入による引火点への影響はなかったものと考えられる。</p> <p>※ 3 降下火砕物濃度: □ g/L</p> <p>※ 4 降下火砕物濃度: □ g/L</p> <p style="text-align: right;">以 上</p> <p style="border: 1px solid black; padding: 2px; margin-top: 10px;">枠囲みの内容は商業機密の観点から公開できません</p>	試験結果	代表性状	判定基準 ^{※1}	試験結果 ^{※2}	判定	参考 ^{※3}	引火点[℃]	258	208以上		○		動粘度[mm ² /s]	97.9	122以下		○		水分[%]	-	0.5以下		○		塩基価[mgKOH/g]	13	6以上		○		ベンタン不溶[%]	-	5以下		○		<p style="text-align: center;">表3 潤滑油の成分分析結果</p> <table border="1" style="width: 100%; border-collapse: collapse;"> <thead> <tr> <th>試験結果</th> <th>代表性状</th> <th>判定基準^{※1}</th> <th>試験結果^{※2}</th> <th>判定</th> <th>参考^{※3}</th> </tr> </thead> <tbody> <tr> <td>引火点 [PM]</td> <td>230.0</td> <td></td> <td></td> <td>○</td> <td></td> </tr> <tr> <td>動粘度 [mm²/s]</td> <td>141.7</td> <td></td> <td></td> <td>○</td> <td></td> </tr> <tr> <td>水分 [vol%]</td> <td><0.03</td> <td></td> <td></td> <td>○</td> <td></td> </tr> <tr> <td>塩基価 [mgKOH/g]</td> <td>13.0</td> <td></td> <td></td> <td>○</td> <td></td> </tr> <tr> <td>ベンタン不溶 [%]</td> <td><0.05</td> <td></td> <td></td> <td>○</td> <td></td> </tr> <tr> <td>トルエン不溶 [%]</td> <td><0.05</td> <td></td> <td></td> <td>○</td> <td></td> </tr> </tbody> </table> <p>※1 引火点及び動粘度については、構内に保管してある新油を基準値とする。</p> <p>※2 引火点の試験結果が代表性状に比べて低い値となっているのは、代表性状を確認するため新油に対して実施される試験方法「C.O.C法」に比べ、今回実施した「P.M法（分解点検等の際に実施される）」では、引火点が測定値より10～20度程度低く示される。なお、試験結果の比較より、降下火砕物濃度が □ g/L より低い □ g/L の場合においても、引火点に大きい違いは見られなかったことから、降下火砕物の侵入による引火点への影響はなかったものと考えられる。</p> <p>※3 降下火砕物濃度: □ g/L</p> <p>※4 降下火砕物濃度: □ g/L</p> <p style="text-align: right;">以 上</p> <p style="border: 1px solid black; padding: 2px; margin-top: 10px;">枠囲みの内容は商業機密の観点から公開できません</p>	試験結果	代表性状	判定基準 ^{※1}	試験結果 ^{※2}	判定	参考 ^{※3}	引火点 [PM]	230.0			○		動粘度 [mm ² /s]	141.7			○		水分 [vol%]	<0.03			○		塩基価 [mgKOH/g]	13.0			○		ベンタン不溶 [%]	<0.05			○		トルエン不溶 [%]	<0.05			○		<p style="color: green;">【女川】記載内容の相違 油では新油のデータ採取を実施している。</p> <p style="color: green;">【女川】記載表現の相違</p>
試験結果	代表性状	判定基準 ^{※1}	試験結果 ^{※2}	判定	参考 ^{※3}																																																																												
引火点[℃]	258	208以上		○																																																																													
動粘度[mm ² /s]	97.9	122以下		○																																																																													
水分[%]	-	0.5以下		○																																																																													
塩基価[mgKOH/g]	13	6以上		○																																																																													
ベンタン不溶[%]	-	5以下		○																																																																													
試験結果	代表性状	判定基準 ^{※1}	試験結果 ^{※2}	判定	参考 ^{※3}																																																																												
引火点 [PM]	230.0			○																																																																													
動粘度 [mm ² /s]	141.7			○																																																																													
水分 [vol%]	<0.03			○																																																																													
塩基価 [mgKOH/g]	13.0			○																																																																													
ベンタン不溶 [%]	<0.05			○																																																																													
トルエン不溶 [%]	<0.05			○																																																																													

泊発電所3号炉 DB基準適合性 比較表

赤字：設備、運用又は体制の相違（設計方針の相違）
 青字：記載箇所又は記載内容の相違（記載方針の相違）
 緑字：記載表現、設備名称の相違（実質的な相違なし）

第6条 外部からの衝撃による損傷の防止（火山：別添資料1）

大飯発電所3／4号炉	女川原子力発電所2号炉	泊発電所3号炉	相違理由
<p>補足資料－5 5. 火山灰の金属腐食研究について</p> <p>桜島火山灰による金属腐食研究結果を大飯発電所における火山灰による金属腐食の影響評価に適用する考え方について以下に示す。</p> <p>1. 適用の考え方 火山灰による金属腐食については、主として火山ガス(SO₂)が付着した火山灰の影響によるものである。 火山灰による腐食影響において引用した研究文献「火山環境における金属材料の腐食」では、実火山灰である桜島火山灰を用いて、実際の火山環境に近い状態を模擬するため、高濃度の亜硫酸ガス(SO₂)雰囲気を保った状態で金属腐食試験を行なったものであり、火山灰の腐食成分濃度を高濃度で模擬した腐食試験結果であることから、当社が考慮する火山についても本研究結果が十分適用可能である。</p> <p>2. 研究文献「火山環境における金属材料の腐食」の概要 (1) 試験概要 「火山環境における金属材料の腐食（出雲茂人、末吉秀一他）、防食技術 Vol. 39, pp. 247-253, 1990」によると、火山灰を水で洗浄し、可溶性の成分を除去した後、金属試験片に堆積させ、高濃度のSO₂ガス雰囲気(150~200ppm)で、加熱(温度40°C、湿度95%を4時間)、冷却(温度20°C、湿度80%を2時間)を最大18回繰り返すことにより、結露、蒸発を繰り返し金属試験片の腐食を観察している。</p> <p>(2) 試験結果 図に示すとおり、火山灰の堆積量が多い場合は、火山灰の堆積なし又は堆積量が少ない場合と比較して、金属試験片の腐食が促進されるが、腐食量は表面厚さにして十数μm程度との結果が得られ、火山灰層では結露しやすいうこと、並びに保水効果が大きいことにより腐食が促進されると結論づけられている。</p> <p>(3) 試験結果からの考察 火山灰による腐食については、主として火山ガスが付着した火山灰の影響によるものであり、本研究においては、金属試験片の表面に火</p>	<p>補足資料－8 降下火砕物の金属腐食研究について</p> <p>火山灰を用いた火山ガス(SO₂)による金属腐食研究結果を女川原子力発電所における降下火砕物(火山灰)による金属腐食の影響評価に適用する考え方について以下に示す。</p> <p>1. 適用の考え方 降下火砕物による金属腐食については、主として火山ガス(SO₂)が付着した降下火砕物の影響によるものである。 降下火砕物による腐食影響において引用した研究文献「火山環境における金属材料の腐食」では、桜島の降下火砕物を用いて、実際の火山環境に近い状態を模擬するため、高濃度の亜硫酸ガス(SO₂)雰囲気を保った状態で金属腐食試験を行なったものである。 火山ガスの成分は亜硫酸ガス、硫化水素、フッ化水素などが挙げられ、成分構成は各火山、同一火山でも噴火ごとに異なるとされている^{*1}が、硫酸イオンが金属腐食の原因となることを踏まえた、降下火砕物の主要な腐食成分である亜硫酸ガスを高濃度で模擬した腐食試験結果であることから、特定の火山によらず、女川原子力発電所で考慮する火山についても本研究結果が十分適用可能である。</p> <p>2. 研究文献「火山環境における金属材料の腐食」の概要 (1) 試験概要 「火山環境における金属材料の腐食（出雲茂人、末吉秀一ほか）、防食技術 Vol. 39, pp. 247-253, 1990」によると、降下火砕物を水で洗浄し、可溶性の成分を除去した後、金属試験片(SS41, Cu, Al, Znめっき鋼板)に堆積させ、高濃度のSO₂ガス雰囲気(150~200ppm)で、加熱(温度40°C、湿度95%を4時間)、冷却(温度20°C、湿度80%を2時間)を最大18回繰り返すことにより、結露、蒸発を繰り返し金属試験片の腐食を観察している。</p> <p>(2) 試験結果 図1に例としてSS41の腐食による質量変化を示す。降下火砕物の堆積量が多い場合は、降下火砕物の堆積なし、又は堆積量が少ない場合と比較して、金属試験片の腐食が促進される。腐食量は表面厚さにして数十μm程度との結果が得られた。 これは火山灰が金属表面に堆積していると結露しやすいこと、並びに保水効果が大きいことにより腐食が促進されると結論づけられている。同様に、降下火砕物の堆積の影響は、Cu, Al, Znめっき鋼板とも降下火砕物の堆積量が多い場合のほうが、腐食が促進される傾向である。腐食量も表面厚さにして十数～数十μm程度である。</p> <p>(3) 試験結果からの考察 降下火砕物による腐食については、主として火山ガスが付着した降下火砕物の影響によるものであり、本研究においては、金属試験片の</p>	<p>補足資料－8 降下火砕物の金属腐食研究について</p> <p>火山灰を用いた火山ガス(SO₂)による金属腐食研究結果を泊発電所における降下火砕物(火山灰)による金属腐食の影響評価に適用する考え方について以下に示す。</p> <p>1. 適用の考え方 降下火砕物による金属腐食については、主として火山ガス(SO₂)が付着した降下火砕物の影響によるものである。 降下火砕物による腐食影響において引用した研究文献「火山環境における金属材料の腐食」では、桜島の降下火砕物を用いて、実際の火山環境に近い状態を模擬するため、高濃度の亜硫酸ガス(SO₂)雰囲気を保った状態で金属腐食試験を行なったものである。 火山ガスの成分は亜硫酸ガス、硫化水素、フッ化水素等が挙げられ、成分構成は各火山、同一火山でも噴火ごとに異なるとされている^{*1}が、硫酸イオンが金属腐食の原因となることを踏まえた、降下火砕物の主要な腐食成分である亜硫酸ガスを高濃度で模擬した腐食試験結果であることから、特定の火山によらず、泊発電所で考慮する火山についても本研究結果が十分適用可能である。</p> <p>2. 研究文献「火山環境における金属材料の腐食」の概要 (1) 試験概要 「火山環境における金属材料の腐食（出雲茂人、末吉秀一ほか）、防食技術 Vol. 39, pp. 247-253, 1990」によると、降下火砕物を水で洗浄し、可溶性の成分を除去した後、金属試験片(SS41, Cu, Al, Znめっき鋼板)に堆積させ、高濃度のSO₂ガス雰囲気(150~200ppm)で、加熱(温度40°C、湿度95%を4時間)、冷却(温度20°C、湿度80%を2時間)を最大18回繰り返すことにより、結露、蒸発を繰り返し金属試験片の腐食を観察している。</p> <p>(2) 試験結果 図1に例としてSS41の腐食による質量変化を示す。降下火砕物の堆積量が多い場合は、降下火砕物の堆積なし、又は堆積量が少ない場合と比較して、金属試験片の腐食が促進される。腐食量は表面厚さにして十数～数十μm程度との結果が得られた。 これは火山灰が金属表面に堆積していると結露しやすいこと、並びに保水効果が大きいことにより腐食が促進されると結論づけられている。同様に、降下火砕物の堆積の影響は、Cu, Al, Znめっき鋼板とも降下火砕物の堆積量が多い場合のほうが、腐食が促進される傾向である。腐食量も表面厚さにして十数～数十μm程度である。</p> <p>(3) 試験結果からの考察 降下火砕物による腐食については、主として火山ガスが付着した降下火砕物の影響によるものであり、本研究においては、金属試験片の</p>	<p>【大飯】記載表現の相違</p> <p>【女川】記載表現の相違 ・プラント名称の相違</p> <p>【大飯】記載表現の相違</p> <p>【女川】記載表現の相違 ・プラント名称の相違</p> <p>【大飯】記載表現の相違</p>

泊発電所 3号炉 DB基準適合性 比較表

赤字：設備、運用又は体制の相違（設計方針の相違）
青字：記載箇所又は記載内容の相違（記載方針の相違）
緑字：記載表現、設備名称の相違（実質的な相違なし）

第6条 外部からの衝撃による損傷の防止（火山：別添資料1）

大飯発電所3／4号炉	女川原子力発電所2号炉	泊発電所3号炉	相違理由
<p>山灰を置き、実際の火山環境を模擬して高濃度のSO₂雰囲気中で暴露し、腐食実験を行っているものである。</p> <p>腐食の要因となる火山ガスを高濃度の雰囲気を常に保った状態で行っている試験であり、自然環境に存在する火山灰よりも高い腐食条件^{※1}で金属腐食量を求めており、当社で考慮する火山灰についても十分適用可能である。</p> <p>【※参考】</p> <ul style="list-style-type: none"> ・三宅島火山の噴火口付近の観測記録：20～30ppm（「宅島火山ガスに関する検討会報告書」より） ・桜島火山上空の噴煙中火山ガスの観測記録：17～68ppm（「京大防災研究所年報」より） <p>図 S S 4 1 の腐食による質量変化</p> <p>Ash-0: 火山灰のない状態 Ash-1: 表面が見える程度に積もった状態 Ash-2: 表面が見えなくなる程度に積もった状態 Ash-3: 約0.8mmの厚さに積もった状態</p> <p>以上</p> <p>表面に降下火砕物を置き、実際の火山環境を模擬して高濃度のSO₂雰囲気中で暴露し、腐食実験を行っているものである。</p> <p>腐食の要因となる火山ガスを高濃度の雰囲気を常に保った状態で行っている試験であり、自然環境に存在する火山灰よりも高い腐食条件^{※2}で金属腐食量を求めている。女川原子力発電所の評価対象施設等のうち、軽油タンク室及び軽油タンク室(H)のハッチ（ステンレス鋼）については、降下火砕物に付着した火山性ガスが水に濡れたときに生ずる硫酸イオン等により腐食が発生する可能性がある。このため、ハッチについては、外装塗装^{※3}を施すことによって、降下火砕物による短期での腐食により機能に影響を及ぼすことはない設計とする。</p> <p>※1 : 「火山噴火等から電気設備を守るには（河内清高），電気設備学会誌 33巻(2013)3号」</p> <p>※2 :</p> <ul style="list-style-type: none"> ・三宅島火山の噴火口付近の観測記録：20～30ppm（「三宅火山ガスに関する検討会報告書」より） ・桜島火山上空の噴煙中火山ガスの観測記録 17～68ppm（「京大防災研究所年報」より） <p>※3 : ハッチ（ステンレス鋼）部は酸、アルカリなどに水分の加わった強度腐食環境での塗装としてエポキシ樹脂系の塗装を実施</p> <p>表面に降下火砕物を置き、実際の火山環境を模擬して高濃度のSO₂雰囲気中で暴露し、腐食実験を行っているものである。</p> <p>腐食の要因となる火山ガスを高濃度の雰囲気を常に保った状態で行っている試験であり、自然環境に存在する火山灰よりも高い腐食条件^{※2}で金属腐食量を求めている。泊発電所の評価対象施設等のうち、A1、A2-燃料油貯油槽タンク室及びB1、B2-燃料油貯油槽タンク室の鋼製蓋（炭素鋼）については、降下火砕物に付着した火山性ガスが水に濡れたときに生ずる硫酸イオン等により腐食が発生する可能性がある。このため、鋼製蓋については、外装塗装^{※3}を施すことによって、降下火砕物による短期での腐食により機能に影響を及ぼすことはない設計とする。</p> <p>※1 : 「火山噴火等から電気設備を守るには（河内清高），電気設備学会誌 33巻(2013)3号」</p> <p>※2 :</p> <ul style="list-style-type: none"> ・三宅島火山の噴火口付近の観測記録：20～30ppm（「三宅火山ガスに関する検討会報告書」より） ・桜島火山上空の噴煙中火山ガスの観測記録 17～68ppm（「京大防災研究所年報」より） <p>※3 : 鋼製蓋（炭素鋼）部は酸、アルカリ等に水分の加わった強度腐食環境での塗装としてエポキシ樹脂系及びシリコン系の塗装を実施</p> <p>図 S S 4 1 の腐食による重量変化</p> <p>Ash-0: 火山灰のない状態 Ash-1: 表面が見える程度に積もった状態 Ash-2: 表面が見えなくなる程度に積もった状態 Ash-3: 約0.8mmの厚さに積もった状態</p> <p>以上</p>			

泊発電所3号炉 DB基準適合性 比較表

第6条 外部からの衝撃による損傷の防止 (火山:別添資料1)

赤字: 設備、運用又は体制の相違 (設計方針の相違)
 青字: 記載箇所又は記載内容の相違 (記載方針の相違)
 緑字: 記載表現、設備名称の相違 (実質的な相違なし)

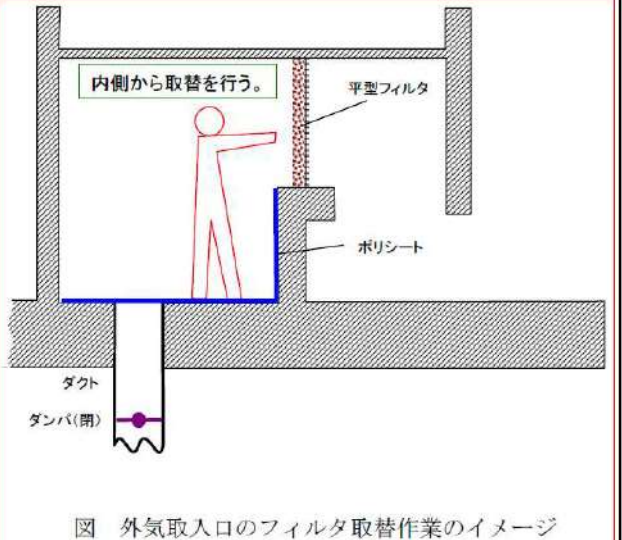
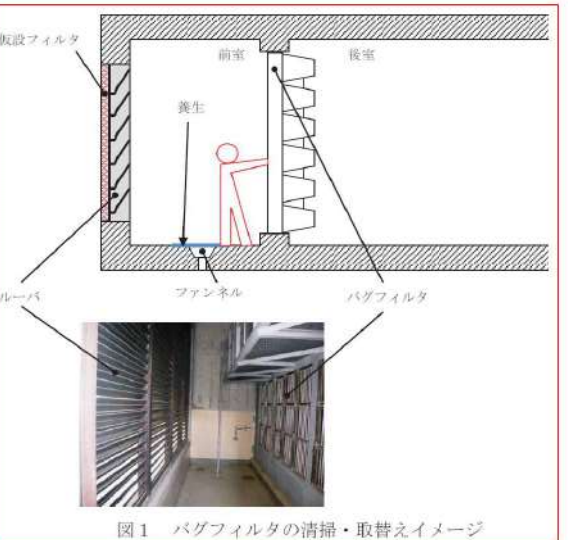
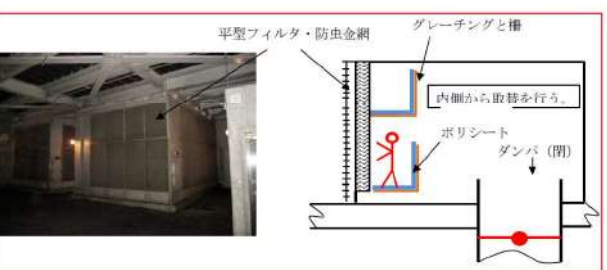
大飯発電所3／4号炉	女川原子力発電所2号炉	泊発電所3号炉	相違理由
	<p style="text-align: center;">補足資料一 9 計測制御用電源設備及び非常用所内電気設備 への降下火砕物の影響について</p> <p>降下火砕物の建屋内侵入については、非常用換気空調系（外気取入口）からの侵入が考えられるが、バグフィルタは、粒径 $2\mu\text{m}$ 以上に対して 80% 以上を捕獲する性能を有していることから、系統内へ侵入する降下火砕物の影響は小さいと考えられるものの、ここでは降下火砕物の粒子が一部侵入した場合を想定し、その影響を確認する。</p> <p>屋内の電気系及び計測制御系の盤の設置されるエリアは空調管理されており、外気取入口にバグフィルタが設置されており、降下火砕物の侵入を防止することができる。</p> <p>しかしながら、屋内の電気系及び計測制御系の盤についてはその発生熱量に応じて盤内に換気ファンを設置している場合があり、強制的に盤内に室内空気を取り込むことから、仮に、降下火砕物が侵入することを考慮し、以下のとおり検討した。</p> <p>1. 侵入する降下火砕物の粒径 外気を取り込む屋内の電気系及び計測制御系の盤の設置されるエリアの換気空調系である、原子炉補機室換気空調系及び計測制御電源室換気空調系の外気取入口にはバグフィルタ（粒径 $2\mu\text{m}$ 以上に対して 80% 以上を捕獲する性能）が設置されている。 このため、仮に室内に侵入したとしても、降下火砕物の粒径は、$2\mu\text{m}$ 以下の細かな粒子であると推定される。</p> <p>2. 計測制御用電源設備及び非常用所内電気設備に対する降下火砕物の影響 計測制御用電源設備及び非常用所内電気設備において、数 μm 程度の線間距離となるのは、集積回路（ICなど）の内部であり、これら部品はモールド（樹脂）で保護されているため、降下火砕物が侵入することはない。また、端子台等の充電部が露出している箇所については、端子間の距離は数 mm 程度あることから、降下火砕物が付着しても、短絡等を発生させることはない。したがって、万が一、細かな粒子の降下火砕物が盤内に侵入した場合においても、降下火砕物の付着等により短絡等を発生させる可能性はない。</p> <p style="text-align: right;">以上</p>	<p style="text-align: center;">補足資料一 9 安全保護系計装盤及び非常用の計装用インバータ（無停電電源装置） への降下火砕物の影響について</p> <p>降下火砕物の建屋内侵入については、換気空調設備（外気取入口）からの侵入が考えられるが、平型フィルタは、粒径 $5\mu\text{m}$ 以上に対して 85% 以上を捕獲する性能を有していることから、系統内へ侵入する降下火砕物の影響は小さいと考えられるものの、ここでは降下火砕物の粒子が一部侵入した場合を想定し、その影響を確認する。</p> <p>屋内の電気系及び計測制御系の盤の設置されるエリアは空調管理されており、外気取入口に平型フィルタが設置されており、降下火砕物の侵入を防止することができる。</p> <p>しかしながら、屋内の電気系及び計測制御系の盤についてはその発生熱量に応じて盤内に換気ファンを設置している場合があり、強制的に盤内に室内空気を取り込むことから、仮に、降下火砕物が侵入することを考慮し、以下のとおり検討した。</p> <p>1. 侵入する降下火砕物の粒径 外気を取り込む屋内の電気系及び計測制御系の盤の設置されるエリアの換気空調設備である、安全補機開閉器室空調装置及び原子炉補助建屋空調装置の外気取入口には平型フィルタ（粒径 $5\mu\text{m}$ 以上に対して 85% 以上を捕獲する性能）に加えて下流側にさらに細かな粒子を捕集可能な粗フィルタ（粒径約 $2\mu\text{m}$ に対して 90% 以上を捕捉する性能）が設置されている。 このため、仮に室内に侵入したとしても、降下火砕物の粒径は、$5\mu\text{m}$ 以下の細かな粒子であると推定される。</p> <p>2. 安全保護系計装盤及び非常用の計装用インバータ（無停電電源装置）に対する降下火砕物の影響 安全保護系計装盤及び非常用の計装用インバータ（無停電電源装置）において、数 μm 程度の線間距離となるのは、集積回路（IC等）の内部であり、これら部品はモールド（樹脂）で保護されているため、降下火砕物が侵入することはない。また、端子台等の充電部が露出している箇所については、端子間の距離は数 mm 程度あることから、降下火砕物が付着しても、短絡等を発生させることはない。したがって、万が一、細かな粒子の降下火砕物が盤内に侵入した場合においても、降下火砕物の付着等により短絡等を発生させる可能性はない。</p> <p style="text-align: right;">以上</p>	<p>【大飯】記載方針の相違 ・女川審査実績の反映 【女川】 評価対象設備の相違 【女川】 ・名称の相違 【女川】設計方針の相違 ・プラント設計の相違によるフィルタ仕様の相違 (火山灰の除去の観点では同等の性能を有する)</p> <p>【女川】 ・空調名称の相違 【女川】設計方針の相違 ・プラント設計の相違によるフィルタ仕様の相違 (火山灰の除去の観点では同等の性能を有する) 【女川】 評価対象設備の相違</p>

泊発電所3号炉 DB基準適合性 比較表

第6条 外部からの衝撃による損傷の防止 (火山:別添資料1)

赤字: 設備、運用又は体制の相違 (設計方針の相違)
 青字: 記載箇所又は記載内容の相違 (記載方針の相違)
 緑字: 記載表現、設備名称の相違 (実質的な相違なし)

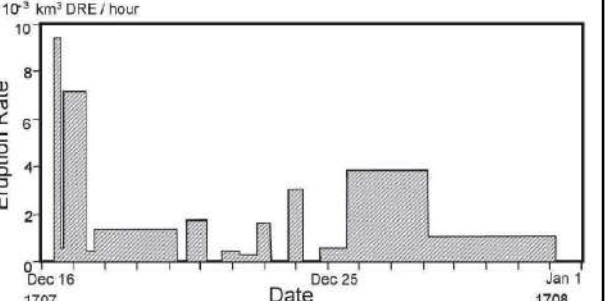
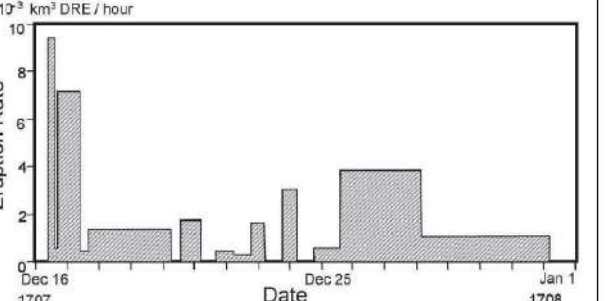
大飯発電所3／4号炉	女川原子力発電所2号炉	泊発電所3号炉	相違理由																	
補足資料-14 1.4. 火山灰の除灰に要する時間について 火山灰の除灰に要する概算時間について、土木工事の人力作業 [*] を参考に試算した結果を以下に示す。	補足資料-10 建屋等の降灰除去について 降下火碎物の除灰に要する概算時間について、土木工事の人力作業 [*] を参考に試算した結果を表1に示す。	補足資料-10 建屋等の降灰除去について 降下火碎物の除灰に要する概算時間について、土木工事の人力作業 [*] を参考に試算した結果を表1に示す。	【大飯】記載表現の相違 【大飯】記載表現の相違 【大飯、女川】 設計方針の相違 ・プラント設計の相違による評価結果の相違																	
表1 除灰に要する概算時間	表1 除灰に要する概算時間	表1 除灰に要する概算時間																		
<table border="1"> <thead> <tr> <th>項目</th><th>評価諸元</th></tr> </thead> <tbody> <tr> <td>①堆積面積 (m²) 原子炉周辺建屋 (3号機) 原子炉周辺建屋 (4号機) 制御建屋 廃棄物処理建屋 合計</td><td>約 5,500m² 約 5,500m² 約 3,000m² 約 3,000m² 約 17,000m²</td></tr> <tr> <td>②堆積厚さ (m) ③堆積量=①×② (m³) ④1m³当たりの作業人工[*] (人/日)</td><td>0.1m 約 1,700m³ 0.39 人/日</td></tr> </tbody> </table>	項目	評価諸元	①堆積面積 (m ²) 原子炉周辺建屋 (3号機) 原子炉周辺建屋 (4号機) 制御建屋 廃棄物処理建屋 合計	約 5,500m ² 約 5,500m ² 約 3,000m ² 約 3,000m ² 約 17,000m ²	②堆積厚さ (m) ③堆積量=①×② (m ³) ④1m ³ 当たりの作業人工 [*] (人/日)	0.1m 約 1,700m ³ 0.39 人/日	<table border="1"> <thead> <tr> <th>項目</th><th>評価諸元</th></tr> </thead> <tbody> <tr> <td>①堆積面積 (m²) 原子炉建屋 制御建屋 タービン建屋 復水貯蔵タンク 軽油タンク室 軽油タンク室 (H) 合計</td><td>6,620 1,860 5,660 320 650 170 15,280</td></tr> <tr> <td>②堆積厚さ (m) ③堆積量=①×② (m³) ④1m³当たりの作業人工[*] (人/日)</td><td>0.15 2,292 0.39</td></tr> </tbody> </table>	項目	評価諸元	①堆積面積 (m ²) 原子炉建屋 制御建屋 タービン建屋 復水貯蔵タンク 軽油タンク室 軽油タンク室 (H) 合計	6,620 1,860 5,660 320 650 170 15,280	②堆積厚さ (m) ③堆積量=①×② (m ³) ④1m ³ 当たりの作業人工 [*] (人/日)	0.15 2,292 0.39	<table border="1"> <thead> <tr> <th>項目</th><th>評価諸元</th></tr> </thead> <tbody> <tr> <td>①堆積面積 (m²) 原子炉建屋 原子炉補助建屋 ディーゼル発電機建屋 循環水ポンプ建屋 A1, A2-燃料油貯油槽タンク室 B1, B2-燃料油貯油槽タンク室 A1, A2-ディーゼル発電機燃料油貯油槽トレンチ B1, B2-ディーゼル発電機燃料油貯油槽トレンチ 合計</td><td>約 4,600m² 約 3,600m² 約 470m² 約 2,800m² 約 10m² 約 10m² 約 80m² 約 90m² 約 11,660m²</td></tr> <tr> <td>②堆積厚さ (m) ③堆積量=①×② (m³) ④1m³あたりの作業量[*] (人・日)</td><td>0.2m 2,332m³ 0.39 人・日</td></tr> </tbody> </table>	項目	評価諸元	①堆積面積 (m ²) 原子炉建屋 原子炉補助建屋 ディーゼル発電機建屋 循環水ポンプ建屋 A1, A2-燃料油貯油槽タンク室 B1, B2-燃料油貯油槽タンク室 A1, A2-ディーゼル発電機燃料油貯油槽トレンチ B1, B2-ディーゼル発電機燃料油貯油槽トレンチ 合計	約 4,600m ² 約 3,600m ² 約 470m ² 約 2,800m ² 約 10m ² 約 10m ² 約 80m ² 約 90m ² 約 11,660m ²	②堆積厚さ (m) ③堆積量=①×② (m ³) ④1m ³ あたりの作業量 [*] (人・日)	0.2m 2,332m ³ 0.39 人・日
項目	評価諸元																			
①堆積面積 (m ²) 原子炉周辺建屋 (3号機) 原子炉周辺建屋 (4号機) 制御建屋 廃棄物処理建屋 合計	約 5,500m ² 約 5,500m ² 約 3,000m ² 約 3,000m ² 約 17,000m ²																			
②堆積厚さ (m) ③堆積量=①×② (m ³) ④1m ³ 当たりの作業人工 [*] (人/日)	0.1m 約 1,700m ³ 0.39 人/日																			
項目	評価諸元																			
①堆積面積 (m ²) 原子炉建屋 制御建屋 タービン建屋 復水貯蔵タンク 軽油タンク室 軽油タンク室 (H) 合計	6,620 1,860 5,660 320 650 170 15,280																			
②堆積厚さ (m) ③堆積量=①×② (m ³) ④1m ³ 当たりの作業人工 [*] (人/日)	0.15 2,292 0.39																			
項目	評価諸元																			
①堆積面積 (m ²) 原子炉建屋 原子炉補助建屋 ディーゼル発電機建屋 循環水ポンプ建屋 A1, A2-燃料油貯油槽タンク室 B1, B2-燃料油貯油槽タンク室 A1, A2-ディーゼル発電機燃料油貯油槽トレンチ B1, B2-ディーゼル発電機燃料油貯油槽トレンチ 合計	約 4,600m ² 約 3,600m ² 約 470m ² 約 2,800m ² 約 10m ² 約 10m ² 約 80m ² 約 90m ² 約 11,660m ²																			
②堆積厚さ (m) ③堆積量=①×② (m ³) ④1m ³ あたりの作業量 [*] (人・日)	0.2m 2,332m ³ 0.39 人・日																			
1. 作業量 (上記のとおり) 0.39 人/日 × 1,700m ³ = 約 670 人日 (※) 2. 作業日数 (試算例) (1) 作業人数: 72 人 (6 人/組 × 12 組) 【内訳】原子炉周辺建屋 (各 4 組)、制御建屋 (2 組) 廃棄物処理建屋 (2 組) [計 12 組] (2) 所要日数: 約 10 日 (※)「国土交通省土木工事積算基準 (H24)」における人力掘削での人工を保守的に採用 以上	1. 作業量 (上記のとおり) 0.39 人/日 × 2,292m ³ = 約 894 人日 2. 作業日数 (試算例) (1) 作業人数: 60 人 (6 人/組 × 10 組) ・1組あたり 6 人体制とする。 原子炉建屋: 3 組 制御建屋: 2 組 タービン建屋: 3 組 復水貯蔵タンク: 1 組 軽油タンク室、軽油タンク室 (H): 1 組 合計: 10 組 (2) 所要日数: 約 15 日 ※「国土交通省土木工事積算基準 (H24)」における人力掘削での人工を保守的に採用 以上	1. 作業量 (上記のとおり) 0.39 人/日 × 2,332m ³ = 約 910 人日 2. 作業日数 (試算例) (1) 作業人数: 132 人 (6 人/組 × 22 組) ・1組あたり 6 人体制とする。 原子炉建屋: 8 組 原子炉補助建屋: 6 組 ディーゼル発電機建屋: 2 組 循環水ポンプ建屋: 5 組 A1, A2-燃料油貯油槽タンク室、B1, B2-燃料油貯油槽タンク室、A1, A2-ディーゼル発電機燃料油貯油槽トレンチ、B1, B2-ディーゼル発電機燃料油貯油槽トレンチ: 1 組 合計: 22 組 (2) 所要日数: 約 7 日 ※「国土交通省土木工事積算基準 (H24)」における人力掘削での人工を保守的に採用 以上	【大飯、女川】 設計方針の相違 ・プラント設計の相違による評価結果の相違																	

大飯発電所3／4号炉	女川原子力発電所2号炉	泊発電所3号炉	相違理由
<p>補足資料-19 1.9. 火山灰降灰時の平型フィルタ取替の手順について</p> <p>換気空調系の外気取入口のフィルタの取替作業を行う際は、対象となる系統の運転を停止し、ダンバを閉め、系統を隔離してから行う。また、フィルタの取替作業はガラリ内にて行うため、降灰の影響を受けにくい。</p> <p>フィルタ取替の手順書には、フィルタの取替前にガラリ内（床面及びダクトの吸込口）の養生を実施すること、並びに取替後はガラリ内を清掃することとしている。</p> <p>これらに加え、降灰時のフィルタ交換を行う場合には、以下の対応を行うこととする。</p> <ul style="list-style-type: none"> 床面に火山灰の回収用のポリシートを設置する。 フィルタを取り外す際は火山灰の付着状況を確認し、火山灰が回収用のポリシートの外に広がらないように注意して作業を行う。 ポリシートで回収できなかった火山灰については、掃除機等を用いて清掃する。  <p>図 外気取入口のフィルタ取替作業のイメージ</p> <p>以上</p>	<p>補足資料-11 降下火碎物降灰時のバグフィルタ取替手順について</p> <p>換気空調系の外気取入口のフィルタの取替作業を行う際は、以下の手順を実施することとしている。図1にバグフィルタの取替え・交換イメージを示す。</p> <ul style="list-style-type: none"> フィルタの取替作業はルーバ内にて行うため、降灰の影響を受けにくいと考えられるが、保護具（マスク、めがね）を装備する。 開口部に対して養生を行う。 設備影響を勘案し、必要に応じて対象となる系統の運転を停止し、系統を隔離してから取り替え作業を行う。 取り替え作業前に、空調機内への取り込み低減のため、周囲の降下火碎物を清掃する。 交換後、フィルタ差圧にて差圧が低下することを確認する。 作業終了後、降下火碎物の再浮遊の影響を低減させるため、作業エリアの降下火碎物は清掃する。  <p>図1 バグフィルタの清掃・取替えイメージ</p> <p>以上</p>	<p>補足資料-11 降下火碎物降灰時の平型フィルタ取替手順について</p> <p>換気空調設備の外気取入口のフィルタの取替作業を行う際は、以下の手順を実施することとしている。図1に平型フィルタの取替え・交換イメージを示す。</p> <ul style="list-style-type: none"> フィルタの取替作業はガラリ内にて行うため、降灰の影響を受けにくいと考えられるが、保護具（防塵マスク、防塵ゴーグル）を装備する。 グレーチング及び柵に対して養生を行う。 設備影響を勘案し、必要に応じて対象となる系統の運転を停止し、系統を隔離してから取り替え作業を行う。 取り替え作業前に、換気空調設備内への取り込み低減のため、周囲の降下火碎物を清掃する。 交換後、フィルタ差圧にて差圧が低下することを確認する。 作業終了後、降下火碎物の再浮遊の影響を低減させるため、作業エリアの降下火碎物は清掃する。  <p>図1 平型フィルタの清掃・取替えイメージ</p> <p>以上</p>	<p>【大飯】記載表現の相違 【女川】設計方針の相違 ・プラント設計の相違によるフィルタ仕様の相違 (火山灰の除去の観点では同等の性能を有する) 【女川】設備の相違 【女川】記載表現の相違 【大飯】記載表現の相違 【女川】記載表現の相違</p> <p>【女川】設計方針の相違 ・プラント設計の相違によるフィルタ仕様の相違</p>

泊発電所3号炉 DB基準適合性 比較表

第6条 外部からの衝撃による損傷の防止 (火山:別添資料1)

赤字: 設備、運用又は体制の相違 (設計方針の相違)
 青字: 記載箇所又は記載内容の相違 (記載方針の相違)
 緑字: 記載表現、設備名称の相違 (実質的な相違なし)

大飯発電所3／4号炉	女川原子力発電所2号炉	泊発電所3号炉	相違理由																																																																																																																																						
<p>補足資料-20 20. 観測された諸噴火の最盛期における噴煙柱の高度、噴出率と継続時間</p> <p>図1に示すとおり、富士山（宝永噴火 1707年）の噴出継続時間は、断続的に約16日間継続している。</p>  <p>図1 富士山（宝永噴火 1707年）の噴出率の推移（宮地・小山（2007））</p> <p>火山観測データが存在する最近の観測記録では、噴火の継続時間は殆どが数時間程度であり、長いものでも36時間程度である。</p> <p>表1に示すとおり、火山観測データが存在する最近の観測記録では、噴火の継続時間は殆どが数時間程度であり、長いものでも36時間程度である。</p> <p>表1 観測された諸噴火最盛期における噴出率と継続時間</p> <table border="1"> <thead> <tr> <th>噴火年（地名）</th> <th>噴煙柱高度（km）</th> <th>噴出率（m³/s）</th> <th>継続時間（h）</th> </tr> </thead> <tbody> <tr><td>Pinatubo 1991 (フィリピン)</td><td>35</td><td>250,000</td><td>9</td></tr> <tr><td>Bogosian 1956 (カムチャッカ)</td><td>36</td><td>230,000</td><td>0.5</td></tr> <tr><td>Santa Maria 1902 (ダアテマラ)</td><td>34</td><td>17,000-38,000</td><td>24-36</td></tr> <tr><td>Hekla 1947 (アイスランド)</td><td>24</td><td>17,000</td><td>0.5</td></tr> <tr><td>Soufriere 1979 (西インド諸島)</td><td>16</td><td>6,200</td><td>9</td></tr> <tr><td>Mt. St. Helens 1980 (アメリカ合衆国)</td><td>18</td><td>12,600</td><td>0.23</td></tr> <tr><td>伊豆大島 1986 (伊豆)</td><td>16</td><td>1,000</td><td>3</td></tr> <tr><td>Soufriere 1902 (西インド諸島)</td><td>14.5-16</td><td>11,000-15,000</td><td>2.5-3.5</td></tr> <tr><td>Hekla 1970 (アイスランド)</td><td>14</td><td>3,333</td><td>2</td></tr> <tr><td>駒ヶ岳 1929 (北海道)</td><td>13.9</td><td>15,870</td><td>7</td></tr> <tr><td>有珠山 1977-1 (北海道)</td><td>12</td><td>3,375</td><td>2</td></tr> <tr><td>Fuego 1971 (ダアテマラ)</td><td>10</td><td>640</td><td>10</td></tr> <tr><td>駒島 1914 (九州)</td><td>7-8</td><td>4,012</td><td>36</td></tr> <tr><td>三宅島 1983A-E (伊豆)</td><td>6</td><td>570</td><td>1.5</td></tr> <tr><td>Heimaey 1973 (アイスランド)</td><td>2-3</td><td>50</td><td>8.45</td></tr> <tr><td>Ngauruhoe 1974 (ニュージーランド)</td><td>1.5-3.7</td><td>10</td><td>14</td></tr> </tbody> </table> <p>【Wilson et al. (1978), Cas & Wright (1987), 遠藤ほか(1986), 早川(1991b), Pyle(2000)から編集】</p> <p>以上</p>	噴火年（地名）	噴煙柱高度（km）	噴出率（m³/s）	継続時間（h）	Pinatubo 1991 (フィリピン)	35	250,000	9	Bogosian 1956 (カムチャッカ)	36	230,000	0.5	Santa Maria 1902 (ダアテマラ)	34	17,000-38,000	24-36	Hekla 1947 (アイスランド)	24	17,000	0.5	Soufriere 1979 (西インド諸島)	16	6,200	9	Mt. St. Helens 1980 (アメリカ合衆国)	18	12,600	0.23	伊豆大島 1986 (伊豆)	16	1,000	3	Soufriere 1902 (西インド諸島)	14.5-16	11,000-15,000	2.5-3.5	Hekla 1970 (アイスランド)	14	3,333	2	駒ヶ岳 1929 (北海道)	13.9	15,870	7	有珠山 1977-1 (北海道)	12	3,375	2	Fuego 1971 (ダアテマラ)	10	640	10	駒島 1914 (九州)	7-8	4,012	36	三宅島 1983A-E (伊豆)	6	570	1.5	Heimaey 1973 (アイスランド)	2-3	50	8.45	Ngauruhoe 1974 (ニュージーランド)	1.5-3.7	10	14	<p>補足資料-12 観測された諸噴火の最盛期における噴出率と継続時間について</p> <p>図1に示すとおり、富士山（宝永噴火 1707年）の噴出継続時間は、断続的に約16日間継続している。</p>  <p>図1 富士山（宝永噴火 1707年）の噴出率の推移（宮地・小山（2007））</p> <p>表1に示すとおり、火山観測データが存在する最近の観測記録では、噴火の継続時間は殆どが数時間程度であり、長いものでも36時間程度である。</p> <p>表1 観測された諸噴火最盛期における噴出率と継続時間</p> <table border="1"> <thead> <tr> <th>噴火年（地名）</th> <th>噴煙柱高度（km）</th> <th>噴出率（m³/s）</th> <th>継続時間（h）</th> </tr> </thead> <tbody> <tr><td>Pinatubo 1991 (フィリピン)</td><td>35</td><td>250,000</td><td>9</td></tr> <tr><td>Bogosian 1956 (カムチャッカ)</td><td>36</td><td>230,000</td><td>0.5</td></tr> <tr><td>Santa Maria 1902 (ダアテマラ)</td><td>34</td><td>17,000-38,000</td><td>24-36</td></tr> <tr><td>Hekla 1947 (アイスランド)</td><td>24</td><td>17,000</td><td>0.5</td></tr> <tr><td>Soufriere 1979 (西インド諸島)</td><td>16</td><td>6,200</td><td>9</td></tr> <tr><td>Mt. St. Helens 1980 (アメリカ合衆国)</td><td>18</td><td>12,600</td><td>0.23</td></tr> <tr><td>伊豆大島 1986 (伊豆)</td><td>16</td><td>1,000</td><td>3</td></tr> <tr><td>Soufriere 1902 (西インド諸島)</td><td>14.5-16</td><td>11,000-15,000</td><td>2.5-3.5</td></tr> <tr><td>Hekla 1970 (アイスランド)</td><td>14</td><td>3,333</td><td>2</td></tr> <tr><td>駒ヶ岳 1929 (北海道)</td><td>13.9</td><td>15,870</td><td>7</td></tr> <tr><td>有珠山 1977-1 (北海道)</td><td>12</td><td>3,375</td><td>2</td></tr> <tr><td>Fuego 1971 (ダアテマラ)</td><td>10</td><td>640</td><td>10</td></tr> <tr><td>駒島 1914 (九州)</td><td>7-8</td><td>4,012</td><td>36</td></tr> <tr><td>三宅島 1983A-E (伊豆)</td><td>6</td><td>570</td><td>1.5</td></tr> <tr><td>Heimaey 1973 (アイスランド)</td><td>2-3</td><td>50</td><td>8.45</td></tr> <tr><td>Ngauruhoe 1974 (ニュージーランド)</td><td>1.5-3.7</td><td>10</td><td>14</td></tr> </tbody> </table> <p>【Wilson et al. (1978), Cas & Wright (1987), 遠藤ほか(1986), 早川(1991b), Pyle(2000)から編集】</p> <p>以上</p>	噴火年（地名）	噴煙柱高度（km）	噴出率（m³/s）	継続時間（h）	Pinatubo 1991 (フィリピン)	35	250,000	9	Bogosian 1956 (カムチャッカ)	36	230,000	0.5	Santa Maria 1902 (ダアテマラ)	34	17,000-38,000	24-36	Hekla 1947 (アイスランド)	24	17,000	0.5	Soufriere 1979 (西インド諸島)	16	6,200	9	Mt. St. Helens 1980 (アメリカ合衆国)	18	12,600	0.23	伊豆大島 1986 (伊豆)	16	1,000	3	Soufriere 1902 (西インド諸島)	14.5-16	11,000-15,000	2.5-3.5	Hekla 1970 (アイスランド)	14	3,333	2	駒ヶ岳 1929 (北海道)	13.9	15,870	7	有珠山 1977-1 (北海道)	12	3,375	2	Fuego 1971 (ダアテマラ)	10	640	10	駒島 1914 (九州)	7-8	4,012	36	三宅島 1983A-E (伊豆)	6	570	1.5	Heimaey 1973 (アイスランド)	2-3	50	8.45	Ngauruhoe 1974 (ニュージーランド)	1.5-3.7	10	14
噴火年（地名）	噴煙柱高度（km）	噴出率（m³/s）	継続時間（h）																																																																																																																																						
Pinatubo 1991 (フィリピン)	35	250,000	9																																																																																																																																						
Bogosian 1956 (カムチャッカ)	36	230,000	0.5																																																																																																																																						
Santa Maria 1902 (ダアテマラ)	34	17,000-38,000	24-36																																																																																																																																						
Hekla 1947 (アイスランド)	24	17,000	0.5																																																																																																																																						
Soufriere 1979 (西インド諸島)	16	6,200	9																																																																																																																																						
Mt. St. Helens 1980 (アメリカ合衆国)	18	12,600	0.23																																																																																																																																						
伊豆大島 1986 (伊豆)	16	1,000	3																																																																																																																																						
Soufriere 1902 (西インド諸島)	14.5-16	11,000-15,000	2.5-3.5																																																																																																																																						
Hekla 1970 (アイスランド)	14	3,333	2																																																																																																																																						
駒ヶ岳 1929 (北海道)	13.9	15,870	7																																																																																																																																						
有珠山 1977-1 (北海道)	12	3,375	2																																																																																																																																						
Fuego 1971 (ダアテマラ)	10	640	10																																																																																																																																						
駒島 1914 (九州)	7-8	4,012	36																																																																																																																																						
三宅島 1983A-E (伊豆)	6	570	1.5																																																																																																																																						
Heimaey 1973 (アイスランド)	2-3	50	8.45																																																																																																																																						
Ngauruhoe 1974 (ニュージーランド)	1.5-3.7	10	14																																																																																																																																						
噴火年（地名）	噴煙柱高度（km）	噴出率（m³/s）	継続時間（h）																																																																																																																																						
Pinatubo 1991 (フィリピン)	35	250,000	9																																																																																																																																						
Bogosian 1956 (カムチャッカ)	36	230,000	0.5																																																																																																																																						
Santa Maria 1902 (ダアテマラ)	34	17,000-38,000	24-36																																																																																																																																						
Hekla 1947 (アイスランド)	24	17,000	0.5																																																																																																																																						
Soufriere 1979 (西インド諸島)	16	6,200	9																																																																																																																																						
Mt. St. Helens 1980 (アメリカ合衆国)	18	12,600	0.23																																																																																																																																						
伊豆大島 1986 (伊豆)	16	1,000	3																																																																																																																																						
Soufriere 1902 (西インド諸島)	14.5-16	11,000-15,000	2.5-3.5																																																																																																																																						
Hekla 1970 (アイスランド)	14	3,333	2																																																																																																																																						
駒ヶ岳 1929 (北海道)	13.9	15,870	7																																																																																																																																						
有珠山 1977-1 (北海道)	12	3,375	2																																																																																																																																						
Fuego 1971 (ダアテマラ)	10	640	10																																																																																																																																						
駒島 1914 (九州)	7-8	4,012	36																																																																																																																																						
三宅島 1983A-E (伊豆)	6	570	1.5																																																																																																																																						
Heimaey 1973 (アイスランド)	2-3	50	8.45																																																																																																																																						
Ngauruhoe 1974 (ニュージーランド)	1.5-3.7	10	14																																																																																																																																						

泊発電所3号炉 DB基準適合性 比較表

第6条 外部からの衝撃による損傷の防止 (火山:別添資料1)

赤字: 設備、運用又は体制の相違 (設計方針の相違)
 青字: 記載箇所又は記載内容の相違 (記載方針の相違)
 緑字: 記載表現、設備名称の相違 (実質的な相違なし)

大飯発電所3／4号炉	女川原子力発電所2号炉	泊発電所3号炉	相違理由
	<p style="text-align: center;">補足資料-13 重大事故等対処設備に対する考慮について</p> <p>設置許可基準規則第43条（重大事故等対処設備）の要求を踏まえ、降下火砕物によって、設計基準事故対処設備の安全機能と重大事故等対処設備の機能が同時に損なわれることがないことを確認するとともに、重大事故等対処設備の機能が喪失した場合においても、外殻となる建屋による防護に期待できる代替手段等により必要な機能を維持できることを確認する。</p> <p>重大事故等対処設備の機能維持は、以下の方針に従い評価を実施する。</p> <p>(1) 重大事故防止設備は、降下火砕物によって設計基準事故対処設備の安全機能と同時にその機能が損なわれるおそれのないこと</p> <p>(2) 重大事故等対処設備であって、重大事故防止設備でない設備は、代替設備若しくは安全上支障のない期間内での復旧により機能維持可能であること</p> <p>(3) 降下火砕物が発生した場合においても、重大事故等対処設備によりプラント安全性に関する主要な機能（未臨界移行機能、燃料冷却機能、格納容器除熱機能、使用済燃料プール注水機能）が維持できること（降下火砕物により重大事故等対処設備と設計基準事故対処設備の機能が同時に損なわれることはないが、安全上支障のない期間内での復旧により機能維持可能であることを確認する）</p> <p>降下火砕物に対する重大事故等対処施設の影響評価フロー並びに方針(1)及び(2)に対する評価結果をそれぞれ図1,表1に示す。また、方針(3)に示したプラント安全性に関する主要な機能は、以下に例示するとおり重大事故等対処設備により維持される。</p> <ul style="list-style-type: none"> ・未臨界移行機能：ATWS緩和設備（代替制御棒挿入機能） ・燃料冷却機能：低圧代替注水系（可搬型） ・格納容器除熱機能：原子炉補機代替冷却水系 ・使用済燃料プール注水機能：燃料プール代替注水系（可搬型） <p>なお、重大事故等対処施設の設計方針は、設置許可基準規則第43条（重大事故等対処設備）にて考慮する。</p>	<p style="text-align: center;">補足資料-13 重大事故等対処設備に対する考慮について</p> <p>設置許可基準規則第43条（重大事故等対処設備）の要求を踏まえ、降下火砕物によって、設計基準事故対処設備の安全機能と重大事故等対処設備の機能が同時に損なわれることがないことを確認するとともに、重大事故等対処設備の機能が喪失した場合においても、外殻となる建屋による防護に期待できる代替手段等により必要な機能を維持できることを確認する。</p> <p>重大事故等対処設備の機能維持は、以下の方針に従い評価を実施する。</p> <p>(1) 重大事故防止設備は、降下火砕物によって設計基準事故対処設備の安全機能と同時にその機能が損なわれるおそれのないこと</p> <p>(2) 重大事故等対処設備であって、重大事故防止設備でない設備は、代替設備若しくは安全上支障のない期間内での復旧により機能維持可能であること</p> <p>(3) 降下火砕物が発生した場合においても、重大事故等対処設備によりプラント安全性に関する主要な機能（未臨界移行機能、燃料冷却機能、格納容器除熱機能、使用済燃料ピット注水機能）が維持できること（降下火砕物により重大事故等対処設備と設計基準事故対処設備の機能が同時に損なわれることはないが、安全上支障のない期間内での復旧により機能維持可能であることを確認する）</p> <p>降下火砕物に対する重大事故等対処施設の影響評価フロー並びに方針(1)及び(2)に対する評価結果をそれぞれ図1,表1に示す。また、方針(3)に示したプラント安全性に関する主要な機能は、以下に例示するとおり重大事故等対処設備により維持される。</p> <ul style="list-style-type: none"> ・未臨界移行機能：手動による原子炉緊急停止、原子炉出力抑制（自動）、原子炉出力抑制（手動）、ほう酸水注入 ・燃料冷却機能：代替炉心注水（代替格納容器スプレイポンプ） ・格納容器除熱機能：格納容器内自然対流冷却 ・使用済燃料ピット注水機能：使用済燃料ピットへの注水（可搬型大型送水ポンプ車） <p>なお、重大事故等対処施設の設計方針は、設置許可基準規則第43条（重大事故等対処設備）にて考慮する。</p>	<p>【大飯】記載方針の相違 ・女川審査実績の反映</p> <p>【女川】 設備名称の相違</p> <p>【女川】 設計方針の相違 ・プラント設計の相違 による機能の相違</p> <p>【女川】 設備名称の相違</p>

泊発電所 3号炉 DB基準適合性 比較表

赤字：設備、運用又は体制の相違（設計方針の相違）
青字：記載箇所又は記載内容の相違（記載方針の相違）
緑字：記載表現、設備名称の相違（実質的な相違なし）

第6条 外部からの衝撃による損傷の防止（火山：別添資料1）

大飯発電所3／4号炉	女川原子力発電所2号炉	泊発電所3号炉	相違理由
	<p>※1：炉内設備については、当該設備を内包する建屋（原子炉建屋、制御建屋、緊急用重気吊運搬室及び緊急対応建屋）の耐震評価を実施し、安全機能が維持されることを確認 ※2：降下火砕物により重大事故等対処設備と設計基準対象程度の機能が同時に損なわれることはないが、安全上実施のない期間での復旧により機能維持可能であることを確認</p> <p>図1 降下火砕物に対する重大事故等対処設備の評価フロー</p>	<p>※1：炉内設備については、各該設備を内包する建屋（原子炉建屋、原子炉建屋、ディーゼル発電機建屋及び緊急対応建屋）の耐震評価を実施し、安全機能が維持されることを確認 ※2：降下火砕物により重大事故等対処設備と設計基準対象程度の機能が同時に損なわれることはないが、安全上実施のない期間での復旧により機能維持可能であることを確認</p> <p>図1 降下火砕物に対する重大事故等対処設備の評価フロー</p>	

自発電所 3 号炉 DB 基準適合性 比較表

赤字：設備、運用又は体制の相違（設計方針の相違）
青字：記載箇所又は記載内容の相違（記載方針の相違）
緑字：記載表現、設備名称の相違（実質的な相違なし）

第6条 外部からの衝撃による損傷の防止（火山：別添資料1）

自発電所 3 号炉 DB 基準適合性 比較表

赤字：設備、運用又は体制の相違（設計方針の相違）
青字：記載箇所又は記載内容の相違（記載方針の相違）
緑字：記載表現、設備名称の相違（実質的な相違なし）

第6条 外部からの衝撃による損傷の防止（火山：別添資料1）

大飯発電所3／4号炉	女川原子力発電所2号炉	泊発電所3号炉	相違理由					
	<p align="center">女川原子力発電所2号炉</p> <table border="1" style="width: 100%; border-collapse: collapse;"> <tr> <td style="width: 10%; vertical-align: top; padding: 5px;"> 第45条(原子炉冷却材圧力が高くなる場合の対応) 原子炉内水素濃度が高くなる場合、配管等の取扱いを実施する。 </td><td style="width: 80%; vertical-align: top; padding: 5px;"> 防止措置・操作指針 用途に応じ (防止措置実施回数) 用途に応じ (設計基準対象回数) 用途に応じ (設計基準対象回数) 用途に応じ (設計基準対象回数) </td><td style="width: 10%; vertical-align: top; padding: 5px;"> 用途に応じ (設計基準対象回数) 用途に応じ (設計基準対象回数) 用途に応じ (設計基準対象回数) </td></tr> <tr> <td colspan="3" style="text-align: center; padding: 5px;">(左表については、43条の審査を踏まえ適宜反映する)</td></tr> </table>	第45条(原子炉冷却材圧力が高くなる場合の対応) 原子炉内水素濃度が高くなる場合、配管等の取扱いを実施する。	防止措置・操作指針 用途に応じ (防止措置実施回数) 用途に応じ (設計基準対象回数) 用途に応じ (設計基準対象回数) 用途に応じ (設計基準対象回数)	用途に応じ (設計基準対象回数) 用途に応じ (設計基準対象回数) 用途に応じ (設計基準対象回数)	(左表については、43条の審査を踏まえ適宜反映する)			
第45条(原子炉冷却材圧力が高くなる場合の対応) 原子炉内水素濃度が高くなる場合、配管等の取扱いを実施する。	防止措置・操作指針 用途に応じ (防止措置実施回数) 用途に応じ (設計基準対象回数) 用途に応じ (設計基準対象回数) 用途に応じ (設計基準対象回数)	用途に応じ (設計基準対象回数) 用途に応じ (設計基準対象回数) 用途に応じ (設計基準対象回数)						
(左表については、43条の審査を踏まえ適宜反映する)								
	<p align="center">泊発電所3号炉</p> <table border="1" style="width: 100%; border-collapse: collapse;"> <tr> <td style="width: 10%; vertical-align: top; padding: 5px;"> 第45条(原子炉冷却材圧力が高くなる場合の対応) 原子炉内水素濃度が高くなる場合、配管等の取扱いを実施する。 </td><td style="width: 80%; vertical-align: top; padding: 5px;"> 防止措置・操作指針 用途に応じ (防止措置実施回数) 用途に応じ (設計基準対象回数) 用途に応じ (設計基準対象回数) 用途に応じ (設計基準対象回数) </td><td style="width: 10%; vertical-align: top; padding: 5px;"> 用途に応じ (設計基準対象回数) 用途に応じ (設計基準対象回数) 用途に応じ (設計基準対象回数) </td></tr> <tr> <td colspan="3" style="text-align: center; padding: 5px;">(左表については、43条の審査を踏まえ適宜反映する)</td></tr> </table>	第45条(原子炉冷却材圧力が高くなる場合の対応) 原子炉内水素濃度が高くなる場合、配管等の取扱いを実施する。	防止措置・操作指針 用途に応じ (防止措置実施回数) 用途に応じ (設計基準対象回数) 用途に応じ (設計基準対象回数) 用途に応じ (設計基準対象回数)	用途に応じ (設計基準対象回数) 用途に応じ (設計基準対象回数) 用途に応じ (設計基準対象回数)	(左表については、43条の審査を踏まえ適宜反映する)			<p align="center">【女川】設計表現の相違</p> <ul style="list-style-type: none"> ・プラント設計の相違による対応手段等の相違
第45条(原子炉冷却材圧力が高くなる場合の対応) 原子炉内水素濃度が高くなる場合、配管等の取扱いを実施する。	防止措置・操作指針 用途に応じ (防止措置実施回数) 用途に応じ (設計基準対象回数) 用途に応じ (設計基準対象回数) 用途に応じ (設計基準対象回数)	用途に応じ (設計基準対象回数) 用途に応じ (設計基準対象回数) 用途に応じ (設計基準対象回数)						
(左表については、43条の審査を踏まえ適宜反映する)								

自発電所 3 号炉 DB 基準適合性 比較表

赤字：設備、運用又は体制の相違（設計方針の相違）
青字：記載箇所又は記載内容の相違（記載方針の相違）
緑字：記載表現、設備名称の相違（実質的な相違なし）

第6条 外部からの衝撃による損傷の防止（火山：別添資料1）

大飯発電所3／4号炉	女川原子力発電所2号炉	泊発電所3号炉	相違理由																																																																																																																																																																																																																																																																																											
<p>表1 降下火砕物に対する重大事故等対処設備の影響評価 (2/9)</p> <table border="1"> <thead> <tr> <th>設置許可基準</th> <th>重大事故等対処設備</th> <th>初期</th> <th>障害・留置</th> <th>水山</th> </tr> </thead> <tbody> <tr> <td>車両代替船</td> <td>安永運送ボート、西留等</td> <td>防止設備・深抑制震</td> <td>初期</td> <td>初期</td> </tr> <tr> <td>(本社) (海 木野送ボート ブリ)</td> <td>東小町港・タク</td> <td>側面に遮蔽</td> <td>—</td> <td>—</td> </tr> <tr> <td>北陸代替船(本 社) (富山) (酒 波運輸社) (北 条造船)</td> <td>直進運動船(本条運送)、高麗等</td> <td>防止設備</td> <td>初期</td> <td>初期</td> </tr> <tr> <td>富山各便下記 船舶航行力の シグナル機械に 着電船の航行を 高橋からなるもの 詳説)</td> <td>高麗に遮蔽</td> <td>—</td> <td>—</td> </tr> <tr> <td>新潟代船(本社 (河原崎))</td> <td>可動船体・大谷浦渡水ボート(マイ ア)、ホース販賣回取車、ホース</td> <td>防止設備・高麗障壁</td> <td>○</td> <td>影響なし (高麗に遮蔽)</td> </tr> <tr> <td>全設置所</td> <td>構成船、配管等</td> <td>防止設備・高麗障壁</td> <td>○</td> <td>影響なし (高麗に遮蔽)</td> </tr> <tr> <td>富山駅前、西宮等</td> <td>防止設備・該の障壁</td> <td>初期</td> <td>初期</td> </tr> <tr> <td>日本木材(福井)、日本木材(櫛 (岐阜))</td> <td>防止設備</td> <td>初期</td> <td>初期</td> </tr> <tr> <td>西日本水上</td> <td>新潟物資(スミノエ)、配管等</td> <td>(設計基準対象施設)</td> <td>初期</td> <td>初期</td> </tr> <tr> <td>新潟注水車</td> <td>サブレッシャンポンプ</td> <td>側面に遮蔽</td> <td>—</td> <td>—</td> </tr> <tr> <td>新潟熱線会社</td> <td>津居熱線会社ボート、津居熱線会社 熱線船、西宮等</td> <td>(設計基準対象施設)</td> <td>初期</td> <td>初期</td> </tr> <tr> <td>北陸の心アド</td> <td>石川心スレイボート、配管等</td> <td>(設計基準対象施設)</td> <td>初期</td> <td>初期</td> </tr> <tr> <td>北陸の心</td> <td>サブレッシャンポンプ</td> <td>側面に遮蔽</td> <td>—</td> <td>—</td> </tr> <tr> <td>市立病院</td> <td>豊田病院(豊田市)、名古屋市立 病院</td> <td>初期</td> <td>初期</td> </tr> <tr> <td>原子炉建屋内施設</td> <td>原子炉建屋内施設(原子炉建屋内施設を含む)</td> <td>初期</td> <td>初期</td> </tr> <tr> <td>若狭造船</td> <td>その他の公害に遮蔽</td> <td>—</td> <td>—</td> </tr> </tbody> </table>	設置許可基準	重大事故等対処設備	初期	障害・留置	水山	車両代替船	安永運送ボート、西留等	防止設備・深抑制震	初期	初期	(本社) (海 木野送ボート ブリ)	東小町港・タク	側面に遮蔽	—	—	北陸代替船(本 社) (富山) (酒 波運輸社) (北 条造船)	直進運動船(本条運送)、高麗等	防止設備	初期	初期	富山各便下記 船舶航行力の シグナル機械に 着電船の航行を 高橋からなるもの 詳説)	高麗に遮蔽	—	—	新潟代船(本社 (河原崎))	可動船体・大谷浦渡水ボート(マイ ア)、ホース販賣回取車、ホース	防止設備・高麗障壁	○	影響なし (高麗に遮蔽)	全設置所	構成船、配管等	防止設備・高麗障壁	○	影響なし (高麗に遮蔽)	富山駅前、西宮等	防止設備・該の障壁	初期	初期	日本木材(福井)、日本木材(櫛 (岐阜))	防止設備	初期	初期	西日本水上	新潟物資(スミノエ)、配管等	(設計基準対象施設)	初期	初期	新潟注水車	サブレッシャンポンプ	側面に遮蔽	—	—	新潟熱線会社	津居熱線会社ボート、津居熱線会社 熱線船、西宮等	(設計基準対象施設)	初期	初期	北陸の心アド	石川心スレイボート、配管等	(設計基準対象施設)	初期	初期	北陸の心	サブレッシャンポンプ	側面に遮蔽	—	—	市立病院	豊田病院(豊田市)、名古屋市立 病院	初期	初期	原子炉建屋内施設	原子炉建屋内施設(原子炉建屋内施設を含む)	初期	初期	若狭造船	その他の公害に遮蔽	—	—	<p>表1 降下火砕物に対する重大事故等対処設備の影響評価 (4/24)</p> <table border="1"> <thead> <tr> <th>設置許可基準</th> <th>重大事故等対処設備</th> <th>初期</th> <th>障害・留置</th> <th>水山</th> </tr> </thead> <tbody> <tr> <td>伊豆桂水(あて んボン)</td> <td>安永運送ボート、配管等</td> <td>初期設備</td> <td>A/B</td> <td>○ 備蓄内</td> </tr> <tr> <td>(1次構造材喪 失) (新潟市立 病院)</td> <td>西田川立交立渓、配管等</td> <td>初期設備</td> <td>B/C</td> <td>○ 備蓄内</td> </tr> <tr> <td>新潟市立立交立 渓</td> <td>津子井越縫水道設備</td> <td>初期設備</td> <td>C/D</td> <td>○ 備蓄内</td> </tr> <tr> <td>高麗に遮蔽</td> <td>1次構造設備</td> <td>1次構造設備に遮蔽</td> <td>—</td> <td>—</td> </tr> <tr> <td>代賀心桂水</td> <td>E-1新潟音頭スプレイボート (E-1新潟音頭スプレイボート新 規)</td> <td>防波堤</td> <td>A/B</td> <td>○ 備蓄内</td> </tr> <tr> <td>(1次構造材喪 失)</td> <td>新潟市立立交立渓、配管等</td> <td>初期設備</td> <td>B/C</td> <td>○ 備蓄内</td> </tr> <tr> <td>新潟市立立交立 渓</td> <td>津子井越縫水道設備</td> <td>初期設備</td> <td>C/D</td> <td>○ 備蓄内</td> </tr> <tr> <td>高麗に遮蔽</td> <td>1次構造設備</td> <td>1次構造設備に遮蔽</td> <td>—</td> <td>—</td> </tr> <tr> <td>代賀心桂水 (代賀音頭新規)</td> <td>E-1新潟音頭スプレイボート (E-1新潟音頭スプレイボート新 規)</td> <td>防波堤</td> <td>A/B</td> <td>○ 備蓄内</td> </tr> <tr> <td>(1次構造材喪 失)</td> <td>新潟市立立交立渓、配管等</td> <td>初期設備</td> <td>B/C</td> <td>○ 備蓄内</td> </tr> <tr> <td>新潟市立立交立 渓</td> <td>津子井越縫水道設備</td> <td>初期設備</td> <td>C/D</td> <td>○ 備蓄内</td> </tr> <tr> <td>高麗に遮蔽</td> <td>1次構造設備</td> <td>1次構造設備に遮蔽</td> <td>—</td> <td>—</td> </tr> <tr> <td>代賀心桂水 (代賀音頭新規)</td> <td>E-1新潟音頭スプレイボート (E-1新潟音頭スプレイボート新 規)</td> <td>防波堤</td> <td>A/B</td> <td>○ 備蓄内</td> </tr> <tr> <td>(1次構造材喪 失)</td> <td>新潟市立立交立渓、配管等</td> <td>初期設備</td> <td>B/C</td> <td>○ 備蓄内</td> </tr> <tr> <td>新潟市立立交立 渓</td> <td>津子井越縫水道設備</td> <td>初期設備</td> <td>C/D</td> <td>○ 備蓄内</td> </tr> <tr> <td>高麗に遮蔽</td> <td>1次構造設備</td> <td>1次構造設備に遮蔽</td> <td>—</td> <td>—</td> </tr> <tr> <td>代賀心桂水 (代 賀音頭新規)</td> <td>E-1新潟音頭スプレイボート (E-1新潟音頭スプレイボート新 規)</td> <td>防波堤</td> <td>A/B</td> <td>○ 備蓄内</td> </tr> <tr> <td>(1次構造材喪 失)</td> <td>新潟市立立交立渓、配管等</td> <td>初期設備</td> <td>B/C</td> <td>○ 備蓄内</td> </tr> <tr> <td>新潟市立立交立 渓</td> <td>津子井越縫水道設備</td> <td>初期設備</td> <td>C/D</td> <td>○ 備蓄内</td> </tr> <tr> <td>高麗に遮蔽</td> <td>1次構造設備</td> <td>1次構造設備に遮蔽</td> <td>—</td> <td>—</td> </tr> <tr> <td>代賀心桂水 (代 賀音頭新規)</td> <td>E-1新潟音頭スプレイボート (E-1新潟音頭スプレイボート新 規)</td> <td>防波堤</td> <td>A/B</td> <td>○ 備蓄内</td> </tr> <tr> <td>(1次構造材喪 失)</td> <td>新潟市立立交立渓、配管等</td> <td>初期設備</td> <td>B/C</td> <td>○ 備蓄内</td> </tr> <tr> <td>新潟市立立交立 渓</td> <td>津子井越縫水道設備</td> <td>初期設備</td> <td>C/D</td> <td>○ 備蓄内</td> </tr> <tr> <td>高麗に遮蔽</td> <td>1次構造設備</td> <td>1次構造設備に遮蔽</td> <td>—</td> <td>—</td> </tr> <tr> <td>代賀心桂水 (代 賀音頭新規)</td> <td>E-1新潟音頭スプレイボート (E-1新潟音頭スプレイボート新 規)</td> <td>防波堤</td> <td>A/B</td> <td>○ 備蓄内</td> </tr> <tr> <td>(1次構造材喪 失)</td> <td>新潟市立立交立渓、配管等</td> <td>初期設備</td> <td>B/C</td> <td>○ 備蓄内</td> </tr> <tr> <td>新潟市立立交立 渓</td> <td>津子井越縫水道設備</td> <td>初期設備</td> <td>C/D</td> <td>○ 備蓄内</td> </tr> <tr> <td>高麗に遮蔽</td> <td>1次構造設備</td> <td>1次構造設備に遮蔽</td> <td>—</td> <td>—</td> </tr> <tr> <td>代 賀心桂水 (代 賀音頭新規)</td> <td>E-1新潟音頭スプレイボート (E-1新潟音頭スプレイボート新 規)</td> <td>防波堤</td> <td>A/B</td> <td>○ 備蓄内</td> </tr> <tr> <td>(1次構造材喪 失)</td> <td>新潟市立立交立渓、配管等</td> <td>初期設備</td> <td>B/C</td> <td>○ 備蓄内</td> </tr> <tr> <td>新潟市立立交立 渓</td> <td>津子井越縫水道設備</td> <td>初期設備</td> <td>C/D</td> <td>○ 備蓄内</td> </tr> <tr> <td>高麗に遮蔽</td> <td>1次構造設備</td> <td>1次構造設備に遮蔽</td> <td>—</td> <td>—</td> </tr> <tr> <td>代 賀心桂水 (代 賀音頭新規)</td> <td>E-1新潟音頭スプレイボート (E-1新潟音頭スプレイボート新 規)</td> <td>防波堤</td> <td>A/B</td> <td>○ 備蓄内</td> </tr> <tr> <td>(1次構造材喪 失)</td> <td>新潟市立立交立渓、配管等</td> <td>初期設備</td> <td>B/C</td> <td>○ 備蓄内</td> </tr> <tr> <td>新潟市立立交立 渓</td> <td>津子井越縫水道設備</td> <td>初期設備</td> <td>C/D</td> <td>○ 備蓄内</td> </tr> <tr> <td>高麗に遮蔽</td> <td>1次構造設備</td> <td>1次構造設備に遮蔽</td> <td>—</td> <td>—</td> </tr> <tr> <td>代 賀心桂水 (代 賀音頭新規)</td> <td>E-1新潟音頭スプレイボート (E-1新潟音頭スプレイボート新 規)</td> <td>防波堤</td> <td>A/B</td> <td>○ 備蓄内</td> </tr> <tr> <td>(1次構造材喪 失)</td> <td>新潟市立立交立渓、配管等</td> <td>初期設備</td> <td>B/C</td> <td>○ 備蓄内</td> </tr> <tr> <td>新潟市立立交立 渓</td> <td>津子井越縫水道設備</td> <td>初期設備</td> <td>C/D</td> <td>○ 備蓄内</td> </tr> <tr> <td>高麗に遮蔽</td> <td>1次構造設備</td> <td>1次構造設備に遮蔽</td> <td>—</td> <td>—</td> </tr> </tbody> </table> <p>注釈 ①：降下火砕物に対する重大事故等対処設備の影響評価である。 ②：当該火砕物による影響を考慮した場合でも、対応する設計基準が最初の降下火砕物に対して最も優先を受ける。(即ち影響) ③：当該火砕物による影響を考慮して、代用設備による影響を考慮する上では、火砕物の初期段階で最も優先される。即ち、初期段階、即ち火砕物の初期段階で最も優先される。</p> <p>④：(左表については、43条の審査を踏まえ適宜反映する)</p>	設置許可基準	重大事故等対処設備	初期	障害・留置	水山	伊豆桂水(あて んボン)	安永運送ボート、配管等	初期設備	A/B	○ 備蓄内	(1次構造材喪 失) (新潟市立 病院)	西田川立交立渓、配管等	初期設備	B/C	○ 備蓄内	新潟市立立交立 渓	津子井越縫水道設備	初期設備	C/D	○ 備蓄内	高麗に遮蔽	1次構造設備	1次構造設備に遮蔽	—	—	代賀心桂水	E-1新潟音頭スプレイボート (E-1新潟音頭スプレイボート新 規)	防波堤	A/B	○ 備蓄内	(1次構造材喪 失)	新潟市立立交立渓、配管等	初期設備	B/C	○ 備蓄内	新潟市立立交立 渓	津子井越縫水道設備	初期設備	C/D	○ 備蓄内	高麗に遮蔽	1次構造設備	1次構造設備に遮蔽	—	—	代賀心桂水 (代賀音頭新規)	E-1新潟音頭スプレイボート (E-1新潟音頭スプレイボート新 規)	防波堤	A/B	○ 備蓄内	(1次構造材喪 失)	新潟市立立交立渓、配管等	初期設備	B/C	○ 備蓄内	新潟市立立交立 渓	津子井越縫水道設備	初期設備	C/D	○ 備蓄内	高麗に遮蔽	1次構造設備	1次構造設備に遮蔽	—	—	代賀心桂水 (代賀音頭新規)	E-1新潟音頭スプレイボート (E-1新潟音頭スプレイボート新 規)	防波堤	A/B	○ 備蓄内	(1次構造材喪 失)	新潟市立立交立渓、配管等	初期設備	B/C	○ 備蓄内	新潟市立立交立 渓	津子井越縫水道設備	初期設備	C/D	○ 備蓄内	高麗に遮蔽	1次構造設備	1次構造設備に遮蔽	—	—	代賀心桂水 (代 賀音頭新規)	E-1新潟音頭スプレイボート (E-1新潟音頭スプレイボート新 規)	防波堤	A/B	○ 備蓄内	(1次構造材喪 失)	新潟市立立交立渓、配管等	初期設備	B/C	○ 備蓄内	新潟市立立交立 渓	津子井越縫水道設備	初期設備	C/D	○ 備蓄内	高麗に遮蔽	1次構造設備	1次構造設備に遮蔽	—	—	代賀心桂水 (代 賀音頭新規)	E-1新潟音頭スプレイボート (E-1新潟音頭スプレイボート新 規)	防波堤	A/B	○ 備蓄内	(1次構造材喪 失)	新潟市立立交立渓、配管等	初期設備	B/C	○ 備蓄内	新潟市立立交立 渓	津子井越縫水道設備	初期設備	C/D	○ 備蓄内	高麗に遮蔽	1次構造設備	1次構造設備に遮蔽	—	—	代賀心桂水 (代 賀音頭新規)	E-1新潟音頭スプレイボート (E-1新潟音頭スプレイボート新 規)	防波堤	A/B	○ 備蓄内	(1次構造材喪 失)	新潟市立立交立渓、配管等	初期設備	B/C	○ 備蓄内	新潟市立立交立 渓	津子井越縫水道設備	初期設備	C/D	○ 備蓄内	高麗に遮蔽	1次構造設備	1次構造設備に遮蔽	—	—	代 賀心桂水 (代 賀音頭新規)	E-1新潟音頭スプレイボート (E-1新潟音頭スプレイボート新 規)	防波堤	A/B	○ 備蓄内	(1次構造材喪 失)	新潟市立立交立渓、配管等	初期設備	B/C	○ 備蓄内	新潟市立立交立 渓	津子井越縫水道設備	初期設備	C/D	○ 備蓄内	高麗に遮蔽	1次構造設備	1次構造設備に遮蔽	—	—	代 賀心桂水 (代 賀音頭新規)	E-1新潟音頭スプレイボート (E-1新潟音頭スプレイボート新 規)	防波堤	A/B	○ 備蓄内	(1次構造材喪 失)	新潟市立立交立渓、配管等	初期設備	B/C	○ 備蓄内	新潟市立立交立 渓	津子井越縫水道設備	初期設備	C/D	○ 備蓄内	高麗に遮蔽	1次構造設備	1次構造設備に遮蔽	—	—	代 賀心桂水 (代 賀音頭新規)	E-1新潟音頭スプレイボート (E-1新潟音頭スプレイボート新 規)	防波堤	A/B	○ 備蓄内	(1次構造材喪 失)	新潟市立立交立渓、配管等	初期設備	B/C	○ 備蓄内	新潟市立立交立 渓	津子井越縫水道設備	初期設備	C/D	○ 備蓄内	高麗に遮蔽	1次構造設備	1次構造設備に遮蔽	—	—	<p>【女川】設計表現の相違</p> <ul style="list-style-type: none"> ・プラント設計の相違による対応手段等の相違
設置許可基準	重大事故等対処設備	初期	障害・留置	水山																																																																																																																																																																																																																																																																																										
車両代替船	安永運送ボート、西留等	防止設備・深抑制震	初期	初期																																																																																																																																																																																																																																																																																										
(本社) (海 木野送ボート ブリ)	東小町港・タク	側面に遮蔽	—	—																																																																																																																																																																																																																																																																																										
北陸代替船(本 社) (富山) (酒 波運輸社) (北 条造船)	直進運動船(本条運送)、高麗等	防止設備	初期	初期																																																																																																																																																																																																																																																																																										
富山各便下記 船舶航行力の シグナル機械に 着電船の航行を 高橋からなるもの 詳説)	高麗に遮蔽	—	—																																																																																																																																																																																																																																																																																											
新潟代船(本社 (河原崎))	可動船体・大谷浦渡水ボート(マイ ア)、ホース販賣回取車、ホース	防止設備・高麗障壁	○	影響なし (高麗に遮蔽)																																																																																																																																																																																																																																																																																										
全設置所	構成船、配管等	防止設備・高麗障壁	○	影響なし (高麗に遮蔽)																																																																																																																																																																																																																																																																																										
富山駅前、西宮等	防止設備・該の障壁	初期	初期																																																																																																																																																																																																																																																																																											
日本木材(福井)、日本木材(櫛 (岐阜))	防止設備	初期	初期																																																																																																																																																																																																																																																																																											
西日本水上	新潟物資(スミノエ)、配管等	(設計基準対象施設)	初期	初期																																																																																																																																																																																																																																																																																										
新潟注水車	サブレッシャンポンプ	側面に遮蔽	—	—																																																																																																																																																																																																																																																																																										
新潟熱線会社	津居熱線会社ボート、津居熱線会社 熱線船、西宮等	(設計基準対象施設)	初期	初期																																																																																																																																																																																																																																																																																										
北陸の心アド	石川心スレイボート、配管等	(設計基準対象施設)	初期	初期																																																																																																																																																																																																																																																																																										
北陸の心	サブレッシャンポンプ	側面に遮蔽	—	—																																																																																																																																																																																																																																																																																										
市立病院	豊田病院(豊田市)、名古屋市立 病院	初期	初期																																																																																																																																																																																																																																																																																											
原子炉建屋内施設	原子炉建屋内施設(原子炉建屋内施設を含む)	初期	初期																																																																																																																																																																																																																																																																																											
若狭造船	その他の公害に遮蔽	—	—																																																																																																																																																																																																																																																																																											
設置許可基準	重大事故等対処設備	初期	障害・留置	水山																																																																																																																																																																																																																																																																																										
伊豆桂水(あて んボン)	安永運送ボート、配管等	初期設備	A/B	○ 備蓄内																																																																																																																																																																																																																																																																																										
(1次構造材喪 失) (新潟市立 病院)	西田川立交立渓、配管等	初期設備	B/C	○ 備蓄内																																																																																																																																																																																																																																																																																										
新潟市立立交立 渓	津子井越縫水道設備	初期設備	C/D	○ 備蓄内																																																																																																																																																																																																																																																																																										
高麗に遮蔽	1次構造設備	1次構造設備に遮蔽	—	—																																																																																																																																																																																																																																																																																										
代賀心桂水	E-1新潟音頭スプレイボート (E-1新潟音頭スプレイボート新 規)	防波堤	A/B	○ 備蓄内																																																																																																																																																																																																																																																																																										
(1次構造材喪 失)	新潟市立立交立渓、配管等	初期設備	B/C	○ 備蓄内																																																																																																																																																																																																																																																																																										
新潟市立立交立 渓	津子井越縫水道設備	初期設備	C/D	○ 備蓄内																																																																																																																																																																																																																																																																																										
高麗に遮蔽	1次構造設備	1次構造設備に遮蔽	—	—																																																																																																																																																																																																																																																																																										
代賀心桂水 (代賀音頭新規)	E-1新潟音頭スプレイボート (E-1新潟音頭スプレイボート新 規)	防波堤	A/B	○ 備蓄内																																																																																																																																																																																																																																																																																										
(1次構造材喪 失)	新潟市立立交立渓、配管等	初期設備	B/C	○ 備蓄内																																																																																																																																																																																																																																																																																										
新潟市立立交立 渓	津子井越縫水道設備	初期設備	C/D	○ 備蓄内																																																																																																																																																																																																																																																																																										
高麗に遮蔽	1次構造設備	1次構造設備に遮蔽	—	—																																																																																																																																																																																																																																																																																										
代賀心桂水 (代賀音頭新規)	E-1新潟音頭スプレイボート (E-1新潟音頭スプレイボート新 規)	防波堤	A/B	○ 備蓄内																																																																																																																																																																																																																																																																																										
(1次構造材喪 失)	新潟市立立交立渓、配管等	初期設備	B/C	○ 備蓄内																																																																																																																																																																																																																																																																																										
新潟市立立交立 渓	津子井越縫水道設備	初期設備	C/D	○ 備蓄内																																																																																																																																																																																																																																																																																										
高麗に遮蔽	1次構造設備	1次構造設備に遮蔽	—	—																																																																																																																																																																																																																																																																																										
代賀心桂水 (代 賀音頭新規)	E-1新潟音頭スプレイボート (E-1新潟音頭スプレイボート新 規)	防波堤	A/B	○ 備蓄内																																																																																																																																																																																																																																																																																										
(1次構造材喪 失)	新潟市立立交立渓、配管等	初期設備	B/C	○ 備蓄内																																																																																																																																																																																																																																																																																										
新潟市立立交立 渓	津子井越縫水道設備	初期設備	C/D	○ 備蓄内																																																																																																																																																																																																																																																																																										
高麗に遮蔽	1次構造設備	1次構造設備に遮蔽	—	—																																																																																																																																																																																																																																																																																										
代賀心桂水 (代 賀音頭新規)	E-1新潟音頭スプレイボート (E-1新潟音頭スプレイボート新 規)	防波堤	A/B	○ 備蓄内																																																																																																																																																																																																																																																																																										
(1次構造材喪 失)	新潟市立立交立渓、配管等	初期設備	B/C	○ 備蓄内																																																																																																																																																																																																																																																																																										
新潟市立立交立 渓	津子井越縫水道設備	初期設備	C/D	○ 備蓄内																																																																																																																																																																																																																																																																																										
高麗に遮蔽	1次構造設備	1次構造設備に遮蔽	—	—																																																																																																																																																																																																																																																																																										
代賀心桂水 (代 賀音頭新規)	E-1新潟音頭スプレイボート (E-1新潟音頭スプレイボート新 規)	防波堤	A/B	○ 備蓄内																																																																																																																																																																																																																																																																																										
(1次構造材喪 失)	新潟市立立交立渓、配管等	初期設備	B/C	○ 備蓄内																																																																																																																																																																																																																																																																																										
新潟市立立交立 渓	津子井越縫水道設備	初期設備	C/D	○ 備蓄内																																																																																																																																																																																																																																																																																										
高麗に遮蔽	1次構造設備	1次構造設備に遮蔽	—	—																																																																																																																																																																																																																																																																																										
代 賀心桂水 (代 賀音頭新規)	E-1新潟音頭スプレイボート (E-1新潟音頭スプレイボート新 規)	防波堤	A/B	○ 備蓄内																																																																																																																																																																																																																																																																																										
(1次構造材喪 失)	新潟市立立交立渓、配管等	初期設備	B/C	○ 備蓄内																																																																																																																																																																																																																																																																																										
新潟市立立交立 渓	津子井越縫水道設備	初期設備	C/D	○ 備蓄内																																																																																																																																																																																																																																																																																										
高麗に遮蔽	1次構造設備	1次構造設備に遮蔽	—	—																																																																																																																																																																																																																																																																																										
代 賀心桂水 (代 賀音頭新規)	E-1新潟音頭スプレイボート (E-1新潟音頭スプレイボート新 規)	防波堤	A/B	○ 備蓄内																																																																																																																																																																																																																																																																																										
(1次構造材喪 失)	新潟市立立交立渓、配管等	初期設備	B/C	○ 備蓄内																																																																																																																																																																																																																																																																																										
新潟市立立交立 渓	津子井越縫水道設備	初期設備	C/D	○ 備蓄内																																																																																																																																																																																																																																																																																										
高麗に遮蔽	1次構造設備	1次構造設備に遮蔽	—	—																																																																																																																																																																																																																																																																																										
代 賀心桂水 (代 賀音頭新規)	E-1新潟音頭スプレイボート (E-1新潟音頭スプレイボート新 規)	防波堤	A/B	○ 備蓄内																																																																																																																																																																																																																																																																																										
(1次構造材喪 失)	新潟市立立交立渓、配管等	初期設備	B/C	○ 備蓄内																																																																																																																																																																																																																																																																																										
新潟市立立交立 渓	津子井越縫水道設備	初期設備	C/D	○ 備蓄内																																																																																																																																																																																																																																																																																										
高麗に遮蔽	1次構造設備	1次構造設備に遮蔽	—	—																																																																																																																																																																																																																																																																																										

泊発電所 3号炉 DB基準適合性 比較表

赤字：設備、運用又は体制の相違（設計方針の相違）
青字：記載箇所又は記載内容の相違（記載方針の相違）
緑字：記載表現、設備名称の相違（実質的な相違なし）

第6条 外部からの衝撃による損傷の防止（火山：別添資料1）

大飯発電所3／4号炉	女川原子力発電所2号炉	泊発電所3号炉	相違理由																																																																																																										
		<p>表 1 降下火砕物に対する重大事故等対応設備の影響評価 (5/24)</p> <table border="1"> <thead> <tr> <th>沿岸内河床</th> <th>重大事故等対応設備</th> <th>分類</th> <th>保管・設置箇所*</th> <th>火山の影響</th> </tr> </thead> <tbody> <tr> <td>砂利・土木(支保・防護)</td> <td>ガラスルーピング、配管等</td> <td>阻止設備</td> <td>A/B</td> <td>○ 庫屋内</td> </tr> <tr> <td>(水没水位)</td> <td>船用舟艇用ホビット、配管等</td> <td>阻止設備</td> <td>B/B</td> <td>○ 庫屋内</td> </tr> <tr> <td>貯水事業者が設立している施設等、 コンクリート構造物等</td> <td>ガラススクリーン、配管等</td> <td>阻止設備</td> <td>C/D</td> <td>○ 庫屋内</td> </tr> <tr> <td>（パイプ等）</td> <td>ガラススクリーン、配管等</td> <td>車両に搭載</td> <td>—</td> <td>—</td> </tr> <tr> <td>貯水場所</td> <td>1次冷却設備</td> <td>1次冷却設備に搭載</td> <td>—</td> <td>—</td> </tr> <tr> <td>代替心拍水 (代替船舶等) 第2種心拍水 シップ</td> <td>日・夜航行用スプレイボンブ 船用容器スプレイボンブ</td> <td>阻止設備</td> <td>A/B</td> <td>○ 庫屋内</td> </tr> <tr> <td>(1次冷却水 貯水事業者が設立する場合、 コンクリート構造物等)</td> <td>船用舟艇用ホビット、配管等</td> <td>阻止設備</td> <td>B/B</td> <td>○ 庫屋内</td> </tr> <tr> <td>原水冷却装置</td> <td>原水冷却装置</td> <td>48条に記載</td> <td>—</td> <td>—</td> </tr> <tr> <td>1次冷却設備</td> <td>1次冷却設備</td> <td>1次冷却設備に搭載</td> <td>—</td> <td>—</td> </tr> <tr> <td>代替心拍水 (代替船舶等) 第2種心拍水 シップ</td> <td>代替船舶用スプレイボンブ 船用舟艇用ホビット 船用ホビット 配管等</td> <td>阻止設備</td> <td>B/B</td> <td>○ 庫屋内</td> </tr> <tr> <td>(1次冷却水 貯水事業者が設立する場合、 コンクリート構造物等)</td> <td>1次冷却設備</td> <td>1次冷却設備に搭載</td> <td>—</td> <td>—</td> </tr> <tr> <td>第2種心拍水 シップ</td> <td>河川航行用：可燃性大型送水ポンプ、 （可燃性大型送水ポンプ等）、 （1次水栓等・回取車（送水車用）、可燃 性心拍水等）</td> <td>阻止設備</td> <td>可燃型 SA 設備 保管場所</td> <td>○ 重要ななし (適切に施用)</td> </tr> <tr> <td>(1次冷却水 貯水事業者が設立する場合、 コンクリート構造物等)</td> <td>新設箇所：接続口、配管等</td> <td>阻止設備</td> <td>A/B, B/B</td> <td>○ 庫屋内</td> </tr> <tr> <td>1次冷却設備</td> <td>1次冷却設備に搭載</td> <td>—</td> <td>—</td> </tr> <tr> <td>汎用用承水軽便</td> <td>汎用用承水軽便に搭載</td> <td>—</td> <td>—</td> </tr> <tr> <td>代替心拍水 (代替船舶等) 第2種心拍水 シップ（貯水機器等）</td> <td>代替船舶用スプレイボンブ 船用舟艇用ホビット 船用ホビット 配管等</td> <td>阻止設備</td> <td>B/B</td> <td>○ 庫屋内</td> </tr> <tr> <td>(1次冷却水 貯水事業者が設立する場合、 コンクリート構造物等)</td> <td>1次冷却設備</td> <td>1次冷却設備に搭載</td> <td>—</td> <td>—</td> </tr> <tr> <td>代替心拍水 (代替船舶等) 第2種心拍水 シップ（海水）</td> <td>河川航行用：可燃性大型送水ポンプ、 （可燃性大型送水ポンプ等）、 （1次水栓等・回取車（送水車用）、可燃 性心拍水等）</td> <td>阻止設備</td> <td>可燃型 SA 設備 保管場所</td> <td>○ 重要ななし (適切に施用)</td> </tr> <tr> <td>(1次冷却水 貯水事業者が設立する場合、 コンクリート構造物等)</td> <td>新設箇所：接続口、配管等</td> <td>阻止設備</td> <td>A/B, B/B</td> <td>○ 庫屋内</td> </tr> <tr> <td>1次冷却設備</td> <td>1次冷却設備に搭載</td> <td>—</td> <td>—</td> </tr> <tr> <td>汎用用承水軽便</td> <td>汎用用承水軽便に搭載</td> <td>—</td> <td>—</td> </tr> </tbody> </table> <p>※脚注 C: 第2種心拍水に対し必要な機器を装備せざる場合</p> <p>当該下水槽等による損傷を考慮した場合でも、対応する貯留池等が構成される際下水槽等に対し下水槽等を緩和できる（消音装置）</p> <p>（2）の2回目以降はより緩和を図るとして、代替心拍水による貯留池等や貯水池等の貯留能力（貯留時間、貯留量）にても緩和しない状況）</p> <p>（1）の2回目以降は</p> <p>※1: 水栓等、ハンドル等、ドア等の操作装置、ドア等の開閉装置、ドア等の遮断装置、ドア等の遮蔽装置</p>	沿岸内河床	重大事故等対応設備	分類	保管・設置箇所*	火山の影響	砂利・土木(支保・防護)	ガラスルーピング、配管等	阻止設備	A/B	○ 庫屋内	(水没水位)	船用舟艇用ホビット、配管等	阻止設備	B/B	○ 庫屋内	貯水事業者が設立している施設等、 コンクリート構造物等	ガラススクリーン、配管等	阻止設備	C/D	○ 庫屋内	（パイプ等）	ガラススクリーン、配管等	車両に搭載	—	—	貯水場所	1次冷却設備	1次冷却設備に搭載	—	—	代替心拍水 (代替船舶等) 第2種心拍水 シップ	日・夜航行用スプレイボンブ 船用容器スプレイボンブ	阻止設備	A/B	○ 庫屋内	(1次冷却水 貯水事業者が設立する場合、 コンクリート構造物等)	船用舟艇用ホビット、配管等	阻止設備	B/B	○ 庫屋内	原水冷却装置	原水冷却装置	48条に記載	—	—	1次冷却設備	1次冷却設備	1次冷却設備に搭載	—	—	代替心拍水 (代替船舶等) 第2種心拍水 シップ	代替船舶用スプレイボンブ 船用舟艇用ホビット 船用ホビット 配管等	阻止設備	B/B	○ 庫屋内	(1次冷却水 貯水事業者が設立する場合、 コンクリート構造物等)	1次冷却設備	1次冷却設備に搭載	—	—	第2種心拍水 シップ	河川航行用：可燃性大型送水ポンプ、 （可燃性大型送水ポンプ等）、 （1次水栓等・回取車（送水車用）、可燃 性心拍水等）	阻止設備	可燃型 SA 設備 保管場所	○ 重要ななし (適切に施用)	(1次冷却水 貯水事業者が設立する場合、 コンクリート構造物等)	新設箇所：接続口、配管等	阻止設備	A/B, B/B	○ 庫屋内	1次冷却設備	1次冷却設備に搭載	—	—	汎用用承水軽便	汎用用承水軽便に搭載	—	—	代替心拍水 (代替船舶等) 第2種心拍水 シップ（貯水機器等）	代替船舶用スプレイボンブ 船用舟艇用ホビット 船用ホビット 配管等	阻止設備	B/B	○ 庫屋内	(1次冷却水 貯水事業者が設立する場合、 コンクリート構造物等)	1次冷却設備	1次冷却設備に搭載	—	—	代替心拍水 (代替船舶等) 第2種心拍水 シップ（海水）	河川航行用：可燃性大型送水ポンプ、 （可燃性大型送水ポンプ等）、 （1次水栓等・回取車（送水車用）、可燃 性心拍水等）	阻止設備	可燃型 SA 設備 保管場所	○ 重要ななし (適切に施用)	(1次冷却水 貯水事業者が設立する場合、 コンクリート構造物等)	新設箇所：接続口、配管等	阻止設備	A/B, B/B	○ 庫屋内	1次冷却設備	1次冷却設備に搭載	—	—	汎用用承水軽便	汎用用承水軽便に搭載	—	—	<p>【女川】設計表現の相違</p> <ul style="list-style-type: none"> ・プラント設計の相違による対応手段等の相違（左表については、43条の審査を踏まえ適宜反映する）
沿岸内河床	重大事故等対応設備	分類	保管・設置箇所*	火山の影響																																																																																																									
砂利・土木(支保・防護)	ガラスルーピング、配管等	阻止設備	A/B	○ 庫屋内																																																																																																									
(水没水位)	船用舟艇用ホビット、配管等	阻止設備	B/B	○ 庫屋内																																																																																																									
貯水事業者が設立している施設等、 コンクリート構造物等	ガラススクリーン、配管等	阻止設備	C/D	○ 庫屋内																																																																																																									
（パイプ等）	ガラススクリーン、配管等	車両に搭載	—	—																																																																																																									
貯水場所	1次冷却設備	1次冷却設備に搭載	—	—																																																																																																									
代替心拍水 (代替船舶等) 第2種心拍水 シップ	日・夜航行用スプレイボンブ 船用容器スプレイボンブ	阻止設備	A/B	○ 庫屋内																																																																																																									
(1次冷却水 貯水事業者が設立する場合、 コンクリート構造物等)	船用舟艇用ホビット、配管等	阻止設備	B/B	○ 庫屋内																																																																																																									
原水冷却装置	原水冷却装置	48条に記載	—	—																																																																																																									
1次冷却設備	1次冷却設備	1次冷却設備に搭載	—	—																																																																																																									
代替心拍水 (代替船舶等) 第2種心拍水 シップ	代替船舶用スプレイボンブ 船用舟艇用ホビット 船用ホビット 配管等	阻止設備	B/B	○ 庫屋内																																																																																																									
(1次冷却水 貯水事業者が設立する場合、 コンクリート構造物等)	1次冷却設備	1次冷却設備に搭載	—	—																																																																																																									
第2種心拍水 シップ	河川航行用：可燃性大型送水ポンプ、 （可燃性大型送水ポンプ等）、 （1次水栓等・回取車（送水車用）、可燃 性心拍水等）	阻止設備	可燃型 SA 設備 保管場所	○ 重要ななし (適切に施用)																																																																																																									
(1次冷却水 貯水事業者が設立する場合、 コンクリート構造物等)	新設箇所：接続口、配管等	阻止設備	A/B, B/B	○ 庫屋内																																																																																																									
1次冷却設備	1次冷却設備に搭載	—	—																																																																																																										
汎用用承水軽便	汎用用承水軽便に搭載	—	—																																																																																																										
代替心拍水 (代替船舶等) 第2種心拍水 シップ（貯水機器等）	代替船舶用スプレイボンブ 船用舟艇用ホビット 船用ホビット 配管等	阻止設備	B/B	○ 庫屋内																																																																																																									
(1次冷却水 貯水事業者が設立する場合、 コンクリート構造物等)	1次冷却設備	1次冷却設備に搭載	—	—																																																																																																									
代替心拍水 (代替船舶等) 第2種心拍水 シップ（海水）	河川航行用：可燃性大型送水ポンプ、 （可燃性大型送水ポンプ等）、 （1次水栓等・回取車（送水車用）、可燃 性心拍水等）	阻止設備	可燃型 SA 設備 保管場所	○ 重要ななし (適切に施用)																																																																																																									
(1次冷却水 貯水事業者が設立する場合、 コンクリート構造物等)	新設箇所：接続口、配管等	阻止設備	A/B, B/B	○ 庫屋内																																																																																																									
1次冷却設備	1次冷却設備に搭載	—	—																																																																																																										
汎用用承水軽便	汎用用承水軽便に搭載	—	—																																																																																																										

自発電所 3 号炉 DB 基準適合性 比較表

赤字：設備、運用又は体制の相違（設計方針の相違）
青字：記載箇所又は記載内容の相違（記載方針の相違）
緑字：記載表現、設備名称の相違（実質的な相違なし）

第6条 外部からの衝撃による損傷の防止（火山：別添資料1）

大飯発電所3／4号炉	女川原子力発電所2号炉	泊発電所3号炉	相違理由																																																																																						
		<p style="text-align: center;">表1 降下火砕物に対する重大事故等対処設備の影響評価（6/24）</p> <table border="1"> <thead> <tr> <th>台帳作成基準</th> <th>重大事故対応設備</th> <th>分類</th> <th>保管・配置箇所</th> <th>火山の影響 防護方法</th> </tr> </thead> <tbody> <tr> <td>代用炉心炉水 (ヨーロブ/ボーバー) 燃和装置用ポンプ、配管等</td> <td>防止設備</td> <td>A/B</td> <td>○</td> <td>建屋内</td> </tr> <tr> <td>燃和装置用ポンプ、配管等 (1次冷却材 燃和装置が発 生している場 合、ギヤード ポンプ駆動)</td> <td>防止設備</td> <td>B/C</td> <td>○</td> <td>建屋内</td> </tr> <tr> <td>再生熱交換器、配管等 (1次冷却材 燃和装置が発 生している場 合、ギヤード ポンプ駆動)</td> <td>防止設備</td> <td>C/D</td> <td>○</td> <td>建屋内</td> </tr> <tr> <td>1次冷却材設備</td> <td>1次冷却材設備に影響</td> <td>-</td> <td>-</td> <td>-</td> </tr> <tr> <td>A-高圧入出入口 B-低圧入出入口、配管等 (A-高圧 入出入口、 B-低圧入出 口、配管等 (代用炉心炉 水ポンプ駆動)) (1次冷却材 燃和装置が発 生している場 合、ギヤード ポンプ駆動)</td> <td>(設計基準対象施設)</td> <td>A/B</td> <td>○</td> <td>建屋内</td> </tr> <tr> <td>可燃性ガス、可燃性大気燃水ポンプ系、 オーストリ・ロリ葉(淡水葉川)、可燃 性ガス等</td> <td>防止設備</td> <td>可燃性ガス設備 保管場所</td> <td>○</td> <td>影響なし (適用外)</td> </tr> <tr> <td>燃和装置用ポンプ、配管等 (1次冷却材 燃和装置が発 生している場 合、ギヤード ポンプ駆動)</td> <td>防止設備</td> <td>屋外人立ち入り 禁止区域</td> <td>○</td> <td>影響なし (適用外)</td> </tr> <tr> <td>1次冷却材設備</td> <td>1次冷却材設備に影響</td> <td>-</td> <td>-</td> <td>-</td> </tr> <tr> <td>非常用放水設備</td> <td>非常用放水設備に影響</td> <td>-</td> <td>-</td> <td>-</td> </tr> <tr> <td>非常用ポンプ レイ・ホーリ スト・ポンプ 機構等 (1次冷却材 燃和装置が発 生している場 合、ギヤード ポンプ駆動)</td> <td>機械室 ポンプ室 配管等</td> <td>機械室 ポンプ室 配管等</td> <td>A/B</td> <td>○</td> <td>建屋内</td> </tr> <tr> <td>燃和装置用ポンプ レイ・ホーリ スト・ポンプ 機構等 (1次冷却材 燃和装置が発 生している場 合、ギヤード ポンプ駆動)</td> <td>機械室 ポンプ室 配管等</td> <td>機械室 ポンプ室 配管等</td> <td>B/C</td> <td>○</td> <td>建屋内</td> </tr> <tr> <td>原子炉建屋内 ポンプ、配管等 (1次冷却材 燃和装置が発 生している場 合、ギヤード ポンプ駆動)</td> <td>原子炉建屋内ポンプ 機構等</td> <td>原子炉建屋内ポンプ 機構等</td> <td>48条に記載</td> <td>-</td> <td>-</td> </tr> <tr> <td>代用炉心炉水 ポンプ(代 用炉心炉水 ポンプ駆動) (1次冷却材 燃和装置が発 生している場 合、ギヤード ポンプ駆動)</td> <td>代用炉心炉水ポンプ 燃和装置用ポンプ 機構等</td> <td>硬面設備</td> <td>B/C</td> <td>○</td> <td>建屋内</td> </tr> <tr> <td>放水装置を設 けた場合 (1次冷却材 燃和装置が発 生している場 合、燃和の心 配管等が設 けられた場合)</td> <td>電動給排水ポンプ タービン・動噴給排水ポンプ 機構等</td> <td>(設計基準対象施設)</td> <td>B/C</td> <td>○</td> <td>建屋内</td> </tr> <tr> <td>燃和装置が発 生していない 場合、フロン (1ライン・蒸餾 槽等)</td> <td>燃和装置、配管等 主燃費管</td> <td>(設計基準対象施設)</td> <td>C/D, B/C</td> <td>○</td> <td>建屋内</td> </tr> </tbody> </table> <p>注脚 ○：建屋内設備に対し完全遮蔽を確保できる △：建屋内設備に対する遮蔽を考慮した場合でも、周辺する設計基準の施設等を考慮して対応を確保を要する（以下同様） ×：建屋内設備に対する遮蔽を考慮して、周辺施設による遮蔽効果や安全上考慮しない範囲での機器等の対応が困難、避難の難易度も極めて低いもの</p> <p>※1：原子炉建屋、※2：原子炉建屋内ポンプ、※3：原子炉建屋内ポンプ、※4：テラビット燃和装置用ポンプ</p>	台帳作成基準	重大事故対応設備	分類	保管・配置箇所	火山の影響 防護方法	代用炉心炉水 (ヨーロブ/ボーバー) 燃和装置用ポンプ、配管等	防止設備	A/B	○	建屋内	燃和装置用ポンプ、配管等 (1次冷却材 燃和装置が発 生している場 合、ギヤード ポンプ駆動)	防止設備	B/C	○	建屋内	再生熱交換器、配管等 (1次冷却材 燃和装置が発 生している場 合、ギヤード ポンプ駆動)	防止設備	C/D	○	建屋内	1次冷却材設備	1次冷却材設備に影響	-	-	-	A-高圧入出入口 B-低圧入出入口、配管等 (A-高圧 入出入口、 B-低圧入出 口、配管等 (代用炉心炉 水ポンプ駆動)) (1次冷却材 燃和装置が発 生している場 合、ギヤード ポンプ駆動)	(設計基準対象施設)	A/B	○	建屋内	可燃性ガス、可燃性大気燃水ポンプ系、 オーストリ・ロリ葉(淡水葉川)、可燃 性ガス等	防止設備	可燃性ガス設備 保管場所	○	影響なし (適用外)	燃和装置用ポンプ、配管等 (1次冷却材 燃和装置が発 生している場 合、ギヤード ポンプ駆動)	防止設備	屋外人立ち入り 禁止区域	○	影響なし (適用外)	1次冷却材設備	1次冷却材設備に影響	-	-	-	非常用放水設備	非常用放水設備に影響	-	-	-	非常用ポンプ レイ・ホーリ スト・ポンプ 機構等 (1次冷却材 燃和装置が発 生している場 合、ギヤード ポンプ駆動)	機械室 ポンプ室 配管等	機械室 ポンプ室 配管等	A/B	○	建屋内	燃和装置用ポンプ レイ・ホーリ スト・ポンプ 機構等 (1次冷却材 燃和装置が発 生している場 合、ギヤード ポンプ駆動)	機械室 ポンプ室 配管等	機械室 ポンプ室 配管等	B/C	○	建屋内	原子炉建屋内 ポンプ、配管等 (1次冷却材 燃和装置が発 生している場 合、ギヤード ポンプ駆動)	原子炉建屋内ポンプ 機構等	原子炉建屋内ポンプ 機構等	48条に記載	-	-	代用炉心炉水 ポンプ(代 用炉心炉水 ポンプ駆動) (1次冷却材 燃和装置が発 生している場 合、ギヤード ポンプ駆動)	代用炉心炉水ポンプ 燃和装置用ポンプ 機構等	硬面設備	B/C	○	建屋内	放水装置を設 けた場合 (1次冷却材 燃和装置が発 生している場 合、燃和の心 配管等が設 けられた場合)	電動給排水ポンプ タービン・動噴給排水ポンプ 機構等	(設計基準対象施設)	B/C	○	建屋内	燃和装置が発 生していない 場合、フロン (1ライン・蒸餾 槽等)	燃和装置、配管等 主燃費管	(設計基準対象施設)	C/D, B/C	○	建屋内	<p style="color: red;">【女川】設計表現の相違 ・プラント設計の相違による対応手段等の相違 (左表については、43条の審査を踏まえ適宜反映する)</p>
台帳作成基準	重大事故対応設備	分類	保管・配置箇所	火山の影響 防護方法																																																																																					
代用炉心炉水 (ヨーロブ/ボーバー) 燃和装置用ポンプ、配管等	防止設備	A/B	○	建屋内																																																																																					
燃和装置用ポンプ、配管等 (1次冷却材 燃和装置が発 生している場 合、ギヤード ポンプ駆動)	防止設備	B/C	○	建屋内																																																																																					
再生熱交換器、配管等 (1次冷却材 燃和装置が発 生している場 合、ギヤード ポンプ駆動)	防止設備	C/D	○	建屋内																																																																																					
1次冷却材設備	1次冷却材設備に影響	-	-	-																																																																																					
A-高圧入出入口 B-低圧入出入口、配管等 (A-高圧 入出入口、 B-低圧入出 口、配管等 (代用炉心炉 水ポンプ駆動)) (1次冷却材 燃和装置が発 生している場 合、ギヤード ポンプ駆動)	(設計基準対象施設)	A/B	○	建屋内																																																																																					
可燃性ガス、可燃性大気燃水ポンプ系、 オーストリ・ロリ葉(淡水葉川)、可燃 性ガス等	防止設備	可燃性ガス設備 保管場所	○	影響なし (適用外)																																																																																					
燃和装置用ポンプ、配管等 (1次冷却材 燃和装置が発 生している場 合、ギヤード ポンプ駆動)	防止設備	屋外人立ち入り 禁止区域	○	影響なし (適用外)																																																																																					
1次冷却材設備	1次冷却材設備に影響	-	-	-																																																																																					
非常用放水設備	非常用放水設備に影響	-	-	-																																																																																					
非常用ポンプ レイ・ホーリ スト・ポンプ 機構等 (1次冷却材 燃和装置が発 生している場 合、ギヤード ポンプ駆動)	機械室 ポンプ室 配管等	機械室 ポンプ室 配管等	A/B	○	建屋内																																																																																				
燃和装置用ポンプ レイ・ホーリ スト・ポンプ 機構等 (1次冷却材 燃和装置が発 生している場 合、ギヤード ポンプ駆動)	機械室 ポンプ室 配管等	機械室 ポンプ室 配管等	B/C	○	建屋内																																																																																				
原子炉建屋内 ポンプ、配管等 (1次冷却材 燃和装置が発 生している場 合、ギヤード ポンプ駆動)	原子炉建屋内ポンプ 機構等	原子炉建屋内ポンプ 機構等	48条に記載	-	-																																																																																				
代用炉心炉水 ポンプ(代 用炉心炉水 ポンプ駆動) (1次冷却材 燃和装置が発 生している場 合、ギヤード ポンプ駆動)	代用炉心炉水ポンプ 燃和装置用ポンプ 機構等	硬面設備	B/C	○	建屋内																																																																																				
放水装置を設 けた場合 (1次冷却材 燃和装置が発 生している場 合、燃和の心 配管等が設 けられた場合)	電動給排水ポンプ タービン・動噴給排水ポンプ 機構等	(設計基準対象施設)	B/C	○	建屋内																																																																																				
燃和装置が発 生していない 場合、フロン (1ライン・蒸餾 槽等)	燃和装置、配管等 主燃費管	(設計基準対象施設)	C/D, B/C	○	建屋内																																																																																				

自発電所 3 号炉 DB 基準適合性 比較表

赤字：設備、運用又は体制の相違（設計方針の相違）
青字：記載箇所又は記載内容の相違（記載方針の相違）
緑字：記載表現、設備名称の相違（実質的な相違なし）

第6条 外部からの衝撃による損傷の防止（火山：別添資料1）

第6条 外部からの衝撃による損傷の防止（火山：別添資料1）

自発電所 3 号炉 DB 基準適合性 比較表

赤字：設備、運用又は体制の相違（設計方針の相違）
青字：記載箇所又は記載内容の相違（記載方針の相違）
緑字：記載表現、設備名称の相違（実質的な相違なし）

第6条 外部からの衝撃による損傷の防止（火山：別添資料1）

泊発電所3号炉 DB基準適合性 比較表

赤字：設備、運用又は体制の相違（設計方針の相違）
 青字：記載箇所又は記載内容の相違（記載方針の相違）
 緑字：記載表現、設備名称の相違（実質的な相違なし）

第6条 外部からの衝撃による損傷の防止（火山：別添資料1）

大飯発電所3／4号炉	女川原子力発電所2号炉	泊発電所3号炉	相違理由																																																																																																																																															
		<p style="text-align: center;">表1 降下火砕物に対する重大事故等対応設備の影響評価（10/24）</p> <table border="1"> <thead> <tr> <th>台賀井戸基準</th> <th>重大事故等対応設備</th> <th>分類</th> <th>保有・計画 備蓄</th> <th>降下火砕物 評価</th> <th>評価 影響方法</th> </tr> </thead> <tbody> <tr> <td>（代替）心地太 （代替）水噴霧 （代替）スプレイポンプ （代替）噴射水ポンプ （代替）配管等</td> <td>燃焼装置用スプレイポンプ 燃焼装置用水ポンプ 消防用水ポンプ 配管等</td> <td>破壊設備</td> <td>A/B</td> <td>○</td> <td>構造内</td> </tr> <tr> <td>（代替）心地太 （代替）水噴霧 （代替）スプレイポンプ （代替）噴射水ポンプ （代替）配管等</td> <td>1次冷却装置</td> <td>1次冷却設備に影響</td> <td>—</td> <td>—</td> <td></td> </tr> <tr> <td>（代替）心地太 （代替）水噴霧 （代替）スプレイポンプ （代替）噴射水ポンプ （代替）配管等</td> <td>日一丸てんポンプ、配管等</td> <td>破壊設備</td> <td>A/B</td> <td>○</td> <td>構造内</td> </tr> <tr> <td>（代替）心地太 （代替）水噴霧 （代替）スプレイポンプ （代替）噴射水ポンプ （代替）配管等</td> <td>燃焼装置用ポンプ、配管等</td> <td>破壊設備</td> <td>A/B</td> <td>○</td> <td>構造内</td> </tr> <tr> <td>（代替）心地太 （代替）水噴霧 （代替）スプレイポンプ （代替）噴射水ポンプ （代替）配管等</td> <td>再生熱交換器、配管等</td> <td>破壊設備</td> <td>C/Y</td> <td>○</td> <td>構造内</td> </tr> <tr> <td>（代替）心地太 （代替）水噴霧 （代替）スプレイポンプ （代替）噴射水ポンプ （代替）配管等</td> <td>1次冷却装置</td> <td>1次冷却設備に影響</td> <td>—</td> <td>—</td> <td></td> </tr> <tr> <td>（代替）心地太 （代替）水噴霧 （代替）スプレイポンプ （代替）噴射水ポンプ （代替）配管等</td> <td>代替燃焼装置用スプレイポンプ 燃焼装置用ポンプ 消防用水ポンプ 配管等</td> <td>破壊設備</td> <td>A/B</td> <td>○</td> <td>構造内</td> </tr> <tr> <td>（代替）心地太 （代替）水噴霧 （代替）スプレイポンプ （代替）噴射水ポンプ （代替）配管等</td> <td>1次冷却装置</td> <td>1次冷却設備に影響</td> <td>—</td> <td>—</td> <td></td> </tr> <tr> <td>（代替）心地太 （代替）水噴霧 （代替）スプレイポンプ （代替）噴射水ポンプ （代替）配管等</td> <td>冷却塔ポンプ 冷却塔配管等</td> <td>[設計基準対象施設]</td> <td>A/B</td> <td>○</td> <td>構造内</td> </tr> <tr> <td>（代替）心地太 （代替）水噴霧 （代替）スプレイポンプ （代替）噴射水ポンプ （代替）配管等</td> <td>48条に記載</td> <td>—</td> <td>—</td> <td></td> </tr> <tr> <td>（代替）心地太 （代替）水噴霧 （代替）スプレイポンプ （代替）噴射水ポンプ （代替）配管等</td> <td>原子炉建屋内配管等</td> <td>[設計基準対象施設]</td> <td>—</td> <td>—</td> <td></td> </tr> <tr> <td>（代替）心地太 （代替）水噴霧 （代替）スプレイポンプ （代替）噴射水ポンプ （代替）配管等</td> <td>1次冷却装置</td> <td>1次冷却設備に影響</td> <td>—</td> <td>—</td> <td></td> </tr> <tr> <td>（代替）心地太 （代替）水噴霧 （代替）スプレイポンプ （代替）噴射水ポンプ （代替）配管等</td> <td>冷却塔ポンプ、配管等</td> <td>[設計基準対象施設]</td> <td>A/B</td> <td>○</td> <td>構造内</td> </tr> <tr> <td>（代替）心地太 （代替）水噴霧 （代替）スプレイポンプ （代替）噴射水ポンプ （代替）配管等</td> <td>冷却塔ポンプ等</td> <td>[設計基準対象施設]</td> <td>A/B</td> <td>○</td> <td>構造内</td> </tr> <tr> <td>（代替）心地太 （代替）水噴霧 （代替）スプレイポンプ （代替）噴射水ポンプ （代替）配管等</td> <td>冷却塔表面清掃サンダー 冷却塔表面清掃サンプルスクリーン</td> <td>[設計基準対象施設]</td> <td>C/Y</td> <td>○</td> <td>構造内</td> </tr> <tr> <td>（代替）心地太 （代替）水噴霧 （代替）スプレイポンプ （代替）噴射水ポンプ （代替）配管等</td> <td>原子炉建屋内配管等</td> <td>[設計基準対象施設]</td> <td>—</td> <td>—</td> <td></td> </tr> <tr> <td>（代替）心地太 （代替）水噴霧 （代替）スプレイポンプ （代替）噴射水ポンプ （代替）配管等</td> <td>1次冷却装置</td> <td>1次冷却設備に影響</td> <td>—</td> <td>—</td> <td></td> </tr> <tr> <td>（代替）心地太 （代替）水噴霧 （代替）スプレイポンプ （代替）噴射水ポンプ （代替）配管等</td> <td>余熱排気ポンプ 余熱排気冷却装置</td> <td>[設計基準対象施設]</td> <td>A/B</td> <td>○</td> <td>構造内</td> </tr> <tr> <td>（代替）心地太 （代替）水噴霧 （代替）スプレイポンプ （代替）噴射水ポンプ （代替）配管等</td> <td>余熱排気冷却装置</td> <td>[設計基準対象施設]</td> <td>A/B</td> <td>○</td> <td>構造内</td> </tr> <tr> <td>（代替）心地太 （代替）水噴霧 （代替）スプレイポンプ （代替）噴射水ポンプ （代替）配管等</td> <td>冷却塔表面清掃サンダー 冷却塔表面清掃サンプルスクリーン</td> <td>[設計基準対象施設]</td> <td>C/Y</td> <td>○</td> <td>構造内</td> </tr> <tr> <td>（代替）心地太 （代替）水噴霧 （代替）スプレイポンプ （代替）噴射水ポンプ （代替）配管等</td> <td>冷却塔ポンプ等</td> <td>[設計基準対象施設]</td> <td>A/B</td> <td>○</td> <td>構造内</td> </tr> <tr> <td>（代替）心地太 （代替）水噴霧 （代替）スプレイポンプ （代替）噴射水ポンプ （代替）配管等</td> <td>原子炉建屋内配管等</td> <td>[設計基準対象施設]</td> <td>—</td> <td>—</td> <td></td> </tr> <tr> <td>（代替）心地太 （代替）水噴霧 （代替）スプレイポンプ （代替）噴射水ポンプ （代替）配管等</td> <td>1次冷却装置</td> <td>1次冷却設備に影響</td> <td>—</td> <td>—</td> <td></td> </tr> </tbody> </table> <p>凡例 ○：降下火砕物に対する影響を認めた場合 ×：降下火砕物に対する影響を考慮した場合でも、対応する設計基準対象施設が降下火砕物に対し全機能を維持できる（既存設備） △：降下火砕物により機能を失なして、代替設備による機能補助や安全上必要な機能で代替設備の機能が可能（既存設備、削除しても被れても被れない既存） —：既存設備にて既存 ■：主に既存設備、△は既存設備、C/Y：原子炉建屋内配管、A/B：ディーゼル発電機装置、R/B：制御室各ポンプ装置</p>	台賀井戸基準	重大事故等対応設備	分類	保有・計画 備蓄	降下火砕物 評価	評価 影響方法	（代替）心地太 （代替）水噴霧 （代替）スプレイポンプ （代替）噴射水ポンプ （代替）配管等	燃焼装置用スプレイポンプ 燃焼装置用水ポンプ 消防用水ポンプ 配管等	破壊設備	A/B	○	構造内	（代替）心地太 （代替）水噴霧 （代替）スプレイポンプ （代替）噴射水ポンプ （代替）配管等	1次冷却装置	1次冷却設備に影響	—	—		（代替）心地太 （代替）水噴霧 （代替）スプレイポンプ （代替）噴射水ポンプ （代替）配管等	日一丸てんポンプ、配管等	破壊設備	A/B	○	構造内	（代替）心地太 （代替）水噴霧 （代替）スプレイポンプ （代替）噴射水ポンプ （代替）配管等	燃焼装置用ポンプ、配管等	破壊設備	A/B	○	構造内	（代替）心地太 （代替）水噴霧 （代替）スプレイポンプ （代替）噴射水ポンプ （代替）配管等	再生熱交換器、配管等	破壊設備	C/Y	○	構造内	（代替）心地太 （代替）水噴霧 （代替）スプレイポンプ （代替）噴射水ポンプ （代替）配管等	1次冷却装置	1次冷却設備に影響	—	—		（代替）心地太 （代替）水噴霧 （代替）スプレイポンプ （代替）噴射水ポンプ （代替）配管等	代替燃焼装置用スプレイポンプ 燃焼装置用ポンプ 消防用水ポンプ 配管等	破壊設備	A/B	○	構造内	（代替）心地太 （代替）水噴霧 （代替）スプレイポンプ （代替）噴射水ポンプ （代替）配管等	1次冷却装置	1次冷却設備に影響	—	—		（代替）心地太 （代替）水噴霧 （代替）スプレイポンプ （代替）噴射水ポンプ （代替）配管等	冷却塔ポンプ 冷却塔配管等	[設計基準対象施設]	A/B	○	構造内	（代替）心地太 （代替）水噴霧 （代替）スプレイポンプ （代替）噴射水ポンプ （代替）配管等	48条に記載	—	—		（代替）心地太 （代替）水噴霧 （代替）スプレイポンプ （代替）噴射水ポンプ （代替）配管等	原子炉建屋内配管等	[設計基準対象施設]	—	—		（代替）心地太 （代替）水噴霧 （代替）スプレイポンプ （代替）噴射水ポンプ （代替）配管等	1次冷却装置	1次冷却設備に影響	—	—		（代替）心地太 （代替）水噴霧 （代替）スプレイポンプ （代替）噴射水ポンプ （代替）配管等	冷却塔ポンプ、配管等	[設計基準対象施設]	A/B	○	構造内	（代替）心地太 （代替）水噴霧 （代替）スプレイポンプ （代替）噴射水ポンプ （代替）配管等	冷却塔ポンプ等	[設計基準対象施設]	A/B	○	構造内	（代替）心地太 （代替）水噴霧 （代替）スプレイポンプ （代替）噴射水ポンプ （代替）配管等	冷却塔表面清掃サンダー 冷却塔表面清掃サンプルスクリーン	[設計基準対象施設]	C/Y	○	構造内	（代替）心地太 （代替）水噴霧 （代替）スプレイポンプ （代替）噴射水ポンプ （代替）配管等	原子炉建屋内配管等	[設計基準対象施設]	—	—		（代替）心地太 （代替）水噴霧 （代替）スプレイポンプ （代替）噴射水ポンプ （代替）配管等	1次冷却装置	1次冷却設備に影響	—	—		（代替）心地太 （代替）水噴霧 （代替）スプレイポンプ （代替）噴射水ポンプ （代替）配管等	余熱排気ポンプ 余熱排気冷却装置	[設計基準対象施設]	A/B	○	構造内	（代替）心地太 （代替）水噴霧 （代替）スプレイポンプ （代替）噴射水ポンプ （代替）配管等	余熱排気冷却装置	[設計基準対象施設]	A/B	○	構造内	（代替）心地太 （代替）水噴霧 （代替）スプレイポンプ （代替）噴射水ポンプ （代替）配管等	冷却塔表面清掃サンダー 冷却塔表面清掃サンプルスクリーン	[設計基準対象施設]	C/Y	○	構造内	（代替）心地太 （代替）水噴霧 （代替）スプレイポンプ （代替）噴射水ポンプ （代替）配管等	冷却塔ポンプ等	[設計基準対象施設]	A/B	○	構造内	（代替）心地太 （代替）水噴霧 （代替）スプレイポンプ （代替）噴射水ポンプ （代替）配管等	原子炉建屋内配管等	[設計基準対象施設]	—	—		（代替）心地太 （代替）水噴霧 （代替）スプレイポンプ （代替）噴射水ポンプ （代替）配管等	1次冷却装置	1次冷却設備に影響	—	—		<p style="color: red;">【女川】設計表現の相違</p> <ul style="list-style-type: none"> ・プラント設計の相違による対応手段等の相違（左表については、43条の審査を踏まえ適宜反映する）
台賀井戸基準	重大事故等対応設備	分類	保有・計画 備蓄	降下火砕物 評価	評価 影響方法																																																																																																																																													
（代替）心地太 （代替）水噴霧 （代替）スプレイポンプ （代替）噴射水ポンプ （代替）配管等	燃焼装置用スプレイポンプ 燃焼装置用水ポンプ 消防用水ポンプ 配管等	破壊設備	A/B	○	構造内																																																																																																																																													
（代替）心地太 （代替）水噴霧 （代替）スプレイポンプ （代替）噴射水ポンプ （代替）配管等	1次冷却装置	1次冷却設備に影響	—	—																																																																																																																																														
（代替）心地太 （代替）水噴霧 （代替）スプレイポンプ （代替）噴射水ポンプ （代替）配管等	日一丸てんポンプ、配管等	破壊設備	A/B	○	構造内																																																																																																																																													
（代替）心地太 （代替）水噴霧 （代替）スプレイポンプ （代替）噴射水ポンプ （代替）配管等	燃焼装置用ポンプ、配管等	破壊設備	A/B	○	構造内																																																																																																																																													
（代替）心地太 （代替）水噴霧 （代替）スプレイポンプ （代替）噴射水ポンプ （代替）配管等	再生熱交換器、配管等	破壊設備	C/Y	○	構造内																																																																																																																																													
（代替）心地太 （代替）水噴霧 （代替）スプレイポンプ （代替）噴射水ポンプ （代替）配管等	1次冷却装置	1次冷却設備に影響	—	—																																																																																																																																														
（代替）心地太 （代替）水噴霧 （代替）スプレイポンプ （代替）噴射水ポンプ （代替）配管等	代替燃焼装置用スプレイポンプ 燃焼装置用ポンプ 消防用水ポンプ 配管等	破壊設備	A/B	○	構造内																																																																																																																																													
（代替）心地太 （代替）水噴霧 （代替）スプレイポンプ （代替）噴射水ポンプ （代替）配管等	1次冷却装置	1次冷却設備に影響	—	—																																																																																																																																														
（代替）心地太 （代替）水噴霧 （代替）スプレイポンプ （代替）噴射水ポンプ （代替）配管等	冷却塔ポンプ 冷却塔配管等	[設計基準対象施設]	A/B	○	構造内																																																																																																																																													
（代替）心地太 （代替）水噴霧 （代替）スプレイポンプ （代替）噴射水ポンプ （代替）配管等	48条に記載	—	—																																																																																																																																															
（代替）心地太 （代替）水噴霧 （代替）スプレイポンプ （代替）噴射水ポンプ （代替）配管等	原子炉建屋内配管等	[設計基準対象施設]	—	—																																																																																																																																														
（代替）心地太 （代替）水噴霧 （代替）スプレイポンプ （代替）噴射水ポンプ （代替）配管等	1次冷却装置	1次冷却設備に影響	—	—																																																																																																																																														
（代替）心地太 （代替）水噴霧 （代替）スプレイポンプ （代替）噴射水ポンプ （代替）配管等	冷却塔ポンプ、配管等	[設計基準対象施設]	A/B	○	構造内																																																																																																																																													
（代替）心地太 （代替）水噴霧 （代替）スプレイポンプ （代替）噴射水ポンプ （代替）配管等	冷却塔ポンプ等	[設計基準対象施設]	A/B	○	構造内																																																																																																																																													
（代替）心地太 （代替）水噴霧 （代替）スプレイポンプ （代替）噴射水ポンプ （代替）配管等	冷却塔表面清掃サンダー 冷却塔表面清掃サンプルスクリーン	[設計基準対象施設]	C/Y	○	構造内																																																																																																																																													
（代替）心地太 （代替）水噴霧 （代替）スプレイポンプ （代替）噴射水ポンプ （代替）配管等	原子炉建屋内配管等	[設計基準対象施設]	—	—																																																																																																																																														
（代替）心地太 （代替）水噴霧 （代替）スプレイポンプ （代替）噴射水ポンプ （代替）配管等	1次冷却装置	1次冷却設備に影響	—	—																																																																																																																																														
（代替）心地太 （代替）水噴霧 （代替）スプレイポンプ （代替）噴射水ポンプ （代替）配管等	余熱排気ポンプ 余熱排気冷却装置	[設計基準対象施設]	A/B	○	構造内																																																																																																																																													
（代替）心地太 （代替）水噴霧 （代替）スプレイポンプ （代替）噴射水ポンプ （代替）配管等	余熱排気冷却装置	[設計基準対象施設]	A/B	○	構造内																																																																																																																																													
（代替）心地太 （代替）水噴霧 （代替）スプレイポンプ （代替）噴射水ポンプ （代替）配管等	冷却塔表面清掃サンダー 冷却塔表面清掃サンプルスクリーン	[設計基準対象施設]	C/Y	○	構造内																																																																																																																																													
（代替）心地太 （代替）水噴霧 （代替）スプレイポンプ （代替）噴射水ポンプ （代替）配管等	冷却塔ポンプ等	[設計基準対象施設]	A/B	○	構造内																																																																																																																																													
（代替）心地太 （代替）水噴霧 （代替）スプレイポンプ （代替）噴射水ポンプ （代替）配管等	原子炉建屋内配管等	[設計基準対象施設]	—	—																																																																																																																																														
（代替）心地太 （代替）水噴霧 （代替）スプレイポンプ （代替）噴射水ポンプ （代替）配管等	1次冷却装置	1次冷却設備に影響	—	—																																																																																																																																														

赤字：設備、運用又は体制の相違（設計方針の相違）
 青字：記載箇所又は記載内容の相違（記載方針の相違）
 緑字：記載表現、設備名称の相違（実質的な相違なし）

第6条 外部からの衝撃による損傷の防止 (火山:別添資料1)

泊発電所3号炉 DB基準適合性 比較表

大飯発電所3／4号炉	女川原子力発電所2号炉	泊発電所3号炉	相違理由																																																																																																																																																											
	<table border="1"> <tr> <td>原子炉建屋内 配管等</td> <td>可燃物質：熱交換器ユニット、大浴槽送水ポンプ(ディーゼル)、ホール・スクリーニング装置、 防止設備・統合設備 配管等</td> <td>防止設備・統合設備 配管等</td> <td>○ 影響なし (既存方針)</td> </tr> <tr> <td>常設施設：排水口、配管等</td> <td>防止設備・統合設備 配管等</td> <td>○ 影響なし (既存方針)</td> <td></td> </tr> <tr> <td>初期想定：底水口、底水箱、雨水ポンプ等</td> <td>その他の設備に記載</td> <td>—</td> <td></td> </tr> <tr> <td>耐震化セシ ト系</td> <td>底水箱 防災設備</td> <td>底水箱 防災設備</td> <td>○ 影響なし (既存方針)</td> </tr> <tr> <td>計画条項(最初の 一トーションへみ を転達するた めの要領)</td> <td>フィルタ装置等 遮水門等 (N.s.1)、済本給水槽 等 (N.s.2)</td> <td>○ 未記載</td> <td>—</td> </tr> <tr> <td>耐震化セシ ト系</td> <td>済本給水槽 等 (N.s.1)、済本給水槽 等 (N.s.2)</td> <td>○ 未記載</td> <td>—</td> </tr> <tr> <td>耐震化セシ ト系</td> <td>済本給水槽 等 (N.s.1)、済本給水槽 等 (N.s.2)</td> <td>○ 未記載</td> <td>—</td> </tr> <tr> <td>原子炉建屋内 配管等</td> <td>原子炉建屋内配管等、原子炉 建屋内配管系統受渡機、配管等 (設計基準対象施設)</td> <td>原子炉建屋内 配管等</td> <td>○ 影響なし (既存方針)</td> </tr> <tr> <td>耐震化セシ ト系</td> <td>耐震化セシ ト系</td> <td>○ 未記載</td> <td></td> </tr> <tr> <td>耐震化セシ ト系</td> <td>耐震化セシ ト系</td> <td>○ 未記載</td> <td></td> </tr> <tr> <td>耐震化セシ ト系</td> <td>耐震化セシ ト系</td> <td>○ 未記載</td> <td></td> </tr> <tr> <td>水底用排水管</td> <td>その他の設備に記載</td> <td>—</td> <td>—</td> </tr> </table> <p>※附録：○：降下火砕物に対する重大事故等対応設備、R/F：原子炉建屋、C/V：防災設備</p>	原子炉建屋内 配管等	可燃物質：熱交換器ユニット、大浴槽送水ポンプ(ディーゼル)、ホール・スクリーニング装置、 防止設備・統合設備 配管等	防止設備・統合設備 配管等	○ 影響なし (既存方針)	常設施設：排水口、配管等	防止設備・統合設備 配管等	○ 影響なし (既存方針)		初期想定：底水口、底水箱、雨水ポンプ等	その他の設備に記載	—		耐震化セシ ト系	底水箱 防災設備	底水箱 防災設備	○ 影響なし (既存方針)	計画条項(最初の 一トーションへみ を転達するた めの要領)	フィルタ装置等 遮水門等 (N.s.1)、済本給水槽 等 (N.s.2)	○ 未記載	—	耐震化セシ ト系	済本給水槽 等 (N.s.1)、済本給水槽 等 (N.s.2)	○ 未記載	—	耐震化セシ ト系	済本給水槽 等 (N.s.1)、済本給水槽 等 (N.s.2)	○ 未記載	—	原子炉建屋内 配管等	原子炉建屋内配管等、原子炉 建屋内配管系統受渡機、配管等 (設計基準対象施設)	原子炉建屋内 配管等	○ 影響なし (既存方針)	耐震化セシ ト系	耐震化セシ ト系	○ 未記載		耐震化セシ ト系	耐震化セシ ト系	○ 未記載		耐震化セシ ト系	耐震化セシ ト系	○ 未記載		水底用排水管	その他の設備に記載	—	—	<p>表1 降下火砕物に対する重大事故等対応設備の影響評価 (11/24)</p> <table border="1"> <thead> <tr> <th>設置許可基準</th> <th>重大事故等対応設備</th> <th>分類</th> <th>保管・設置 面積</th> <th>火山の影響 評価</th> </tr> </thead> <tbody> <tr> <td>蒸気発生器と 冷却水からの漏 れ</td> <td>タービン側給水ポンプ 冷却水ポンプ</td> <td>(設計基準対象施設)</td> <td>R/F</td> <td>○ 建屋内</td> </tr> <tr> <td>タービン側給水ポンプ 冷却水ポンプ</td> <td>タービン側給水ポンプ 冷却水ポンプ</td> <td>(設計基準対象施設)</td> <td>C/V</td> <td>○ 建屋内</td> </tr> <tr> <td>土塁気管</td> <td>泊発電所2号炉</td> <td>C/V, R/F</td> <td>○ 建屋内</td> </tr> <tr> <td>C. D-底水ポンプ等 遮水門等</td> <td>防災設備</td> <td>C/V</td> <td>○ 建屋内</td> </tr> <tr> <td>済本給水槽内 底水ポンプ等 (海水)</td> <td>可燃物質：A. 計備 遮水門等</td> <td>○ 影響なし (既存方針)</td> <td></td> </tr> <tr> <td>済本給水槽内 底水ポンプ等 (海水)</td> <td>防災設備</td> <td>○ 影響なし (既存方針)</td> <td></td> </tr> <tr> <td>底水ポンプ等 (海水)</td> <td>底水ポンプ等</td> <td>○ 未記載</td> <td>○ 建屋内</td> </tr> <tr> <td>可燃物質計測装置</td> <td>5S に記載</td> <td>—</td> <td>—</td> </tr> <tr> <td>非常用底水ポンプ</td> <td>非常用底水ポンプに記載</td> <td>—</td> <td>—</td> </tr> <tr> <td>可燃物質計測 装置</td> <td>可燃物質大型底水ポンプ等、 ホース・ポンプ等、 スリーブ・ポンプ (代 替型ホース等)</td> <td>防災設備 底水ポンプ等</td> <td>○ 影響なし (既存方針)</td> </tr> <tr> <td>底水ポンプ等 (海水)</td> <td>底水ポンプ等</td> <td>○ 未記載</td> <td>○ 影響なし (既存方針)</td> </tr> <tr> <td>A-直注注入ポンプ</td> <td>(設計基準対象施設)</td> <td>A/B</td> <td>○ 建屋内</td> </tr> <tr> <td>非常用底水ポンプ</td> <td>非常用底水ポンプに記載</td> <td>—</td> <td>—</td> </tr> <tr> <td>可燃物質計測 装置</td> <td>可燃物質底水ポンプ ホース・ポンプ等の底 水ポンプ等 (代替 型ホース等)</td> <td>(設計基準対象施設)</td> <td>R/F</td> <td>○ 建屋内</td> </tr> <tr> <td>底水ポンプ等 (海水)</td> <td>底水ポンプ等</td> <td>C/V</td> <td>○ 建屋内</td> </tr> <tr> <td>土塁気管</td> <td>(設計基準対象施設)</td> <td>C/V, R/F</td> <td>○ 建屋内</td> </tr> <tr> <td>C. D-底水ポンプ等 遮水門等</td> <td>防災設備</td> <td>C/V</td> <td>○ 建屋内</td> </tr> <tr> <td>済本給水槽内 底水ポンプ等 (海水)</td> <td>可燃物質：A. 計備 遮水門等</td> <td>○ 影響なし (既存方針)</td> <td></td> </tr> <tr> <td>底水ポンプ等 (海水)</td> <td>防災設備</td> <td>○ 未記載</td> <td>○ 建屋内</td> </tr> <tr> <td>可燃物質計測装置</td> <td>5S に記載</td> <td>—</td> <td>—</td> </tr> <tr> <td>非常用底水ポンプ</td> <td>非常用底水ポンプに記載</td> <td>—</td> <td>—</td> </tr> <tr> <td>可燃物質：A. 計備 遮水門等</td> <td>可燃物質大型底水ポンプ等、 ホース・ポンプ等、 スリーブ・ポンプ (代 替型ホース等)</td> <td>防災設備</td> <td>○ 影響なし (既存方針)</td> </tr> <tr> <td>底水ポンプ等 (海水)</td> <td>底水ポンプ等</td> <td>○ 未記載</td> <td>○ 影響なし (既存方針)</td> </tr> <tr> <td>A-直注注入ポンプ</td> <td>(設計基準対象施設)</td> <td>A/B</td> <td>○ 建屋内</td> </tr> <tr> <td>非常用底水ポンプ</td> <td>非常用底水ポンプに記載</td> <td>—</td> <td>—</td> </tr> </tbody> </table> <p>※附録：○：降下火砕物に対する重大事故等対応設備、R/F：原子炉建屋、C/V：防災設備</p>	設置許可基準	重大事故等対応設備	分類	保管・設置 面積	火山の影響 評価	蒸気発生器と 冷却水からの漏 れ	タービン側給水ポンプ 冷却水ポンプ	(設計基準対象施設)	R/F	○ 建屋内	タービン側給水ポンプ 冷却水ポンプ	タービン側給水ポンプ 冷却水ポンプ	(設計基準対象施設)	C/V	○ 建屋内	土塁気管	泊発電所2号炉	C/V, R/F	○ 建屋内	C. D-底水ポンプ等 遮水門等	防災設備	C/V	○ 建屋内	済本給水槽内 底水ポンプ等 (海水)	可燃物質：A. 計備 遮水門等	○ 影響なし (既存方針)		済本給水槽内 底水ポンプ等 (海水)	防災設備	○ 影響なし (既存方針)		底水ポンプ等 (海水)	底水ポンプ等	○ 未記載	○ 建屋内	可燃物質計測装置	5S に記載	—	—	非常用底水ポンプ	非常用底水ポンプに記載	—	—	可燃物質計測 装置	可燃物質大型底水ポンプ等、 ホース・ポンプ等、 スリーブ・ポンプ (代 替型ホース等)	防災設備 底水ポンプ等	○ 影響なし (既存方針)	底水ポンプ等 (海水)	底水ポンプ等	○ 未記載	○ 影響なし (既存方針)	A-直注注入ポンプ	(設計基準対象施設)	A/B	○ 建屋内	非常用底水ポンプ	非常用底水ポンプに記載	—	—	可燃物質計測 装置	可燃物質底水ポンプ ホース・ポンプ等の底 水ポンプ等 (代替 型ホース等)	(設計基準対象施設)	R/F	○ 建屋内	底水ポンプ等 (海水)	底水ポンプ等	C/V	○ 建屋内	土塁気管	(設計基準対象施設)	C/V, R/F	○ 建屋内	C. D-底水ポンプ等 遮水門等	防災設備	C/V	○ 建屋内	済本給水槽内 底水ポンプ等 (海水)	可燃物質：A. 計備 遮水門等	○ 影響なし (既存方針)		底水ポンプ等 (海水)	防災設備	○ 未記載	○ 建屋内	可燃物質計測装置	5S に記載	—	—	非常用底水ポンプ	非常用底水ポンプに記載	—	—	可燃物質：A. 計備 遮水門等	可燃物質大型底水ポンプ等、 ホース・ポンプ等、 スリーブ・ポンプ (代 替型ホース等)	防災設備	○ 影響なし (既存方針)	底水ポンプ等 (海水)	底水ポンプ等	○ 未記載	○ 影響なし (既存方針)	A-直注注入ポンプ	(設計基準対象施設)	A/B	○ 建屋内	非常用底水ポンプ	非常用底水ポンプに記載	—	—
原子炉建屋内 配管等	可燃物質：熱交換器ユニット、大浴槽送水ポンプ(ディーゼル)、ホール・スクリーニング装置、 防止設備・統合設備 配管等	防止設備・統合設備 配管等	○ 影響なし (既存方針)																																																																																																																																																											
常設施設：排水口、配管等	防止設備・統合設備 配管等	○ 影響なし (既存方針)																																																																																																																																																												
初期想定：底水口、底水箱、雨水ポンプ等	その他の設備に記載	—																																																																																																																																																												
耐震化セシ ト系	底水箱 防災設備	底水箱 防災設備	○ 影響なし (既存方針)																																																																																																																																																											
計画条項(最初の 一トーションへみ を転達するた めの要領)	フィルタ装置等 遮水門等 (N.s.1)、済本給水槽 等 (N.s.2)	○ 未記載	—																																																																																																																																																											
耐震化セシ ト系	済本給水槽 等 (N.s.1)、済本給水槽 等 (N.s.2)	○ 未記載	—																																																																																																																																																											
耐震化セシ ト系	済本給水槽 等 (N.s.1)、済本給水槽 等 (N.s.2)	○ 未記載	—																																																																																																																																																											
原子炉建屋内 配管等	原子炉建屋内配管等、原子炉 建屋内配管系統受渡機、配管等 (設計基準対象施設)	原子炉建屋内 配管等	○ 影響なし (既存方針)																																																																																																																																																											
耐震化セシ ト系	耐震化セシ ト系	○ 未記載																																																																																																																																																												
耐震化セシ ト系	耐震化セシ ト系	○ 未記載																																																																																																																																																												
耐震化セシ ト系	耐震化セシ ト系	○ 未記載																																																																																																																																																												
水底用排水管	その他の設備に記載	—	—																																																																																																																																																											
設置許可基準	重大事故等対応設備	分類	保管・設置 面積	火山の影響 評価																																																																																																																																																										
蒸気発生器と 冷却水からの漏 れ	タービン側給水ポンプ 冷却水ポンプ	(設計基準対象施設)	R/F	○ 建屋内																																																																																																																																																										
タービン側給水ポンプ 冷却水ポンプ	タービン側給水ポンプ 冷却水ポンプ	(設計基準対象施設)	C/V	○ 建屋内																																																																																																																																																										
土塁気管	泊発電所2号炉	C/V, R/F	○ 建屋内																																																																																																																																																											
C. D-底水ポンプ等 遮水門等	防災設備	C/V	○ 建屋内																																																																																																																																																											
済本給水槽内 底水ポンプ等 (海水)	可燃物質：A. 計備 遮水門等	○ 影響なし (既存方針)																																																																																																																																																												
済本給水槽内 底水ポンプ等 (海水)	防災設備	○ 影響なし (既存方針)																																																																																																																																																												
底水ポンプ等 (海水)	底水ポンプ等	○ 未記載	○ 建屋内																																																																																																																																																											
可燃物質計測装置	5S に記載	—	—																																																																																																																																																											
非常用底水ポンプ	非常用底水ポンプに記載	—	—																																																																																																																																																											
可燃物質計測 装置	可燃物質大型底水ポンプ等、 ホース・ポンプ等、 スリーブ・ポンプ (代 替型ホース等)	防災設備 底水ポンプ等	○ 影響なし (既存方針)																																																																																																																																																											
底水ポンプ等 (海水)	底水ポンプ等	○ 未記載	○ 影響なし (既存方針)																																																																																																																																																											
A-直注注入ポンプ	(設計基準対象施設)	A/B	○ 建屋内																																																																																																																																																											
非常用底水ポンプ	非常用底水ポンプに記載	—	—																																																																																																																																																											
可燃物質計測 装置	可燃物質底水ポンプ ホース・ポンプ等の底 水ポンプ等 (代替 型ホース等)	(設計基準対象施設)	R/F	○ 建屋内																																																																																																																																																										
底水ポンプ等 (海水)	底水ポンプ等	C/V	○ 建屋内																																																																																																																																																											
土塁気管	(設計基準対象施設)	C/V, R/F	○ 建屋内																																																																																																																																																											
C. D-底水ポンプ等 遮水門等	防災設備	C/V	○ 建屋内																																																																																																																																																											
済本給水槽内 底水ポンプ等 (海水)	可燃物質：A. 計備 遮水門等	○ 影響なし (既存方針)																																																																																																																																																												
底水ポンプ等 (海水)	防災設備	○ 未記載	○ 建屋内																																																																																																																																																											
可燃物質計測装置	5S に記載	—	—																																																																																																																																																											
非常用底水ポンプ	非常用底水ポンプに記載	—	—																																																																																																																																																											
可燃物質：A. 計備 遮水門等	可燃物質大型底水ポンプ等、 ホース・ポンプ等、 スリーブ・ポンプ (代 替型ホース等)	防災設備	○ 影響なし (既存方針)																																																																																																																																																											
底水ポンプ等 (海水)	底水ポンプ等	○ 未記載	○ 影響なし (既存方針)																																																																																																																																																											
A-直注注入ポンプ	(設計基準対象施設)	A/B	○ 建屋内																																																																																																																																																											
非常用底水ポンプ	非常用底水ポンプに記載	—	—																																																																																																																																																											

自発電所 3 号炉 DB 基準適合性 比較表

赤字：設備、運用又は体制の相違（設計方針の相違）
青字：記載箇所又は記載内容の相違（記載方針の相違）
緑字：記載表現、設備名称の相違（実質的な相違なし）

第6条 外部からの衝撃による損傷の防止（火山：別添資料1）

泊発電所3号炉 DB基準適合性 比較表

赤字：設備、運用又は体制の相違（設計方針の相違）
 青字：記載箇所又は記載内容の相違（記載方針の相違）
 緑字：記載表現、設備名称の相違（実質的な相違なし）

第6条 外部からの衝撃による損傷の防止（火山：別添資料1）

大飯発電所3／4号炉	女川原子力発電所2号炉	泊発電所3号炉	相違理由																																																																																																								
		<div style="border: 1px solid black; padding: 10px;"> <p style="text-align: center;">表1 降下火砕物に対する重大事故等対応設備の影響評価（13/24）</p> <table border="1" style="width: 100%; border-collapse: collapse;"> <thead> <tr> <th>設備種別</th> <th>重大事故等対応設備</th> <th>分類</th> <th>影響範囲 施設</th> <th>火山の影響 評価</th> </tr> </thead> <tbody> <tr> <td>C. ロードセグメント遮断ニット</td> <td>被災設備</td> <td>C/V</td> <td>○</td> <td>建屋内</td> </tr> <tr> <td>C. ロードセグメント外壁ボンブ C. ロードセグメント外壁ボンブ 電子制御機器用カーテンタック C. ロードセグメント遮断部対外布石防護水 入りストレーナー</td> <td>被災設備</td> <td>N/B</td> <td>○</td> <td>建屋内</td> </tr> <tr> <td>可燃性：原子炉制御室及木サージタ ンク用耐火性ガスボンベ、ホ ームボンブ</td> <td>被災設備</td> <td>N/B</td> <td>○</td> <td>建屋内</td> </tr> <tr> <td>C. ロードセグメント外壁ボンブ C. ロードセグメント遮断部対外ボンブ出 ロスマスレーナー 配管等</td> <td>被災設備</td> <td>C/W/B</td> <td>○</td> <td>建屋内</td> </tr> <tr> <td>可燃空氣度計測装置</td> <td></td> <td>※条に記載</td> <td>—</td> <td>—</td> </tr> <tr> <td>非常用放水設備</td> <td></td> <td>非常用放水設備に影響</td> <td>—</td> <td>—</td> </tr> <tr> <td>（蓄積槽容積 スピーカー（代 替格納容器、エ アシストポン プ）、（燃焼器 換気口、ロ ードセグメント 各員等のための 設備）</td> <td>代替格納容器 スピーカー（代 替格納容器、エ アシストポン プ）（新電 炉） （燃焼器置換 換気口、サボ ートドア封 錠）</td> <td>代替格納容器 スピーカー（代 替格納容器、エ アシストポン プ）（新電 炉） （燃焼器置換 換気口、サボ ートドア封 錠）</td> <td>代替格納容器スピーカーボンブ 燃料油貯蔵用ホスピット 逃生ホスピット 配管等</td> <td>被災設備</td> <td>N/B</td> <td>○</td> <td>建屋内</td> </tr> <tr> <td>可燃性：大型液体ボンブ等、 一式スラグ・回路系（淡水系用）、可 燃型ホース等</td> <td></td> <td>代替格納容器スピーカーボンブ 燃料油貯蔵用ホスピット 逃生ホスピット 配管等</td> <td>被災設備</td> <td>N/B</td> <td>○</td> <td>建屋内</td> </tr> <tr> <td>新設箇所：燃焼口、配管等</td> <td></td> <td>新設箇所：燃焼口、配管等</td> <td>被災設備</td> <td>室内 N/B 被災 N/B 内</td> <td>○</td> <td>影響なし (建屋内)</td> </tr> <tr> <td>C. ロードセグメント遮断ニット</td> <td></td> <td>C. ロードセグメント遮断ニット</td> <td>被災設備</td> <td>C/V</td> <td>○</td> <td>建屋内</td> </tr> <tr> <td>可燃空氣度計測装置</td> <td></td> <td>可燃空氣度計測装置</td> <td>※条に記載</td> <td>—</td> <td>—</td> </tr> <tr> <td>非常用放水設備</td> <td></td> <td>非常用放水設備に影響</td> <td>—</td> <td>—</td> <td></td> </tr> <tr> <td>（蓄積槽スピーカーボンブ 燃料油スピーカーボンブ 配管等）</td> <td></td> <td>（蓄積槽スピーカーボンブ 燃料油スピーカーボンブ 配管等）</td> <td>（蓄積槽スピーカーボンブ 燃料油スピーカーボンブ 配管等）</td> <td>A/B</td> <td>○</td> <td>建屋内</td> </tr> <tr> <td>燃料油貯蔵用ホスピット、配管等</td> <td></td> <td>燃料油貯蔵用ホスピット、配管等</td> <td>（蓄積槽スピーカーボンブ 燃料油スピーカーボンブ 配管等）</td> <td>N/B</td> <td>○</td> <td>建屋内</td> </tr> <tr> <td>（燃積槽本体構造） （燃積槽本体構造） （燃積槽本体構造）</td> <td></td> <td>（燃積槽本体構造） （燃積槽本体構造） （燃積槽本体構造）</td> <td>（燃積槽本体構造） （燃積槽本体構造） （燃積槽本体構造）</td> <td>C/V</td> <td>○</td> <td>建屋内</td> </tr> <tr> <td>（原子炉制御室封錠）</td> <td></td> <td>（原子炉制御室封錠）</td> <td>（原子炉制御室封錠）</td> <td>※条に記載</td> <td>—</td> <td>—</td> </tr> </tbody> </table> <p style="text-align: center; font-size: small;">※条：標準化規則に記載された項目 △：既存設備による機能を有するとして想定せず、対応する設計条件に対する既存設備の評価に付加的機能を算入する（付加評価） ○：既存設備による機能を考慮して、本設備によってその機能を補助する（補助評価） □：既存設備による機能を考慮して、本設備によってその機能を主たる機能で代替する（代替評価）、既存設備でも適用できない（既存） —：既存設備による機能を考慮して、本設備によってその機能を主たる機能で代替する（代替評価） ■：既存設備による機能を考慮して、本設備によってその機能を主たる機能で代替する（代替評価）</p> </div>	設備種別	重大事故等対応設備	分類	影響範囲 施設	火山の影響 評価	C. ロードセグメント遮断ニット	被災設備	C/V	○	建屋内	C. ロードセグメント外壁ボンブ C. ロードセグメント外壁ボンブ 電子制御機器用カーテンタック C. ロードセグメント遮断部対外布石防護水 入りストレーナー	被災設備	N/B	○	建屋内	可燃性：原子炉制御室及木サージタ ンク用耐火性ガスボンベ、ホ ームボンブ	被災設備	N/B	○	建屋内	C. ロードセグメント外壁ボンブ C. ロードセグメント遮断部対外ボンブ出 ロスマスレーナー 配管等	被災設備	C/W/B	○	建屋内	可燃空氣度計測装置		※条に記載	—	—	非常用放水設備		非常用放水設備に影響	—	—	（蓄積槽容積 スピーカー（代 替格納容器、エ アシストポン プ）、（燃焼器 換気口、ロ ードセグメント 各員等のための 設備）	代替格納容器 スピーカー（代 替格納容器、エ アシストポン プ）（新電 炉） （燃焼器置換 換気口、サボ ートドア封 錠）	代替格納容器 スピーカー（代 替格納容器、エ アシストポン プ）（新電 炉） （燃焼器置換 換気口、サボ ートドア封 錠）	代替格納容器スピーカーボンブ 燃料油貯蔵用ホスピット 逃生ホスピット 配管等	被災設備	N/B	○	建屋内	可燃性：大型液体ボンブ等、 一式スラグ・回路系（淡水系用）、可 燃型ホース等		代替格納容器スピーカーボンブ 燃料油貯蔵用ホスピット 逃生ホスピット 配管等	被災設備	N/B	○	建屋内	新設箇所：燃焼口、配管等		新設箇所：燃焼口、配管等	被災設備	室内 N/B 被災 N/B 内	○	影響なし (建屋内)	C. ロードセグメント遮断ニット		C. ロードセグメント遮断ニット	被災設備	C/V	○	建屋内	可燃空氣度計測装置		可燃空氣度計測装置	※条に記載	—	—	非常用放水設備		非常用放水設備に影響	—	—		（蓄積槽スピーカーボンブ 燃料油スピーカーボンブ 配管等）		（蓄積槽スピーカーボンブ 燃料油スピーカーボンブ 配管等）	（蓄積槽スピーカーボンブ 燃料油スピーカーボンブ 配管等）	A/B	○	建屋内	燃料油貯蔵用ホスピット、配管等		燃料油貯蔵用ホスピット、配管等	（蓄積槽スピーカーボンブ 燃料油スピーカーボンブ 配管等）	N/B	○	建屋内	（燃積槽本体構造） （燃積槽本体構造） （燃積槽本体構造）		（燃積槽本体構造） （燃積槽本体構造） （燃積槽本体構造）	（燃積槽本体構造） （燃積槽本体構造） （燃積槽本体構造）	C/V	○	建屋内	（原子炉制御室封錠）		（原子炉制御室封錠）	（原子炉制御室封錠）	※条に記載	—	—	
設備種別	重大事故等対応設備	分類	影響範囲 施設	火山の影響 評価																																																																																																							
C. ロードセグメント遮断ニット	被災設備	C/V	○	建屋内																																																																																																							
C. ロードセグメント外壁ボンブ C. ロードセグメント外壁ボンブ 電子制御機器用カーテンタック C. ロードセグメント遮断部対外布石防護水 入りストレーナー	被災設備	N/B	○	建屋内																																																																																																							
可燃性：原子炉制御室及木サージタ ンク用耐火性ガスボンベ、ホ ームボンブ	被災設備	N/B	○	建屋内																																																																																																							
C. ロードセグメント外壁ボンブ C. ロードセグメント遮断部対外ボンブ出 ロスマスレーナー 配管等	被災設備	C/W/B	○	建屋内																																																																																																							
可燃空氣度計測装置		※条に記載	—	—																																																																																																							
非常用放水設備		非常用放水設備に影響	—	—																																																																																																							
（蓄積槽容積 スピーカー（代 替格納容器、エ アシストポン プ）、（燃焼器 換気口、ロ ードセグメント 各員等のための 設備）	代替格納容器 スピーカー（代 替格納容器、エ アシストポン プ）（新電 炉） （燃焼器置換 換気口、サボ ートドア封 錠）	代替格納容器 スピーカー（代 替格納容器、エ アシストポン プ）（新電 炉） （燃焼器置換 換気口、サボ ートドア封 錠）	代替格納容器スピーカーボンブ 燃料油貯蔵用ホスピット 逃生ホスピット 配管等	被災設備	N/B	○	建屋内																																																																																																				
可燃性：大型液体ボンブ等、 一式スラグ・回路系（淡水系用）、可 燃型ホース等		代替格納容器スピーカーボンブ 燃料油貯蔵用ホスピット 逃生ホスピット 配管等	被災設備	N/B	○	建屋内																																																																																																					
新設箇所：燃焼口、配管等		新設箇所：燃焼口、配管等	被災設備	室内 N/B 被災 N/B 内	○	影響なし (建屋内)																																																																																																					
C. ロードセグメント遮断ニット		C. ロードセグメント遮断ニット	被災設備	C/V	○	建屋内																																																																																																					
可燃空氣度計測装置		可燃空氣度計測装置	※条に記載	—	—																																																																																																						
非常用放水設備		非常用放水設備に影響	—	—																																																																																																							
（蓄積槽スピーカーボンブ 燃料油スピーカーボンブ 配管等）		（蓄積槽スピーカーボンブ 燃料油スピーカーボンブ 配管等）	（蓄積槽スピーカーボンブ 燃料油スピーカーボンブ 配管等）	A/B	○	建屋内																																																																																																					
燃料油貯蔵用ホスピット、配管等		燃料油貯蔵用ホスピット、配管等	（蓄積槽スピーカーボンブ 燃料油スピーカーボンブ 配管等）	N/B	○	建屋内																																																																																																					
（燃積槽本体構造） （燃積槽本体構造） （燃積槽本体構造）		（燃積槽本体構造） （燃積槽本体構造） （燃積槽本体構造）	（燃積槽本体構造） （燃積槽本体構造） （燃積槽本体構造）	C/V	○	建屋内																																																																																																					
（原子炉制御室封錠）		（原子炉制御室封錠）	（原子炉制御室封錠）	※条に記載	—	—																																																																																																					

【女川】設計表現の相違
 • プラント設計の相違による対応手段等の相違
 (左表については、43条の審査を踏まえ適宜反映する)

泊発電所3号炉 DB基準適合性 比較表

赤字: 設備、運用又は体制の相違 (設計方針の相違)
青字: 記載箇所又は記載内容の相違 (記載方針の相違)
緑字: 記載表現、設備名称の相違 (実質的な相違なし)

第6条 外部からの衝撃による損傷の防止 (火山:別添資料1)

大飯発電所3／4号炉	女川原子力発電所2号炉	泊発電所3号炉	相違理由								
	<table border="1"> <tr> <td style="text-align: center; vertical-align: top;"> 代替遮蔽部材 第10条(原子炉 防護装置の適正 運用に対するな だりの注目) </td><td style="text-align: center; vertical-align: top;"> 代替遮蔽部材 第10条(原子炉 防護装置の適正 運用に対するな だりの注目) </td><td style="text-align: center; vertical-align: top;"> 代替遮蔽部材 第10条(原子炉 防護装置の適正 運用に対するな だりの注目) </td><td></td></tr> </table>	代替遮蔽部材 第10条(原子炉 防護装置の適正 運用に対するな だりの注目)	代替遮蔽部材 第10条(原子炉 防護装置の適正 運用に対するな だりの注目)	代替遮蔽部材 第10条(原子炉 防護装置の適正 運用に対するな だりの注目)		<table border="1"> <tr> <td style="text-align: center; vertical-align: top;"> 代替遮蔽部材 第10条(原子炉 防護装置の適正 運用に対するな だりの注目) </td><td style="text-align: center; vertical-align: top;"> 代替遮蔽部材 第10条(原子炉 防護装置の適正 運用に対するな だりの注目) </td><td style="text-align: center; vertical-align: top;"> 代替遮蔽部材 第10条(原子炉 防護装置の適正 運用に対するな だりの注目) </td><td></td></tr> </table>	代替遮蔽部材 第10条(原子炉 防護装置の適正 運用に対するな だりの注目)	代替遮蔽部材 第10条(原子炉 防護装置の適正 運用に対するな だりの注目)	代替遮蔽部材 第10条(原子炉 防護装置の適正 運用に対するな だりの注目)		
代替遮蔽部材 第10条(原子炉 防護装置の適正 運用に対するな だりの注目)	代替遮蔽部材 第10条(原子炉 防護装置の適正 運用に対するな だりの注目)	代替遮蔽部材 第10条(原子炉 防護装置の適正 運用に対するな だりの注目)									
代替遮蔽部材 第10条(原子炉 防護装置の適正 運用に対するな だりの注目)	代替遮蔽部材 第10条(原子炉 防護装置の適正 運用に対するな だりの注目)	代替遮蔽部材 第10条(原子炉 防護装置の適正 運用に対するな だりの注目)									

第6条 外部からの衝撃による損傷の防止（火山：別添資料1）

大飯発電所3／4号炉

女川原子力発電所2号炉

泊発電所 3号炉

相違理由

自発電所 3 号炉 DB 基準適合性 比較表

赤字：設備、運用又は体制の相違（設計方針の相違）
青字：記載箇所又は記載内容の相違（記載方針の相違）
緑字：記載表現、設備名称の相違（実質的な相違なし）

第6条 外部からの衝撃による損傷の防止（火山：別添資料1）

大飯発電所3／4号炉

大飯川原子力発電所2号炉

泊発電所 3号炉

相違理由

自発電所 3号炉 DB基準適合性 比較表

赤字	設備、運用又は体制の相違（設計方針の相違）
青字	記載箇所又は記載内容の相違（記載方針の相違）
緑字	記載表現、設備名称の相違（実質的な相違なし）

第6条 外部からの衝撃による損傷の防止（火山：別添資料1）

大飯発電所3／4号炉

女川原子力発電所2号炉

泊発電所 3号炉

自発電所 3 号炉 DB 基準適合性 比較表

赤字：設備、運用又は体制の相違（設計方針の相違）
青字：記載箇所又は記載内容の相違（記載方針の相違）
緑字：記載表現、設備名称の相違（実質的な相違なし）

第6条 外部からの衝撃による損傷の防止（火山：別添資料1）

大飯発電所3／4号炉

大飯川原子力発電所2号炉

泊発電所 3号炉

発電所 3 号炉 DB 基準適合性 比較表

赤字	設備、運用又は体制の相違（設計方針の相違）
青字	記載箇所又は記載内容の相違（記載方針の相違）
緑字	記載表現、設備名称の相違（実質的な相違なし）

第6条 外部からの衝撃による損傷の防止（火山：別添資料1）

自発電所 3 号炉 DB 基準適合性 比較表

赤字: 設備、運用又は体制の相違（設計方針の相違）
青字: 記載箇所又は記載内容の相違（記載方針の相違）
緑字: 記載表現、設備名称の相違（実質的な相違なし）

第6条 外部からの衝撃による損傷の防止（火山：別添資料1）

自発電所 3 号炉 DB 基準適合性 比較表

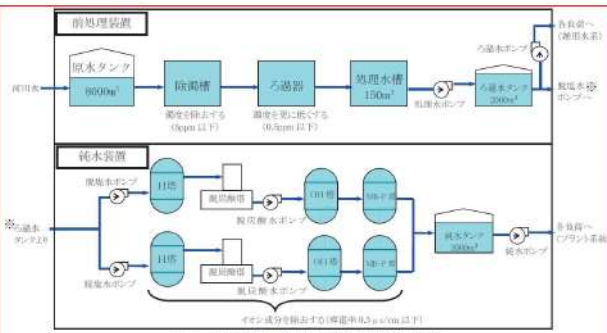
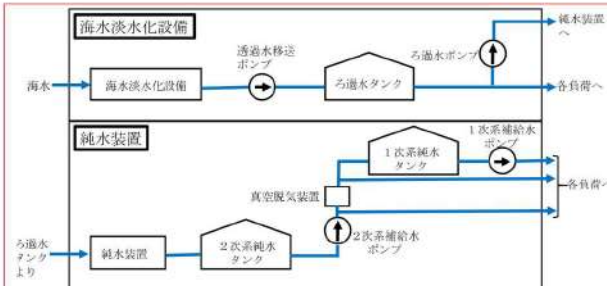
赤字：設備、運用又は体制の相違（設計方針の相違）
青字：記載箇所又は記載内容の相違（記載方針の相違）
緑字：記載表現、設備名称の相違（実質的な相違なし）

第6条 外部からの衝撃による損傷の防止（火山：別添資料1）

泊発電所3号炉 DB基準適合性 比較表

第6条 外部からの衝撃による損傷の防止 (火山:別添資料1)

赤字: 設備、運用又は体制の相違 (設計方針の相違)
 青字: 記載箇所又は記載内容の相違 (記載方針の相違)
 緑字: 記載表現、設備名称の相違 (実質的な相違なし)

大飯発電所3／4号炉	女川原子力発電所2号炉	泊発電所3号炉	相違理由
	<p>水質汚染に対する補給水等への影響について</p> <p>1. 外部から供給される水源の概略系統及び供給先</p> <p>純水を補給する設備には、復水貯蔵タンク、ほう酸水貯蔵タンク、原子炉補機冷却水サージタンクがあるが、点検時の水張りや系統内でリークが生じた際に補給等が必要になるもので、降下火碎物襲来時に補給が必要となるものではない。</p> <p>しかし、降下火碎物が河川水に混入することによる、水質汚染（補給水等の汚染）が考えられることから以下のとおり確認した。</p> <p>図1に示すとおり、河川水はまず原水タンクに受け入れられる。原水タンクに受け入れられた水は、前処理装置の除濁槽とろ過器を経由してろ過水タンクへ移送されるが、この過程で降下火碎物粒子は除去される。プラント系統に補給される用水は純水装置を経由して純水タンクに移送されるが、この過程で降下火碎物が水に濡れた場合に溶出すると考えられるイオン成分は脱塩処理される。</p> <p>また、前処理装置のろ過器が降下火碎物粒子によって差圧が上昇した場合には逆洗により再生が可能であり、また、純水装置の脱塩装置がイオン成分処理によってイオン交換能力が低下した場合には再生剤による再生が可能である。</p> <p>さらに、ろ過水タンク及び純水タンクにおいて水質管理も行っていることから、河川水が適切に処理されていることを確認した上で使用することができる。</p> <p>以上から、河川水に降下火碎物が混入した場合にも、各負荷に補給される水の水質に影響を及ぼすことはない。</p>  <p>図1 外部から供給される水源の概略系統図 (女川原子力発電所2号炉)</p> <p style="text-align: center;">以上</p>	<p>水質汚染に対する補給水等への影響について</p> <p>1. 外部から供給される水源の概略系統及び供給先</p> <p>純水を補給する設備には、燃料取替用水ピット及び原子炉補機冷却水サージタンクがあるが、点検時の水張りや系統内でリークが生じた際に補給等が必要になるもので、降下火碎物襲来時に補給が必要となるものではない。</p> <p>しかし、降下火碎物が海水に混入することによる、水質汚染（補給水等の汚染）が考えられることから以下のとおり確認した。</p> <p>泊発電所3号炉は海水を取水としており、図1に示すとおり、海水はまず海水淡化設備に受け入れられる。海水淡化設備に受け入れられた海水は、海水淡化設備のろ過器と逆浸透膜を経由してろ過水タンクへ移送されるが、この過程で降下火碎物粒子は除去される。プラント系統に補給されるろ過水は純水装置を経由し2次系純水タンクに移送されるが、この過程で降下火碎物が水に濡れた場合に溶出すると考えられるイオン成分は脱塩処理される。</p> <p>また、海水淡化設備のろ過器が降下火碎物粒子によって差圧が上昇した場合には逆洗により再生が可能であり、また、純水装置の脱塩装置がイオン成分処理によってイオン交換能力が低下した場合には再生剤による再生が可能である。</p> <p>さらに、ろ過水タンク及び2次系純水タンクにおいて水質管理も行っていることから、海水が適切に処理されていることを確認した上で使用することができる。</p> <p>以上から、海水に降下火碎物が混入した場合にも、各負荷に補給される水の水質に影響を及ぼすことはない。</p>  <p>図1 外部から供給される水源の概略系統図 (泊発電所3号炉)</p> <p style="text-align: center;">以上</p>	<p>【大飯】記載方針の相違 ・女川審査実績の反映</p> <p>【女川】設備の相違</p> <p>【女川】設計方針の相違 ・泊は海水を取水しているが、水質管理により影響がないことを確認している点では同じ</p> <p>【女川】記載表現の相違</p> <p>【女川】設計方針の相違 ・プラント設計の相違 による設備の相違</p> <p>【女川】設計方針の相違 ・プラント設計の相違 による設備の相違</p>

泊発電所3号炉 DB基準適合性 比較表

第6条 外部からの衝撃による損傷の防止 (火山:別添資料1)

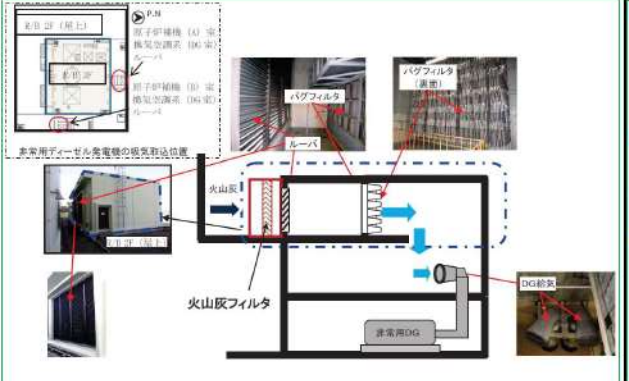
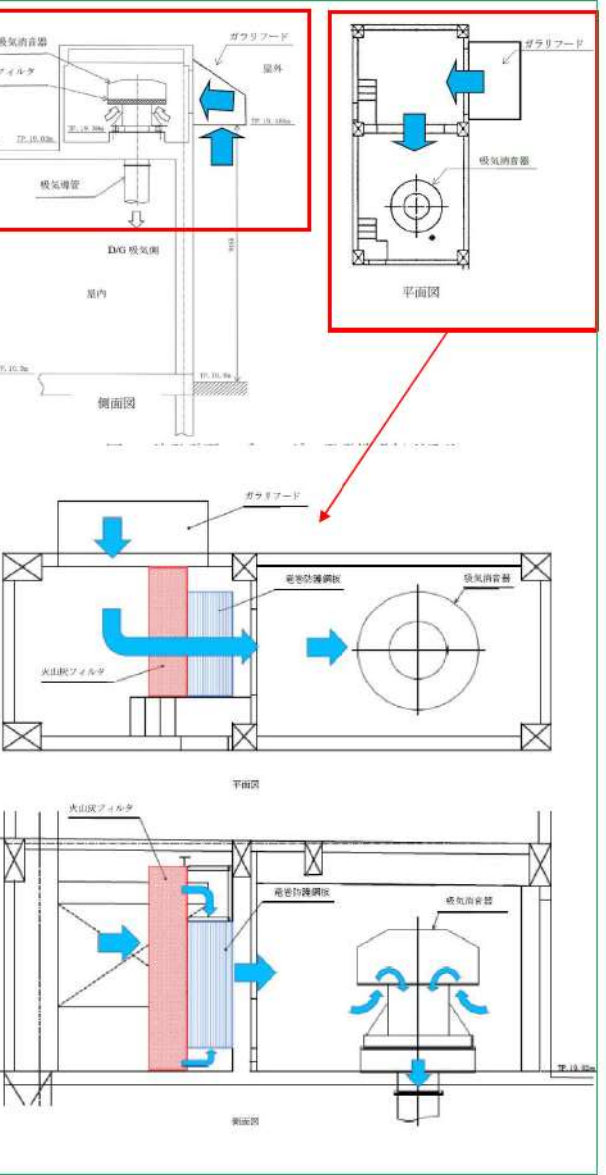
赤字: 設備、運用又は体制の相違 (設計方針の相違)
 青字: 記載箇所又は記載内容の相違 (記載方針の相違)
 緑字: 記載表現、設備名称の相違 (実質的な相違なし)

大飯発電所3／4号炉	女川原子力発電所2号炉	泊発電所3号炉	相違理由																								
	<p style="text-align: center;">補足資料-15 気中降下火砕物の対策に係る検討状況について</p> <p>平成29年12月14日に実用発電用原子炉の設置、運転等に関する規則（以下「実用炉規則」という。）の一部改正で追加された、火山影響等発生時における発電用原子炉施設の保全のための活動を行う体制の整備については、保安規定認可までに対応を図る。現在の対応状況を表1に示す。</p> <table border="1" style="width: 100%; border-collapse: collapse; text-align: center;"> <caption>表1 実用炉規則の一部改正に関する対応状況</caption> <thead> <tr> <th>条項</th> <th>規則</th> <th>対応状況</th> </tr> </thead> <tbody> <tr> <td>第84条の2 第5項</td> <td> <p>一 火山影響等発生時における発電用原子炉施設の保全のための活動を行うために必要な次に掲げる事項を定め、これを要旨に守らせること。</p> <p>イ 火山影響等発生時における非常用交流動力電源設備の機能を維持するための対策に関すること。</p> <p>ロ イに掲げるもののほか、火山影響等発生時における代替電源設備その他の炉心を冷却するため必要な設備の機能を維持するための対策に関すること。</p> <p>ハ ロに掲げるもののほか、火山影響等発生時に交流動力電源が喪失した場合における炉心の著しい損傷を防止するための対策に関すること。</p> </td> <td> <p>・大山灰の取り込みを抑制するために火山灰フィルタの設置等の対策を行う</p> <p>・非常用ディーゼル発電機の吸気による煙の影響が発生し、又は発生するおそれがある場合（以下この号において「火山影響等発生」という。）における非常用交流動力電源設備の機能を維持するための対策を行う</p> <p>炉心を冷却するための設備として、高圧代替注水系（HPAC）により対応する</p> <p>原子炉隔離時冷却系（RCIC）を用いた全交流電源喪失時の対応手順により対応する</p> </td> </tr> </tbody> </table> <p>「実用炉規則第84条の2第5項イ」の対応としては、図1の手段が考えられる。 今後、気中降下火砕物濃度の環境下において、非常用ディーゼル発電機の機能を維持するため最適な対策を検討し、保安規定認可までに対応を行う。</p>	条項	規則	対応状況	第84条の2 第5項	<p>一 火山影響等発生時における発電用原子炉施設の保全のための活動を行うために必要な次に掲げる事項を定め、これを要旨に守らせること。</p> <p>イ 火山影響等発生時における非常用交流動力電源設備の機能を維持するための対策に関すること。</p> <p>ロ イに掲げるもののほか、火山影響等発生時における代替電源設備その他の炉心を冷却するため必要な設備の機能を維持するための対策に関すること。</p> <p>ハ ロに掲げるもののほか、火山影響等発生時に交流動力電源が喪失した場合における炉心の著しい損傷を防止するための対策に関すること。</p>	<p>・大山灰の取り込みを抑制するために火山灰フィルタの設置等の対策を行う</p> <p>・非常用ディーゼル発電機の吸気による煙の影響が発生し、又は発生するおそれがある場合（以下この号において「火山影響等発生」という。）における非常用交流動力電源設備の機能を維持するための対策を行う</p> <p>炉心を冷却するための設備として、高圧代替注水系（HPAC）により対応する</p> <p>原子炉隔離時冷却系（RCIC）を用いた全交流電源喪失時の対応手順により対応する</p>	<p style="text-align: center;">補足資料-15 気中降下火砕物の対策に係る検討状況について</p> <p>平成29年12月14日に実用発電用原子炉の設置、運転等に関する規則（以下「実用炉規則」という。）の一部改正で追加され、その後、令和2年1月23日に改正された、火山影響等発生時における発電用原子炉施設の保全のための活動を行う体制の整備については、保安規定認可までに対応を図る。現在の対応状況を表1に示す。</p> <table border="1" style="width: 100%; border-collapse: collapse; text-align: center;"> <caption>表1 実用炉規則の一部改正に関する対応状況</caption> <thead> <tr> <th>条項</th> <th>規則</th> <th>対応状況</th> </tr> </thead> <tbody> <tr> <td>第83条 第1号</td> <td>次に掲げる事象の区分に応じてそれぞれ次に定める事項を含む発電用原子炉施設の必要な機能を維持するための活動に関する計画を定めるとともに、当該計画の実行に必要な要員を配置し、当該計画に従って必要な活動を行わせること。</td> <td>—</td> </tr> <tr> <td>ロ</td> <td>火山現象による影響</td> <td>非常用ディーゼル発電機の吸気ラインに火山灰フィルタの設置等の対策を行う。</td> </tr> <tr> <td>(1)</td> <td>火山現象による影響が発生し、又は発生するおそれがある場合（以下この号において「火山影響等発生」という。）における非常用交流動力電源設備の機能を維持するための対策に関すること。</td> <td>非常用ディーゼル発電機の吸気ラインに火山灰フィルタの設置等の対策を行う。</td> </tr> <tr> <td>(2)</td> <td>(1)に掲げるもののほか、火山影響等発生時における代替電源設備その他の炉心を冷却するため必要な設備の機能を維持するための対策に関すること。</td> <td>炉心を冷却するための設備として、タービン動力による炉心冷却装置により対応する。</td> </tr> <tr> <td>(3)</td> <td>(2)に掲げるもののほか、火山影響等発生時に交流動力電源が喪失した場合における炉心の著しい損傷を防止するための対策に関すること。</td> <td>代替電源設備の吸気ラインに火山灰対策を行う。</td> </tr> </tbody> </table> <p>「実用炉規則第83条第1号」の対応としては、図1の手段が考えられる。 今後、気中降下火砕物濃度の環境下において、ディーゼル発電機の機能を維持するため最適な対策を検討し、保安規定認可までに対応を行う。</p>	条項	規則	対応状況	第83条 第1号	次に掲げる事象の区分に応じてそれぞれ次に定める事項を含む発電用原子炉施設の必要な機能を維持するための活動に関する計画を定めるとともに、当該計画の実行に必要な要員を配置し、当該計画に従って必要な活動を行わせること。	—	ロ	火山現象による影響	非常用ディーゼル発電機の吸気ラインに火山灰フィルタの設置等の対策を行う。	(1)	火山現象による影響が発生し、又は発生するおそれがある場合（以下この号において「火山影響等発生」という。）における非常用交流動力電源設備の機能を維持するための対策に関すること。	非常用ディーゼル発電機の吸気ラインに火山灰フィルタの設置等の対策を行う。	(2)	(1)に掲げるもののほか、火山影響等発生時における代替電源設備その他の炉心を冷却するため必要な設備の機能を維持するための対策に関すること。	炉心を冷却するための設備として、タービン動力による炉心冷却装置により対応する。	(3)	(2)に掲げるもののほか、火山影響等発生時に交流動力電源が喪失した場合における炉心の著しい損傷を防止するための対策に関すること。	代替電源設備の吸気ラインに火山灰対策を行う。	<p>【大飯】記載方針の相違 ・女川審査実績の反映</p> <p>【女川】記載表現の相違 ・実用炉規則の改正に伴う条文番号の相違（内容に変更はない）</p> <p>【女川】設計方針の相違 ・プラント設計の相違による対応状況の相違</p> <p>【女川】記載表現の相違 ・実用炉規則の改正に伴う条文番号の相違（内容に変更はない）</p> <p>【女川】設備名称の相違</p>
条項	規則	対応状況																									
第84条の2 第5項	<p>一 火山影響等発生時における発電用原子炉施設の保全のための活動を行うために必要な次に掲げる事項を定め、これを要旨に守らせること。</p> <p>イ 火山影響等発生時における非常用交流動力電源設備の機能を維持するための対策に関すること。</p> <p>ロ イに掲げるもののほか、火山影響等発生時における代替電源設備その他の炉心を冷却するため必要な設備の機能を維持するための対策に関すること。</p> <p>ハ ロに掲げるもののほか、火山影響等発生時に交流動力電源が喪失した場合における炉心の著しい損傷を防止するための対策に関すること。</p>	<p>・大山灰の取り込みを抑制するために火山灰フィルタの設置等の対策を行う</p> <p>・非常用ディーゼル発電機の吸気による煙の影響が発生し、又は発生するおそれがある場合（以下この号において「火山影響等発生」という。）における非常用交流動力電源設備の機能を維持するための対策を行う</p> <p>炉心を冷却するための設備として、高圧代替注水系（HPAC）により対応する</p> <p>原子炉隔離時冷却系（RCIC）を用いた全交流電源喪失時の対応手順により対応する</p>																									
条項	規則	対応状況																									
第83条 第1号	次に掲げる事象の区分に応じてそれぞれ次に定める事項を含む発電用原子炉施設の必要な機能を維持するための活動に関する計画を定めるとともに、当該計画の実行に必要な要員を配置し、当該計画に従って必要な活動を行わせること。	—																									
ロ	火山現象による影響	非常用ディーゼル発電機の吸気ラインに火山灰フィルタの設置等の対策を行う。																									
(1)	火山現象による影響が発生し、又は発生するおそれがある場合（以下この号において「火山影響等発生」という。）における非常用交流動力電源設備の機能を維持するための対策に関すること。	非常用ディーゼル発電機の吸気ラインに火山灰フィルタの設置等の対策を行う。																									
(2)	(1)に掲げるもののほか、火山影響等発生時における代替電源設備その他の炉心を冷却するため必要な設備の機能を維持するための対策に関すること。	炉心を冷却するための設備として、タービン動力による炉心冷却装置により対応する。																									
(3)	(2)に掲げるもののほか、火山影響等発生時に交流動力電源が喪失した場合における炉心の著しい損傷を防止するための対策に関すること。	代替電源設備の吸気ラインに火山灰対策を行う。																									

泊発電所 3号炉 DB基準適合性 比較表

赤字：設備、運用又は体制の相違（設計方針の相違）
青字：記載箇所又は記載内容の相違（記載方針の相違）
緑字：記載表現、設備名称の相違（実質的な相違なし）

第6条 外部からの衝撃による損傷の防止（火山：別添資料1）

大飯発電所3／4号炉	女川原子力発電所2号炉	泊発電所3号炉	相違理由
	 <p>図1 実用炉規則第84条の2第5項イ（非常用ディーゼル発電機の2系統維持）対応案</p> <p style="text-align: center;">以上</p>	 <p style="text-align: center;">以上</p>	<p>【女川】記載表現の相違 ・女川、泊はディーゼル発電機の機能維持対策として火山灰フィルタの設置による対応とする</p>

泊発電所 3号炉 DB基準適合性 比較表

赤字：設備、運用又は体制の相違（設計方針の相違）
 青字：記載箇所又は記載内容の相違（記載方針の相違）
 緑字：記載表現、設備名称の相違（実質的な相違なし）

第6条 外部からの衝撃による損傷の防止（火山：別添資料1）

大飯発電所3／4号炉	女川原子力発電所2号炉	泊発電所3号炉	相違理由
	<p>補足資料-16 女川原子力発電所における気中降下火砕物濃度の算出について</p> <p>1. 降下火砕物濃度の推定手法 試算に用いる大気中の降下火砕物濃度は、「原子力発電所の火山影響評価ガイド（平成29年11月29日改正）」（以下「ガイド」という。）の添付1「気中降下火砕物濃度の推定手法について」に定められた手法により推定した気中降下火砕物濃度とする。ガイドに定められている手法は以下の2つである。</p> <p>a. 降灰継続時間を仮定して、降灰量から気中降下火砕物濃度を推定する手法 b. 数値シミュレーションにより気中降下火砕物濃度を推定する手法</p> <p>2. 気中降下火砕物濃度の算出 女川原子力発電所では、上記手法のうちaの手法により気中降下火砕物の濃度を推定した。本手法は、原子力発電所の敷地において発電所の運用期間中に想定される降下火砕物が降灰継続時間（24時間）に堆積したと仮定し、降下火砕物の粒径の割合から求められる粒径毎の堆積速度と終端速度から算出される粒径毎の気中濃度の総和を気中降下火砕物濃度として求める。以下に計算方法を示す。 女川原子力発電所における入力条件及び計算結果を表1, 2に示す。</p> <p>粒径iの降下火砕物の降灰量Wiは</p> $W_i = p_i W_T \quad (p_i : 粒径iの割合 \quad W_T : 総降灰量) \cdots (A)$ <p>で表され、粒径iの堆積速度viは</p> $v_i = \frac{W_i}{t} \quad (t : 降灰継続時間) \cdots (B)$ <p>粒径iの気中濃度Ciは</p> $C_i = \frac{v_i}{r_i} \quad (r_i : 粒径iの降下火砕物の終端速度) \cdots (C)$ <p>で表され、気中降下火砕物濃度CTは</p> $C_T = \sum_i C_i \cdots (D)$ <p>となる。</p>	<p>補足資料-16 泊発電所における気中降下火砕物濃度の算出について</p> <p>1. 降下火砕物濃度の推定手法 試算に用いる大気中の降下火砕物濃度は、「原子力発電所の火山影響評価ガイド（令和元年12月18日改正）」（以下「ガイド」という。）の添付1「気中降下火砕物濃度の推定手法について」に定められた手法により推定した気中降下火砕物濃度とする。ガイドに定められている手法は以下の2つである。</p> <p>a. 降灰継続時間を仮定して、降灰量から気中降下火砕物濃度を推定する手法 b. 数値シミュレーションにより気中降下火砕物濃度を推定する手法</p> <p>2. 気中降下火砕物濃度の算出 泊発電所では、上記手法のうちaの手法により気中降下火砕物の濃度を推定した。本手法は、原子力発電所の敷地において発電所の運用期間中に想定される降下火砕物が降灰継続時間（24時間）に堆積したと仮定し、降下火砕物の粒径の割合から求められる粒径ごとの堆積速度と終端速度から算出される粒径ごとの気中濃度の総和を気中降下火砕物濃度として求める。以下に計算方法を示す。 泊発電所における入力条件及び計算結果を表1, 2に示す。</p> <p>粒径iの降下火砕物の降灰量Wiは</p> $W_i = p_i W_T \quad (p_i : 粒径iの割合 \quad W_T : 総降灰量) \cdots (A)$ <p>で表され、粒径iの堆積速度viは</p> $v_i = \frac{W_i}{t} \quad (t : 降灰継続時間) \cdots (B)$ <p>粒径iの気中濃度Ciは</p> $C_i = \frac{v_i}{r_i} \quad (r_i : 粒径iの降下火砕物の終端速度) \cdots (C)$ <p>で表され、気中降下火砕物濃度CTは</p> $C_T = \sum_i C_i \cdots (D)$ <p>となる。</p>	<p>【女川】記載表現の相違 ・プラント名称の相違</p> <p>【女川】記載表現の相違 ・ガイドの改正年月の相違</p> <p>【女川】記載表現の相違 ・プラント名称の相違</p> <p>【女川】記載表現の相違 ・プラント名称の相違</p> <p>【女川】記載表現の相違 ・プラント名称の相違</p> <p>【女川】記載表現の相違 ・プラント名称の相違</p>

泊発電所 3号炉 DB基準適合性 比較表

赤字：設備、運用又は体制の相違（設計方針の相違）
 青字：記載箇所又は記載内容の相違（記載方針の相違）
 緑字：記載表現、設備名称の相違（実質的な相違なし）

第6条 外部からの衝撃による損傷の防止（火山：別添資料1）

大飯発電所3／4号炉	女川原子力発電所2号炉	泊発電所3号炉	相違理由																																																																																																																								
	<table border="1"> <caption>表1 気中降下火砕物濃度の入力条件及び計算結果</caption> <thead> <tr> <th>入力条件</th> <th>数値</th> <th>備考</th> </tr> </thead> <tbody> <tr> <td>① 降灰継続時間 t [h]</td> <td>24</td> <td>ガイドより</td> </tr> <tr> <td>② 堆積層厚 [cm]</td> <td>15</td> <td>女川原子力発電所で想定する降下火砕物堆積量</td> </tr> <tr> <td>③ 降下火砕物密度 [g/cm^3]</td> <td>1</td> <td>Tephra2における設定値</td> </tr> <tr> <td>④ 降下火砕物の総降灰量 W_t [g/m^2]</td> <td>150,000</td> <td>②×③×10⁴</td> </tr> <tr> <td>⑤ 粒径ごとの降灰量 W_i [g/m^2]</td> <td>表2参照</td> <td>粒径の割合はTephra2によるシミュレーション結果を使用</td> </tr> <tr> <td>⑥ 粒径ごとの堆積速度 v_i [$g/s \cdot m^2$]</td> <td>表2参照</td> <td>(B)式</td> </tr> <tr> <td>⑦ 粒径ごとの終端速度 r_i [m/s]</td> <td>表2参照</td> <td></td> </tr> <tr> <td>⑧ 粒径ごとの気中濃度 C_i [g/m^3]</td> <td>表2参照</td> <td>(C)式</td> </tr> <tr> <td>⑨ 気中降下火砕物濃度 C_t [g/m^3]</td> <td>2.7</td> <td>(D)式</td> </tr> </tbody> </table> <table border="1"> <caption>表2 粒径ごとの入力条件及び計算結果</caption> <thead> <tr> <th>粒径 i ϕ [μm]</th> <th>-1~0 (1,414)</th> <th>0~1 (707)</th> <th>1~2 (354)</th> <th>2~3 (177)</th> <th>3~4 (88)</th> <th>4~5 (44)</th> <th>5~6 (22)</th> <th>6~7 (11)</th> <th>合計</th> </tr> </thead> <tbody> <tr> <td>割合 p_i (%)</td> <td>2.9×10^{-6}</td> <td>14.0</td> <td>59.0</td> <td>17.0</td> <td>7.9</td> <td>2.2</td> <td>0.26</td> <td>0.032</td> <td></td> </tr> <tr> <td>降灰量 W_i (g/m^2)</td> <td>0.044</td> <td>21,000</td> <td>88,500</td> <td>25,500</td> <td>11,850</td> <td>3,300</td> <td>390</td> <td>48</td> <td>$W_t=150,000$</td> </tr> <tr> <td>堆積速度 v_i ($g/(s \cdot m^2)$)</td> <td>5.1×10^{-7}</td> <td>0.24</td> <td>1.0</td> <td>0.30</td> <td>0.14</td> <td>3.8×10^{-5}</td> <td>4.5×10^{-5}</td> <td>5.6×10^{-5}</td> <td></td> </tr> <tr> <td>終端速度 r_i (m/s)</td> <td>250</td> <td>180</td> <td>100</td> <td>50</td> <td>35</td> <td>10</td> <td>3</td> <td>1</td> <td></td> </tr> <tr> <td>気中濃度 C_i (g/m^3)</td> <td>2.6×10^{-7}</td> <td>0.14</td> <td>1.0</td> <td>0.59</td> <td>0.39</td> <td>0.38</td> <td>0.15</td> <td>5.6×10^{-7}</td> <td>$C_t=2.7$</td> </tr> </tbody> </table>	入力条件	数値	備考	① 降灰継続時間 t [h]	24	ガイドより	② 堆積層厚 [cm]	15	女川原子力発電所で想定する降下火砕物堆積量	③ 降下火砕物密度 [g/cm^3]	1	Tephra2における設定値	④ 降下火砕物の総降灰量 W_t [g/m^2]	150,000	②×③×10 ⁴	⑤ 粒径ごとの降灰量 W_i [g/m^2]	表2参照	粒径の割合はTephra2によるシミュレーション結果を使用	⑥ 粒径ごとの堆積速度 v_i [$g/s \cdot m^2$]	表2参照	(B)式	⑦ 粒径ごとの終端速度 r_i [m/s]	表2参照		⑧ 粒径ごとの気中濃度 C_i [g/m^3]	表2参照	(C)式	⑨ 気中降下火砕物濃度 C_t [g/m^3]	2.7	(D)式	粒径 i ϕ [μm]	-1~0 (1,414)	0~1 (707)	1~2 (354)	2~3 (177)	3~4 (88)	4~5 (44)	5~6 (22)	6~7 (11)	合計	割合 p_i (%)	2.9×10^{-6}	14.0	59.0	17.0	7.9	2.2	0.26	0.032		降灰量 W_i (g/m^2)	0.044	21,000	88,500	25,500	11,850	3,300	390	48	$W_t=150,000$	堆積速度 v_i ($g/(s \cdot m^2)$)	5.1×10^{-7}	0.24	1.0	0.30	0.14	3.8×10^{-5}	4.5×10^{-5}	5.6×10^{-5}		終端速度 r_i (m/s)	250	180	100	50	35	10	3	1		気中濃度 C_i (g/m^3)	2.6×10^{-7}	0.14	1.0	0.59	0.39	0.38	0.15	5.6×10^{-7}	$C_t=2.7$	<table border="1"> <caption>表1 気中降下火砕物濃度の入力条件及び計算結果</caption> <thead> <tr> <th>入力条件</th> <th>数値</th> <th>備考</th> </tr> </thead> <tbody> <tr> <td>① 降灰継続時間 t [h]</td> <td>24</td> <td>ガイドより</td> </tr> <tr> <td>② 堆積層厚 [cm]</td> <td>20</td> <td>泊発電所で想定する降下火砕物堆積量</td> </tr> <tr> <td>③ 降下火砕物密度 [g/cm^3]</td> <td>1</td> <td>Tephra2における設定値</td> </tr> <tr> <td>④ 降下火砕物の総降灰量 W_t [g/m^2]</td> <td>200,000</td> <td>②×③×10⁴</td> </tr> <tr> <td>⑤ 粒径ごとの降灰量 W_i [g/m^2]</td> <td>表2参照</td> <td>粒径の割合はTephra2によるシミュレーション結果を使用</td> </tr> <tr> <td>⑥ 粒径ごとの堆積速度 v_i [$g/s \cdot m^2$]</td> <td>表2参照</td> <td>(B)式</td> </tr> <tr> <td>⑦ 粒径ごとの終端速度 r_i [m/s]</td> <td>表2参照</td> <td>Suzuki (1983) 参考</td> </tr> <tr> <td>⑧ 粒径ごとの気中濃度 C_i [g/m^3]</td> <td>表2参照</td> <td>(C)式</td> </tr> <tr> <td>⑨ 気中降下火砕物濃度 C_t [g/m^3]</td> <td>3.7</td> <td>(D)式</td> </tr> </tbody> </table>	入力条件	数値	備考	① 降灰継続時間 t [h]	24	ガイドより	② 堆積層厚 [cm]	20	泊発電所で想定する降下火砕物堆積量	③ 降下火砕物密度 [g/cm^3]	1	Tephra2における設定値	④ 降下火砕物の総降灰量 W_t [g/m^2]	200,000	②×③×10 ⁴	⑤ 粒径ごとの降灰量 W_i [g/m^2]	表2参照	粒径の割合はTephra2によるシミュレーション結果を使用	⑥ 粒径ごとの堆積速度 v_i [$g/s \cdot m^2$]	表2参照	(B)式	⑦ 粒径ごとの終端速度 r_i [m/s]	表2参照	Suzuki (1983) 参考	⑧ 粒径ごとの気中濃度 C_i [g/m^3]	表2参照	(C)式	⑨ 気中降下火砕物濃度 C_t [g/m^3]	3.7	(D)式	<p>【女川】設計方針の相違 ・立地地域による評価 結果の相違</p>
入力条件	数値	備考																																																																																																																									
① 降灰継続時間 t [h]	24	ガイドより																																																																																																																									
② 堆積層厚 [cm]	15	女川原子力発電所で想定する降下火砕物堆積量																																																																																																																									
③ 降下火砕物密度 [g/cm^3]	1	Tephra2における設定値																																																																																																																									
④ 降下火砕物の総降灰量 W_t [g/m^2]	150,000	②×③×10 ⁴																																																																																																																									
⑤ 粒径ごとの降灰量 W_i [g/m^2]	表2参照	粒径の割合はTephra2によるシミュレーション結果を使用																																																																																																																									
⑥ 粒径ごとの堆積速度 v_i [$g/s \cdot m^2$]	表2参照	(B)式																																																																																																																									
⑦ 粒径ごとの終端速度 r_i [m/s]	表2参照																																																																																																																										
⑧ 粒径ごとの気中濃度 C_i [g/m^3]	表2参照	(C)式																																																																																																																									
⑨ 気中降下火砕物濃度 C_t [g/m^3]	2.7	(D)式																																																																																																																									
粒径 i ϕ [μm]	-1~0 (1,414)	0~1 (707)	1~2 (354)	2~3 (177)	3~4 (88)	4~5 (44)	5~6 (22)	6~7 (11)	合計																																																																																																																		
割合 p_i (%)	2.9×10^{-6}	14.0	59.0	17.0	7.9	2.2	0.26	0.032																																																																																																																			
降灰量 W_i (g/m^2)	0.044	21,000	88,500	25,500	11,850	3,300	390	48	$W_t=150,000$																																																																																																																		
堆積速度 v_i ($g/(s \cdot m^2)$)	5.1×10^{-7}	0.24	1.0	0.30	0.14	3.8×10^{-5}	4.5×10^{-5}	5.6×10^{-5}																																																																																																																			
終端速度 r_i (m/s)	250	180	100	50	35	10	3	1																																																																																																																			
気中濃度 C_i (g/m^3)	2.6×10^{-7}	0.14	1.0	0.59	0.39	0.38	0.15	5.6×10^{-7}	$C_t=2.7$																																																																																																																		
入力条件	数値	備考																																																																																																																									
① 降灰継続時間 t [h]	24	ガイドより																																																																																																																									
② 堆積層厚 [cm]	20	泊発電所で想定する降下火砕物堆積量																																																																																																																									
③ 降下火砕物密度 [g/cm^3]	1	Tephra2における設定値																																																																																																																									
④ 降下火砕物の総降灰量 W_t [g/m^2]	200,000	②×③×10 ⁴																																																																																																																									
⑤ 粒径ごとの降灰量 W_i [g/m^2]	表2参照	粒径の割合はTephra2によるシミュレーション結果を使用																																																																																																																									
⑥ 粒径ごとの堆積速度 v_i [$g/s \cdot m^2$]	表2参照	(B)式																																																																																																																									
⑦ 粒径ごとの終端速度 r_i [m/s]	表2参照	Suzuki (1983) 参考																																																																																																																									
⑧ 粒径ごとの気中濃度 C_i [g/m^3]	表2参照	(C)式																																																																																																																									
⑨ 気中降下火砕物濃度 C_t [g/m^3]	3.7	(D)式																																																																																																																									

泊発電所3号炉 DB基準適合性 比較表

赤字：設備、運用又は体制の相違（設計方針の相違）
 青字：記載箇所又は記載内容の相違（記載方針の相違）
 緑字：記載表現、設備名称の相違（実質的な相違なし）

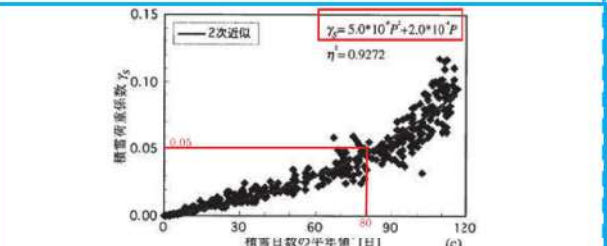
第6条 外部からの衝撃による損傷の防止（火山：別添資料1）

大飯発電所3／4号炉	女川原子力発電所2号炉	泊発電所3号炉	相違理由
<p>補足資料－7 7. 建屋及び屋外設備に対する荷重評価の基本的な考え方について</p> <p>1. 荷重評価の基本的な考え方 火山灰の荷重については、建築基準法の積雪の考え方を準拠し、30日を目処に速やかに除灰する運用とすることから、短期の荷重として取り扱う。 建屋は想定する堆積荷重と許容堆積荷重を比較し、また屋外設備は想定する堆積荷重に対する発生応力と許容応力を比較し裕度評価することにより、健全性を確認する。</p> <p>2. 評価方法 (1) 建屋 建設時の各建屋の構造計算書にある設計時の想定荷重を用いて、堆積荷重の影響を受ける各部位が短期許容応力度以下となるように建屋の許容堆積荷重を算出し、想定する堆積荷重がそれ以下となることを確認する。また、許容堆積荷重の算出方法について別紙に示す。 なお、建屋については、火山灰による荷重に、自重ならびに積載荷重を組み合わせる。 (2) 屋外設備 荷重を受ける部材構造が比較的単純である屋外設備については、部材構造に応じて一般的な材料力学に基づく評価式を用いて応力を算出する。 許容応力は原子力設備に対する評価基準として用いられる規格基準JEAG4601-1987に準拠し、保守的に弾性範囲内として許容応力状態Ⅲ_Sを用いる。 なお、屋外の防護対象施設である海水ポンプ（モータフレーム）については、火山灰による荷重、自重に加え、ポンプの運転に伴って重畳するポンプスラスト軸方向の運転時荷重を組み合わせる。</p> <p>3. 想定堆積荷重 荷重評価に用いる想定堆積荷重の考え方を以下に示す。 (1) 火山灰の堆積荷重 ・密度：1.5g/cm^3（湿润）（火山灰の層厚1cm当たり 150N/m^2）</p>	<p>補足資料－17 降下火砕物と積雪荷重との組合せについて</p> <p>火山（降下火砕物）と積雪は相関性が低い事象同士の組合せであるが、重畠した場合には堆積荷重が増加することになるため、組合せを考慮することとしている。以下に火山（降下火砕物）と組み合わせる際の積雪荷重の設定について整理する。</p> <p>1. 関連する基準要求に対する適合確認 設置許可基準規則第6条（外部からの衝撃による損傷の防止）のうち「外部事象の考慮」において、火山の影響（降下火砕物）と積雪を安全施設に影響を及ぼすおそれがある自然現象として抽出しており、荷重の組合せの要否の検討を実施している。具体的な荷重の組合せの考え方は以下のとおり。</p> <p>(1)荷重の組合せの考え方 降下火砕物及び積雪による堆積荷重は、同時に発生する場合を考慮し、設計上考慮すべき荷重評価における自然現象の組合せとして、降下火砕物による荷重及び積雪による荷重の組合せを設定している。荷重の組合せは、主たる作用（主事象）の最大値と、従たる作用（副事象）の任意時点の値（平均値）の和として作用の組合せを考慮するTurkstraの法則^{※1}の考え方に基づき設定している。この考え方は、日本建築学会「建築物荷重指針・同解説」や建築基準法、土木学会「性能設計における土木構造物に対する作用の指針」、国土交通省「土木・建築にかかる設計の基本」、EN1990（ユーロコード）、ASCE 7-02（米国土木学会）、ANSI（米国国家規格協会）、ISO等でも採用されている。 降下火砕物による荷重は積雪荷重に対して、発生頻度が相対的に低いが荷重が大きく、安全機能への影響が大きくなると考えられることから主事象として扱い、設計基準で想定している降下火砕物による荷重（層厚15cm）を設定する。積雪は発生頻度が主荷重（降下火砕物）と比べて相対的に高いものの、荷重は主荷重に比べて小さく安全機能への影響も主荷重に比べて小さいと考えられるため、主事象に対して考慮する副事象として扱うこととする。なお、別紙－1に積雪荷重を主荷重、降下火砕物による荷重を従荷重と想定した場合の確認結果を示す。</p> <p>2. 従荷重として組み合わせる積雪荷重の設定方法 主荷重である降下火砕物に対して組み合わせる積雪荷重の平均値について関連する規格・基準等を踏まえて、以下のとおり検討を行った。</p>	<p>補足資料－17 降下火砕物と積雪荷重との組合せについて</p> <p>火山（降下火砕物）と積雪は相関性が低い事象同士の組合せであるが、重畠した場合には堆積荷重が増加することになるため、組合せを考慮することとしている。以下に火山（降下火砕物）と組み合わせる際の積雪荷重の設定について整理する。</p> <p>1. 関連する基準要求に対する適合確認 設置許可基準規則第6条（外部からの衝撃による損傷の防止）のうち「外部事象の考慮」において、火山の影響（降下火砕物）と積雪を安全施設に影響を及ぼすおそれがある自然現象として抽出しており、荷重の組合せの要否の検討を実施している。具体的な荷重の組合せの考え方は以下のとおり。</p> <p>(1)荷重の組合せの考え方 降下火砕物及び積雪による堆積荷重は、同時に発生する場合を考慮し、設計上考慮すべき荷重評価における自然現象の組合せとして、降下火砕物による荷重及び積雪による荷重の組合せを設定している。荷重の組合せは、主たる作用（主事象）の最大値と、従たる作用（副事象）の任意時点の値（平均値）の和として作用の組合せを考慮するTurkstraの法則^{※1}の考え方に基づき設定している。この考え方は、日本建築学会「建築物荷重指針・同解説」や建築基準法、土木学会「性能設計における土木構造物に対する作用の指針」、国土交通省「土木・建築にかかる設計の基本」、EN1990（ユーロコード）、ASCE 7-02（米国土木学会）、ANSI（米国国家規格協会）、ISO等でも採用されている。 積雪荷重は降下火砕物による荷重に対して、発生頻度が相対的に高く、また、荷重が大きく、安全機能への影響が大きくなると考えられることから主事象として扱い、設計基準で想定している積雪荷重（積雪189cm）を設定する。降下火砕物は発生頻度が主荷重（積雪）と比べて相対的に低く、また、荷重は主荷重に比べて小さく安全機能への影響も主荷重に比べて小さいと考えられるため、主事象に対して考慮する副事象として扱うこととする。なお、別紙－1に降下火砕物による荷重を主荷重、積雪荷重を従荷重と想定した場合の確認結果を示す。</p> <p>2. 従荷重として組み合わせる降下火砕物による荷重の設定方法 副事象である降下火砕物による荷重は、積雪荷重のように平均値を求めることが困難であるため、副事象として考慮する場合は、基準降下火砕物堆積量の設定において想定する噴火規模から1段階下げた噴火規模を考慮する。噴火規模を1段階下げた場合、降下火砕物堆積量は10分の1になることから基準降下火砕物堆積量の層厚20cmの10分の1である層厚2cmによる荷重を想定する。別紙－2に副事象として降下火砕物による荷重を設定する際に噴火規模を1段階下げた降下火砕物堆積量を想定することの妥当性について示す。</p>	<p>【大飯】記載方針の相違 女川審査実績の反映</p> <p>【女川】設計方針の相違 ・泊は積雪を主荷重、 降下火砕物を従荷重とする。</p> <p>【女川】 設計基準値の相違</p> <p>【女川】設計方針の相違 ・泊は積雪を主荷重、 降下火砕物を従荷重とする。</p>

泊発電所3号炉 DB基準適合性 比較表

赤字：設備、運用又は体制の相違（設計方針の相違）
 青字：記載箇所又は記載内容の相違（記載方針の相違）
 緑字：記載表現、設備名称の相違（実質的な相違なし）

第6条 外部からの衝撃による損傷の防止（火山：別添資料1）

大飯発電所3／4号炉	女川原子力発電所2号炉	泊発電所3号炉	相違理由
<p>・堆積量：10cm <u>火山灰荷重=150 (N/m²·cm) ×10 (cm) =1,500 (N/m²)</u> (2) 火山灰と積雪の組み合わせによる堆積荷重 ①火山灰 ・密度：1.5g/cm³（湿潤）（火山灰の層厚1cm当たり150N/m²） ・堆積量：10cm <u>火山灰荷重=150 (N/m²·cm) ×10 (cm) =1,500 (N/m²)</u> ②積雪 ・密度：0.3g/cm³（積雪の単位荷重は1cm当たり30N/m²）※1 ・積雪量：100cm※2 <u>積雪荷重=30 (N/m²·cm) ×100 (cm) =3,000 (N/m²)</u> ※1：福井県 建築基準法施行細則に基づく積雪の単位荷重を用いる。 ※2：火山事象と積雪事象は独立の関係にあることから、組み合わせる積雪量については同建築基準法の設計積雪「100cm」を用いる。 ③火山灰と積雪の組み合わせ荷重 <u>火山灰荷重+積雪荷重=4,500 (N/m²)</u></p> <p>以上より、火山灰と積雪を組み合わせた堆積荷重が大きく保守的であることから、組合せによる堆積荷重（4,500N/m²）を想定する堆積荷重として評価する。</p> <p>【別紙】建屋の許容堆積荷重の算出方法について</p> <p style="text-align: center;">以 上</p>	<p>6(火山)-別添1-補足17-4,5に記載</p> <p>(1) 確率過程的に平均値な積雪量を求める 副事象として想定する積雪荷重の考え方として高橋^{※2}がTurkstraの法則に従って、荷重の組合せを考える際の積雪荷重の係数を求めていた。高橋^{※2}の論文によると、年最深積雪の100年再現期間期待値と積雪荷重の荷重係数の関係に対して、積雪日数の平年値を横軸とした場合の関係を示している。（第1図参照）これは、一年間のうち、いつ襲来するか明らかでない荷重（例えば地震荷重等）と積雪荷重を組み合わせる場合の荷重係数を示している。女川原子力発電所の近隣である石巻特別地域気象観測所の観測データより、積雪日数の最大値が80日（観測期間1962年～2017年において）であることを踏まえると、この場合の荷重係数は近似式より約0.05となる。設計基準値の積雪量を考慮した場合には、組み合わせる積雪量は約2.2cm（43cm×0.05）と算出される。</p>  <p>第1図 積雪荷重が従となる場合に掛け合わせる荷重係数^{※2}（赤線・赤字は追記）</p> <p>(2) 建築基準法の考え方を準用して平均値を求めた場合 建築基準法では、多雪地域において主荷重である地震・暴風と組み合わせる場合の平均的な積雪量として、短期積雪荷重の0.35倍の積雪量を考慮することとしており、算出される平均的な積雪量は約15.1cm（設計基準積雪量43cm×0.35）であることを確認した。</p> <p>(3) 観測記録により年最深積雪の平均値を求めた場合 副事象として想定する積雪荷重について、平均的な積雪荷重の一般的な設定方法として最寄りの気象観測所における年最深積雪の平均値を求める方法がある。女川原子力発電所の最寄りの気象観測所である石巻における年最深積雪の平均値は気象観測データ（観測期間：1962年～2017年）より17.0cmであることを確認した。</p> <p>検討の結果、算出される平均的な積雪量は、観測記録により年最深積雪の平均値を求めた場合（17.0cm）が最も大きな値となることを確認した。</p> <p>3. 火山影響評価ガイドを踏まえて考慮すべき事項 「原子力発電所の火山影響評価ガイド」（以下、火山影響評価ガイドという）において、降雨、積雪などの自然現象は、火山灰等の堆積物の静的負荷を著しく増大させる可能性があるとしていることから、乾</p>		<p>【大飯】記載方針の相違 女川審査実績の反映 【女川】記載箇所の相違 泊は6(火山)-別添1-補足17-4,5に記載</p>

泊発電所3号炉 DB基準適合性 比較表

赤字：設備、運用又は体制の相違（設計方針の相違）
 青字：記載箇所又は記載内容の相違（記載方針の相違）
 緑字：記載表現、設備名称の相違（実質的な相違なし）

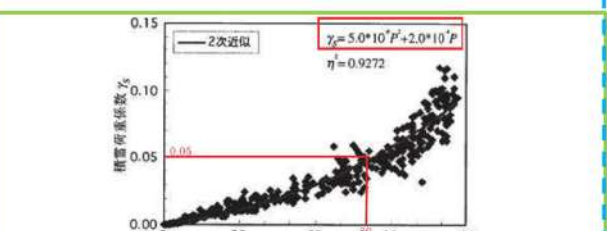
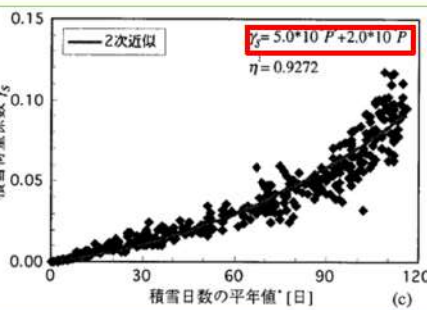
第6条 外部からの衝撃による損傷の防止（火山：別添資料1）

大飯発電所3／4号炉	女川原子力発電所2号炉	泊発電所3号炉	相違理由																																																	
<p>建屋の許容堆積荷重の算出方法について</p> <p>火山灰堆積による建屋の荷重評価における許容堆積荷重の算出過程を以下に示す。ここでは、制御建屋の屋根部を例として説明する。</p> <p>1. 建屋の許容堆積荷重の求め方</p> <p>建屋の屋根部は、鉄筋コンクリートで構成されている。このため、屋根部の許容堆積荷重は、鉄筋コンクリート構造計算規準・同解説（日本建築学会）で規定される鉄筋の長期及び短期許容応力度の比1.5（短期／長期）に基づき、設計時に考慮されている常時荷重（自重、積載荷重、積雪荷重）から算出する。</p> <p>具体的な算出方法は下表に示すとおり、設計時に考慮されている自重（屋根）、積載荷重及び積雪荷重はそれぞれ構造計算書より、$10,650\text{N/m}^2$、$1,350\text{N/m}^2$、$3,000\text{N/m}^2$であり、設計時の長期荷重は合計$15,000\text{N/m}^2$である。この長期荷重に鉄筋の許容応力度の比として1.5倍することにより、短期で負担できる許容荷重$22,500\text{N/m}^2$が導出できる。自重及び積載荷重は長期と短期で同一の設定であることから、自重及び積載荷重を短期で負担できる許容荷重から差し引くことで、火山灰と積雪による許容堆積荷重$10,500\text{N/m}^2$が算出される。建屋の影響評価では、火山灰と積雪による想定堆積荷重$4,500\text{N/m}^2$が許容堆積荷重以下となることを確認する。</p> <p>表 建屋の許容堆積荷重の算出過程（制御建屋の例）</p> <table border="1"> <thead> <tr> <th rowspan="2"></th> <th rowspan="2">単位</th> <th colspan="2">設計時</th> <th rowspan="2">今回評価</th> <th rowspan="2">備考</th> </tr> <tr> <th>長期</th> <th>(短期)</th> </tr> </thead> <tbody> <tr> <td>自重</td> <td>① N/m²</td> <td>10,650</td> <td>10,650</td> <td>10,650</td> <td>長期、短期で同一設定</td> </tr> <tr> <td>積載</td> <td>② N/m²</td> <td>1,350</td> <td>1,350</td> <td>1,350</td> <td>長期、短期で同一設定</td> </tr> <tr> <td>積雪</td> <td>③ N/m²</td> <td>3,000 (100cm)</td> <td>3,000 (100cm)</td> <td>3,000 (100cm)</td> <td>長期、短期で同一設定 比率0.3</td> </tr> <tr> <td>火山灰</td> <td>④ N/m²</td> <td>0</td> <td>0</td> <td>7,500</td> <td>比重1.5(湿潤)</td> </tr> <tr> <td>合計</td> <td>①～④ N/m²</td> <td>15,000</td> <td>15,000</td> <td>22,500</td> <td></td> </tr> <tr> <td>許容荷重</td> <td>⑤ N/m²</td> <td>15,000以上</td> <td>22,500以上</td> <td></td> <td></td> </tr> <tr> <td>許容堆積荷重</td> <td>③+④ N/m²</td> <td>-</td> <td>1.5倍</td> <td>-</td> <td>10,500</td> </tr> </tbody> </table> <p>以上</p>		単位	設計時		今回評価	備考	長期	(短期)	自重	① N/m ²	10,650	10,650	10,650	長期、短期で同一設定	積載	② N/m ²	1,350	1,350	1,350	長期、短期で同一設定	積雪	③ N/m ²	3,000 (100cm)	3,000 (100cm)	3,000 (100cm)	長期、短期で同一設定 比率0.3	火山灰	④ N/m ²	0	0	7,500	比重1.5(湿潤)	合計	①～④ N/m ²	15,000	15,000	22,500		許容荷重	⑤ N/m ²	15,000以上	22,500以上			許容堆積荷重	③+④ N/m ²	-	1.5倍	-	10,500	<p>燥状態の降下火砕物の密度（0.7g/cm^3）に対して、同時期に想定される降雨等による荷重影響として、湿潤状態の降下火砕物の密度（1.5g/cm^3）を設定し、更に17cmの積雪荷重を組み合わせることとしている。</p> <p>また、降下火砕物による荷重と積雪による荷重の組合せにおいては、除灰の効果は期待しないものとし、積雪については適切に除雪を行い、雪を長期間堆積状態にしない方針とすることで、積雪荷重に対する設計裕度を確保する。</p> <p>6(火山)-別添1-補足17-5及び6(火山)-別添1-補足17-7に記載 以上の検討より、女川原子力発電所における降下火砕物の荷重に組み合わせる積雪荷重の積雪量は、発電所立地の最寄りの気象観測所である石巻地域における年最深積雪の平均値（17.0cm）を採用する方針とする。</p> <p>以上</p> <p>[参考文献] ※1:建築物荷重指針・同解説(2015) (2章荷重の種類と組合せ、付5.5 許容応力度設計に用いる組合せ荷重のための荷重係数) 6(火山)-別添1-補足17-6に記載 ※2:高橋 徹:積雪荷重の推移過程モデルに関する一考察 (日本建築 学会 構造工学論文集 Vol. 44B(1998年3月))</p> <p>【女川】記載箇所の相違 泊は6(火山)-別添1-補 足17-5, 7に記載</p> <p>[参考文献] ※1:建築物荷重指針・同解説(2015) (2章荷重の種類と組合せ、付5.5 許容応力度設計に用いる組合せ荷重のための荷重係数) 6(火山)-別添1-補足17-6に記載 【女川】記載箇所の相違 泊は6(火山)-別添1-補 足17-6に記載</p>	
			単位	設計時			今回評価	備考																																												
	長期	(短期)																																																		
自重	① N/m ²	10,650	10,650	10,650	長期、短期で同一設定																																															
積載	② N/m ²	1,350	1,350	1,350	長期、短期で同一設定																																															
積雪	③ N/m ²	3,000 (100cm)	3,000 (100cm)	3,000 (100cm)	長期、短期で同一設定 比率0.3																																															
火山灰	④ N/m ²	0	0	7,500	比重1.5(湿潤)																																															
合計	①～④ N/m ²	15,000	15,000	22,500																																																
許容荷重	⑤ N/m ²	15,000以上	22,500以上																																																	
許容堆積荷重	③+④ N/m ²	-	1.5倍	-	10,500																																															

泊発電所3号炉 DB基準適合性 比較表

第6条 外部からの衝撃による損傷の防止 (火山:別添資料1)

赤字: 設備、運用又は体制の相違 (設計方針の相違)
 青字: 記載箇所又は記載内容の相違 (記載方針の相違)
 緑字: 記載表現、設備名称の相違 (実質的な相違なし)

大飯発電所3／4号炉	女川原子力発電所2号炉	泊発電所3号炉	相違理由
	<p>別紙-1 (参考) 積雪荷重を主荷重、降下火碎物による荷重を従荷重と想定した場合の確認結果</p> <p>火山 (降下火碎物) と積雪の組合せは補足資料-19に示すように、降下火碎物による荷重を主荷重、積雪荷重を従荷重として設定している。 これに対して、積雪荷重を主事象 (主荷重)、降下火碎物による荷重を副事象 (従荷重) と想定した場合について確認する。</p> <p>1. 評価条件 主事象である積雪荷重は設計基準値 (43cm) の荷重とする。また、副事象である降下火碎物による荷重は、積雪荷重のように平均値を求めることが困難であるため、副事象として考慮する場合は、基準降下火碎物堆積量 (15cm) の設定において想定する火山噴火規模 (VEI5～6) ^{※1}から1段階下がった火山噴火規模 (VEI4～5相当) を考慮した荷重を想定する。</p> <p>6(火山)-別添1-補足17-2より再掲 (1) 確率過程的に平均値な積雪量を求める 副事象として想定する積雪荷重の考え方として高橋^{※2}がTurkstraの法則に従って、荷重の組合せを考える際の積雪荷重の係数を求めていた。高橋^{※2}の論文によると、年最深積雪の100年再現期間期待値と積雪荷重の荷重係数の関係に対して、積雪日数の平年値を横軸とした場合の関係を示している。(第1図参照)これは、一年間のうち、いつ襲来するか明らかでない荷重(例えば地震荷重等)と積雪荷重を組み合わせる場合の荷重係数を示している。女川原子力発電所の近隣である石巻特別地域気象観測所の観測データより、積雪日数の最大値が80日(観測期間1962年～2017年において)であることを踏まえると、この場合の荷重係数は近似式より約0.05となる。設計基準値の積雪量を考慮した場合には、組み合わせる積雪量は約2.2cm (43cm×0.05)と算出される。</p>  <p>第1図 積雪荷重が従となる場合に掛け合わせる荷重係数^{※2} (赤線・赤字は追記)</p>	<p>別紙-1 (参考) 降下火碎物による荷重を主荷重、積雪荷重を従荷重と想定した場合の確認結果</p> <p>火山 (降下火碎物) と積雪の組合せは補足資料-17に示すように、積雪荷重を主荷重、降下火碎物による荷重を従荷重として設定している。 これに対して、降下火碎物による荷重を主事象 (主荷重)、積雪荷重を副事象 (従荷重) と想定した場合について確認する。</p> <p>1. 評価条件 主事象である降下火碎物による荷重は設計基準値 (20cm) の荷重とする。 主荷重である降下火碎物に対して組み合わせる積雪荷重の平均値については、関連する規格・基準等を踏まえて、以下のとおり検討を行った。</p> <p>(1) 確率過程的に平均値な積雪量を求める 副事象として想定する積雪荷重の考え方として高橋^{※1}がTurkstraの法則に従って、荷重の組合せを考える際の積雪荷重の係数を求めていた。高橋^{※2}の論文によると、年最深積雪の100年再現期間期待値と積雪荷重の荷重係数の関係に対して、積雪日数の平年値を横軸とした場合の関係を示している(図1参照)。これは、一年間のうち、いつ襲来するか明らかでない荷重(例えば地震荷重等)と積雪荷重を組み合わせる場合の荷重係数を示している。泊発電所の近隣である寿都特別地域気象観測所の観測データより、積雪日数の最大値が149日(観測期間1961年～2022年において)であることを踏まえると、この場合の荷重係数は近似式より約0.14となる。設計基準値の積雪量を考慮した場合には、組み合わせる積雪量は約26.5cm (189cm×0.14)と算出される。</p>  <p>図1 積雪荷重が従となる場合に掛け合わせる荷重係数^{※2} (赤枠は追記)</p>	<p>【大飯】記載方針の相違 女川審査実績の反映 【女川】設計方針の相違 ・泊は積雪を主荷重、 降下火碎物を従荷重とする。</p> <p>【女川】 ・設計基準値の相違</p> <p>【女川】 記載表現の相違 【女川】記載表現の相違 ・プラント名称の相違 ・気象観測所の相違 【女川】 ・評価条件の相違</p>

泊発電所3号炉 DB基準適合性 比較表

第6条 外部からの衝撃による損傷の防止 (火山:別添資料1)

赤字: 設備、運用又は体制の相違 (設計方針の相違)
 青字: 記載箇所又は記載内容の相違 (記載方針の相違)
 緑字: 記載表現、設備名称の相違 (実質的な相違なし)

大飯発電所3／4号炉	女川原子力発電所2号炉	泊発電所3号炉	相違理由
	<p>6(火山)-別添1-補17-2,3より再掲</p> <p>(2)建築基準法の考え方を準用して平均値を求めた場合 建築基準法では、多雪地域において主荷重である地震・暴風と組み合わせる場合の平均的な積雪量として、短期積雪荷重の0.35倍の積雪量を考慮することとしており、算出される平均的な積雪量は約 15.1cm (設計基準積雪量 43cm×0.35) であることを確認した。</p> <p>(3)観測記録により年最深積雪の平均値を求めた場合 副事象として想定する積雪荷重について、平均的な積雪荷重の一般的な設定方法として最寄りの気象観測所における年最深積雪の平均値を求める方法がある。女川原子力発電所の最寄りの気象観測所である石巻における年最深積雪の平均値は気象観測データ（観測期間：1962年～2017年）より 17.0cm であることを確認した。 検討の結果、算出される平均的な積雪量は、観測記録により年最深積雪の平均値を求めた場合 (17.0cm) が最も大きな値となることを確認した。</p> <p>3. 火山影響評価ガイドを踏まえて考慮すべき事項 「原子力発電所の火山影響評価ガイド」(以下、火山影響評価ガイドという)において、降雨、積雪などの自然現象は、火山灰等の堆積物の静的負荷を著しく増大させる可能性があるとしていることから、乾燥状態の降下火砕物の密度 ($0.7\text{g}/\text{cm}^3$) に対して、同時期に想定される降雨等による荷重影響として、湿潤状態の降下火砕物の密度 ($1.5\text{g}/\text{cm}^3$) を設定し、更に 17cm の積雪荷重を組み合わせることとしている。 また、降下火砕物による荷重と積雪による荷重の組合せにおいては、除灰の効果は期待しないものとし、積雪については適切に除雪を行い、雪を長期間堆積状態にしない方針とすることで、積雪荷重に対する設計裕度を確保する。</p> <p>以上の検討より、女川原子力発電所における降下火砕物の荷重に組み合わせる積雪荷重の積雪量は、発電所立地の最寄りの気象観測所である石巻地域における年最深積雪の平均値 (17.0cm) を採用する方針とする。</p> <p>2. 評価結果 評価結果は第1表に示すとおりであり、積雪荷重を主事象(主荷重)、降下火砕物による荷重を副事象(従荷重)と想定した場合の評価(ケース2)は、設置許可基準規則第6条(外部からの衝撃による損傷の防止)のうち「外部事象の考慮」の荷重の組合せで設定している評価(ケース1)に対して十分小さいことを確認した。</p>	<p>(2)建築基準法の考え方を準用して平均値を求めた場合 建築基準法では、多雪地域において主荷重である地震・暴風と組み合わせる場合の平均的な積雪量として、短期積雪荷重の0.35倍の積雪量を考慮することとしており、算出される平均的な積雪量は約 66.2cm (設計基準積雪量 189cm×0.35) であることを確認した。</p> <p>(3)観測記録により年最深積雪の平均値を求めた場合 副事象として想定する積雪荷重について、平均的な積雪荷重の一般的な設定方法として最寄りの気象観測所における年最深積雪の平均値を求める方法がある。泊発電所の最寄りの気象観測所である寿都における年最深積雪の平均値は気象観測データ（観測期間：1961年～2022年）より 75.2cm であることを確認した。 検討の結果、算出される平均的な積雪量は、観測記録により年最深積雪の平均値を求めた場合 (75.2cm) が最も大きな値となることを確認した。</p> <p>2. 火山影響評価ガイドを踏まえて考慮すべき事項 「原子力発電所の火山影響評価ガイド」(以下、火山影響評価ガイドという)において、降雨、積雪などの自然現象は、火山灰等の堆積物の静的負荷を著しく増大させる可能性があるとしていることから、乾燥状態の降下火砕物の密度 ($0.7\text{g}/\text{cm}^3$) に対して、同時期に想定される降雨等による荷重影響として、湿潤状態の降下火砕物の密度 ($1.5\text{g}/\text{cm}^3$) を設定し、更に 75.2cm の積雪荷重を組み合わせることとしている。 また、降下火砕物による荷重と積雪による荷重の組合せにおいては、除灰の効果は期待しないものとし、積雪については適切に除雪を行い、雪を長期間堆積状態にしない方針とすることで、積雪荷重に対する設計裕度を確保する。</p> <p>6(火山)-別添1-補17-7に記載 以上の検討より、泊発電所における降下火砕物の荷重に組み合わせる積雪荷重の積雪量は、発電所立地の最寄りの気象観測所である寿都地域における年最深積雪の平均値 (75.2cm) を採用する方針とする。</p> <p>3. 評価結果 評価結果は表1に示すとおりであり、降下火砕物による荷重を主事象(主荷重)、積雪荷重を副事象(従荷重)と想定した場合の評価(ケース2)は、設置許可基準規則第6条(外部からの衝撃による損傷の防止)のうち「外部事象の考慮」の荷重の組合せで設定している評価(ケース1)に対して小さいことを確認した。</p>	<p>【女川】 ・評価条件の相違</p> <p>【女川】 ・プラント名称の相違 ・気象観測所の相違</p> <p>【女川】 ・評価条件の相違</p> <p>【女川】 ・評価条件の相違</p> <p>【女川】 ・評価条件の相違</p> <p>【女川】 ・評価条件の相違</p> <p>【女川】 ・評価条件の相違</p> <p>【女川】 ・評価結果に伴う記載表現の相違</p>

泊発電所 3号炉 DB基準適合性 比較表

赤字：設備、運用又は体制の相違（設計方針の相違）
 青字：記載箇所又は記載内容の相違（記載方針の相違）
 緑字：記載表現、設備名称の相違（実質的な相違なし）

第6条 外部からの衝撃による損傷の防止（火山：別添資料1）

大飯発電所3／4号炉	女川原子力発電所2号炉	泊発電所3号炉	相違理由																												
	<p style="text-align: center;">第1表 組合せ荷重の評価結果</p> <table border="1" style="margin-left: auto; margin-right: auto;"> <thead> <tr> <th>ケース</th><th>主事象</th><th>副事象</th><th>堆積荷重 (N/m²)</th><th>備考</th></tr> </thead> <tbody> <tr> <td>1</td><td>降下火砕物 (15cm)</td><td>積雪 (17cm)</td><td>2547</td><td>—</td></tr> <tr> <td>2</td><td>積雪 (43cm)</td><td>降下火砕物 (1.5cm) ^{*2}</td><td>1081</td><td>—</td></tr> </tbody> </table> <p>※1: 基準降下火砕物堆積量の設定時に行った降下火砕物シミュレーションにおいて想定する鳴子カルデラの既往最大の噴火規模は VEI5～6(第446回原子力発電所の新規制基準適合性に係る審査会合(平成29年2月24日)にてご説明済)</p> <p>※2: 基準降下火砕物堆積量 (15cm) の設定において想定する火山噴火規模 (VEI5～6) から1段階噴火規模を下げた VEI4～5相当を考慮して想定</p> <p style="text-align: center;">6(火山)-別添1-補足17-2より再掲</p> <p>[参考文献]</p> <p>※1: 高橋 徹: 積雪荷重の推移過程モデルに関する一考察 (日本建築学会 構造工学論文集 Vol. 44B(1998年3月))</p> <p style="text-align: center;">表1 組合せ荷重の評価結果</p> <table border="1" style="margin-left: auto; margin-right: auto;"> <thead> <tr> <th>ケース</th><th>主事象</th><th>副事象</th><th>堆積荷重 (N/m²)</th><th>備考</th></tr> </thead> <tbody> <tr> <td>1</td><td>積雪 (189cm)</td><td>降下火砕物 (2cm)</td><td>5,970</td><td>—</td></tr> <tr> <td>2</td><td>降下火砕物 (20cm)</td><td>積雪 (75.2cm)</td><td>5,256</td><td>—</td></tr> </tbody> </table> <p>[参考文献]</p> <p>※1: 高橋 徹: 積雪荷重の推移過程モデルに関する一考察 (日本建築学会 構造工学論文集 Vol. 44B(1998年3月))</p>	ケース	主事象	副事象	堆積荷重 (N/m ²)	備考	1	降下火砕物 (15cm)	積雪 (17cm)	2547	—	2	積雪 (43cm)	降下火砕物 (1.5cm) ^{*2}	1081	—	ケース	主事象	副事象	堆積荷重 (N/m ²)	備考	1	積雪 (189cm)	降下火砕物 (2cm)	5,970	—	2	降下火砕物 (20cm)	積雪 (75.2cm)	5,256	—
ケース	主事象	副事象	堆積荷重 (N/m ²)	備考																											
1	降下火砕物 (15cm)	積雪 (17cm)	2547	—																											
2	積雪 (43cm)	降下火砕物 (1.5cm) ^{*2}	1081	—																											
ケース	主事象	副事象	堆積荷重 (N/m ²)	備考																											
1	積雪 (189cm)	降下火砕物 (2cm)	5,970	—																											
2	降下火砕物 (20cm)	積雪 (75.2cm)	5,256	—																											

泊発電所3号炉 DB基準適合性 比較表

赤字：設備、運用又は体制の相違（設計方針の相違）
 青字：記載箇所又は記載内容の相違（記載方針の相違）
 緑字：記載表現、設備名称の相違（実質的な相違なし）

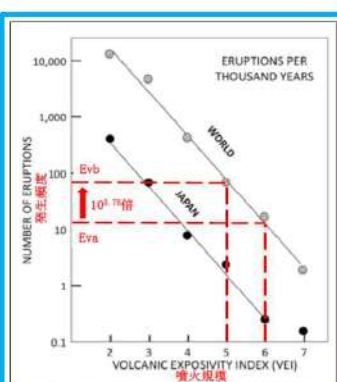
第6条 外部からの衝撃による損傷の防止（火山：別添資料1）

大飯発電所3／4号炉 (柏崎刈羽原子力発電所6号及び7号炉のまとめ資料を引用) 補足資料5 5.積雪と降下火砕物との重複の考え方について	女川原子力発電所2号炉	泊発電所3号炉	相違理由
<p>設備影響評価における降下火砕物の条件としては、想定される降下火砕物の層厚を35cmとして、設定を行った。また、設計基準における積雪の条件は、規格・基準類として、建築基準法及び同施行令第86条第3項に基づく新潟県建築基準法施行細則で定められている積雪量、観測記録として、柏崎市に設置されている気象庁地域気象観測システム（アメダス）に記録されている日降雪量の最大値、及び観測記録をもとに算出した年超過確率結果を参照し、設計基準積雪量を167cmと設定している。</p> <p>一方、火山（降下火砕物）と積雪は相関性が低い事象の組合せであるため、重量を考慮する際は、Turkstra規則を適用する。Turkstra規則の考え方は、建築基準法や、土木学会「性能設計における土木構造物に対する作用の指針」、国土交通省「土木・建築にかかる設計の基本」、ANSI（米国国家規格協会）等で採用されている。</p> <p>Turkstra規則は、主たる作用（主事象）の最大値と、従たる作用（副事象）の任意時点の値（平均値）の和として作用の組合せを考慮する。単純性・保守性のために、主事象は設計基準で想定している規模、副事象はプラント寿命期間中に発生し得る程度の規模（年超過確率10⁻²）を想定する。この想定は、副事象として想定すべき任意時点の値（平均値）より厳しい値を想定することとなるため、保守性があると考える。</p> <p>以上の考えをもとに、設計基準で想定している規模の降下火砕物（35cm）に重量される積雪量は、1日あたりの積雪量の年超過確率10⁻²の値（84.3cm）に日最深積雪量の平均値（31.1cm）を合算した115.4cmとした。</p> <p>なお、主事象を積雪、副事象を降下火砕物とした場合は、設計基準として想定している積雪量167cmに降下火砕物3.5cm³の荷重を重複させることを想定するが、前者の荷重に包含される。（年超過確率に基づき想定する積雪量は、別紙1に基づき算出。）</p> <p>また、降下火砕物又は積雪堆積状態における地震発生時の影響評価については、別紙2に記載する。</p> <p>※降下火砕物については、確率論的評価を実施していないことから、副事象として想定する噴火規模は、設計基準規模として設定している噴火規模（VEI5）から1段階噴火規模を下げたVEI4相当として設定した。</p>	<p>6(火山)-別添1-補足17-5より再掲 以上の検討より、女川原子力発電所における降下火砕物の荷重に組み合わせる積雪荷重の積雪量は、発電所立地の最寄りの気象観測所である石巻地域における年最深積雪の平均値（17.0cm）を採用する方針とする。</p>	<p>6(火山)-別添1-補足17-5より再掲 以上の検討より、泊発電所における降下火砕物の荷重に組み合わせる積雪荷重の積雪量は、発電所立地の最寄りの気象観測所である寿都地域における年最深積雪の平均値（75.2cm）を採用する方針とする。</p>	<p>別紙-2 降下火砕物による荷重を従荷重とした場合における設定方法について</p> <p>【柏崎】 柏崎の冒頭の記載については、以下の理由により比較対象としていない。 ・降下火砕物を主荷重、 積雪を従荷重とした記載であるため。 ・再掲のとおり積雪量の設定は柏崎のように年超過確率による評価は実施しておらず、女川と同様に年最深積雪の平均値を採用しているため。</p> <p>泊発電所3号炉の積雪荷重（主荷重）及び降下火砕物による荷重（従荷重）の組合せの評価においては、主たる作用（主事象）の最大値と、従たる作用（副事象）の任意時点の値（平均値）の和として作用の組合せを考慮するTurkstraの法則の考え方に基づき設定している。</p> <p>主事象の最大値には既往最大の積雪量による荷重、副事象の任意時点の値には降下火砕物堆積量による荷重とするが、降下火砕物堆積量については積雪のように観測記録が十分ではなく、平均値を求めることが困難であるため、想定する噴火規模から1段階下げた噴火規模を考慮した値としている。</p> <p>ここでは、従荷重として降下火砕物による荷重を設定する際に噴火規模を1段階下げるについての妥当性について、組合せ事象の年超過確率（1年間でそのような事象が発生する確率）の比較で検討を行った。</p> <p>具体的には以下の組合せ事象の年超過確率の比較を行った。</p> <p>①設計基準の降下火砕物堆積量（想定される噴火規模）と年平均積雪量の組合せ</p> <p>②設計基準より噴火規模を1段階下げた降下火砕物堆積量と既往最大の積雪量の組合せ</p> <p>【柏崎】 柏崎の別紙1は積雪の年超過確率に関する資料。 別紙2は地震発生時の影響評価のため比較対象としていない。</p> <p>【泊】 降下火砕物による荷重を従荷重として扱う場合に想定される噴火規模から1段階下げた噴火規模として設定している点は同じであるが、柏崎では確率論的評価を実施していないことに対し、泊で</p>

泊発電所3号炉 DB基準適合性 比較表

第6条 外部からの衝撃による損傷の防止 (火山:別添資料1)

赤字: 設備、運用又は体制の相違 (設計方針の相違)
 青字: 記載箇所又は記載内容の相違 (記載方針の相違)
 緑字: 記載表現、設備名称の相違 (実質的な相違なし)

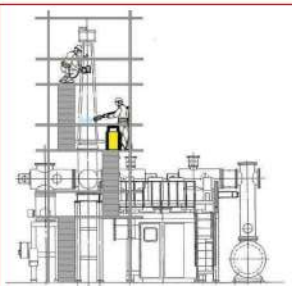
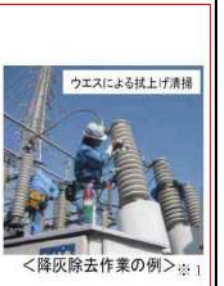
大飯発電所3／4号炉	女川原子力発電所2号炉	泊発電所3号炉	相違理由
		<p>設計基準の噴火規模の年超過確率を Eva, 噴火規模を1段階下げた噴火規模の年超過確率を Evb, 既往最大の積雪量となる年超過確率を Esa, 平均の積雪量となる年超過確率を Esb とすると, ①の年超過確率は $Eva \times Esb$, ②の年超過確率は $Evb \times Esa$ となる。</p> <p>ここで Eva と Evb は図2に示す文献^{※1}の噴火規模及び発生頻度の関係より以下の関係となる。</p> $Evb = 10^{0.78} \times Eva = 6.026 \times Eva \dots (1)$ <p>つまり</p> $Eva = 1 / 6.026 \times Evb \dots (2)$  <p>図2 噴火規模と発生頻度の関係</p> <p>一方、積雪の観測記録から求めた年超過確率である Esa 及び Esb はそれぞれ以下の通りである。</p> $Esa = 0.016 \dots (3)$ $Esb = 0.5 \dots (4)$ <p>以上、(1)～(4)より①及び②の年超過確率の関係は以下の通りとなる。</p> $\begin{aligned} \text{①の年超過確率} &= Eva \times Esb \\ &= 1 / 6.026 \times Evb \times 0.5 \\ &= 1 / 6.026 \times Evb \times 0.5 \times Esa / 0.016 \\ &= 1 / 6.026 \times 0.5 / 0.016 \times Evb \times Esa \\ &= 5.19 \times \text{②の年超過確率} \end{aligned}$ <p>②の年超過確率は①の年超過確率よりもかなり小さいことが分かる。仮に①の年超過確率と同じ年超過確率となるA段階下げた噴火規模を想定すると以下の関係となる。</p> $\begin{aligned} \text{①の年超過確率/噴火規模をA段階下げた場合の年超過確率} \\ &= 1 / (6.026)^A \times 0.5 / 0.016 = 1 \dots (5) \end{aligned}$ <p>(5)より $A = 1.91$</p>	<p>は、1段階下げるごとの妥当性について年超過確率を用いて評価している。</p>

大飯発電所3／4号炉	女川原子力発電所2号炉	泊発電所3号炉	相違理由
		<p>噴火規模を1.9段階程度下げた場合において①と同じ年超過確率となることから、従荷重として降下火碎物による荷重を設定する際に噴火規模を1段階下げた噴火規模に設定することは安全側の設定であり妥当である。</p> <p>[参考文献] ※1: 中田節也: 日本の火山噴火の現状と低頻度大規模噴火に備えた研究のあり方(日本学術協力財団 学術の動向 19巻9号(2014年9月))</p>	

泊発電所3号炉 DB基準適合性 比較表

赤字：設備、運用又は体制の相違（設計方針の相違）
 青字：記載箇所又は記載内容の相違（記載方針の相違）
 緑字：記載表現、設備名称の相違（実質的な相違なし）

第6条 外部からの衝撃による損傷の防止（火山：別添資料1）

大飯発電所3／4号炉	女川原子力発電所2号炉	泊発電所3号炉	相違理由
<p>補足資料-22 2.2. アクセスルートの復旧への影響について</p> <p>火山灰の降灰により外部電源喪失が考えられることから、火山影響評価として、降灰時におけるタンクローリーによる燃料輸送機能に影響が生じないことを確認するため、アクセスルートの復旧に要する概算時間について評価する。</p> <p>ここでは保守的に降灰と積雪時におけるアクセスルートへの火山灰等の堆積状況を想定し、要員1名にてブルドーザーを操作するとし、ディーゼル発電機の燃料油輸送ルートの復旧時間が、燃料油の移送が必要となるディーゼル発電機の起動後3日（保安電源において評価）に対し、復旧時間が概算213分（3.5時間程度）であり、3日以内に充分な余裕を確保して実施できることを確認した。</p> <p>1. ブルドーザ仕様（50t） • 一回の押し出し可能量 23.3t • ブレードの全幅 4.300m • 走行速度 前進：1速 60m/min 後進：1速 78m/min</p> <p>2. 降灰及び降雪への対応について (1) 降灰については、降灰予報の情報を受けた際に要員を確保する。降灰が確認された場合はアクセスルートの除灰を行うことにより対処が可能である。積雪については、通常時から、気象予報、積雪状況に応じて構内道路の除雪作業を行うこととしており、SA対策時においても車両等の積雪時の走行性能を勘案した上で、必要に応じて除雪作業を行うことにより対処が可能である。 (2) 降灰及び降雪除去速度の算出 1) 降灰条件 • 厚さ：0.1m • 単位堆積重量：1.5t/m³（湿潤状態） 2) 降雪条件 • 厚さ：1m（福井県建築基準法施行細則） • 単位堆積重量：0.3t/m³（福井県建築基準法施行細則） (3) 除去方法 • アクセスルート上に降り積もった火山灰及び雪を、ブルドーザで道路脇へ押し出し除去する。 • 一回の押し出し可能量を23.3tとし、23.3tの火山灰及び雪を集め、道路脇へ押し出す作業を1サイクルとして繰り返す。 • 一回の集積で進める距離X $= 23.3t \div ((\text{雪厚さ } 1m \times 0.3t/m^3 + \text{火山灰厚さ } 0.1m \times 1.5t/m^3) \times 4.300m)$ </p>	<p>補足資料-18 降灰時の外部支援及び開閉所の除灰の成立性検討について</p> <p>女川原子力発電所2号炉における降灰時の間接的影響（長期間の外部電源喪失及び交通の途絶）に対して、外部からの支援については、技術的能力1.0支援に係わる事項において、事象発生後6日間までに発電所外からの支援受けられるよう支援計画を定め、体制を整備する。また、支援を受けるまでの7日間については、設置許可基準規則解釈第33条第7項の要求として7日間分の非常用交流電源設備の燃料を有しており、軽油タンクへの燃料補給なしで運転が継続できる。その後は外部からの軽油タンクへの燃料補給や開閉所の除灰を実施し、外部電源の受電を行うことで、継続して電源を確保することとしているが、外部からの支援を受け入れるために開閉所の除灰、及び所内の燃料補給ルート確保が必要であることから、これらの成立性について検討を行った。</p> <p>1. 開閉所の降灰除去 降灰後に外部電源を受電するため、開閉所の除灰の成立性検討を行った。ガス絶縁開閉装置は筐体内に母線が内蔵されており降灰の影響を受けない構造となっているが、外部電源を受電する送電線引込部の碍子（ブッシング）は、降灰の影響を受ける可能性がある。ただし、降灰による汚損碍子は清掃により機能回復が可能であることから、図1のとおり足場を構築し、碍子（ブッシング）の清掃（洗浄、乾拭き）を実施する。検討の結果、開閉所の清掃作業のタイムチャートは図2のとおりである。女川原子力発電所の開閉所（5回線）については、平行作業が可能であることから、外部電源の復旧状況に合わせて清掃作業を実施する。</p>   <p>図1 碓子（ブッシング）清掃のイメージ</p> <p>※1 写真出典：産業構造審議会 保安分科会 電力安全小委員会 電気設備自然災害等対策ワーキンググループ-中間報告書（平成26年6月24日経済産業省 商務流通保安グループ 電力安全課）</p>	<p>補足資料-18 降灰時の外部支援及び開閉所の除灰の成立性検討について</p> <p>泊発電所3号炉における降灰時の間接的影響（長期間の外部電源喪失及び交通の途絶）に対して、外部からの支援については、技術的能力1.0支援に係わる事項において、事象発生後6日間までに発電所外からの支援受けられるよう支援計画を定め、体制を整備する。また、支援を受けるまでの7日間については、設置許可基準規則解釈第33条第7項の要求として7日間分の非常用交流電源設備の燃料を有しており、燃料油貯油槽への燃料補給なしで運転が継続できる。その後は外部からの燃料油貯油槽への燃料補給や開閉所の除灰を実施し、外部電源の受電を行うことで、継続して電源を確保することとしているが、外部からの支援を受け入れるために開閉所の除灰、及び所内の燃料補給ルート確保が必要であることから、これらの成立性について検討を行った。</p> <p>1. 開閉所の降灰除去 泊発電所の開閉所は、高台に建設されており、送電線との接続部は屋根付き構造の遮風建屋で覆われており、降下火砕物による影響は受けにくくなっている。 また、遮風建屋は屋上へのアクセスが可能であり、必要に応じて除灰が可能である。 引込み線の碍子に降下火砕物が付着することが考えられるが、系統隔離の上、清掃することにより、影響を緩和できる。</p>  <p>図1 開閉所（遮風建屋）</p>	<p>【大飯】記載方針の相違 女川審査実績の反映</p> <p>【女川】記載表現の相違 ・プラント及び観測所の相違</p> <p>【女川】記載表現の相違 ・設備名称の相違</p> <p>【女川】設計方針の相違 ・プラント設計の相違による設備の相違（泊の開閉所は高台に屋根付き構造の遮風建屋を設置しており、降下火砕物の影響を受けにくい構造である）</p> <p>【女川】設計方針の相違 ・泊は屋根付き構造の遮風建屋を設置しており、降下火砕物の影響を受けにくい構造である</p>

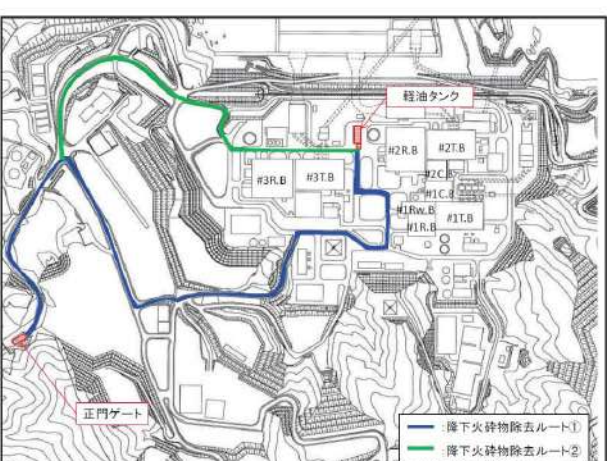
第6条 外部からの衝撃による損傷の防止（火山：別添資料1）

大飯発電所3／4号炉	女川原子力発電所2号炉	泊発電所3号炉	相違理由																																									
<p>=12.04m≈12m</p> <p>・1サイクル当たりの作業時間は、1速の走行速度（60m/min）で作業を実施すると仮定する。</p> <p>A : 押し出し（①→②→③） : $(11m + 9m) \div 60m/min = 0.333min \approx 0.34min$</p> <p>B : ギア切り替え : 0.1min</p> <p>C : 後進（③→②） : $9m \div 78m/min = 0.115 \approx 0.12min$</p> <p>1サイクル当たりの作業時間（A+B+C+B）=0.34min+0.1min+0.12min+0.1m=0.66min</p> <p>降灰および降雪の撤去概念図</p> <p>約4.3m</p> <p>・1回の集積で進める距離 23.3t(1回の押し出し可能量) +((雪厚さ1m×0.3t/m)+(火山灰厚さ0.1m×1.5t/m²)×4.300m)=約12.0m 保守性を見込み11mと設定</p> <p>(4) 降灰及び降雪除去速度</p> <p>1サイクル当たりの除去延長÷1サイクル当たりの除去時間 =11m÷0.66min=1.000km/h≈1.0km/h</p> <p>3. 復旧時間について</p> <p>下図のアクセスルートについて上記の速度を用いて復旧することを想定する。ブルドーザーは配置場所よりスタートし、1.0km/hにて復旧を開始する。なお、一度復旧が終わったルートについては2km/hで移動可能とする。</p> <p>想定時間については下表のとおりとなり、約3時間30分程度で復旧が可能である。</p> <table border="1"> <thead> <tr> <th>ルート番号</th> <th>総距離(m)</th> <th>1.0km/hにて復旧する距離(m)</th> <th>2km/hにて復旧する距離(m)</th> <th>時間(分)</th> <th>合計時間(分)</th> </tr> </thead> <tbody> <tr> <td>①→②</td> <td>665</td> <td>665</td> <td>0</td> <td>40</td> <td>40</td> </tr> <tr> <td>②→③</td> <td>379</td> <td>297</td> <td>82</td> <td>21</td> <td>61</td> </tr> <tr> <td>③→④</td> <td>695</td> <td>553</td> <td>142</td> <td>38</td> <td>99</td> </tr> <tr> <td>④→⑤</td> <td>684</td> <td>404</td> <td>280</td> <td>33</td> <td>132</td> </tr> <tr> <td>⑤→⑥</td> <td>449</td> <td>366</td> <td>83</td> <td>25</td> <td>157</td> </tr> <tr> <td>⑥→①</td> <td>1051</td> <td>812</td> <td>239</td> <td>56</td> <td>213</td> </tr> </tbody> </table>	ルート番号	総距離(m)	1.0km/hにて復旧する距離(m)	2km/hにて復旧する距離(m)	時間(分)	合計時間(分)	①→②	665	665	0	40	40	②→③	379	297	82	21	61	③→④	695	553	142	38	99	④→⑤	684	404	280	33	132	⑤→⑥	449	366	83	25	157	⑥→①	1051	812	239	56	213	<p>図2 碓子（ブッシング）の清掃・復旧のタイムチャート</p> <p>2. 燃料補給ルートの除灰</p> <p>燃料補給ルートの確保については、敷地内に設計層厚である 15cm の降下火砕物が堆積した場合において、タンクローリ等による燃料の陸送を想定し、正門ゲートから軽油タンクまでの燃料補給ルートの除灰成立性検討を行った。</p> <p>燃料補給ルートの確保については、敷地内に設計層厚である 20cm の降下火砕物が堆積した場合において、タンクローリ等による燃料の陸送を想定し、茶津守衛所から燃料油貯油槽までの燃料補給ルートの除灰成立性検討を行った。</p>	<p>【大飯】記載方針の相違</p> <p>【大飯】記載方針の相違 女川審査実績の反映</p> <p>【女川】 ・設計基準値の相違</p> <p>【女川】記載表現の相違 ・守衛所及び設備名称の相違</p>
ルート番号	総距離(m)	1.0km/hにて復旧する距離(m)	2km/hにて復旧する距離(m)	時間(分)	合計時間(分)																																							
①→②	665	665	0	40	40																																							
②→③	379	297	82	21	61																																							
③→④	695	553	142	38	99																																							
④→⑤	684	404	280	33	132																																							
⑤→⑥	449	366	83	25	157																																							
⑥→①	1051	812	239	56	213																																							

泊発電所 3号炉 DB基準適合性 比較表

赤字：設備、運用又は体制の相違（設計方針の相違）
青字：記載箇所又は記載内容の相違（記載方針の相違）
緑字：記載表現、設備名称の相違（実質的な相違なし）

第6条 外部からの衝撃による損傷の防止（火山：別添資料1）

大飯発電所3／4号炉	女川原子力発電所2号炉	泊発電所3号炉	相違理由
<p>枠囲みの範囲は機密に係る事項ですので公開することはできません</p> <p style="text-align: center;">以上</p>	<p>(1) 除灰方法の概要</p> <p>図3に示す正門ゲートから軽油タンクまでの燃料補給ルートに降り積もった灰を当社所有のブルドーザで道路脇へ押土する。なお、正門ゲートから軽油タンクまでの燃料補給ルートは2ルートあるが、距離が長いルート①（約1.7km）で評価を行うこととする。</p>  <p style="text-align: center;">図3 燃料補給ルート</p> <p>(2) 評価条件</p> <ul style="list-style-type: none"> a. 降下火砕物条件 <ul style="list-style-type: none"> ・堆積量: 15cm, 密度: 1.5g/cm³ (湿潤密度) b. ブルドーザの仕様 <ul style="list-style-type: none"> ・ブレード幅: 約3.7m ・速度 (1速): 前進 3.3km/h, 後進 4.4km/h c. 除灰距離 <ul style="list-style-type: none"> ・正門ゲートから軽油タンクまでの燃料補給ルート: 1.7km d. 除灰時間の算出方法 <p>ブルドーザが降下火砕物を道路脇に押し出す作業を1サイクルとして、ブルドーザの除灰能力から、除灰速度を算出し、燃料補給ルートの除灰時間を算出する。</p> 	<p>(1) 除灰方法の概要</p> <p>図2に示す茶津守衛所から燃料油貯油槽までの燃料補給ルートに降り積もった灰を当社所有のホイールローダで道路脇へ押土する。なお、茶津守衛所から燃料油貯油槽までの燃料補給ルートを含むアクセスルート（車両）全体で評価を行うこととする。</p>  <p style="text-align: center;">図2 燃料補給ルート</p> <p>(2) 評価条件</p> <ul style="list-style-type: none"> a. 降下火砕物条件 <ul style="list-style-type: none"> ・堆積量: 20cm, 密度: 1.5g/cm³ (湿潤密度) b. ホイールローダの仕様 <ul style="list-style-type: none"> ・最大押し出し可能重量: 4.5t (がれき撤去試験より 4.5t 押し出せることを確認済み) ・パケット全幅: 337cm ・走行速度 (1速): 前進 11.6km/h, 後進 11.6km/h c. 除灰距離 <ul style="list-style-type: none"> ・災害対策要員①作業ルート: 3.3km ・災害対策要員②作業ルート: 2.3km d. 除灰時間の算出方法 <p>ホイールローダが降下火砕物を道路脇に押し出す作業を1サイクルとして、ホイールローダの除灰能力から、除灰速度を算出し、燃料補給ルートを含むアクセスルート（車両）全体の除灰時間を算出する。なお、災害対策要員2名が別々のルートを並行して除灰する。</p> 	<p>【女川】記載表現の相違 ・使用する重機の相違</p> <p>【女川】設計方針の相違 ・泊は、可搬型設備が通行するアクセスルート全域の除灰時間を評価</p> <p>・泊は、要員2名（重機2台）での復旧時間を評価</p> <p>【女川】設計基準値の相違 ・復旧用重機の仕様の相違</p> <p>【女川】設計方針の相違 ・泊は、可搬型設備が通行するアクセスルート全域の除灰時間を評価</p> <p>・泊は、要員2名（重機2台）での復旧時間を評価</p>

泊発電所 3号炉 DB基準適合性 比較表

赤字：設備、運用又は体制の相違（設計方針の相違）
 青字：記載箇所又は記載内容の相違（記載方針の相違）
 緑字：記載表現、設備名称の相違（実質的な相違なし）

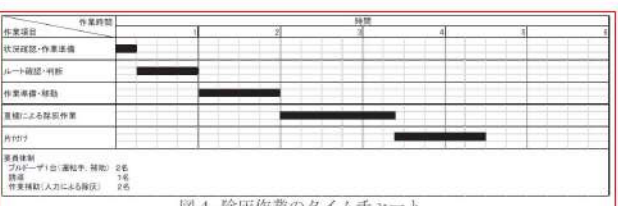
第6条 外部からの衝撃による損傷の防止（火山：別添資料1）

大飯発電所3／4号炉	女川原子力発電所2号炉	泊発電所3号炉	相違理由															
	<p>(3) 算出結果</p> <table border="1"> <thead> <tr> <th>作業内容</th><th>備考</th></tr> </thead> <tbody> <tr> <td>① ブルドーザの1サイクル当たりの最大押し出し可能重量</td><td>9.12 (t) 土砂撤去実証試験により確認済み</td></tr> <tr> <td>② ブルドーザの単位長さ当たりの除灰可能重量</td><td>0.83 (t/m) ブレードの形状及び火山灰の条件により算定</td></tr> <tr> <td>③ 1サイクルで除灰できる距離</td><td>10 (m) ①／②を切捨て</td></tr> <tr> <td>④ 1サイクル当たりの除灰時間</td><td>0.5 (min) 注1参照</td></tr> <tr> <td>⑤ 1サイクル当たりの除灰速度</td><td>1.3 (km/h) ③／④を切上げ</td></tr> <tr> <td>⑥ 燃料補給ルートの距離</td><td>1.7 (km)</td></tr> <tr> <td>⑦ 燃料補給ルートの除去時間</td><td>80 (min) ⑥／⑤を切上げ</td></tr> </tbody> </table> <p>注1：1サイクルの除灰時間の考え方 • 1サイクル当たりの作業時間は、作業速度(前進3.3km/h, 後進4.4km/h)で作業すると仮定して</p> <p>A:押し出し (Ⓐ→Ⓑ→Ⓒ) : $(10m + 6m) \div 3.3km/h = 0.3\text{ min}$ B:ギア切り替え : 0.1 min C:後進 (Ⓒ→Ⓑ) : $6m \div 4.4km/h = 0.09\text{ min}$ 1サイクル当たりの作業時間 (A+B+C) = $0.3 + 0.1 + 0.09 \approx 0.5\text{ min}$</p> <p>(3) 算出結果</p> <p>注1：1サイクルの除灰時間の考え方 • 1サイクル当たりの作業時間は、作業速度（1速の走行速度である前進11.6 km/h, 後進11.6km/hの平均5.8km/h（前進）、5.8km/h（後進））で作業すると仮定して</p> <p>A:押し出し (Ⓐ→Ⓑ→Ⓒ) : $(2m + 5m) \div 5.8km/h = 4.3\text{ 秒} \approx 5\text{ 秒}$ B:ギア切替え : 3秒 C:後進 (Ⓒ→Ⓑ) : $5m \div 5.8km/h = 3.1\text{ 秒} \approx 4\text{ 秒}$ D:ギア切替え : 3秒 1サイクル当たりの作業時間 (A+B+C+D) = 5秒 + 3秒 + 4秒 + 3秒 = 15秒</p>	作業内容	備考	① ブルドーザの1サイクル当たりの最大押し出し可能重量	9.12 (t) 土砂撤去実証試験により確認済み	② ブルドーザの単位長さ当たりの除灰可能重量	0.83 (t/m) ブレードの形状及び火山灰の条件により算定	③ 1サイクルで除灰できる距離	10 (m) ①／②を切捨て	④ 1サイクル当たりの除灰時間	0.5 (min) 注1参照	⑤ 1サイクル当たりの除灰速度	1.3 (km/h) ③／④を切上げ	⑥ 燃料補給ルートの距離	1.7 (km)	⑦ 燃料補給ルートの除去時間	80 (min) ⑥／⑤を切上げ	<p>【女川】記載方針の相違 • 泊の除灰作業に関する作業の除灰時間評価結果は（4）にて記載</p> <p>【女川】記載内容の相違 • 除灰条件、復旧用重機の相違</p>
作業内容	備考																	
① ブルドーザの1サイクル当たりの最大押し出し可能重量	9.12 (t) 土砂撤去実証試験により確認済み																	
② ブルドーザの単位長さ当たりの除灰可能重量	0.83 (t/m) ブレードの形状及び火山灰の条件により算定																	
③ 1サイクルで除灰できる距離	10 (m) ①／②を切捨て																	
④ 1サイクル当たりの除灰時間	0.5 (min) 注1参照																	
⑤ 1サイクル当たりの除灰速度	1.3 (km/h) ③／④を切上げ																	
⑥ 燃料補給ルートの距離	1.7 (km)																	
⑦ 燃料補給ルートの除去時間	80 (min) ⑥／⑤を切上げ																	

泊発電所3号炉 DB基準適合性 比較表

赤字：設備、運用又は体制の相違（設計方針の相違）
 青字：記載箇所又は記載内容の相違（記載方針の相違）
 緑字：記載表現、設備名称の相違（実質的な相違なし）

第6条 外部からの衝撃による損傷の防止（火山：別添資料1）

大飯発電所3／4号炉	女川原子力発電所2号炉	泊発電所3号炉	相違理由																																																																																																																																																						
	<p>(4) 燃料補給ルートの除灰成立性検討結果 除灰作業に関する作業のタイムチャートを図4に示す。記載のとおり約5時間で除灰が可能であることを確認した。</p>  <p>図4 除灰作業のタイムチャート</p> <p style="text-align: right;">以 上</p>	<p>(4) アクセスルート（車両）全体の除灰成立性検討結果 除灰作業に関する作業の除灰時間表を表1、2に示す。記載のとおり約10時間で除灰が可能であることを確認した。</p> <table border="1" style="width: 100%; border-collapse: collapse;"> <thead> <tr> <th colspan="6">表1 災害対策要員①による除灰時間評価</th> </tr> <tr> <th>区間</th> <th>距離（約m）</th> <th>時間評価項目</th> <th>速度（km/h）</th> <th>所要時間（分）</th> <th>累積（分）</th> </tr> </thead> <tbody> <tr><td>①→②</td><td>360</td><td>徒歩移動</td><td>4.0</td><td>6</td><td>6</td></tr> <tr><td>②→③</td><td>260</td><td>降灰除去</td><td>0.4</td><td>44</td><td>50</td></tr> <tr><td>③→④</td><td>260</td><td>重機移動</td><td>11.6</td><td>2</td><td>52</td></tr> <tr><td>④→⑤</td><td>420</td><td>降灰除去</td><td>0.4</td><td>70</td><td>122</td></tr> <tr><td>⑤→⑥</td><td>90</td><td>重機移動</td><td>11.6</td><td>1</td><td>123</td></tr> <tr><td>⑥→⑦</td><td>340</td><td>降灰除去</td><td>0.4</td><td>57</td><td>180</td></tr> <tr><td>⑦→⑧</td><td>490</td><td>重機移動</td><td>11.6</td><td>3</td><td>183</td></tr> <tr><td>⑧→⑨</td><td>210</td><td>降灰除去</td><td>0.4</td><td>35</td><td>218</td></tr> <tr><td>⑨→⑩</td><td>250</td><td>重機移動</td><td>11.6</td><td>2</td><td>220</td></tr> <tr><td>⑩→⑪</td><td>560</td><td>降灰除去</td><td>0.4</td><td>94</td><td>314</td></tr> </tbody> </table> <table border="1" style="width: 100%; border-collapse: collapse;"> <thead> <tr> <th colspan="6">表2 災害対策要員②による除灰時間評価</th> </tr> <tr> <th>区間</th> <th>距離（約m）</th> <th>時間評価項目</th> <th>速度（km/h）</th> <th>所要時間（分）</th> <th>累積（分）</th> </tr> </thead> <tbody> <tr><td>①→②</td><td>160</td><td>降灰除去</td><td>0.4</td><td>27</td><td>27</td></tr> <tr><td>②→③</td><td>160</td><td>重機移動</td><td>11.6</td><td>1</td><td>28</td></tr> <tr><td>③→④</td><td>300</td><td>降灰除去</td><td>0.4</td><td>50</td><td>78</td></tr> <tr><td>④→⑤</td><td>50</td><td>重機移動</td><td>11.6</td><td>1</td><td>79</td></tr> <tr><td>⑤→⑥</td><td>510</td><td>降灰除去</td><td>0.4</td><td>85</td><td>164</td></tr> <tr><td>⑥→⑦</td><td>40</td><td>重機移動</td><td>11.6</td><td>1</td><td>165</td></tr> <tr><td>⑦→⑧</td><td>30</td><td>降灰除去</td><td>0.4</td><td>5</td><td>170</td></tr> <tr><td>⑧→⑨</td><td>210</td><td>重機移動</td><td>11.6</td><td>2</td><td>172</td></tr> <tr><td>⑨→⑩</td><td>440</td><td>降灰除去</td><td>0.4</td><td>74</td><td>246</td></tr> <tr><td>⑩→⑪</td><td>80</td><td>重機移動</td><td>11.6</td><td>1</td><td>247</td></tr> <tr><td>⑪→⑫</td><td>270</td><td>降灰除去</td><td>0.4</td><td>45</td><td>292</td></tr> </tbody> </table> <p style="text-align: right;">以 上</p>	表1 災害対策要員①による除灰時間評価						区間	距離（約m）	時間評価項目	速度（km/h）	所要時間（分）	累積（分）	①→②	360	徒歩移動	4.0	6	6	②→③	260	降灰除去	0.4	44	50	③→④	260	重機移動	11.6	2	52	④→⑤	420	降灰除去	0.4	70	122	⑤→⑥	90	重機移動	11.6	1	123	⑥→⑦	340	降灰除去	0.4	57	180	⑦→⑧	490	重機移動	11.6	3	183	⑧→⑨	210	降灰除去	0.4	35	218	⑨→⑩	250	重機移動	11.6	2	220	⑩→⑪	560	降灰除去	0.4	94	314	表2 災害対策要員②による除灰時間評価						区間	距離（約m）	時間評価項目	速度（km/h）	所要時間（分）	累積（分）	①→②	160	降灰除去	0.4	27	27	②→③	160	重機移動	11.6	1	28	③→④	300	降灰除去	0.4	50	78	④→⑤	50	重機移動	11.6	1	79	⑤→⑥	510	降灰除去	0.4	85	164	⑥→⑦	40	重機移動	11.6	1	165	⑦→⑧	30	降灰除去	0.4	5	170	⑧→⑨	210	重機移動	11.6	2	172	⑨→⑩	440	降灰除去	0.4	74	246	⑩→⑪	80	重機移動	11.6	1	247	⑪→⑫	270	降灰除去	0.4	45	292	<p>【女川】設計方針の相違 ・泊は、アクセスルート（車両）全体の除灰作業時間で評価した。今後、茶津の入構ルートが確定次第、女川と同様の評価を行なうが、現状検討しているルートであれば、追加の除灰範囲はごくわずかであり、これを足したとしてもアクセスルート全体で半日程度で除灰可能であると考える</p> <p>【女川】 記載表現の相違</p>
表1 災害対策要員①による除灰時間評価																																																																																																																																																									
区間	距離（約m）	時間評価項目	速度（km/h）	所要時間（分）	累積（分）																																																																																																																																																				
①→②	360	徒歩移動	4.0	6	6																																																																																																																																																				
②→③	260	降灰除去	0.4	44	50																																																																																																																																																				
③→④	260	重機移動	11.6	2	52																																																																																																																																																				
④→⑤	420	降灰除去	0.4	70	122																																																																																																																																																				
⑤→⑥	90	重機移動	11.6	1	123																																																																																																																																																				
⑥→⑦	340	降灰除去	0.4	57	180																																																																																																																																																				
⑦→⑧	490	重機移動	11.6	3	183																																																																																																																																																				
⑧→⑨	210	降灰除去	0.4	35	218																																																																																																																																																				
⑨→⑩	250	重機移動	11.6	2	220																																																																																																																																																				
⑩→⑪	560	降灰除去	0.4	94	314																																																																																																																																																				
表2 災害対策要員②による除灰時間評価																																																																																																																																																									
区間	距離（約m）	時間評価項目	速度（km/h）	所要時間（分）	累積（分）																																																																																																																																																				
①→②	160	降灰除去	0.4	27	27																																																																																																																																																				
②→③	160	重機移動	11.6	1	28																																																																																																																																																				
③→④	300	降灰除去	0.4	50	78																																																																																																																																																				
④→⑤	50	重機移動	11.6	1	79																																																																																																																																																				
⑤→⑥	510	降灰除去	0.4	85	164																																																																																																																																																				
⑥→⑦	40	重機移動	11.6	1	165																																																																																																																																																				
⑦→⑧	30	降灰除去	0.4	5	170																																																																																																																																																				
⑧→⑨	210	重機移動	11.6	2	172																																																																																																																																																				
⑨→⑩	440	降灰除去	0.4	74	246																																																																																																																																																				
⑩→⑪	80	重機移動	11.6	1	247																																																																																																																																																				
⑪→⑫	270	降灰除去	0.4	45	292																																																																																																																																																				

泊発電所3号炉 DB基準適合性 比較表

赤字：設備、運用又は体制の相違（設計方針の相違）
 青字：記載箇所又は記載内容の相違（記載方針の相違）
 緑字：記載表現、設備名称の相違（実質的な相違なし）

第6条 外部からの衝撃による損傷の防止（火山：別添資料1）

大飯発電所3／4号炉	女川原子力発電所2号炉	泊発電所3号炉	相違理由																																																																																																																										
	<p style="text-align: center;">補足資料-19 降下火碎物による摩耗や融解の影響について</p> <p>降下火碎物はマグマを起源とする火山ガラス、鉱物結晶片にて構成されるものであり、想定する火山により、主成分組成が異なることから、女川原子力発電所2号炉で想定する火山の主成分組成を整理し、降下火碎物による摩耗や融解の影響について確認した。</p> <p>1. 降下火碎物の組成</p> <p>(1) 火山ガラス</p> <p>降下火碎物の主成分である火山ガラスは、地下深部の高温高圧のマグマが噴火時大気中に噴出されることによる急激な減圧・冷却によって結晶化できずに非晶質化したものである。東北地方の主要なテフラの火山ガラスの主成分組成を表1に示す。</p> <p>表1 宮城県中・北部のテフラ（火山ガラス）の主成分組成について^{*1}（赤枠は追記）</p> <table border="1" style="width: 100%; border-collapse: collapse; text-align: center;"> <thead> <tr> <th>主成分</th> <th>試料採取地</th> <th>SiO₂</th> <th>TiO₂</th> <th>Al₂O₃</th> <th>P₂O₅</th> <th>MnO</th> <th>MgO</th> <th>CaO</th> <th>K₂O</th> <th>Na₂O</th> <th>Total</th> </tr> </thead> <tbody> <tr> <td>愛島輝石 (K-MD)</td> <td>田嶋町安達 (HJ)</td> <td>M: 76.94 SD: 9.53</td> <td>0.11 0.02</td> <td>14.47 0.44</td> <td>1.01 0.03</td> <td>— —</td> <td>0.03 0.07</td> <td>1.79 0.94</td> <td>1.27 0.22</td> <td>2.88 0.22</td> <td>100.00</td> </tr> <tr> <td>斜長輝石 (N-K)</td> <td>青森町の原 アツカワ(N-K-U)</td> <td>M: 77.31 SD: 0.73</td> <td>0.16 0.08</td> <td>12.76 0.38</td> <td>1.05 0.01</td> <td>— —</td> <td>0.44 0.11</td> <td>1.09 0.12</td> <td>1.10 0.12</td> <td>2.61 0.20</td> <td>100.00</td> </tr> <tr> <td>海千石上層 アツカワ(N-K-U)</td> <td>鳴子町上ノ原 アツカワ(N-K-U)</td> <td>M: 77.38 SD: 0.31</td> <td>0.22 0.01</td> <td>12.38 0.12</td> <td>1.22 0.06</td> <td>— —</td> <td>1.01 0.01</td> <td>1.50 0.10</td> <td>1.47 0.10</td> <td>4.23 0.13</td> <td>100.00</td> </tr> <tr> <td>海千石・鶴見 アツカワ(N-K-U)</td> <td>鳴子町上ノ原 アツカワ(N-K-U)</td> <td>M: 78.11 SD: 0.41</td> <td>0.17 0.03</td> <td>12.98 0.41</td> <td>1.29 0.07</td> <td>— —</td> <td>0.49 0.08</td> <td>1.52 0.08</td> <td>1.03 0.04</td> <td>2.57 0.12</td> <td>99.99</td> </tr> <tr> <td>海千石・鶴見 アツカワ(N-K-U)</td> <td>鳴子町上ノ原 アツカワ(N-K-U)</td> <td>M: 78.01 SD: 0.25</td> <td>0.17 0.01</td> <td>12.93 0.17</td> <td>1.29 0.06</td> <td>— —</td> <td>0.49 0.06</td> <td>1.52 0.04</td> <td>1.03 0.02</td> <td>2.57 0.10</td> <td>99.99</td> </tr> <tr> <td>北里丸炭灰</td> <td>一迫町十文字 (IeP)</td> <td>M: 77.63 SD: 0.18</td> <td>0.10 0.01</td> <td>12.57 0.14</td> <td>1.23 0.03</td> <td>— —</td> <td>0.43 0.03</td> <td>1.59 0.03</td> <td>1.03 0.03</td> <td>2.57 0.03</td> <td>99.99</td> </tr> <tr> <td>北里丸炭灰</td> <td>一迫町十文字 (IeP)</td> <td>M: 76.99 SD: 0.18</td> <td>0.11 0.01</td> <td>13.07 0.15</td> <td>1.35 0.05</td> <td>— —</td> <td>0.33 0.07</td> <td>1.66 0.07</td> <td>1.71 0.04</td> <td>4.28 0.40</td> <td>100.00</td> </tr> <tr> <td></td> </tr> </tbody> </table> <p>表1 北海道のテフラの火山ガラスの主成分組成（%）^{*1}（赤枠は追記）</p> <table border="1" style="width: 100%; border-collapse: collapse; text-align: center;"> <thead> <tr> <th>主成分</th> <th>場所</th> <th>SiO₂</th> <th>TiO₂</th> <th>Al₂O₃</th> <th>P₂O₅</th> <th>FeO</th> <th>MnO</th> <th>MgO</th> <th>CaO</th> <th>K₂O</th> <th>Na₂O</th> <th>総合組成の追記</th> </tr> </thead> <tbody> <tr> <td>Kc-II-1</td> <td>新江別市新江別1丁目 (pH)</td> <td>78.1 78.2 78.3 78.4 78.5 78.6 78.7 78.8 78.9 79.0 79.1 79.2 79.3 79.4 79.5 79.6 79.7 79.8 79.9 80.0 80.1 80.2 80.3 80.4 80.5 80.6 80.7 80.8 80.9 81.0 81.1 81.2 81.3 81.4 81.5 81.6 81.7 81.8 81.9 82.0 82.1 82.2 82.3 82.4 82.5 82.6 82.7 82.8 82.9 83.0 83.1 83.2 83.3 83.4 83.5 83.6 83.7 83.8 83.9 84.0 84.1 84.2 84.3 84.4 84.5 84.6 84.7 84.8 84.9 85.0 85.1 85.2 85.3 85.4 85.5 85.6 85.7 85.8 85.9 85.10 85.11 85.12 85.13 85.14 85.15 85.16 85.17 85.18 85.19 85.20 85.21 85.22 85.23 85.24 85.25 85.26 85.27 85.28 85.29 85.30 85.31 85.32 85.33 85.34 85.35 85.36 85.37 85.38 85.39 85.40 85.41 85.42 85.43 85.44 85.45 85.46 85.47 85.48 85.49 85.50 85.51 85.52 85.53 85.54 85.55 85.56 85.57 85.58 85.59 85.60 85.61 85.62 85.63 85.64 85.65 85.66 85.67 85.68 85.69 85.70 85.71 85.72 85.73 85.74 85.75 85.76 85.77 85.78 85.79 85.80 85.81 85.82 85.83 85.84 85.85 85.86 85.87 85.88 85.89 85.90 85.91 85.92 85.93 85.94 85.95 85.96 85.97 85.98 85.99 85.100 85.101 85.102 85.103 85.104 85.105 85.106 85.107 85.108 85.109 85.110 85.111 85.112 85.113 85.114 85.115 85.116 85.117 85.118 85.119 85.120 85.121 85.122 85.123 85.124 85.125 85.126 85.127 85.128 85.129 85.130 85.131 85.132 85.133 85.134 85.135 85.136 85.137 85.138 85.139 85.140 85.141 85.142 85.143 85.144 85.145 85.146 85.147 85.148 85.149 85.150 85.151 85.152 85.153 85.154 85.155 85.156 85.157 85.158 85.159 85.160 85.161 85.162 85.163 85.164 85.165 85.166 85.167 85.168 85.169 85.170 85.171 85.172 85.173 85.174 85.175 85.176 85.177 85.178 85.179 85.180 85.181 85.182 85.183 85.184 85.185 85.186 85.187 85.188 85.189 85.190 85.191 85.192 85.193 85.194 85.195 85.196 85.197 85.198 85.199 85.200 85.201 85.202 85.203 85.204 85.205 85.206 85.207 85.208 85.209 85.210 85.211 85.212 85.213 85.214 85.215 85.216 85.217 85.218 85.219 85.220 85.221 85.222 85.223 85.224 85.225 85.226 85.227 85.228 85.229 85.230 85.231 85.232 85.233 85.234 85.235 85.236 85.237 85.238 85.239 85.240 85.241 85.242 85.243 85.244 85.245 85.246 85.247 85.248 85.249 85.250 85.251 85.252 85.253 85.254 85.255 85.256 85.257 85.258 85.259 85.260 85.261 85.262 85.263 85.264 85.265 85.266 85.267 85.268 85.269 85.270 85.271 85.272 85.273 85.274 85.275 85.276 85.277 85.278 85.279 85.280 85.281 85.282 85.283 85.284 85.285 85.286 85.287 85.288 85.289 85.290 85.291 85.292 85.293 85.294 85.295 85.296 85.297 85.298 85.299 85.300 85.301 85.302 85.303 85.304 85.305 85.306 85.307 85.308 85.309 85.310 85.311 85.312 85.313 85.314 85.315 85.316 85.317 85.318 85.319 85.320 85.321 85.322 85.323 85.324 85.325 85.326 85.327 85.328 85.329 85.330 85.331 85.332 85.333 85.334 85.335 85.336 85.337 85.338 85.339 85.340 85.341 85.342 85.343 85.344 85.345 85.346 85.347 85.348 85.349 85.350 85.351 85.352 85.353 85.354 85.355 85.356 85.357 85.358 85.359 85.360 85.361 85.362 85.363 85.364 85.365 85.366 85.367 85.368 85.369 85.370 85.371 85.372 85.373 85.374 85.375 85.376 85.377 85.378 85.379 85.380 85.381 85.382 85.383 85.384 85.385 85.386 85.387 85.388 85.389 85.390 85.391 85.392 85.393 85.394 85.395 85.396 85.397 85.398 85.399 85.400 85.401 85.402 85.403 85.404 85.405 85.406 85.407 85.408 85.409 85.410 85.411 85.412 85.413 85.414 85.415 85.416 85.417 85.418 85.419 85.420 85.421 85.422 85.423 85.424 85.425 85.426 85.427 85.428 85.429 85.430 85.431 85.432 85.433 85.434 85.435 85.436 85.437 85.438 85.439 85.440 85.441 85.442 85.443 85.444 85.445 85.446 85.447 85.448 85.449 85.450 85.451 85.452 85.453 85.454 85.455 85.456 85.457 85.458 85.459 85.460 85.461 85.462 85.463 85.464 85.465 85.466 85.467 85.468 85.469 85.470 85.471 85.472 85.473 85.474 85.475 85.476 85.477 85.478 85.479 85.480 85.481 85.482 85.483 85.484 85.485 85.486 85.487 85.488 85.489 85.490 85.491 85.492 85.493 85.494 85.495 85.496 85.497 85.498 85.499 85.500 85.501 85.502 85.503 85.504 85.505 85.506 85.507 85.508 85.509 85.510 85.511 85.512 85.513 85.514 85.515 85.516 85.517 85.518 85.519 85.520 85.521 85.522 85.523 85.524 85.525 85.526 85.527 85.528 85.529 85.530 85.531 85.532 85.533 85.534 85.535 85.536 85.537 85.538 85.539 85.540 85.541 85.542 85.543 85.544 85.545 85.546 85.547 85.548 85.549 85.550 85.551 85.552 85.553 85.554 85.555 85.556 85.557 85.558 85.559 85.560 85.561 85.562 85.563 85.564 85.565 85.566 85.567 85.568 85.569 85.570 85.571 85.572 85.573 85.574 85.575 85.576 85.577 85.578 85.579 85.580 85.581 85.582 85.583 85.584 85.585 85.586 85.587 85.588 85.589 85.590 85.591 85.592 85.593 85.594 85.595 85.596 85.597 85.598 85.599 85.5100 85.5101 85.5102 85.5103 85.5104 85.5105 85.5106 85.5107 85.5108 85.5109 85.5110 85.5111 85.5112 85.5113 85.5114 85.5115 85.5116 85.5117 85.5118 85.5119 85.5120 85.5121 85.5122 85.5123 85.5124 85.5125 85.5126 85.5127 85.5128 85.5129 85.5130 85.5131 85.5132 85.5133 85.5134 85.5135 85.5136 85.5137 85.5138 85.5139 85.5140 85.5141 85.5142 85.5143 85.5144 85.5145 85.5146 85.5147 85.5148 85.5149 85.5150 85.5151 85.5152 85.5153 85.5154 85.5155 85.5156 85.5157 85.5158 85.5159 85.5160 85.5161 85.5162 85.5163 85.5164 85.5165 85.5166 85.5167 85.5168 85.5169 85.5170 85.5171 85.5172 85.5173 85.5174 85.5175 85.5176 85.5177 85.5178 85.5179 85.5180 85.5181 85.5182 85.5183 85.5184 85.5185 85.5186 85.5187 85.5188 85.5189 85.5190 85.5191 85.5192 85.5193 85.5194 85.5195 85.5196 85.5197 85.5198 85.5199 85.5200 85.5201 85.5202 85.5203 85.5204 85.5205 85.5206 85.5207 85.5208 85.5209 85.5210 85.5211 85.5212 85.5213 85.5214 85.5215 85.5216 85.5217 85.5218 85.5219 85.5220 85.5221 85.5222 85.5223 85.5224 85.5225 85.5226 85.5227 85.5228 85.5229 85.5230 85.5231 85.5232 85.5233 85.5234 85.5235 85.5236 85.5237 85.5238 85.5239 85.5240 85.5241 85.5242 85.5243 85.5244 85.5245 85.5246 85.5247 85.5248 85.5249 85.5250 85.5251 85.5252 85.5253 85.5254 85.5255 85.5256 85.5257 85.5258 85.5259 85.5260 85.5261 85.5262 85.5263 85.5264 85.5265 85.5266 85.5267 85.5268 85.5269 85.5270 85.5271 85.5272 85.5273 85.5274 85.5275 85.5276 85.5277 85.5278 85.5279 85.5280 85.5281 85.5282 85.5283 85.5284 85.5285 85.5286 85.5287 85.5288 85.5289 85.5290 85.5291 85.5292 85.5293 85.5294 85.5295 85.5296 85.5297 85.5298 85.5299 85.5300 85.5301 85.5302 85.5303 85.5304 85.5305 85.5306 85.5307 85.5308 85.5309 85.5310 85.5311 85.5312 85.5313 85.5314 85.5315 85.5316 85.5317 85.5318 85.5319 85.5320 85.5321 85.5322 85.5323 85.5324 85.5325 85.5326 85.5327 85.5328 85.5329 85.5330 85.5331 85.5332 85.5333 85.5334 85.5335 85.5336 85.5337 85.5338 85.5339 85.5340 85.5341 85.5342 85.5343 85.5344 85.5345 85.5346 85.5347 85.5348 85.5349 85.5350 85.5351 85.5352 85.5353 85.5354 85.5355 85.5356 85.5357 85.5358 85.5359 85.5360 85.5361 85.5362 85.5363 85.5364 85.5365 85.5366 85.5367 85.5368 85.5369 85.5370 85.5371 85.5372 85.5373 85.5374 85.5375 85.5376 85.5377 85.5378 85.5379 85.5380 85.5381 85.5382 85.5383 85.5384 85.5385 85.5386 85.5387 85.5388 85.5389 85.5390 85.5391 85.5392 85.5393 85.5394 85.5395 85.5396 85.5397 85.5398 85.5399 85.5400 85.5401 85.5402 85.5403 85.5404 85.5405 85.5406 85.5407 85.5408 85.5409 85.5410 85.5411 85.5412 85.5413 85.5414 85.5415 85.5416 85.5417 85.5418 85.5419 85.5420 85.5421 85.5422 85.5423 85.5424 85.5425 85.5426 85.5427 85.5428 85.5429 85.5430 85.5431 85.5432 85.5433 85.5434 85.5435 85.5436 85.5437 85.5438 85.5439 85.5440 85.5441 85.5442 85.5443 85.5444 85.5445 85.5446 85.5447 85.5448 85.5449 85.5450 85.5451 85.5452 85.5453 85.5454 85.5455 85.5456 85.5457 85.5458 85.5459 85.5460 85.5461 85.5462 85.5463 85.5464 85.5465 85.5466 85.5467 85.5468 85.5469 85.5470 85.5471 85.5472 85.5473 85.5474 85.5475 85.5476 85.5477 85.5478 85.5479 85.5480 85.5481 85.54</td></tr></tbody></table>	主成分	試料採取地	SiO ₂	TiO ₂	Al ₂ O ₃	P ₂ O ₅	MnO	MgO	CaO	K ₂ O	Na ₂ O	Total	愛島輝石 (K-MD)	田嶋町安達 (HJ)	M: 76.94 SD: 9.53	0.11 0.02	14.47 0.44	1.01 0.03	— —	0.03 0.07	1.79 0.94	1.27 0.22	2.88 0.22	100.00	斜長輝石 (N-K)	青森町の原 アツカワ(N-K-U)	M: 77.31 SD: 0.73	0.16 0.08	12.76 0.38	1.05 0.01	— —	0.44 0.11	1.09 0.12	1.10 0.12	2.61 0.20	100.00	海千石上層 アツカワ(N-K-U)	鳴子町上ノ原 アツカワ(N-K-U)	M: 77.38 SD: 0.31	0.22 0.01	12.38 0.12	1.22 0.06	— —	1.01 0.01	1.50 0.10	1.47 0.10	4.23 0.13	100.00	海千石・鶴見 アツカワ(N-K-U)	鳴子町上ノ原 アツカワ(N-K-U)	M: 78.11 SD: 0.41	0.17 0.03	12.98 0.41	1.29 0.07	— —	0.49 0.08	1.52 0.08	1.03 0.04	2.57 0.12	99.99	海千石・鶴見 アツカワ(N-K-U)	鳴子町上ノ原 アツカワ(N-K-U)	M: 78.01 SD: 0.25	0.17 0.01	12.93 0.17	1.29 0.06	— —	0.49 0.06	1.52 0.04	1.03 0.02	2.57 0.10	99.99	北里丸炭灰	一迫町十文字 (IeP)	M: 77.63 SD: 0.18	0.10 0.01	12.57 0.14	1.23 0.03	— —	0.43 0.03	1.59 0.03	1.03 0.03	2.57 0.03	99.99	北里丸炭灰	一迫町十文字 (IeP)	M: 76.99 SD: 0.18	0.11 0.01	13.07 0.15	1.35 0.05	— —	0.33 0.07	1.66 0.07	1.71 0.04	4.28 0.40	100.00													主成分	場所	SiO ₂	TiO ₂	Al ₂ O ₃	P ₂ O ₅	FeO	MnO	MgO	CaO	K ₂ O	Na ₂ O	総合組成の追記	Kc-II-1	新江別市新江別1丁目 (pH)	78.1 78.2 78.3 78.4 78.5 78.6 78.7 78.8 78.9 79.0 79.1 79.2 79.3 79.4 79.5 79.6 79.7 79.8 79.9 80.0 80.1 80.2 80.3 80.4 80.5 80.6 80.7 80.8 80.9 81.0 81.1 81.2 81.3 81.4 81.5 81.6 81.7 81.8 81.9 82.0 82.1 82.2 82.3 82.4 82.5 82.6 82.7 82.8 82.9 83.0 83.1 83.2 83.3 83.4 83.5 83.6 83.7 83.8 83.9 84.0 84.1 84.2 84.3 84.4 84.5 84.6 84.7 84.8 84.9 85.0 85.1 85.2 85.3 85.4 85.5 85.6 85.7 85.8 85.9 85.10 85.11 85.12 85.13 85.14 85.15 85.16 85.17 85.18 85.19 85.20 85.21 85.22 85.23 85.24 85.25 85.26 85.27 85.28 85.29 85.30 85.31 85.32 85.33 85.34 85.35 85.36 85.37 85.38 85.39 85.40 85.41 85.42 85.43 85.44 85.45 85.46 85.47 85.48 85.49 85.50 85.51 85.52 85.53 85.54 85.55 85.56 85.57 85.58 85.59 85.60 85.61 85.62 85.63 85.64 85.65 85.66 85.67 85.68 85.69 85.70 85.71 85.72 85.73 85.74 85.75 85.76 85.77 85.78 85.79 85.80 85.81 85.82 85.83 85.84 85.85 85.86 85.87 85.88 85.89 85.90 85.91 85.92 85.93 85.94 85.95 85.96 85.97 85.98 85.99 85.100 85.101 85.102 85.103 85.104 85.105 85.106 85.107 85.108 85.109 85.110 85.111 85.112 85.113 85.114 85.115 85.116 85.117 85.118 85.119 85.120 85.121 85.122 85.123 85.124 85.125 85.126 85.127 85.128 85.129 85.130 85.131 85.132 85.133 85.134 85.135 85.136 85.137 85.138 85.139 85.140 85.141 85.142 85.143 85.144 85.145 85.146 85.147 85.148 85.149 85.150 85.151 85.152 85.153 85.154 85.155 85.156 85.157 85.158 85.159 85.160 85.161 85.162 85.163 85.164 85.165 85.166 85.167 85.168 85.169 85.170 85.171 85.172 85.173 85.174 85.175 85.176 85.177 85.178 85.179 85.180 85.181 85.182 85.183 85.184 85.185 85.186 85.187 85.188 85.189 85.190 85.191 85.192 85.193 85.194 85.195 85.196 85.197 85.198 85.199 85.200 85.201 85.202 85.203 85.204 85.205 85.206 85.207 85.208 85.209 85.210 85.211 85.212 85.213 85.214 85.215 85.216 85.217 85.218 85.219 85.220 85.221 85.222 85.223 85.224 85.225 85.226 85.227 85.228 85.229 85.230 85.231 85.232 85.233 85.234 85.235 85.236 85.237 85.238 85.239 85.240 85.241 85.242 85.243 85.244 85.245 85.246 85.247 85.248 85.249 85.250 85.251 85.252 85.253 85.254 85.255 85.256 85.257 85.258 85.259 85.260 85.261 85.262 85.263 85.264 85.265 85.266 85.267 85.268 85.269 85.270 85.271 85.272 85.273 85.274 85.275 85.276 85.277 85.278 85.279 85.280 85.281 85.282 85.283 85.284 85.285 85.286 85.287 85.288 85.289 85.290 85.291 85.292 85.293 85.294 85.295 85.296 85.297 85.298 85.299 85.300 85.301 85.302 85.303 85.304 85.305 85.306 85.307 85.308 85.309 85.310 85.311 85.312 85.313 85.314 85.315 85.316 85.317 85.318 85.319 85.320 85.321 85.322 85.323 85.324 85.325 85.326 85.327 85.328 85.329 85.330 85.331 85.332 85.333 85.334 85.335 85.336 85.337 85.338 85.339 85.340 85.341 85.342 85.343 85.344 85.345 85.346 85.347 85.348 85.349 85.350 85.351 85.352 85.353 85.354 85.355 85.356 85.357 85.358 85.359 85.360 85.361 85.362 85.363 85.364 85.365 85.366 85.367 85.368 85.369 85.370 85.371 85.372 85.373 85.374 85.375 85.376 85.377 85.378 85.379 85.380 85.381 85.382 85.383 85.384 85.385 85.386 85.387 85.388 85.389 85.390 85.391 85.392 85.393 85.394 85.395 85.396 85.397 85.398 85.399 85.400 85.401 85.402 85.403 85.404 85.405 85.406 85.407 85.408 85.409 85.410 85.411 85.412 85.413 85.414 85.415 85.416 85.417 85.418 85.419 85.420 85.421 85.422 85.423 85.424 85.425 85.426 85.427 85.428 85.429 85.430 85.431 85.432 85.433 85.434 85.435 85.436 85.437 85.438 85.439 85.440 85.441 85.442 85.443 85.444 85.445 85.446 85.447 85.448 85.449 85.450 85.451 85.452 85.453 85.454 85.455 85.456 85.457 85.458 85.459 85.460 85.461 85.462 85.463 85.464 85.465 85.466 85.467 85.468 85.469 85.470 85.471 85.472 85.473 85.474 85.475 85.476 85.477 85.478 85.479 85.480 85.481 85.482 85.483 85.484 85.485 85.486 85.487 85.488 85.489 85.490 85.491 85.492 85.493 85.494 85.495 85.496 85.497 85.498 85.499 85.500 85.501 85.502 85.503 85.504 85.505 85.506 85.507 85.508 85.509 85.510 85.511 85.512 85.513 85.514 85.515 85.516 85.517 85.518 85.519 85.520 85.521 85.522 85.523 85.524 85.525 85.526 85.527 85.528 85.529 85.530 85.531 85.532 85.533 85.534 85.535 85.536 85.537 85.538 85.539 85.540 85.541 85.542 85.543 85.544 85.545 85.546 85.547 85.548 85.549 85.550 85.551 85.552 85.553 85.554 85.555 85.556 85.557 85.558 85.559 85.560 85.561 85.562 85.563 85.564 85.565 85.566 85.567 85.568 85.569 85.570 85.571 85.572 85.573 85.574 85.575 85.576 85.577 85.578 85.579 85.580 85.581 85.582 85.583 85.584 85.585 85.586 85.587 85.588 85.589 85.590 85.591 85.592 85.593 85.594 85.595 85.596 85.597 85.598 85.599 85.5100 85.5101 85.5102 85.5103 85.5104 85.5105 85.5106 85.5107 85.5108 85.5109 85.5110 85.5111 85.5112 85.5113 85.5114 85.5115 85.5116 85.5117 85.5118 85.5119 85.5120 85.5121 85.5122 85.5123 85.5124 85.5125 85.5126 85.5127 85.5128 85.5129 85.5130 85.5131 85.5132 85.5133 85.5134 85.5135 85.5136 85.5137 85.5138 85.5139 85.5140 85.5141 85.5142 85.5143 85.5144 85.5145 85.5146 85.5147 85.5148 85.5149 85.5150 85.5151 85.5152 85.5153 85.5154 85.5155 85.5156 85.5157 85.5158 85.5159 85.5160 85.5161 85.5162 85.5163 85.5164 85.5165 85.5166 85.5167 85.5168 85.5169 85.5170 85.5171 85.5172 85.5173 85.5174 85.5175 85.5176 85.5177 85.5178 85.5179 85.5180 85.5181 85.5182 85.5183 85.5184 85.5185 85.5186 85.5187 85.5188 85.5189 85.5190 85.5191 85.5192 85.5193 85.5194 85.5195 85.5196 85.5197 85.5198 85.5199 85.5200 85.5201 85.5202 85.5203 85.5204 85.5205 85.5206 85.5207 85.5208 85.5209 85.5210 85.5211 85.5212 85.5213 85.5214 85.5215 85.5216 85.5217 85.5218 85.5219 85.5220 85.5221 85.5222 85.5223 85.5224 85.5225 85.5226 85.5227 85.5228 85.5229 85.5230 85.5231 85.5232 85.5233 85.5234 85.5235 85.5236 85.5237 85.5238 85.5239 85.5240 85.5241 85.5242 85.5243 85.5244 85.5245 85.5246 85.5247 85.5248 85.5249 85.5250 85.5251 85.5252 85.5253 85.5254 85.5255 85.5256 85.5257 85.5258 85.5259 85.5260 85.5261 85.5262 85.5263 85.5264 85.5265 85.5266 85.5267 85.5268 85.5269 85.5270 85.5271 85.5272 85.5273 85.5274 85.5275 85.5276 85.5277 85.5278 85.5279 85.5280 85.5281 85.5282 85.5283 85.5284 85.5285 85.5286 85.5287 85.5288 85.5289 85.5290 85.5291 85.5292 85.5293 85.5294 85.5295 85.5296 85.5297 85.5298 85.5299 85.5300 85.5301 85.5302 85.5303 85.5304 85.5305 85.5306 85.5307 85.5308 85.5309 85.5310 85.5311 85.5312 85.5313 85.5314 85.5315 85.5316 85.5317 85.5318 85.5319 85.5320 85.5321 85.5322 85.5323 85.5324 85.5325 85.5326 85.5327 85.5328 85.5329 85.5330 85.5331 85.5332 85.5333 85.5334 85.5335 85.5336 85.5337 85.5338 85.5339 85.5340 85.5341 85.5342 85.5343 85.5344 85.5345 85.5346 85.5347 85.5348 85.5349 85.5350 85.5351 85.5352 85.5353 85.5354 85.5355 85.5356 85.5357 85.5358 85.5359 85.5360 85.5361 85.5362 85.5363 85.5364 85.5365 85.5366 85.5367 85.5368 85.5369 85.5370 85.5371 85.5372 85.5373 85.5374 85.5375 85.5376 85.5377 85.5378 85.5379 85.5380 85.5381 85.5382 85.5383 85.5384 85.5385 85.5386 85.5387 85.5388 85.5389 85.5390 85.5391 85.5392 85.5393 85.5394 85.5395 85.5396 85.5397 85.5398 85.5399 85.5400 85.5401 85.5402 85.5403 85.5404 85.5405 85.5406 85.5407 85.5408 85.5409 85.5410 85.5411 85.5412 85.5413 85.5414 85.5415 85.5416 85.5417 85.5418 85.5419 85.5420 85.5421 85.5422 85.5423 85.5424 85.5425 85.5426 85.5427 85.5428 85.5429 85.5430 85.5431 85.5432 85.5433 85.5434 85.5435 85.5436 85.5437 85.5438 85.5439 85.5440 85.5441 85.5442 85.5443 85.5444 85.5445 85.5446 85.5447 85.5448 85.5449 85.5450 85.5451 85.5452 85.5453 85.5454 85.5455 85.5456 85.5457 85.5458 85.5459 85.5460 85.5461 85.5462 85.5463 85.5464 85.5465 85.5466 85.5467 85.5468 85.5469 85.5470 85.5471 85.5472 85.5473 85.5474 85.5475 85.5476 85.5477 85.5478 85.5479 85.5480 85.5481 85.54
主成分	試料採取地	SiO ₂	TiO ₂	Al ₂ O ₃	P ₂ O ₅	MnO	MgO	CaO	K ₂ O	Na ₂ O	Total																																																																																																																		
愛島輝石 (K-MD)	田嶋町安達 (HJ)	M: 76.94 SD: 9.53	0.11 0.02	14.47 0.44	1.01 0.03	— —	0.03 0.07	1.79 0.94	1.27 0.22	2.88 0.22	100.00																																																																																																																		
斜長輝石 (N-K)	青森町の原 アツカワ(N-K-U)	M: 77.31 SD: 0.73	0.16 0.08	12.76 0.38	1.05 0.01	— —	0.44 0.11	1.09 0.12	1.10 0.12	2.61 0.20	100.00																																																																																																																		
海千石上層 アツカワ(N-K-U)	鳴子町上ノ原 アツカワ(N-K-U)	M: 77.38 SD: 0.31	0.22 0.01	12.38 0.12	1.22 0.06	— —	1.01 0.01	1.50 0.10	1.47 0.10	4.23 0.13	100.00																																																																																																																		
海千石・鶴見 アツカワ(N-K-U)	鳴子町上ノ原 アツカワ(N-K-U)	M: 78.11 SD: 0.41	0.17 0.03	12.98 0.41	1.29 0.07	— —	0.49 0.08	1.52 0.08	1.03 0.04	2.57 0.12	99.99																																																																																																																		
海千石・鶴見 アツカワ(N-K-U)	鳴子町上ノ原 アツカワ(N-K-U)	M: 78.01 SD: 0.25	0.17 0.01	12.93 0.17	1.29 0.06	— —	0.49 0.06	1.52 0.04	1.03 0.02	2.57 0.10	99.99																																																																																																																		
北里丸炭灰	一迫町十文字 (IeP)	M: 77.63 SD: 0.18	0.10 0.01	12.57 0.14	1.23 0.03	— —	0.43 0.03	1.59 0.03	1.03 0.03	2.57 0.03	99.99																																																																																																																		
北里丸炭灰	一迫町十文字 (IeP)	M: 76.99 SD: 0.18	0.11 0.01	13.07 0.15	1.35 0.05	— —	0.33 0.07	1.66 0.07	1.71 0.04	4.28 0.40	100.00																																																																																																																		
主成分	場所	SiO ₂	TiO ₂	Al ₂ O ₃	P ₂ O ₅	FeO	MnO	MgO	CaO	K ₂ O	Na ₂ O	総合組成の追記																																																																																																																	
Kc-II-1	新江別市新江別1丁目 (pH)	78.1 78.2 78.3 78.4 78.5 78.6 78.7 78.8 78.9 79.0 79.1 79.2 79.3 79.4 79.5 79.6 79.7 79.8 79.9 80.0 80.1 80.2 80.3 80.4 80.5 80.6 80.7 80.8 80.9 81.0 81.1 81.2 81.3 81.4 81.5 81.6 81.7 81.8 81.9 82.0 82.1 82.2 82.3 82.4 82.5 82.6 82.7 82.8 82.9 83.0 83.1 83.2 83.3 83.4 83.5 83.6 83.7 83.8 83.9 84.0 84.1 84.2 84.3 84.4 84.5 84.6 84.7 84.8 84.9 85.0 85.1 85.2 85.3 85.4 85.5 85.6 85.7 85.8 85.9 85.10 85.11 85.12 85.13 85.14 85.15 85.16 85.17 85.18 85.19 85.20 85.21 85.22 85.23 85.24 85.25 85.26 85.27 85.28 85.29 85.30 85.31 85.32 85.33 85.34 85.35 85.36 85.37 85.38 85.39 85.40 85.41 85.42 85.43 85.44 85.45 85.46 85.47 85.48 85.49 85.50 85.51 85.52 85.53 85.54 85.55 85.56 85.57 85.58 85.59 85.60 85.61 85.62 85.63 85.64 85.65 85.66 85.67 85.68 85.69 85.70 85.71 85.72 85.73 85.74 85.75 85.76 85.77 85.78 85.79 85.80 85.81 85.82 85.83 85.84 85.85 85.86 85.87 85.88 85.89 85.90 85.91 85.92 85.93 85.94 85.95 85.96 85.97 85.98 85.99 85.100 85.101 85.102 85.103 85.104 85.105 85.106 85.107 85.108 85.109 85.110 85.111 85.112 85.113 85.114 85.115 85.116 85.117 85.118 85.119 85.120 85.121 85.122 85.123 85.124 85.125 85.126 85.127 85.128 85.129 85.130 85.131 85.132 85.133 85.134 85.135 85.136 85.137 85.138 85.139 85.140 85.141 85.142 85.143 85.144 85.145 85.146 85.147 85.148 85.149 85.150 85.151 85.152 85.153 85.154 85.155 85.156 85.157 85.158 85.159 85.160 85.161 85.162 85.163 85.164 85.165 85.166 85.167 85.168 85.169 85.170 85.171 85.172 85.173 85.174 85.175 85.176 85.177 85.178 85.179 85.180 85.181 85.182 85.183 85.184 85.185 85.186 85.187 85.188 85.189 85.190 85.191 85.192 85.193 85.194 85.195 85.196 85.197 85.198 85.199 85.200 85.201 85.202 85.203 85.204 85.205 85.206 85.207 85.208 85.209 85.210 85.211 85.212 85.213 85.214 85.215 85.216 85.217 85.218 85.219 85.220 85.221 85.222 85.223 85.224 85.225 85.226 85.227 85.228 85.229 85.230 85.231 85.232 85.233 85.234 85.235 85.236 85.237 85.238 85.239 85.240 85.241 85.242 85.243 85.244 85.245 85.246 85.247 85.248 85.249 85.250 85.251 85.252 85.253 85.254 85.255 85.256 85.257 85.258 85.259 85.260 85.261 85.262 85.263 85.264 85.265 85.266 85.267 85.268 85.269 85.270 85.271 85.272 85.273 85.274 85.275 85.276 85.277 85.278 85.279 85.280 85.281 85.282 85.283 85.284 85.285 85.286 85.287 85.288 85.289 85.290 85.291 85.292 85.293 85.294 85.295 85.296 85.297 85.298 85.299 85.300 85.301 85.302 85.303 85.304 85.305 85.306 85.307 85.308 85.309 85.310 85.311 85.312 85.313 85.314 85.315 85.316 85.317 85.318 85.319 85.320 85.321 85.322 85.323 85.324 85.325 85.326 85.327 85.328 85.329 85.330 85.331 85.332 85.333 85.334 85.335 85.336 85.337 85.338 85.339 85.340 85.341 85.342 85.343 85.344 85.345 85.346 85.347 85.348 85.349 85.350 85.351 85.352 85.353 85.354 85.355 85.356 85.357 85.358 85.359 85.360 85.361 85.362 85.363 85.364 85.365 85.366 85.367 85.368 85.369 85.370 85.371 85.372 85.373 85.374 85.375 85.376 85.377 85.378 85.379 85.380 85.381 85.382 85.383 85.384 85.385 85.386 85.387 85.388 85.389 85.390 85.391 85.392 85.393 85.394 85.395 85.396 85.397 85.398 85.399 85.400 85.401 85.402 85.403 85.404 85.405 85.406 85.407 85.408 85.409 85.410 85.411 85.412 85.413 85.414 85.415 85.416 85.417 85.418 85.419 85.420 85.421 85.422 85.423 85.424 85.425 85.426 85.427 85.428 85.429 85.430 85.431 85.432 85.433 85.434 85.435 85.436 85.437 85.438 85.439 85.440 85.441 85.442 85.443 85.444 85.445 85.446 85.447 85.448 85.449 85.450 85.451 85.452 85.453 85.454 85.455 85.456 85.457 85.458 85.459 85.460 85.461 85.462 85.463 85.464 85.465 85.466 85.467 85.468 85.469 85.470 85.471 85.472 85.473 85.474 85.475 85.476 85.477 85.478 85.479 85.480 85.481 85.482 85.483 85.484 85.485 85.486 85.487 85.488 85.489 85.490 85.491 85.492 85.493 85.494 85.495 85.496 85.497 85.498 85.499 85.500 85.501 85.502 85.503 85.504 85.505 85.506 85.507 85.508 85.509 85.510 85.511 85.512 85.513 85.514 85.515 85.516 85.517 85.518 85.519 85.520 85.521 85.522 85.523 85.524 85.525 85.526 85.527 85.528 85.529 85.530 85.531 85.532 85.533 85.534 85.535 85.536 85.537 85.538 85.539 85.540 85.541 85.542 85.543 85.544 85.545 85.546 85.547 85.548 85.549 85.550 85.551 85.552 85.553 85.554 85.555 85.556 85.557 85.558 85.559 85.560 85.561 85.562 85.563 85.564 85.565 85.566 85.567 85.568 85.569 85.570 85.571 85.572 85.573 85.574 85.575 85.576 85.577 85.578 85.579 85.580 85.581 85.582 85.583 85.584 85.585 85.586 85.587 85.588 85.589 85.590 85.591 85.592 85.593 85.594 85.595 85.596 85.597 85.598 85.599 85.5100 85.5101 85.5102 85.5103 85.5104 85.5105 85.5106 85.5107 85.5108 85.5109 85.5110 85.5111 85.5112 85.5113 85.5114 85.5115 85.5116 85.5117 85.5118 85.5119 85.5120 85.5121 85.5122 85.5123 85.5124 85.5125 85.5126 85.5127 85.5128 85.5129 85.5130 85.5131 85.5132 85.5133 85.5134 85.5135 85.5136 85.5137 85.5138 85.5139 85.5140 85.5141 85.5142 85.5143 85.5144 85.5145 85.5146 85.5147 85.5148 85.5149 85.5150 85.5151 85.5152 85.5153 85.5154 85.5155 85.5156 85.5157 85.5158 85.5159 85.5160 85.5161 85.5162 85.5163 85.5164 85.5165 85.5166 85.5167 85.5168 85.5169 85.5170 85.5171 85.5172 85.5173 85.5174 85.5175 85.5176 85.5177 85.5178 85.5179 85.5180 85.5181 85.5182 85.5183 85.5184 85.5185 85.5186 85.5187 85.5188 85.5189 85.5190 85.5191 85.5192 85.5193 85.5194 85.5195 85.5196 85.5197 85.5198 85.5199 85.5200 85.5201 85.5202 85.5203 85.5204 85.5205 85.5206 85.5207 85.5208 85.5209 85.5210 85.5211 85.5212 85.5213 85.5214 85.5215 85.5216 85.5217 85.5218 85.5219 85.5220 85.5221 85.5222 85.5223 85.5224 85.5225 85.5226 85.5227 85.5228 85.5229 85.5230 85.5231 85.5232 85.5233 85.5234 85.5235 85.5236 85.5237 85.5238 85.5239 85.5240 85.5241 85.5242 85.5243 85.5244 85.5245 85.5246 85.5247 85.5248 85.5249 85.5250 85.5251 85.5252 85.5253 85.5254 85.5255 85.5256 85.5257 85.5258 85.5259 85.5260 85.5261 85.5262 85.5263 85.5264 85.5265 85.5266 85.5267 85.5268 85.5269 85.5270 85.5271 85.5272 85.5273 85.5274 85.5275 85.5276 85.5277 85.5278 85.5279 85.5280 85.5281 85.5282 85.5283 85.5284 85.5285 85.5286 85.5287 85.5288 85.5289 85.5290 85.5291 85.5292 85.5293 85.5294 85.5295 85.5296 85.5297 85.5298 85.5299 85.5300 85.5301 85.5302 85.5303 85.5304 85.5305 85.5306 85.5307 85.5308 85.5309 85.5310 85.5311 85.5312 85.5313 85.5314 85.5315 85.5316 85.5317 85.5318 85.5319 85.5320 85.5321 85.5322 85.5323 85.5324 85.5325 85.5326 85.5327 85.5328 85.5329 85.5330 85.5331 85.5332 85.5333 85.5334 85.5335 85.5336 85.5337 85.5338 85.5339 85.5340 85.5341 85.5342 85.5343 85.5344 85.5345 85.5346 85.5347 85.5348 85.5349 85.5350 85.5351 85.5352 85.5353 85.5354 85.5355 85.5356 85.5357 85.5358 85.5359 85.5360 85.5361 85.5362 85.5363 85.5364 85.5365 85.5366 85.5367 85.5368 85.5369 85.5370 85.5371 85.5372 85.5373 85.5374 85.5375 85.5376 85.5377 85.5378 85.5379 85.5380 85.5381 85.5382 85.5383 85.5384 85.5385 85.5386 85.5387 85.5388 85.5389 85.5390 85.5391 85.5392 85.5393 85.5394 85.5395 85.5396 85.5397 85.5398 85.5399 85.5400 85.5401 85.5402 85.5403 85.5404 85.5405 85.5406 85.5407 85.5408 85.5409 85.5410 85.5411 85.5412 85.5413 85.5414 85.5415 85.5416 85.5417 85.5418 85.5419 85.5420 85.5421 85.5422 85.5423 85.5424 85.5425 85.5426 85.5427 85.5428 85.5429 85.5430 85.5431 85.5432 85.5433 85.5434 85.5435 85.5436 85.5437 85.5438 85.5439 85.5440 85.5441 85.5442 85.5443 85.5444 85.5445 85.5446 85.5447 85.5448 85.5449 85.5450 85.5451 85.5452 85.5453 85.5454 85.5455 85.5456 85.5457 85.5458 85.5459 85.5460 85.5461 85.5462 85.5463 85.5464 85.5465 85.5466 85.5467 85.5468 85.5469 85.5470 85.5471 85.5472 85.5473 85.5474 85.5475 85.5476 85.5477 85.5478 85.5479 85.5480 85.5481 85.54																																																																																																																											

泊発電所 3号炉 DB基準適合性 比較表

赤字：設備、運用又は体制の相違（設計方針の相違）
青字：記載箇所又は記載内容の相違（記載方針の相違）
緑字：記載表現、設備名称の相違（実質的な相違なし）

第6条 外部からの衝撃による損傷の防止（火山：別添資料1）

大飯発電所3／4号炉	女川原子力発電所2号炉	泊発電所3号炉	相違理由																																																																																																																																																																									
	<p>表2 宮城県中・北部のテフラの岩相について^{※1}（赤枠・赤字は追記）</p> <table border="1"> <thead> <tr> <th>示標テフラ</th><th>鉱物組成</th><th>火山ガラスの形態</th><th>屈折率</th></tr> </thead> <tbody> <tr> <td>川崎スコリア (Z-K) 豪島極石 (K-MD)</td><td>opx>cpx; cum: qt</td><td>pm</td><td>opx (γ) : 1.700-1.704 gl : 1.504-1.507 (1.505-1.506) cum (n) : 1.660-1.665</td></tr> <tr> <td>鳴子蒸留-上原テフラ (NK-U) 村野輝石 (Hj)</td><td>opx>cpx=mt opx>ho: qt</td><td>pm</td><td>gl : 1.499-2.150 opx (γ) : 1.711-1.715 gl : 1.499-1.501 opx (γ) : 1.712-1.714 ho (n) : 1.669-1.671</td></tr> <tr> <td>鳴子-御沢テフラ (N-Y)</td><td>opx>ho, mt (bi, cpx); qt</td><td>pm>bw</td><td>gl : 1.501-1.503 opx (γ) : 1.717-1.722 (1.719) ho (n) : 1.673-1.676</td></tr> <tr> <td>福子-荷坂テフラ (N-N) 北原火山灰 (Kt) 一造輝石 (IcP)</td><td>opx>mt: qt poor (mt>opx, cum) opx>mt</td><td>pm pm pm</td><td>gl : 1.500-1.502 (1.501) opx (γ) : 1.724-1.728 gl : 1.499-1.502 opx (γ) : 1.728-1.733</td></tr> </tbody> </table> <p>鉱物組成の例 • opx : 斜方輝石 • ho : 角閃石 • cum : カミントン閃石 • mt : 硅鉄鉱 • qt : 石英 • bi : 黑雲母 • cpx : 単斜輝石 • bw : 角閃石</p>	示標テフラ	鉱物組成	火山ガラスの形態	屈折率	川崎スコリア (Z-K) 豪島極石 (K-MD)	opx>cpx; cum: qt	pm	opx (γ) : 1.700-1.704 gl : 1.504-1.507 (1.505-1.506) cum (n) : 1.660-1.665	鳴子蒸留-上原テフラ (NK-U) 村野輝石 (Hj)	opx>cpx=mt opx>ho: qt	pm	gl : 1.499-2.150 opx (γ) : 1.711-1.715 gl : 1.499-1.501 opx (γ) : 1.712-1.714 ho (n) : 1.669-1.671	鳴子-御沢テフラ (N-Y)	opx>ho, mt (bi, cpx); qt	pm>bw	gl : 1.501-1.503 opx (γ) : 1.717-1.722 (1.719) ho (n) : 1.673-1.676	福子-荷坂テフラ (N-N) 北原火山灰 (Kt) 一造輝石 (IcP)	opx>mt: qt poor (mt>opx, cum) opx>mt	pm pm pm	gl : 1.500-1.502 (1.501) opx (γ) : 1.724-1.728 gl : 1.499-1.502 opx (γ) : 1.728-1.733	<p>表2 北海道のテフラの主な鉱物^{※1}（赤枠、赤字は追記）</p> <table border="1"> <thead> <tr> <th>記号</th><th>主な鉱物</th><th>火成岩カラス</th><th>opx</th><th>In, mm</th><th>噴出地・その他</th></tr> </thead> <tbody> <tr> <td>Toya</td><td>opx</td><td>pm, bw</td><td>1.606-1.608 (1.606-1.607)</td><td>1.758-1.761</td><td>岡上(厚真町)</td></tr> <tr> <td>Toya</td><td>opx, cpx, ho, qt</td><td>pm, bw</td><td>1.604-1.606 (1.606)</td><td>1.711-1.761 (1.712-1.729)</td><td>伊達市上長野, emite にとむ,</td></tr> <tr> <td>Spt-a-1</td><td>opx, cpx, ho; qt</td><td>pm</td><td>1.601-1.606 (1.602-1.603)</td><td>1.729-1.735</td><td>岡上(千曲川東谷)</td></tr> <tr> <td>Spt-a-1</td><td>(ho)</td><td>pm, bw</td><td>1.601-1.608 (1.602-1.603)</td><td>1.684-1.688</td><td>霧化村浅茅要 新里町川上</td></tr> <tr> <td>Spt-a-1</td><td>opx, cpx</td><td>pm</td><td>1.600-1.606 (1.600-1.604)</td><td>1.729-1.731</td><td></td></tr> <tr> <td>Kc-Hb</td><td>opx</td><td>bw</td><td>1.607-1.608 (1.607-1.608)</td><td>1.769-1.771</td><td>岡上(厚真町鷲牛)</td></tr> <tr> <td>Kc-Hb</td><td>opx, cpx, ho</td><td>bw</td><td>1.601-1.604 (1.601-1.603)</td><td>1.765-1.769</td><td>厚真町阿チャール</td></tr> <tr> <td>Kc-Hb</td><td>opx, cpx</td><td>bw</td><td>1.601-1.604 (1.601-1.603)</td><td>1.765-1.769</td><td>厚真町鶏糞</td></tr> <tr> <td>Kc-Sr</td><td>opx, sps</td><td>pm>bw</td><td>1.602-1.606 (1.603-1.604)</td><td>1.707-1.710 (1.708-1.709)</td><td>白糠町尾路</td></tr> <tr> <td>Kc-1</td><td>opx, cpx, (ol)</td><td>pm</td><td>1.602-1.604 (1.603-1.606)</td><td>1.707-1.710 (1.707-1.708)</td><td>網走市オシキ川上庄</td></tr> <tr> <td>Kc-2-5</td><td>opx, cpx</td><td>pm</td><td>1.603-1.606 (1.603-1.605)</td><td>1.707-1.710</td><td>網走市轟原</td></tr> <tr> <td>Kc-4</td><td>opx, cpx</td><td>bw, pm</td><td>1.602-1.606 (1.603-1.605)</td><td>1.707-1.710 (1.708-1.709)</td><td>網走市中幡洋一郎, 霧淵第五 支生</td></tr> </tbody> </table> <p>鉱物組成の例 • opx : 斜方輝石 • cpx : 単斜輝石 • qt : 石英 • ho : 角閃石</p>	記号	主な鉱物	火成岩カラス	opx	In, mm	噴出地・その他	Toya	opx	pm, bw	1.606-1.608 (1.606-1.607)	1.758-1.761	岡上(厚真町)	Toya	opx, cpx, ho, qt	pm, bw	1.604-1.606 (1.606)	1.711-1.761 (1.712-1.729)	伊達市上長野, emite にとむ,	Spt-a-1	opx, cpx, ho; qt	pm	1.601-1.606 (1.602-1.603)	1.729-1.735	岡上(千曲川東谷)	Spt-a-1	(ho)	pm, bw	1.601-1.608 (1.602-1.603)	1.684-1.688	霧化村浅茅要 新里町川上	Spt-a-1	opx, cpx	pm	1.600-1.606 (1.600-1.604)	1.729-1.731		Kc-Hb	opx	bw	1.607-1.608 (1.607-1.608)	1.769-1.771	岡上(厚真町鷲牛)	Kc-Hb	opx, cpx, ho	bw	1.601-1.604 (1.601-1.603)	1.765-1.769	厚真町阿チャール	Kc-Hb	opx, cpx	bw	1.601-1.604 (1.601-1.603)	1.765-1.769	厚真町鶏糞	Kc-Sr	opx, sps	pm>bw	1.602-1.606 (1.603-1.604)	1.707-1.710 (1.708-1.709)	白糠町尾路	Kc-1	opx, cpx, (ol)	pm	1.602-1.604 (1.603-1.606)	1.707-1.710 (1.707-1.708)	網走市オシキ川上庄	Kc-2-5	opx, cpx	pm	1.603-1.606 (1.603-1.605)	1.707-1.710	網走市轟原	Kc-4	opx, cpx	bw, pm	1.602-1.606 (1.603-1.605)	1.707-1.710 (1.708-1.709)	網走市中幡洋一郎, 霧淵第五 支生	<p>2. 降下火碎物の影響について (1) 摩耗</p> <p>降下火碎物中に酸化アルミニウムの鉱物相が存在する可能性は極めて低い（添付資料-1 参照）。一方、摩耗の影響は降下火碎物の硬度の影響を受けることから、女川原子力発電所で想定する降下火碎物の硬度について確認を実施した。</p> <p>a. 火山ガラス</p> <p>火山ガラスの硬度については、鹿児島県垂水市における火山ガラスについて調査を実施しており、表3に示す主元素組成(SiO₂:約 73%, Al₂O₃:約 14%, K₂O:約 3%)の火山ガラスは表4に示すようにモース硬度5であることを確認した。</p> <p>これは東北地方の主要なテフラの火山ガラスの主成分組成(SiO₂:約 77~78%, Al₂O₃:約 12~14%, K₂O:約 1~4%程度)と比較しても大きな差異がないことから、女川原子力発電所で想定する火山ガラスのモース硬度も同様に5程度と考えられる。</p> <p>表3 火山ガラスの主成分組成^{※3}（赤枠は追記）</p> <table border="1"> <thead> <tr> <th colspan="10">Chemical composition (wt%)</th> </tr> <tr> <th>SiO₂</th><th>Al₂O₃</th><th>CaO</th><th>MgO</th><th>Fe₂O₃</th><th>TiO₂</th><th>Na₂O</th><th>K₂O</th><th>P₂O₅</th><th>MnO</th><th>ig. loss</th><th>Total</th> </tr> </thead> <tbody> <tr> <td>72.73</td><td>13.69</td><td>1.44</td><td>0.23</td><td>1.82</td><td>0.18</td><td>3.46</td><td>3.42</td><td>0.01</td><td>0.06</td><td>3.16</td><td>100.2</td> </tr> </tbody> </table> <p>【女川】記載表現の相違 ・プラント名称の相違</p> <p>2. 降下火碎物の影響について (1) 摩耗</p> <p>降下火碎物中に酸化アルミニウムの鉱物相が存在する可能性は極めて低い（添付資料-1 参照）。一方、摩耗の影響は降下火碎物の硬度の影響を受けることから、泊発電所で想定する降下火碎物の硬度について確認を実施した。</p> <p>a. 火山ガラス</p> <p>火山ガラスの硬度については、鹿児島県垂水市における火山ガラスについて調査を実施しており、表3に示す主元素組成(SiO₂:約 73%, Al₂O₃:約 14%, K₂O:約 3%)の火山ガラスは表4に示すようにモース硬度5であることを確認した。</p> <p>これは北海道の主要なテフラの火山ガラスの主成分組成(SiO₂:約 78~80%, Al₂O₃:約 12~13%, K₂O:約 1~3%程度)と比較しても大きな差異がないことから、泊発電所で想定する火山ガラスのモース硬度も同様に5程度と考えられる。</p> <p>表3 火山ガラスの主成分組成（赤枠は追記）^{※2}</p> <table border="1"> <thead> <tr> <th colspan="10">Chemical composition (wt%)</th> <th>Mineral component (wt%)</th> </tr> <tr> <th>SiO₂</th><th>Al₂O₃</th><th>CaO</th><th>MgO</th><th>Fe₂O₃</th><th>TiO₂</th><th>Na₂O</th><th>K₂O</th><th>P₂O₅</th><th>MnO</th><th>ig. loss</th><th>Total</th><th>Volcanic glass Crystals</th> </tr> </thead> <tbody> <tr> <td>72.73</td><td>13.69</td><td>1.44</td><td>0.23</td><td>1.82</td><td>0.18</td><td>3.46</td><td>3.42</td><td>0.01</td><td>0.06</td><td>3.16</td><td>100.2</td><td>78.55 21.45</td> </tr> </tbody> </table> <p>【女川】記載表現の相違 ・対象とする地方の相違</p>	Chemical composition (wt%)										SiO ₂	Al ₂ O ₃	CaO	MgO	Fe ₂ O ₃	TiO ₂	Na ₂ O	K ₂ O	P ₂ O ₅	MnO	ig. loss	Total	72.73	13.69	1.44	0.23	1.82	0.18	3.46	3.42	0.01	0.06	3.16	100.2	Chemical composition (wt%)										Mineral component (wt%)	SiO ₂	Al ₂ O ₃	CaO	MgO	Fe ₂ O ₃	TiO ₂	Na ₂ O	K ₂ O	P ₂ O ₅	MnO	ig. loss	Total	Volcanic glass Crystals	72.73	13.69	1.44	0.23	1.82	0.18	3.46	3.42	0.01	0.06	3.16	100.2	78.55 21.45
示標テフラ	鉱物組成	火山ガラスの形態	屈折率																																																																																																																																																																									
川崎スコリア (Z-K) 豪島極石 (K-MD)	opx>cpx; cum: qt	pm	opx (γ) : 1.700-1.704 gl : 1.504-1.507 (1.505-1.506) cum (n) : 1.660-1.665																																																																																																																																																																									
鳴子蒸留-上原テフラ (NK-U) 村野輝石 (Hj)	opx>cpx=mt opx>ho: qt	pm	gl : 1.499-2.150 opx (γ) : 1.711-1.715 gl : 1.499-1.501 opx (γ) : 1.712-1.714 ho (n) : 1.669-1.671																																																																																																																																																																									
鳴子-御沢テフラ (N-Y)	opx>ho, mt (bi, cpx); qt	pm>bw	gl : 1.501-1.503 opx (γ) : 1.717-1.722 (1.719) ho (n) : 1.673-1.676																																																																																																																																																																									
福子-荷坂テフラ (N-N) 北原火山灰 (Kt) 一造輝石 (IcP)	opx>mt: qt poor (mt>opx, cum) opx>mt	pm pm pm	gl : 1.500-1.502 (1.501) opx (γ) : 1.724-1.728 gl : 1.499-1.502 opx (γ) : 1.728-1.733																																																																																																																																																																									
記号	主な鉱物	火成岩カラス	opx	In, mm	噴出地・その他																																																																																																																																																																							
Toya	opx	pm, bw	1.606-1.608 (1.606-1.607)	1.758-1.761	岡上(厚真町)																																																																																																																																																																							
Toya	opx, cpx, ho, qt	pm, bw	1.604-1.606 (1.606)	1.711-1.761 (1.712-1.729)	伊達市上長野, emite にとむ,																																																																																																																																																																							
Spt-a-1	opx, cpx, ho; qt	pm	1.601-1.606 (1.602-1.603)	1.729-1.735	岡上(千曲川東谷)																																																																																																																																																																							
Spt-a-1	(ho)	pm, bw	1.601-1.608 (1.602-1.603)	1.684-1.688	霧化村浅茅要 新里町川上																																																																																																																																																																							
Spt-a-1	opx, cpx	pm	1.600-1.606 (1.600-1.604)	1.729-1.731																																																																																																																																																																								
Kc-Hb	opx	bw	1.607-1.608 (1.607-1.608)	1.769-1.771	岡上(厚真町鷲牛)																																																																																																																																																																							
Kc-Hb	opx, cpx, ho	bw	1.601-1.604 (1.601-1.603)	1.765-1.769	厚真町阿チャール																																																																																																																																																																							
Kc-Hb	opx, cpx	bw	1.601-1.604 (1.601-1.603)	1.765-1.769	厚真町鶏糞																																																																																																																																																																							
Kc-Sr	opx, sps	pm>bw	1.602-1.606 (1.603-1.604)	1.707-1.710 (1.708-1.709)	白糠町尾路																																																																																																																																																																							
Kc-1	opx, cpx, (ol)	pm	1.602-1.604 (1.603-1.606)	1.707-1.710 (1.707-1.708)	網走市オシキ川上庄																																																																																																																																																																							
Kc-2-5	opx, cpx	pm	1.603-1.606 (1.603-1.605)	1.707-1.710	網走市轟原																																																																																																																																																																							
Kc-4	opx, cpx	bw, pm	1.602-1.606 (1.603-1.605)	1.707-1.710 (1.708-1.709)	網走市中幡洋一郎, 霧淵第五 支生																																																																																																																																																																							
Chemical composition (wt%)																																																																																																																																																																												
SiO ₂	Al ₂ O ₃	CaO	MgO	Fe ₂ O ₃	TiO ₂	Na ₂ O	K ₂ O	P ₂ O ₅	MnO	ig. loss	Total																																																																																																																																																																	
72.73	13.69	1.44	0.23	1.82	0.18	3.46	3.42	0.01	0.06	3.16	100.2																																																																																																																																																																	
Chemical composition (wt%)										Mineral component (wt%)																																																																																																																																																																		
SiO ₂	Al ₂ O ₃	CaO	MgO	Fe ₂ O ₃	TiO ₂	Na ₂ O	K ₂ O	P ₂ O ₅	MnO	ig. loss	Total	Volcanic glass Crystals																																																																																																																																																																
72.73	13.69	1.44	0.23	1.82	0.18	3.46	3.42	0.01	0.06	3.16	100.2	78.55 21.45																																																																																																																																																																

第6条 外部からの衝撃による損傷の防止（火山：別添資料1）

大飯発電所3／4号炉

女川原子力発電所2号炉

泊発電所3号炉

相違理由

表4 火山ガラスの特性^{※3}（赤枠は追記）

Shirasu glass				
	No. 1	No. 2	No. 3	No. 4
Specific gravity	2.70	2.77	2.75	2.76
Hardness (mohrs)	5	5	5	5
Softening point(°C)	873	868	875	870

b. 鉱物結晶片

東北地方の主要なテフラに対する文献^{※1}及び発電所敷地内及び敷地周辺の地質調査^{※2}の結果から確認された造岩鉱物は、石英、（斜方・単斜）輝石、角閃石、カミントン閃石、黒雲母、磁鐵鉱である。各造岩鉱物のモース硬度は表5、6に示すとおりであり、最大値は石英のモース硬度7である。

表5 造岩鉱物の特徴及び硬度^{※4}（赤枠は追記）

造岩鉱物名	色調・透明度・光沢など	自形結晶の形	割れ口	モース硬度	比重
石英	無色透明、白色半透明、ガラス光沢 六角柱状、六角柱状	不規則	7	2.65	
カリ長石	白色、淡い黄緑～黄色、半透明 ガラス光沢	直方体の弱面	6	2.57	
斜長石	無色透明、白色半透明、ガラス光沢 四角柱状	直方体の弱面	6.5-5	2.5-2.8	
白雲母	無色透明、真目光沢 ガラス光沢	一方間に弱面	2.5-3	2.9	
黒雲母	黒色透明、直面～複雑半透明 ガラス光沢	六角板状	2.5-3	2.7-3.3	
角閃石	黒色透明、直面～複雑半透明 ガラス光沢	長柱状	6.0° / 120°に斜交する弱面	3	2.8
輝石	黒色透明、綠色～褐色半透明 ガラス光沢	長柱状	2.0-3	3.2-3.5	
かんらん石	無色透明、帶黃褐色半透明 ガラス光沢	短柱状	不規則	6.5-7	3.2-4.4
磁鐵鉱	黒色不透明、磁金属光沢、強磁性	八面体	不規則	5.5-6	5.2
方解石	無色透明、白色半透明、ガラス光沢 柱状、犬牙状	要面体、六角柱～ 斜交する三方向に弱面	3	2.7	
柘榴石	赤色、暗褐色、暗色半透明 ガラス光沢	二十四面体、十二面体	不規則	6.5-7	3.2-4.2

表6 造岩鉱物の硬度（抜粋）^{※5}（赤枠は追記）

和名（英名）	品系	理想化学組成式	色	条痕	光沢	層面	様子
カミントン閃石(cummingtonite)	单	(Mg,Fe)SiO ₃ (OH) ₂	青、綠	白	ガラス	II	I

以上のことから、女川原子力発電所で想定する降下火砕物のモース硬度の最大値は7程度である。また、一般的な砂は石英、長石類、雲母類を主成分^{※6}としており、砂のモース硬度も石英が最大で7程度であることから、設備への影響は砂と同等であると考える。

表4 火山ガラスの特性^{※2}（赤枠は追記）

	Shirasu glass				Crystallized glass*			
	No. 1	No. 2	No. 3	No. 4	No. 1	No. 2	No. 3	No. 4
Specific gravity	2.70	2.77	2.75	2.76	2.95	2.78	2.79	2.78
Hardness (mohrs)	5	5	5	5	8	8	9	8
Softening point(°C)	873	868	875	870	over	1200	1170	1190 over

*Heat treatment condition No. 8

b. 鉱物結晶片

北海道の主要なテフラに対する文献^{※1}及び発電所敷地内及び敷地周辺の地質調査の結果から確認された造岩鉱物は、石英、（斜方・単斜）輝石、角閃石である。各造岩鉱物のモース硬度は表5、6に示すとおりであり、最大値は石英のモース硬度7である。

【女川】記載表現の相違

表5 造岩鉱物の硬度^{※1}（赤枠は追記、対象箇所抜粋）

和名（英名）	品名	理想化学組成式	目次	和名	理想化学組成式	目次	和名	理想化学組成式	目次	
珪藻土(Leachite)	Leachite	Ca ₂ Al ₂ Si ₂ O ₁₀	1	石英(Silica)	SiO ₂	1-21	2	石英(Silica)	SiO ₂	1-21
アーリオイト(Aluminosilicate)	Aluminosilicate	Ca ₂ Al ₂ Si ₂ O ₁₀	2	アルミニウム(Alumina)	Al ₂ O ₃	2-25	3	アルミニウム(Alumina)	Al ₂ O ₃	2-25
リチオイト(Lithium)	Lithium	Li ₂ O	3	リチオド(リチウム)	Li ₂ O	3-2	3	リチオド(リチウム)	Li ₂ O	3-2
アラゴナイト(Aragonite)	Aragonite	CaCO ₃	4	マグネシウム(Magnesia)	MgO	4-2	4	マグネシウム(Magnesia)	MgO	4-2
カルシオピタイト(Calciofite)	Calciofite	Ca ₂ Al ₂ Si ₂ O ₁₀	5	アルミニウム(Alumina)	Al ₂ O ₃	5-2	5	アルミニウム(Alumina)	Al ₂ O ₃	5-2
カルシオピタイト(Calciofite)	Calciofite	Ca ₂ Al ₂ Si ₂ O ₁₀	6	マグネシウム(Magnesia)	MgO	6-2	6	マグネシウム(Magnesia)	MgO	6-2
カルシオピタイト(Calciofite)	Calciofite	Ca ₂ Al ₂ Si ₂ O ₁₀	7	マグネシウム(Magnesia)	MgO	7-2	7	マグネシウム(Magnesia)	MgO	7-2
カルシオピタイト(Calciofite)	Calciofite	Ca ₂ Al ₂ Si ₂ O ₁₀	8	マグネシウム(Magnesia)	MgO	8-2	8	マグネシウム(Magnesia)	MgO	8-2
カルシオピタイト(Calciofite)	Calciofite	Ca ₂ Al ₂ Si ₂ O ₁₀	9	マグネシウム(Magnesia)	MgO	9-2	9	マグネシウム(Magnesia)	MgO	9-2
カルシオピタイト(Calciofite)	Calciofite	Ca ₂ Al ₂ Si ₂ O ₁₀	10	マグネシウム(Magnesia)	MgO	10-2	10	マグネシウム(Magnesia)	MgO	10-2
カルシオピタイト(Calciofite)	Calciofite	Ca ₂ Al ₂ Si ₂ O ₁₀	11	マグネシウム(Magnesia)	MgO	11-2	11	マグネシウム(Magnesia)	MgO	11-2
カルシオピタイト(Calciofite)	Calciofite	Ca ₂ Al ₂ Si ₂ O ₁₀	12	マグネシウム(Magnesia)	MgO	12-2	12	マグネシウム(Magnesia)	MgO	12-2
カルシオピタイト(Calciofite)	Calciofite	Ca ₂ Al ₂ Si ₂ O ₁₀	13	マグネシウム(Magnesia)	MgO	13-2	13	マグネシウム(Magnesia)	MgO	13-2
カルシオピタイト(Calciofite)	Calciofite	Ca ₂ Al ₂ Si ₂ O ₁₀	14	マグネシウム(Magnesia)	MgO	14-2	14	マグネシウム(Magnesia)	MgO	14-2
カルシオピタイト(Calciofite)	Calciofite	Ca ₂ Al ₂ Si ₂ O ₁₀	15	マグネシウム(Magnesia)	MgO	15-2	15	マグネシウム(Magnesia)	MgO	15-2
カルシオピタイト(Calciofite)	Calciofite	Ca ₂ Al ₂ Si ₂ O ₁₀	16	マグネシウム(Magnesia)	MgO	16-2	16	マグネシウム(Magnesia)	MgO	16-2
カルシオピタイト(Calciofite)	Calciofite	Ca ₂ Al ₂ Si ₂ O ₁₀	17	マグネシウム(Magnesia)	MgO	17-2	17	マグネシウム(Magnesia)	MgO	17-2
カルシオピタイト(Calciofite)	Calciofite	Ca ₂ Al ₂ Si ₂ O ₁₀	18	マグネシウム(Magnesia)	MgO	18-2	18	マグネシウム(Magnesia)	MgO	18-2
カルシオピタイト(Calciofite)	Calciofite	Ca ₂ Al ₂ Si ₂ O ₁₀	19	マグネシウム(Magnesia)	MgO	19-2	19	マグネシウム(Magnesia)	MgO	19-2
カルシオピタイト(Calciofite)	Calciofite	Ca ₂ Al ₂ Si ₂ O ₁₀	20	マグネシウム(Magnesia)	MgO	20-2	20	マグネシウム(Magnesia)	MgO	20-2
カルシオピタイト(Calciofite)	Calciofite	Ca ₂ Al ₂ Si ₂ O ₁₀	21	マグネシウム(Magnesia)	MgO	21-2	21	マグネシウム(Magnesia)	MgO	21-2
カルシオピタイト(Calciofite)	Calciofite	Ca ₂ Al ₂ Si ₂ O ₁₀	22	マグネシウム(Magnesia)	MgO	22-2	22	マグネシウム(Magnesia)	MgO	22-2
カルシオピタイト(Calciofite)	Calciofite	Ca ₂ Al ₂ Si ₂ O ₁₀	23	マグネシウム(Magnesia)	MgO	23-2	23	マグネシウム(Magnesia)	MgO	23-2
カルシオピタイト(Calciofite)	Calciofite	Ca ₂ Al ₂ Si ₂ O ₁₀	24	マグネシウム(Magnesia)	MgO	24-2	24	マグネシウム(Magnesia)	MgO	24-2
カルシオピタイト(Calciofite)	Calciofite	Ca ₂ Al ₂ Si ₂ O ₁₀	25	マグネシウム(Magnesia)	MgO	25-2	25	マグネシウム(Magnesia)	MgO	25-2
カルシオピタイト(Calciofite)	Calciofite	Ca ₂ Al ₂ Si ₂ O ₁₀	26	マグネシウム(Magnesia)	MgO	26-2	26	マグネシウム(Magnesia)	MgO	26-2
カルシオピタイト(Calciofite)	Calciofite	Ca ₂ Al ₂ Si ₂ O ₁₀	27	マグネシウム(Magnesia)	MgO	27-2	27	マグネシウム(Magnesia)	MgO	27-2
カルシオピタイト(Calciofite)	Calciofite	Ca ₂ Al ₂ Si ₂ O ₁₀	28	マグネシウム(Magnesia)	MgO	28-2	28	マグネシウム(Magnesia)	MgO	28-2
カルシオピタイト(Calciofite)	Calciofite	Ca ₂ Al ₂ Si ₂ O ₁₀	29	マグネシウム(Magnesia)	MgO	29-2	29	マグネシウム(Magnesia)	MgO	29-2
カルシオピタイト(Calciofite)	Calciofite	Ca ₂ Al ₂ Si ₂ O ₁₀	30	マグネシウム(Magnesia)	MgO	30-2	30	マグネシウム(Magnesia)	MgO	30-2
カルシオピタイト(Calciofite)	Calciofite	Ca ₂ Al ₂ Si ₂ O ₁₀	31	マグネシウム(Magnesia)	MgO	31-2	31	マグネシウム(Magnesia)	MgO	31-2
カルシオピタイト(Calciofite)	Calciofite	Ca ₂ Al ₂ Si ₂ O ₁₀	32	マグネシウム(Magnesia)	MgO	32-2	32	マグネシウム(Magnesia)	MgO	32-2
カルシオピタイト(Calciofite)	Calciofite	Ca ₂ Al ₂ Si ₂ O ₁₀	33	マグネシウム(Magnesia)	MgO	33-2	33	マグネシウム(Magnesia)	MgO	33-2
カルシオピタイト(Calciofite)	Calciofite	Ca ₂ Al ₂ Si ₂ O ₁₀	34	マグネシウム(Magnesia)	MgO	34-2	34	マグネシウム(Magnesia)	MgO	34-2
カルシオピタイト(Calciofite)	Calciofite	Ca ₂ Al ₂ Si ₂ O ₁₀	35	マグネシウム(Magnesia)	MgO	35-2	35	マグネシウム(Magnesia)	MgO	35-2
カルシオピタイト(Calciofite)	Calciofite	Ca ₂ Al ₂ Si ₂ O ₁₀	36	マグネシウム(Magnesia)	MgO	36-2	36	マグネシウム(Magnesia)	MgO	36-2
カルシオピタイト(Calciofite)	Calciofite	Ca ₂ Al ₂ Si ₂ O ₁₀	37	マグネシウム(Magnesia)	MgO	37-2	37	マグネシウム(Magnesia)	MgO	37-2
カルシオピタイト(Calciofite)	Calciofite	Ca ₂ Al ₂ Si ₂ O ₁₀	38	マグネシウム(Magnesia)	MgO	38-2	38	マグネシウム(Magnesia)	MgO	38-2
カルシオピタイト(Calciofite)	Calciofite	Ca ₂ Al ₂ Si ₂ O ₁₀	39	マグネシウム(Magnesia)	MgO	39-2	39	マグネシウム(Magnesia)	MgO	39-2
カルシオピタイト(Calciofite)	Calciofite	Ca ₂ Al ₂ Si ₂ O ₁₀	40	マグネシウム(Magnesia)	MgO	40-2	40	マグネシウム(Magnesia)	MgO	40-2
カルシオピタイト(Calciofite)	Calciofite	Ca ₂ Al ₂ Si ₂ O ₁₀	41	マグネシウム(Magnesia)	MgO	41-2	41	マグネシウム(Magnesia)	MgO	41-2
カルシオピタイト(Calciofite)	Calciofite	Ca ₂ Al ₂ Si ₂ O ₁₀	42	マグネシウム(Magnesia)	MgO	42-2	42	マグネシウム(Magnesia)	MgO	42-2
カルシオピタイト(Calciofite)	Calciofite	Ca ₂ Al ₂ Si ₂ O ₁₀	43	マグネシウム(Magnesia)	MgO	43-2	43	マグネシウム(Magnesia)	MgO	43-2
カルシオピタイト(Calciofite)	Calciofite	Ca ₂ Al ₂ Si ₂ O ₁₀	44	マグネシウム(Magnesia)	MgO	44-2	44	マグネシウム(Magnesia)	MgO	44-2
カルシオピタイト(Calciofite)	Calciofite	Ca ₂ Al ₂ Si ₂ O ₁₀	45	マグネシウム(Magnesia)	MgO	45-2	45	マグネシウム(Magnesia)	MgO	45-2
カルシオピタイト(Calciofite)	Calciofite	Ca ₂ Al ₂ Si ₂ O ₁₀	46	マグネシウム(Magnesia)	MgO	46-2	46	マグネシウム(Magnesia)	MgO	46-2
カルシオピタイト(Calciofite)	Calciofite	Ca ₂ Al ₂ Si ₂ O ₁₀	47	マグネシウム(Magnesia)	MgO	47-2	47	マグネシウム(Magnesia)	MgO	47-2
カルシオピタイト(Calciofite)	Calciofite	Ca ₂ Al ₂ Si ₂ O ₁₀	48	マグネシウム(Magnesia)	MgO	48-2	48	マグネシウム(Magnesia)	MgO	48-2
カルシオピタイト(Calciofite)	Calciofite	Ca ₂ Al ₂ Si ₂ O ₁₀								

泊発電所 3号炉 DB基準適合性 比較表

第6条 外部からの衝撃による損傷の防止 (火山:別添資料1)

赤字: 設備、運用又は体制の相違 (設計方針の相違)
 青字: 記載箇所又は記載内容の相違 (記載方針の相違)
 緑字: 記載表現、設備名称の相違 (実質的な相違なし)

大飯発電所3／4号炉	女川原子力発電所2号炉	泊発電所3号炉	相違理由
	<p>(2) 融解</p> <p>降下火碎物中に酸化カリウムの鉱物相が存在する可能性は極めて低い (添付資料-1 参照)。一方、融解の影響は降下火碎物の融点の影響を受けることから、女川原子力発電所で想定する降下火碎物の融解について確認を実施した。</p> <p>a. 火山ガラス</p> <p>火山ガラスの融解については、鹿児島県垂水市における火山ガラスについて分析^{*3}を実施しており、表3に示す主元素組成 (SiO_2: 約 73% : Al_2O_3: 約 14%, K_2O: 約 3%) の火山ガラスは約 700°Cからガラスが転移し、軟化温度は表4に示すように 868~875°Cであることが認められた。これは東北地方の主要なテフラの火山ガラスの主成分組成 (SiO_2: 約 77~78%, Al_2O_3: 約 12~14%, K_2O: 約 1~4%程度) と比較しても大きな差異がないことから、女川原子力発電所で想定する火山ガラスの軟化温度は同様に約 860~880°C程度と考えられる。よって火山ガラスの融解温度は 860°C以上であると推定される。</p> <p>b. 鉱物結晶片</p> <p>鉱物結晶片は火成岩の構成鉱物であることから、火成岩 (マグマ) の融点と同等と考えられる。火成岩の融点は表6のとおり 850~1125°C^{*7}であることを確認した。</p>	<p>(2) 融解</p> <p>降下火碎物中に酸化カリウムの鉱物相が存在する可能性は極めて低い (添付資料-1 参照)。一方、融解の影響は降下火碎物の融点の影響を受けることから、泊発電所で想定する降下火碎物の融解について確認を実施した。</p> <p>a. 火山ガラス</p> <p>火山ガラスの融解については、鹿児島県垂水市における火山ガラスについて分析^{*2}を実施しており、表3に示す主元素組成 (SiO_2: 約 73% : Al_2O_3: 約 14%, K_2O: 約 3%) の火山ガラスは約 700°Cからガラスが転移し、軟化温度は表4に示すように 868~875°Cであることが認められた。これは北海道地方の主要なテフラの火山ガラスの主成分組成 (SiO_2: 約 78~80%, Al_2O_3: 約 12~13%, K_2O: 約 1~3%程度) と比較しても大きな差異がないことから、泊発電所で想定する火山ガラスの軟化温度は同様に約 860~880°C程度と考えられる。よって火山ガラスの融解温度は 860°C以上であると推定される。</p> <p>b. 鉱物結晶片</p> <p>鉱物結晶片は火成岩の構成鉱物であることから、火成岩 (マグマ) の融点と同等と考えられる。火成岩の融点は表6のとおり約 850~1200°C^{*1}であることを確認した。</p>	<p>【女川】記載表現の相違 ・プラント名称の相違</p> <p>【女川】記載表現の相違 ・対象とする地方の相違</p> <p>【女川】記載表現の相違 ・参照文献に記載される値の相違</p>

表6 実測された溶岩の温度と粘性係数^{*7} (赤枠は追記)

火 山	噴火年	岩石名	温度(℃)	粘性(P)
三宅島	1940	玄武岩	900	—
三原山(伊豆大島)	1956	玄武岩	956~1100	
	1961	玄武岩	1125	5.6×10^5
	1961	玄武岩	1108	1.8×10^5
	1961	玄武岩	1065	7.1×10^5
	1961	玄武岩	1038	2.3×10^5
幕 畑	1946	安山岩	850~1000	—
秋田駒ヶ岳	1970	玄武岩	1000	—
駒ヶ岳山	1945	ディサイト	1000~900	$10^5 \sim 10^6$
マウナロア(ハワイ)	1959	玄武岩	1070	4×10^5
	1959	玄武岩	940	7×10^5
キラウエア(ハワイ)	1953	玄武岩	—	2×10^5
	1955	玄武岩	1100	2×10^5
	1955	玄武岩	1020	2×10^5
パリタティン(キキシコ)	1946~48	玄武岩質安山岩	1070	5.1×10^5
エトナ(イタリア)	1956	玄武岩質安山岩	1910~1920	3.8×10^5
	1966	玄武岩質安山岩	—	0.4×10^5
ペテラ(アイスランド)	1947	安山岩	—	$10^5 \sim 10^6$
ベスオボ(イタリア)	1959	ナウライト	—	7.6×10^5
トライアン(フランス)	1961	ナウライト	—	0.3×10^5

以上のことから、**女川原子力発電所**で想定する降下火碎物の融点は850°C以上であると考えられる。火山灰の融解の影響について、**非常用ディーゼル発電機**のシリンダから排出される排気ガス温度が約 500°Cであり、シリンダ内の金属表面付近はシリング冷却水及びピストン冷却用潤滑油の効果により冷却されていることを踏まえると、火山灰は融解に至らないと考える。

以 上

表6 実測された溶岩の温度と粘性係数^{*1} (赤枠は追記、対象箇所を抜粋)

火 山	噴 火 年	溶 岩	温 度 (℃)	粘 度 $\log(\eta \text{Pa}\cdot\text{s})$
三宅島	1940	玄武岩	1,000	5
三原山(伊豆大島)	1956	ク	950~1,100	5~6
	1951	ク	1,150~1,200	2
桜 瓦	1946	安山岩	856~1,000	6~8
秋田駒ヶ岳	1970	ク	1,090	—
昭和新山	1945	ディサイト(石英安山岩)	900~1,000	8~10
パリクチイン	1945~46	玄武岩質安山岩	1,070	4~5
エトナ	1957	玄武岩	1,110~1,120	3
	1971	ク	1,050~1,100	1~2
ニーラゴンゴ	1959	ペイサイト	1,180	2
マウナロア	1950	玄武岩	950~1,100	2~3
キラウエア(キラウエア・イキ)	1959	ク	1,120~1,190	—
エマオブリ	1965	ク	1,135	2
エリフロト	1955	ク	1,100	2~3
月面の溶岩(合成)(アポロ 11号)*		玄武岩(Fe, Ti に富む)	1,395	0

* 実験による。

以上のことから、**泊発電所**で想定する降下火碎物の融点は850°C以上であると考えられる。火山灰の融解の影響について、**ディーゼル発電機**のシリンダから排出される排気ガス温度が約 500°Cであり、シリンダ内の金属表面付近はシリング冷却水及びピストン冷却用潤滑油の効果により冷却されていることを踏まえると、火山灰は融解に至らないと考える。

以 上

【女川】記載表現の相違
・プラント名称及び設備名称の相違

泊発電所 3 号炉 DB 基準適合性 比較表

第6条 外部からの衝撃による損傷の防止 (火山:別添資料1)

赤字: 設備、運用又は体制の相違 (設計方針の相違)
 青字: 記載箇所又は記載内容の相違 (記載方針の相違)
 緑字: 記載表現、設備名称の相違 (実質的な相違なし)

大飯発電所 3 / 4 号炉	女川原子力発電所 2 号炉	泊発電所 3 号炉	相違理由
	<p>[参考文献]</p> <p>※1: 八木浩司・早田勉, 宮城県中部及び北部に分布する後期更新世広域テフラとその層位, 地学雑誌 1989, P48 (別添資料-1)</p> <p>※2: 第 446 回 審査会合資料 (女川原子力発電所 2 号炉 火山影響評価について (コメント回答), (補足説明資料)), 2017.2.24, P67</p> <p>※3: 恒松修二・井上耕三・松田応作, シラスを主原料とする結晶化ガラス, 窯業協会誌 84[6], 1976, P32-40 (別添資料-2)</p> <p>※4: 青木正博・目代邦康, 増補改訂版 地層の見方がわかるフィールド図鑑, 誠文堂新光社, 2017, P200</p> <p>※5: 理科年表, 国立天文台編 第 91 冊, 平成 30 年, P668</p> <p>※6: 小田匡寛・榎本文勇ほか, 砂粒子の形状・組成が砂の土質工学的性質に及ぼす影響に関する研究, 土と基礎, 19-2, 1971, P7 (別添資料-3)</p> <p>※7: 下鶴大輔・荒牧重雄ほか, 火山の事典 第 2 版, 朝倉書店, 2008, P147</p>	<p>[参考文献]</p> <p>※1: 町田洋・新井房夫, 新編 火山灰アトラス [日本列島とその周辺], 東京大学出版会, 2011, P160-171, P283-284 (別添資料-1)</p> <p>※2: 恒松修二・井上耕三・松田応作, シラスを主原料とする結晶化ガラス, 窯業協会誌 84[6], 1976, P32-40 (別添資料-2)</p> <p>※3: 理科年表, 国立天文台編 第 91 冊, 平成 30 年, P668</p> <p>※4: 小田匡寛・榎本文勇ほか, 砂粒子の形状・組成が砂の土質工学的性質に及ぼす影響に関する研究, 土と基礎, 19-2, 1971, P7 (別添資料-3)</p>	<p>【女川】</p> <p>対象地方相違による参考文献の相違</p>

泊発電所3号炉 DB基準適合性 比較表

赤字：設備、運用又は体制の相違（設計方針の相違）
 青字：記載箇所又は記載内容の相違（記載方針の相違）
 緑字：記載表現、設備名称の相違（実質的な相違なし）

第6条 外部からの衝撃による損傷の防止（火山：別添資料1）

大飯発電所3／4号炉	女川原子力発電所2号炉	泊発電所3号炉	相違理由																																								
	<p style="text-align: center;">添付資料-1 降下火碎物中の主元素組成が示す影響について</p> <p>降下火碎物の主元素組成については、酸化物 (SiO_2, Al_2O_3, K_2O 等) の重量%として示されていることが多い。これらの主元素組成が及ぼす影響について、以下の確認を実施した。</p> <p>1. 降下火碎物の組成に関する調査</p> <p>東北地方のテフラを調査している文献^{※1}において、表1に示すようにテフラ（火山ガラス）の主元素組成を示している。本論文の著者である山形大学の八木浩司教授による元素組成が示す酸化物の影響について確認した結果を以下に示す。</p> <ul style="list-style-type: none"> 火山ガラスの主元素組成を示しているのは、非晶質の火山ガラスの主要元素の割合を把握することでテフラの同定もしくは、マグマ組成を推定するために非晶質の火山ガラスの主成分を分析したものであり、酸化物（二酸化珪素、酸化アルミニウム、酸化カリウム等）の鉱物相が存在していることを示しているものではない。 降下火碎物は酸素に飽和しているため、成分分析の際に構成元素を酸化物として表示し、量比を求めているに過ぎない。 <p>表1 宮城県中・北部のテフラ（火山ガラス）の主成分組成について^{※1}（赤枠は追記）</p> <table border="1"> <thead> <tr> <th>小田原テフラ</th> <th>鉱物組成%</th> <th>SiO₂</th> <th>TiO₂</th> <th>Al₂O₃</th> <th>FeO</th> <th>MnO</th> <th>MgO</th> <th>CaO</th> <th>K₂O</th> <th>Na₂O</th> <th>Total</th> </tr> </thead> <tbody> <tr> <td>豪島複合安達 (K-MD)</td> <td>片麻岩安達</td> <td>M 76.94 0.12 14.10 0.00 0.61 1.75 1.27 3.08 100.00</td> <td>SD 0.00 0.00 0.00 0.00 0.00 0.00 0.00 0.00 0.00</td> </tr> <tr> <td>財賀村 (HU)</td> <td>青葉町の原</td> <td>M 77.79 0.19 12.70 1.05 0.44 1.30 1.20 2.30 100.00</td> <td>SD 0.00 0.00 0.00 0.00 0.00 0.00 0.00 0.00 0.00</td> </tr> <tr> <td>鳴子町原・上原 アツミノクル</td> <td>鳴子町上ノ原</td> <td>M 72.49 0.25 12.39 1.29 1.01 1.38 1.47 4.23 100.00</td> <td>SD 0.30 0.00 0.12 0.00 0.01 0.03 0.10 0.13 0.00</td> </tr> <tr> <td>鳴子・鶴ヶヶ ラ (N-Y)</td> <td>新田山町安原</td> <td>M 78.11 0.17 12.96 1.26 0.43 1.55 1.93 3.52 99.99</td> <td>SD 0.49 0.00 0.41 0.07 0.08 0.05 0.04 0.12 0.00</td> </tr> <tr> <td>鳴子・宮城テ ラ (N-N)</td> <td>新田山町安原</td> <td>M 78.93 0.12 22.93 1.29 37.6 1.38 1.48 4.12 100.00</td> <td>SD 0.33 0.01 0.15 0.00 0.03 0.03 0.04 0.34 0.00</td> </tr> <tr> <td>北限火山灰 (K)</td> <td>一迫十文字平</td> <td>M 27.51 0.07 13.37 0.61 0.32 0.70 3.89 3.43 100.00</td> <td>SD 0.32 0.02 0.14 0.00 0.05 0.05 0.05 0.33 0.00</td> </tr> <tr> <td>一迫難石 (D)</td> <td>一迫十文字</td> <td>M 76.99 0.15 13.07 1.98 0.53 1.86 1.21 4.23 100.00</td> <td>SD 0.41 0.02 0.15 0.00 0.07 0.04 0.02 0.49 0.00</td> </tr> </tbody> </table> <p>また、文献^{※2}においても、マグマによる火成岩をつくる珪酸塩鉱物（表2参照）を示しており、鉱物の多くはアルミニウムやカリウム等を含む化学組成を示している。これらに関してマグマの代表的な化学組成（表3参照）を示しており、文献では、以下のような記載がある。</p> <ul style="list-style-type: none"> 火山岩の組成は酸化物の形で示したからといって、岩石中において個々の酸化物が必ずしもそのままの状態で入っていることを意味しているわけではない。また、液体（マグマ）においても各々の酸化物がそのまま入り混じってはいない。 酸化物の形で示したのは、たんなる分析技術上の制約からくる便宜的なものである。 	小田原テフラ	鉱物組成%	SiO ₂	TiO ₂	Al ₂ O ₃	FeO	MnO	MgO	CaO	K ₂ O	Na ₂ O	Total	豪島複合安達 (K-MD)	片麻岩安達	M 76.94 0.12 14.10 0.00 0.61 1.75 1.27 3.08 100.00	SD 0.00 0.00 0.00 0.00 0.00 0.00 0.00 0.00 0.00	財賀村 (HU)	青葉町の原	M 77.79 0.19 12.70 1.05 0.44 1.30 1.20 2.30 100.00	SD 0.00 0.00 0.00 0.00 0.00 0.00 0.00 0.00 0.00	鳴子町原・上原 アツミノクル	鳴子町上ノ原	M 72.49 0.25 12.39 1.29 1.01 1.38 1.47 4.23 100.00	SD 0.30 0.00 0.12 0.00 0.01 0.03 0.10 0.13 0.00	鳴子・鶴ヶヶ ラ (N-Y)	新田山町安原	M 78.11 0.17 12.96 1.26 0.43 1.55 1.93 3.52 99.99	SD 0.49 0.00 0.41 0.07 0.08 0.05 0.04 0.12 0.00	鳴子・宮城テ ラ (N-N)	新田山町安原	M 78.93 0.12 22.93 1.29 37.6 1.38 1.48 4.12 100.00	SD 0.33 0.01 0.15 0.00 0.03 0.03 0.04 0.34 0.00	北限火山灰 (K)	一迫十文字平	M 27.51 0.07 13.37 0.61 0.32 0.70 3.89 3.43 100.00	SD 0.32 0.02 0.14 0.00 0.05 0.05 0.05 0.33 0.00	一迫難石 (D)	一迫十文字	M 76.99 0.15 13.07 1.98 0.53 1.86 1.21 4.23 100.00	SD 0.41 0.02 0.15 0.00 0.07 0.04 0.02 0.49 0.00	<p style="text-align: center;">添付資料-1 降下火碎物中の主元素組成が示す影響について</p> <p>降下火碎物の主元素組成については、酸化物 (SiO_2, Al_2O_3, K_2O 等) の重量%として示されていることが多い。これらの主元素組成が及ぼす影響について、以下の確認を実施した。</p> <p>1. 降下火碎物の組成に関する調査</p> <p>【女川】 対象地方の相違による 参照文献の相違</p>	<p style="text-align: center;">添付資料-1 降下火碎物中の主元素組成が示す影響について</p> <p>降下火碎物の主元素組成については、酸化物 (SiO_2, Al_2O_3, K_2O 等) の重量%として示されていることが多い。これらの主元素組成が及ぼす影響について、以下の確認を実施した。</p> <p>1. 降下火碎物の組成に関する調査</p> <p>【女川】 記載表現の相違 ・泊は前に文章がないので接続後を使用していない</p>
小田原テフラ	鉱物組成%	SiO ₂	TiO ₂	Al ₂ O ₃	FeO	MnO	MgO	CaO	K ₂ O	Na ₂ O	Total																																
豪島複合安達 (K-MD)	片麻岩安達	M 76.94 0.12 14.10 0.00 0.61 1.75 1.27 3.08 100.00	SD 0.00 0.00 0.00 0.00 0.00 0.00 0.00 0.00 0.00																																								
財賀村 (HU)	青葉町の原	M 77.79 0.19 12.70 1.05 0.44 1.30 1.20 2.30 100.00	SD 0.00 0.00 0.00 0.00 0.00 0.00 0.00 0.00 0.00																																								
鳴子町原・上原 アツミノクル	鳴子町上ノ原	M 72.49 0.25 12.39 1.29 1.01 1.38 1.47 4.23 100.00	SD 0.30 0.00 0.12 0.00 0.01 0.03 0.10 0.13 0.00																																								
鳴子・鶴ヶヶ ラ (N-Y)	新田山町安原	M 78.11 0.17 12.96 1.26 0.43 1.55 1.93 3.52 99.99	SD 0.49 0.00 0.41 0.07 0.08 0.05 0.04 0.12 0.00																																								
鳴子・宮城テ ラ (N-N)	新田山町安原	M 78.93 0.12 22.93 1.29 37.6 1.38 1.48 4.12 100.00	SD 0.33 0.01 0.15 0.00 0.03 0.03 0.04 0.34 0.00																																								
北限火山灰 (K)	一迫十文字平	M 27.51 0.07 13.37 0.61 0.32 0.70 3.89 3.43 100.00	SD 0.32 0.02 0.14 0.00 0.05 0.05 0.05 0.33 0.00																																								
一迫難石 (D)	一迫十文字	M 76.99 0.15 13.07 1.98 0.53 1.86 1.21 4.23 100.00	SD 0.41 0.02 0.15 0.00 0.07 0.04 0.02 0.49 0.00																																								

泊発電所3号炉 DB基準適合性 比較表

赤字：設備、運用又は体制の相違（設計方針の相違）
 青字：記載箇所又は記載内容の相違（記載方針の相違）
 緑字：記載表現、設備名称の相違（実質的な相違なし）

第6条 外部からの衝撃による損傷の防止（火山：別添資料1）

大飯発電所3／4号炉	女川原子力発電所2号炉	泊発電所3号炉	相違理由																																																																																																																																																																																																												
	<p>表2 火成岩をつくる珪酸塩鉱物の代表例^{*2}</p> <table border="1"> <thead> <tr> <th>鉱物族名</th><th>鉱物名</th><th>化学組成</th></tr> </thead> <tbody> <tr> <td>シリカ族</td><td>石英 クリストバル石</td><td>SiO_4 SiO_2</td></tr> <tr> <td>長石族</td><td>斜長石 カリ長石</td><td>$\text{Ca}_{1-x}\text{Na}_{x-1}\text{Al}_{2-x}\text{Si}_{2-x}\text{O}_8$ $(\text{K}, \text{Na})\text{AlSi}_3\text{O}_8$</td></tr> <tr> <td>準長石族</td><td>ネフェリン</td><td>$\text{NaAlSi}_3\text{O}_4$</td></tr> <tr> <td>雲母族</td><td>黒雲母 白雲母</td><td>$\text{K}(\text{Mg}, \text{Fe})_3(\text{AlSi}_3\text{O}_10)(\text{OH})_2$ $\text{KAl}_2(\text{AlSi}_3\text{O}_10)(\text{OH})_2$</td></tr> <tr> <td>角閃石族</td><td>普通角閃石</td><td>$\text{NaCa}_2(\text{Mg}, \text{Fe}^{2+}, \text{Al})_3(\text{Si}, \text{Al})_3\text{O}_2(\text{OH})_2$</td></tr> <tr> <td>輝石族</td><td>斜方輝石 単斜輝石</td><td>$(\text{Mg}, \text{Fe}^{2+})\text{SiO}_3$ $(\text{Ca}, \text{Mg}, \text{Fe}^{2+})\text{SiO}_3$</td></tr> <tr> <td>ざくろ石族</td><td>アルマンデイン</td><td>$\text{Fe}^{2+}\text{Al}_2\text{Si}_3\text{O}_10$</td></tr> <tr> <td>かんらん石族</td><td>かんらん石</td><td>$(\text{Mg}, \text{Fe}^{2+})_2\text{SiO}_4$</td></tr> </tbody> </table> <p>表3 マグマ（火山岩）の代表的な化学組成（単位は重量%）^{*2}</p> <table border="1"> <thead> <tr> <th></th><th>船形山 玄武岩</th><th>桜島 安山岩</th><th>昭和新山 デイサイト</th><th>神津島 流紋岩</th></tr> </thead> <tbody> <tr> <td>SiO_2</td><td>49.56</td><td>57.11</td><td>69.74</td><td>76.06</td></tr> <tr> <td>TiO_2</td><td>0.72</td><td>0.82</td><td>0.45</td><td>0.22</td></tr> <tr> <td>Al_2O_3</td><td>17.88</td><td>16.94</td><td>15.59</td><td>13.62</td></tr> <tr> <td>FeO</td><td>2.82</td><td>1.91</td><td>1.52</td><td>0.21</td></tr> <tr> <td>FeO</td><td>7.54</td><td>6.09</td><td>2.59</td><td>0.57</td></tr> <tr> <td>MnO</td><td>0.16</td><td>0.13</td><td>0.08</td><td>0.08</td></tr> <tr> <td>MgO</td><td>7.03</td><td>3.87</td><td>0.85</td><td>0.08</td></tr> <tr> <td>CaO</td><td>10.92</td><td>8.42</td><td>3.63</td><td>0.73</td></tr> <tr> <td>Na_2O</td><td>1.50</td><td>3.09</td><td>3.43</td><td>4.25</td></tr> <tr> <td>K_2O</td><td>0.22</td><td>1.37</td><td>1.36</td><td>3.29</td></tr> <tr> <td>P_2O_5</td><td>0.06</td><td>0.15</td><td>0.22</td><td>0.02</td></tr> <tr> <td>H_2O^+</td><td>1.16</td><td>0.67</td><td>0.81</td><td></td></tr> <tr> <td>H_2O^-</td><td>0.86</td><td>0.14</td><td>0.23</td><td>0.38</td></tr> <tr> <td>合計</td><td>100.43</td><td>100.04</td><td>100.36</td><td>100.32</td></tr> </tbody> </table>	鉱物族名	鉱物名	化学組成	シリカ族	石英 クリストバル石	SiO_4 SiO_2	長石族	斜長石 カリ長石	$\text{Ca}_{1-x}\text{Na}_{x-1}\text{Al}_{2-x}\text{Si}_{2-x}\text{O}_8$ $(\text{K}, \text{Na})\text{AlSi}_3\text{O}_8$	準長石族	ネフェリン	$\text{NaAlSi}_3\text{O}_4$	雲母族	黒雲母 白雲母	$\text{K}(\text{Mg}, \text{Fe})_3(\text{AlSi}_3\text{O}_10)(\text{OH})_2$ $\text{KAl}_2(\text{AlSi}_3\text{O}_10)(\text{OH})_2$	角閃石族	普通角閃石	$\text{NaCa}_2(\text{Mg}, \text{Fe}^{2+}, \text{Al})_3(\text{Si}, \text{Al})_3\text{O}_2(\text{OH})_2$	輝石族	斜方輝石 単斜輝石	$(\text{Mg}, \text{Fe}^{2+})\text{SiO}_3$ $(\text{Ca}, \text{Mg}, \text{Fe}^{2+})\text{SiO}_3$	ざくろ石族	アルマンデイン	$\text{Fe}^{2+}\text{Al}_2\text{Si}_3\text{O}_10$	かんらん石族	かんらん石	$(\text{Mg}, \text{Fe}^{2+})_2\text{SiO}_4$		船形山 玄武岩	桜島 安山岩	昭和新山 デイサイト	神津島 流紋岩	SiO_2	49.56	57.11	69.74	76.06	TiO_2	0.72	0.82	0.45	0.22	Al_2O_3	17.88	16.94	15.59	13.62	FeO	2.82	1.91	1.52	0.21	FeO	7.54	6.09	2.59	0.57	MnO	0.16	0.13	0.08	0.08	MgO	7.03	3.87	0.85	0.08	CaO	10.92	8.42	3.63	0.73	Na_2O	1.50	3.09	3.43	4.25	K_2O	0.22	1.37	1.36	3.29	P_2O_5	0.06	0.15	0.22	0.02	H_2O^+	1.16	0.67	0.81		H_2O^-	0.86	0.14	0.23	0.38	合計	100.43	100.04	100.36	100.32	<p>表1 火成岩をつくる珪酸塩鉱物の代表例^{*1}</p> <table border="1"> <thead> <tr> <th>鉱物族名</th><th>鉱物名</th><th>化学組成</th></tr> </thead> <tbody> <tr> <td>シリカ族</td><td>石英 クリストバル石</td><td>SiO_4 SiO_2</td></tr> <tr> <td>長石族</td><td>斜長石 カリ長石</td><td>$\text{Ca}_{1-x}\text{Na}_{x-1}\text{Al}_{2-x}\text{Si}_{2-x}\text{O}_8$ $(\text{K}, \text{Na})\text{AlSi}_3\text{O}_8$</td></tr> <tr> <td>準長石族</td><td>ネフェリン</td><td>$\text{NaAlSi}_3\text{O}_4$</td></tr> <tr> <td>雲母族</td><td>黒雲母 白雲母</td><td>$\text{K}(\text{Mg}, \text{Fe})_3(\text{AlSi}_3\text{O}_10)(\text{OH})_2$ $\text{KAl}_2(\text{AlSi}_3\text{O}_10)(\text{OH})_2$</td></tr> <tr> <td>角閃石族</td><td>普通角閃石</td><td>$\text{NaCa}_2(\text{Mg}, \text{Fe}^{2+}, \text{Al})_3(\text{Si}, \text{Al})_3\text{O}_2(\text{OH})_2$</td></tr> <tr> <td>輝石族</td><td>斜方輝石 単斜輝石</td><td>$(\text{Mg}, \text{Fe}^{2+})\text{SiO}_3$ $(\text{Ca}, \text{Mg}, \text{Fe}^{2+})\text{SiO}_3$</td></tr> <tr> <td>ざくろ石族</td><td>アルマンデイン</td><td>$\text{Fe}^{2+}\text{Al}_2\text{Si}_3\text{O}_10$</td></tr> <tr> <td>かんらん石族</td><td>かんらん石</td><td>$(\text{Mg}, \text{Fe}^{2+})_2\text{SiO}_4$</td></tr> </tbody> </table> <p>表2 マグマ（火成岩）の代表的な化学組成（単位は重量%）^{*1}</p> <table border="1"> <thead> <tr> <th></th><th>船形山 玄武岩</th><th>桜島 安山岩</th><th>昭和新山 デイサイト</th><th>神津島 流紋岩</th></tr> </thead> <tbody> <tr> <td>SiO_2</td><td>49.56</td><td>57.11</td><td>69.74</td><td>76.06</td></tr> <tr> <td>TiO_2</td><td>0.72</td><td>0.82</td><td>0.45</td><td>0.22</td></tr> <tr> <td>Al_2O_3</td><td>17.88</td><td>16.94</td><td>15.59</td><td>13.62</td></tr> <tr> <td>FeO</td><td>2.82</td><td>1.91</td><td>1.52</td><td>0.21</td></tr> <tr> <td>FeO</td><td>7.54</td><td>6.09</td><td>2.59</td><td>0.57</td></tr> <tr> <td>MnO</td><td>0.16</td><td>0.13</td><td>0.08</td><td>0.08</td></tr> <tr> <td>MgO</td><td>7.03</td><td>3.87</td><td>0.85</td><td>0.08</td></tr> <tr> <td>CaO</td><td>10.92</td><td>8.42</td><td>3.63</td><td>0.73</td></tr> <tr> <td>Na_2O</td><td>1.50</td><td>3.09</td><td>3.43</td><td>4.25</td></tr> <tr> <td>K_2O</td><td>0.22</td><td>1.37</td><td>1.36</td><td>3.29</td></tr> <tr> <td>P_2O_5</td><td>0.06</td><td>0.15</td><td>0.22</td><td>0.02</td></tr> <tr> <td>H_2O^+</td><td>1.16</td><td>0.67</td><td>0.81</td><td></td></tr> <tr> <td>H_2O^-</td><td>0.86</td><td>0.14</td><td>0.23</td><td>0.38</td></tr> <tr> <td>合計</td><td>100.43</td><td>100.04</td><td>100.36</td><td>100.32</td></tr> </tbody> </table>	鉱物族名	鉱物名	化学組成	シリカ族	石英 クリストバル石	SiO_4 SiO_2	長石族	斜長石 カリ長石	$\text{Ca}_{1-x}\text{Na}_{x-1}\text{Al}_{2-x}\text{Si}_{2-x}\text{O}_8$ $(\text{K}, \text{Na})\text{AlSi}_3\text{O}_8$	準長石族	ネフェリン	$\text{NaAlSi}_3\text{O}_4$	雲母族	黒雲母 白雲母	$\text{K}(\text{Mg}, \text{Fe})_3(\text{AlSi}_3\text{O}_10)(\text{OH})_2$ $\text{KAl}_2(\text{AlSi}_3\text{O}_10)(\text{OH})_2$	角閃石族	普通角閃石	$\text{NaCa}_2(\text{Mg}, \text{Fe}^{2+}, \text{Al})_3(\text{Si}, \text{Al})_3\text{O}_2(\text{OH})_2$	輝石族	斜方輝石 単斜輝石	$(\text{Mg}, \text{Fe}^{2+})\text{SiO}_3$ $(\text{Ca}, \text{Mg}, \text{Fe}^{2+})\text{SiO}_3$	ざくろ石族	アルマンデイン	$\text{Fe}^{2+}\text{Al}_2\text{Si}_3\text{O}_10$	かんらん石族	かんらん石	$(\text{Mg}, \text{Fe}^{2+})_2\text{SiO}_4$		船形山 玄武岩	桜島 安山岩	昭和新山 デイサイト	神津島 流紋岩	SiO_2	49.56	57.11	69.74	76.06	TiO_2	0.72	0.82	0.45	0.22	Al_2O_3	17.88	16.94	15.59	13.62	FeO	2.82	1.91	1.52	0.21	FeO	7.54	6.09	2.59	0.57	MnO	0.16	0.13	0.08	0.08	MgO	7.03	3.87	0.85	0.08	CaO	10.92	8.42	3.63	0.73	Na_2O	1.50	3.09	3.43	4.25	K_2O	0.22	1.37	1.36	3.29	P_2O_5	0.06	0.15	0.22	0.02	H_2O^+	1.16	0.67	0.81		H_2O^-	0.86	0.14	0.23	0.38	合計	100.43	100.04	100.36	100.32	
鉱物族名	鉱物名	化学組成																																																																																																																																																																																																													
シリカ族	石英 クリストバル石	SiO_4 SiO_2																																																																																																																																																																																																													
長石族	斜長石 カリ長石	$\text{Ca}_{1-x}\text{Na}_{x-1}\text{Al}_{2-x}\text{Si}_{2-x}\text{O}_8$ $(\text{K}, \text{Na})\text{AlSi}_3\text{O}_8$																																																																																																																																																																																																													
準長石族	ネフェリン	$\text{NaAlSi}_3\text{O}_4$																																																																																																																																																																																																													
雲母族	黒雲母 白雲母	$\text{K}(\text{Mg}, \text{Fe})_3(\text{AlSi}_3\text{O}_10)(\text{OH})_2$ $\text{KAl}_2(\text{AlSi}_3\text{O}_10)(\text{OH})_2$																																																																																																																																																																																																													
角閃石族	普通角閃石	$\text{NaCa}_2(\text{Mg}, \text{Fe}^{2+}, \text{Al})_3(\text{Si}, \text{Al})_3\text{O}_2(\text{OH})_2$																																																																																																																																																																																																													
輝石族	斜方輝石 単斜輝石	$(\text{Mg}, \text{Fe}^{2+})\text{SiO}_3$ $(\text{Ca}, \text{Mg}, \text{Fe}^{2+})\text{SiO}_3$																																																																																																																																																																																																													
ざくろ石族	アルマンデイン	$\text{Fe}^{2+}\text{Al}_2\text{Si}_3\text{O}_10$																																																																																																																																																																																																													
かんらん石族	かんらん石	$(\text{Mg}, \text{Fe}^{2+})_2\text{SiO}_4$																																																																																																																																																																																																													
	船形山 玄武岩	桜島 安山岩	昭和新山 デイサイト	神津島 流紋岩																																																																																																																																																																																																											
SiO_2	49.56	57.11	69.74	76.06																																																																																																																																																																																																											
TiO_2	0.72	0.82	0.45	0.22																																																																																																																																																																																																											
Al_2O_3	17.88	16.94	15.59	13.62																																																																																																																																																																																																											
FeO	2.82	1.91	1.52	0.21																																																																																																																																																																																																											
FeO	7.54	6.09	2.59	0.57																																																																																																																																																																																																											
MnO	0.16	0.13	0.08	0.08																																																																																																																																																																																																											
MgO	7.03	3.87	0.85	0.08																																																																																																																																																																																																											
CaO	10.92	8.42	3.63	0.73																																																																																																																																																																																																											
Na_2O	1.50	3.09	3.43	4.25																																																																																																																																																																																																											
K_2O	0.22	1.37	1.36	3.29																																																																																																																																																																																																											
P_2O_5	0.06	0.15	0.22	0.02																																																																																																																																																																																																											
H_2O^+	1.16	0.67	0.81																																																																																																																																																																																																												
H_2O^-	0.86	0.14	0.23	0.38																																																																																																																																																																																																											
合計	100.43	100.04	100.36	100.32																																																																																																																																																																																																											
鉱物族名	鉱物名	化学組成																																																																																																																																																																																																													
シリカ族	石英 クリストバル石	SiO_4 SiO_2																																																																																																																																																																																																													
長石族	斜長石 カリ長石	$\text{Ca}_{1-x}\text{Na}_{x-1}\text{Al}_{2-x}\text{Si}_{2-x}\text{O}_8$ $(\text{K}, \text{Na})\text{AlSi}_3\text{O}_8$																																																																																																																																																																																																													
準長石族	ネフェリン	$\text{NaAlSi}_3\text{O}_4$																																																																																																																																																																																																													
雲母族	黒雲母 白雲母	$\text{K}(\text{Mg}, \text{Fe})_3(\text{AlSi}_3\text{O}_10)(\text{OH})_2$ $\text{KAl}_2(\text{AlSi}_3\text{O}_10)(\text{OH})_2$																																																																																																																																																																																																													
角閃石族	普通角閃石	$\text{NaCa}_2(\text{Mg}, \text{Fe}^{2+}, \text{Al})_3(\text{Si}, \text{Al})_3\text{O}_2(\text{OH})_2$																																																																																																																																																																																																													
輝石族	斜方輝石 単斜輝石	$(\text{Mg}, \text{Fe}^{2+})\text{SiO}_3$ $(\text{Ca}, \text{Mg}, \text{Fe}^{2+})\text{SiO}_3$																																																																																																																																																																																																													
ざくろ石族	アルマンデイン	$\text{Fe}^{2+}\text{Al}_2\text{Si}_3\text{O}_10$																																																																																																																																																																																																													
かんらん石族	かんらん石	$(\text{Mg}, \text{Fe}^{2+})_2\text{SiO}_4$																																																																																																																																																																																																													
	船形山 玄武岩	桜島 安山岩	昭和新山 デイサイト	神津島 流紋岩																																																																																																																																																																																																											
SiO_2	49.56	57.11	69.74	76.06																																																																																																																																																																																																											
TiO_2	0.72	0.82	0.45	0.22																																																																																																																																																																																																											
Al_2O_3	17.88	16.94	15.59	13.62																																																																																																																																																																																																											
FeO	2.82	1.91	1.52	0.21																																																																																																																																																																																																											
FeO	7.54	6.09	2.59	0.57																																																																																																																																																																																																											
MnO	0.16	0.13	0.08	0.08																																																																																																																																																																																																											
MgO	7.03	3.87	0.85	0.08																																																																																																																																																																																																											
CaO	10.92	8.42	3.63	0.73																																																																																																																																																																																																											
Na_2O	1.50	3.09	3.43	4.25																																																																																																																																																																																																											
K_2O	0.22	1.37	1.36	3.29																																																																																																																																																																																																											
P_2O_5	0.06	0.15	0.22	0.02																																																																																																																																																																																																											
H_2O^+	1.16	0.67	0.81																																																																																																																																																																																																												
H_2O^-	0.86	0.14	0.23	0.38																																																																																																																																																																																																											
合計	100.43	100.04	100.36	100.32																																																																																																																																																																																																											
	<p>よって、降下火碎物の主元素組成においては、酸化アルミニウム、酸化カリウム等を重量%として示すことが通例であるが、これらが鉱物相として存在することを示すものではない。</p> <p>2. 東北地方のテフラに対する調査</p> <p>降下火碎物内に鉱物相として、酸化アルミニウムや酸化カリウムが存在する可能性を確認するため、文献調査を実施した。</p> <p>文献^{*3}の、東北地方のテフラを構成する主な鉱物は、石英、（斜方・单斜）輝石、角閃石、カミントン閃石、緑簾石、カンラン石、黒雲母、黒曜石、アルカリ長石であり、構成する鉱物中に、酸化アルミニウム及び酸化カリウムの鉱物相の存在は確認されなかった（別添資料-1参照）。</p>	<p>よって、降下火碎物の主元素組成においては、酸化アルミニウム、酸化カリウム等を重量%として示すことが通例であるが、これらが鉱物相として存在することを示すものではない。</p> <p>2. 北海道のテフラに対する調査</p> <p>降下火碎物内に鉱物相として、酸化アルミニウムや酸化カリウムが存在する可能性を確認するため、文献調査を実施した。</p> <p>文献^{*2}の、北海道のテフラを構成する主な鉱物は、石英、（斜方・单斜）輝石、角閃石であり、構成する鉱物中に、酸化アルミニウム及び酸化カリウムの鉱物相の存在は確認されなかった（別添資料-1参照）。</p>	<p>【女川】記載表現の相違</p> <p>・造岩鉱物の相違</p>																																																																																																																																																																																																												

泊発電所3号炉 DB基準適合性 比較表

第6条 外部からの衝撃による損傷の防止 (火山:別添資料1)

赤字: 設備、運用又は体制の相違 (設計方針の相違)
 青字: 記載箇所又は記載内容の相違 (記載方針の相違)
 緑字: 記載表現、設備名称の相違 (実質的な相違なし)

大飯発電所3／4号炉	女川原子力発電所2号炉	泊発電所3号炉	相違理由
	<p>また、女川原子力発電所の降下火砕物の調査^{*4}では主な鉱物として(斜方・单斜)輝石、角閃石、黒雲母、磁鐵鉱を確認しており、酸化アルミニウム及び酸化カリウムの鉱物相は確認されなかった。</p> <p>3.まとめ 降下火砕物の主元素組成については、酸化物 (SiO_2, Al_2O_3, K_2O 等) の重量%として示されていることが多いが、これらの主元素組成が及ぼす影響について確認した結果を以下に示す。</p> <ul style="list-style-type: none"> 降下火砕物の成分を示す場合には、構成元素を酸化物の重量%として示すことが通例であるが、酸化物の鉱物相の存在を示すものではないことを確認した。 東北地方のテフラを調査した結果、降下火砕物中に鉱物相として、酸化アルミニウムや酸化カリウムが存在する可能性は極めて低いことから、摩耗や融解の影響も極めて小さいと考えられる。 <p style="text-align: center;">以 上</p> <p>[参考文献] ※1 : 八木浩司・早田勉, 宮城県中部及び北部に分布する後期更新世広域テフラとその層位, 地学雑誌, 1989, P48 (別添資料-1) ※2 : 谷口宏充, マグマ科学への招待, 講華房, 2001, P28-30 (別添資料-4) ※3 : 町田洋・新井房夫, 新編 火山灰アトラス [日本列島とその周辺], 東京大学出版会, 2011, P144-153 (別添資料-5) ※4 : 第446回 審査会合資料 (女川原子力発電所2号炉 火山影響評価について (コメント回答), (補足説明料)), 2017.2.24, P67</p>	<p>また、泊発電所の降下火砕物の調査では主な鉱物として斜方輝石、角閃石を確認しており、酸化アルミニウム及び酸化カリウムの鉱物相は確認されなかった。</p> <p>3.まとめ 降下火砕物の主元素組成については、酸化物 (SiO_2, Al_2O_3, K_2O 等) の重量%として示されていることが多いが、これらの主元素組成が及ぼす影響について確認した結果を以下に示す。</p> <ul style="list-style-type: none"> 降下火砕物の成分を示す場合には、構成元素を酸化物の重量%として示すことが通例であるが、酸化物の鉱物相の存在を示すものではないことを確認した。 北海道のテフラを調査した結果、降下火砕物中に鉱物相として、酸化アルミニウムや酸化カリウムが存在する可能性は極めて低いことから、摩耗や融解の影響も極めて小さいと考えられる。 <p style="text-align: center;">以 上</p> <p>[参考文献] ※1 : 谷口宏充, マグマ科学への招待, 講華房, 2001, P28-30 (別添資料-4) ※2 : 町田洋・新井房夫, 新編 火山灰アトラス [日本列島とその周辺], 東京大学出版会, 2011, P160-171, P283-284 (別添資料-1)</p>	<p>【女川】記載表現の相違 • プラント名称及び設備名称の相違 【女川】 調査結果の相違</p> <p>【女川】 対象地方の相違</p> <p>【女川】 対象地方の相違による 参照文献の相違</p>

泊発電所3号炉 DB基準適合性 比較表

赤字：設備、運用又は体制の相違（設計方針の相違）
青字：記載箇所又は記載内容の相違（記載方針の相違）
緑字：記載表現、設備名称の相違（実質的な相違なし）

第6条 外部からの衝撃による損傷の防止（火山：別添資料1）

大飯発電所3／4号炉	女川原子力発電所2号炉	泊発電所3号炉	相違理由
	<p>別添資料一 地学報誌 98-7 (1989)</p> <p>宮城県中部および北部に分布する後期更新世広域テフラとその層位 八木 浩司* 早田 勉**</p> <p>A stratigraphical study on the Late Pleistocene widespread tephras occurring in central and northern part of Miyagi Prefecture Hirosi YAGI* and Tatsutomi SODA**</p> <p>Abstract</p> <p>Widespread Tephra is a valuable time marker for tephrochronology and archaeology. Several fine ash fall deposit are distributed in central and northern part of Miyagi Pref. The authors have correlated them to widespread tephras by means of following methods. They are lithological description of tephras, measurements of refractive indices of glass shards and heavy minerals, and analyses of major elements chemical composition of glass shards using a microprobe analyzer. As a results, four late Pleistocene widespread tephras are discovered in this study area. They are AT, Aso-4, On-Pml and Toya. The authors described the stratigraphic positions of these widespread tephras in detail. And furthermore, they mentioned the significance that four late Pleistocene widespread tephras were discovered in this study area. The results are summarized as follows.</p> <p>1) In central part of Miyagi Pref., the stratigraphic sequence of AT ash, Kawasaki scoria layer, Aso-4 ash and Medeshima pumice layer occur in ascending order is confirmed. Kawasaki scoria and Medeshima Pumice are valuable marker tephras in that region.</p> <p>In northern part of Miyagi Pref., 10 tephras or tephra formations and their stratigraphic positions are recognized. They are in ascending order; Hijiori pumice layer, Norugo・Katainma-Uehara tephra, AT ash, Narito-Yanagisawa tephra layer, Aso-4, Nango-Nisaka tephra layer, Kitahara ash layer, On-Pml, Toyash and Ichihashima pumice layer. Consequently, the late Pleistocene tephra stratigraphy in Miyagi Prefecture is linked with those in central and southwestern part of Japan.</p> <p>2) The stratigraphic relating between On-Pml and Toya ash is revealed for the first time to implicate the occurrence of marine terrace developed in ca 100 ka in a tectonically active region.</p> <p>* 防衛大学校・地質科学教室 Department of Geoscience, National Defense Academy ** ミツノ・オーバーエンジニアリング研究所 Institute of Palynosurvey Co., Ltd.</p> <p style="text-align: center;">— 39 —</p>	<p>参考文献 町田洋・新井房夫, 新編 火山灰アトラス [日本列島とその周辺], 東京大学出版会, 2011, P160-171, P283-284</p> <p>3.5 北海道地方</p> <p>北海道で第四紀後期に活発な爆発的噴火を反復し、広域にテフラを供給した火山は、(1)支笏・クッチャロ、洞爺など道南の大カルデラ火山群、(2)クッチャロ、摩鹿を中心とする道東の大カルデラ火山群、(3)胸ヶ岳など渡島半島の火山群に大別される。とくに(1)と(2)に由来するテフラは広く分布し、体積も大きい。</p> <p>従来は各地域独立にテフラ層序が研究されてきたが、最近(1)や(2)からもたらされたテフラ(2)の地域でも見出されるようになり、さらに周辺地域でもこれらの火山群由来のテフラが確認されてきた^{13,14}。そして他の地域からのテフラとあいまって総合的なテフラ層年ができるようになった^{1,10}。こうした銀鎖の役割を果たす代表的テフラを新しいものから挙げると、樽前 a (Ta-a), 胸ヶ岳 cs (Ko-cs) (道東にも分布), 白糠山若小牧 (B-Tm) (ほほ全滅), 横前 c (Ta-c), 横前 d (Ta-d), 滝面 (Ng), 滝面 a (En-a) (いずれも道東にも分布する), 支笏第1 (Spfa-1), タカラ第1 (Kt-1), 銀毫女郎川 (Z-M), クッチャロ第6 (Kt-6), 洞爺 (Toya), クッチャロ崩岸 (Ke-Sr), クッチャロ羽勝 (Ke-Hb) など多数にのぼる。これらのうち Kt-1 は従来 Spfa2 とされていたもの、また Z-M は函館沖の現在沈んでいる火山から噴出し、日高・千勝までおおむねテフラ²、そして Ke-Sr と Ke-Hb はクッチャロカルデラ起源のそれぞれ水蒸気ブリニアントナイト clinohimelite テフラである。このほかに阿賀ミテフ (Aso-4) は全道的に認められ、Toya とともに本州のテフラ層年とこの地域の層年とを結びつけている。</p> <p>北海道では歴史・考古学的研究とつながりがあるテフラが少なくない。これまで埋没遺物・遺跡の時代を知るのに、テフラは主に指標層として取り上げられてきたが、テフラ噴火が自然環境へ及ぼした打撃の分析を通して人間社会への影響や人間の対応のしかたを知ることは、今後のテフラ研究に必要であろう。この場合、北海道では、17世紀半ばに相次いだ駒ヶ岳、有珠、櫛鹿の噴火がこの種の問題の研究に貴重な事例を提供している。各地の海成段丘と高成層の研究は、テフロクロノロジーの面から追求され、成果を挙げてきた。千勝平野など水流を受けた山地から流下する河川沿いにある河成段丘も、テフロクロノロジーを主な手段として研究され、気候変化と地形発達との関係について理解が進んだ^{3,5,10}。また氷期の日高山脈における複数回の氷河の進出とテフラとの関係についてもくわしく解明されてきた^{11,12}。</p> <p>北海道のテフラ研究は日本のテフロクロノロジーの草分けであり¹⁰、くわしい研究が進んできた。とくにテフラ堆積の設定は細かく、土壤で区切られるひとづづきのテフラ (1 噴火輪削單位) はもちろん、もとと細かいユニット (連続した同一岩相の部分) で分かれていることが多い。表は整理して示したのはそうしたユニットではなく、土壤の形成で区切られるひとづづきのテフラ累層を単位とする。北海道の更新世のテフラでは、土壤と細粒テフラ層との区別が容易でない場合がある。このことは経過時間そのものが短いためかもしれないが、そればかりでなく、植生の乏しい氷期の環境、したがって腐植などの形成が少ないことなどのためからかもしれない。</p> <p>文 獻</p> <p>1) Arai <i>et al.</i> (1986), 2) 重村 (1991), 3) 平川・小野 (1974), 4) 小野・平川 (1975), 5) 千勝園研 (1970), 6) 道上ほか (1931a), 7) 道上ほか (1933b), 8) 道上ほか (1935), 9) 道上ほか (1938), 10) 背木・新井 (2000), 11) 中村ほか (2000), 12) 吉崎ほか (2006a, b), 13) 田中ほか (2002), 14) 幸川・吉崎 (1999).</p> <p>3 日本地図の後期第四紀テフラ / 159</p>	<p>別添資料一 【女川】 対象地方相違による参考文献の相違</p>

自発電所 3 号炉 DB 基準適合性 比較表

赤字：設備、運用又は体制の相違（設計方針の相違）
青字：記載箇所又は記載内容の相違（記載方針の相違）
緑字：記載表現、設備名称の相違（実質的な相違なし）

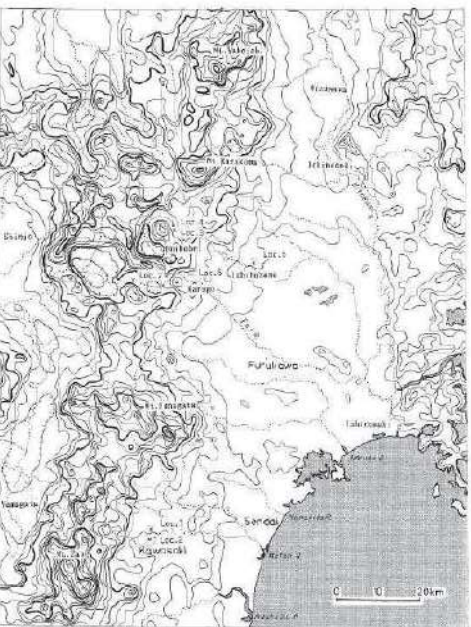
第6条 外部からの衝撃による損傷の防止（火山：別添資料1）

大飯発電所3／4号炉	女川原子力発電所2号炉	泊発電所3号炉	相違理由																																																																																																																																																																																																				
822 八木浩司・早田一哉 I.はじめに	<p>近年、後期更新世の示標テフラに関する見出が蓄積されてきた(町田ほか, 1985, 1987ほか多数)。広域テフラは、多くの放射年代資料に加えて、本邦沿岸部地域に観察する同地形面としての海浜面及びその構造層との層序関係をもとに、剥離界面を考慮する時間スケールで堆積断面が与えられている。このため、信頼性の高い噴出時期が明らかとなった広域テフラとその層序関係から年代年代不詳のヨーロッパ示標テフラについても、その噴出時期を推定することが可能となってきた。</p> <p>宮城県内においても底王、鳴子、鬼董、栗原の各火山群辺鄙で複数の後期更新世の示標テフラが認められてきた(表1)。それらの示標テフラの多くは、地形変遷史の要心のみならず、長野吉野川内で見出の相次ぐ前期巨石器の細胞学的開心から放射年代が得られている(松垣ほか, 1981; 市川, 1983, 1986, 1987; 馬木, 1983, 1986, 1987ほか多掲)。しかしそれらの年代値は、ばらつきが大きいことから、信頼性に不安があつた。このため宮城県に分布する示標テフラと広域テフラとの層序関係を明らかにし、それらが示標テフラの層序を全国的な層序層序の層序のみに組み込むことが必要と考えられていた。</p> <p>筆者らは、宮城県中部の仙台西部地域と北部の鬼董周辺地域(図1)においてマーカルな示標テフラを</p> <p>表1 宮城県中・北部の示標テフラとそれらの噴出年代</p> <table border="1"> <thead> <tr> <th colspan="2">宮城県中部</th> <th colspan="2">宮城県北部</th> </tr> <tr> <th>テフラ</th> <th>年代 値</th> <th>アフタ</th> <th>年代 値</th> </tr> </thead> <tbody> <tr> <td></td> <td></td> <td></td> <td></td> </tr> <tr> <td>財前輪石(Hij)</td> <td>9.7-10.7ka^a(宇井ほか, 1973)</td> <td></td> <td></td> </tr> <tr> <td>鳴子底岩上層(NK-U)</td> <td>26ka^a(庄子ほか, 1983)</td> <td></td> <td></td> </tr> <tr> <td>船久 Tn 大山(AT)</td> <td>21-22ka^a(町田・新井, 1980) 25ka^a(松木ほか, 1987)</td> <td>船久 Tn 大山 AT</td> <td>21-22ka^a(町田・新井, 1983) 25ka^a(松木ほか, 1987)</td> </tr> <tr> <td>川筋ヨリニヤ(Z-K)</td> <td>26-31ka^a(板垣ほか, 1981) ca.30ka^a(ASA1 et al., 1986)</td> <td></td> <td>26-31ka^a(町田ほか, 1983) 40.0ka, 41.5ka, 45.5ka, 43.9ka^a(山内ほか, 1980) 40.0ka, 42.5ka, 42.5ka, 41.5ka, 41.5ka, 35.5ka^a(町田, 1983) 36.5ka^a(中井, 1988)</td> </tr> <tr> <td>阿武4火山灰(Aso-4)</td> <td>70ka^a(町田ほか, 1986)</td> <td>阿武4火山灰 (Aso-4)</td> <td>70ka^a(町田ほか, 1985)</td> </tr> <tr> <td>東北層石(K-MD)</td> <td>64ka^a(町田, 1987) 54-45ka^a(佐藤, 1987) 40ka^a(馬木, 1987)</td> <td></td> <td>72.5ka, 72.5ka^a(町田, 1983) 41.4ka^a(OYAMA, 1983), 50.1ka^a(中井, 1988) 45.0ka^a(町田, 1986) 64.0ka^a(馬木, 1988)</td> </tr> <tr> <td></td> <td></td> <td></td> <td>東北第一層石 (On-Pm-1)</td> </tr> <tr> <td></td> <td></td> <td></td> <td>東北火山灰 (Toya)</td> </tr> <tr> <td></td> <td></td> <td></td> <td>一里塚石(IeP)</td> </tr> <tr> <td></td> <td></td> <td></td> <td>124.5ka, 122.4ka^a(町田, 1986) 136.5ka, 108.5ka^a(馬木, 1986, 1988)</td> </tr> </tbody> </table> <p>*: 14C 年代 **: TL 年代 ***: FT 年代 ****: 層序年代 *****: ESR 年代</p>	宮城県中部		宮城県北部		テフラ	年代 値	アフタ	年代 値					財前輪石(Hij)	9.7-10.7ka ^a (宇井ほか, 1973)			鳴子底岩上層(NK-U)	26ka ^a (庄子ほか, 1983)			船久 Tn 大山(AT)	21-22ka ^a (町田・新井, 1980) 25ka ^a (松木ほか, 1987)	船久 Tn 大山 AT	21-22ka ^a (町田・新井, 1983) 25ka ^a (松木ほか, 1987)	川筋ヨリニヤ(Z-K)	26-31ka ^a (板垣ほか, 1981) ca.30ka ^a (ASA1 et al., 1986)		26-31ka ^a (町田ほか, 1983) 40.0ka, 41.5ka, 45.5ka, 43.9ka ^a (山内ほか, 1980) 40.0ka, 42.5ka, 42.5ka, 41.5ka, 41.5ka, 35.5ka ^a (町田, 1983) 36.5ka ^a (中井, 1988)	阿武4火山灰(Aso-4)	70ka ^a (町田ほか, 1986)	阿武4火山灰 (Aso-4)	70ka ^a (町田ほか, 1985)	東北層石(K-MD)	64ka ^a (町田, 1987) 54-45ka ^a (佐藤, 1987) 40ka ^a (馬木, 1987)		72.5ka, 72.5ka ^a (町田, 1983) 41.4ka ^a (OYAMA, 1983), 50.1ka ^a (中井, 1988) 45.0ka ^a (町田, 1986) 64.0ka ^a (馬木, 1988)				東北第一層石 (On-Pm-1)				東北火山灰 (Toya)				一里塚石(IeP)				124.5ka, 122.4ka ^a (町田, 1986) 136.5ka, 108.5ka ^a (馬木, 1986, 1988)	<p>II. 渡島半島</p> <p>表3.5-1</p> <table border="1"> <thead> <tr> <th>火山・テフラ名</th> <th>記 号</th> <th>年代</th> <th>測定方法</th> <th>堆積様式と層相</th> <th>分布・体積</th> <th>A</th> <th>V</th> <th>注・[到社・他の名称]</th> </tr> </thead> <tbody> <tr> <td>駒ヶ岳 a^b</td> <td>Ko-a</td> <td>AD 3929</td> <td>H</td> <td>pfa, pfl</td> <td>ESE >25 km</td> <td></td> <td></td> <td></td> </tr> <tr> <td>駒ヶ岳 q^c</td> <td>Ko-q</td> <td>AD 3856</td> <td>H</td> <td>pfa, pfl</td> <td>ENE >10 km</td> <td></td> <td></td> <td>安政火口生成。</td> </tr> <tr> <td>駒ヶ岳 q^{d,e}</td> <td>Ko-q</td> <td>AD 1694</td> <td>H^{f,g}</td> <td>pfa, pfl</td> <td>ENE >30 km 図3.5-1</td> <td>4</td> <td>5?</td> <td>道東地塊での [Ma-a, Ma-q]^{h,i} の一部^j。</td> </tr> <tr> <td>駒ヶ岳 q^k</td> <td>Ko-q</td> <td>AD 1640</td> <td>H</td> <td>pfa, pfa, pfl</td> <td>NW >120 km 図3.5-1</td> <td>4</td> <td>5</td> <td>崩壊・堆積など発生後 ブリッケン噴火^l。ニードル多數。</td> </tr> <tr> <td>白瀬山古小波^m</td> <td>B-Tm</td> <td>10 世紀</td> <td>afa</td> <td></td> <td></td> <td></td> <td></td> <td>本文・表3.4-1, 2&2 参照。</td> </tr> <tr> <td>駒ヶ岳 pⁿ</td> <td>Ko-p</td> <td>>1.7</td> <td>C*</td> <td>pfa, pfa</td> <td></td> <td></td> <td>>4?</td> <td>輪郭不明。</td> </tr> <tr> <td>駒ヶ岳 p^o</td> <td>Ko-p</td> <td>6.5</td> <td>C^o</td> <td>pfa, pfl</td> <td>ESE >30 km</td> <td>3</td> <td></td> <td></td> </tr> <tr> <td>駒ヶ岳 p^q</td> <td>Ko-q</td> <td>6.5~7.0</td> <td>C^o</td> <td>pfa, pfl</td> <td>ENE >350 km 道東に及ぶ^r</td> <td>3</td> <td></td> <td>通常の花粉分析では当該 ミクテラ林、その後ブナ 林におおわれる。</td> </tr> <tr> <td>鶴巣山^s</td> <td>Ng</td> <td>10 (MIS 2 最 末期)</td> <td>C, ST</td> <td>ps-pfa, pfa, pff</td> <td>E >160 km 図3.5-4</td> <td>4</td> <td>5-6</td> <td>ユニット多致。[Ng-c~ Ng-d]^t。本テフラ層以 下では寒帯针林を示す花 粉^u。</td> </tr> <tr> <td>駒ヶ岳 p^v</td> <td>Ko-p</td> <td>17</td> <td>C*</td> <td>pfa, pfa, pfl</td> <td>ES, W, N >15 km >?</td> <td></td> <td></td> <td>[Ko-h]^w</td> </tr> <tr> <td>駒ヶ岳 p^x</td> <td>Ko-p</td> <td>>32</td> <td>C*</td> <td>pfa, pfl</td> <td>EN, ES, W, W >250 km 渡島半島西沖の日 本海にも分布^y</td> <td>4</td> <td>5?</td> <td>[鹿那]^z, [Ko-h]^w</td> </tr> <tr> <td>雄鹿子女神^{aa}</td> <td>Z-M</td> <td>>46</td> <td>ST, C (MIS 3 b^{aa})</td> <td>pfa, pfl</td> <td>E >50 km 図3.5-4</td> <td>4</td> <td>6</td> <td>[雄鹿子]^{aa}, [女神]^{bb}, [日高]^{cc}, [若古]^{dd}, イノ ギリムークン発達。</td> </tr> <tr> <td>河原^{ee}</td> <td>Aeo-4</td> <td>85~90</td> <td>afa</td> <td></td> <td></td> <td></td> <td></td> <td>本文・表3.1-5 参照。</td> </tr> <tr> <td>松前^{ff}</td> <td>M1</td> <td></td> <td>pfa</td> <td></td> <td></td> <td></td> <td></td> <td>輪郭不明。</td> </tr> <tr> <td>葛籠^{gg}</td> <td>Toya</td> <td>112~115</td> <td>pfa, pfa</td> <td></td> <td></td> <td></td> <td></td> <td>本文・表3.5-2 参照。</td> </tr> </tbody> </table> <p>1) 山田(1985), 2) 庄子ほか(1983), 3) 鹿那・石川(1980), 4) 雄鹿子女神(1986), 5) 雄鹿子女神(1989), 6) 鬼董(1972), 7) 横井ほか 町田ほか(1984), 10) 町田ほか(1980), 10) Aso et al. (1986), 12) 松木ほか(1987), 15) 関井(1981), 19) 関井・相澤(1988), 20) 関井 (1982), 21) 中村・甲斐(2002).</p>	火山・テフラ名	記 号	年代	測定方法	堆積様式と層相	分布・体積	A	V	注・[到社・他の名称]	駒ヶ岳 a ^b	Ko-a	AD 3929	H	pfa, pfl	ESE >25 km				駒ヶ岳 q ^c	Ko-q	AD 3856	H	pfa, pfl	ENE >10 km			安政火口生成。	駒ヶ岳 q ^{d,e}	Ko-q	AD 1694	H ^{f,g}	pfa, pfl	ENE >30 km 図3.5-1	4	5?	道東地塊での [Ma-a, Ma-q] ^{h,i} の一部 ^j 。	駒ヶ岳 q ^k	Ko-q	AD 1640	H	pfa, pfa, pfl	NW >120 km 図3.5-1	4	5	崩壊・堆積など発生後 ブリッケン噴火 ^l 。ニードル多數。	白瀬山古小波 ^m	B-Tm	10 世紀	afa					本文・表3.4-1, 2&2 参照。	駒ヶ岳 p ⁿ	Ko-p	>1.7	C*	pfa, pfa			>4?	輪郭不明。	駒ヶ岳 p ^o	Ko-p	6.5	C ^o	pfa, pfl	ESE >30 km	3			駒ヶ岳 p ^q	Ko-q	6.5~7.0	C ^o	pfa, pfl	ENE >350 km 道東に及ぶ ^r	3		通常の花粉分析では当該 ミクテラ林、その後ブナ 林におおわれる。	鶴巣山 ^s	Ng	10 (MIS 2 最 末期)	C, ST	ps-pfa, pfa, pff	E >160 km 図3.5-4	4	5-6	ユニット多致。[Ng-c~ Ng-d] ^t 。本テフラ層以 下では寒帯针林を示す花 粉 ^u 。	駒ヶ岳 p ^v	Ko-p	17	C*	pfa, pfa, pfl	ES, W, N >15 km >?			[Ko-h] ^w	駒ヶ岳 p ^x	Ko-p	>32	C*	pfa, pfl	EN, ES, W, W >250 km 渡島半島西沖の日 本海にも分布 ^y	4	5?	[鹿那] ^z , [Ko-h] ^w	雄鹿子女神 ^{aa}	Z-M	>46	ST, C (MIS 3 b ^{aa})	pfa, pfl	E >50 km 図3.5-4	4	6	[雄鹿子] ^{aa} , [女神] ^{bb} , [日高] ^{cc} , [若古] ^{dd} , イノ ギリムークン発達。	河原 ^{ee}	Aeo-4	85~90	afa					本文・表3.1-5 参照。	松前 ^{ff}	M1		pfa					輪郭不明。	葛籠 ^{gg}	Toya	112~115	pfa, pfa					本文・表3.5-2 参照。	
宮城県中部		宮城県北部																																																																																																																																																																																																					
テフラ	年代 値	アフタ	年代 値																																																																																																																																																																																																				
財前輪石(Hij)	9.7-10.7ka ^a (宇井ほか, 1973)																																																																																																																																																																																																						
鳴子底岩上層(NK-U)	26ka ^a (庄子ほか, 1983)																																																																																																																																																																																																						
船久 Tn 大山(AT)	21-22ka ^a (町田・新井, 1980) 25ka ^a (松木ほか, 1987)	船久 Tn 大山 AT	21-22ka ^a (町田・新井, 1983) 25ka ^a (松木ほか, 1987)																																																																																																																																																																																																				
川筋ヨリニヤ(Z-K)	26-31ka ^a (板垣ほか, 1981) ca.30ka ^a (ASA1 et al., 1986)		26-31ka ^a (町田ほか, 1983) 40.0ka, 41.5ka, 45.5ka, 43.9ka ^a (山内ほか, 1980) 40.0ka, 42.5ka, 42.5ka, 41.5ka, 41.5ka, 35.5ka ^a (町田, 1983) 36.5ka ^a (中井, 1988)																																																																																																																																																																																																				
阿武4火山灰(Aso-4)	70ka ^a (町田ほか, 1986)	阿武4火山灰 (Aso-4)	70ka ^a (町田ほか, 1985)																																																																																																																																																																																																				
東北層石(K-MD)	64ka ^a (町田, 1987) 54-45ka ^a (佐藤, 1987) 40ka ^a (馬木, 1987)		72.5ka, 72.5ka ^a (町田, 1983) 41.4ka ^a (OYAMA, 1983), 50.1ka ^a (中井, 1988) 45.0ka ^a (町田, 1986) 64.0ka ^a (馬木, 1988)																																																																																																																																																																																																				
			東北第一層石 (On-Pm-1)																																																																																																																																																																																																				
			東北火山灰 (Toya)																																																																																																																																																																																																				
			一里塚石(IeP)																																																																																																																																																																																																				
			124.5ka, 122.4ka ^a (町田, 1986) 136.5ka, 108.5ka ^a (馬木, 1986, 1988)																																																																																																																																																																																																				
火山・テフラ名	記 号	年代	測定方法	堆積様式と層相	分布・体積	A	V	注・[到社・他の名称]																																																																																																																																																																																															
駒ヶ岳 a ^b	Ko-a	AD 3929	H	pfa, pfl	ESE >25 km																																																																																																																																																																																																		
駒ヶ岳 q ^c	Ko-q	AD 3856	H	pfa, pfl	ENE >10 km			安政火口生成。																																																																																																																																																																																															
駒ヶ岳 q ^{d,e}	Ko-q	AD 1694	H ^{f,g}	pfa, pfl	ENE >30 km 図3.5-1	4	5?	道東地塊での [Ma-a, Ma-q] ^{h,i} の一部 ^j 。																																																																																																																																																																																															
駒ヶ岳 q ^k	Ko-q	AD 1640	H	pfa, pfa, pfl	NW >120 km 図3.5-1	4	5	崩壊・堆積など発生後 ブリッケン噴火 ^l 。ニードル多數。																																																																																																																																																																																															
白瀬山古小波 ^m	B-Tm	10 世紀	afa					本文・表3.4-1, 2&2 参照。																																																																																																																																																																																															
駒ヶ岳 p ⁿ	Ko-p	>1.7	C*	pfa, pfa			>4?	輪郭不明。																																																																																																																																																																																															
駒ヶ岳 p ^o	Ko-p	6.5	C ^o	pfa, pfl	ESE >30 km	3																																																																																																																																																																																																	
駒ヶ岳 p ^q	Ko-q	6.5~7.0	C ^o	pfa, pfl	ENE >350 km 道東に及ぶ ^r	3		通常の花粉分析では当該 ミクテラ林、その後ブナ 林におおわれる。																																																																																																																																																																																															
鶴巣山 ^s	Ng	10 (MIS 2 最 末期)	C, ST	ps-pfa, pfa, pff	E >160 km 図3.5-4	4	5-6	ユニット多致。[Ng-c~ Ng-d] ^t 。本テフラ層以 下では寒帯针林を示す花 粉 ^u 。																																																																																																																																																																																															
駒ヶ岳 p ^v	Ko-p	17	C*	pfa, pfa, pfl	ES, W, N >15 km >?			[Ko-h] ^w																																																																																																																																																																																															
駒ヶ岳 p ^x	Ko-p	>32	C*	pfa, pfl	EN, ES, W, W >250 km 渡島半島西沖の日 本海にも分布 ^y	4	5?	[鹿那] ^z , [Ko-h] ^w																																																																																																																																																																																															
雄鹿子女神 ^{aa}	Z-M	>46	ST, C (MIS 3 b ^{aa})	pfa, pfl	E >50 km 図3.5-4	4	6	[雄鹿子] ^{aa} , [女神] ^{bb} , [日高] ^{cc} , [若古] ^{dd} , イノ ギリムークン発達。																																																																																																																																																																																															
河原 ^{ee}	Aeo-4	85~90	afa					本文・表3.1-5 参照。																																																																																																																																																																																															
松前 ^{ff}	M1		pfa					輪郭不明。																																																																																																																																																																																															
葛籠 ^{gg}	Toya	112~115	pfa, pfa					本文・表3.5-2 参照。																																																																																																																																																																																															

泊発電所 3号炉 DB基準適合性 比較表

赤字：設備、運用又は体制の相違（設計方針の相違）
青字：記載箇所又は記載内容の相違（記載方針の相違）
緑字：記載表現、設備名称の相違（実質的な相違なし）

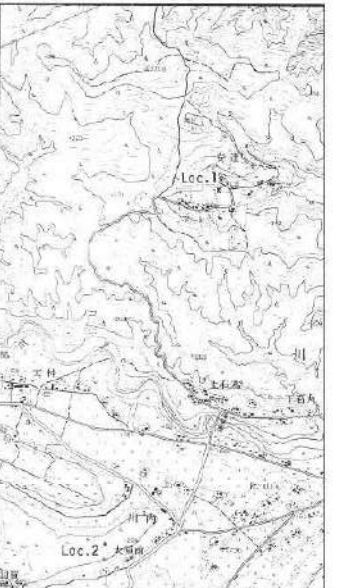
第6条 外部からの衝撃による損傷の防止（火山：別添資料1）

大飯発電所3／4号炉	女川原子力発電所2号炉	泊発電所3号炉	相違理由																																																																																																
	<p>宮城県中部および北部に分布する後期更新世山麓アフターカルデラの層位 873</p>  <p>図1 宮城県中・北部及びその周辺地域の地質図 2km以下の中谷切峰面図等高線距離は100m</p> <p>核立地層中に、従来報告のなかった4枚の広域テフラを発見した。小浴谷に生ずるそれら広域テフラの新北の相持とヨーロッパの標準テフラとの層位関係を報告する。次に広域テフラの層位からみた第四紀層面上の意義についても言及する。</p> <p>II. 宮城県中・北部における後期更新世の不規則テフラと並列年代</p> <p>宮城県中部の山谷付近においては、後期更新世の示標テフラとして、上位より川崎スコリア層、安島（あじま）層、石炭層が知られている（表1）。</p> <p>川崎スコリア層は、巣鴨火山起源の隕石した培養色火成砂岩である（板垣 1980）。その上下層中の¹⁴C</p>	<table border="1"> <thead> <tr> <th>記号</th> <th>主な鉱物</th> <th>火山ガラス タイプ</th> <th>opx %</th> <th>ho.cam %</th> <th>様式地・その他</th> </tr> </thead> <tbody> <tr> <td>Ko-a</td> <td>opx, cpx</td> <td>pm</td> <td>1,030-1,002 (1,710-1,715)</td> <td>1,709-1,714 (1,710-1,715)</td> <td>鹿角町本別</td> </tr> <tr> <td>Ko-c1</td> <td>opx, cpx</td> <td>pm</td> <td>1,530-1,503</td> <td>1,709-1,714</td> <td>同上</td> </tr> <tr> <td>Ko-e2</td> <td>opx, cpx</td> <td>pm</td> <td>1,501-1,495</td> <td>1,709-1,715</td> <td>同上</td> </tr> <tr> <td>Ko-d</td> <td>opx, cpx</td> <td>pm</td> <td>1,502-1,510</td> <td>1,710-1,714 (1,712)</td> <td>森町島崎</td> </tr> <tr> <td>3-7m</td> <td>af</td> <td>pm</td> <td>1,539-1,522</td> <td></td> <td>af 1,522-1,524, 砂原町</td> </tr> <tr> <td>Ko-e</td> <td>上部 opx, cpx 下部 ho, opx, cpx</td> <td>pm</td> <td>1,512-1,515 (1,709)</td> <td>1,707-1,712 (1,709)</td> <td>1,672-1,680 同上</td> </tr> <tr> <td>Ko-f</td> <td>opx, cpx</td> <td>pm</td> <td>1,510-1,520</td> <td>1,709-1,715</td> <td>鹿角町大岩</td> </tr> <tr> <td>Ko-g</td> <td>opx, cpx</td> <td>pm</td> <td>1,513-1,516</td> <td>1,707-1,710</td> <td>森町鳥崎</td> </tr> <tr> <td>Ng</td> <td>ho, opx</td> <td>pm</td> <td>1,533-1,508</td> <td>1,708-1,713 (1,711)</td> <td>1,670-1,675 森町石巻、paとofについての岩石記載、Ng-cから Ng-aへ鉱物組成と層序年が変化し、左の数値は最も大規模な Ng-a のもの。</td> </tr> <tr> <td>Ko-h</td> <td>opx, cpx</td> <td>pm（やや密實）1,515-1,520</td> <td>1,709-1,711</td> <td></td> <td>鹿角町大岩</td> </tr> <tr> <td>Ko-i</td> <td>opx, cpx</td> <td>pm (1,510)</td> <td>1,539-1,511 (1,708-1,711)</td> <td></td> <td>鹿角町瓦林川河口</td> </tr> <tr> <td>I-N</td> <td>上部 ho, cum, (opx); cl</td> <td></td> <td></td> <td>1,662-1,675 (cum 1,662-1,665; 1,370-1,375)</td> <td>戸井町小宏、上下のユニットで鉱物組成異なる。</td> </tr> <tr> <td>Abe-4</td> <td>(ho)</td> <td>tw</td> <td>1,507-1,510</td> <td>1,712-1,723 (1,687)</td> <td>1,670-1,680 同上 鹿島町安那川</td> </tr> <tr> <td>Mt</td> <td>ho, opx, cpx</td> <td></td> <td></td> <td>1,685-1,690 (1,686-1,688)</td> <td>松前町孔庭</td> </tr> <tr> <td>Toya</td> <td>pm</td> <td>1,491-1,495</td> <td>1,758-1,764</td> <td>1,674-1,684 鹿島町女郎川、慶万湖畔中ノ沢、主分合</td> <td>鹿島町女郎川、慶万湖畔中ノ沢、主分合</td> </tr> </tbody> </table> <p>（註）5) 山形ほか (1985), 6) 長谷川・猪木 (1990), 10) 鶴川 (1980), 11) 田川 (1961), 12) 多日井ほか (1980), 13) 幸川・小野 (1970), 14) (1992), 21) 吉川ほか (1997), 22) 吉本・平井 (1990), 23) 奥野ほか (1999), 24) 田中ほか (2002), 25) 関谷・秋牧 (1997), 26) 清津ほか (1998)</p>	記号	主な鉱物	火山ガラス タイプ	opx %	ho.cam %	様式地・その他	Ko-a	opx, cpx	pm	1,030-1,002 (1,710-1,715)	1,709-1,714 (1,710-1,715)	鹿角町本別	Ko-c1	opx, cpx	pm	1,530-1,503	1,709-1,714	同上	Ko-e2	opx, cpx	pm	1,501-1,495	1,709-1,715	同上	Ko-d	opx, cpx	pm	1,502-1,510	1,710-1,714 (1,712)	森町島崎	3-7m	af	pm	1,539-1,522		af 1,522-1,524, 砂原町	Ko-e	上部 opx, cpx 下部 ho, opx, cpx	pm	1,512-1,515 (1,709)	1,707-1,712 (1,709)	1,672-1,680 同上	Ko-f	opx, cpx	pm	1,510-1,520	1,709-1,715	鹿角町大岩	Ko-g	opx, cpx	pm	1,513-1,516	1,707-1,710	森町鳥崎	Ng	ho, opx	pm	1,533-1,508	1,708-1,713 (1,711)	1,670-1,675 森町石巻、paとofについての岩石記載、Ng-cから Ng-aへ鉱物組成と層序年が変化し、左の数値は最も大規模な Ng-a のもの。	Ko-h	opx, cpx	pm（やや密實）1,515-1,520	1,709-1,711		鹿角町大岩	Ko-i	opx, cpx	pm (1,510)	1,539-1,511 (1,708-1,711)		鹿角町瓦林川河口	I-N	上部 ho, cum, (opx); cl			1,662-1,675 (cum 1,662-1,665; 1,370-1,375)	戸井町小宏、上下のユニットで鉱物組成異なる。	Abe-4	(ho)	tw	1,507-1,510	1,712-1,723 (1,687)	1,670-1,680 同上 鹿島町安那川	Mt	ho, opx, cpx			1,685-1,690 (1,686-1,688)	松前町孔庭	Toya	pm	1,491-1,495	1,758-1,764	1,674-1,684 鹿島町女郎川、慶万湖畔中ノ沢、主分合	鹿島町女郎川、慶万湖畔中ノ沢、主分合	<p>日本各地の後期第四紀テフラ / 161</p>
記号	主な鉱物	火山ガラス タイプ	opx %	ho.cam %	様式地・その他																																																																																														
Ko-a	opx, cpx	pm	1,030-1,002 (1,710-1,715)	1,709-1,714 (1,710-1,715)	鹿角町本別																																																																																														
Ko-c1	opx, cpx	pm	1,530-1,503	1,709-1,714	同上																																																																																														
Ko-e2	opx, cpx	pm	1,501-1,495	1,709-1,715	同上																																																																																														
Ko-d	opx, cpx	pm	1,502-1,510	1,710-1,714 (1,712)	森町島崎																																																																																														
3-7m	af	pm	1,539-1,522		af 1,522-1,524, 砂原町																																																																																														
Ko-e	上部 opx, cpx 下部 ho, opx, cpx	pm	1,512-1,515 (1,709)	1,707-1,712 (1,709)	1,672-1,680 同上																																																																																														
Ko-f	opx, cpx	pm	1,510-1,520	1,709-1,715	鹿角町大岩																																																																																														
Ko-g	opx, cpx	pm	1,513-1,516	1,707-1,710	森町鳥崎																																																																																														
Ng	ho, opx	pm	1,533-1,508	1,708-1,713 (1,711)	1,670-1,675 森町石巻、paとofについての岩石記載、Ng-cから Ng-aへ鉱物組成と層序年が変化し、左の数値は最も大規模な Ng-a のもの。																																																																																														
Ko-h	opx, cpx	pm（やや密實）1,515-1,520	1,709-1,711		鹿角町大岩																																																																																														
Ko-i	opx, cpx	pm (1,510)	1,539-1,511 (1,708-1,711)		鹿角町瓦林川河口																																																																																														
I-N	上部 ho, cum, (opx); cl			1,662-1,675 (cum 1,662-1,665; 1,370-1,375)	戸井町小宏、上下のユニットで鉱物組成異なる。																																																																																														
Abe-4	(ho)	tw	1,507-1,510	1,712-1,723 (1,687)	1,670-1,680 同上 鹿島町安那川																																																																																														
Mt	ho, opx, cpx			1,685-1,690 (1,686-1,688)	松前町孔庭																																																																																														
Toya	pm	1,491-1,495	1,758-1,764	1,674-1,684 鹿島町女郎川、慶万湖畔中ノ沢、主分合	鹿島町女郎川、慶万湖畔中ノ沢、主分合																																																																																														

赤字：設備、運用又は体制の相違（設計方針の相違）
 青字：記載箇所又は記載内容の相違（記載方針の相違）
 緑字：記載表現、設備名称の相違（実質的な相違なし）

泊発電所 3号炉 DB基準適合性 比較表

第6条 外部からの衝撃による損傷の防止（火山：別添資料1）

大飯発電所3／4号炉	女川原子力発電所2号炉	泊発電所3号炉	相違理由																																																																																																																																																															
<p>874 八木音司・早田 敏</p> <p>年代が2万6千年前 B.P. および3万1千年 B.P. であることから（板垣ほか, 1981), 約3万年 B.P. の隕石年代が推定されている (ARAI et al., 1986)。</p> <p>愛島桂石層は、川崎町内に於ける火口付近に於ける安達火山から噴出した堆下桂石で、カミングトン隕石を含む (板垣, 1980, 監視, 1985)。愛島桂石層は、仙台付近の台谷段丘より上位の段丘を覆い、青森山脈において愛島桂石層下位の段丘から前期旧石器の出土が報告されている (深澤ほか, 1985)。その年代は、奥ルネネッセンス時代で6万4千年前 B.P. (古川, 1987), ESR 年代で5万4千年前 B.P. ~ 8万3千年前 B.P. (佐藤, 1987), ダイシヨン・トックク年代で8万年前 B.P. (奥澤, 1987) の既出年代が報告されているが (表1)。統一的見解はない。</p> <p>鳴子・鬼首周辺の宮城県北部においては、後期更新世の示標テフラとして上位より則原桂石層、鳴子雲泥上原桂石層、鳴子一柳桂石層、鳴子一尚坂テフラ層、北仄火・山伏層、一迫桂石層 (早田, 1984) が知られている (表1)。</p> <p>則原桂石層は、山形県桂川河谷地帯に於ける隕石層 (米地・菊池, 1966) で、¹⁴C 年代から約1万5千年前 B.P. の隕石とされている (宇井ほか, 1973)。</p> <p>鳴子雲泥上原桂石層は、鳴子火山海澗層の灰白色細粒砂岩層 (早田, 1989) で、¹⁴C 年代から約2万1千年 B.P. 以前に隕石としたとされてきた (宇井ほか, 1983)。</p> <p>鳴子・柳沢テフラ層と鳴子一尚坂テフラ層は、鳴子カルデラ盆地で火成堆積物および隕石下火山灰層・桂石層のユニットから構成される (早田, 1984)。火成堆積物の地盤面は江合川流域に広く谷地を形成する。馬場坂 A 塚跡において鳴子一柳沢テフラ層の上面に鳴子一柳沢テフラ層と鳴子一尚坂テフラ層に挟まれた層中に前現旧石器が出土している (東北歴史資源館・石跡文化部語会, 1986)。これを2つのテフラ層に対しても¹⁴C 年代測定を行ったところ、柳沢テフラ層で4万年前 B.P. ~ 6万3千年前 B.P. (川野, 1983, 萩水, 1983, 中井, 1988), 鳴子一尚坂テフラ層で4万1千年 B.P. ~</p>  <p>図2 宮城県中西部の広域テフラ層出発点 (Loc. 1, 2) と周辺の地形</p> <p>使用した地形図は、四十鈴 地形図秀行 1/25,000「雄物川橋」図版 (N.I.-54-21-7-2)。</p> <p>Loc. 1は、桑島桂石の発見と考えられている安達火山の中心付近に位置する。安達火山は、仙台付近の最高級堆積層である本朝金塊層 (中川ほか, 1960) の最も丘陵内に盛達した桂石丘である。</p> <p>Loc. 2は、川崎町北に差達する川内段丘 (中川ほか, 1960) 上に位置する。</p>	<p>874 八木音司・早田 敏</p> <p>年代が2万6千年前 B.P. および3万1千年 B.P. であることから（板垣ほか, 1981), 約3万年 B.P. の隕石年代が推定されている (ARAI et al., 1986)。</p> <p>愛島桂石層は、川崎町内に於ける火口付近に於ける安達火山から噴出した堆下桂石で、カミングトン隕石を含む (板垣, 1980, 監視, 1985)。愛島桂石層は、仙台付近の台谷段丘より上位の段丘を覆い、青森山脈において愛島桂石層下位の段丘から前期旧石器の出土が報告されている (深澤ほか, 1985)。その年代は、奥ルネネッセンス時代で6万4千年前 B.P. (古川, 1987), ESR 年代で5万4千年前 B.P. ~ 8万3千年前 B.P. (佐藤, 1987), ダイシヨン・トックク年代で8万年前 B.P. (奥澤, 1987) の既出年代が報告されているが (表1)。統一的見解はない。</p> <p>鳴子・鬼首周辺の宮城県北部においては、後期更新世の示標テフラとして上位より則原桂石層、鳴子雲泥上原桂石層、鳴子一柳桂石層、鳴子一尚坂テフラ層、北仄火・山伏層、一迫桂石層 (早田, 1984) が知られている (表1)。</p> <p>則原桂石層は、山形県桂川河谷地帯に於ける隕石層 (米地・菊池, 1966) で、¹⁴C 年代から約1万5千年前 B.P. の隕石とされている (宇井ほか, 1973)。</p> <p>鳴子雲泥上原桂石層は、鳴子火山海澗層の灰白色細粒砂岩層 (早田, 1989) で、¹⁴C 年代から約2万1千年 B.P. 以前に隕石としたとされてきた (宇井ほか, 1983)。</p> <p>鳴子・柳沢テフラ層と鳴子一尚坂テフラ層は、鳴子カルデラ盆地で火成堆積物および隕石下火山灰層・桂石層のユニットから構成される (早田, 1984)。火成堆積物の地盤面は江合川流域に広く谷地を形成する。馬場坂 A 塚跡において鳴子一柳沢テフラ層の上面に鳴子一柳沢テフラ層と鳴子一尚坂テフラ層に挟まれた層中に前現旧石器が出土している (東北歴史資源館・石跡文化部語会, 1986)。</p> <p>これを2つのテフラ層に対しても¹⁴C 年代測定を行ったところ、柳沢テフラ層で4万年前 B.P. ~ 6万3千年前 B.P. (川野, 1983, 萩水, 1983, 中井, 1988), 鳴子一尚坂テフラ層で4万1千年 B.P. ~</p>	<p>[2] 洞爺・クッタラ</p> <p>表3.5-2</p> <table border="1"> <thead> <tr> <th>火山・テフラ名</th> <th>記 号</th> <th>年 代</th> <th>測定方法</th> <th>堆積様式と層相</th> <th>分布・体積</th> <th>A</th> <th>V</th> <th>注・[対比・他の名称]</th> </tr> </thead> <tbody> <tr> <td>有珠¹⁴C</td> <td>Us-b</td> <td>AD 1663</td> <td>pfa, afa, ps afa (vitric)</td> <td>E(S)>200 km 図3.5-1</td> <td>3~4 5</td> <td>5</td> <td>[Us-c]¹⁰</td> <td>本文・表3.4-3, 5-2 参照</td> </tr> <tr> <td>白頭山吉小牧</td> <td>B-Trn</td> <td>10世紀</td> <td>pfi</td> <td></td> <td></td> <td></td> <td></td> <td>[札内]¹⁰, 本文・図3.5-3 参照</td> </tr> <tr> <td>支笏湖¹⁴C</td> <td>Sph</td> <td>40~45</td> <td>pfa, pfs, ps</td> <td>E(N)>300 km 図3.4-4</td> <td>4 6</td> <td>6</td> <td>[Kpf-II-C Kpe-II]¹⁰, [Kt-b ± a]¹⁰, [Npf-II ± 1, Np]¹⁰, [Spfa-II]¹⁰ 蒜カルデラ形成</td> </tr> <tr> <td>クッタラ第1¹⁴C</td> <td>Kt-1</td> <td>≈45</td> <td>C¹⁴¹⁰</td> <td>pfa, pfs, ps</td> <td></td> <td></td> <td>表3.5-1</td> </tr> <tr> <td>越後女郎川</td> <td>Z-M</td> <td>≈45</td> <td>ST, C*</td> <td>pfs</td> <td>E(ES)>80 km 図3.4-3</td> <td>3~4~5</td> <td>[G-P]¹⁰</td> </tr> <tr> <td>中島長瀬¹⁴C</td> <td>Nj-Os</td> <td></td> <td>pfs</td> <td></td> <td></td> <td></td> <td></td> </tr> <tr> <td>クッタラ第2¹⁴C</td> <td>Kt-2</td> <td></td> <td>pfa</td> <td>NW>10 km 図3.5-4</td> <td>4 5</td> <td>5</td> <td>[Kt-c]¹⁰, [Nus-c]¹⁰, 稲原は西方震域¹⁰</td> </tr> <tr> <td>クッタラ竹浦¹⁴C</td> <td>(N.U-c)</td> <td></td> <td></td> <td></td> <td></td> <td></td> <td></td> </tr> <tr> <td>クッタラ-Tx</td> <td>Kt-Tx</td> <td></td> <td></td> <td>クッタラ火山外輪山山形成期の sfa¹⁴C¹⁰, [Rbs-II]¹⁰, [Rpf-a-1]¹⁰, [Kt-d]¹⁰, [Spfa-S]¹⁰</td> <td></td> <td></td> <td></td> </tr> <tr> <td>クッタラ第3¹⁴C</td> <td>Kt-3</td> <td>≥47~51 C¹⁴¹⁰</td> <td>pfa, afa, ps, pfs</td> <td>E(N)>150 km 図3.5-4</td> <td>4 6</td> <td>6</td> <td>[Kpf-II, Kta-I ± Kp-1]¹⁰, [Kt-f ± e]¹⁰, [Rpfa-II ± Rp-1]¹⁰, [Spfa-3 ± 1]¹⁰, これ以前のクッタラテフラの大半は現カルデラ源より北方から噴出。</td> </tr> <tr> <td>クッタラ早来¹⁴C</td> <td>Kt-Hy</td> <td></td> <td>pfa, ps, afa, pfs</td> <td>E>80 km</td> <td>3~4~4~5</td> <td></td> <td></td> </tr> <tr> <td>クッタラ第4¹⁴C</td> <td>Kt-4</td> <td></td> <td>pfa, ps, pfs</td> <td>E?</td> <td>3~4~5~6</td> <td>[Kpf-a-II]¹⁰, [Kt-h]¹⁰, Rbs-II ± Rp-1]¹⁰, RP-II]¹⁰, [OP-2]¹⁰, [Mpf-a-2a]¹⁰</td> </tr> <tr> <td>クッタラ第5¹⁴C</td> <td>Kt-5</td> <td></td> <td>pfa</td> <td>E?</td> <td>3~4~4~5</td> <td>[Kpf-a-I]¹⁰, [Mpf-a-2b]¹⁰</td> </tr> <tr> <td>クッタラ第6¹⁴C</td> <td>Kt-6</td> <td>75~85 ST MIS 5a</td> <td>pfa, ps, pfs</td> <td>ENE>200 km 図3.5-4</td> <td>4 6</td> <td>6</td> <td>[Kt-i]¹⁰, [Rpaf-II]¹⁰, [Kt-i ± 1]¹⁰, [Mpf-a-3]¹⁰, [Tm-1]¹⁰, [Tp-1]¹⁰</td> </tr> <tr> <td>クッタラ第7¹⁴C</td> <td>Kt-7</td> <td></td> <td>pfa, pfs</td> <td>E?</td> <td>3~4~6</td> <td>[Kt-j]¹⁰, [Kt-g]¹⁰, [Rpaf-III]¹⁰</td> </tr> <tr> <td>阿蘇4</td> <td>Aso-4</td> <td>85~90</td> <td>afa(vitric)</td> <td></td> <td></td> <td></td> <td>本文・表3.1 参照</td> </tr> <tr> <td>クッタラ第8¹⁴C</td> <td>Kt-8</td> <td></td> <td>pfa, afa, ps, pfs</td> <td>E?</td> <td>4 6</td> <td>[Rpaf-V]¹⁰, 石狩平野南部と遠東で [Nus-c] 上解釈していたものにあたり。</td> </tr> <tr> <td>洞爺¹⁴C</td> <td>Toya</td> <td>112~1150 ST, TL</td> <td>afa(pp), pfa, ps</td> <td>conc.>400 km pt は NW, W 80 km 図3.4-4</td> <td>5 7</td> <td>7</td> <td>本文参照, [Asfa2]¹⁰, [Kpf-a]¹⁰, [EPf]¹⁰, [HnzWA]¹⁰, [ビンク]¹⁰, [WT]¹⁰, [VP]¹⁰</td> </tr> <tr> <td>長流川¹⁴C</td> <td>Oar</td> <td>110~125 ST</td> <td>pfa, afa, pfs</td> <td></td> <td></td> <td></td> <td>上長流川 (餘鹿層, MIS 5e) 上に。</td> </tr> </tbody> </table>	火山・テフラ名	記 号	年 代	測定方法	堆積様式と層相	分布・体積	A	V	注・[対比・他の名称]	有珠 ¹⁴ C	Us-b	AD 1663	pfa, afa, ps afa (vitric)	E(S)>200 km 図3.5-1	3~4 5	5	[Us-c] ¹⁰	本文・表3.4-3, 5-2 参照	白頭山吉小牧	B-Trn	10世紀	pfi					[札内] ¹⁰ , 本文・図3.5-3 参照	支笏湖 ¹⁴ C	Sph	40~45	pfa, pfs, ps	E(N)>300 km 図3.4-4	4 6	6	[Kpf-II-C Kpe-II] ¹⁰ , [Kt-b ± a] ¹⁰ , [Npf-II ± 1, Np] ¹⁰ , [Spfa-II] ¹⁰ 蒜カルデラ形成	クッタラ第1 ¹⁴ C	Kt-1	≈45	C ¹⁴ ¹⁰	pfa, pfs, ps			表3.5-1	越後女郎川	Z-M	≈45	ST, C*	pfs	E(ES)>80 km 図3.4-3	3~4~5	[G-P] ¹⁰	中島長瀬 ¹⁴ C	Nj-Os		pfs					クッタラ第2 ¹⁴ C	Kt-2		pfa	NW>10 km 図3.5-4	4 5	5	[Kt-c] ¹⁰ , [Nus-c] ¹⁰ , 稲原は西方震域 ¹⁰	クッタラ竹浦 ¹⁴ C	(N.U-c)							クッタラ-Tx	Kt-Tx			クッタラ火山外輪山山形成期の sfa ¹⁴ C ¹⁰ , [Rbs-II] ¹⁰ , [Rpf-a-1] ¹⁰ , [Kt-d] ¹⁰ , [Spfa-S] ¹⁰				クッタラ第3 ¹⁴ C	Kt-3	≥47~51 C ¹⁴ ¹⁰	pfa, afa, ps, pfs	E(N)>150 km 図3.5-4	4 6	6	[Kpf-II, Kta-I ± Kp-1] ¹⁰ , [Kt-f ± e] ¹⁰ , [Rpfa-II ± Rp-1] ¹⁰ , [Spfa-3 ± 1] ¹⁰ , これ以前のクッタラテフラの大半は現カルデラ源より北方から噴出。	クッタラ早来 ¹⁴ C	Kt-Hy		pfa, ps, afa, pfs	E>80 km	3~4~4~5			クッタラ第4 ¹⁴ C	Kt-4		pfa, ps, pfs	E?	3~4~5~6	[Kpf-a-II] ¹⁰ , [Kt-h] ¹⁰ , Rbs-II ± Rp-1] ¹⁰ , RP-II] ¹⁰ , [OP-2] ¹⁰ , [Mpf-a-2a] ¹⁰	クッタラ第5 ¹⁴ C	Kt-5		pfa	E?	3~4~4~5	[Kpf-a-I] ¹⁰ , [Mpf-a-2b] ¹⁰	クッタラ第6 ¹⁴ C	Kt-6	75~85 ST MIS 5a	pfa, ps, pfs	ENE>200 km 図3.5-4	4 6	6	[Kt-i] ¹⁰ , [Rpaf-II] ¹⁰ , [Kt-i ± 1] ¹⁰ , [Mpf-a-3] ¹⁰ , [Tm-1] ¹⁰ , [Tp-1] ¹⁰	クッタラ第7 ¹⁴ C	Kt-7		pfa, pfs	E?	3~4~6	[Kt-j] ¹⁰ , [Kt-g] ¹⁰ , [Rpaf-III] ¹⁰	阿蘇4	Aso-4	85~90	afa(vitric)				本文・表3.1 参照	クッタラ第8 ¹⁴ C	Kt-8		pfa, afa, ps, pfs	E?	4 6	[Rpaf-V] ¹⁰ , 石狩平野南部と遠東で [Nus-c] 上解釈していたものにあたり。	洞爺 ¹⁴ C	Toya	112~1150 ST, TL	afa(pp), pfa, ps	conc.>400 km pt は NW, W 80 km 図3.4-4	5 7	7	本文参照, [Asfa2] ¹⁰ , [Kpf-a] ¹⁰ , [EPf] ¹⁰ , [HnzWA] ¹⁰ , [ビンク] ¹⁰ , [WT] ¹⁰ , [VP] ¹⁰	長流川 ¹⁴ C	Oar	110~125 ST	pfa, afa, pfs				上長流川 (餘鹿層, MIS 5e) 上に。	
火山・テフラ名	記 号	年 代	測定方法	堆積様式と層相	分布・体積	A	V	注・[対比・他の名称]																																																																																																																																																										
有珠 ¹⁴ C	Us-b	AD 1663	pfa, afa, ps afa (vitric)	E(S)>200 km 図3.5-1	3~4 5	5	[Us-c] ¹⁰	本文・表3.4-3, 5-2 参照																																																																																																																																																										
白頭山吉小牧	B-Trn	10世紀	pfi					[札内] ¹⁰ , 本文・図3.5-3 参照																																																																																																																																																										
支笏湖 ¹⁴ C	Sph	40~45	pfa, pfs, ps	E(N)>300 km 図3.4-4	4 6	6	[Kpf-II-C Kpe-II] ¹⁰ , [Kt-b ± a] ¹⁰ , [Npf-II ± 1, Np] ¹⁰ , [Spfa-II] ¹⁰ 蒜カルデラ形成																																																																																																																																																											
クッタラ第1 ¹⁴ C	Kt-1	≈45	C ¹⁴ ¹⁰	pfa, pfs, ps			表3.5-1																																																																																																																																																											
越後女郎川	Z-M	≈45	ST, C*	pfs	E(ES)>80 km 図3.4-3	3~4~5	[G-P] ¹⁰																																																																																																																																																											
中島長瀬 ¹⁴ C	Nj-Os		pfs																																																																																																																																																															
クッタラ第2 ¹⁴ C	Kt-2		pfa	NW>10 km 図3.5-4	4 5	5	[Kt-c] ¹⁰ , [Nus-c] ¹⁰ , 稲原は西方震域 ¹⁰																																																																																																																																																											
クッタラ竹浦 ¹⁴ C	(N.U-c)																																																																																																																																																																	
クッタラ-Tx	Kt-Tx			クッタラ火山外輪山山形成期の sfa ¹⁴ C ¹⁰ , [Rbs-II] ¹⁰ , [Rpf-a-1] ¹⁰ , [Kt-d] ¹⁰ , [Spfa-S] ¹⁰																																																																																																																																																														
クッタラ第3 ¹⁴ C	Kt-3	≥47~51 C ¹⁴ ¹⁰	pfa, afa, ps, pfs	E(N)>150 km 図3.5-4	4 6	6	[Kpf-II, Kta-I ± Kp-1] ¹⁰ , [Kt-f ± e] ¹⁰ , [Rpfa-II ± Rp-1] ¹⁰ , [Spfa-3 ± 1] ¹⁰ , これ以前のクッタラテフラの大半は現カルデラ源より北方から噴出。																																																																																																																																																											
クッタラ早来 ¹⁴ C	Kt-Hy		pfa, ps, afa, pfs	E>80 km	3~4~4~5																																																																																																																																																													
クッタラ第4 ¹⁴ C	Kt-4		pfa, ps, pfs	E?	3~4~5~6	[Kpf-a-II] ¹⁰ , [Kt-h] ¹⁰ , Rbs-II ± Rp-1] ¹⁰ , RP-II] ¹⁰ , [OP-2] ¹⁰ , [Mpf-a-2a] ¹⁰																																																																																																																																																												
クッタラ第5 ¹⁴ C	Kt-5		pfa	E?	3~4~4~5	[Kpf-a-I] ¹⁰ , [Mpf-a-2b] ¹⁰																																																																																																																																																												
クッタラ第6 ¹⁴ C	Kt-6	75~85 ST MIS 5a	pfa, ps, pfs	ENE>200 km 図3.5-4	4 6	6	[Kt-i] ¹⁰ , [Rpaf-II] ¹⁰ , [Kt-i ± 1] ¹⁰ , [Mpf-a-3] ¹⁰ , [Tm-1] ¹⁰ , [Tp-1] ¹⁰																																																																																																																																																											
クッタラ第7 ¹⁴ C	Kt-7		pfa, pfs	E?	3~4~6	[Kt-j] ¹⁰ , [Kt-g] ¹⁰ , [Rpaf-III] ¹⁰																																																																																																																																																												
阿蘇4	Aso-4	85~90	afa(vitric)				本文・表3.1 参照																																																																																																																																																											
クッタラ第8 ¹⁴ C	Kt-8		pfa, afa, ps, pfs	E?	4 6	[Rpaf-V] ¹⁰ , 石狩平野南部と遠東で [Nus-c] 上解釈していたものにあたり。																																																																																																																																																												
洞爺 ¹⁴ C	Toya	112~1150 ST, TL	afa(pp), pfa, ps	conc.>400 km pt は NW, W 80 km 図3.4-4	5 7	7	本文参照, [Asfa2] ¹⁰ , [Kpf-a] ¹⁰ , [EPf] ¹⁰ , [HnzWA] ¹⁰ , [ビンク] ¹⁰ , [WT] ¹⁰ , [VP] ¹⁰																																																																																																																																																											
長流川 ¹⁴ C	Oar	110~125 ST	pfa, afa, pfs				上長流川 (餘鹿層, MIS 5e) 上に。																																																																																																																																																											

自発電所 3 号炉 DB 基準適合性 比較表

赤字：設備、運用又は体制の相違（設計方針の相違）
青字：記載箇所又は記載内容の相違（記載方針の相違）
緑字：記載表現、設備名称の相違（実質的な相違なし）

第6条 外部からの衝撃による損傷の防止（火山：別添資料1）

第6条 外部からの衝撃による損傷の防止（火山：別添資料1）

大飯発電所3／4号炉

女川原子力発電所 2号炉

泊発電所 3号炉

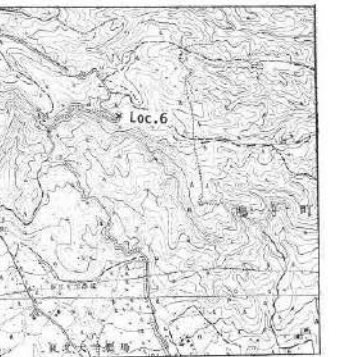
相違理由

大飯発電所3／4号炉	女川原子力発電所2号炉	泊発電所3号炉	相違理由																																																																																																																																																																																												
	<p>876</p> <p style="text-align: center;">八木治司・早田一憲</p> <p>図5 宮城県北部のテフラ柱状図</p> <p>山石の最大長径は8 mmである。Loc. 3-2は層厚4 cmの白色火山灰層、Okik-1-4は層厚8 cmの白色火山灰層で、ともに上部に二次堆積層を有する。この二次堆積層には周辺に広く分布する浅月テフラ層、花山火碎流堆積物(早田 1988)が混在する。</p> <p>Loc. 3から1.5km下流側のLoc. 4では、有機質な泥質地植物中に6枚のグラス質粒火山灰層(上位よりLoc. 2-1～Loc. 2-6)が認められる(図5)。Loc. 2-1は層厚22mmの淡黄灰色の無粒砂吹火山灰層で、本火山灰層を含む堆積物は、堆積移動プロックとして下位の岩層を被る。Loc. 2-2は層厚3mmの青灰色火山灰層である。Loc. 2-3は層厚10cmの白色火山灰層である。Loc. 2-4, Loc. 2-5およびLoc. 2-6はそれぞれ層厚1～2 cmの白色火山灰層である。</p> <p>鬼首から東へ約10km離れた一迫町十文字付近のLoc. 5では北様火成岩と一致砾石層に挟まれた褐色火山灰土中に粗粒ガラス質火山灰(Jm-1)が次第に認められる(図5、図6)。</p> <p>鳴子町・川瀬の東北大村原農場北(Loc. 6)では鳴子湖沿い上原テフラの下位に粗粒ガラス質火山灰(Kt-1)が認められる(図5、図7)。なお、鳴子湖沿い上原テフラの挟まれる褐色火山灰土は黒ボク土に覆われるが、その黒ボク土直下に、約1万年 B.P.に降下した財前層の降下層準があることが知られている(庄子ほか 1988)。</p> <p>鳴子の西7 kmの位置にある吉城・山形県境付近の最上町堀田(Loc. 7; 図5、図8)では、移沢火碎流</p> <p>図6 一迫町十文字における北様テフラ産出地点(Loc. 5)と西沢の地形</p> <p>使用した地図は、国土地籍図表示 1/25,000 「岩ヶ崎」区画(NJ-54-20-6-1)</p>	<p>④ 支笏・羊蹄・石狩・十勝</p> <p>表3.5-3</p> <table border="1"> <thead> <tr> <th>火山・テフラ名</th> <th>記号</th> <th>年代</th> <th>噴出方法</th> <th>堆積様式と層相</th> <th>分布・休積</th> <th>A</th> <th>V</th> <th>注・[別社・地の名]</th> </tr> </thead> <tbody> <tr> <td>樽前 a⁽³⁾</td> <td>Ta-a</td> <td>AD 1739</td> <td>H</td> <td>pfa, pfd, pfs</td> <td>EEN >200 km 図35-1</td> <td>4</td> <td>5</td> <td>遷東まで見られた[Mara-ao]あるいは[Mar-e-ni]⁽³⁾の一部を含む⁽³⁾。アイヌ文化層。</td> </tr> <tr> <td>樽前 b⁽³⁾</td> <td>Ta-b</td> <td>AD 1867</td> <td>H, A</td> <td>pfa, pfd</td> <td>E(N) >70 km 図35-1</td> <td>4</td> <td>5</td> <td>アイヌ文化層。</td> </tr> <tr> <td>白珠 b</td> <td>Us-b</td> <td>AD 1983</td> <td>H</td> <td>pfa, pfa</td> <td></td> <td></td> <td></td> <td>表35-2 参照。</td> </tr> <tr> <td>白頭山苦小牧⁽³⁾</td> <td>B-Tm</td> <td>10世紀</td> <td></td> <td>pfa</td> <td></td> <td></td> <td></td> <td>本文・表3.4-4 16-2 参照。</td> </tr> <tr> <td>樽前 c⁽³⁾</td> <td>Ta-c</td> <td>2.5～3</td> <td>C*, A</td> <td>pfa, pfs</td> <td>E(N) >80 km 図35-2</td> <td>4</td> <td>5</td> <td></td> </tr> <tr> <td>樽前 d⁽³⁾</td> <td>Ta-d</td> <td>8～9</td> <td>C*</td> <td>pfa, pfa</td> <td>E >200 km 図35-2</td> <td>3-4</td> <td>5</td> <td></td> </tr> <tr> <td>恩羅 a⁽¹⁾</td> <td>En-a</td> <td>19～21</td> <td>C⁽⁴⁾, C⁽⁴⁾_{火成岩} (MS2)</td> <td>pfa</td> <td>E >200 km 図35-3</td> <td>4</td> <td>5</td> <td>[帶広火成岩]⁽³⁾・日高山地トタベ火成岩⁽³⁾。</td> </tr> <tr> <td>半島 (Pf)⁽²⁾</td> <td></td> <td></td> <td></td> <td></td> <td>およそ70km以降完新世まで数十層のsfa, pfaが噴出・堆積。一部に小pfaあり。ここでは遷移地まで連した3層(Yo-1,2,3)を示す。</td> <td></td> <td></td> <td></td> </tr> <tr> <td>羊蹄第1⁽³⁾⁽⁴⁾</td> <td>Yo-1</td> <td>>18</td> <td>C, O</td> <td>sfa, pfa, sfa</td> <td>E(N) >60 km 図35-3</td> <td>3</td> <td>4-5</td> <td>本層とその下位にある Yo-2層との間から幾 期旧火成岩。[Yo-PS-1]⁽³⁾</td> </tr> <tr> <td>始成 Ta⁽⁴⁾</td> <td>AT</td> <td>38～39</td> <td></td> <td>sfa (風化)</td> <td></td> <td></td> <td></td> <td>本文・表3.3-3 参照。</td> </tr> <tr> <td>羊蹄第2⁽³⁾⁽⁴⁾</td> <td>Yo-2</td> <td>25～27</td> <td>C*</td> <td>pfa + sfa互層</td> <td></td> <td>3</td> <td>4</td> <td>AT直下</td> </tr> <tr> <td>羊蹄第3⁽³⁾⁽⁴⁾</td> <td>Yo-3</td> <td>40</td> <td>ST</td> <td>pfa, sfa, pfa, sfa</td> <td>E >80 km 図35-3</td> <td>3</td> <td>4</td> <td>[Yo-Ps-3]⁽³⁾ インボリ ューション堆積。</td> </tr> <tr> <td>寒霞 b⁽³⁾</td> <td>n, En-b</td> <td>>22</td> <td>C</td> <td>pfa</td> <td>N >45 km 図35-3</td> <td>3-4</td> <td>4</td> <td>フッブリ火成岩源。</td> </tr> <tr> <td>支笏第1⁽³⁾⁽⁴⁾</td> <td>Spt1</td> <td>40～45</td> <td>C^{(4)c}</td> <td>pfa</td> <td>com. 50 km 図24-3</td> <td>3</td> <td>7</td> <td></td> </tr> <tr> <td></td> <td>Spta-1</td> <td></td> <td></td> <td>pfa</td> <td>ESE >700 km 図24-3</td> <td>5</td> <td>7</td> <td>本文参照。</td> </tr> <tr> <td>クリクラ第1</td> <td>Kt-1</td> <td>>43</td> <td>C</td> <td>pfa</td> <td></td> <td></td> <td></td> <td>[Spta-2]⁽³⁾ 従来支笏层と見らされていた。表 33-2 参照。インボリ ューション免差。</td> </tr> <tr> <td>越後女那川</td> <td>Z-M</td> <td>>45</td> <td></td> <td>pfa</td> <td></td> <td></td> <td></td> <td>[美台 I RP-J]⁽³⁾, [白高 Hpt]⁽³⁾, 表33-1 参照。 インボリューション免差。</td> </tr> <tr> <td>クリクラ第3</td> <td>Kt-3</td> <td></td> <td></td> <td>pfa (2 ムーフト)</td> <td></td> <td></td> <td></td> <td>[Spta-4]⁽³⁾, [Op-1]⁽³⁾, 表33-2 参照。インボリ ューション免差。</td> </tr> <tr> <td>支笏第1⁽³⁾</td> <td>Spta-5</td> <td></td> <td></td> <td>pfa</td> <td>E >200 km</td> <td>3-4</td> <td>5</td> <td>インボリューション免 差。</td> </tr> <tr> <td>支笏第4⁽³⁾</td> <td>Spta-6</td> <td></td> <td></td> <td>pfa</td> <td>E >200 km</td> <td>3-4</td> <td>5</td> <td>Spta-5と間にKi-Hy あり。インボリューシ ョン免差。</td> </tr> </tbody> </table> <p>164 / II 日本のテフラ名鑑</p>	火山・テフラ名	記号	年代	噴出方法	堆積様式と層相	分布・休積	A	V	注・[別社・地の名]	樽前 a ⁽³⁾	Ta-a	AD 1739	H	pfa, pfd, pfs	EEN >200 km 図35-1	4	5	遷東まで見られた[Mara-ao]あるいは[Mar-e-ni] ⁽³⁾ の一部を含む ⁽³⁾ 。アイヌ文化層。	樽前 b ⁽³⁾	Ta-b	AD 1867	H, A	pfa, pfd	E(N) >70 km 図35-1	4	5	アイヌ文化層。	白珠 b	Us-b	AD 1983	H	pfa, pfa				表35-2 参照。	白頭山苦小牧 ⁽³⁾	B-Tm	10世紀		pfa				本文・表3.4-4 16-2 参照。	樽前 c ⁽³⁾	Ta-c	2.5～3	C*, A	pfa, pfs	E(N) >80 km 図35-2	4	5		樽前 d ⁽³⁾	Ta-d	8～9	C*	pfa, pfa	E >200 km 図35-2	3-4	5		恩羅 a ⁽¹⁾	En-a	19～21	C ⁽⁴⁾ , C ⁽⁴⁾ _{火成岩} (MS2)	pfa	E >200 km 図35-3	4	5	[帶広火成岩] ⁽³⁾ ・日高山地トタベ火成岩 ⁽³⁾ 。	半島 (Pf) ⁽²⁾					およそ70km以降完新世まで数十層のsfa, pfaが噴出・堆積。一部に小pfaあり。ここでは遷移地まで連した3層(Yo-1,2,3)を示す。				羊蹄第1 ⁽³⁾⁽⁴⁾	Yo-1	>18	C, O	sfa, pfa, sfa	E(N) >60 km 図35-3	3	4-5	本層とその下位にある Yo-2層との間から幾 期旧火成岩。[Yo-PS-1] ⁽³⁾	始成 Ta ⁽⁴⁾	AT	38～39		sfa (風化)				本文・表3.3-3 参照。	羊蹄第2 ⁽³⁾⁽⁴⁾	Yo-2	25～27	C*	pfa + sfa互層		3	4	AT直下	羊蹄第3 ⁽³⁾⁽⁴⁾	Yo-3	40	ST	pfa, sfa, pfa, sfa	E >80 km 図35-3	3	4	[Yo-Ps-3] ⁽³⁾ インボリ ューション堆積。	寒霞 b ⁽³⁾	n, En-b	>22	C	pfa	N >45 km 図35-3	3-4	4	フッブリ火成岩源。	支笏第1 ⁽³⁾⁽⁴⁾	Spt1	40～45	C ^{(4)c}	pfa	com. 50 km 図24-3	3	7			Spta-1			pfa	ESE >700 km 図24-3	5	7	本文参照。	クリクラ第1	Kt-1	>43	C	pfa				[Spta-2] ⁽³⁾ 従来支笏层と見らされていた。表 33-2 参照。インボリ ューション免差。	越後女那川	Z-M	>45		pfa				[美台 I RP-J] ⁽³⁾ , [白高 Hpt] ⁽³⁾ , 表33-1 参照。 インボリューション免差。	クリクラ第3	Kt-3			pfa (2 ムーフト)				[Spta-4] ⁽³⁾ , [Op-1] ⁽³⁾ , 表33-2 参照。インボリ ューション免差。	支笏第1 ⁽³⁾	Spta-5			pfa	E >200 km	3-4	5	インボリューション免 差。	支笏第4 ⁽³⁾	Spta-6			pfa	E >200 km	3-4	5	Spta-5と間にKi-Hy あり。インボリューシ ョン免差。
火山・テフラ名	記号	年代	噴出方法	堆積様式と層相	分布・休積	A	V	注・[別社・地の名]																																																																																																																																																																																							
樽前 a ⁽³⁾	Ta-a	AD 1739	H	pfa, pfd, pfs	EEN >200 km 図35-1	4	5	遷東まで見られた[Mara-ao]あるいは[Mar-e-ni] ⁽³⁾ の一部を含む ⁽³⁾ 。アイヌ文化層。																																																																																																																																																																																							
樽前 b ⁽³⁾	Ta-b	AD 1867	H, A	pfa, pfd	E(N) >70 km 図35-1	4	5	アイヌ文化層。																																																																																																																																																																																							
白珠 b	Us-b	AD 1983	H	pfa, pfa				表35-2 参照。																																																																																																																																																																																							
白頭山苦小牧 ⁽³⁾	B-Tm	10世紀		pfa				本文・表3.4-4 16-2 参照。																																																																																																																																																																																							
樽前 c ⁽³⁾	Ta-c	2.5～3	C*, A	pfa, pfs	E(N) >80 km 図35-2	4	5																																																																																																																																																																																								
樽前 d ⁽³⁾	Ta-d	8～9	C*	pfa, pfa	E >200 km 図35-2	3-4	5																																																																																																																																																																																								
恩羅 a ⁽¹⁾	En-a	19～21	C ⁽⁴⁾ , C ⁽⁴⁾ _{火成岩} (MS2)	pfa	E >200 km 図35-3	4	5	[帶広火成岩] ⁽³⁾ ・日高山地トタベ火成岩 ⁽³⁾ 。																																																																																																																																																																																							
半島 (Pf) ⁽²⁾					およそ70km以降完新世まで数十層のsfa, pfaが噴出・堆積。一部に小pfaあり。ここでは遷移地まで連した3層(Yo-1,2,3)を示す。																																																																																																																																																																																										
羊蹄第1 ⁽³⁾⁽⁴⁾	Yo-1	>18	C, O	sfa, pfa, sfa	E(N) >60 km 図35-3	3	4-5	本層とその下位にある Yo-2層との間から幾 期旧火成岩。[Yo-PS-1] ⁽³⁾																																																																																																																																																																																							
始成 Ta ⁽⁴⁾	AT	38～39		sfa (風化)				本文・表3.3-3 参照。																																																																																																																																																																																							
羊蹄第2 ⁽³⁾⁽⁴⁾	Yo-2	25～27	C*	pfa + sfa互層		3	4	AT直下																																																																																																																																																																																							
羊蹄第3 ⁽³⁾⁽⁴⁾	Yo-3	40	ST	pfa, sfa, pfa, sfa	E >80 km 図35-3	3	4	[Yo-Ps-3] ⁽³⁾ インボリ ューション堆積。																																																																																																																																																																																							
寒霞 b ⁽³⁾	n, En-b	>22	C	pfa	N >45 km 図35-3	3-4	4	フッブリ火成岩源。																																																																																																																																																																																							
支笏第1 ⁽³⁾⁽⁴⁾	Spt1	40～45	C ^{(4)c}	pfa	com. 50 km 図24-3	3	7																																																																																																																																																																																								
	Spta-1			pfa	ESE >700 km 図24-3	5	7	本文参照。																																																																																																																																																																																							
クリクラ第1	Kt-1	>43	C	pfa				[Spta-2] ⁽³⁾ 従来支笏层と見らされていた。表 33-2 参照。インボリ ューション免差。																																																																																																																																																																																							
越後女那川	Z-M	>45		pfa				[美台 I RP-J] ⁽³⁾ , [白高 Hpt] ⁽³⁾ , 表33-1 参照。 インボリューション免差。																																																																																																																																																																																							
クリクラ第3	Kt-3			pfa (2 ムーフト)				[Spta-4] ⁽³⁾ , [Op-1] ⁽³⁾ , 表33-2 参照。インボリ ューション免差。																																																																																																																																																																																							
支笏第1 ⁽³⁾	Spta-5			pfa	E >200 km	3-4	5	インボリューション免 差。																																																																																																																																																																																							
支笏第4 ⁽³⁾	Spta-6			pfa	E >200 km	3-4	5	Spta-5と間にKi-Hy あり。インボリューシ ョン免差。																																																																																																																																																																																							

赤字：設備、運用又は体制の相違（設計方針の相違）
 青字：記載箇所又は記載内容の相違（記載方針の相違）
 緑字：記載表現、設備名称の相違（実質的な相違なし）

泊発電所 3号炉 DB 基準適合性 比較表

第6条 外部からの衝撃による損傷の防止（火山：別添資料1）

大飯発電所3／4号炉	女川原子力発電所2号炉	泊発電所3号炉	相違理由																																																																																																																									
	<p>宮城県中部および北部に分布する後期更新世広域テフラとその層位 877</p> <p>流堆積物を不整合に覆う紅色層中に、層厚3cmの白色細粒ガラス質火山灰層（Sk-1）が認められる。</p> <p>IV. 細粒ガラス質火山灰の広域テフラへの対比</p> <p>成層テフラは、珪長質マグマに由来する巨大火降灰やブリュー式噴火などの多量の本質物質の噴火に起源を持つ。遠隔地にまで達する細粒の火山ガラスを主体とする（町田・新井、1983）。このため成層テフラの対比・同定に際して、火山ガラスの形態的特徴の記載、疎折率測定及び主成分分析は有効な手法となる。本報告ではこれらの手法を用いて、採取した細粒ガラス質火山灰の対比・同定を行った。なお、火山ガラスの選択率は新井大治の新井房大先生にお願いした。火山ガラスの主成分分析では、東北大守研究部青木研究室のニケルギー分光型EPMA（日立X500S・Keyes Quantex 7000）を使用させていただいた。このEPMAには、標準試料分析や多くの鉱物試料に対するトータル・ストライオメトリの点検から分析値の信頼性、再現性が確認されている（東北大学理学部岩盤教室監修『岩相学』）。</p> <p>主成分分析に供した火山ガラスは、火山灰を超音波洗浄器で水洗いし、風化物を除去したうえ乾燥0.038~0.126mmのものについて実体顕微鏡下で直線分離した。分離した火山ガラスは、エポキシ樹脂で固定・研磨・炭素被膜の蒸着の後、加速電圧20kV、ビーム電流2×10⁻¹⁴A、ビーム径約2μmまで試料につき10粒子ずつ分析した。1粒子あたりの計測時間は400~500秒である。</p> <p>上述の細粒ガラス質火山灰について行った岩相記載、疎折率測定、主成分分析の観察・分析結果を表1、表2に示した。主成分組成の各分析値は、10粒子の平均値ですべて海水に換算した後にその標準偏差とともに記してある。一部の試料を除いて以下の順位から MnOを算出した分析結果を示した。なぜなら、分析に供した大山ガラス中の MnOの含有率は低く（0.1%以下）、その差異は（山田・庄司、1983）も大きいことから MnOが対比の鍵となりに</p> <p>図7 鴨子町川底における広域テフラの産出地点 [Loc. 6] と周辺の地形 広用した地形図は、国土整備課発行 1/25,000「磐梯湖」図版 (NJ-54-20-4-1) および「岸段」図版 (NJ-54-20-4-2) Loc. 6は、小糸 (1936) の三面図面上に位置する。</p>  <p>図8 直城・山形県境、羽田における広域テフラの産出地点 (Loc. 7) と周辺の地形 広用した地形図は、国土整備課発行 1/25,000「鶴子」図版 (NJ-54-20-8-2) および「羽前赤崎」図版 (NJ-54-20-8-4)</p> 	<table border="1"> <thead> <tr> <th>記号</th> <th>主な鉱物</th> <th>火山ガラスタイプ</th> <th>Opx cum</th> <th>ho. cum</th> <th>換式地・その他</th> </tr> </thead> <tbody> <tr> <td>Ta-a</td> <td>opx, cpx</td> <td>pm</td> <td>1.497-1.510 (1.498-1.511)</td> <td>1.713-1.717 (1.713-1.716)</td> <td>千歳市美々</td> </tr> <tr> <td>Ta-b</td> <td>opx, cpx</td> <td>pm</td> <td>1.500-1.509</td> <td>1.712-1.718 (1.715)</td> <td>同上</td> </tr> <tr> <td>Us-b</td> <td>opx, cpx, ho; qt</td> <td>pm</td> <td>1.496±</td> <td></td> <td>門別町</td> </tr> <tr> <td>E-Tm</td> <td>af</td> <td>pm</td> <td>1.511-1.522</td> <td></td> <td>af 1.502-1.524 芳木牧村、港</td> </tr> <tr> <td>Ta-c</td> <td>opx, cpx, (ol)</td> <td>pm</td> <td>1.502-1.511</td> <td>1.708-1.718 (1.710-1.712)</td> <td>千歳市美々、興文化湖文化層には含まれる。</td> </tr> <tr> <td>Ta-d</td> <td>opx, cpx, (ol)</td> <td>pm</td> <td>1.493-1.507</td> <td>1.701-1.706</td> <td>同上。上下に興文化湖文化層。</td> </tr> <tr> <td>En-a</td> <td>opx, cpx</td> <td>pm</td> <td>1.507-1.509</td> <td>1.710-1.715 (1.713-1.716)</td> <td>同上。hoを含まない。</td> </tr> <tr> <td>Yo-1</td> <td>opx, cpx</td> <td></td> <td></td> <td>1.714-1.719</td> <td>京極町大富。山野試料、後島の多い火山ガラス。</td> </tr> <tr> <td>AT</td> <td>(opx)</td> <td>bw</td> <td>1.490-1.501</td> <td></td> <td>同上。山野試料</td> </tr> <tr> <td>Yo-2</td> <td>ho, cpx</td> <td>pm</td> <td>1.556-1.560</td> <td>1.703-1.704</td> <td>同上。山野試料</td> </tr> <tr> <td>Yo-3</td> <td>OPX, Cpx</td> <td>pm</td> <td>1.525-1.532</td> <td>1.702-1.707</td> <td>同上。山野試料</td> </tr> <tr> <td>n-En-b</td> <td>opx, cpx</td> <td>ora</td> <td>1.510-1.514</td> <td>1.711-1.714</td> <td>幕府市御所</td> </tr> <tr> <td>Sptf</td> <td>opx, ho, (cpx); qt</td> <td>pm, bw</td> <td>1.500-1.503</td> <td>1.730-1.731</td> <td>1.488-1.691 千歳市美々</td> </tr> <tr> <td>Spta-1</td> <td>opx, cpx, ho; qt</td> <td>pm</td> <td>1.501-1.505 (1.502-1.503)</td> <td>1.729-1.735</td> <td>同上</td> </tr> <tr> <td>Rt-1</td> <td>apx, cpx; qt</td> <td>pm</td> <td>1.502-1.504</td> <td>1.723-1.726</td> <td>早来新栄</td> </tr> <tr> <td>Z-M</td> <td>ho, opx, cpx, ho; qt</td> <td></td> <td></td> <td>1.719-1.724</td> <td>1.470-1.676 cum 1.661-1.694</td> <td>勝内町新栄、志津町東根</td> </tr> <tr> <td>Rt-3</td> <td>apx, cpx, ho</td> <td>pm</td> <td>1.509-1.513</td> <td>1.709-1.726</td> <td>早来町新栄</td> </tr> <tr> <td>Spta-2</td> <td></td> <td></td> <td></td> <td>1.715-1.719 (1.714-1.717)</td> <td>同上</td> </tr> <tr> <td>Spta-4</td> <td></td> <td></td> <td></td> <td>1.710-1.711 (1.711-1.715)</td> <td>同上</td> </tr> </tbody> </table>	記号	主な鉱物	火山ガラスタイプ	Opx cum	ho. cum	換式地・その他	Ta-a	opx, cpx	pm	1.497-1.510 (1.498-1.511)	1.713-1.717 (1.713-1.716)	千歳市美々	Ta-b	opx, cpx	pm	1.500-1.509	1.712-1.718 (1.715)	同上	Us-b	opx, cpx, ho; qt	pm	1.496±		門別町	E-Tm	af	pm	1.511-1.522		af 1.502-1.524 芳木牧村、港	Ta-c	opx, cpx, (ol)	pm	1.502-1.511	1.708-1.718 (1.710-1.712)	千歳市美々、興文化湖文化層には含まれる。	Ta-d	opx, cpx, (ol)	pm	1.493-1.507	1.701-1.706	同上。上下に興文化湖文化層。	En-a	opx, cpx	pm	1.507-1.509	1.710-1.715 (1.713-1.716)	同上。hoを含まない。	Yo-1	opx, cpx			1.714-1.719	京極町大富。山野試料、後島の多い火山ガラス。	AT	(opx)	bw	1.490-1.501		同上。山野試料	Yo-2	ho, cpx	pm	1.556-1.560	1.703-1.704	同上。山野試料	Yo-3	OPX, Cpx	pm	1.525-1.532	1.702-1.707	同上。山野試料	n-En-b	opx, cpx	ora	1.510-1.514	1.711-1.714	幕府市御所	Sptf	opx, ho, (cpx); qt	pm, bw	1.500-1.503	1.730-1.731	1.488-1.691 千歳市美々	Spta-1	opx, cpx, ho; qt	pm	1.501-1.505 (1.502-1.503)	1.729-1.735	同上	Rt-1	apx, cpx; qt	pm	1.502-1.504	1.723-1.726	早来新栄	Z-M	ho, opx, cpx, ho; qt			1.719-1.724	1.470-1.676 cum 1.661-1.694	勝内町新栄、志津町東根	Rt-3	apx, cpx, ho	pm	1.509-1.513	1.709-1.726	早来町新栄	Spta-2				1.715-1.719 (1.714-1.717)	同上	Spta-4				1.710-1.711 (1.711-1.715)	同上	
記号	主な鉱物	火山ガラスタイプ	Opx cum	ho. cum	換式地・その他																																																																																																																							
Ta-a	opx, cpx	pm	1.497-1.510 (1.498-1.511)	1.713-1.717 (1.713-1.716)	千歳市美々																																																																																																																							
Ta-b	opx, cpx	pm	1.500-1.509	1.712-1.718 (1.715)	同上																																																																																																																							
Us-b	opx, cpx, ho; qt	pm	1.496±		門別町																																																																																																																							
E-Tm	af	pm	1.511-1.522		af 1.502-1.524 芳木牧村、港																																																																																																																							
Ta-c	opx, cpx, (ol)	pm	1.502-1.511	1.708-1.718 (1.710-1.712)	千歳市美々、興文化湖文化層には含まれる。																																																																																																																							
Ta-d	opx, cpx, (ol)	pm	1.493-1.507	1.701-1.706	同上。上下に興文化湖文化層。																																																																																																																							
En-a	opx, cpx	pm	1.507-1.509	1.710-1.715 (1.713-1.716)	同上。hoを含まない。																																																																																																																							
Yo-1	opx, cpx			1.714-1.719	京極町大富。山野試料、後島の多い火山ガラス。																																																																																																																							
AT	(opx)	bw	1.490-1.501		同上。山野試料																																																																																																																							
Yo-2	ho, cpx	pm	1.556-1.560	1.703-1.704	同上。山野試料																																																																																																																							
Yo-3	OPX, Cpx	pm	1.525-1.532	1.702-1.707	同上。山野試料																																																																																																																							
n-En-b	opx, cpx	ora	1.510-1.514	1.711-1.714	幕府市御所																																																																																																																							
Sptf	opx, ho, (cpx); qt	pm, bw	1.500-1.503	1.730-1.731	1.488-1.691 千歳市美々																																																																																																																							
Spta-1	opx, cpx, ho; qt	pm	1.501-1.505 (1.502-1.503)	1.729-1.735	同上																																																																																																																							
Rt-1	apx, cpx; qt	pm	1.502-1.504	1.723-1.726	早来新栄																																																																																																																							
Z-M	ho, opx, cpx, ho; qt			1.719-1.724	1.470-1.676 cum 1.661-1.694	勝内町新栄、志津町東根																																																																																																																						
Rt-3	apx, cpx, ho	pm	1.509-1.513	1.709-1.726	早来町新栄																																																																																																																							
Spta-2				1.715-1.719 (1.714-1.717)	同上																																																																																																																							
Spta-4				1.710-1.711 (1.711-1.715)	同上																																																																																																																							

泊発電所 3号炉 DB 基準適合性 比較表

赤字：設備、運用又は体制の相違（設計方針の相違）
 青字：記載箇所又は記載内容の相違（記載方針の相違）
 緑字：記載表現、設備名称の相違（実質的な相違なし）

第6条 外部からの衝撃による損傷の防止（火山：別添資料1）

大飯発電所3／4号炉	女川原子力発電所2号炉	泊発電所3号炉	相違理由																																																																																																																																									
<p style="text-align: center;">878</p> <p style="text-align: center;">八木桂洞・平田 澄</p> <p style="text-align: center;">表 2 採取ガラス質火成岩の岩相記載</p> <table border="1" style="width: 100%; border-collapse: collapse; text-align: center;"> <thead> <tr> <th>露頭位置</th><th>テフラ</th><th>鉱物組成</th><th>吉山ガラスの特徴</th><th>屈折率</th></tr> </thead> <tbody> <tr> <td rowspan="2">中 部 部</td><td>Loc. 1 (川内町安達)</td><td>Kw-1</td><td>vitric (ho, m, opx)</td><td>bw 合有色ガラス</td><td>gl: 1.507~1.510</td></tr> <tr> <td>Loc. 2 (川内町川内)</td><td>Kw-2</td><td>vitric</td><td>bw>pm</td><td>gl: 1.499~1.501</td></tr> <tr> <td rowspan="10">北 部</td><td>Loc. 3 (前子町丸音)</td><td>Oak-1 Oak-2 Oak-3 Oak-4</td><td>vitric (ho, opa, au) vitric (opa) vitric (bi> ho, opa)</td><td>bw 合有色ガラス pm pm</td><td>gl: 1.500~1.512 gl: 1.500~1.502 gl: 1.500~1.503</td></tr> <tr> <td>Loc. 4 (前子町丸音)</td><td>Oak-2-1 Oak-2-2 Oak-2-3 Oak-2-4 Oak-2-5 Oak-2-6</td><td>vitric (oox, ho, bi) vitric (bi> ho, opx)</td><td>pm pm<bw</td><td>gl: 1.502~1.505 gl: 1.500~1.503</td></tr> <tr> <td>Loc. 5 (一通町十文字)</td><td>Jia-1</td><td>vitric (ops, bi)</td><td>pm</td><td>gl: 1.502~1.504</td></tr> <tr> <td>Loc. 6 (前子町川根)</td><td>Kwi-1</td><td>vitric (ops, au, m)</td><td>bw>pm</td><td>gl: 1.499~1.501 (1.500)</td></tr> <tr> <td>Loc. 7 (前子町原口)</td><td>Sk-1</td><td>vitric</td><td>bw>pm</td><td>gl: 1.499~1.501 (1.500)</td></tr> <tr> <td></td><td></td><td></td><td></td><td></td></tr> <tr> <td></td><td></td><td></td><td></td><td></td></tr> <tr> <td></td><td></td><td></td><td></td><td></td></tr> <tr> <td></td><td></td><td></td><td></td><td></td></tr> <tr> <td></td><td></td><td></td><td></td><td></td></tr> </tbody> </table> <p>くいからである。さらに、ニキルギーが被災 RPMA の特性として、含水率が 0.1% 以下と低い成分について複数の高い測定には計測時間を使つて必要があり、限られた分析装置使用時間内での効率を考慮したからである。</p> <p>これらの粗粒ガラス質火成岩を対比するため、宮城県中・北部の示差テフラおよび後期更新世の広域テフラの岩相記載と主成分組成を表に示した（表 4, 5, 6, 7）。テフラの岩相記載は、新井・町田（1980）、町田ほか（1984）、町田（1986）、Arai <i>et al.</i>（1988）に従つた。主成分組成は彼らのオリジナルなデータで、上記の方法で分析した。表に示した各テフラの主成分組成は、一部のものを除いてそれぞれ固有の値を示す（表 5, 7）。各成分とも組成が類似する鳴子・御前テフラ層と鳴子・荷坂テフラ層および御前・荷坂と支笏湖下段下-1 の 2 层についても、各テフラの鉱物組成や鉱物の屈折率を比較すれば同定可能である（表 4, 5）。このようにテフラの判定に際して、岩相と主成分組成を組み合わせることが有力な検討手法である（表 4, 5）。</p> <p>Kw-2, Kw-1, Sk-1 は、屈折率が 1.499~1.501 の薄いバブルウォール型火成岩ガラスからなる。主成分組成は SiO_2 が 57.5~78.0%, $\text{K}_2\text{O} + \text{Na}_2\text{O}$ が 7% 位と高く、TiO_2 が 0.09~0.11%, Al_2O_3 が 12.01~13.16% と低い。このためこれらの火成岩は殆ど In 火成岩（AT）に対比される。</p> <p>殆ど In 火成岩（AT）</p> <p>Kw-2, Kw-1, Sk-1 は、屈折率が 1.499~1.501 の薄いバブルウォール型火成岩ガラスからなる。主成分組成は SiO_2 が 57.5~78.0%, $\text{K}_2\text{O} + \text{Na}_2\text{O}$ が 7% 位と高く、TiO_2 が 0.09~0.11%, Al_2O_3 が 12.01~13.16% と低い。このためこれらの火成岩は殆ど In 火成岩（AT）に対比される。</p> <p>阿蘇 4 火成岩（Aso-4）</p> <p>Kw-1 および Oak-1-1 は、ともに有色のバブルウォール型火成岩ガラスを含み、火成岩ガラスの屈折率は</p>	露頭位置	テフラ	鉱物組成	吉山ガラスの特徴	屈折率	中 部 部	Loc. 1 (川内町安達)	Kw-1	vitric (ho, m, opx)	bw 合有色ガラス	gl: 1.507~1.510	Loc. 2 (川内町川内)	Kw-2	vitric	bw>pm	gl: 1.499~1.501	北 部	Loc. 3 (前子町丸音)	Oak-1 Oak-2 Oak-3 Oak-4	vitric (ho, opa, au) vitric (opa) vitric (bi> ho, opa)	bw 合有色ガラス pm pm	gl: 1.500~1.512 gl: 1.500~1.502 gl: 1.500~1.503	Loc. 4 (前子町丸音)	Oak-2-1 Oak-2-2 Oak-2-3 Oak-2-4 Oak-2-5 Oak-2-6	vitric (oox, ho, bi) vitric (bi> ho, opx)	pm pm<bw	gl: 1.502~1.505 gl: 1.500~1.503	Loc. 5 (一通町十文字)	Jia-1	vitric (ops, bi)	pm	gl: 1.502~1.504	Loc. 6 (前子町川根)	Kwi-1	vitric (ops, au, m)	bw>pm	gl: 1.499~1.501 (1.500)	Loc. 7 (前子町原口)	Sk-1	vitric	bw>pm	gl: 1.499~1.501 (1.500)																										<p style="text-align: center;">泊発電所 3号炉</p> <table border="1" style="width: 100%; border-collapse: collapse; text-align: center;"> <thead> <tr> <th>火山・テフラ名</th><th>記 号</th><th>年代</th><th>測定方法</th><th>堆積様式と層相</th><th>分布・体積</th><th>A V</th><th>注・[対比・他の名稱]</th></tr> </thead> <tbody> <tr> <td>支笏湖(?)^{14,15)}</td><td>S80</td><td>近一現火成岩 >60 (MIS 4 か)</td><td>st, pf (多段ユニット)</td><td>ENE? >150 km 図 35-4</td><td>2-1</td><td>6</td><td>[Safra]¹⁷⁾ 一連のテフラ。 [TBS]¹⁸⁾ 安平湖 II (砂礫層) 上にその上位、インゴ リュークシヤ登場。 新記載。閃石起源らしい。 インゴリュークシヤ發達。</td></tr> <tr> <td>尻別</td><td>Srb</td><td>70 (K+4)の上位</td><td>pfa, pff</td><td>尻別から、pfa: E>100 km</td><td></td><td></td><td>[Mppm-1]¹⁹⁾, [Yas-Ma]²⁰⁾, 新記載。閃石起源らしい。 インゴリュークシヤ發達。</td></tr> <tr> <td>クリクラ第 6</td><td>Kt-6</td><td>75~85</td><td>pfa</td><td></td><td></td><td></td><td>[Mppm-1]¹⁹⁾, [K-M]²¹⁾, [RP-NV]²²⁾, [Op-S]^{23),24)}, 表 3-5-2 参照。</td></tr> <tr> <td>門脇 4*</td><td>Aso-4</td><td>IS~90</td><td>ata</td><td></td><td></td><td></td><td>本文・表 3-1-5 参照。</td></tr> <tr> <td>原真 1*</td><td>Aso-1</td><td></td><td>ata</td><td></td><td></td><td></td><td>[EP-II]²⁵⁾, 陰流クリクラ。</td></tr> <tr> <td>利尻</td><td>Tera</td><td>112~115</td><td>ata</td><td></td><td></td><td></td><td>[Arafaz]²⁶⁾, [上札内 Kp- fa]²⁷⁾, 本文・表 3-5-2 参 照。</td></tr> <tr> <td>タッキヨ羽幌²⁸⁾</td><td>Kc-Hb</td><td>115~120</td><td>ata</td><td></td><td></td><td></td><td>[Arafaz]²⁶⁾, 本文・表 3-5- 5 参照。</td></tr> <tr> <td>原真 4*</td><td>Aso-4</td><td></td><td>ata</td><td></td><td></td><td></td><td>海底泥炭層の面上。拾 面不規。</td></tr> </tbody> </table> <p>1) 田口 (1988), D. 曹星 (1977), 3) 北海道大山火山全委員会 (1979), 4) 石川ほか (1989), 5) 岩屋・佐藤 (1980), 6) 町田ほか (1988), 7) 14) Yamagata (1989 MS), 15) 馬鹿田層 (1987), 16) 幸日井ほか (1988), 17) Arai <i>et al.</i> (1985), 18) 町田ほか (1985), 19) 町田ほか (1988), 20) 田口 (1994), 21) 朝日 (1994), 22) 朝日 (1994), 23) 朝日 (1994), 24) 朝日 (1994), 25) 朝日 (1994), 26) 朝日 (1994), 27) 朝日 (1994), 28) 朝日 (1994)</p>	火山・テフラ名	記 号	年代	測定方法	堆積様式と層相	分布・体積	A V	注・[対比・他の名稱]	支笏湖(?) ^{14,15)}	S80	近一現火成岩 >60 (MIS 4 か)	st, pf (多段ユニット)	ENE? >150 km 図 35-4	2-1	6	[Safra] ¹⁷⁾ 一連のテフラ。 [TBS] ¹⁸⁾ 安平湖 II (砂礫層) 上にその上位、インゴ リュークシヤ登場。 新記載。閃石起源らしい。 インゴリュークシヤ發達。	尻別	Srb	70 (K+4)の上位	pfa, pff	尻別から、pfa: E>100 km			[Mppm-1] ¹⁹⁾ , [Yas-Ma] ²⁰⁾ , 新記載。閃石起源らしい。 インゴリュークシヤ發達。	クリクラ第 6	Kt-6	75~85	pfa				[Mppm-1] ¹⁹⁾ , [K-M] ²¹⁾ , [RP-NV] ²²⁾ , [Op-S] ^{23),24)} , 表 3-5-2 参照。	門脇 4*	Aso-4	IS~90	ata				本文・表 3-1-5 参照。	原真 1*	Aso-1		ata				[EP-II] ²⁵⁾ , 陰流クリクラ。	利尻	Tera	112~115	ata				[Arafaz] ²⁶⁾ , [上札内 Kp- fa] ²⁷⁾ , 本文・表 3-5-2 参 照。	タッキヨ羽幌 ²⁸⁾	Kc-Hb	115~120	ata				[Arafaz] ²⁶⁾ , 本文・表 3-5- 5 参照。	原真 4*	Aso-4		ata				海底泥炭層の面上。拾 面不規。
露頭位置	テフラ	鉱物組成	吉山ガラスの特徴	屈折率																																																																																																																																								
中 部 部	Loc. 1 (川内町安達)	Kw-1	vitric (ho, m, opx)	bw 合有色ガラス	gl: 1.507~1.510																																																																																																																																							
	Loc. 2 (川内町川内)	Kw-2	vitric	bw>pm	gl: 1.499~1.501																																																																																																																																							
北 部	Loc. 3 (前子町丸音)	Oak-1 Oak-2 Oak-3 Oak-4	vitric (ho, opa, au) vitric (opa) vitric (bi> ho, opa)	bw 合有色ガラス pm pm	gl: 1.500~1.512 gl: 1.500~1.502 gl: 1.500~1.503																																																																																																																																							
	Loc. 4 (前子町丸音)	Oak-2-1 Oak-2-2 Oak-2-3 Oak-2-4 Oak-2-5 Oak-2-6	vitric (oox, ho, bi) vitric (bi> ho, opx)	pm pm<bw	gl: 1.502~1.505 gl: 1.500~1.503																																																																																																																																							
	Loc. 5 (一通町十文字)	Jia-1	vitric (ops, bi)	pm	gl: 1.502~1.504																																																																																																																																							
	Loc. 6 (前子町川根)	Kwi-1	vitric (ops, au, m)	bw>pm	gl: 1.499~1.501 (1.500)																																																																																																																																							
	Loc. 7 (前子町原口)	Sk-1	vitric	bw>pm	gl: 1.499~1.501 (1.500)																																																																																																																																							
火山・テフラ名	記 号	年代	測定方法	堆積様式と層相	分布・体積	A V	注・[対比・他の名稱]																																																																																																																																					
支笏湖(?) ^{14,15)}	S80	近一現火成岩 >60 (MIS 4 か)	st, pf (多段ユニット)	ENE? >150 km 図 35-4	2-1	6	[Safra] ¹⁷⁾ 一連のテフラ。 [TBS] ¹⁸⁾ 安平湖 II (砂礫層) 上にその上位、インゴ リュークシヤ登場。 新記載。閃石起源らしい。 インゴリュークシヤ發達。																																																																																																																																					
尻別	Srb	70 (K+4)の上位	pfa, pff	尻別から、pfa: E>100 km			[Mppm-1] ¹⁹⁾ , [Yas-Ma] ²⁰⁾ , 新記載。閃石起源らしい。 インゴリュークシヤ發達。																																																																																																																																					
クリクラ第 6	Kt-6	75~85	pfa				[Mppm-1] ¹⁹⁾ , [K-M] ²¹⁾ , [RP-NV] ²²⁾ , [Op-S] ^{23),24)} , 表 3-5-2 参照。																																																																																																																																					
門脇 4*	Aso-4	IS~90	ata				本文・表 3-1-5 参照。																																																																																																																																					
原真 1*	Aso-1		ata				[EP-II] ²⁵⁾ , 陰流クリクラ。																																																																																																																																					
利尻	Tera	112~115	ata				[Arafaz] ²⁶⁾ , [上札内 Kp- fa] ²⁷⁾ , 本文・表 3-5-2 参 照。																																																																																																																																					
タッキヨ羽幌 ²⁸⁾	Kc-Hb	115~120	ata				[Arafaz] ²⁶⁾ , 本文・表 3-5- 5 参照。																																																																																																																																					
原真 4*	Aso-4		ata				海底泥炭層の面上。拾 面不規。																																																																																																																																					

④ 道央・道北

表 3-2-4

火山・テフラ名	記 号	年代	測定方法	堆積様式と層相	分布・体積	A V	注・[対比・他の名稱]
利尻御嶽(群?) ^{14,15)}	Re-Ht	>10?	ST	ata		3?	5
利尻ウツコヌズ ^{14,15,16)}	Rs-Wn	(MIS 1 か) 直下に Spfa-1	pfa, sta (i=→↑)	E>90 km 図 35-5	3-4	5	利尻火成岩新期（第1期） の活動で利尻御嶽または 沖合から噴出した pfa。 インゴリュークシヤの pfa。
然別(群)	Spfa-1	の上下に然別 1,2 (Spfa-1,2)	という 2 層の pfa が十勝平野北端に分布 ²⁹⁾ 、分布軸は E 方向。				
大雪御嶽系 ^{4,12,13)}	Ds-Ohs	>30	C ¹⁰⁾	pfa, pf (i=→↑)	N 20 km, E (N) 140 km?		[震源地] ^{4,12)} の一部。[北 海東] ¹²⁾ .
支笏第 1	Spfa-1	40~45	pfa				本文・表 3-2 参照。
阿蘇 4*	Aso-4	IS~90	ata (vitrice)				本文・表 3-1-5 参照。
利尻完層(群?) ¹⁴⁾	Rs-Ks	Aso-4 の下位に 2 層、上位に 1 層	pfa, sta	ENE			Spfa-1 の下位。
利尻アチャ ^{4,12,13)}	Rs-Ae	E-Et の上位	pfa		3?	5	サロソツ低位海成段丘上 同上
タッキヨ羽幌	Kc-Hb		ata				

1) 夏枝グループほか (1986), 2) 佐々木ほか (1977), 3) 小林香 (1985), 4) 三浦 (1991), 5) 十勝御嶽 (1972), 6) 土留ほか (1961), 7) 朝 (1965), 14) 三浦 (1993), 15) 伊藤ほか (2000).

166 / 11 日本のテフラ名鑑

赤字: 設備、運用又は体制の相違（設計方針の相違）
 青字: 記載箇所又は記載内容の相違（記載方針の相違）
 緑字: 記載表現、設備名称の相違（実質的な相違なし）

第6条 外部からの衝撃による損傷の防止（火山：別添資料1）

泊発電所3号炉 DB基準適合性 比較表

大飯発電所3／4号炉	女川原子力発電所2号炉	泊発電所3号炉	相違理由							
宮城県中磐谷より北側に分存する後期更新世広域テフラとその履歴										
表3 須賀火山灰（火山ガラス）の主成分組成										
テフラ	SiO ₂	TiO ₂	Al ₂ O ₃	FeO	MnO	MgO	CaO	K ₂ O	Na ₂ O	Total
Kw-1 M	72.70	0.35	15.62	1.44	0.04	0.54	1.09	4.76	3.45	100.00
SD	0.22	0.02	0.17	0.01	0.01	0.03	0.03	0.34	0.32	
Kw-2 M	77.27	0.09	12.87	1.05	0.47	1.09	3.42	3.75	100.00
SD	0.41	0.01	0.12	0.04	0.01	0.01	0.13	0.10	
Onk1-1 M	71.78	0.37	15.60	1.45	0.05	0.56	1.05	4.89	3.34	100.00
SD	0.38	0.02	0.14	0.03	0.02	0.02	0.01	0.09	0.18	
Onk1-2 M	78.36	0.08	13.17	1.12	0.31	1.04	3.36	3.96	100.00
SD	0.22	0.01	0.08	0.05	0.06	0.19	0.09	0.22	
Onk1-3 M	76.44	0.18	13.91	1.09	0.57	1.32	3.82	3.67	100.00
SD	0.30	0.02	0.44	0.06	0.12	0.10	0.14	0.54	
Onk1-4 M	78.36	0.07	13.43	0.79	0.28	0.40	2.97	3.79	99.99
SD	0.33	0.03	0.06	0.04	0.01	0.01	0.10	0.61	
Onk2-1 M	75.84	0.03	14.45	0.45	0.38	0.66	4.12	4.06	100.01
SD	0.39	0.02	0.12	0.04	0.05	0.03	0.08	0.96	
Onk2-2 M	76.14	0.12	14.32	0.89	0.46	1.42	3.66	3.98	99.99
SD	0.45	0.02	0.30	0.06	0.02	0.28	0.14	0.13	
Onk2-3 M	78.17	0.05	13.55	0.84	0.33	0.29	2.97	3.76	100.01
SD	0.50	0.01	0.08	0.04	0.05	0.02	0.11	0.47	
Onk2-4 M	70.17	0.55	15.49	3.83	1.41	3.74	4.02	3.84	100.00
SD	0.60	0.03	0.19	0.13	0.14	0.11	0.05	0.56	
Onk2-5 M	76.50	0.13	13.89	1.96	0.64	2.00	1.25	3.91	100.01
SD	0.45	0.02	0.29	0.63	0.29	0.36	0.08	0.20	
Onk2-6 M	76.78	0.13	14.03	1.70	0.50	2.05	1.17	3.61	99.99
SD	0.29	0.02	0.03	0.15	0.06	0.07	0.05	0.81	
Jm-1 M	75.54	0.20	13.95	1.11	0.57	1.36	3.78	3.29	100.00
SD	0.17	0.02	0.22	0.02	0.05	0.03	0.07	0.32	
Kwt-1 M	77.24	0.10	12.91	1.13	0.36	1.02	3.58	3.66	100.00
SD	0.26	0.02	0.11	0.08	0.04	0.03	0.09	0.28	
SK-1 M	78.26	0.11	13.12	1.22	0.03	0.34	1.12	3.32	2.47	99.99
SD	0.34	0.02	0.13	0.04	0.01	0.05	0.02	0.21	0.23	
1試料あたり10枚予め平均値と標準偏差 M: 平均値 SD: 標準偏差										
1.S09-1.512と非常に高い。主成分鉄柘鐵、SiO ₂ が72%前後と低い。これに対し TiO ₂ が 0.35~0.37%、Al ₂ O ₃ が 15.5~15.62%、K ₂ O+Na ₂ O が 9%以上と高い。特に K ₂ O が4.8%前後と分析式料中最も高い。以上の特徴から、これらは阿蘇4火山灰（Aso-4）に対比される。										
御岳第1巣石（Cn-Pml）										
Onk1-5, Onk2-2, Jm-1は、黒雲母、角閃石および鐵鉻斜長石型火山ガラスを含む火山灰である。火山ガラスの屈折率は1.502~1.504である。主成分組成は、SiO ₂ が75%強、MgO と CaO がこれでれ0.5%以上と1.4%弱と中間的な値を示すことに對し、Al ₂ O ₃ が1.4%前後、K ₂ O+Na ₂ O が7~7.5%前後と高めである。以上の特徴から、これらは御岳第1巣石（On-Pml）に対比される。										
須賀火山灰（Toya）										
Onk1-4, Onk2-3は、屈折率1.496~1.498の鐵鉻斜長石型火山ガラスを含む火山灰である。火山ガラスの屈折率は1.496~1.498である。主成分組成は、SiO ₂ が75%強、MgO と CaO がこれでれ0.5%以上と1.4%弱と中間的な値を示すことに對し、Al ₂ O ₃ が1.4%前後、K ₂ O+Na ₂ O が7~7.5%前後と高めである。以上の特徴から、これらは御岳第1巣石（On-Pml）に対比される。										
— 47 —										
赤字: 設備、運用又は体制の相違（設計方針の相違） 青字: 記載箇所又は記載内容の相違（記載方針の相違） 緑字: 記載表現、設備名称の相違（実質的な相違なし）										
赤字: 設備、運用又は体制の相違（設計方針の相違） 青字: 記載箇所又は記載内容の相違（記載方針の相違） 緑字: 記載表現、設備名称の相違（実質的な相違なし）										
赤字: 設備、運用又は体制の相違（設計方針の相違） 青字: 記載箇所又は記載内容の相違（記載方針の相違） 緑字: 記載表現、設備名称の相違（実質的な相違なし）										
赤字: 設備、運用又は体制の相違（設計方針の相違） 青字: 記載箇所又は記載内容の相違（記載方針の相違） 緑字: 記載表現、設備名称の相違（実質的な相違なし）										
赤字: 設備、運用又は体制の相違（設計方針の相違） 青字: 記載箇所又は記載内容の相違（記載方針の相違） 緑字: 記載表現、設備名称の相違（実質的な相違なし）										
赤字: 設備、運用又は体制の相違（設計方針の相違） 青字: 記載箇所又は記載内容の相違（記載方針の相違） 緑字: 記載表現、設備名称の相違（実質的な相違なし）										
赤字: 設備、運用又は体制の相違（設計方針の相違） 青字: 記載箇所又は記載内容の相違（記載方針の相違） 緑字: 記載表現、設備名称の相違（実質的な相違なし）										
赤字: 設備、運用又は体制の相違（設計方針の相違） 青字: 記載箇所又は記載内容の相違（記載方針の相違） 緑字: 記載表現、設備名称の相違（実質的な相違なし）										
赤字: 設備、運用又は体制の相違（設計方針の相違） 青字: 記載箇所又は記載内容の相違（記載方針の相違） 緑字: 記載表現、設備名称の相違（実質的な相違なし）										
赤字: 設備、運用又は体制の相違（設計方針の相違） 青字: 記載箇所又は記載内容の相違（記載方針の相違） 緑字: 記載表現、設備名称の相違（実質的な相違なし）										
赤字: 設備、運用又は体制の相違（設計方針の相違） 青字: 記載箇所又は記載内容の相違（記載方針の相違） 緑字: 記載表現、設備名称の相違（実質的な相違なし）										
赤字: 設備、運用又は体制の相違（設計方針の相違） 青字: 記載箇所又は記載内容の相違（記載方針の相違） 緑字: 記載表現、設備名称の相違（実質的な相違なし）										
赤字: 設備、運用又は体制の相違（設計方針の相違） 青字: 記載箇所又は記載内容の相違（記載方針の相違） 緑字: 記載表現、設備名称の相違（実質的な相違なし）										
赤字: 設備、運用又は体制の相違（設計方針の相違） 青字: 記載箇所又は記載内容の相違（記載方針の相違） 緑字: 記載表現、設備名称の相違（実質的な相違なし）										
赤字: 設備、運用又は体制の相違（設計方針の相違） 青字: 記載箇所又は記載内容の相違（記載方針の相違） 緑字: 記載表現、設備名称の相違（実質的な相違なし）										
赤字: 設備、運用又は体制の相違（設計方針の相違） 青字: 記載箇所又は記載内容の相違（記載方針の相違） 緑字: 記載表現、設備名称の相違（実質的な相違なし）										
赤字: 設備、運用又は体制の相違（設計方針の相違） 青字: 記載箇所又は記載内容の相違（記載方針の相違） 緑字: 記載表現、設備名称の相違（実質的な相違なし）										
赤字: 設備、運用又は体制の相違（設計方針の相違） 青字: 記載箇所又は記載内容の相違（記載方針の相違） 緑字: 記載表現、設備名称の相違（実質的な相違なし）										
赤字: 設備、運用又は体制の相違（設計方針の相違） 青字: 記載箇所又は記載内容の相違（記載方針の相違） 緑字: 記載表現、設備名称の相違（実質的な相違なし）										
赤字: 設備、運用又は体制の相違（設計方針の相違） 青字: 記載箇所又は記載内容の相違（記載方針の相違） 緑字: 記載表現、設備名称の相違（実質的な相違なし）										
赤字: 設備、運用又は体制の相違（設計方針の相違） 青字: 記載箇所又は記載内容の相違（記載方針の相違） 緑字: 記載表現、設備名称の相違（実質的な相違なし）										
赤字: 設備、運用又は体制の相違（設計方針の相違） 青字: 記載箇所又は記載内容の相違（記載方針の相違） 緑字: 記載表現、設備名称の相違（実質的な相違なし）										
赤字: 設備、運用又は体制の相違（設計方針の相違） 青字: 記載箇所又は記載内容の相違（記載方針の相違） 緑字: 記載表現、設備名称の相違（実質的な相違なし）										
赤字: 設備、運用又は体制の相違（設計方針の相違） 青字: 記載箇所又は記載内容の相違（記載方針の相違） 緑字: 記載表現、設備名称の相違（実質的な相違なし）										
赤字: 設備、運用又は体制の相違（設計方針の相違） 青字: 記載箇所又は記載内容の相違（記載方針の相違） 緑字: 記載表現、設備名称の相違（実質的な相違なし）										
赤字: 設備、運用又は体制の相違（設計方針の相違） 青字: 記載箇所又は記載内容の相違（記載方針の相違） 緑字: 記載表現、設備名称の相違（実質的な相違なし）										
赤字: 設備、運用又は体制の相違（設計方針の相違） 青字: 記載箇所又は記載内容の相違（記載方針の相違） 緑字: 記載表現、設備名称の相違（実質的な相違なし）										
赤字: 設備、運用又は体制の相違（設計方針の相違） 青字: 記載箇所又は記載内容の相違（記載方針の相違） 緑字: 記載表現、設備名称の相違（実質的な相違なし）										
赤字: 設備、運用又は体制の相違（設計方針の相違） 青字: 記載箇所又は記載内容の相違（記載方針の相違） 緑字: 記載表現、設備名称の相違（実質的な相違なし）										
赤字: 設備、運用又は体制の相違（設計方針の相違） 青字: 記載箇所又は記載内容の相違（記載方針の相違） 緑字: 記載表現、設備名称の相違（実質的な相違なし）										
赤字: 設備、運用又は体制の相違（設計方針の相違） 青字: 記載箇所又は記載内容の相違（記載方針の相違） 緑字: 記載表現、設備名称の相違（実質的な相違なし）										
赤字: 設備、運用又は体制の相違（設計方針の相違） 青字: 記載箇所又は記載内容の相違（記載方針の相違） 緑字: 記載表現、設備名称の相違（実質的な相違なし）										
赤字: 設備、運用又は体制の相違（設計方針の相違） 青字: 記載箇所又は記載内容の相違（記載方針の相違） 緑字: 記載表現、設備名称の相違（実質的な相違なし）										
赤字: 設備、運用又は体制の相違（設計方針の相違） 青字: 記載箇所又は記載内容の相違（記載方針の相違） 緑字: 記載表現、設備名称の相違（実質的な相違なし）										
赤字: 設備、運用又は体制の相違（設計方針の相違） 青字: 記載箇所又は記載内容の相違（記載方針の相違） 緑字: 記載表現、設備名称の相違（実質的な相違なし）										
赤字: 設備、運用又は体制の相違（設計方針の相違） 青字: 記載箇所又は記載内容の相違（記載方針の相違） 緑字: 記載表現、設備名称の相違（実質的な相違なし）										
赤字: 設備、運用又は体制の相違（設計方針の相違） 青字: 記載箇所又は記載内容の相違（記載方針の相違） 緑字: 記載表現、設備名称の相違（実質的な相違なし）										
赤字: 設備、運用又は体制の相違（設計方針の相違） 青字: 記載箇所又は記載内容の相違（記載方針の相違） 緑字: 記載表現、設備名称の相違（実質的な相違なし）										
赤字: 設備、運用又は体制の相違（設計方針の相違） 青字: 記載箇所又は記載内容の相違（記載方針の相違） 緑字: 記載表現、設備名称の相違（実質的な相違なし）										
赤字: 設備、運用又は体制の相違（設計方針の相違） 青字: 記載箇所又は記載内容の相違（記載方針の相違） 緑字: 記載表現、設備名称の相違（実質的な相違なし）										
赤字: 設備、運用又は体制の相違（設計方針の相違） 青字: 記載箇所又は記載内容の相違（記載方針の相違） 緑字: 記載表現、設備名称の相違（実質的な相違なし）										
赤字: 設備、運用又は体制の相違（設計方針の相違） 青字: 記載箇所又は記載内容の相違（記載方針の相違） 緑字: 記載表現、設備名称の相違（実質的な相違なし）										
赤字: 設備、運用又は体制の相違（設計方針の相違） 青字: 記載箇所又は記載内容の相違（記載方針の相違） 緑字: 記載表現、設備名称の相違（実質的な相違なし）										
赤字: 設備、運用又は体制の相違（設計方針の相違） 青字: 記載箇所又は記載内容の相違（記載方針の相違） 緑字: 記載表現、設備名称の相違（実質的な相違なし）										
赤字: 設備、運用又は体制の相違（設計方針の相違） 青字: 記載箇所又は記載内容の相違（記載方針の相違） 緑字: 記載表現、設備名称の相違（実質的な相違なし）										
赤字: 設備、運用又は体制の相違（設計方針の相違） 青字: 記載箇所又は記載内容の相違（記載方針の相違） 緑字: 記載表現、設備名称の相違（実質的な相違なし）										
赤字: 設備、運用又は体制の相違（設計方針の相違） 青字: 記載箇所又は記載内容の相違（記載方針の相違） 緑字: 記載表現、設備名称の相違（実質的な相違なし）										
赤字: 設備、運用又は体制の相違（設計方針の相違） 青字: 記載箇所又は記載内容の相違（記載方針の相違） 緑字: 記載表現、設備名称の相違（実質的な相違なし										

泊発電所 3号炉 DB基準適合性 比較表

赤字：設備、運用又は体制の相違（設計方針の相違）
青字：記載箇所又は記載内容の相違（記載方針の相違）
緑字：記載表現、設備名称の相違（実質的な相違なし）

第6条 外部からの衝撃による損傷の防止（火山：別添資料1）

大飯発電所3／4号炉	女川原子力発電所2号炉	泊発電所3号炉	相違理由																																																																																																																									
<p style="text-align: center;">880</p> <p style="text-align: center;">八木圭司・早田 勲</p> <p style="text-align: center;">表4 宮城真中・北部の岩相テフラの層相図</p> <table border="1" style="width: 100%; border-collapse: collapse; text-align: center;"> <thead> <tr> <th>示標テフラ</th> <th>礦物組成</th> <th>火口ガラスの形態</th> <th>層相</th> </tr> </thead> <tbody> <tr> <td>川南スカリフ (2-K) 愛島砾石 (K-MD)</td> <td>opx>cpx cum : qt</td> <td>pma</td> <td>opx (γ) : 1.700-1.704 gl : 1.504-1.507 (1.505-1.506) cum (n) : 1.660-1.665</td> </tr> <tr> <td>鳴子面相-上原テフラ (NK-U)</td> <td>opx>cpx=mt</td> <td>pma</td> <td>gl : 1.432-1.500 opx (γ) : 1.711-1.715</td> </tr> <tr> <td>村折砾石 (Hj)</td> <td>opx>ho : qt</td> <td>pma</td> <td>gl : 1.429-1.501 opx (γ) : 1.712-1.714</td> </tr> <tr> <td>鳴子-鶴沢テフラ (N-Y)</td> <td>opx>ho, mt (bi, cpx) ; qt</td> <td>pma>bw</td> <td>ho (n) : 1.688-1.671 gl : 1.501-1.503 opx (γ) : 1.717-1.722 (1.719)</td> </tr> <tr> <td>鳴子-萬坂テフラ (N-N)</td> <td>opx>mt : qt</td> <td>pma</td> <td>gl : 1.500-1.502 (1.501) opx (γ) : 1.724-1.728</td> </tr> <tr> <td>北風火山灰 (Kd) -油野石 (IcP)</td> <td>por (mt>opx, cum) opx>mt</td> <td>pma</td> <td>gl : 1.499-1.502 opx (γ) : 1.728-1.733</td> </tr> </tbody> </table> <p style="text-align: center;">ARAI et al. (1986)による</p> <p style="text-align: center;">表5 宮城真中・北部の岩相テフラ（火山ガラス）主成分推移</p> <table border="1" style="width: 100%; border-collapse: collapse; text-align: center;"> <thead> <tr> <th>示標テフラ</th> <th>試料採取地</th> <th>SiO₂</th> <th>TiO₂</th> <th>Al₂O₃</th> <th>FeO</th> <th>MnO</th> <th>MgO</th> <th>CaO</th> <th>K₂O</th> <th>Na₂O</th> <th>Total</th> </tr> </thead> <tbody> <tr> <td>愛島砾石 (K-MD)</td> <td>川崎町安達</td> <td>M : 76.94 0.12 14.47 1.01</td> <td>SD : 0.89 0.02</td> <td>0.34 0.03</td> <td>0.06</td> <td>0.07</td> <td>0.04</td> <td>0.22</td> <td>1.79</td> <td>1.27</td> <td>3.88 100.00</td> </tr> <tr> <td>月折砾石 (Hj)</td> <td>宮崎町谷の原</td> <td>M : 77.79 0.16 12.76 1.05</td> <td>SD : 0.77 0.05</td> <td>0.38 0.01</td> <td>0.20</td> <td>0.11</td> <td>0.12</td> <td>0.85</td> <td>1.09</td> <td>3.10</td> <td>3.61 100.00</td> </tr> <tr> <td>鳴子-萬坂テフラ (NK-U)</td> <td>鳴子町上ノ原</td> <td>M : 77.98 0.22 12.28 1.22</td> <td>SD : 0.80 0.01</td> <td>0.42 0.04</td> <td>0.01</td> <td>0.01</td> <td>0.10</td> <td>0.13</td> <td>1.59</td> <td>1.47</td> <td>4.23 100.00</td> </tr> <tr> <td>鳴子-鶴沢テフラ (N-Y)</td> <td>鶴岡山町安原</td> <td>M : 78.11 0.17 12.98 1.28</td> <td>SD : 0.40 0.00</td> <td>0.41 0.07</td> <td>0.28</td> <td>0.05</td> <td>0.04</td> <td>0.19</td> <td>1.43</td> <td>1.52</td> <td>1.93 99.99</td> </tr> <tr> <td>鳴子-萬坂テフラ (N-N)</td> <td>岩出山町安原</td> <td>M : 78.01 0.12 12.93 1.29</td> <td>SD : 0.33 0.01</td> <td>0.45 0.02</td> <td>0.03</td> <td>0.03</td> <td>0.04</td> <td>0.32</td> <td>1.28</td> <td>1.88</td> <td>4.12 100.00</td> </tr> <tr> <td>北風火山灰 (Kd)</td> <td>一迫町十文字</td> <td>M : 77.91 0.07 13.37 0.61</td> <td>SD : 0.32 0.02</td> <td>0.14 0.03</td> <td>0.32</td> <td>0.79</td> <td>3.89</td> <td>3.43</td> <td>1.37</td> <td>0.61</td> <td>100.00</td> </tr> <tr> <td>-</td> <td>一迫町十文字</td> <td>M : 76.99 0.16 13.07 1.93</td> <td>SD : 0.41 0.02</td> <td>0.15 0.05</td> <td>0.53</td> <td>1.85</td> <td>1.21</td> <td>4.26</td> <td>1.93</td> <td>0.90</td> <td>100.00</td> </tr> </tbody> </table> <p>1試料あたり10粒子の平均値と標準偏差 M: 平均値 SD: 標準偏差</p> <p>ガラスを含む。主成分組成は、SiO₂が78%と高く、TiO₂が0.06%、MgOが0.2%、FeOとCaOが1%以下と他の火山灰に比べ低い。2.5%程度のK₂Oに比べNa₂Oが0.7%強と高い。以上の特徴からこれらは鶴岡火山灰 [Toya] に對比される。</p> <p>なお、Orik 1-2は火山巨石を含むことから鉱物が近いヨロカルクナテフラと予想された。火山ガラスの主成分組成では、SiO₂が78%と高く、K₂Oが2%以下と低いことから鳴子-鶴沢テフラ層あるいは鳴子-萬坂テフラ層に對比される。</p>	示標テフラ	礦物組成	火口ガラスの形態	層相	川南スカリフ (2-K) 愛島砾石 (K-MD)	opx>cpx cum : qt	pma	opx (γ) : 1.700-1.704 gl : 1.504-1.507 (1.505-1.506) cum (n) : 1.660-1.665	鳴子面相-上原テフラ (NK-U)	opx>cpx=mt	pma	gl : 1.432-1.500 opx (γ) : 1.711-1.715	村折砾石 (Hj)	opx>ho : qt	pma	gl : 1.429-1.501 opx (γ) : 1.712-1.714	鳴子-鶴沢テフラ (N-Y)	opx>ho, mt (bi, cpx) ; qt	pma>bw	ho (n) : 1.688-1.671 gl : 1.501-1.503 opx (γ) : 1.717-1.722 (1.719)	鳴子-萬坂テフラ (N-N)	opx>mt : qt	pma	gl : 1.500-1.502 (1.501) opx (γ) : 1.724-1.728	北風火山灰 (Kd) -油野石 (IcP)	por (mt>opx, cum) opx>mt	pma	gl : 1.499-1.502 opx (γ) : 1.728-1.733	示標テフラ	試料採取地	SiO ₂	TiO ₂	Al ₂ O ₃	FeO	MnO	MgO	CaO	K ₂ O	Na ₂ O	Total	愛島砾石 (K-MD)	川崎町安達	M : 76.94 0.12 14.47 1.01	SD : 0.89 0.02	0.34 0.03	0.06	0.07	0.04	0.22	1.79	1.27	3.88 100.00	月折砾石 (Hj)	宮崎町谷の原	M : 77.79 0.16 12.76 1.05	SD : 0.77 0.05	0.38 0.01	0.20	0.11	0.12	0.85	1.09	3.10	3.61 100.00	鳴子-萬坂テフラ (NK-U)	鳴子町上ノ原	M : 77.98 0.22 12.28 1.22	SD : 0.80 0.01	0.42 0.04	0.01	0.01	0.10	0.13	1.59	1.47	4.23 100.00	鳴子-鶴沢テフラ (N-Y)	鶴岡山町安原	M : 78.11 0.17 12.98 1.28	SD : 0.40 0.00	0.41 0.07	0.28	0.05	0.04	0.19	1.43	1.52	1.93 99.99	鳴子-萬坂テフラ (N-N)	岩出山町安原	M : 78.01 0.12 12.93 1.29	SD : 0.33 0.01	0.45 0.02	0.03	0.03	0.04	0.32	1.28	1.88	4.12 100.00	北風火山灰 (Kd)	一迫町十文字	M : 77.91 0.07 13.37 0.61	SD : 0.32 0.02	0.14 0.03	0.32	0.79	3.89	3.43	1.37	0.61	100.00	-	一迫町十文字	M : 76.99 0.16 13.07 1.93	SD : 0.41 0.02	0.15 0.05	0.53	1.85	1.21	4.26	1.93	0.90	100.00
示標テフラ	礦物組成	火口ガラスの形態	層相																																																																																																																									
川南スカリフ (2-K) 愛島砾石 (K-MD)	opx>cpx cum : qt	pma	opx (γ) : 1.700-1.704 gl : 1.504-1.507 (1.505-1.506) cum (n) : 1.660-1.665																																																																																																																									
鳴子面相-上原テフラ (NK-U)	opx>cpx=mt	pma	gl : 1.432-1.500 opx (γ) : 1.711-1.715																																																																																																																									
村折砾石 (Hj)	opx>ho : qt	pma	gl : 1.429-1.501 opx (γ) : 1.712-1.714																																																																																																																									
鳴子-鶴沢テフラ (N-Y)	opx>ho, mt (bi, cpx) ; qt	pma>bw	ho (n) : 1.688-1.671 gl : 1.501-1.503 opx (γ) : 1.717-1.722 (1.719)																																																																																																																									
鳴子-萬坂テフラ (N-N)	opx>mt : qt	pma	gl : 1.500-1.502 (1.501) opx (γ) : 1.724-1.728																																																																																																																									
北風火山灰 (Kd) -油野石 (IcP)	por (mt>opx, cum) opx>mt	pma	gl : 1.499-1.502 opx (γ) : 1.728-1.733																																																																																																																									
示標テフラ	試料採取地	SiO ₂	TiO ₂	Al ₂ O ₃	FeO	MnO	MgO	CaO	K ₂ O	Na ₂ O	Total																																																																																																																	
愛島砾石 (K-MD)	川崎町安達	M : 76.94 0.12 14.47 1.01	SD : 0.89 0.02	0.34 0.03	0.06	0.07	0.04	0.22	1.79	1.27	3.88 100.00																																																																																																																	
月折砾石 (Hj)	宮崎町谷の原	M : 77.79 0.16 12.76 1.05	SD : 0.77 0.05	0.38 0.01	0.20	0.11	0.12	0.85	1.09	3.10	3.61 100.00																																																																																																																	
鳴子-萬坂テフラ (NK-U)	鳴子町上ノ原	M : 77.98 0.22 12.28 1.22	SD : 0.80 0.01	0.42 0.04	0.01	0.01	0.10	0.13	1.59	1.47	4.23 100.00																																																																																																																	
鳴子-鶴沢テフラ (N-Y)	鶴岡山町安原	M : 78.11 0.17 12.98 1.28	SD : 0.40 0.00	0.41 0.07	0.28	0.05	0.04	0.19	1.43	1.52	1.93 99.99																																																																																																																	
鳴子-萬坂テフラ (N-N)	岩出山町安原	M : 78.01 0.12 12.93 1.29	SD : 0.33 0.01	0.45 0.02	0.03	0.03	0.04	0.32	1.28	1.88	4.12 100.00																																																																																																																	
北風火山灰 (Kd)	一迫町十文字	M : 77.91 0.07 13.37 0.61	SD : 0.32 0.02	0.14 0.03	0.32	0.79	3.89	3.43	1.37	0.61	100.00																																																																																																																	
-	一迫町十文字	M : 76.99 0.16 13.07 1.93	SD : 0.41 0.02	0.15 0.05	0.53	1.85	1.21	4.26	1.93	0.90	100.00																																																																																																																	
	柱囲み部は本資料における抜粋又は参照箇所を示す																																																																																																																											

泊発電所 3号炉 DB 基準適合性 比較表

赤字: 設備、運用又は体制の相違（設計方針の相違）
 青字: 記載箇所又は記載内容の相違（記載方針の相違）
 緑字: 記載表現、設備名称の相違（実質的な相違なし）

第6条 外部からの衝撃による損傷の防止（火山：別添資料1）

大飯発電所3／4号炉	女川原子力発電所2号炉	泊発電所3号炉	相違理由																																																																																																																								
	<p style="text-align: center;">宮城県中部および北端に分布する後期更新世火成テフラとその層位 表 6 宮城テフラの岩相記録</p> <table border="1" style="width: 100%; border-collapse: collapse; text-align: center;"> <thead> <tr> <th>広域テフラ</th> <th>鉱物組成</th> <th>火山ガラスの形態</th> <th>層位</th> </tr> </thead> <tbody> <tr> <td>十和田～奥山灰 (To-a)</td> <td>pl; opx; cpx</td> <td>pm > bw</td> <td>gl : 1.450-1.504 opx (<) : 1.705-1.738</td> </tr> <tr> <td>十和田～中津火成灰 (To-Cu)</td> <td>opx>cpx</td> <td>pm</td> <td>gl : 1.501-1.512 opx : 1.705-1.708 (1.707)</td> </tr> <tr> <td>奥森～アカホキ火成灰 (K-Ah)</td> <td>gl; opx, cpx, (ho, qt)</td> <td>bw>pm</td> <td>gl : 1.508-1.514 opx (<) : 1.709-1.712</td> </tr> <tr> <td>遠庭～8軒石 (En-a)</td> <td>opx, cpx</td> <td>pm</td> <td>gl : 1.496-1.500 opx : 1.710-1.715 (1.715)</td> </tr> <tr> <td>磐戸～Tn 火成灰 (AT)</td> <td>pl; op, opx, (ho, qu)</td> <td>bw>pm</td> <td>gl : 1.490-1.501 opx (<) : 1.728-1.734</td> </tr> <tr> <td>文忽降下層石 1 (Spf1)</td> <td>opx>cpx, ho (ol)</td> <td>pm</td> <td>gl : 1.501-1.505 opx : 1.725-1.735 (1.725-1.726)</td> </tr> <tr> <td>天山～曾吉勝石 (DKP)</td> <td>pl; ho, oox, bi</td> <td>pm</td> <td>opx (<) : 1.702-1.708</td> </tr> <tr> <td>阿蘇4火成灰 (Aso-4)</td> <td>pl; ho, oox, cpx</td> <td>bw>pm</td> <td>gl : 1.506-1.514 opx (<) : 1.709-1.701 ho (n) : 1.685-1.691</td> </tr> <tr> <td>鬼界～葛原火成灰 (K-Tz)</td> <td>pl, qt; opx, cpx</td> <td>bw>pm</td> <td>gl : 1.496-1.500 opx (<) : 1.705-1.709</td> </tr> <tr> <td>御岳第1移石 (Oo-Pm 1)</td> <td>ho, bi, (opx) (Rhyorite)</td> <td>pm</td> <td>gl : 1.501-1.503 opx (<) : 1.706-1.711 (1.708)</td> </tr> <tr> <td>阿多火成灰 (Ata)</td> <td>pl; opx, cpx</td> <td>bw>pm</td> <td>gl : 1.508-1.513 opx (<) : 1.704-1.706</td> </tr> <tr> <td>洞爺火成灰 (Toya)</td> <td>pl, qt; opx</td> <td>pm>bw</td> <td>gl : 1.494-1.497 opx (<) : 1.756-1.751</td> </tr> <tr> <td>阿蘇3火成灰 (Aso-3)</td> <td>pl, cpx, opx</td> <td>pm, bw</td> <td>gl : 1.501-1.518</td> </tr> </tbody> </table> <p>新井・町田 (1980), 町田ほか (1984), 町田 (1986) および ARAI et al. (1986) による</p> <p>坂テフラ層の可能性が考えられた。しかし Onk 1-2 は、角閃石を含まないことおよび斜方輝石の崩壊率から鳴子～舟坂テフラ層に対比された。Onk 2-1, Onk 2-4 に対比されるテフラは見いだせなかった。Onk 2-5, 6 は、化学組成からいざりも一過遷石層に一致するが、上位の Onk 2-5 は再構成物質と考えられる。</p> <p>V. 宮流域中・北部に認められる広域テフラの層位と第四紀後期年上の意義</p> <p>以上のように後期更新世の広域テフラは対比された各層位ガラス層火成灰について、その産出層位をまとめれば以下のようになる（図9）。</p> <p>磐戸～Tn 火成灰 (AT) は、宮城県中部で川崎スコリア層の上位に、同北端で鳴子湯沼～上原テフラ層の下位¹³⁾、鳴子～柳沢テフラ層の上位に挟まれる（図9）。</p> <p>阿蘇4火成灰 (Aso-4) は、宮城県中端で川崎スコリア層の下位、安長難右層の上位に挟まれ¹⁴⁾、同北端では鳴子～柳沢テフラ層の下位、鳴子～舟坂テフラ層の上位に認められる（図9）。鳴子～舟坂テフラ層の</p>	広域テフラ	鉱物組成	火山ガラスの形態	層位	十和田～奥山灰 (To-a)	pl; opx; cpx	pm > bw	gl : 1.450-1.504 opx (<) : 1.705-1.738	十和田～中津火成灰 (To-Cu)	opx>cpx	pm	gl : 1.501-1.512 opx : 1.705-1.708 (1.707)	奥森～アカホキ火成灰 (K-Ah)	gl; opx, cpx, (ho, qt)	bw>pm	gl : 1.508-1.514 opx (<) : 1.709-1.712	遠庭～8軒石 (En-a)	opx, cpx	pm	gl : 1.496-1.500 opx : 1.710-1.715 (1.715)	磐戸～Tn 火成灰 (AT)	pl; op, opx, (ho, qu)	bw>pm	gl : 1.490-1.501 opx (<) : 1.728-1.734	文忽降下層石 1 (Spf1)	opx>cpx, ho (ol)	pm	gl : 1.501-1.505 opx : 1.725-1.735 (1.725-1.726)	天山～曾吉勝石 (DKP)	pl; ho, oox, bi	pm	opx (<) : 1.702-1.708	阿蘇4火成灰 (Aso-4)	pl; ho, oox, cpx	bw>pm	gl : 1.506-1.514 opx (<) : 1.709-1.701 ho (n) : 1.685-1.691	鬼界～葛原火成灰 (K-Tz)	pl, qt; opx, cpx	bw>pm	gl : 1.496-1.500 opx (<) : 1.705-1.709	御岳第1移石 (Oo-Pm 1)	ho, bi, (opx) (Rhyorite)	pm	gl : 1.501-1.503 opx (<) : 1.706-1.711 (1.708)	阿多火成灰 (Ata)	pl; opx, cpx	bw>pm	gl : 1.508-1.513 opx (<) : 1.704-1.706	洞爺火成灰 (Toya)	pl, qt; opx	pm>bw	gl : 1.494-1.497 opx (<) : 1.756-1.751	阿蘇3火成灰 (Aso-3)	pl, cpx, opx	pm, bw	gl : 1.501-1.518	<table border="1" style="width: 100%; border-collapse: collapse; text-align: center;"> <thead> <tr> <th>品号</th> <th>主な鉱物</th> <th>火山ガラスタイプ</th> <th>opx (%)</th> <th>ho (%)</th> <th>模式地・その他</th> </tr> </thead> <tbody> <tr> <td>Spfa</td> <td>opx, cpx</td> <td></td> <td>1711-1.715</td> <td></td> <td>自走断谷川</td> </tr> <tr> <td>Spfa-7 -10</td> <td>opx, cpx</td> <td></td> <td>1713-1.718 (1.715-1.717)</td> <td></td> <td>早美新栄</td> </tr> <tr> <td>Sh</td> <td>ho, opx; qt</td> <td>pm</td> <td>1.500-1.504</td> <td>1718-1.720</td> <td>1680-1.685</td> <td>京極町更造 Mofa-1 は鶴川町見三区</td> </tr> <tr> <td>Kt-6</td> <td>opx, cpx</td> <td>pm</td> <td>1.508-1.515 (1.510-1.514)</td> <td>1723-1.729</td> <td></td> <td>厚見町街米</td> </tr> <tr> <td>Aso-4 (ho)</td> <td>bw</td> <td>1.500-1.508</td> <td></td> <td></td> <td>同上, 主成分²⁰⁾, 同上</td> </tr> <tr> <td>Arfa</td> <td>opx, cpx</td> <td>pm</td> <td>1.509-1.511</td> <td>1714-1.721 (1.715-1.720)</td> <td></td> <td>同上</td> </tr> <tr> <td>Toya</td> <td>(px)</td> <td>pm, bw</td> <td>1.495-1.498 (1.496-1.497)</td> <td>1708-1.761</td> <td></td> <td>同上</td> </tr> <tr> <td>Kc-Hb</td> <td>(px)</td> <td>bw</td> <td>1.507-1.508</td> <td>1709-1.711</td> <td></td> <td>同上</td> </tr> <tr> <td>Arfa</td> <td>pm</td> <td>1.497-1.498</td> <td></td> <td></td> <td>同上</td> </tr> </tbody> </table> <p>註: (9) 佐々木 (1986), (10) 田嶋 (1986), (11) 小林・平田 (1984), (12) 青木日出 (1976), (13) 岩屋山 (1976), (14) 鹿島井川 (1976), (15) 鹿島井川 (1978), (16) 山田川 (1980), (17) 田代田川 (1972), (18) 鹿島川 (1961), (19) 徳井 (1989), (20) 鹿嶋 (1987), (21) 加藤 (1990), (22) 串川 (1993), (23) 新井 (1980), (24) 田嶋 (1986), (25) 佐々木 (1986), (26) 田嶋 (1986), (27) 田嶋 (1986), (28) 田嶋 (1986), (29) 田嶋 (1986), (30) 田嶋 (1986), (31) 田嶋 (1986), (32) 田嶋 (1986), (33) 田嶋 (1986), (34) 田嶋 (1986), (35) 田嶋 (1986), (36) 田嶋 (1986), (37) 田嶋 (1986), (38) 田嶋 (1986), (39) 田嶋 (1986), (40) 田嶋 (1986), (41) 田嶋 (1986), (42) 田嶋 (1986), (43) 田嶋 (1986), (44) 田嶋 (1986), (45) 田嶋 (1986), (46) 田嶋 (1986), (47) 田嶋 (1986), (48) 田嶋 (1986), (49) 田嶋 (1986), (50) 田嶋 (1986), (51) 田嶋 (1986), (52) 田嶋 (1986), (53) 田嶋 (1986), (54) 田嶋 (1986), (55) 田嶋 (1986), (56) 田嶋 (1986), (57) 田嶋 (1986), (58) 田嶋 (1986), (59) 田嶋 (1986), (60) 田嶋 (1986), (61) 田嶋 (1986), (62) 田嶋 (1986), (63) 田嶋 (1986), (64) 田嶋 (1986), (65) 田嶋 (1986), (66) 田嶋 (1986), (67) 田嶋 (1986), (68) 田嶋 (1986), (69) 田嶋 (1986), (70) 田嶋 (1986), (71) 田嶋 (1986), (72) 田嶋 (1986), (73) 田嶋 (1986), (74) 田嶋 (1986), (75) 田嶋 (1986), (76) 田嶋 (1986), (77) 田嶋 (1986), (78) 田嶋 (1986), (79) 田嶋 (1986), (80) 田嶋 (1986), (81) 田嶋 (1986), (82) 田嶋 (1986), (83) 田嶋 (1986), (84) 田嶋 (1986), (85) 田嶋 (1986), (86) 田嶋 (1986), (87) 田嶋 (1986), (88) 田嶋 (1986), (89) 田嶋 (1986), (90) 田嶋 (1986), (91) 田嶋 (1986), (92) 田嶋 (1986), (93) 田嶋 (1986), (94) 田嶋 (1986), (95) 田嶋 (1986), (96) 田嶋 (1986), (97) 田嶋 (1986), (98) 田嶋 (1986), (99) 田嶋 (1986), (100) 田嶋 (1986), (101) 田嶋 (1986), (102) 田嶋 (1986), (103) 田嶋 (1986), (104) 田嶋 (1986), (105) 田嶋 (1986), (106) 田嶋 (1986), (107) 田嶋 (1986), (108) 田嶋 (1986), (109) 田嶋 (1986), (110) 田嶋 (1986), (111) 田嶋 (1986), (112) 田嶋 (1986), (113) 田嶋 (1986), (114) 田嶋 (1986), (115) 田嶋 (1986), (116) 田嶋 (1986), (117) 田嶋 (1986), (118) 田嶋 (1986), (119) 田嶋 (1986), (120) 田嶋 (1986), (121) 田嶋 (1986), (122) 田嶋 (1986), (123) 田嶋 (1986), (124) 田嶋 (1986), (125) 田嶋 (1986), (126) 田嶋 (1986), (127) 田嶋 (1986), (128) 田嶋 (1986), (129) 田嶋 (1986), (130) 田嶋 (1986), (131) 田嶋 (1986), (132) 田嶋 (1986), (133) 田嶋 (1986), (134) 田嶋 (1986), (135) 田嶋 (1986), (136) 田嶋 (1986), (137) 田嶋 (1986), (138) 田嶋 (1986), (139) 田嶋 (1986), (140) 田嶋 (1986), (141) 田嶋 (1986), (142) 田嶋 (1986), (143) 田嶋 (1986), (144) 田嶋 (1986), (145) 田嶋 (1986), (146) 田嶋 (1986), (147) 田嶋 (1986), (148) 田嶋 (1986), (149) 田嶋 (1986), (150) 田嶋 (1986), (151) 田嶋 (1986), (152) 田嶋 (1986), (153) 田嶋 (1986), (154) 田嶋 (1986), (155) 田嶋 (1986), (156) 田嶋 (1986), (157) 田嶋 (1986), (158) 田嶋 (1986), (159) 田嶋 (1986), (160) 田嶋 (1986), (161) 田嶋 (1986), (162) 田嶋 (1986), (163) 田嶋 (1986), (164) 田嶋 (1986), (165) 田嶋 (1986), (166) 田嶋 (1986), (167) 田嶋 (1986), (168) 田嶋 (1986), (169) 田嶋 (1986), (170) 田嶋 (1986), (171) 田嶋 (1986), (172) 田嶋 (1986), (173) 田嶋 (1986), (174) 田嶋 (1986), (175) 田嶋 (1986), (176) 田嶋 (1986), (177) 田嶋 (1986), (178) 田嶋 (1986), (179) 田嶋 (1986), (180) 田嶋 (1986), (181) 田嶋 (1986), (182) 田嶋 (1986), (183) 田嶋 (1986), (184) 田嶋 (1986), (185) 田嶋 (1986), (186) 田嶋 (1986), (187) 田嶋 (1986), (188) 田嶋 (1986), (189) 田嶋 (1986), (190) 田嶋 (1986), (191) 田嶋 (1986), (192) 田嶋 (1986), (193) 田嶋 (1986), (194) 田嶋 (1986), (195) 田嶋 (1986), (196) 田嶋 (1986), (197) 田嶋 (1986), (198) 田嶋 (1986), (199) 田嶋 (1986), (200) 田嶋 (1986), (201) 田嶋 (1986), (202) 田嶋 (1986), (203) 田嶋 (1986), (204) 田嶋 (1986), (205) 田嶋 (1986), (206) 田嶋 (1986), (207) 田嶋 (1986), (208) 田嶋 (1986), (209) 田嶋 (1986), (210) 田嶋 (1986), (211) 田嶋 (1986), (212) 田嶋 (1986), (213) 田嶋 (1986), (214) 田嶋 (1986), (215) 田嶋 (1986), (216) 田嶋 (1986), (217) 田嶋 (1986), (218) 田嶋 (1986), (219) 田嶋 (1986), (220) 田嶋 (1986), (221) 田嶋 (1986), (222) 田嶋 (1986), (223) 田嶋 (1986), (224) 田嶋 (1986), (225) 田嶋 (1986), (226) 田嶋 (1986), (227) 田嶋 (1986), (228) 田嶋 (1986), (229) 田嶋 (1986), (230) 田嶋 (1986), (231) 田嶋 (1986), (232) 田嶋 (1986), (233) 田嶋 (1986), (234) 田嶋 (1986), (235) 田嶋 (1986), (236) 田嶋 (1986), (237) 田嶋 (1986), (238) 田嶋 (1986), (239) 田嶋 (1986), (240) 田嶋 (1986), (241) 田嶋 (1986), (242) 田嶋 (1986), (243) 田嶋 (1986), (244) 田嶋 (1986), (245) 田嶋 (1986), (246) 田嶋 (1986), (247) 田嶋 (1986), (248) 田嶋 (1986), (249) 田嶋 (1986), (250) 田嶋 (1986), (251) 田嶋 (1986), (252) 田嶋 (1986), (253) 田嶋 (1986), (254) 田嶋 (1986), (255) 田嶋 (1986), (256) 田嶋 (1986), (257) 田嶋 (1986), (258) 田嶋 (1986), (259) 田嶋 (1986), (260) 田嶋 (1986), (261) 田嶋 (1986), (262) 田嶋 (1986), (263) 田嶋 (1986), (264) 田嶋 (1986), (265) 田嶋 (1986), (266) 田嶋 (1986), (267) 田嶋 (1986), (268) 田嶋 (1986), (269) 田嶋 (1986), (270) 田嶋 (1986), (271) 田嶋 (1986), (272) 田嶋 (1986), (273) 田嶋 (1986), (274) 田嶋 (1986), (275) 田嶋 (1986), (276) 田嶋 (1986), (277) 田嶋 (1986), (278) 田嶋 (1986), (279) 田嶋 (1986), (280) 田嶋 (1986), (281) 田嶋 (1986), (282) 田嶋 (1986), (283) 田嶋 (1986), (284) 田嶋 (1986), (285) 田嶋 (1986), (286) 田嶋 (1986), (287) 田嶋 (1986), (288) 田嶋 (1986), (289) 田嶋 (1986), (290) 田嶋 (1986), (291) 田嶋 (1986), (292) 田嶋 (1986), (293) 田嶋 (1986), (294) 田嶋 (1986), (295) 田嶋 (1986), (296) 田嶋 (1986), (297) 田嶋 (1986), (298) 田嶋 (1986), (299) 田嶋 (1986), (300) 田嶋 (1986), (301) 田嶋 (1986), (302) 田嶋 (1986), (303) 田嶋 (1986), (304) 田嶋 (1986), (305) 田嶋 (1986), (306) 田嶋 (1986), (307) 田嶋 (1986), (308) 田嶋 (1986), (309) 田嶋 (1986), (310) 田嶋 (1986), (311) 田嶋 (1986), (312) 田嶋 (1986), (313) 田嶋 (1986), (314) 田嶋 (1986), (315) 田嶋 (1986), (316) 田嶋 (1986), (317) 田嶋 (1986), (318) 田嶋 (1986), (319) 田嶋 (1986), (320) 田嶋 (1986), (321) 田嶋 (1986), (322) 田嶋 (1986), (323) 田嶋 (1986), (324) 田嶋 (1986), (325) 田嶋 (1986), (326) 田嶋 (1986), (327) 田嶋 (1986), (328) 田嶋 (1986), (329) 田嶋 (1986), (330) 田嶋 (1986), (331) 田嶋 (1986), (332) 田嶋 (1986), (333) 田嶋 (1986), (334) 田嶋 (1986), (335) 田嶋 (1986), (336) 田嶋 (1986), (337) 田嶋 (1986), (338) 田嶋 (1986), (339) 田嶋 (1986), (340) 田嶋 (1986), (341) 田嶋 (1986), (342) 田嶋 (1986), (343) 田嶋 (1986), (344) 田嶋 (1986), (345) 田嶋 (1986), (346) 田嶋 (1986), (347) 田嶋 (1986), (348) 田嶋 (1986), (349) 田嶋 (1986), (350) 田嶋 (1986), (351) 田嶋 (1986), (352) 田嶋 (1986), (353) 田嶋 (1986), (354) 田嶋 (1986), (355) 田嶋 (1986), (356) 田嶋 (1986), (357) 田嶋 (1986), (358) 田嶋 (1986), (359) 田嶋 (1986), (360) 田嶋 (1986), (361) 田嶋 (1986), (362) 田嶋 (1986), (363) 田嶋 (1986), (364) 田嶋 (1986), (365) 田嶋 (1986), (366) 田嶋 (1986), (367) 田嶋 (1986), (368) 田嶋 (1986), (369) 田嶋 (1986), (370) 田嶋 (1986), (371) 田嶋 (1986), (372) 田嶋 (1986), (373) 田嶋 (1986), (374) 田嶋 (1986), (375) 田嶋 (1986), (376) 田嶋 (1986), (377) 田嶋 (1986), (378) 田嶋 (1986), (379) 田嶋 (1986), (380) 田嶋 (1986), (381) 田嶋 (1986), (382) 田嶋 (1986), (383) 田嶋 (1986), (384) 田嶋 (1986), (385) 田嶋 (1986), (386) 田嶋 (1986), (387) 田嶋 (1986), (388) 田嶋 (1986), (389) 田嶋 (1986), (390) 田嶋 (1986), (391) 田嶋 (1986), (392) 田嶋 (1986), (393) 田嶋 (1986), (394) 田嶋 (1986), (395) 田嶋 (1986), (396) 田嶋 (1986), (397) 田嶋 (1986), (398) 田嶋 (1986), (399) 田嶋 (1986), (400) 田嶋 (1986), (401) 田嶋 (1986), (402) 田嶋 (1986), (403) 田嶋 (1986), (404) 田嶋 (1986), (405) 田嶋 (1986), (406) 田嶋 (1986), (407) 田嶋 (1986), (408) 田嶋 (1986), (409) 田嶋 (1986), (410) 田嶋 (1986), (411) 田嶋 (1986), (412) 田嶋 (1986), (413) 田嶋 (1986), (414) 田嶋 (1986), (415) 田嶋 (1986), (416) 田嶋 (1986), (417) 田嶋 (1986), (418) 田嶋 (1986), (419) 田嶋 (1986), (420) 田嶋 (1986), (421) 田嶋 (1986), (422) 田嶋 (1986), (423) 田嶋 (1986), (424) 田嶋 (1986), (425) 田嶋 (1986), (426) 田嶋 (1986), (427) 田嶋 (1986), (428) 田嶋 (1986), (429) 田嶋 (1986), (430) 田嶋 (1986), (431) 田嶋 (1986), (432) 田嶋 (1986), (433) 田嶋 (1986), (434) 田嶋 (1986), (435) 田嶋 (1986), (436) 田嶋 (1986), (437) 田嶋 (1986), (438) 田嶋 (1986), (439) 田嶋 (1986), (440) 田嶋 (1986), (441) 田嶋 (1986), (442) 田嶋 (1986), (443) 田嶋 (1986), (444) 田嶋 (1986), (445) 田嶋 (1986), (446) 田嶋 (1986), (447) 田嶋 (1986), (448) 田嶋 (1986), (449) 田嶋 (1986), (450) 田嶋 (1986), (451) 田嶋 (1986), (452) 田嶋 (1986), (453) 田嶋 (1986), (454) 田嶋 (1986), (455) 田嶋 (1986), (456) 田嶋 (1986), (457) 田嶋 (1986), (458) 田嶋 (1986), (459) 田嶋 (1986), (460) 田嶋 (1986), (461) 田嶋 (1986), (462) 田嶋 (1986), (463) 田嶋 (1986), (464) 田嶋 (1986), (465) 田嶋 (1986), (466) 田嶋 (1986), (467) 田嶋 (1986), (468) 田嶋 (1986), (469) 田嶋 (1986), (470) 田嶋 (1986), (471) 田嶋 (1986), (472) 田嶋 (1986), (473) 田嶋 (1986), (474) 田嶋 (1986), (475) 田嶋 (1986), (476) 田嶋 (1986), (477) 田嶋 (1986), (478) 田嶋 (1986), (479) 田嶋 (1986), (480) 田嶋 (1986), (481) 田嶋 (1986), (482) 田嶋 (1986), (483) 田嶋 (1986), (484) 田嶋 (1986), (485) 田嶋 (1986), (486) 田嶋 (1986), (487) 田嶋 (1986), (488) 田嶋 (1986), (489) 田嶋 (1986), (490) 田嶋 (1986), (491) 田嶋 (1986), (492) 田嶋 (1986), (493) 田嶋 (1986), (494) 田嶋 (1986), (495) 田嶋 (1986), (496) 田嶋 (1986), (497) 田嶋 (1986), (498) 田嶋 (1986), (499) 田嶋 (1986), (500) 田嶋 (1986), (501) 田嶋 (1986), (502) 田嶋 (1986), (503) 田嶋 (1986), (504) 田嶋 (1986), (505) 田嶋 (1986), (506) 田嶋 (1986), (507) 田嶋 (1986), (508) 田嶋 (1986), (509) 田嶋 (1986), (510) 田嶋 (1986), (511) 田嶋 (1986), (512) 田嶋 (1986), (513) 田嶋 (1986), (514) 田嶋 (1986), (515) 田嶋 (1986), (516) 田嶋 (1986), (517) 田嶋 (1986), (518) 田嶋 (1986), (519) 田嶋 (1986), (520) 田嶋 (1986), (521) 田嶋 (1986), (522) 田嶋 (1986), (523) 田嶋 (1986), (524) 田嶋 (1986), (525) 田嶋 (1986), (526) 田嶋 (1986), (527) 田嶋 (1986), (528) 田嶋 (1986), (529) 田嶋 (1986), (530) 田嶋 (1986), (531) 田嶋 (1986), (532) 田嶋 (1986), (533) 田嶋 (1986), (534) 田嶋 (1986), (535) 田嶋 (1986), (536) 田嶋 (1986), (537) 田嶋 (1986), (538) 田嶋 (1986), (539) 田嶋 (1986), (540) 田嶋 (1986), (541) 田嶋 (1986), (542) 田嶋 (1986), (543) 田嶋 (1986), (544) 田嶋 (1986), (545) 田嶋 (1986), (546) 田嶋 (1986), (547) 田嶋 (1986), (548) 田嶋 (1986), (549) 田嶋 (1986), (550) 田嶋 (1986), (551) 田嶋 (1986), (552) 田嶋 (1986), (553) 田嶋 (1986), (554) 田嶋 (1986), (555) 田嶋 (1986), (556) 田嶋 (1986), (557) 田嶋 (1986), (558) 田嶋 (1986), (559) 田嶋 (1986), (560) 田嶋 (1986), (561) 田嶋 (1986), (562) 田嶋 (1986), (563) 田嶋 (1986), (564) 田嶋 (1986), (565) 田嶋 (1986), (566) 田嶋 (1986), (567) 田嶋 (1986), (56</p>	品号	主な鉱物	火山ガラスタイプ	opx (%)	ho (%)	模式地・その他	Spfa	opx, cpx		1711-1.715		自走断谷川	Spfa-7 -10	opx, cpx		1713-1.718 (1.715-1.717)		早美新栄	Sh	ho, opx; qt	pm	1.500-1.504	1718-1.720	1680-1.685	京極町更造 Mofa-1 は鶴川町見三区	Kt-6	opx, cpx	pm	1.508-1.515 (1.510-1.514)	1723-1.729		厚見町街米	Aso-4 (ho)	bw	1.500-1.508			同上, 主成分 ²⁰⁾ , 同上	Arfa	opx, cpx	pm	1.509-1.511	1714-1.721 (1.715-1.720)		同上	Toya	(px)	pm, bw	1.495-1.498 (1.496-1.497)	1708-1.761		同上	Kc-Hb	(px)	bw	1.507-1.508	1709-1.711		同上	Arfa	pm	1.497-1.498			同上
広域テフラ	鉱物組成	火山ガラスの形態	層位																																																																																																																								
十和田～奥山灰 (To-a)	pl; opx; cpx	pm > bw	gl : 1.450-1.504 opx (<) : 1.705-1.738																																																																																																																								
十和田～中津火成灰 (To-Cu)	opx>cpx	pm	gl : 1.501-1.512 opx : 1.705-1.708 (1.707)																																																																																																																								
奥森～アカホキ火成灰 (K-Ah)	gl; opx, cpx, (ho, qt)	bw>pm	gl : 1.508-1.514 opx (<) : 1.709-1.712																																																																																																																								
遠庭～8軒石 (En-a)	opx, cpx	pm	gl : 1.496-1.500 opx : 1.710-1.715 (1.715)																																																																																																																								
磐戸～Tn 火成灰 (AT)	pl; op, opx, (ho, qu)	bw>pm	gl : 1.490-1.501 opx (<) : 1.728-1.734																																																																																																																								
文忽降下層石 1 (Spf1)	opx>cpx, ho (ol)	pm	gl : 1.501-1.505 opx : 1.725-1.735 (1.725-1.726)																																																																																																																								
天山～曾吉勝石 (DKP)	pl; ho, oox, bi	pm	opx (<) : 1.702-1.708																																																																																																																								
阿蘇4火成灰 (Aso-4)	pl; ho, oox, cpx	bw>pm	gl : 1.506-1.514 opx (<) : 1.709-1.701 ho (n) : 1.685-1.691																																																																																																																								
鬼界～葛原火成灰 (K-Tz)	pl, qt; opx, cpx	bw>pm	gl : 1.496-1.500 opx (<) : 1.705-1.709																																																																																																																								
御岳第1移石 (Oo-Pm 1)	ho, bi, (opx) (Rhyorite)	pm	gl : 1.501-1.503 opx (<) : 1.706-1.711 (1.708)																																																																																																																								
阿多火成灰 (Ata)	pl; opx, cpx	bw>pm	gl : 1.508-1.513 opx (<) : 1.704-1.706																																																																																																																								
洞爺火成灰 (Toya)	pl, qt; opx	pm>bw	gl : 1.494-1.497 opx (<) : 1.756-1.751																																																																																																																								
阿蘇3火成灰 (Aso-3)	pl, cpx, opx	pm, bw	gl : 1.501-1.518																																																																																																																								
品号	主な鉱物	火山ガラスタイプ	opx (%)	ho (%)	模式地・その他																																																																																																																						
Spfa	opx, cpx		1711-1.715		自走断谷川																																																																																																																						
Spfa-7 -10	opx, cpx		1713-1.718 (1.715-1.717)		早美新栄																																																																																																																						
Sh	ho, opx; qt	pm	1.500-1.504	1718-1.720	1680-1.685	京極町更造 Mofa-1 は鶴川町見三区																																																																																																																					
Kt-6	opx, cpx	pm	1.508-1.515 (1.510-1.514)	1723-1.729		厚見町街米																																																																																																																					
Aso-4 (ho)	bw	1.500-1.508			同上, 主成分 ²⁰⁾ , 同上																																																																																																																						
Arfa	opx, cpx	pm	1.509-1.511	1714-1.721 (1.715-1.720)		同上																																																																																																																					
Toya	(px)	pm, bw	1.495-1.498 (1.496-1.497)	1708-1.761		同上																																																																																																																					
Kc-Hb	(px)	bw	1.507-1.508	1709-1.711		同上																																																																																																																					
Arfa	pm	1.497-1.498			同上																																																																																																																						

泊発電所3号炉 DB基準適合性 比較表

赤字: 設備、運用又は体制の相違（設計方針の相違）
 青字: 記載箇所又は記載内容の相違（記載方針の相違）
 緑字: 記載表現、設備名称の相違（実質的な相違なし）

第6条 外部からの衝撃による損傷の防止（火山：別添資料1）

大飯発電所3／4号炉	女川原子力発電所2号炉	泊発電所3号炉	相違理由																																																																																																																																																																																																																																																																																																																		
<p style="text-align: center;">882 水谷司・早田 勉 表7 広域マコラ（火山ガラス）の生成と組成</p> <table border="1"> <thead> <tr> <th>成層アフア</th><th>試料採取地</th><th>SiO₂</th><th>TiO₂</th><th>Al₂O₃</th><th>FeO</th><th>MnO</th><th>MgO</th><th>CaO</th><th>K₂O</th><th>Na₂O</th><th>Total</th></tr> </thead> <tbody> <tr> <td>十和田a火山灰 (To-a)</td><td>十和田湖畔 盛岡市</td><td>M 75.94 0.33 13.45 1.89</td><td>SD 0.28 0.03</td><td>0.05 0.04</td><td>0.04</td><td>0.06</td><td>0.02</td><td>4.30</td><td>106.01</td><td></td><td></td></tr> <tr> <td>十和田-中津川 山灰 (To-Cu)</td><td>十和田湖畔 牛樽浦</td><td>M 74.88 0.40 14.11 2.31</td><td>SD 0.43 0.03</td><td>0.15 0.13</td><td>0.08</td><td>0.14</td><td>0.04</td><td>6.44</td><td>106.01</td><td></td><td></td></tr> <tr> <td>鬼界-a阿蘇山 火山灰 (K-Alo)</td><td>西之表市 島原</td><td>M 76.88 0.31 12.98 2.46</td><td>SD 0.25 0.02</td><td>0.16 0.06</td><td>0.02</td><td>0.10</td><td>0.03</td><td>6.22</td><td>99.99</td><td></td><td></td></tr> <tr> <td>志度-a蛭石 (En-a)</td><td>日高町三郷</td><td>M 77.65 0.11 13.06 1.90</td><td>SD 0.25 0.02</td><td>0.15 0.02</td><td>0.07</td><td>0.03</td><td>0.07</td><td>6.26</td><td>99.99</td><td></td><td></td></tr> <tr> <td>始点-Tn火山灰 (AT)</td><td>入戸永島南</td><td>M 77.40 0.10 12.98 1.26</td><td>SD 0.30 0.02</td><td>0.14 0.03</td><td>0.04</td><td>0.12</td><td>0.08</td><td>6.28</td><td>100.00</td><td></td><td></td></tr> <tr> <td>支点降下蛭石 (Spa-1)</td><td>門別町高森</td><td>M 77.82 0.15 13.08 1.38</td><td>SD 0.29 0.02</td><td>0.09 0.02</td><td>0.03</td><td>0.03</td><td>0.06</td><td>6.28</td><td>100.00</td><td></td><td></td></tr> <tr> <td>阿蘇4火山灰 (Aso-4)</td><td>竹田市上原</td><td>M 77.71 0.32 15.51 1.44</td><td>SD 0.16 0.02</td><td>0.15 0.02</td><td>0.02</td><td>0.03</td><td>0.14</td><td>0.07</td><td>0.18</td><td>100.00</td><td></td></tr> <tr> <td>鬼界-莫莫 火山灰 (K-Ts)</td><td>国分町</td><td>M 79.37 0.17 12.82 0.96</td><td>SD 0.36 0.02</td><td>0.11 0.03</td><td>0.04</td><td>0.15</td><td>0.04</td><td>0.30</td><td>100.00</td><td></td><td></td></tr> <tr> <td>御岳第一群石 (On-Pm-1)</td><td>小山町生土</td><td>M 75.34 0.11 14.61 0.91</td><td>SD 0.90 0.02</td><td>0.22 0.03</td><td>0.10</td><td>0.03</td><td>0.15</td><td>0.79</td><td>100.01</td><td></td><td></td></tr> <tr> <td>阿多火成岩 (Ata)</td><td>国分町</td><td>M 73.96 0.44 13.84 2.06</td><td>SD 0.18 0.03</td><td>0.12 0.06</td><td>0.10</td><td>0.06</td><td>0.20</td><td>9.99</td><td>99.99</td><td></td><td></td></tr> <tr> <td>御嶽火成岩 (Toya)</td><td>江差町忍川</td><td>M 78.10 0.07 13.07 0.89</td><td>SD 0.24 0.02</td><td>0.10 0.22</td><td>0.03</td><td>0.07</td><td>0.03</td><td>0.18</td><td>0.28</td><td>100.01</td><td></td></tr> <tr> <td>阿蘇3火山灰 (Aso-3)</td><td>竹田市</td><td>M 69.88 0.49 15.72 2.04</td><td>SD 0.19 0.02</td><td>0.13 0.10</td><td>0.10</td><td>0.06</td><td>0.04</td><td>0.13</td><td>100.01</td><td></td><td></td></tr> </tbody> </table> <p>1. 試料あたり10枚の平均値と標準偏差 M: 平均値 SD: 標準偏差</p> <p>直下には北辰火成岩層があるが、さきにその下位に御岳第1群石 (On-Pm-1) が認められる（図9）。御岳火成岩 (Toya) は、御岳第1群石 (On-Pm-1) の下位、一道堀岩層の上位に認められる（図9）。このように本研究において、宮城県に分布する御岳アフアと広域アフアとの層序関係を明らかにした結果、宮城県の示達アフアの層序およびそれに基づく日本地質学会編『東北地質史資料館・石器文化調査会』(1986) を全国的な第四紀層中の枠組みに組み込むことができた。特に鬼首において、On-Pm-1とToyaとの間に明確な上下関係を確認できたことは、東北日本北部の重要な示達アフアである Toya の層位を、宮闕東における後期更新世宮城テラフ層位に組み込んだ点で意義がある。同時にこの成果は、これまで Aso-4 および Toya と海成面・段丘構造層との層序関係から組み立てられてきた東北日本北部における後期更新世海底層 (宮内 1988) をより確かなものとする。すなわち東北地方北西部沿岸の垂直堆積層の大規模な塊にあって、最終間氷期後期形成段丘 (L2.5万年 B.P. 塑成段) の下位に発達する御嶽面 (たとえば後代平野の焼谷 II面) は、Toya に風成で覆われ、その下位の海成面が Aso-4 で風成で覆われることから10万年前後の海水と考慮されている（八木・宮内 1988）。宮闕東において既に明らかにされている限り On-Pm-1 は、8万年前頃海水したがて海面構成層の最上部に組まれる（町田・鈴木 1971, 町田ほか 1985）。從って On-Pm-1 の下位に Toya があることは、既記地層において Toya を風成でせら最も下位の御嶽面が、12.5万年 B.P. (下末古近世) 以降8万年 B.P. (小原台</p>	成層アフア	試料採取地	SiO ₂	TiO ₂	Al ₂ O ₃	FeO	MnO	MgO	CaO	K ₂ O	Na ₂ O	Total	十和田a火山灰 (To-a)	十和田湖畔 盛岡市	M 75.94 0.33 13.45 1.89	SD 0.28 0.03	0.05 0.04	0.04	0.06	0.02	4.30	106.01			十和田-中津川 山灰 (To-Cu)	十和田湖畔 牛樽浦	M 74.88 0.40 14.11 2.31	SD 0.43 0.03	0.15 0.13	0.08	0.14	0.04	6.44	106.01			鬼界-a阿蘇山 火山灰 (K-Alo)	西之表市 島原	M 76.88 0.31 12.98 2.46	SD 0.25 0.02	0.16 0.06	0.02	0.10	0.03	6.22	99.99			志度-a蛭石 (En-a)	日高町三郷	M 77.65 0.11 13.06 1.90	SD 0.25 0.02	0.15 0.02	0.07	0.03	0.07	6.26	99.99			始点-Tn火山灰 (AT)	入戸永島南	M 77.40 0.10 12.98 1.26	SD 0.30 0.02	0.14 0.03	0.04	0.12	0.08	6.28	100.00			支点降下蛭石 (Spa-1)	門別町高森	M 77.82 0.15 13.08 1.38	SD 0.29 0.02	0.09 0.02	0.03	0.03	0.06	6.28	100.00			阿蘇4火山灰 (Aso-4)	竹田市上原	M 77.71 0.32 15.51 1.44	SD 0.16 0.02	0.15 0.02	0.02	0.03	0.14	0.07	0.18	100.00		鬼界-莫莫 火山灰 (K-Ts)	国分町	M 79.37 0.17 12.82 0.96	SD 0.36 0.02	0.11 0.03	0.04	0.15	0.04	0.30	100.00			御岳第一群石 (On-Pm-1)	小山町生土	M 75.34 0.11 14.61 0.91	SD 0.90 0.02	0.22 0.03	0.10	0.03	0.15	0.79	100.01			阿多火成岩 (Ata)	国分町	M 73.96 0.44 13.84 2.06	SD 0.18 0.03	0.12 0.06	0.10	0.06	0.20	9.99	99.99			御嶽火成岩 (Toya)	江差町忍川	M 78.10 0.07 13.07 0.89	SD 0.24 0.02	0.10 0.22	0.03	0.07	0.03	0.18	0.28	100.01		阿蘇3火山灰 (Aso-3)	竹田市	M 69.88 0.49 15.72 2.04	SD 0.19 0.02	0.13 0.10	0.10	0.06	0.04	0.13	100.01			<p style="text-align: center;">[b] 道 東</p> <p>表3.5-4</p> <table border="1"> <thead> <tr> <th>火成・テラフ名</th><th>記 号</th><th>年代</th><th>測定方法</th><th>堆積様式と商相</th><th>分布・体積</th><th>A V</th><th>注: [対比・他の名称]</th></tr> </thead> <tbody> <tr> <td>柳前 a^{1,2}</td><td>Ta-a</td><td>AD 1739</td><td>afa</td><td></td><td></td><td></td><td>[柳前 a: M(a)-a¹⁰, [鹿 阿寒 a: M(c)-a¹⁰, [ト トコ I]a^{2,3}, 表 3.5-3 参 照].</td></tr> <tr> <td>斯ケ岳 c^{1,2}</td><td>Ko-c₂</td><td></td><td>afa</td><td></td><td></td><td></td><td>[M(a)-a¹⁰, [M(c)-a]^{1,2}, [トコ III]^{1,2}, 表 3.5-3 参照].</td></tr> <tr> <td>那須上部・新期(群)^{1,2}</td><td>Mu</td><td></td><td></td><td></td><td></td><td></td><td>Ma-1 に始まり Ma-b にいたる複数の活動期のテラフ群。最大のものが Ma-1 に始まり Ma-2 で終わる一連の発達した舌状のテラフ。Mu-f 以上にも尾端 (カムイヌブリ) 系と思われる4層 (b, c, d, e) と遠東と思われる3層 (上記2層を含む) がある。テラフの区分・名前は多岐にわたる (省略)¹⁰.</td></tr> <tr> <td>葛原 b¹</td><td>Ma-b</td><td><10世紀 ST</td><td>pfa, afu, pfa (5エニット)</td><td>V>80 km²-4 5</td><td></td><td></td><td>詰層カムイヌブリ火口.</td></tr> <tr> <td>白頭山苔小牧</td><td>B-Tm</td><td>10世紀</td><td></td><td></td><td></td><td></td><td>本文・表 3.4-4, 3.6-2 参照。この下位に Ta-c に 対比される [トコロ]¹⁰.</td></tr> <tr> <td>蘿臼2^{2,3}</td><td>Ra-2</td><td>LA</td><td>pfa, pfu</td><td>E>60 km, 福島島にE分布。 図3.5-3</td><td></td><td></td><td>4. Ma-b の下位。</td></tr> <tr> <td>蘿臼2^{2,3}</td><td>Ra-2</td><td>LA</td><td>pfa, pfu</td><td>E>60 km, 福島島にE分布。 図3.5-3</td><td></td><td></td><td>4. Ma-b の下位。</td></tr> <tr> <td>那須 f^{1,2,3}</td><td>Ma-f</td><td>同一噴火 輪廊 7.3-8</td><td>pft, pfa</td><td>conc. 100 km 図3.5-6, 両岸相 伴のテラフ広く分 布¹⁰</td><td></td><td></td><td>[那須磐石山群]^{1,2,3}, 那須カムテラフ群。この 上位に Ko-c¹⁰.</td></tr> <tr> <td>那須 g^{1,2,3}</td><td>Ma-g</td><td></td><td>pfa, pfa, afu, pfa (多段± v-t)</td><td>ESE>100 km 図3.5-4</td><td></td><td></td><td>pft (Ma-d) に光輝する アーモンテラフ。この うえ Ma-i, Ma-g の pfa が広く分布。</td></tr> <tr> <td>那須 k^{1,2}</td><td>Ma-k</td><td>>11</td><td>afa</td><td></td><td></td><td></td><td>本アフア起源アースバ ック形成¹⁰.</td></tr> <tr> <td>那須 l^{1,2,3}</td><td>Ma-l</td><td>≥11</td><td>C¹⁰</td><td>afa, pfa</td><td>NE-SE>90 km 4 3</td><td></td><td></td></tr> <tr> <td>那須下部(群)²</td><td>M1</td><td>[那須ローム]^{1,2}, [チャンペリロー-ト]a^{1,2} と同じ。那須東部の [Ma-a~Ma-c]^{1,2} の 一帯、5層の Ma-pfa からなる。中・上部にはインボリューションが観察。</td><td></td><td></td><td></td><td></td><td></td></tr> <tr> <td>アトサツアブリ¹⁰</td><td>Aap</td><td>>11 C*</td><td>pft</td><td>トコチャコカル テラ内</td><td></td><td></td><td>NI や Ch との層位関係 不明</td></tr> <tr> <td>柴内(群)⁶</td><td>Ch</td><td>[柴内火成岩群]^{1,2} を再定義し、その上部をなす4層の pfa・afu (Ch-a~e) を含む。いづれも 沖積・クアドロセリ層と思われる。インボリューションや磐石の集中散出が著しい。</td><td></td><td></td><td></td><td></td><td></td></tr> <tr> <td>クッチャロ中島駅¹⁰</td><td>Kcn-T</td><td>pfa</td><td>NE>50 km 3 4</td><td></td><td></td><td></td><td></td></tr> <tr> <td>西別東カナ¹⁰</td><td>Ns-Hk</td><td>MIS 2</td><td>pfa</td><td>図3.5-5</td><td>3 4</td><td></td><td>下位に Da-Ohsu, いじ ボリューションを含む。</td></tr> <tr> <td>中春別上部(群)^{5,6}</td><td>Nu</td><td>Ec-1 以上、Ch 群に切られるテラフ群で、那須東部では Ns-T₁-a^{1,2} のほか 10層あまりの pfa, afu, afa を含む。大部分は海岸 (西別河合川) 火山またはトコチャコカル火山を起源とするが、Ns- T₁ と Ns-T₂ の間に淡青と思われる afa [Nu-m] がある。[到海]¹⁰.</td><td></td><td></td><td></td><td></td><td></td></tr> <tr> <td>西別吹月¹⁰</td><td>Ns-T₁</td><td></td><td>pfa, afu, pfa</td><td>ES>90 km 図3.5-7</td><td>3 4-5</td><td></td><td>[Nu-1 (1-5)]¹⁰, DK 等高線(細)¹⁰ の一部。</td></tr> </tbody> </table>	火成・テラフ名	記 号	年代	測定方法	堆積様式と商相	分布・体積	A V	注: [対比・他の名称]	柳前 a ^{1,2}	Ta-a	AD 1739	afa				[柳前 a: M(a)-a ¹⁰ , [鹿 阿寒 a: M(c)-a ¹⁰ , [ト トコ I]a ^{2,3} , 表 3.5-3 参 照].	斯ケ岳 c ^{1,2}	Ko-c ₂		afa				[M(a)-a ¹⁰ , [M(c)-a] ^{1,2} , [トコ III] ^{1,2} , 表 3.5-3 参照].	那須上部・新期(群) ^{1,2}	Mu						Ma-1 に始まり Ma-b にいたる複数の活動期のテラフ群。最大のものが Ma-1 に始まり Ma-2 で終わる一連の発達した舌状のテラフ。Mu-f 以上にも尾端 (カムイヌブリ) 系と思われる4層 (b, c, d, e) と遠東と思われる3層 (上記2層を含む) がある。テラフの区分・名前は多岐にわたる (省略) ¹⁰ .	葛原 b ¹	Ma-b	<10世紀 ST	pfa, afu, pfa (5エニット)	V>80 km ² -4 5			詰層カムイヌブリ火口.	白頭山苔小牧	B-Tm	10世紀					本文・表 3.4-4, 3.6-2 参照。この下位に Ta-c に 対比される [トコロ] ¹⁰ .	蘿臼2 ^{2,3}	Ra-2	LA	pfa, pfu	E>60 km, 福島島にE分布。 図3.5-3			4. Ma-b の下位。	蘿臼2 ^{2,3}	Ra-2	LA	pfa, pfu	E>60 km, 福島島にE分布。 図3.5-3			4. Ma-b の下位。	那須 f ^{1,2,3}	Ma-f	同一噴火 輪廊 7.3-8	pft, pfa	conc. 100 km 図3.5-6, 両岸相 伴のテラフ広く分 布 ¹⁰			[那須磐石山群] ^{1,2,3} , 那須カムテラフ群。この 上位に Ko-c ¹⁰ .	那須 g ^{1,2,3}	Ma-g		pfa, pfa, afu, pfa (多段± v-t)	ESE>100 km 図3.5-4			pft (Ma-d) に光輝する アーモンテラフ。この うえ Ma-i, Ma-g の pfa が広く分布。	那須 k ^{1,2}	Ma-k	>11	afa				本アフア起源アースバ ック形成 ¹⁰ .	那須 l ^{1,2,3}	Ma-l	≥11	C ¹⁰	afa, pfa	NE-SE>90 km 4 3			那須下部(群) ²	M1	[那須ローム] ^{1,2} , [チャンペリロー-ト]a ^{1,2} と同じ。那須東部の [Ma-a~Ma-c] ^{1,2} の 一帯、5層の Ma-pfa からなる。中・上部にはインボリューションが観察。						アトサツアブリ ¹⁰	Aap	>11 C*	pft	トコチャコカル テラ内			NI や Ch との層位関係 不明	柴内(群) ⁶	Ch	[柴内火成岩群] ^{1,2} を再定義し、その上部をなす4層の pfa・afu (Ch-a~e) を含む。いづれも 沖積・クアドロセリ層と思われる。インボリューションや磐石の集中散出が著しい。						クッチャロ中島駅 ¹⁰	Kcn-T	pfa	NE>50 km 3 4					西別東カナ ¹⁰	Ns-Hk	MIS 2	pfa	図3.5-5	3 4		下位に Da-Ohsu, いじ ボリューションを含む。	中春別上部(群) ^{5,6}	Nu	Ec-1 以上、Ch 群に切られるテラフ群で、那須東部では Ns-T ₁ -a ^{1,2} のほか 10層あまりの pfa, afu, afa を含む。大部分は海岸 (西別河合川) 火山またはトコチャコカル火山を起源とするが、Ns- T ₁ と Ns-T ₂ の間に淡青と思われる afa [Nu-m] がある。[到海] ¹⁰ .						西別吹月 ¹⁰	Ns-T ₁		pfa, afu, pfa	ES>90 km 図3.5-7	3 4-5		[Nu-1 (1-5)] ¹⁰ , DK 等高線(細) ¹⁰ の一部。
成層アフア	試料採取地	SiO ₂	TiO ₂	Al ₂ O ₃	FeO	MnO	MgO	CaO	K ₂ O	Na ₂ O	Total																																																																																																																																																																																																																																																																																																										
十和田a火山灰 (To-a)	十和田湖畔 盛岡市	M 75.94 0.33 13.45 1.89	SD 0.28 0.03	0.05 0.04	0.04	0.06	0.02	4.30	106.01																																																																																																																																																																																																																																																																																																												
十和田-中津川 山灰 (To-Cu)	十和田湖畔 牛樽浦	M 74.88 0.40 14.11 2.31	SD 0.43 0.03	0.15 0.13	0.08	0.14	0.04	6.44	106.01																																																																																																																																																																																																																																																																																																												
鬼界-a阿蘇山 火山灰 (K-Alo)	西之表市 島原	M 76.88 0.31 12.98 2.46	SD 0.25 0.02	0.16 0.06	0.02	0.10	0.03	6.22	99.99																																																																																																																																																																																																																																																																																																												
志度-a蛭石 (En-a)	日高町三郷	M 77.65 0.11 13.06 1.90	SD 0.25 0.02	0.15 0.02	0.07	0.03	0.07	6.26	99.99																																																																																																																																																																																																																																																																																																												
始点-Tn火山灰 (AT)	入戸永島南	M 77.40 0.10 12.98 1.26	SD 0.30 0.02	0.14 0.03	0.04	0.12	0.08	6.28	100.00																																																																																																																																																																																																																																																																																																												
支点降下蛭石 (Spa-1)	門別町高森	M 77.82 0.15 13.08 1.38	SD 0.29 0.02	0.09 0.02	0.03	0.03	0.06	6.28	100.00																																																																																																																																																																																																																																																																																																												
阿蘇4火山灰 (Aso-4)	竹田市上原	M 77.71 0.32 15.51 1.44	SD 0.16 0.02	0.15 0.02	0.02	0.03	0.14	0.07	0.18	100.00																																																																																																																																																																																																																																																																																																											
鬼界-莫莫 火山灰 (K-Ts)	国分町	M 79.37 0.17 12.82 0.96	SD 0.36 0.02	0.11 0.03	0.04	0.15	0.04	0.30	100.00																																																																																																																																																																																																																																																																																																												
御岳第一群石 (On-Pm-1)	小山町生土	M 75.34 0.11 14.61 0.91	SD 0.90 0.02	0.22 0.03	0.10	0.03	0.15	0.79	100.01																																																																																																																																																																																																																																																																																																												
阿多火成岩 (Ata)	国分町	M 73.96 0.44 13.84 2.06	SD 0.18 0.03	0.12 0.06	0.10	0.06	0.20	9.99	99.99																																																																																																																																																																																																																																																																																																												
御嶽火成岩 (Toya)	江差町忍川	M 78.10 0.07 13.07 0.89	SD 0.24 0.02	0.10 0.22	0.03	0.07	0.03	0.18	0.28	100.01																																																																																																																																																																																																																																																																																																											
阿蘇3火山灰 (Aso-3)	竹田市	M 69.88 0.49 15.72 2.04	SD 0.19 0.02	0.13 0.10	0.10	0.06	0.04	0.13	100.01																																																																																																																																																																																																																																																																																																												
火成・テラフ名	記 号	年代	測定方法	堆積様式と商相	分布・体積	A V	注: [対比・他の名称]																																																																																																																																																																																																																																																																																																														
柳前 a ^{1,2}	Ta-a	AD 1739	afa				[柳前 a: M(a)-a ¹⁰ , [鹿 阿寒 a: M(c)-a ¹⁰ , [ト トコ I]a ^{2,3} , 表 3.5-3 参 照].																																																																																																																																																																																																																																																																																																														
斯ケ岳 c ^{1,2}	Ko-c ₂		afa				[M(a)-a ¹⁰ , [M(c)-a] ^{1,2} , [トコ III] ^{1,2} , 表 3.5-3 参照].																																																																																																																																																																																																																																																																																																														
那須上部・新期(群) ^{1,2}	Mu						Ma-1 に始まり Ma-b にいたる複数の活動期のテラフ群。最大のものが Ma-1 に始まり Ma-2 で終わる一連の発達した舌状のテラフ。Mu-f 以上にも尾端 (カムイヌブリ) 系と思われる4層 (b, c, d, e) と遠東と思われる3層 (上記2層を含む) がある。テラフの区分・名前は多岐にわたる (省略) ¹⁰ .																																																																																																																																																																																																																																																																																																														
葛原 b ¹	Ma-b	<10世紀 ST	pfa, afu, pfa (5エニット)	V>80 km ² -4 5			詰層カムイヌブリ火口.																																																																																																																																																																																																																																																																																																														
白頭山苔小牧	B-Tm	10世紀					本文・表 3.4-4, 3.6-2 参照。この下位に Ta-c に 対比される [トコロ] ¹⁰ .																																																																																																																																																																																																																																																																																																														
蘿臼2 ^{2,3}	Ra-2	LA	pfa, pfu	E>60 km, 福島島にE分布。 図3.5-3			4. Ma-b の下位。																																																																																																																																																																																																																																																																																																														
蘿臼2 ^{2,3}	Ra-2	LA	pfa, pfu	E>60 km, 福島島にE分布。 図3.5-3			4. Ma-b の下位。																																																																																																																																																																																																																																																																																																														
那須 f ^{1,2,3}	Ma-f	同一噴火 輪廊 7.3-8	pft, pfa	conc. 100 km 図3.5-6, 両岸相 伴のテラフ広く分 布 ¹⁰			[那須磐石山群] ^{1,2,3} , 那須カムテラフ群。この 上位に Ko-c ¹⁰ .																																																																																																																																																																																																																																																																																																														
那須 g ^{1,2,3}	Ma-g		pfa, pfa, afu, pfa (多段± v-t)	ESE>100 km 図3.5-4			pft (Ma-d) に光輝する アーモンテラフ。この うえ Ma-i, Ma-g の pfa が広く分布。																																																																																																																																																																																																																																																																																																														
那須 k ^{1,2}	Ma-k	>11	afa				本アフア起源アースバ ック形成 ¹⁰ .																																																																																																																																																																																																																																																																																																														
那須 l ^{1,2,3}	Ma-l	≥11	C ¹⁰	afa, pfa	NE-SE>90 km 4 3																																																																																																																																																																																																																																																																																																																
那須下部(群) ²	M1	[那須ローム] ^{1,2} , [チャンペリロー-ト]a ^{1,2} と同じ。那須東部の [Ma-a~Ma-c] ^{1,2} の 一帯、5層の Ma-pfa からなる。中・上部にはインボリューションが観察。																																																																																																																																																																																																																																																																																																																			
アトサツアブリ ¹⁰	Aap	>11 C*	pft	トコチャコカル テラ内			NI や Ch との層位関係 不明																																																																																																																																																																																																																																																																																																														
柴内(群) ⁶	Ch	[柴内火成岩群] ^{1,2} を再定義し、その上部をなす4層の pfa・afu (Ch-a~e) を含む。いづれも 沖積・クアドロセリ層と思われる。インボリューションや磐石の集中散出が著しい。																																																																																																																																																																																																																																																																																																																			
クッチャロ中島駅 ¹⁰	Kcn-T	pfa	NE>50 km 3 4																																																																																																																																																																																																																																																																																																																		
西別東カナ ¹⁰	Ns-Hk	MIS 2	pfa	図3.5-5	3 4		下位に Da-Ohsu, いじ ボリューションを含む。																																																																																																																																																																																																																																																																																																														
中春別上部(群) ^{5,6}	Nu	Ec-1 以上、Ch 群に切られるテラフ群で、那須東部では Ns-T ₁ -a ^{1,2} のほか 10層あまりの pfa, afu, afa を含む。大部分は海岸 (西別河合川) 火山またはトコチャコカル火山を起源とするが、Ns- T ₁ と Ns-T ₂ の間に淡青と思われる afa [Nu-m] がある。[到海] ¹⁰ .																																																																																																																																																																																																																																																																																																																			
西別吹月 ¹⁰	Ns-T ₁		pfa, afu, pfa	ES>90 km 図3.5-7	3 4-5		[Nu-1 (1-5)] ¹⁰ , DK 等高線(細) ¹⁰ の一部。																																																																																																																																																																																																																																																																																																														

泊発電所 3号炉 DB 基準適合性 比較表

赤字: 設備、運用又は体制の相違 (設計方針の相違)
青字: 記載箇所又は記載内容の相違 (記載方針の相違)
緑字: 記載表現、設備名称の相違 (実質的な相違なし)

第6条 外部からの衝撃による損傷の防止 (火山:別添資料1)

大飯発電所3／4号炉	女川原子力発電所2号炉	泊発電所3号炉	相違理由																																																																																																												
	<p>宮城県中・北部に分布する後期更新世広域テフラとその層位</p> <td> <p>883</p> <table border="1"> <thead> <tr> <th>記号</th> <th>主な鉱物</th> <th>火山ガラス</th> <th>opx?</th> <th>ho</th> <th>模式地・その他</th> </tr> </thead> <tbody> <tr> <td>Ta-a</td> <td>(opx, cpx)</td> <td>pm</td> <td>1,500-1,550</td> <td>1,713-1,715</td> <td>舟子町美留和。舟子町海、对比は主成分³⁹。</td> </tr> <tr> <td>Eo-c</td> <td>(opx, cpx)</td> <td>pm</td> <td>1,401-1,505</td> <td>1,709-1,713</td> <td>同上。对比は主成分³⁹。</td> </tr> <tr> <td>Mu</td> <td></td> <td></td> <td></td> <td></td> <td>中根津町養老半</td> </tr> <tr> <td>Ma-b</td> <td>(opx, cpx)</td> <td>pm</td> <td>1,401-1,504</td> <td></td> <td>舟根町消滅</td> </tr> <tr> <td>E-Tm</td> <td>af (n=1,203±)</td> <td>pm, bw</td> <td>1,508-1,519</td> <td></td> <td>舟子町美留和</td> </tr> <tr> <td>Ra-2</td> <td></td> <td></td> <td></td> <td></td> <td>糸白町朝日。全名主成分³⁹</td> </tr> <tr> <td>Ma-f</td> <td>epx, cpx</td> <td>pm</td> <td>1,516-1,520</td> <td>1,707-1,711 (1,708-1,709)</td> <td>中根津町武佐</td> </tr> <tr> <td>Ma-g-j</td> <td>epx, cpx</td> <td></td> <td></td> <td>1,705-1,710 (1,708)</td> <td>同上</td> </tr> <tr> <td>Ma-k</td> <td>(opx, cpx)</td> <td>pm</td> <td>1,505-1,518</td> <td></td> <td>舟子町美留和</td> </tr> <tr> <td>Ma-l</td> <td>epx, cpx</td> <td></td> <td></td> <td>1,705-1,710 (1,706-1,709)</td> <td>中根津町武佐</td> </tr> <tr> <td>M1</td> <td></td> <td></td> <td></td> <td></td> <td>別治町奥川</td> </tr> <tr> <td>Anp</td> <td>epx, cpx</td> <td>pm</td> <td>1,505-1,508</td> <td>1,704-1,708</td> <td>舟子町美留和</td> </tr> <tr> <td>Ch</td> <td></td> <td></td> <td></td> <td></td> <td>別治町原山。中春里</td> </tr> <tr> <td>Ken-T</td> <td>opx, cpx, ol</td> <td></td> <td></td> <td>1,705-1,710</td> <td>小清水町東豊野</td> </tr> <tr> <td>Ns-Hk</td> <td>opx, cpx</td> <td></td> <td></td> <td>1,708-1,712</td> <td>同上</td> </tr> <tr> <td>Nu</td> <td></td> <td></td> <td></td> <td></td> <td>別治町中春利久水ほか</td> </tr> <tr> <td>Ns-T₁</td> <td>opx, cpx</td> <td>pm</td> <td>1,500-1,521</td> <td>1,715-1,720</td> <td>別治町木門</td> </tr> </tbody> </table> </td> <td></td>	<p>883</p> <table border="1"> <thead> <tr> <th>記号</th> <th>主な鉱物</th> <th>火山ガラス</th> <th>opx?</th> <th>ho</th> <th>模式地・その他</th> </tr> </thead> <tbody> <tr> <td>Ta-a</td> <td>(opx, cpx)</td> <td>pm</td> <td>1,500-1,550</td> <td>1,713-1,715</td> <td>舟子町美留和。舟子町海、对比は主成分³⁹。</td> </tr> <tr> <td>Eo-c</td> <td>(opx, cpx)</td> <td>pm</td> <td>1,401-1,505</td> <td>1,709-1,713</td> <td>同上。对比は主成分³⁹。</td> </tr> <tr> <td>Mu</td> <td></td> <td></td> <td></td> <td></td> <td>中根津町養老半</td> </tr> <tr> <td>Ma-b</td> <td>(opx, cpx)</td> <td>pm</td> <td>1,401-1,504</td> <td></td> <td>舟根町消滅</td> </tr> <tr> <td>E-Tm</td> <td>af (n=1,203±)</td> <td>pm, bw</td> <td>1,508-1,519</td> <td></td> <td>舟子町美留和</td> </tr> <tr> <td>Ra-2</td> <td></td> <td></td> <td></td> <td></td> <td>糸白町朝日。全名主成分³⁹</td> </tr> <tr> <td>Ma-f</td> <td>epx, cpx</td> <td>pm</td> <td>1,516-1,520</td> <td>1,707-1,711 (1,708-1,709)</td> <td>中根津町武佐</td> </tr> <tr> <td>Ma-g-j</td> <td>epx, cpx</td> <td></td> <td></td> <td>1,705-1,710 (1,708)</td> <td>同上</td> </tr> <tr> <td>Ma-k</td> <td>(opx, cpx)</td> <td>pm</td> <td>1,505-1,518</td> <td></td> <td>舟子町美留和</td> </tr> <tr> <td>Ma-l</td> <td>epx, cpx</td> <td></td> <td></td> <td>1,705-1,710 (1,706-1,709)</td> <td>中根津町武佐</td> </tr> <tr> <td>M1</td> <td></td> <td></td> <td></td> <td></td> <td>別治町奥川</td> </tr> <tr> <td>Anp</td> <td>epx, cpx</td> <td>pm</td> <td>1,505-1,508</td> <td>1,704-1,708</td> <td>舟子町美留和</td> </tr> <tr> <td>Ch</td> <td></td> <td></td> <td></td> <td></td> <td>別治町原山。中春里</td> </tr> <tr> <td>Ken-T</td> <td>opx, cpx, ol</td> <td></td> <td></td> <td>1,705-1,710</td> <td>小清水町東豊野</td> </tr> <tr> <td>Ns-Hk</td> <td>opx, cpx</td> <td></td> <td></td> <td>1,708-1,712</td> <td>同上</td> </tr> <tr> <td>Nu</td> <td></td> <td></td> <td></td> <td></td> <td>別治町中春利久水ほか</td> </tr> <tr> <td>Ns-T₁</td> <td>opx, cpx</td> <td>pm</td> <td>1,500-1,521</td> <td>1,715-1,720</td> <td>別治町木門</td> </tr> </tbody> </table>	記号	主な鉱物	火山ガラス	opx?	ho	模式地・その他	Ta-a	(opx, cpx)	pm	1,500-1,550	1,713-1,715	舟子町美留和。舟子町海、对比は主成分 ³⁹ 。	Eo-c	(opx, cpx)	pm	1,401-1,505	1,709-1,713	同上。对比は主成分 ³⁹ 。	Mu					中根津町養老半	Ma-b	(opx, cpx)	pm	1,401-1,504		舟根町消滅	E-Tm	af (n=1,203±)	pm, bw	1,508-1,519		舟子町美留和	Ra-2					糸白町朝日。全名主成分 ³⁹	Ma-f	epx, cpx	pm	1,516-1,520	1,707-1,711 (1,708-1,709)	中根津町武佐	Ma-g-j	epx, cpx			1,705-1,710 (1,708)	同上	Ma-k	(opx, cpx)	pm	1,505-1,518		舟子町美留和	Ma-l	epx, cpx			1,705-1,710 (1,706-1,709)	中根津町武佐	M1					別治町奥川	Anp	epx, cpx	pm	1,505-1,508	1,704-1,708	舟子町美留和	Ch					別治町原山。中春里	Ken-T	opx, cpx, ol			1,705-1,710	小清水町東豊野	Ns-Hk	opx, cpx			1,708-1,712	同上	Nu					別治町中春利久水ほか	Ns-T ₁	opx, cpx	pm	1,500-1,521	1,715-1,720	別治町木門	
記号	主な鉱物	火山ガラス	opx?	ho	模式地・その他																																																																																																										
Ta-a	(opx, cpx)	pm	1,500-1,550	1,713-1,715	舟子町美留和。舟子町海、对比は主成分 ³⁹ 。																																																																																																										
Eo-c	(opx, cpx)	pm	1,401-1,505	1,709-1,713	同上。对比は主成分 ³⁹ 。																																																																																																										
Mu					中根津町養老半																																																																																																										
Ma-b	(opx, cpx)	pm	1,401-1,504		舟根町消滅																																																																																																										
E-Tm	af (n=1,203±)	pm, bw	1,508-1,519		舟子町美留和																																																																																																										
Ra-2					糸白町朝日。全名主成分 ³⁹																																																																																																										
Ma-f	epx, cpx	pm	1,516-1,520	1,707-1,711 (1,708-1,709)	中根津町武佐																																																																																																										
Ma-g-j	epx, cpx			1,705-1,710 (1,708)	同上																																																																																																										
Ma-k	(opx, cpx)	pm	1,505-1,518		舟子町美留和																																																																																																										
Ma-l	epx, cpx			1,705-1,710 (1,706-1,709)	中根津町武佐																																																																																																										
M1					別治町奥川																																																																																																										
Anp	epx, cpx	pm	1,505-1,508	1,704-1,708	舟子町美留和																																																																																																										
Ch					別治町原山。中春里																																																																																																										
Ken-T	opx, cpx, ol			1,705-1,710	小清水町東豊野																																																																																																										
Ns-Hk	opx, cpx			1,708-1,712	同上																																																																																																										
Nu					別治町中春利久水ほか																																																																																																										
Ns-T ₁	opx, cpx	pm	1,500-1,521	1,715-1,720	別治町木門																																																																																																										

小論の作成に際し、東北大大学理学部岩谷教授の吉木水論一郎教授には EPMA の使用を許して顶いた。また同教授室蔵書と実習上には EPMA の使用にあたり直接御指導頂いた。群馬大学教育学部の折井周夫教授には、火山ガラスの分析率を測定して顶いた。小論は、筆者1人である早羽の東京都立大学大学院在学中の研究に基づくところが大きく、その源町田 晋教授にご指導頂いた。現地調査にあたって、宮城県立紫波上梁高技の指揮、該教諭には強く宿泊の便宜をはかって顶いた。培養調査

赤字：設備、運用又は体制の相違（設計方針の相違）
 青字：記載箇所又は記載内容の相違（記載方針の相違）
 緑字：記載表現、設備名称の相違（実質的な相違なし）

第6条 外部からの衝撃による損傷の防止（火山：別添資料1）

泊発電所3号炉 DB基準適合性 比較表

大飯発電所3／4号炉	女川原子力発電所2号炉	泊発電所3号炉	相違理由
	<p>884 八木治司・早田一雄 所の東村晃史博士には、誠に有難なご技術ご討論をいただいた。以上の告白にここに充てて感謝の意を表します。</p> <p>此後に1989年3月に東北大学生理学者を退官された後、笠原先生に小稿を掲げます。</p> <p>注</p> <p>1) 今回見出した伝統テフラ以外に、対比の可能性あるテフラとして分析したもの全てについて、その結果を示しました。</p> <p>2) ATの上位にある愛島層—上原テフラ層は、第一近似的に2万年弱の層と考えられる。</p> <p>3) Aso-4の下位にある愛島層石層は、第一近似的に8～9万年前の噴出と考えられる。</p> <p>4) Aso-4と On-Fmとの間の層準に認められる熊千一前坂カツラ層と北原火成層は、第一近似的にそれより7～8万年前の噴出と考えられる。</p> <p>5) 一連性石層はその上位に Toyama 認められ、西場底A遺跡においてその下位に赤色土層が堆積している（山口ほか、1996）。従って、岩原石層の噴出年代は、第一近似的に10～11万年前頃と考えられる。</p> <p>6) 既述の10万年 B.P. 前の噴出とする資料はないが、サンゴ礁環境で明らかにされた長期更新層成因立場編にあてはめられたその時期の南成層に対応される。</p> <p>7) その後の調査の結果、On-Fmとの分界の北端は岩手県胆沢郡長町であることが明らかとなった（早田 1989）。</p> <p>文献</p> <p>折井房夫・町田一洋（1980）：日本のテフラ・カタロジイー西日本～東北地方における後期新第三紀テフラの岩石記載的研究、轟石学論誌、6, 65-76。</p> <p>ARAI, T., MACHIDA, H., OKUMURA, K., MIYACHI, T., SODA, T. and YAMAGATA, K. (1986): Catalogue for late Quaternary tephrae occurring in northern Honshu and Hokkaido. Geogr. Rep. Tokyo Metropol. Univ., 21, 223-250.</p> <p>市川光夫（1983）：底氷乱水遺跡とその周辺地層の分布とキャラクター、有志文化談話会稿「南成層、木造建築」、95-96。</p> <p>——（1986）：赤堀廻丸遺跡裏面 TL 半代、東北歴史資料館、石器文化化活動会報「赤堀廻丸遺跡」、一期現用石器時代の研究一、東北歴史資料館資料集、14, 131-132。</p> <p>——（1987）：青葉山遺跡五車塚の TL 半代、東北大学歴史文化財研究会報、2, 127-128。</p> <p>松浦直慶（1980）：仙台周辺の2つの赤堀テフラについて、東北地誌、32, 46。</p> <p>——、豊島正幸・寺戸昌也（1981）：仙台およびその周辺地層に分布する浜詠世末朝のスコリア層、東北地誌、33, 49-53。</p> <p>豊島正幸（1985）：仙台市及び周辺に分布する愛島層とその形成岩質剖面について—噴出源の推定と噴出に乏しいトーラル岩の存在—、祭典会誌、80, 352-362。</p> <p>加藤樹郎・島田昇郎（1983）：更綱大山西山麓風化殻岩層成因地質及び特に三進川・首肯川流域に於ける、岩盤会誌、39, 190-194。</p> <p>奥水治司（1983）：赤堀廻丸遺跡とその周辺のフィーチャー・トライアングル年代、石器文化談話会報「赤堀廻丸遺跡III」、97-99。</p> <p>——（1985）：赤堀廻丸遺跡の火成岩のフィーチャー・トライアングル年代、東北歴史資料館、石器文化化活動会報「赤堀廻丸遺跡I—前羽根市赤堀時代の研究一、東北歴史資料館資料集、14, 133-138。</p> <p>——（1987）：愛島層石層のフィーチャー・トライアングル年代、東北大学歴史文化財研究会報、2, 132-135。</p> <p>——（1988）：赤堀廻丸遺跡およびその周辺のフィーチャー・トライアングル年代、東北歴史資料館、石器文化談話会報「赤堀廻丸遺跡I—前羽根市赤堀時代の研究一、東北歴史資料館資料集、23, 55-64。</p> <p>町田一洋（1986）：地域を意識する上の鍵層となるカツラ層、横濱原市地誌、地質調査会報「柏原層の地形・地質調査報告書」、第3稿、4-7。</p> <p>——、新井房夫（1985）：宮城テフラ考古学、新紀研究、22, 123-148。</p> <p>——、鈴木正男（1971）：火成岩の種別年代と岩成層時期の層年— フィーチャー・トライアングル法による読み、科学、41, 253-270。</p> <p>——、新井房夫・吉瀬 寛（1985）：阿慈・火成層—分布の広域性と後期更新世堆積層としての富</p>	<p>火山・テフラ名 記号 年代 測定方法 地質学式と層相 分布・体積 A V 注: [対比-他の名前]</p> <p>西別府丹²⁰⁰ Ns-Tz pfa, afa E > 60 km 3: 4-5 [Ns-n (L2)¹⁰, [床丹浮石(層)]¹⁰ の一部]</p> <p>西別府丹³¹⁰ Ns-Tz >30 C afa, pfa, sfa E(S) >60 km 3: 4-5 [Ns-p (L-5)¹⁰, [床丹浮石(層)]¹⁰ の一部]</p> <p>小清水¹²⁰ Es1 pfa 小清水・斜面地城 Na-Ts₁ との層位関係不明、[K-pfa]¹⁰</p> <p>西別府正⁹⁰ Ns-Ym Kc-1 直下 afa, pfa Es⁷ 3-4 5? 横尾火山層の噴出開始、イギリューソン未発達。</p> <p>中番別下部[群]^④ Ni Kc-4の上位、Kc-1まで含む。広く認められる特徴テフラ層は下記のようで、Spfa-L Atv-4, Toyama を除くと、クッチャロ火成層を割離とするらしい。</p> <p>クッチャロ京都² Kc-3r 同一噴火輪縦断 afa Es⁷ >1000 km 5 7 本文参照、[Ni-I]¹⁰, [Kc-P, flow-I]¹⁰</p> <p>35-40 C afa, pfa conc. 70 km 4 図2-4-6</p> <p>クッチャロ I²⁰ Kc-1 afa, pfa</p> <p>支笏第1¹⁰ Spfa-1 40-45 pfa インボリューション完結、本文・表3-5-3参照。</p> <p>小清水²²⁰ Es2 MIS 4か pfa 小清水・斜面地城 3 4 [K-pfa II]¹⁰, インボリューション完結</p> <p>小清水³¹⁰ Es3 MIS 5a~MIS 4 afa, pfa 回上 3 4 [K-pfa III]¹⁰, 強いインボリューション、河成段丘上。</p> <p>クッチャロ 2・3²⁰ Kc-2・3 85~90 pfa, (afa), pfa N-NNE 35 km 3 6 [Kc-P, flow-II][群]¹⁰, 土堆をはさむず二つの噴出物、[Ni-c]¹⁰</p> <p>阿蘇⁴¹ Aso-4 85~90 afa(vitric) Kc-2・3の直下にある。本文・表3-1参照。</p> <p>劍山²⁰ Shv MIS 6からしい pfa 小清水・斜面地城 3 47 インボリューション未発達。</p> <p>別路²¹ Toyama 112~115 afa(vitric) 本文・表3-5-2参照。</p> <p>小清水⁴¹⁰ Es4 MIS 5d からしい pfa, sfa 小清水・斜面地城 3 47 [K-pfa IV]¹⁰, インボリューション完結</p> <p>小清水⁵¹⁰ Es5 MIS 5d からしい pfa 回上 3 47 [K-pfa V]¹⁰, インボリューション・火成段丘。</p> <p>クッチャロ岩崎²⁰ Kc-Hb 同一噴火輪縦断 afa Es⁷ >1000 km, 5 W 500 km 7 図2-4-10</p> <p>クッチャロ⁴¹⁰ Kc-4 afa, pfa, pft conc. 70 km 4 本文参照、[Kc-P, flow-IV]¹⁰ & [Kc-5]¹⁰, [中標津]²⁰, [筑波]²⁰, [筑波山]²⁰, イギリューション最大のテフラ層、副溶設丘(MDS 5e)の南成段丘を形成する。</p> <p>北見ビンク²⁰ Etmp Kc-4 直下 afa(vitric) M1海成段丘をねううう。絆離不明。</p>	

泊発電所3号炉 DB基準適合性 比較表

赤字：設備、運用又は体制の相違（設計方針の相違）
 青字：記載箇所又は記載内容の相違（記載方針の相違）
 緑字：記載表現、設備名称の相違（実質的な相違なし）

第6条 外部からの衝撃による損傷の防止（火山：別添資料1）

大飯発電所3／4号炉	女川原子力発電所2号炉	泊発電所3号炉	相違理由																																																																																																																	
	<p>宮城県中部および北部に分布する後期更新世玄武岩テフラとその層位 885 義: 火山, 第2集, 30, 129-145</p> <p>—・吉内信一・奥村光美 (1987) : 北日本を広く覆う調査火山灰, 第四紀研究, 26, 129-139.</p> <p>—・小田柳大・遠藤裕彦・杉原重夫 (1984) : テフラと日本古生物学・考古学研究と関連するテフラのカタログ—, 波田真理編「古文化街に関する保存研究と文献, 自然歴史」, 86, 5-928.</p> <p>佐木英二・前田恵次・竹村忠二・西田史朗 (1987) : 烧成工場 (AT) の ^{14}C 年代, 第四紀研究, 26, 79-83.</p> <p>宮内俊裕 (1988) : 東北地方北部における後期更新世海底堆積物の対比と細分, 地理評, 61, 404-422.</p> <p>中井智也 (1988) : 放射性炭素年代測定粉末の報告, 東北歴史資料館・石器文化遺跡会議「鳥居瀬A遺跡II—前田石器時代の研究—」, 東北歴史資料館資料集, 23, 52.</p> <p>小元久仁夫 (1964) : 宮城県東北地方の地形第3編, 東北地理, 16, 61-70.</p> <p>(1966) : 宮城県鳴子盆地の地形発達史, 地理評, 39, 321-337.</p> <p>Omoto (1983) : Radiocarbon dating using a low-background liquid scintillation counting system, Sci. Rep. Tohoku Univ., 7th ser., 33, 23-43.</p> <p>安藤義博 (1987) : 青森山道跡B地点の火山灰の ESR 年代, 東北火葬場文化財調査年報, 2, 129-130.</p> <p>早田 駿 (1984) : 鳴子衣山から発出した第四紀地殻のテフラ, 火山, 第2集, 29, 358.</p> <p>— (1989) : 四石器時代の示標テフラ, 日本第四紀学会講演要旨集, 18, 14-17.</p> <p>— (1989) : テフラカタログによる並用日光時代遺跡自習の検討—仙台平野北部の遺跡を中心に, 第1回研究, (未掲載).</p> <p>王子貞雄・山田一郎 (1983) : 亂敷乱木遺跡を中心とした遺跡土壤の土壤学的研究, 石器文化遺跡会議「麻績乱木遺跡III」, 80-94.</p> <p>須藤 隆・櫻原 伸・佐川正敏 (1985) : 青森山道跡の調査成果, 日本考古学会第51回総会研究発表要旨, 13-14.</p> <p>東北歴史資料館・石器文化遺跡会議 (1986) : 鳥居瀬A遺跡と層序, 東北歴史資料館・石器文化遺跡会議「鳥居瀬A遺跡I—前田石器時代の研究—」, 東北歴史資料館資料集, 14, 1-25.</p> <p>宇井忠寿・杉原 新・芝崎敏一 (1973) : 叶折木森遺跡出土の ^{14}C 年代, 火山, 第2集, 8, 171-172.</p> <p>八木治司・高内恭裕 (1988) : 施設平野北部における鶴巣大山灰の観察とその蘊藏学上の意味, 東北地理, 38, 230-237.</p> <p>YAMADA, E. (1972) : Study on the stratigraphy of Onitsuke area, Miyagi Prefecture, Japan—with special reference to the development of the Onitsuke Basin, Geol. Surv. Japan Bull., 28, 217-231.</p> <p>山田一郎・庄子貞雄 (1983) : 火山ガラスの性質から見た火山灰とテフラの性質との関係について, 日本国立科学雑誌, 54, 311-318.</p> <p>—・阿部 駿 (1986) : 鳥居瀬A遺跡を中心とする旧石器時代遺跡土壤の土壤学的検討, 東北歴史資料館・石器文化遺跡会議「鳥居瀬A遺跡I—前田石器時代の研究—」, 東北歴史資料館資料集, 14, 118-122.</p> <p>米地文次・青池潤一 (1983) : 尾花沢銀石層について, 東北地理, 18, 23-28. (1989年5月30日受付, 1989年10月10日受理)</p>	<table border="1"> <thead> <tr> <th>記号</th> <th>主な鉱物</th> <th>火成岩 タイプ</th> <th>spat</th> <th>ho</th> <th>模式堆・その他</th> </tr> </thead> <tbody> <tr> <td>Ns-Tz</td> <td>opx, cpx</td> <td>pm</td> <td>1.510-1.520</td> <td>1.706-1.710</td> <td>別海町東月</td> </tr> <tr> <td>Ne-Tz</td> <td>cpx, opx</td> <td>pm</td> <td>1.517-1.520</td> <td>1.706-1.710</td> <td>同上</td> </tr> <tr> <td>Kai</td> <td>opx, cpx</td> <td>pm</td> <td>1.512-1.515</td> <td>1.706-1.710</td> <td>小清水町東塩野</td> </tr> <tr> <td>Ns-Ym</td> <td>cpx, opx</td> <td>pm</td> <td>1.502-1.504</td> <td>1.702-1.710</td> <td>同上</td> </tr> <tr> <td>Ni</td> <td></td> <td></td> <td></td> <td></td> <td>別海町各地</td> </tr> <tr> <td>Kc-Sr</td> <td>opx, cpx</td> <td>pm>bw</td> <td>1.502-1.505 (1.503-1.504)</td> <td>1.707-1.710 (1.708-1.709)</td> <td>白樺町豆路</td> </tr> <tr> <td>Kc-I</td> <td>opx, cpx, ol</td> <td>pm</td> <td>1.502-1.504</td> <td>1.707-1.710 (1.707-1.709)</td> <td>網走市オホナイ川上流</td> </tr> <tr> <td>Spat-I</td> <td>opx, cpx</td> <td>pm</td> <td>1.502-1.505</td> <td>1.707-1.731 (1.503-1.504)</td> <td>新里町川上</td> </tr> <tr> <td>Kai</td> <td>opx, cpx, ol</td> <td>pm</td> <td>1.505-1.515</td> <td>1.707-1.710 (1.708-1.709)</td> <td>網走市オホナイ川上流</td> </tr> <tr> <td>Ks-I</td> <td>opx, cpx, ol</td> <td>pm</td> <td>1.515-1.518</td> <td>1.707-1.711 (1.708-1.710)</td> <td>同上, 小清水町止利</td> </tr> <tr> <td>Kc-Z-3</td> <td>opx, cpx</td> <td>pm</td> <td>1.503-1.508 (1.505-1.508)</td> <td>1.707-1.710</td> <td>網走市嘉平</td> </tr> <tr> <td>Aso-6</td> <td>opx, (hol)</td> <td>bw</td> <td>1.509-1.512</td> <td>1.700-1.702 (1.600)</td> <td>同上, 新里町中町里</td> </tr> <tr> <td>Shr</td> <td>opx, cpx</td> <td>pm</td> <td>1.511-1.514</td> <td>1.704-1.708</td> <td>新里町川上</td> </tr> <tr> <td>Toya</td> <td></td> <td>pm, bw</td> <td>1.495-1.498</td> <td></td> <td>同上, 主成分²⁰</td> </tr> <tr> <td>Kai</td> <td>opx, cpx</td> <td></td> <td></td> <td>1.701-1.710</td> <td>小清水町東塩野</td> </tr> <tr> <td>Kc-Hb</td> <td>opx, cpx</td> <td>bw</td> <td>1.602-1.604</td> <td>1.705-1.709</td> <td>羽幌町幸町, 厚真町厚来</td> </tr> <tr> <td>Kc-4</td> <td>opx, cpx</td> <td>bw, pm</td> <td>1.502-1.506 (1.503-1.505)</td> <td>1.707-1.710 (1.708-1.709)</td> <td>網走, 中砂津一帯, 銚達市大糸毛</td> </tr> <tr> <td>Ktsp</td> <td>(opx, cpx, hol)</td> <td>pm</td> <td>1.502-1.505</td> <td></td> <td>網走市オホナイ川上流, 北見河内</td> </tr> </tbody> </table> <p>000), 9) 石室ほか (1983), 10) 佐藤ほか (1984), 11) Katsui et al. (1993), 12) 稲井ほか (1985), 13) 鹿島・北川 (1985), 14) 稲井・國的佐ほか (1986), 22) 刈田ほか (1987a), 23) 枝下ほか (1987), 24) 枝井ほか (1987), 25) 渡・北川 (1984), 26) 長村 (1993), 27) 長村ほか</p>	記号	主な鉱物	火成岩 タイプ	spat	ho	模式堆・その他	Ns-Tz	opx, cpx	pm	1.510-1.520	1.706-1.710	別海町東月	Ne-Tz	cpx, opx	pm	1.517-1.520	1.706-1.710	同上	Kai	opx, cpx	pm	1.512-1.515	1.706-1.710	小清水町東塩野	Ns-Ym	cpx, opx	pm	1.502-1.504	1.702-1.710	同上	Ni					別海町各地	Kc-Sr	opx, cpx	pm>bw	1.502-1.505 (1.503-1.504)	1.707-1.710 (1.708-1.709)	白樺町豆路	Kc-I	opx, cpx, ol	pm	1.502-1.504	1.707-1.710 (1.707-1.709)	網走市オホナイ川上流	Spat-I	opx, cpx	pm	1.502-1.505	1.707-1.731 (1.503-1.504)	新里町川上	Kai	opx, cpx, ol	pm	1.505-1.515	1.707-1.710 (1.708-1.709)	網走市オホナイ川上流	Ks-I	opx, cpx, ol	pm	1.515-1.518	1.707-1.711 (1.708-1.710)	同上, 小清水町止利	Kc-Z-3	opx, cpx	pm	1.503-1.508 (1.505-1.508)	1.707-1.710	網走市嘉平	Aso-6	opx, (hol)	bw	1.509-1.512	1.700-1.702 (1.600)	同上, 新里町中町里	Shr	opx, cpx	pm	1.511-1.514	1.704-1.708	新里町川上	Toya		pm, bw	1.495-1.498		同上, 主成分 ²⁰	Kai	opx, cpx			1.701-1.710	小清水町東塩野	Kc-Hb	opx, cpx	bw	1.602-1.604	1.705-1.709	羽幌町幸町, 厚真町厚来	Kc-4	opx, cpx	bw, pm	1.502-1.506 (1.503-1.505)	1.707-1.710 (1.708-1.709)	網走, 中砂津一帯, 銚達市大糸毛	Ktsp	(opx, cpx, hol)	pm	1.502-1.505		網走市オホナイ川上流, 北見河内
記号	主な鉱物	火成岩 タイプ	spat	ho	模式堆・その他																																																																																																															
Ns-Tz	opx, cpx	pm	1.510-1.520	1.706-1.710	別海町東月																																																																																																															
Ne-Tz	cpx, opx	pm	1.517-1.520	1.706-1.710	同上																																																																																																															
Kai	opx, cpx	pm	1.512-1.515	1.706-1.710	小清水町東塩野																																																																																																															
Ns-Ym	cpx, opx	pm	1.502-1.504	1.702-1.710	同上																																																																																																															
Ni					別海町各地																																																																																																															
Kc-Sr	opx, cpx	pm>bw	1.502-1.505 (1.503-1.504)	1.707-1.710 (1.708-1.709)	白樺町豆路																																																																																																															
Kc-I	opx, cpx, ol	pm	1.502-1.504	1.707-1.710 (1.707-1.709)	網走市オホナイ川上流																																																																																																															
Spat-I	opx, cpx	pm	1.502-1.505	1.707-1.731 (1.503-1.504)	新里町川上																																																																																																															
Kai	opx, cpx, ol	pm	1.505-1.515	1.707-1.710 (1.708-1.709)	網走市オホナイ川上流																																																																																																															
Ks-I	opx, cpx, ol	pm	1.515-1.518	1.707-1.711 (1.708-1.710)	同上, 小清水町止利																																																																																																															
Kc-Z-3	opx, cpx	pm	1.503-1.508 (1.505-1.508)	1.707-1.710	網走市嘉平																																																																																																															
Aso-6	opx, (hol)	bw	1.509-1.512	1.700-1.702 (1.600)	同上, 新里町中町里																																																																																																															
Shr	opx, cpx	pm	1.511-1.514	1.704-1.708	新里町川上																																																																																																															
Toya		pm, bw	1.495-1.498		同上, 主成分 ²⁰																																																																																																															
Kai	opx, cpx			1.701-1.710	小清水町東塩野																																																																																																															
Kc-Hb	opx, cpx	bw	1.602-1.604	1.705-1.709	羽幌町幸町, 厚真町厚来																																																																																																															
Kc-4	opx, cpx	bw, pm	1.502-1.506 (1.503-1.505)	1.707-1.710 (1.708-1.709)	網走, 中砂津一帯, 銚達市大糸毛																																																																																																															
Ktsp	(opx, cpx, hol)	pm	1.502-1.505		網走市オホナイ川上流, 北見河内																																																																																																															

枠囲み部は本資料における抜粋又は参照箇所を示す

泊発電所3号炉 DB基準適合性 比較表

第6条 外部からの衝撃による損傷の防止 (火山:別添資料1)

赤字: 設備、運用又は体制の相違 (設計方針の相違)
青字: 記載箇所又は記載内容の相違 (記載方針の相違)
緑字: 記載表現、設備名称の相違 (実質的な相違なし)

大飯発電所3／4号炉	女川原子力発電所2号炉	泊発電所3号炉	相違理由
	<p style="text-align: center;">別添資料一2</p> <p style="text-align: center;">論文・Paper</p> <p style="text-align: center;">シラスを主原料とする結晶化ガラス</p> <p style="text-align: center;">恒松修二・井上耕三・松田応作 (九州工業技術試験所)</p> <p style="text-align: center;">Crystallized Glasses Produced by the Use of a Volcanic Ash "Shirasu"</p> <p style="text-align: center;">By Shuji TSUNEMATSU, Kono INOUE and Osaku MATSUDA (National Industrial Research Institute of Kyushu)</p> <p>"Shirasu" is a sort of volcanic ash broadly deposited in southern Kyushu and consists mostly of glassy aluminum-silicate.</p> <p>In this paper, the authors describe the crystallizing behavior of some glasses produced by using "Shirasu" as a raw material without addition of any crystal nucleus and discuss the correlations between the structures of crystallized glasses and their strengths.</p> <p>The results obtained are summarized as follows:</p> <ol style="list-style-type: none"> Heat treatments of the glasses in the systems "Shirasu-CaO-MgO", "Shirasu-CaO-ZnO" and "Shirasu-CaO-MgO-ZnO" caused the formation of the crystals of diopside, hardystone-β- wollastonite and diopside-hardystone-β-wollastonite respectively. An unknown crystal was detected in each of almost all of the specimens. All the crystals grew from the surface to the inside of the glass specimen. By the crystallization, the softening temperature of all of the glasses examined rose from about 870°C to about 1200°C and their hardness in Mohrs increased from 5 to 8. The glasses in the systems "Shirasu-CaO-MgO" and "Shirasu-CaO-MgO-ZnO", in which diopside precipitated on heating, did not show an increase in strength by any crystallization procedure, whereas the strength of the glasses in the system "Shirasu-CaO-ZnO" heat-treated for 2 hours were 2 to 3 times as high as those of the original glasses respectively. As the heating time was further increased, however, their once increased strength dropped rapidly, regaining their original values. The high strengths achieved by crystallization were discussed in terms of the shape of the formed crystals, the processes of the crystal growth, the appearance of crystal grain boundary, etc. <p style="text-align: center;">[Received September 29, 1975]</p> <p style="text-align: center;">I. 緒 言</p> <p>"シラスとは、南九州に広く分布する厚い珪石層(岩石 巖灰角鉱岩)、隕下巖石層およびこれらの二次堆積層で、</p> <p style="text-align: center;">第三紀から第四紀にかけて給食、阿多火山などから噴出 したものである"、と定義されている¹⁾。</p> <p>従来、熱処理ガラスの製造法としては、熱処理形成剤</p> <p style="text-align: center;">S. TSUNEMATSU et al. 32</p> <p style="text-align: center;">山口信郎、白瀬豊平、ヒラミタケル, 8, 355-37 (1971). 大庭辰、村田清、島田照平, 財大志 11, 10-22 (1966). 吉澤正行, 原大志 14, 10 (1972). S.M. Zubakov and A.I. Ulyakov, <i>Ognessopny No. 9</i>, 54-60 (1972). M.E. Fine, Am. Ceram. Soc. Bull., 51, 519-15 (1972). (R25/1975 熊村)</p> <p style="text-align: center;">S. TSUNEMATSU et al. 32</p> <p style="text-align: center;">山口信郎、白瀬豊平、ヒラミタケル, 8, 355-37 (1971). 大庭辰、村田清、島田照平, 財大志 11, 10-22 (1966). 吉澤正行, 原大志 14, 10 (1972). S.M. Zubakov and A.I. Ulyakov, <i>Ognessopny No. 9</i>, 54-60 (1972). M.E. Fine, Am. Ceram. Soc. Bull., 51, 519-15 (1972). (R25/1975 熊村)</p> <p style="text-align: center;">論文・Paper</p> <p style="text-align: center;">シラスを主原料とする結晶化ガラス</p> <p style="text-align: center;">恒松修二・井上耕三・松田応作 (九州工業技術試験所)</p> <p style="text-align: center;">Crystallized Glasses Produced by the Use of a Volcanic Ash "Shirasu"</p> <p style="text-align: center;">By Shuji TSUNEMATSU, Kono INOUE and Osaku MATSUDA (National Industrial Research Institute of Kyushu)</p> <p>"Shirasu" is a sort of volcanic ash broadly deposited in southern Kyushu and consists mostly of glassy aluminum-silicate.</p> <p>In this paper, the authors describe the crystallizing behavior of some glasses produced by using "Shirasu" as a raw material without addition of any crystal nucleus and discuss the correlations between the structures of crystallized glasses and their strengths.</p> <p>The results obtained are summarized as follows:</p> <ol style="list-style-type: none"> Heat treatments of the glasses in the systems "Shirasu-CaO-MgO", "Shirasu-CaO-ZnO" and "Shirasu-CaO-MgO-ZnO" caused the formation of the crystals of diopside, hardystone-β- wollastonite and diopside-hardystone-β-wollastonite respectively. An unknown crystal was detected in each of almost all of the specimens. All the crystals grew from the surface to the inside of the glass specimen. By the crystallization, the softening temperature of all of the glasses examined rose from about 870°C to about 1200°C and their hardness in Mohrs increased from 5 to 8. The glasses in the systems "Shirasu-CaO-MgO" and "Shirasu-CaO-MgO-ZnO", in which diopside precipitated on heating, did not show an increase in strength by any crystallization procedure, whereas the strength of the glasses in the system "Shirasu-CaO-ZnO" heat-treated for 2 hours were 2 to 3 times as high as those of the original glasses respectively. As the heating time was further increased, however, their once increased strength dropped rapidly, regaining their original values. The high strengths achieved by crystallization were discussed in terms of the shape of the formed crystals, the processes of the crystal growth, the appearance of crystal grain boundary, etc. <p style="text-align: center;">[Received September 29, 1975]</p> <p style="text-align: center;">I. 緒 言</p> <p>"シラスとは、南九州に広く分布する厚い珪石層(岩石 巖灰角鉱岩)、隕下巖石層およびこれらの二次堆積層で、</p> <p style="text-align: center;">第三紀から第四紀にかけて給食、阿多火山などから噴出 したものである"、と定義されている¹⁾。</p> <p>従来、熱処理ガラスの製造法としては、熱処理形成剤</p>		

泊発電所 3号炉 DB基準適合性 比較表

第6条 外部からの衝撃による損傷の防止（火山：別添資料1）

大飯発電所3／4号炉	女川原子力発電所2号炉	泊発電所3号炉	相違理由
<p>3.2 基本構造</p> <p>として Au, Ag, Cuなどを加え外観、ガソーラー鏡を照射する方法、Pt, RuあるいはZrO₂, TiO₂を用いる方法などがある¹⁾。</p> <p>シラスを主原料とし、これに CaO, MgO, ZnOなどを添加して得られるガラスは結晶化抑制剤を添加することなく通常の熱処理によって結晶化する。</p> <p>本稿は、これらガラス組成、熱処理によって生じる結晶の種類、結晶生成過程などを、得られた結晶化ガラスの性質との関係について検討したものである。</p> <p>2. 実験方法</p> <p>2.1 ガラス試料の調製</p> <p>ガラスの主原料として使用したシリカは、鹿児島県垂水市新城のシリカ原鉱をガーボルミングして粒度を約149μmとしたものである。表1にその化学成分および試料組成を示す。ガラス質と結晶質との分離を均化熱処理を用いて浮遊分離法によることで、他の原料としては、CaO, ZnO および MgO を用いた。CaO は市販の試薬純度酢酸カルシウムをシリカロットで溶解して1100°C、2時間熱処理した。ZnO および MgO は、市販の試薬一級酸化錫、試薬重質酸化マグネシウムをそれぞれ用いた。</p> <p>表2に示す組成に合ったパッタ 2kg をガーボルミングで 30 分間混合したものをガーボルミナ炉内に、カントンスパーー電気炉で 1600°C、3時間加熱熱処理し、水中に投入熱浴してガラスをつくり、その後ガラスを、西日本カントンスパーー電気炉で 1300°C、1時間熱処理熱したのち、ガーボルミナ炉内に投入してガラスをつくり、冷却後ガラスをダイヤモンドカッターで切削し、カーボランジン 800番で研磨して 3×5×50 mm の大きさの試料標本を作成した。</p> <p>2.2 热処理</p> <p>ガラス試料の条件を調べるために理学電機製自記記録示熱分析装置により示差熱分析を行った。基準物質としてガーボルミナを用いた。昇温速度は 10°C/min とした。</p> <p>2.3 結晶化のための熱処理</p> <p>2.3.1 熱に述べた方法によって作成した標準ガラス試験体を、手前 700°C および 900°C にこれらの設定温度は、3.1実験で設定した電気の熱炉炉に置き、それをこの温度に一定時間保持した後、さらに 5°C/min で昇温し、1000°C および 1100°C で一定時間熱処理を行った。その後熱処理条件を表3に示す。熱処理の後、電気炉より取り出し空冷したものを結晶化ガラスの曲げ强度試験体とした。</p> <p>2.4 曲げ強度</p> <p>曲げ強度試験は、中央上部から荷重を加える三点荷重法で行った。支点距離を 3 cm とし、式次式により曲げ強度 (ε) を求めた。</p> $\epsilon = 3P/2bh^2$ <p>ε: 曲げ強度 (kg/cm²), P: フォラン (kg), b: 幅 (cm), h: 高さ (cm)</p> <p>曲げ強度 (ε) は試験体 5 個の平均値である。</p> <p>2.5 X線回折</p> <p>熱処理により生じる結晶の確認、結晶生成過程を知るために結晶化ガラスのX線回折を行った。これには理学電機製自記X線回折装置 (CuK_α, 硅, 35 kV, 15 mA) を用いた。試料に厚さ乳鉢で粉砕して、カーボランジン 800番で研磨して 3×5×50 mm の大きさの標本を作成したものを用いた。</p> <p>2.6 示差熱分析</p> <p>ガラス試験の熱変化を調べるために理学電機製自記記録示熱分析装置により示差熱分析を行った。基準物質としてガーボルミナを用いた。昇温速度は 10°C/min とした。</p> <p>2.7 結晶化ガラスの特性</p> <p>結晶化によるガラス特性的変化を知るために熱処理後のガラスの密度を測定した。</p> <p>2.8 結晶化ガラスの組成</p> <p>結晶化ガラスを 3.1 実験で得た水酸化溶液で約 1 分間キッティングし、反射型光学顕鏡で観察した。</p> <p>2.9 結晶化ガラスの性質</p> <p>結晶化によるガラス特性的変化を知るために熱処理後のガラスの密度を測定した。</p> <p>3.2 基本構造</p> <p>として Au, Ag, Cuなどを加え外観、ガソーラー鏡を照射する方法、Pt, RuあるいはZrO₂, TiO₂を用いる方法などがある¹⁾。</p> <p>シラスを主原料とし、これに CaO, MgO, ZnOなどを添加して得られるガラスは結晶化抑制剤を添加することなく通常の熱処理によって結晶化する。</p> <p>本稿は、これらガラス組成、熱処理によって生じる結晶の種類、結晶生成過程などを、得られた結晶化ガラスの性質との関係について検討したものである。</p> <p>2. 実験方法</p> <p>2.1 ガラス試験の調製</p> <p>ガラスの主原料として使用したシリカは、鹿児島県垂水市新城のシリカ原鉱をガーボルミングして粒度を約149μmとしたものである。表1にその化学成分および試料組成を示す。ガラス質と結晶質との分離を均化熱処理を用いて、浮遊分離法によった。他の原料としては、CaO, ZnO および MgO を用いた。CaO は市販の試薬純度酢酸カルシウムをシリカロットで溶解して1100°C、2時間熱処理した。ZnO および MgO は、市販の試薬一級酸化錫、試薬重質酸化マグネシウムをそれぞれ用いた。</p> <p>表2に示す組成に合ったパッタ 2kg をガーボルミングで 30 分間混合したものと高アルミニナ坩埚に入れた。カントンスパーー電気炉で 1600°C、3時間加熱熱処理し、水中に投入熱浴してガラスをつくり、その後ガラスを、西日本カントンスパーー電気炉で 1300°C、1時間熱処理熱したのち、ガーボルミナ炉内に投入してガラスをつくり、冷却後ガラスをダイヤモンドカッターで切削し、カーボランジン 800番で研磨して 3×5×50 mm の大きさの試料標本を作成した。</p> <p>2.2 热処理</p> <p>ガラス試験の条件を調べるために理学電機製自記記録示熱分析装置により示差熱分析を行った。基準物質としてガーボルミナを用いた。昇温速度は 10°C/min とした。</p> <p>2.3 結晶化のための熱処理</p> <p>2.3.1 熱に述べた方法によって作成した標準ガラス試験体を、手前 700°C および 900°C にこれらの設定温度は、3.1実験で設定した電気の熱炉炉に置き、それをこの温度に一定時間保持した後、さらに 5°C/min で昇温し、1000°C および 1100°C で一定時間熱処理を行った。その後熱処理条件を表3に示す。熱処理の後、電気炉より取り出し空冷したものを結晶化ガラスの曲げ强度試験体とした。</p> <p>2.4 曲げ強度</p> <p>曲げ強度試験は、中央上部から荷重を加える三点荷重法で行った。支点距離を 3 cm とし、式次式により曲げ強度 (ε) を求めた。</p> $\epsilon = 3P/2bh^2$ <p>ε: 曲げ強度 (kg/cm²), P: フォラン (kg), b: 幅 (cm), h: 高さ (cm)</p> <p>曲げ強度 (ε) は試験体 5 個の平均値である。</p> <p>2.5 X線回折</p> <p>熱処理により生じる結晶の確認、結晶生成過程を知るために結晶化ガラスのX線回折を行った。これには理学電機製自記X線回折装置 (CuK_α, 硅, 35 kV, 15 mA) を用いた。試料に厚さ乳鉢で粉砕して、カーボランジン 800番で研磨して 3×5×50 mm の大きさの標本を作成したものを用いた。</p> <p>2.6 示差熱分析</p> <p>ガラス試験の熱変化を調べるために理学電機製自記記録示熱分析装置により示差熱分析を行った。基準物質としてガーボルミナを用いた。昇温速度は 10°C/min とした。</p> <p>2.7 結晶化ガラスの特性</p> <p>結晶化によるガラス特性的変化を知るために熱処理後のガラスの密度を測定した。</p> <p>2.8 結晶化ガラスの組成</p> <p>結晶化ガラスは、ガラス試験を表3の No. 8 の条件で 3.1 実験で設定した電気の熱炉炉に置き、それをこの温度に一定時間保持した後、さらに 5°C/min で昇温し、1000°C および 1100°C で一定時間熱処理を行った。その後熱処理条件を表3に示す。熱処理の後、電気炉より取り出し空冷したものを結晶化ガラスの曲げ强度試験体とした。</p> <p>2.9 結晶化ガラスの性質</p> <p>結晶化によるガラス特性的変化を知るために熱処理後のガラスの密度を測定した。</p>			

泊発電所 3号炉 DB基準適合性 比較表

赤字：設備、運用又は体制の相違（設計方針の相違）
青字：記載箇所又は記載内容の相違（記載方針の相違）
緑字：記載表現、設備名称の相違（実質的な相違なし）

第6条 外部からの衝撃による損傷の防止（火山：別添資料1）

泊発電所 3号炉 DB基準適合性 比較表

赤字：設備、運用又は体制の相違（設計方針の相違）
 青字：記載箇所又は記載内容の相違（記載方針の相違）
 緑字：記載表現、設備名称の相違（実質的な相違なし）

第6条 外部からの衝撃による損傷の防止（火山：別添資料1）

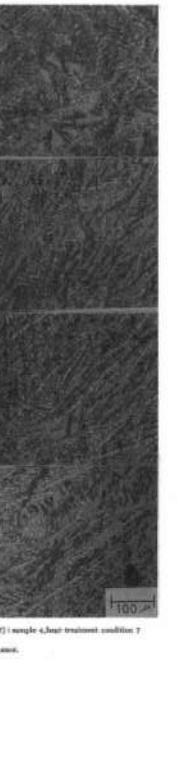
大飯発電所3／4号炉	女川原子力発電所2号炉	泊発電所3号炉	相違理由
	<p>93 信頼度二枚式 [1-4]</p>  <p>常熟試験館 94 [6] 1970 281 [4-2]</p>  <p>[1-4] [4-2]</p> <p>6h 2h 2h 4h</p>	<p>83 信頼度二枚式 [3-4]</p>  <p>常熟試験館 94 [6] 1970 281 [4-1]</p>  <p>[3-4] [4-1]</p> <p>2h 2h 2h 4h</p>	

Fig. 3 Photo-micrographs of crystallized glasses.

Fig. 4 Photo-micrographs of crystallized glasses.

泊発電所 3号炉 DB基準適合性 比較表

第6条 外部からの衝撃による損傷の防止 (火山:別添資料1)

赤字: 設備、運用又は体制の相違 (設計方針の相違)
青字: 記載箇所又は記載内容の相違 (記載方針の相違)
緑字: 記載表現、設備名称の相違 (実質的な相違なし)

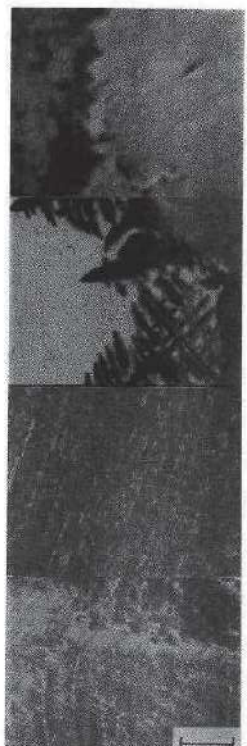
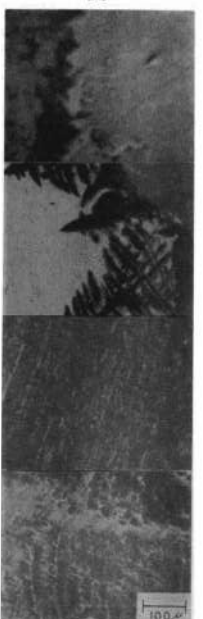
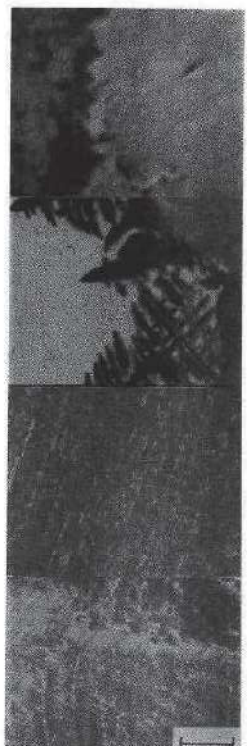
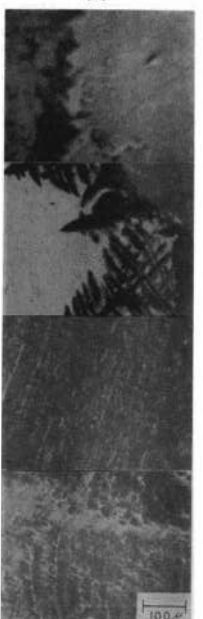
大飯発電所3／4号炉	女川原子力発電所2号炉	泊発電所3号炉	相違理由
	<p>282 <i>Japan.Kyokaishi</i> 84 [6] 16/6 [2-1]</p>  <p>[2-2]</p> <p>282 <i>Japan.Kyokaishi</i> 84 [6] 16/6 [2-3]</p>  <p>[2-4]</p> <p>TSUNEMATSU et al., 36 [2-5]</p>  <p>[2-6]</p> <p>TSUNEMATSU et al., 36 [2-7]</p>  <p>[2-8]</p>	<p>282 <i>Japan.Kyokaishi</i> 84 [6] 16/6 [2-1]</p>  <p>[2-2]</p> <p>282 <i>Japan.Kyokaishi</i> 84 [6] 16/6 [2-3]</p>  <p>[2-4]</p> <p>TSUNEMATSU et al., 36 [2-5]</p>  <p>[2-6]</p> <p>TSUNEMATSU et al., 36 [2-7]</p>  <p>[2-8]</p>	

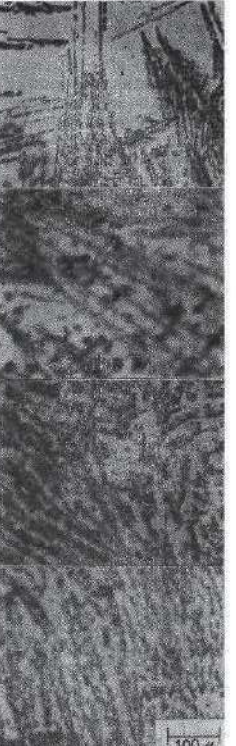
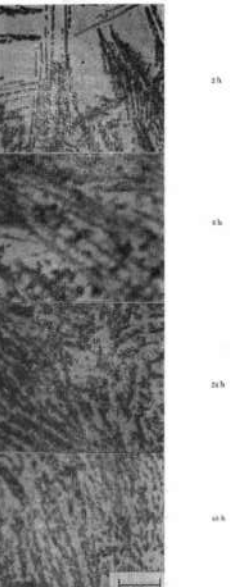
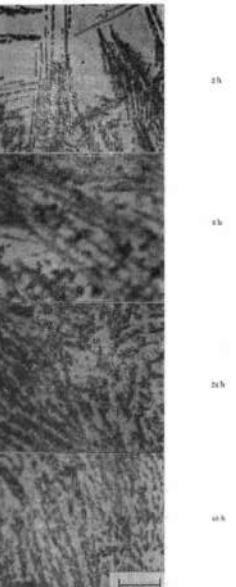
Fig. 4. Photo-micrographs of crystallized glasses

Fig. 4. Photo-micrographs of crystallized glasses

泊発電所 3号炉 DB基準適合性 比較表

赤字：設備、運用又は体制の相違（設計方針の相違）
 青字：記載箇所又は記載内容の相違（記載方針の相違）
 緑字：記載表現、設備名称の相違（実質的な相違なし）

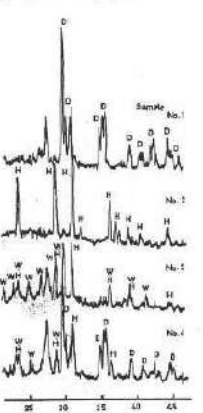
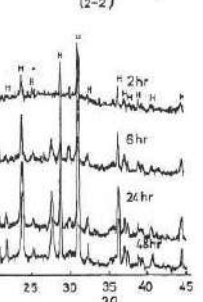
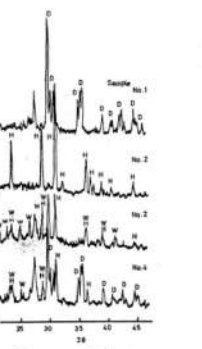
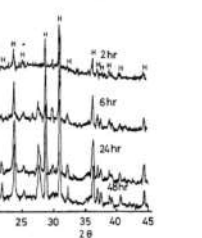
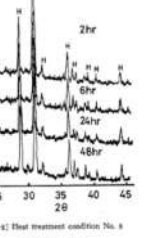
第6条 外部からの衝撃による損傷の防止（火山：別添資料1）

大飯発電所3／4号炉	女川原子力発電所2号炉	泊発電所3号炉	相違理由
	<p>47 佐久喜二(か)</p> <p>[2-7] </p> <p>[3-7] </p> <p>蒸煮箱会社 84[6] 1978-283</p> <p>[2-7] </p> <p>[3-7] </p> <p>[2-7] : sample 2,heat-treatment condition 7 [3-7] : sample 3,heat-treatment condition 7</p> <p>Fig. 6 Photo-micrographs of crystallized glasses.</p>	<p>47 佐久喜二(か)</p> <p>[2-7] </p> <p>[3-7] </p> <p>蒸煮箱会社 84[6] 1978-283</p> <p>[2-7] : sample 2,heat-treatment condition 7 [3-7] : sample 3,heat-treatment condition 7</p> <p>Fig. 8 Photo-micrographs of crystallized glasses.</p>	

泊発電所 3号炉 DB基準適合性 比較表

赤字：設備、運用又は体制の相違（設計方針の相違）
青字：記載箇所又は記載内容の相違（記載方針の相違）
緑字：記載表現、設備名称の相違（実質的な相違なし）

第6条 外部からの衝撃による損傷の防止（火山：別添資料1）

大飯発電所3／4号炉	女川原子力発電所2号炉	泊発電所3号炉	相違理由
<p>264 Voges-Kyotoi-Shi #14 [6] 1676</p>  <p>3. TSUNEMATSU et al. 38</p> <p>結晶化度は結晶化前後において 873°C から 1200°C 以上 (測定誤差 3200°C) となった。他の試料の結晶化度の変化も、ほぼ近似したものであった。モース硬度はいずれの試料も、結晶化によってさからまに向上した。</p> <p>3.5 曲げ強度</p> <p>結晶化ガラスの曲げ強度を 図 9 に示す。試料 No. 1 および No. 4 は全般的に低強度で、熱処理条件による強度変化は小さい。試料 No. 2 および No. 3 について結晶化のための再加熱を行わない場合 (図 9 の Time 0 に相当) の曲げ強度は 700~800 kg/cm² であったが、何れの熱処理条件においても、熱処理 2 時間で曲げ強度は 1800~2700 kg/cm² に達するピークを示した。これは、結晶化のための再加熱を行わないガラスの 2~3 倍の強度である。その後の熱処理時間と強度に伴い、曲げ強度は全般的に低下の傾向を示すが、試料 No. 2 に限り熱処理条件 3, 4, 7 および 8 による結晶化ガラスは、一旦 1000 kg/cm² 程度に強度が低下した後再び 2000 kg/cm² 強度まで増大した。</p> <p>4. 考 察</p> <p>以下、結晶化ガラスの曲げ強度について考察する。</p> <p>試料 No. 1 の結晶化ガラスでは、図 3 (1-6) に見られるように斜状の diopside の結晶粒界が発生したこと、それに表 4 に示したように、結晶化前後の光透過率が大きいために割離、空洞および気泡などの現象がひ</p> <p>Fig. 6. X-ray diffraction patterns of the heat-treated glasses.</p> <p>(2-2)</p>  <p>(2-2) Heat treatment condition No. 2</p> <p>Crystalline phase H: hedenbergite, $2\text{CaO} \cdot \text{ZnO} \cdot 2\text{SiO}_2$</p> <p>Fig. 7. X-ray diffraction patterns of the heat-treated glass sample No. 2.</p> <p>264 Voges-Kyotoi-Shi #14 [6] 1976</p>  <p>3. TSUNEMATSU et al. 38</p> <p>結晶化温度は結晶化後において 873°C から 1200°C 以上 (測定誤差 3200°C) となった。他の試料の結晶化度の変化も、ほぼ近似したものであった。モース硬度はいずれの試料も、結晶化によってさからまに向上した。</p> <p>3.5 曲げ強度</p> <p>結晶化ガラスの曲げ強度を 図 9 に示す。試料 No. 1 および No. 4 は全般的に低強度で、熱処理条件による強度変化は小さい。試料 No. 2 および No. 3 について結晶化のための再加熱を行わない場合 (図 9 の Time 0 に相当) の曲げ強度 700~800 kg/cm² であったが、何れの熱処理条件においても、熱処理 2 時間で曲げ強度は 1800~2700 kg/cm² に達するピークを示した。これは、結晶化のための再加熱を行わないガラスの 2~3 倍の強度である。その後の熱処理時間と強度に伴い、曲げ強度は全般的に低下の傾向を示すが、試料 No. 2 に限り熱処理条件 3, 4, 7 および 8 による結晶化ガラスは、一旦 1000 kg/cm² 程度に強度が低下した後再び 2000 kg/cm² 強度まで増大した。</p> <p>4. 考 察</p> <p>以下、結晶化ガラスの曲げ強度について考察する。</p> <p>試料 No. 1 の結晶化ガラスでは、図 3 (1-6) に見られるように斜状の diopside の結晶粒界が発生したこと、それに表 4 に示したように、結晶化前後の光透過率が大きいために割離、空洞および気泡などの現象がひ</p> <p>Fig. 8. X-ray diffraction patterns of the heat-treated glasses.</p> <p>(2-2)</p>  <p>(2-2) Heat treatment condition No. 2</p> <p>Crystalline phase H: hedenbergite, $2\text{CaO} \cdot \text{ZnO} \cdot 2\text{SiO}_2$</p> <p>(2-4)</p>  <p>(2-4) Heat treatment condition No. 2</p> <p>Crystalline phase H: hedenbergite, $2\text{CaO} \cdot \text{ZnO} \cdot 2\text{SiO}_2$</p> <p>Fig. 9. X-ray diffraction patterns of the heat-treated glasses.</p>			

泊発電所 3号炉 DB基準適合性 比較表

赤字：設備、運用又は体制の相違（設計方針の相違）
青字：記載箇所又は記載内容の相違（記載方針の相違）
緑字：記載表現、設備名称の相違（実質的な相違なし）

第6条 外部からの衝撃による損傷の防止（火山：別添資料1）

大飯発電所3／4号炉	女川原子力発電所2号炉	泊発電所3号炉	相違理由																																							
<p>(3-5) Heat treatment condition No. 5 XRD patterns of heat-treated glass sample No. 5.</p> <p>Fig. 8. X-ray diffraction patterns of the heat-treated glass sample No. 5.</p> <p>Table 4. Properties of crystallized glass and Shirayama glass.</p> <table border="1"> <thead> <tr> <th>Shirayama glass</th> <th>Crystallized glass*</th> </tr> <tr> <th>No. 1 No. 2 No. 3 No. 4</th> <th>No. 1 No. 2 No. 3 No. 4</th> </tr> </thead> <tbody> <tr> <td>Specific gravity</td> <td>2.79 2.77 2.75 2.76</td> <td>1.96 2.78 2.75 2.75</td> </tr> <tr> <td>Hardness (mosk)</td> <td>8 8 8 8</td> <td>8 8 8 8</td> </tr> <tr> <td>Softening point(°C)</td> <td>673 668 655 670</td> <td>over 1200 over 1150 over 1200</td> </tr> </tbody> </table> <p>*Heat treatment condition No. 8</p>	Shirayama glass	Crystallized glass*	No. 1 No. 2 No. 3 No. 4	No. 1 No. 2 No. 3 No. 4	Specific gravity	2.79 2.77 2.75 2.76	1.96 2.78 2.75 2.75	Hardness (mosk)	8 8 8 8	8 8 8 8	Softening point(°C)	673 668 655 670	over 1200 over 1150 over 1200	<p>Heat treatment condition No. 8 Bending strength of the heat-treated glasses.</p> <p>Fig. 9. Bending strengths of the heat-treated glasses.</p> <p>Table 4. Properties of crystallized glass and Shirayama glass.</p> <table border="1"> <thead> <tr> <th>Shirayama glass</th> <th>Crystallized glass*</th> </tr> <tr> <th>No. 1 No. 2 No. 3 No. 4</th> <th>No. 1 No. 2 No. 3 No. 4</th> </tr> </thead> <tbody> <tr> <td>Specific gravity</td> <td>2.77 2.71 2.76 2.75 2.79 2.73 2.76</td> <td>2.77 2.71 2.76 2.75 2.79 2.73 2.76</td> </tr> <tr> <td>Hardness</td> <td>8 8 8 8</td> <td>8 8 8 8</td> </tr> <tr> <td>Softening point(°C)</td> <td>673 668 655 670 over 1200 over 1150 over 1200</td> <td>over 1200 over 1150 over 1200</td> </tr> </tbody> </table>	Shirayama glass	Crystallized glass*	No. 1 No. 2 No. 3 No. 4	No. 1 No. 2 No. 3 No. 4	Specific gravity	2.77 2.71 2.76 2.75 2.79 2.73 2.76	2.77 2.71 2.76 2.75 2.79 2.73 2.76	Hardness	8 8 8 8	8 8 8 8	Softening point(°C)	673 668 655 670 over 1200 over 1150 over 1200	over 1200 over 1150 over 1200	<p>(3-6) Heat treatment condition No. 6 XRD patterns of heat-treated glass sample No. 6.</p> <p>Fig. 10. X-ray diffraction patterns of the heat-treated glass sample No. 6.</p> <p>Table 4. Properties of crystallized glass and Shirayama glass.</p> <table border="1"> <thead> <tr> <th>Shirayama glass</th> <th>Crystallized glass*</th> </tr> <tr> <th>No. 1 No. 2 No. 3 No. 4</th> <th>No. 1 No. 2 No. 3 No. 4</th> </tr> </thead> <tbody> <tr> <td>Specific gravity</td> <td>2.79 2.77 2.75 2.76</td> <td>1.96 2.78 2.75 2.75</td> </tr> <tr> <td>Hardness</td> <td>8 8 8 8</td> <td>8 8 8 8</td> </tr> <tr> <td>Softening point(°C)</td> <td>673 668 655 670</td> <td>over 1200 over 1150 over 1200</td> </tr> </tbody> </table>	Shirayama glass	Crystallized glass*	No. 1 No. 2 No. 3 No. 4	No. 1 No. 2 No. 3 No. 4	Specific gravity	2.79 2.77 2.75 2.76	1.96 2.78 2.75 2.75	Hardness	8 8 8 8	8 8 8 8	Softening point(°C)	673 668 655 670	over 1200 over 1150 over 1200	<p>赤字：設備、運用又は体制の相違（設計方針の相違） 青字：記載箇所又は記載内容の相違（記載方針の相違） 緑字：記載表現、設備名称の相違（実質的な相違なし）</p> <p>きたため低強度になったものと考えられる。 試料 No. 2 は熱処理条件 1, 2, 3 および 6 のいずれにおいても、熱処理 2 時間で最高強度を示した。これらの結晶はガラス表面より成長したが、2 時間では内部まで成長しておらず、試験は熱処理ガラスによってコーティングされた状態であり、しかも結晶化した物の加熱を行わないガラス表面に加熱にあたる際は、結晶化したガラス表面にはほとんどなくになっている。このことは再加熱によって、ガラスが軟化開始温度を越えて結晶化したためと思われる。また、結晶の方がガラスより一般に熱膨張率が大きい。このため電気炉より取り出し、冷却された状態では表面の結晶部分が圧縮力をかけることが考えられる¹⁾。以上のようなことが強度を示した原因と考えられる。以上のようにことが強度を示した原因と考えられる。明記の熱処理条件におけるこのような強度変化は、試料 No. 3 についても、同様の現象がなさよう。試料 No. 2 の熱処理 6 時間に上では強度が低下したが、これ内部に向って成長した結晶が針状に成長しているのかと推察がなさう。また、図 7 [2-2] に見られる 2 # 27.8° の共結晶品の成長と共に強度も低下しているのも見逃さない。熱処理条件 3, 4, 7 および 8 においても、2 時間から 6 時間にかけて強度は低下しているが、以後増大している。これについて考察すると、従来、高強度を示す結晶化ガラスは、その結晶形態が微細な粒状とされている²⁾。このことから試料 No. 2 について 6 時間以上の強度増大は、図 5 [2-7] に示したように、6 時間で内部まで成長した針状結晶が、以後微細な粒状結晶に変化していることによると考えられる。また、6 時間以上で強度が回復する技術では、図 7 [2-8] に示されるように、未知結晶は認められない。結晶化前後の比強度が小さいために刺離、空洞化による変形が</p>
Shirayama glass	Crystallized glass*																																									
No. 1 No. 2 No. 3 No. 4	No. 1 No. 2 No. 3 No. 4																																									
Specific gravity	2.79 2.77 2.75 2.76	1.96 2.78 2.75 2.75																																								
Hardness (mosk)	8 8 8 8	8 8 8 8																																								
Softening point(°C)	673 668 655 670	over 1200 over 1150 over 1200																																								
Shirayama glass	Crystallized glass*																																									
No. 1 No. 2 No. 3 No. 4	No. 1 No. 2 No. 3 No. 4																																									
Specific gravity	2.77 2.71 2.76 2.75 2.79 2.73 2.76	2.77 2.71 2.76 2.75 2.79 2.73 2.76																																								
Hardness	8 8 8 8	8 8 8 8																																								
Softening point(°C)	673 668 655 670 over 1200 over 1150 over 1200	over 1200 over 1150 over 1200																																								
Shirayama glass	Crystallized glass*																																									
No. 1 No. 2 No. 3 No. 4	No. 1 No. 2 No. 3 No. 4																																									
Specific gravity	2.79 2.77 2.75 2.76	1.96 2.78 2.75 2.75																																								
Hardness	8 8 8 8	8 8 8 8																																								
Softening point(°C)	673 668 655 670	over 1200 over 1150 over 1200																																								

赤字：設備、運用又は体制の相違（設計方針の相違）
 青字：記載箇所又は記載内容の相違（記載方針の相違）
 緑字：記載表現、設備名称の相違（実質的な相違なし）

泊発電所 3号炉 DB 基準適合性 比較表

第6条 外部からの衝撃による損傷の防止 (火山:別添資料1)

大飯発電所3／4号炉	女川原子力発電所2号炉	泊発電所3号炉	相違理由
<p>286 <i>Yagyu-Kyukai-Shi</i> ■ [6] 1976</p> <p>どの現象も認められなかった。</p> <p>試料 No. 3 を熱処理条件 7 で熱処理した場合には、熱処理条件 1, 2, 5 および 6 の場合ほど 2 時間から 6 時間にかけての標線な強度低下はなかった。このことは図 5 (3-7) に示すように、十で 2 時間で微細な粒子状品が生成していることと関係あるらう。この場合、図 8 (3-7) の X 線回折図を見るとき wellmannite のビーグは時間の経過と共にやや小さくなり、逆に hardystonite 水和結晶のビーグは伸びている。これが、その後の強度低下の原因と考えられる。試料 No. 3 について、熱処理条件 9 と 7 の 24 時間ににおける引張強度を比較してみると、それでは約 1000 kg/cm² および約 2000 kg/cm² で後者の強度は前者のそれの 2 倍であった。この時、29.27.8° の未結晶品のビーグ高さは図 8 に示されるように前者が後者の約 2 倍である。未結晶品の強度はやはり大きいと考えられる。</p> <p>試料 No. 4 では、熱処理時間によつて一貫低下した強度が再び増大した。これは、針状の hardystonite が結晶化して行く事実と関係するものと考えられる。</p> <p>3) 試料 No. 1, No. 3 および No. 4 には 29.27.8° に未結晶品が生成し、この結晶の成長が著しい場合強度低下の現象が認められた。</p> <p>4) いずれのガラス試料も結晶化によってモース硬度は 5 から 6 に増大し、軟化温度も約 870°C から約 1200°C に向上した。</p> <p style="text-align: center;">文 獻</p> <p>① 宮城県立環境資源企業化技術協議会、九州工業技術協会「シラバス」(1970) p. 1-11. ② 「ガラス工芸ハンドブック」(1973) p. 775-805. ③ 佐山孝男、陳永和、吉野義則、九州工業技術試験研究室 No. 2, 84-86 (1969). ④ 佐山孝男、中 重則、野元一則、宮城県立環境資源企業化技術協議会 p. 11-14 (1970). ⑤ JIS R 3104、ガラスの軟化点試験法 (1970). ⑥ 山本 明、山本 有、島久雄、材料 13 [134] 88-84 (1961). ⑦ 「無機材料科学」 p. 174-76 (1973). ⑧ 作成者名、和田正徳、田代 仁、黒崎 ■ [4] 30-35 (1961). (9/29/1976 受付)</p> <p>286 <i>Yagyu-Kyukai-Shi</i> ■ [6] 1976</p> <p>どの現象も認められなかった。</p> <p>試料 No. 3 を熱処理条件 7 で熱処理した場合には、熱処理条件 1, 2, 5 および 6 の場合ほど 2 時間から 6 時間にかけての標線な強度低下はなかった。このことは図 5 (3-7) に示すように、十で 2 時間で微細な粒子状品が生成していることと関係あるらう。この場合、図 8 (3-7) の X 線回折図を見ると、wellmannite のビーグは時間の経過と共にやや小さくなり、逆に hardystonite 水和結晶のビーグは伸びている。これが、その後の強度低下の原因と考えられる。試料 No. 3 について、熱処理条件 9 と 7 の 24 時間ににおける引張強度を比較してみると、それでは約 1000 kg/cm² および約 2000 kg/cm² で後者の強度は前者のそれの 2 倍であった。この時、29.27.8° の未結晶品のビーグ高さは図 8 に示されるように前者が後者の約 2 倍であり、未結晶品の強度において影響は大きいと考えられる。</p> <p>試料 No. 4 では、熱処理時間によつて強度を低下させた。このことは、図 3 (4-7) の振幅測定においても示すように、時間経過による結晶形態の変化が強度低下の原因と考えられる。</p> <p>5) 試料 No. 1, No. 3 および No. 4 には 29.27.8° に未結晶品が生成し、この結晶の成長が著しい場合強度低下の現象が認められた。</p> <p>6) いずれのガラス試料も結晶化によってモース硬度は 5 から 6 に増大し、軟化温度も約 870°C から約 1200°C に向上した。</p> <p style="text-align: center;">文 獻</p> <p>1) 宮城県立環境資源企業化技術協議会、九州工業技術協会「シラバス」(1970) p. 1-11. 2) 「ガラス工芸ハンドブック」(1973) p. 775-805. 3) 佐山孝男、陳永和、吉野義則、九州工業技術試験研究室 No. 2, 84-86 (1969). 4) 佐山孝男、中 重則、野元一則、宮城県立環境資源企業化技術協議会 p. 11-14 (1970). 5) JIS R 3104、ガラスの軟化点試験法 (1970). 6) 山本 明、山本 有、島久雄、材料 13 [134] 88-84 (1961). 7) 「無機材料科学」 p. 174-76 (1973). 8) 作成者名、和田正徳、田代 仁、黒崎 ■ [4] 30-35 (1961). (9/29/1976 受付)</p>			

泊発電所 3号炉 DB基準適合性 比較表

第6条 外部からの衝撃による損傷の防止 (火山:別添資料1)

大飯発電所3／4号炉	女川原子力発電所2号炉	泊発電所3号炉	相違理由																																																																																																																																																																																																																																																																													
	<p style="text-align: center;">別添資料—3</p> <p style="text-align: center;">No. 107</p> <p style="text-align: center;">砂粒子の形状・組成が砂の土質工学的性質に及ぼす影響に関する研究</p> <p style="text-align: center;">小 田 重 寛* 木 本 文 雄** 鈴 木 正***</p> <p>1. まえがき</p> <p>基本的には、土の力学的性質は土粒子の基本的要素（土粒子の粒度、土粒子の粒度組成、土粒子の形状、土粒子表面のあらさ、吸着イオンの量と種）と土粒子の集合状態（密度、含水率、空隙構造）によって決定される。土粒子の粒度組成、密度、含水率などの影響因子に関する実験的研究は、しばしば報告されてきたが、泊発電所の建設が行われている土粒子の粒度、土粒子の形状、土粒子表面のあらさ、骨組構造などを土の土質工学的性質に及ぼす影響について検討したものである。この研究は、砂粒子の基本的要素、とくに砂粒子の形状、砂粒子の集合状態、密度、含水率などの影響因子に関する実験的研究は、しばしば報告されてきたが、泊発電所の建設が行われている土粒子の粒度、土粒子の形状、土粒子表面のあらさなどが、砂粒子の形状、砂粒子の集合状態、密度、含水率などの影響因子について述べる。また、最小限ゲリバーティ比について述べ、さらに基本的要素の測定結果とセメント抵抗、最大・最小開口率などの土質工学的性質との相関関係を示している。</p> <p>表-1 試料の採取地、粒径・粒度、比重</p> <table border="1"> <thead> <tr> <th>試料名</th> <th>採取地</th> <th>粒径(ミクロン)</th> <th>粒度</th> <th>比重</th> </tr> </thead> <tbody> <tr> <td>A</td> <td>山口県・佐世保市</td> <td>1.2~0.84 0.86~0.42 0.46~0.23</td> <td>2.03 0.97 2.05</td> <td>-</td> </tr> <tr> <td>B</td> <td>福島県・喜多方市</td> <td>1.2~0.84 0.86~0.42 0.46~0.23</td> <td>2.07 2.07 2.08</td> <td>-</td> </tr> <tr> <td>C</td> <td>福島県・猪苗代町</td> <td>1.2~0.84 0.84~0.42 0.42~0.23</td> <td>2.06 2.07 2.08</td> <td>-</td> </tr> <tr> <td>D</td> <td>福島県・郡山市</td> <td>1.2~0.84 0.84~0.42</td> <td>2.07 2.07</td> <td>-</td> </tr> <tr> <td>E</td> <td>福島県・小野町</td> <td>1.2~0.84 0.84~0.42 0.42~0.23</td> <td>2.09 2.07 2.08</td> <td>-</td> </tr> <tr> <td>F</td> <td>福島県・小野町</td> <td>1.2~0.84 0.82~0.42 0.42~0.23</td> <td>2.07 2.06 2.07</td> <td>-</td> </tr> <tr> <td>G</td> <td>山形県・東根市</td> <td>1.2~0.84 0.82~0.42 0.42~0.23</td> <td>2.06 2.06 2.06</td> <td>-</td> </tr> <tr> <td>H</td> <td>山形県・東根市</td> <td>1.2~0.84 0.82~0.42 0.42~0.23</td> <td>2.07 2.07 2.07</td> <td>-</td> </tr> <tr> <td>I</td> <td>福島県・郡山市</td> <td>1.2~0.84 0.84~0.42 0.42~0.23</td> <td>2.07 2.07 2.07</td> <td>-</td> </tr> <tr> <td>J</td> <td>福島県・郡山市</td> <td>1.2~0.84 0.84~0.42 0.42~0.23</td> <td>2.07 2.07 2.07</td> <td>-</td> </tr> <tr> <td>K</td> <td>福島県・郡山市</td> <td>1.2~0.84 0.84~0.42 0.42~0.23</td> <td>2.07 2.07 2.07</td> <td>-</td> </tr> <tr> <td>L</td> <td>福島県・郡山市</td> <td>1.2~0.84 0.84~0.42 0.42~0.23</td> <td>2.07 2.07 2.07</td> <td>-</td> </tr> <tr> <td>M</td> <td>福島県・郡山市</td> <td>1.2~0.84 0.84~0.42 0.42~0.23</td> <td>2.07 2.07 2.07</td> <td>-</td> </tr> <tr> <td>N</td> <td>福島県・郡山市</td> <td>1.2~0.84 0.84~0.42 0.42~0.23</td> <td>2.07 2.07 2.07</td> <td>-</td> </tr> <tr> <td>O</td> <td>福島県・郡山市</td> <td>1.2~0.84 0.84~0.42 0.42~0.23</td> <td>2.07 2.07 2.07</td> <td>-</td> </tr> <tr> <td>P</td> <td>福島県・郡山市</td> <td>1.2~0.84 0.84~0.42 0.42~0.23</td> <td>2.07 2.07 2.07</td> <td>-</td> </tr> <tr> <td>Q</td> <td>福島県・郡山市</td> <td>1.2~0.84 0.84~0.42 0.42~0.23</td> <td>2.07 2.07 2.07</td> <td>-</td> </tr> <tr> <td>R</td> <td>福島県・郡山市</td> <td>1.2~0.84 0.84~0.42 0.42~0.23</td> <td>2.07 2.07 2.07</td> <td>-</td> </tr> <tr> <td>S</td> <td>福島県・郡山市</td> <td>1.2~0.84 0.84~0.42 0.42~0.23</td> <td>2.07 2.07 2.07</td> <td>-</td> </tr> <tr> <td>T</td> <td>福島県・郡山市</td> <td>1.2~0.84 0.84~0.42 0.42~0.23</td> <td>2.07 2.07 2.07</td> <td>-</td> </tr> <tr> <td>U</td> <td>福島県・郡山市</td> <td>1.2~0.84 0.84~0.42 0.42~0.23</td> <td>2.07 2.07 2.07</td> <td>-</td> </tr> <tr> <td>V</td> <td>福島県・郡山市</td> <td>1.2~0.84 0.84~0.42 0.42~0.23</td> <td>2.07 2.07 2.07</td> <td>-</td> </tr> <tr> <td>W</td> <td>福島県・郡山市</td> <td>1.2~0.84 0.84~0.42 0.42~0.23</td> <td>2.07 2.07 2.07</td> <td>-</td> </tr> <tr> <td>X</td> <td>福島県・郡山市</td> <td>1.2~0.84 0.84~0.42 0.42~0.23</td> <td>2.07 2.07 2.07</td> <td>-</td> </tr> <tr> <td>Y</td> <td>福島県・郡山市</td> <td>1.2~0.84 0.84~0.42 0.42~0.23</td> <td>2.07 2.07 2.07</td> <td>-</td> </tr> <tr> <td>Z</td> <td>福島県・郡山市</td> <td>1.2~0.84 0.84~0.42 0.42~0.23</td> <td>2.07 2.07 2.07</td> <td>-</td> </tr> </tbody> </table> <p>2. 試 料</p> <p>本実験に使用した砂の試料は 10 種類 (A 砂～J 砂) で、その採取地、比重および粒径・粒度を表-1 に示す。</p>	試料名	採取地	粒径(ミクロン)	粒度	比重	A	山口県・佐世保市	1.2~0.84 0.86~0.42 0.46~0.23	2.03 0.97 2.05	-	B	福島県・喜多方市	1.2~0.84 0.86~0.42 0.46~0.23	2.07 2.07 2.08	-	C	福島県・猪苗代町	1.2~0.84 0.84~0.42 0.42~0.23	2.06 2.07 2.08	-	D	福島県・郡山市	1.2~0.84 0.84~0.42	2.07 2.07	-	E	福島県・小野町	1.2~0.84 0.84~0.42 0.42~0.23	2.09 2.07 2.08	-	F	福島県・小野町	1.2~0.84 0.82~0.42 0.42~0.23	2.07 2.06 2.07	-	G	山形県・東根市	1.2~0.84 0.82~0.42 0.42~0.23	2.06 2.06 2.06	-	H	山形県・東根市	1.2~0.84 0.82~0.42 0.42~0.23	2.07 2.07 2.07	-	I	福島県・郡山市	1.2~0.84 0.84~0.42 0.42~0.23	2.07 2.07 2.07	-	J	福島県・郡山市	1.2~0.84 0.84~0.42 0.42~0.23	2.07 2.07 2.07	-	K	福島県・郡山市	1.2~0.84 0.84~0.42 0.42~0.23	2.07 2.07 2.07	-	L	福島県・郡山市	1.2~0.84 0.84~0.42 0.42~0.23	2.07 2.07 2.07	-	M	福島県・郡山市	1.2~0.84 0.84~0.42 0.42~0.23	2.07 2.07 2.07	-	N	福島県・郡山市	1.2~0.84 0.84~0.42 0.42~0.23	2.07 2.07 2.07	-	O	福島県・郡山市	1.2~0.84 0.84~0.42 0.42~0.23	2.07 2.07 2.07	-	P	福島県・郡山市	1.2~0.84 0.84~0.42 0.42~0.23	2.07 2.07 2.07	-	Q	福島県・郡山市	1.2~0.84 0.84~0.42 0.42~0.23	2.07 2.07 2.07	-	R	福島県・郡山市	1.2~0.84 0.84~0.42 0.42~0.23	2.07 2.07 2.07	-	S	福島県・郡山市	1.2~0.84 0.84~0.42 0.42~0.23	2.07 2.07 2.07	-	T	福島県・郡山市	1.2~0.84 0.84~0.42 0.42~0.23	2.07 2.07 2.07	-	U	福島県・郡山市	1.2~0.84 0.84~0.42 0.42~0.23	2.07 2.07 2.07	-	V	福島県・郡山市	1.2~0.84 0.84~0.42 0.42~0.23	2.07 2.07 2.07	-	W	福島県・郡山市	1.2~0.84 0.84~0.42 0.42~0.23	2.07 2.07 2.07	-	X	福島県・郡山市	1.2~0.84 0.84~0.42 0.42~0.23	2.07 2.07 2.07	-	Y	福島県・郡山市	1.2~0.84 0.84~0.42 0.42~0.23	2.07 2.07 2.07	-	Z	福島県・郡山市	1.2~0.84 0.84~0.42 0.42~0.23	2.07 2.07 2.07	-	<p style="text-align: center;">別添資料—3</p> <p style="text-align: center;">No. 107</p> <p style="text-align: center;">砂粒子の形状・組成が砂の土質工学的性質に及ぼす影響に関する研究</p> <p style="text-align: center;">小 田 重 寛* 木 本 文 雄** 鈴 木 正***</p> <p>1. まえがき</p> <p>基本的には、土の力学的性質は土粒子の基本的要素（土粒子の粒度、土粒子の粒度組成、土粒子の形状、土粒子表面のあらさ、吸着イオンの量と種）と土粒子の集合状態（密度、含水率、空隙構造）によって決定される。土粒子の形状、砂粒子表面のあらさの測定方法と測定結果を示し、まずは直面モード試験、最大・最小開口率比試験について述べ、さらに基本的要素の測定結果とセメント抵抗、最大・最小開口率比などの土質工学的性質との相関関係を示している。</p> <p>表-1 試料の採取地、粒径・粒度、比重</p> <table border="1"> <thead> <tr> <th>試料名</th> <th>採取地</th> <th>粒径(ミクロン)</th> <th>粒度</th> <th>比重</th> </tr> </thead> <tbody> <tr> <td>A</td> <td>山口県・佐世保市</td> <td>1.2~0.84 0.86~0.42 0.46~0.23</td> <td>2.03 0.97 2.05</td> <td>-</td> </tr> <tr> <td>B</td> <td>福島県・喜多方市</td> <td>1.2~0.84 0.86~0.42 0.46~0.23</td> <td>2.07 2.07 2.08</td> <td>-</td> </tr> <tr> <td>C</td> <td>福島県・猪苗代町</td> <td>1.2~0.84 0.84~0.42 0.42~0.23</td> <td>2.06 2.07 2.08</td> <td>-</td> </tr> <tr> <td>D</td> <td>福島県・郡山市</td> <td>1.2~0.84 0.84~0.42</td> <td>2.07 2.07</td> <td>-</td> </tr> <tr> <td>E</td> <td>福島県・小野町</td> <td>1.2~0.84 0.84~0.42 0.42~0.23</td> <td>2.09 2.07 2.08</td> <td>-</td> </tr> <tr> <td>F</td> <td>福島県・小野町</td> <td>1.2~0.84 0.82~0.42 0.42~0.23</td> <td>2.07 2.06 2.07</td> <td>-</td> </tr> <tr> <td>G</td> <td>山形県・東根市</td> <td>1.2~0.84 0.82~0.42 0.42~0.23</td> <td>2.06 2.06 2.06</td> <td>-</td> </tr> <tr> <td>H</td> <td>山形県・東根市</td> <td>1.2~0.84 0.82~0.42 0.42~0.23</td> <td>2.07 2.07 2.07</td> <td>-</td> </tr> <tr> <td>I</td> <td>福島県・郡山市</td> <td>1.2~0.84 0.84~0.42 0.42~0.23</td> <td>2.07 2.07 2.07</td> <td>-</td> </tr> <tr> <td>J</td> <td>福島県・郡山市</td> <td>1.2~0.84 0.84~0.42 0.42~0.23</td> <td>2.07 2.07 2.07</td> <td>-</td> </tr> <tr> <td>K</td> <td>福島県・郡山市</td> <td>1.2~0.84 0.84~0.42 0.42~0.23</td> <td>2.07 2.07 2.07</td> <td>-</td> </tr> <tr> <td>L</td> <td>福島県・郡山市</td> <td>1.2~0.84 0.84~0.42 0.42~0.23</td> <td>2.07 2.07 2.07</td> <td>-</td> </tr> <tr> <td>M</td> <td>福島県・郡山市</td> <td>1.2~0.84 0.84~0.42 0.42~0.23</td> <td>2.07 2.07 2.07</td> <td>-</td> </tr> <tr> <td>N</td> <td>福島県・郡山市</td> <td>1.2~0.84 0.84~0.42 0.42~0.23</td> <td>2.07 2.07 2.07</td> <td>-</td> </tr> <tr> <td>O</td> <td>福島県・郡山市</td> <td>1.2~0.84 0.84~0.42 0.42~0.23</td> <td>2.07 2.07 2.07</td> <td>-</td> </tr> <tr> <td>P</td> <td>福島県・郡山市</td> <td>1.2~0.84 0.84~0.42 0.42~0.23</td> <td>2.07 2.07 2.07</td> <td>-</td> </tr> <tr> <td>Q</td> <td>福島県・郡山市</td> <td>1.2~0.84 0.84~0.42 0.42~0.23</td> <td>2.07 2.07 2.07</td> <td>-</td> </tr> <tr> <td>R</td> <td>福島県・郡山市</td> <td>1.2~0.84 0.84~0.42 0.42~0.23</td> <td>2.07 2.07 2.07</td> <td>-</td> </tr> <tr> <td>S</td> <td>福島県・郡山市</td> <td>1.2~0.84 0.84~0.42 0.42~0.23</td> <td>2.07 2.07 2.07</td> <td>-</td> </tr> <tr> <td>T</td> <td>福島県・郡山市</td> <td>1.2~0.84 0.84~0.42 0.42~0.23</td> <td>2.07 2.07 2.07</td> <td>-</td> </tr> <tr> <td>U</td> <td>福島県・郡山市</td> <td>1.2~0.84 0.84~0.42 0.42~0.23</td> <td>2.07 2.07 2.07</td> <td>-</td> </tr> <tr> <td>V</td> <td>福島県・郡山市</td> <td>1.2~0.84 0.84~0.42 0.42~0.23</td> <td>2.07 2.07 2.07</td> <td>-</td> </tr> <tr> <td>W</td> <td>福島県・郡山市</td> <td>1.2~0.84 0.84~0.42 0.42~0.23</td> <td>2.07 2.07 2.07</td> <td>-</td> </tr> <tr> <td>X</td> <td>福島県・郡山市</td> <td>1.2~0.84 0.84~0.42 0.42~0.23</td> <td>2.07 2.07 2.07</td> <td>-</td> </tr> <tr> <td>Y</td> <td>福島県・郡山市</td> <td>1.2~0.84 0.84~0.42 0.42~0.23</td> <td>2.07 2.07 2.07</td> <td>-</td> </tr> <tr> <td>Z</td> <td>福島県・郡山市</td> <td>1.2~0.84 0.84~0.42 0.42~0.23</td> <td>2.07 2.07 2.07</td> <td>-</td> </tr> </tbody> </table> <p>2. 試 料</p> <p>本実験に使用した砂の試料は 10 種類 (A 砂～J 砂) で、その採取地、比重および粒径・粒度を表-1 に示す。</p>	試料名	採取地	粒径(ミクロン)	粒度	比重	A	山口県・佐世保市	1.2~0.84 0.86~0.42 0.46~0.23	2.03 0.97 2.05	-	B	福島県・喜多方市	1.2~0.84 0.86~0.42 0.46~0.23	2.07 2.07 2.08	-	C	福島県・猪苗代町	1.2~0.84 0.84~0.42 0.42~0.23	2.06 2.07 2.08	-	D	福島県・郡山市	1.2~0.84 0.84~0.42	2.07 2.07	-	E	福島県・小野町	1.2~0.84 0.84~0.42 0.42~0.23	2.09 2.07 2.08	-	F	福島県・小野町	1.2~0.84 0.82~0.42 0.42~0.23	2.07 2.06 2.07	-	G	山形県・東根市	1.2~0.84 0.82~0.42 0.42~0.23	2.06 2.06 2.06	-	H	山形県・東根市	1.2~0.84 0.82~0.42 0.42~0.23	2.07 2.07 2.07	-	I	福島県・郡山市	1.2~0.84 0.84~0.42 0.42~0.23	2.07 2.07 2.07	-	J	福島県・郡山市	1.2~0.84 0.84~0.42 0.42~0.23	2.07 2.07 2.07	-	K	福島県・郡山市	1.2~0.84 0.84~0.42 0.42~0.23	2.07 2.07 2.07	-	L	福島県・郡山市	1.2~0.84 0.84~0.42 0.42~0.23	2.07 2.07 2.07	-	M	福島県・郡山市	1.2~0.84 0.84~0.42 0.42~0.23	2.07 2.07 2.07	-	N	福島県・郡山市	1.2~0.84 0.84~0.42 0.42~0.23	2.07 2.07 2.07	-	O	福島県・郡山市	1.2~0.84 0.84~0.42 0.42~0.23	2.07 2.07 2.07	-	P	福島県・郡山市	1.2~0.84 0.84~0.42 0.42~0.23	2.07 2.07 2.07	-	Q	福島県・郡山市	1.2~0.84 0.84~0.42 0.42~0.23	2.07 2.07 2.07	-	R	福島県・郡山市	1.2~0.84 0.84~0.42 0.42~0.23	2.07 2.07 2.07	-	S	福島県・郡山市	1.2~0.84 0.84~0.42 0.42~0.23	2.07 2.07 2.07	-	T	福島県・郡山市	1.2~0.84 0.84~0.42 0.42~0.23	2.07 2.07 2.07	-	U	福島県・郡山市	1.2~0.84 0.84~0.42 0.42~0.23	2.07 2.07 2.07	-	V	福島県・郡山市	1.2~0.84 0.84~0.42 0.42~0.23	2.07 2.07 2.07	-	W	福島県・郡山市	1.2~0.84 0.84~0.42 0.42~0.23	2.07 2.07 2.07	-	X	福島県・郡山市	1.2~0.84 0.84~0.42 0.42~0.23	2.07 2.07 2.07	-	Y	福島県・郡山市	1.2~0.84 0.84~0.42 0.42~0.23	2.07 2.07 2.07	-	Z	福島県・郡山市	1.2~0.84 0.84~0.42 0.42~0.23	2.07 2.07 2.07	-
試料名	採取地	粒径(ミクロン)	粒度	比重																																																																																																																																																																																																																																																																												
A	山口県・佐世保市	1.2~0.84 0.86~0.42 0.46~0.23	2.03 0.97 2.05	-																																																																																																																																																																																																																																																																												
B	福島県・喜多方市	1.2~0.84 0.86~0.42 0.46~0.23	2.07 2.07 2.08	-																																																																																																																																																																																																																																																																												
C	福島県・猪苗代町	1.2~0.84 0.84~0.42 0.42~0.23	2.06 2.07 2.08	-																																																																																																																																																																																																																																																																												
D	福島県・郡山市	1.2~0.84 0.84~0.42	2.07 2.07	-																																																																																																																																																																																																																																																																												
E	福島県・小野町	1.2~0.84 0.84~0.42 0.42~0.23	2.09 2.07 2.08	-																																																																																																																																																																																																																																																																												
F	福島県・小野町	1.2~0.84 0.82~0.42 0.42~0.23	2.07 2.06 2.07	-																																																																																																																																																																																																																																																																												
G	山形県・東根市	1.2~0.84 0.82~0.42 0.42~0.23	2.06 2.06 2.06	-																																																																																																																																																																																																																																																																												
H	山形県・東根市	1.2~0.84 0.82~0.42 0.42~0.23	2.07 2.07 2.07	-																																																																																																																																																																																																																																																																												
I	福島県・郡山市	1.2~0.84 0.84~0.42 0.42~0.23	2.07 2.07 2.07	-																																																																																																																																																																																																																																																																												
J	福島県・郡山市	1.2~0.84 0.84~0.42 0.42~0.23	2.07 2.07 2.07	-																																																																																																																																																																																																																																																																												
K	福島県・郡山市	1.2~0.84 0.84~0.42 0.42~0.23	2.07 2.07 2.07	-																																																																																																																																																																																																																																																																												
L	福島県・郡山市	1.2~0.84 0.84~0.42 0.42~0.23	2.07 2.07 2.07	-																																																																																																																																																																																																																																																																												
M	福島県・郡山市	1.2~0.84 0.84~0.42 0.42~0.23	2.07 2.07 2.07	-																																																																																																																																																																																																																																																																												
N	福島県・郡山市	1.2~0.84 0.84~0.42 0.42~0.23	2.07 2.07 2.07	-																																																																																																																																																																																																																																																																												
O	福島県・郡山市	1.2~0.84 0.84~0.42 0.42~0.23	2.07 2.07 2.07	-																																																																																																																																																																																																																																																																												
P	福島県・郡山市	1.2~0.84 0.84~0.42 0.42~0.23	2.07 2.07 2.07	-																																																																																																																																																																																																																																																																												
Q	福島県・郡山市	1.2~0.84 0.84~0.42 0.42~0.23	2.07 2.07 2.07	-																																																																																																																																																																																																																																																																												
R	福島県・郡山市	1.2~0.84 0.84~0.42 0.42~0.23	2.07 2.07 2.07	-																																																																																																																																																																																																																																																																												
S	福島県・郡山市	1.2~0.84 0.84~0.42 0.42~0.23	2.07 2.07 2.07	-																																																																																																																																																																																																																																																																												
T	福島県・郡山市	1.2~0.84 0.84~0.42 0.42~0.23	2.07 2.07 2.07	-																																																																																																																																																																																																																																																																												
U	福島県・郡山市	1.2~0.84 0.84~0.42 0.42~0.23	2.07 2.07 2.07	-																																																																																																																																																																																																																																																																												
V	福島県・郡山市	1.2~0.84 0.84~0.42 0.42~0.23	2.07 2.07 2.07	-																																																																																																																																																																																																																																																																												
W	福島県・郡山市	1.2~0.84 0.84~0.42 0.42~0.23	2.07 2.07 2.07	-																																																																																																																																																																																																																																																																												
X	福島県・郡山市	1.2~0.84 0.84~0.42 0.42~0.23	2.07 2.07 2.07	-																																																																																																																																																																																																																																																																												
Y	福島県・郡山市	1.2~0.84 0.84~0.42 0.42~0.23	2.07 2.07 2.07	-																																																																																																																																																																																																																																																																												
Z	福島県・郡山市	1.2~0.84 0.84~0.42 0.42~0.23	2.07 2.07 2.07	-																																																																																																																																																																																																																																																																												
試料名	採取地	粒径(ミクロン)	粒度	比重																																																																																																																																																																																																																																																																												
A	山口県・佐世保市	1.2~0.84 0.86~0.42 0.46~0.23	2.03 0.97 2.05	-																																																																																																																																																																																																																																																																												
B	福島県・喜多方市	1.2~0.84 0.86~0.42 0.46~0.23	2.07 2.07 2.08	-																																																																																																																																																																																																																																																																												
C	福島県・猪苗代町	1.2~0.84 0.84~0.42 0.42~0.23	2.06 2.07 2.08	-																																																																																																																																																																																																																																																																												
D	福島県・郡山市	1.2~0.84 0.84~0.42	2.07 2.07	-																																																																																																																																																																																																																																																																												
E	福島県・小野町	1.2~0.84 0.84~0.42 0.42~0.23	2.09 2.07 2.08	-																																																																																																																																																																																																																																																																												
F	福島県・小野町	1.2~0.84 0.82~0.42 0.42~0.23	2.07 2.06 2.07	-																																																																																																																																																																																																																																																																												
G	山形県・東根市	1.2~0.84 0.82~0.42 0.42~0.23	2.06 2.06 2.06	-																																																																																																																																																																																																																																																																												
H	山形県・東根市	1.2~0.84 0.82~0.42 0.42~0.23	2.07 2.07 2.07	-																																																																																																																																																																																																																																																																												
I	福島県・郡山市	1.2~0.84 0.84~0.42 0.42~0.23	2.07 2.07 2.07	-																																																																																																																																																																																																																																																																												
J	福島県・郡山市	1.2~0.84 0.84~0.42 0.42~0.23	2.07 2.07 2.07	-																																																																																																																																																																																																																																																																												
K	福島県・郡山市	1.2~0.84 0.84~0.42 0.42~0.23	2.07 2.07 2.07	-																																																																																																																																																																																																																																																																												
L	福島県・郡山市	1.2~0.84 0.84~0.42 0.42~0.23	2.07 2.07 2.07	-																																																																																																																																																																																																																																																																												
M	福島県・郡山市	1.2~0.84 0.84~0.42 0.42~0.23	2.07 2.07 2.07	-																																																																																																																																																																																																																																																																												
N	福島県・郡山市	1.2~0.84 0.84~0.42 0.42~0.23	2.07 2.07 2.07	-																																																																																																																																																																																																																																																																												
O	福島県・郡山市	1.2~0.84 0.84~0.42 0.42~0.23	2.07 2.07 2.07	-																																																																																																																																																																																																																																																																												
P	福島県・郡山市	1.2~0.84 0.84~0.42 0.42~0.23	2.07 2.07 2.07	-																																																																																																																																																																																																																																																																												
Q	福島県・郡山市	1.2~0.84 0.84~0.42 0.42~0.23	2.07 2.07 2.07	-																																																																																																																																																																																																																																																																												
R	福島県・郡山市	1.2~0.84 0.84~0.42 0.42~0.23	2.07 2.07 2.07	-																																																																																																																																																																																																																																																																												
S	福島県・郡山市	1.2~0.84 0.84~0.42 0.42~0.23	2.07 2.07 2.07	-																																																																																																																																																																																																																																																																												
T	福島県・郡山市	1.2~0.84 0.84~0.42 0.42~0.23	2.07 2.07 2.07	-																																																																																																																																																																																																																																																																												
U	福島県・郡山市	1.2~0.84 0.84~0.42 0.42~0.23	2.07 2.07 2.07	-																																																																																																																																																																																																																																																																												
V	福島県・郡山市	1.2~0.84 0.84~0.42 0.42~0.23	2.07 2.07 2.07	-																																																																																																																																																																																																																																																																												
W	福島県・郡山市	1.2~0.84 0.84~0.42 0.42~0.23	2.07 2.07 2.07	-																																																																																																																																																																																																																																																																												
X	福島県・郡山市	1.2~0.84 0.84~0.42 0.42~0.23	2.07 2.07 2.07	-																																																																																																																																																																																																																																																																												
Y	福島県・郡山市	1.2~0.84 0.84~0.42 0.42~0.23	2.07 2.07 2.07	-																																																																																																																																																																																																																																																																												
Z	福島県・郡山市	1.2~0.84 0.84~0.42 0.42~0.23	2.07 2.07 2.07	-																																																																																																																																																																																																																																																																												

泊発電所3号炉 DB基準適合性 比較表

第6条 外部からの衝撃による損傷の防止（火山：別添資料1）

大飯発電所3／4号炉	女川原子力発電所2号炉	泊発電所3号炉	相違理由									
<p>N. 807</p> <p>た。なお採取した砂は、水洗い後乾燥して、1.19, 0.84, 0.42, 0.25 mm の各 フラクスで分別した。実験に使用した砂は、便宜上、たとえば、乱層で表わす。これは 1.19 mm フラクスを通過し、0.84 mm フラクスに留まる A 層を示すことにする。</p> <p>3. 構成粒子の基本的要索の測定方法と測定結果</p> <p>三笠正人¹⁾は砂の種類を規定する因子として必要かつ十分なものとして次の4種をあげている。それは、土粒子の材質、土粒子の粒度組成、土粒子の形状、土粒子表面のあらさ、被覆イオン等である。これら規定因子としての性質を具体的に、岩盤中に配置するためには測定すべき量は、密度組成、有機物含有量、比重、最大粒径、有効粒径、高さ等である。本研究に使用した砂は太冰川の砂であり、その性質を表す、有機物含有量、粘土分含有量、PH 值、各種イオン含有量の測定は問題ではない。また使用した砂の粒径・粒度は、1.19～0.84mm, 0.84～0.42 mm および 0.42～0.25 mm の3種で鉛直衝撃範囲なので、ほぼ一層と見なせるものとして今後の議論を進める。比重は他の岩石衝撃試験に於けるので、独立文献とは見なさない。漉りかづワルイ率としたのは砂特有の、砂吸水率、砂吸熱率、丸味および角形砂の構成粒子に特有を把握するために測定すべき量である。</p> <p>3.1 粒子の細長比と円満度</p> <p>粒子のが状況を表す指標²⁾、半井研究³⁾などによて古くより研究されている。これらの研究によると、粒子形状と粒子粒度のあらざとを用いてECR切手概念として扱っている。粒子形状を表現する基としてKrumbein のスラッシュ率⁴⁾があり、粒度前の中間粒度測定には Waddell の円満度⁵⁾がある。スラッシュ率、円満度とともに初めて良好な測定値を与えるが、測定が極めてはん雑であり、粒度の小さいECR測定法をするのは不可能に近い。この研究ではこれに代るものとして、細長比と修正円満度を用いた。</p> <p>細長比……細長比測定の規則は次のとおりである⁶⁾。 直径 5cm、高さ 10cm の円筒容器に適当量の砂を詰め、低粘性緩衝剤を粒子間に浸透させた後、蓋をされる。固結した砂試料の粒度断面と水平断面における輪郭輪廓を測定するのに、それぞれの粒度断面における約 0.03mm の漏光遮蔽用薄紙を作成し、輪度断面から算出する。M 個の粒子を抽出し、選定した粒子の断面内において見掛けの長軸と短軸との長さ a_1, b_1 を測定し 1つの粒子の細長比 $\left(\frac{b_1}{a_1}\right)$ を求め、$R = \frac{1}{M} \sum_{i=1}^M \left(\frac{b_i}{a_i}\right)$ (ただし、Mは測定個数)。</p>	<p>Na. 807</p> <p>を砂の細長比とし、粒子形状のパラメーターとした。本報告において⁷⁾、砂の細長比は砂の構造、すなわち粒子の長軸の方向性、粒子間接点における接平面の方向性などを支配していることを実験的に実証した。この意図においても、平均的細長比を粒子形状のインディケーターとして利用できると判断している。</p> <p>修正円満度……Waddell⁸⁾は粒子内に、直交する二軸を有し、その長軸と中間軸とを含む平面上に粒子を投影し、次式によって円満度 R_w を求めた。</p> $R_w = \frac{\pi r_1^2 r_2^2}{\pi r_1^2 + \pi r_2^2} \quad (r_1: 粒子の先端部部分の曲率半径, r_2: 粒子内に接する最大円の半径)$ <p>この方法は測定の選定に個人差が生じやすく、測定時間が長くなるなどの欠点を持つている。Waddell の円満度を若干修正し、1つの粒子の修正円満度 R_c を</p> $R_c = \frac{1}{2} \left(\frac{2(r_1^2 - r_2^2)}{r_1^2 + r_2^2} - \frac{1}{2} \left(\frac{2r_1^2 - 2r_2^2}{r_1^2 + r_2^2} \right) \right)$ $= \frac{1}{2} \left(\frac{r_1^2 - r_2^2}{r_1^2 + r_2^2} + \frac{r_1^2 + r_2^2}{r_1^2 + r_2^2} \right)$ <p>で定義する。</p> <p>P₁, P₂, P₃, P₄: 粒子の任意断面 r₁, r₂: 粒子P₁～P₄の曲率半径 r₃, r₄, r₅: 粒子P₁～P₄の内接円の曲率半径 P₁r₁=r₁, P₂r₂=r₂, P₃r₃=r₃, P₄r₄=r₄, P₅r₅=r₅.</p> <p>図-1 粒子円満度計</p>	<p>The Japanese Geotechnical Society</p> <p>N. 817</p> <p>た。なお採取した砂は、水洗い後乾燥して、1.19, 0.84, 0.42, 0.25 mm の各 フラクスで分別した。実験に使用した砂は、便宜上、たとえば、乱層で表わす。これは 1.19 mm フラクスを通過し、0.84 mm フラクスに留まる A 層を示すことにする。</p> <p>3. 構成粒子の基本的要索の測定方法と測定結果</p> <p>三笠正人¹⁾は砂の種類を規定する因子として必要かつ十分なものとして次の4種をあげている。それは、土粒子の材質、土粒子の粒度組成、土粒子の形状、土粒子表面のあらさ、被覆イオン等である。これら規定因子としての性質を具体的に、岩盤中に配置するためには測定すべき量は、密度組成、有機物含有量、比重、最大粒径、有効粒径、高さ等である。本研究に使用した砂は太冰川の砂であり、その性質を表す、有機物含有量、粘土分含有量、PH 値、各種イオン含有量の測定は問題ではない。また使用した砂の粒径・粒度は、1.19～0.84mm, 0.84～0.42 mm および 0.42～0.25 mm の3種で鉛直衝撃範囲なので、ほぼ一層と見なせるものとして今後の議論を進める。比重は他の岩石衝撃試験に於けるので、独立文献とは見なさない。漉りかづワルイ率としたのは砂特有の、砂吸水率、砂吸熱率、丸味および角形砂の構成粒子に特有を把握するために測定すべき量である。</p> <p>3.1 粒子の細長比と円満度</p> <p>粒子のが状況を表す指標²⁾、半井研究³⁾などによて古くより研究されている。これらの研究によると、粒子形状と粒子粒度のあらざとを用いてECR切手概念として扱っている。粒子形状を表現する基としてKrumbein のスラッシュ率⁴⁾があり、粒度前の中間粒度測定には Waddell の円満度⁵⁾がある。スラッシュ率、円満度とともに初めて良好な測定値を与えるが、測定が極めてはん雑であり、粒度の小さいECR測定法をするのは不可能に近い。この研究ではこれらに代るものとして、細長比と修正円満度を用いた。</p> <p>細長比……細長比測定の規則は次のとおりである⁶⁾。 直径 5cm、高さ 10cm の円筒容器に適当量の砂を詰め、低粘性緩衝剤を粒子間に浸透させた後、蓋をされる。固結した砂試料の粒度断面と水平断面における輪郭輪廓を測定するのに、それぞれの粒度断面における約 0.03mm の漏光遮蔽用薄紙を作成し、輪度断面から算出する。M 個の粒子を抽出し、選定した粒子の断面内において見掛けの長軸と短軸との長さ a_1, b_1 を測定し 1つの粒子の細長比 $\left(\frac{b_1}{a_1}\right)$ を求める。$R = \frac{1}{M} \sum_{i=1}^M \left(\frac{b_i}{a_i}\right)$ (ただし、Mは測定個数)。</p>	<p>泊発電所3号炉</p> <p>を砂の細長比とし、粒子形状のパラメーターとした。本報告において⁷⁾、砂の細長比は砂の構造、すなわち粒子の長軸の方向性、粒子間接点における接平面の方向性などを支配していることを実験的に実証した。この意図においても、平均的細長比を粒子形状のインディケーターとして利用できると判断している。</p> <p>修正円満度……Waddell⁸⁾は粒子内に、直交する二軸を有し、その長軸と中間軸とを含む平面上に粒子を投影し、次式によって円満度 R_w を求めた。</p> $R_w = \frac{\pi r_1^2 r_2^2}{\pi r_1^2 + \pi r_2^2} \quad (r_1: 粒子の先端部部分の曲率半径, r_2: 粒子内に接する最大円の半径)$ <p>この方法は測定の選定に個人差が生じやすく、測定時間が長くなるなどの欠点を持つている。Waddell の円満度を若干修正し、1つの粒子の修正円満度 R_c を</p> $R_c = \frac{1}{2} \left(\frac{2(r_1^2 - r_2^2)}{r_1^2 + r_2^2} - \frac{1}{2} \left(\frac{2r_1^2 - 2r_2^2}{r_1^2 + r_2^2} \right) \right)$ $= \frac{1}{2} \left(\frac{r_1^2 - r_2^2}{r_1^2 + r_2^2} + \frac{r_1^2 + r_2^2}{r_1^2 + r_2^2} \right)$ <p>で定義する。</p> <p>P₁, P₂, P₃, P₄: 粒子の任意断面 r₁, r₂: 粒子P₁～P₄の曲率半径 r₃, r₄, r₅: 粒子P₁～P₄の内接円の曲率半径 P₁r₁=r₁, P₂r₂=r₂, P₃r₃=r₃, P₄r₄=r₄, P₅r₅=r₅.</p> <p>図-1 粒子円満度計</p>	<p>泊発電所3号炉</p> <p>を砂の細長比とし、粒子形状のパラメーターとした。本報告において⁷⁾、砂の細長比は砂の構造、すなわち粒子の長軸の方向性、粒子間接点における接平面の方向性などを支配していることを実験的に実証した。この意図においても、平均的細長比を粒子形状のインディケーターとして利用できると判断している。</p> <p>修正円満度……Waddell⁸⁾は粒子内に、直交する二軸を有し、その長軸と中間軸とを含む平面上に粒子を投影し、次式によって円満度 R_w を求めた。</p> $R_w = \frac{\pi r_1^2 r_2^2}{\pi r_1^2 + \pi r_2^2} \quad (r_1: 粒子の先端部部分の曲率半径, r_2: 粒子内に接する最大円の半径)$ <p>この方法は測定の選定に個人差が生じやすく、測定時間が長くなるなどの欠点を持つている。Waddell の円満度を若干修正し、1つの粒子の修正円満度 R_c を</p> $R_c = \frac{1}{2} \left(\frac{2(r_1^2 - r_2^2)}{r_1^2 + r_2^2} - \frac{1}{2} \left(\frac{2r_1^2 - 2r_2^2}{r_1^2 + r_2^2} \right) \right)$ $= \frac{1}{2} \left(\frac{r_1^2 - r_2^2}{r_1^2 + r_2^2} + \frac{r_1^2 + r_2^2}{r_1^2 + r_2^2} \right)$ <p>で定義する。</p> <p>P₁, P₂, P₃, P₄: 粒子の任意断面 r₁, r₂: 粒子P₁～P₄の曲率半径 r₃, r₄, r₅: 粒子P₁～P₄の内接円の曲率半径 P₁r₁=r₁, P₂r₂=r₂, P₃r₃=r₃, P₄r₄=r₄, P₅r₅=r₅.</p> <p>図-1 粒子円満度計</p>	<p>泊発電所3号炉</p> <p>を砂の細長比とし、粒子形状のパラメーターとした。本報告において⁷⁾、砂の細長比は砂の構造、すなわち粒子の長軸の方向性、粒子間接点における接平面の方向性などを支配していることを実験的に実証した。この意図においても、平均的細長比を粒子形状のインディケーターとして利用できると判断している。</p> <p>修正円満度……Waddell⁸⁾は粒子内に、直交する二軸を有し、その長軸と中間軸とを含む平面上に粒子を投影し、次式によって円満度 R_w を求めた。</p> $R_w = \frac{\pi r_1^2 r_2^2}{\pi r_1^2 + \pi r_2^2} \quad (r_1: 粒子の先端部部分の曲率半径, r_2: 粒子内に接する最大円の半径)$ <p>この方法は測定の選定に個人差が生じやすく、測定時間が長くなるなどの欠点を持つている。Waddell の円満度を若干修正し、1つの粒子の修正円満度 R_c を</p> $R_c = \frac{1}{2} \left(\frac{2(r_1^2 - r_2^2)}{r_1^2 + r_2^2} - \frac{1}{2} \left(\frac{2r_1^2 - 2r_2^2}{r_1^2 + r_2^2} \right) \right)$ $= \frac{1}{2} \left(\frac{r_1^2 - r_2^2}{r_1^2 + r_2^2} + \frac{r_1^2 + r_2^2}{r_1^2 + r_2^2} \right)$ <p>で定義する。</p> <p>P₁, P₂, P₃, P₄: 粒子の任意断面 r₁, r₂: 粒子P₁～P₄の曲率半径 r₃, r₄, r₅: 粒子P₁～P₄の内接円の曲率半径 P₁r₁=r₁, P₂r₂=r₂, P₃r₃=r₃, P₄r₄=r₄, P₅r₅=r₅.</p> <p>図-1 粒子円満度計</p>	<p>泊発電所3号炉</p> <p>を砂の細長比とし、粒子形状のパラメーターとした。本報告において⁷⁾、砂の細長比は砂の構造、すなわち粒子の長軸の方向性、粒子間接点における接平面の方向性などを支配していることを実験的に実証した。この意図においても、平均的細長比を粒子形状のインディケーターとして利用できると判断している。</p> <p>修正円満度……Waddell⁸⁾は粒子内に、直交する二軸を有し、その長軸と中間軸とを含む平面上に粒子を投影し、次式によって円満度 R_w を求めた。</p> $R_w = \frac{\pi r_1^2 r_2^2}{\pi r_1^2 + \pi r_2^2} \quad (r_1: 粒子の先端部部分の曲率半径, r_2: 粒子内に接する最大円の半径)$ <p>この方法は測定の選定に個人差が生じやすく、測定時間が長くなるなどの欠点を持つている。Waddell の円満度を若干修正し、1つの粒子の修正円満度 R_c を</p> $R_c = \frac{1}{2} \left(\frac{2(r_1^2 - r_2^2)}{r_1^2 + r_2^2} - \frac{1}{2} \left(\frac{2r_1^2 - 2r_2^2}{r_1^2 + r_2^2} \right) \right)$ $= \frac{1}{2} \left(\frac{r_1^2 - r_2^2}{r_1^2 + r_2^2} + \frac{r_1^2 + r_2^2}{r_1^2 + r_2^2} \right)$ <p>で定義する。</p> <p>P₁, P₂, P₃, P₄: 粒子の任意断面 r₁, r₂: 粒子P₁～P₄の曲率半径 r₃, r₄, r₅: 粒子P₁～P₄の内接円の曲率半径 P₁r₁=r₁, P₂r₂=r₂, P₃r₃=r₃, P₄r₄=r₄, P₅r₅=r₅.</p> <p>図-1 粒子円満度計</p>	<p>泊発電所3号炉</p> <p>を砂の細長比とし、粒子形状のパラメーターとした。本報告において⁷⁾、砂の細長比は砂の構造、すなわち粒子の長軸の方向性、粒子間接点における接平面の方向性などを支配していることを実験的に実証した。この意図においても、平均的細長比を粒子形状のインディケーターとして利用できると判断している。</p> <p>修正円満度……Waddell⁸⁾は粒子内に、直交する二軸を有し、その長軸と中間軸とを含む平面上に粒子を投影し、次式によって円満度 R_w を求めた。</p> $R_w = \frac{\pi r_1^2 r_2^2}{\pi r_1^2 + \pi r_2^2} \quad (r_1: 粒子の先端部部分の曲率半径, r_2: 粒子内に接する最大円の半径)$ <p>この方法は測定の選定に個人差が生じやすく、測定時間が長くなるなどの欠点を持つている。Waddell の円満度を若干修正し、1つの粒子の修正円満度 R_c を</p> $R_c = \frac{1}{2} \left(\frac{2(r_1^2 - r_2^2)}{r_1^2 + r_2^2} - \frac{1}{2} \left(\frac{2r_1^2 - 2r_2^2}{r_1^2 + r_2^2} \right) \right)$ $= \frac{1}{2} \left(\frac{r_1^2 - r_2^2}{r_1^2 + r_2^2} + \frac{r_1^2 + r_2^2}{r_1^2 + r_2^2} \right)$ <p>で定義する。</p> <p>P₁, P₂, P₃, P₄: 粒子の任意断面 r₁, r₂: 粒子P₁～P₄の曲率半径 r₃, r₄, r₅: 粒子P₁～P₄の内接円の曲率半径 P₁r₁=r₁, P₂r₂=r₂, P₃r₃=r₃, P₄r₄=r₄, P₅r₅=r₅.</p> <p>図-1 粒子円満度計</p>	<p>泊発電所3号炉</p> <p>を砂の細長比とし、粒子形状のパラメーターとした。本報告において⁷⁾、砂の細長比は砂の構造、すなわち粒子の長軸の方向性、粒子間接点における接平面の方向性などを支配していることを実験的に実証した。この意図においても、平均的細長比を粒子形状のインディケーターとして利用できると判断している。</p> <p>修正円満度……Waddell⁸⁾は粒子内に、直交する二軸を有し、その長軸と中間軸とを含む平面上に粒子を投影し、次式によって円満度 R_w を求めた。</p> $R_w = \frac{\pi r_1^2 r_2^2}{\pi r_1^2 + \pi r_2^2} \quad (r_1: 粒子の先端部部分の曲率半径, r_2: 粒子内に接する最大円の半径)$ <p>この方法は測定の選定に個人差が生じやすく、測定時間が長くなるなどの欠点を持つている。Waddell の円満度を若干修正し、1つの粒子の修正円満度 R_c を</p> $R_c = \frac{1}{2} \left(\frac{2(r_1^2 - r_2^2)}{r_1^2 + r_2^2} - \frac{1}{2} \left(\frac{2r_1^2 - 2r_2^2}{r_1^2 + r_2^2} \right) \right)$ $= \frac{1}{2} \left(\frac{r_1^2 - r_2^2}{r_1^2 + r_2^2} + \frac{r_1^2 + r_2^2}{r_1^2 + r_2^2} \right)$ <p>で定義する。</p> <p>P₁, P₂, P₃, P₄: 粒子の任意断面 r₁, r₂: 粒子P₁～P₄の曲率半径 r₃, r₄, r₅: 粒子P₁～P₄の内接円の曲率半径 P₁r₁=r₁, P₂r₂=r₂, P₃r₃=r₃, P₄r₄=r₄, P₅r₅=r₅.</p> <p>図-1 粒子円満度計</p>	<p>泊発電所3号炉</p> <p>を砂の細長比とし、粒子形状のパラメーターとした。本報告において⁷⁾、砂の細長比は砂の構造、すなわち粒子の長軸の方向性、粒子間接点における接平面の方向性などを支配していることを実験的に実証した。この意図においても、平均的細長比を粒子形状のインディケーターとして利用できると判断している。</p> <p>修正円満度……Waddell⁸⁾は粒子内に、直交する二軸を有し、その長軸と中間軸とを含む平面上に粒子を投影し、次式によって円満度 R_w を求めた。</p> $R_w = \frac{\pi r_1^2 r_2^2}{\pi r_1^2 + \pi r_2^2} \quad (r_1: 粒子の先端部部分の曲率半径, r_2: 粒子内に接する最大円の半径)$ <p>この方法は測定の選定に個人差が生じやすく、測定時間が長くなるなどの欠点を持つている。Waddell の円満度を若干修正し、1つの粒子の修正円満度 R_c を</p> $R_c = \frac{1}{2} \left(\frac{2(r_1^2 - r_2^2)}{r_1^2 + r_2^2} - \frac{1}{2} \left(\frac{2r_1^2 - 2r_2^2}{r_1^2 + r_2^2} \right) \right)$ $= \frac{1}{2} \left(\frac{r_1^2 - r_2^2}{r_1^2 + r_2^2} + \frac{r_1^2 + r_2^2}{r_1^2 + r_2^2} \right)$ <p>で定義する。</p> <p>P₁, P₂, P₃, P₄: 粒子の任意断面 r₁, r₂: 粒子P₁～P₄の曲率半径 r₃, r₄, r₅: 粒子P₁～P₄の内接円の曲率半径 P₁r₁=r₁, P₂r₂=r₂, P₃r₃=r₃, P₄r₄=r₄, P₅r₅=r₅.</p> <p>図-1 粒子円満度計</p>	<p>泊発電所3号炉</p> <p>を砂の細長比とし、粒子形状のパラメーターとした。本報告において⁷⁾、砂の細長比は砂の構造、すなわち粒子の長軸の方向性、粒子間接点における接平面の方向性などを支配していることを実験的に実証した。この意図においても、平均的細長比を粒子形状のインディケーターとして利用できると判断している。</p> <p>修正円満度……Waddell⁸⁾は粒子内に、直交する二軸を有し、その長軸と中間軸とを含む平面上に粒子を投影し、次式によって円満度 R_w を求めた。</p> $R_w = \frac{\pi r_1^2 r_2^2}{\pi r_1^2 + \pi r_2^2} \quad (r_1: 粒子の先端部部分の曲率半径, r_2: 粒子内に接する最大円の半径)$ <p>この方法は測定の選定に個人差が生じやすく、測定時間が長くなるなどの欠点を持つている。Waddell の円満度を若干修正し、1つの粒子の修正円満度 R_c を</p> $R_c = \frac{1}{2} \left(\frac{2(r_1^2 - r_2^2)}{r_1^2 + r_2^2} - \frac{1}{2} \left(\frac{2r_1^2 - 2r_2^2}{r_1^2 + r_2^2} \right) \right)$ $= \frac{1}{2} \left(\frac{r_1^2 - r_2^2}{r_1^2 + r_2^2} + \frac{r_1^2 + r_2^2}{r_1^2 + r_2^2} \right)$ <p>で定義する。</p> <p>P₁, P₂, P₃, P₄: 粒子の任意断面 r₁, r₂: 粒子P₁～P₄の曲率半径 r₃, r₄, r₅: 粒子P₁～P₄の内接円の曲率半径 P₁r₁=r₁, P₂r₂=r₂, P₃r₃=r₃, P₄r₄=r₄, P₅r₅=r₅.</p> <p>図-1 粒子円満度計</p>	<p>泊発電所3号炉</p> <p>を砂の細長比とし、粒子形状のパラメーターとした。本報告において⁷⁾、砂の細長比は砂の構造、すなわち粒子の長軸の方向性、粒子間接点における接平面の方向性などを支配していることを実験的に実証した。この意図においても、平均的細長比を粒子形状のインディケーターとして利用できると判断している。</p> <p>修正円満度……Waddell⁸⁾は粒子内に、直交する二軸を有し、その長軸と中間軸とを含む平面上に粒子を投影し、次式によって円満度 R_w を求めた。</p> $R_w = \frac{\pi r_1^2 r_2^2}{\pi r_1^2 + \pi r_2^2} \quad (r_1: 粒子の先端部部分の曲率半径, r_2: 粒子内に接する最大円の半径)$ <p>この方法は測定の選定に個人差が生じやすく、測定時間が長くなるなどの欠点を持つている。Waddell の円満度を若干修正し、1つの粒子の修正円満度 R_c を</p> $R_c = \frac{1}{2} \left(\frac{2(r_1^2 - r_2^2)}{r_1^2 + r_2^2} - \frac{1}{2} \left(\frac{2r_1^2 - 2r_2^2}{r_1^2 + r_2^2} \right) \right)$ $= \frac{1}{2} \left(\frac{r_1^2 - r_2^2}{r_1^2 + r_2^2} + \frac{r_1^2 + r_2^2}{r_1^2 + r_2^2} \right)$ <p>で定義する。</p> <p>P₁, P₂, P₃, P₄: 粒子の任意断面 r₁, r₂: 粒子P₁～P₄の曲率半径 r₃, r₄, r₅: 粒子P₁～P₄の内接円の曲率半径 P₁r₁=r₁, P₂r₂=r₂, P₃r₃=r₃, P₄r₄=r₄, P₅r₅=r₅.</p> <p>図-1 粒子円満度計</p>	<p>泊発電所3号炉</</p>

泊発電所3号炉 DB基準適合性 比較表

第6条 外部からの衝撃による損傷の防止（火山：別添資料1）

大飯発電所3／4号炉	女川原子力発電所2号炉	泊発電所3号炉	相違理由																																																																																																																																																																																																																																																								
<p style="text-align: center;">No. 607</p> <p>表-1 砂粒子の基本的性質</p> <table border="1"> <thead> <tr> <th rowspan="2">試料名</th> <th rowspan="2">番号</th> <th rowspan="2">形状</th> <th rowspan="2">Q</th> <th rowspan="2">Q_{sp}</th> <th rowspan="2">Q_s</th> <th rowspan="2">F_r</th> <th rowspan="2">R.P.</th> <th rowspan="2">M</th> <th rowspan="2">P.A.</th> <th rowspan="2">C</th> <th colspan="2">測定した風化度</th> </tr> <tr> <th>風化度</th> <th>風化度</th> </tr> </thead> <tbody> <tr> <td>A</td> <td>A-138 A-045 A-045</td> <td>6.876 6.618 6.15</td> <td>0.14 0.15 0.15</td> <td>20.0 35.7 35.8</td> <td>29.5 31.4 34.8</td> <td>36.0 43 43</td> <td>4.5 3.8 3.8</td> <td>2.0 3.8 3.8</td> <td>2.0 3.8 3.8</td> <td>2.0 3.8 3.8</td> <td>2.0 3.8 3.8</td> </tr> <tr> <td>B</td> <td>B-147 B-046 B-045</td> <td>6.998 6.300 6.006</td> <td>0.13 0.21 0.28</td> <td>26.5 27.5 27.5</td> <td>28.5 26.0 26.5</td> <td>1.0 0.5 1.0</td> <td>2.5 2.5 1.0</td> <td>9.5 2.5 2.0</td> <td>1.0 1.0 1.0</td> <td>1.0 1.0 1.0</td> <td>1.0 1.0 1.0</td> </tr> <tr> <td>C</td> <td>C-131 C-046 C-045</td> <td>6.891 6.611 6.301</td> <td>0.37 0.30 0.30</td> <td>34.8 38.0 38.0</td> <td>17.0 10.5 10.5</td> <td>8.5 1.0 0.5</td> <td></td> <td></td> <td></td> <td></td> <td></td> </tr> <tr> <td>D</td> <td>D-214 D-045</td> <td>6.800 6.005</td> <td>0.23 0.21</td> <td>6.4 11.9</td> <td>8.1 7.2</td> <td>59.2 55.2</td> <td>3.9 3.4</td> <td>19.3 13.0</td> <td></td> <td></td> <td></td> </tr> <tr> <td>E</td> <td>E-131 E-045 E-045</td> <td>6.372 6.020 6.006</td> <td>0.27 0.20 0.29</td> <td>0.5 4.3 4.3</td> <td>7.9 3.4 3.4</td> <td>21.8 33.6 33.6</td> <td>39.3 39.3 39.3</td> <td>9.0 9.0 9.0</td> <td>1.0 1.0 1.0</td> <td>1.0 1.0 1.0</td> <td>1.0 1.0 1.0</td> </tr> <tr> <td>F</td> <td>F-145 G-045</td> <td>6.052 6.006</td> <td>0.28 0.28</td> <td>0.1 22.8</td> <td>16.7 1.0</td> <td>40.8 1.0</td> <td>1.0 0.6</td> <td>29.0 31.5</td> <td></td> <td></td> <td></td> </tr> <tr> <td>H</td> <td>H-132</td> <td>6.641</td> <td>0.20</td> <td>3.9</td> <td>2.5</td> <td>2.5</td> <td>9.5</td> <td>81.0</td> <td></td> <td></td> <td></td> </tr> <tr> <td>I</td> <td>I-133</td> <td>6.457</td> <td>0.19</td> <td>22.5</td> <td>22.5</td> <td>1.4</td> <td>43.3</td> <td>3.2</td> <td></td> <td></td> <td></td> </tr> <tr> <td>J</td> <td>J-045</td> <td>6.078</td> <td>0.22</td> <td>6.3</td> <td>8.4</td> <td>12.4</td> <td>0.4</td> <td>48.7</td> <td>14.7</td> <td>14.7</td> <td>14.7</td> </tr> </tbody> </table> <p>での修正円周度とした。</p> <p>この方法により求めた修正円周度は Krumbhaar による visible chart ともよく対応しており、また円周度測定によつて個々走行を少くすることができ、観察時間で測定可能という優れた点を持つ方法である。各種の砂について測定して石を表す記号に記入すれば、測定時間は短くなる。</p> <p>3.2 粒物成の測定</p> <p>測定する粒度（記号：Q）：1つの砂粒子が1～2個の石英單結晶粒子からなるもの。</p> <p>石英の集合体（記号：Q_{sp}）：1つの砂粒子が3～20個の石英粒子の集合体をなすもの；他の物も若干含む。</p> <p>チャート表示（記号：Q）：1つの砂粒子が1～2個の石英單結晶粒子からなるもの；不純物も含む。</p> <p>長石（記号：Fe）：カリ長石と斜長石を含む。他の物と集合体をなす場合には、長石の占める体積が大きい時このグループに入れる。</p> <p>チャート表示：測定結果からなる岩片（記号：R.F.）：ケツ岩と火成岩の岩片が大部分を占める。</p> <p>雲母類（記号：M）：白雲母と黒雲母を含む。</p> <p>輝石：角セシ石（記号：P.A.）</p> <p>その他の（記号：O）：上述以外の組成分物と変成岩および一部の大成岩の岩片を含む。</p> <p>火成岩から無作為に採取した 300 個の砂粒子を顕微鏡を用い、上述の分類にしたがって識別し、その結果を表-2 に示した。</p> <p>3.3 粒子の破碎性</p> <p>①の側方打丸試験⁶⁾および側面三槽打丸試験⁷⁾の結果を表-3 に示す。</p> <p>下線部は本資料における抜粋又は参考箇所を示す</p> <p style="text-align: center;">No. 607</p> <p>表-2 砂粒子の基本的性質</p> <table border="1"> <thead> <tr> <th rowspan="2">試料名</th> <th rowspan="2">測定した風化度</th> <th rowspan="2">R</th> <th rowspan="2">Q</th> <th rowspan="2">Q_{sp}</th> <th rowspan="2">Q_s</th> <th rowspan="2">F_r</th> <th rowspan="2">R.P.</th> <th rowspan="2">M</th> <th rowspan="2">P.A.</th> <th rowspan="2">O</th> <th colspan="2">測定した風化度</th> </tr> <tr> <th>風化度</th> <th>風化度</th> </tr> </thead> <tbody> <tr> <td>A</td> <td>A-138 A-045 A-045</td> <td>0.655 0.638 0.634</td> <td>0.14 0.15 0.15</td> <td>29.0 30.7 31.4</td> <td>29.5 31.8 31.8</td> <td>36.0 33.8 33.8</td> <td>4.5 4.3 4.3</td> <td>2.0 3.8 3.8</td> <td>4.5 3.8 3.8</td> <td>4.5 3.8 3.8</td> </tr> <tr> <td>B</td> <td>B-147 B-046 B-045</td> <td>0.686 0.700 0.706</td> <td>0.13 0.14 0.18</td> <td>28.5 30.2 30.5</td> <td>34.5 36.0 36.5</td> <td>36.5 36.0 36.5</td> <td>1.0 1.0 1.0</td> <td>2.5 2.5 2.6</td> <td>2.5 2.5 2.6</td> <td>2.5 2.5 2.6</td> </tr> <tr> <td>C</td> <td>C-131 C-046 C-045</td> <td>0.696 0.671 0.671</td> <td>0.27 0.21 0.20</td> <td>24.5 11.9 10.0</td> <td>24.5 32.0 32.0</td> <td>37.0 36.5 36.5</td> <td>8.5 8.5 8.5</td> <td>1.0 1.0 1.0</td> <td>1.0 1.0 1.0</td> <td>1.0 1.0 1.0</td> </tr> <tr> <td>D</td> <td>D-214 D-045</td> <td>0.607 0.608</td> <td>0.26 0.21</td> <td>6.4 11.9</td> <td>8.1 7.2</td> <td>59.2 53.2</td> <td>3.9 3.4</td> <td>19.3 20.0</td> <td>1.0 1.0</td> <td>1.0 1.0</td> <td>1.0 1.0</td> </tr> <tr> <td>E</td> <td>E-131 E-045 E-045</td> <td>0.575 0.598 0.606</td> <td>0.22 0.26 0.25</td> <td>0.5 2.3 2.5</td> <td>7.9 4.0 3.5</td> <td>21.8 30.4 30.4</td> <td>60.3 59.8 58.3</td> <td>0.5 0.9 0.9</td> <td>0.5 1.1 1.1</td> <td>0.5 1.1 1.1</td> </tr> <tr> <td>F</td> <td>F-145</td> <td>0.602</td> <td>0.24</td> <td>3.1</td> <td>3.1</td> <td>40.7</td> <td>4.6</td> <td>28.8</td> <td></td> <td></td> <td></td> </tr> <tr> <td>G</td> <td>G-045</td> <td>0.603</td> <td>0.25</td> <td>22.0</td> <td>1.0</td> <td>1.0</td> <td></td> <td></td> <td>0.5</td> <td>0.5</td> </tr> <tr> <td>H</td> <td>H-132</td> <td>0.601</td> <td>0.20</td> <td>32.0</td> <td>2.5</td> <td>2.5</td> <td>2.5</td> <td>41.8</td> <td></td> <td></td> </tr> <tr> <td>I</td> <td>I-133</td> <td>0.607</td> <td>0.19</td> <td>22.0</td> <td>22.0</td> <td>1.4</td> <td>41.3</td> <td>2.1</td> <td></td> <td></td> </tr> <tr> <td>J</td> <td>J-045</td> <td>0.679</td> <td>0.23</td> <td>40.3</td> <td></td> <td></td> <td></td> <td>8.4</td> <td>12.4</td> <td>14.7</td> <td>14.7</td> </tr> </tbody> </table> <p>で砂の修正円周度とした。</p> <p>この方法により求めた修正円周度は Krumbhaar による visible chart ともよく対応しており、また円周度測定定式ともう個個走行を少くすることができ、観察時間で測定可能という優れた点を持つ方法である。各種の砂について測定して石を表す記号に記入すれば、測定時間が短くなる。</p> <p>3.2 粒物成の測定</p> <p>測定する粒度（記号：Q）：1つの砂粒子が1～2個の石英單結晶粒子からなるもの。</p> <p>石英の集合体（記号：Q_{sp}）：1つの砂粒子が3～20個の石英粒子の集合体をなすもの；他の物も若干含む。</p> <p>チャート表示（記号：Q）：1つの砂粒子が1～2個の石英單結晶粒子からなるもの；不純物も含む。</p> <p>長石（記号：Fe）：カリ長石と斜長石を含む。他の物と集合体をなす場合には、長石の占める体積が大きい時このグループに入れる。</p> <p>チャート表示：測定結果からなる岩片（記号：R.F.）：ケツ岩と火成岩の岩片が大部分を占める。</p> <p>雲母類（記号：M）：白雲母と黒雲母を含む。</p> <p>輝石：角セシ石（記号：P.A.）</p> <p>その他の（記号：O）：上述以外の組成分物と変成岩および一部の大成岩の岩片を含む。</p> <p>火成岩から無作為に採取した 300 個の砂粒子を顕微鏡を用い、上述の分類にしたがって識別し、その結果を表-2 に示した。</p> <p>3.3 粒子の破碎性</p> <p>①の側方打丸試験⁶⁾および側面三槽打丸試験⁷⁾の結果を表-3 に示す。</p> <p>下線部は本資料における抜粋又は参考箇所を示す</p>	試料名	番号	形状	Q	Q _{sp}	Q _s	F _r	R.P.	M	P.A.	C	測定した風化度		風化度	風化度	A	A-138 A-045 A-045	6.876 6.618 6.15	0.14 0.15 0.15	20.0 35.7 35.8	29.5 31.4 34.8	36.0 43 43	4.5 3.8 3.8	2.0 3.8 3.8	2.0 3.8 3.8	2.0 3.8 3.8	2.0 3.8 3.8	B	B-147 B-046 B-045	6.998 6.300 6.006	0.13 0.21 0.28	26.5 27.5 27.5	28.5 26.0 26.5	1.0 0.5 1.0	2.5 2.5 1.0	9.5 2.5 2.0	1.0 1.0 1.0	1.0 1.0 1.0	1.0 1.0 1.0	C	C-131 C-046 C-045	6.891 6.611 6.301	0.37 0.30 0.30	34.8 38.0 38.0	17.0 10.5 10.5	8.5 1.0 0.5						D	D-214 D-045	6.800 6.005	0.23 0.21	6.4 11.9	8.1 7.2	59.2 55.2	3.9 3.4	19.3 13.0				E	E-131 E-045 E-045	6.372 6.020 6.006	0.27 0.20 0.29	0.5 4.3 4.3	7.9 3.4 3.4	21.8 33.6 33.6	39.3 39.3 39.3	9.0 9.0 9.0	1.0 1.0 1.0	1.0 1.0 1.0	1.0 1.0 1.0	F	F-145 G-045	6.052 6.006	0.28 0.28	0.1 22.8	16.7 1.0	40.8 1.0	1.0 0.6	29.0 31.5				H	H-132	6.641	0.20	3.9	2.5	2.5	9.5	81.0				I	I-133	6.457	0.19	22.5	22.5	1.4	43.3	3.2				J	J-045	6.078	0.22	6.3	8.4	12.4	0.4	48.7	14.7	14.7	14.7	試料名	測定した風化度	R	Q	Q _{sp}	Q _s	F _r	R.P.	M	P.A.	O	測定した風化度		風化度	風化度	A	A-138 A-045 A-045	0.655 0.638 0.634	0.14 0.15 0.15	29.0 30.7 31.4	29.5 31.8 31.8	36.0 33.8 33.8	4.5 4.3 4.3	2.0 3.8 3.8	4.5 3.8 3.8	4.5 3.8 3.8	B	B-147 B-046 B-045	0.686 0.700 0.706	0.13 0.14 0.18	28.5 30.2 30.5	34.5 36.0 36.5	36.5 36.0 36.5	1.0 1.0 1.0	2.5 2.5 2.6	2.5 2.5 2.6	2.5 2.5 2.6	C	C-131 C-046 C-045	0.696 0.671 0.671	0.27 0.21 0.20	24.5 11.9 10.0	24.5 32.0 32.0	37.0 36.5 36.5	8.5 8.5 8.5	1.0 1.0 1.0	1.0 1.0 1.0	1.0 1.0 1.0	D	D-214 D-045	0.607 0.608	0.26 0.21	6.4 11.9	8.1 7.2	59.2 53.2	3.9 3.4	19.3 20.0	1.0 1.0	1.0 1.0	1.0 1.0	E	E-131 E-045 E-045	0.575 0.598 0.606	0.22 0.26 0.25	0.5 2.3 2.5	7.9 4.0 3.5	21.8 30.4 30.4	60.3 59.8 58.3	0.5 0.9 0.9	0.5 1.1 1.1	0.5 1.1 1.1	F	F-145	0.602	0.24	3.1	3.1	40.7	4.6	28.8				G	G-045	0.603	0.25	22.0	1.0	1.0			0.5	0.5	H	H-132	0.601	0.20	32.0	2.5	2.5	2.5	41.8			I	I-133	0.607	0.19	22.0	22.0	1.4	41.3	2.1			J	J-045	0.679	0.23	40.3				8.4	12.4	14.7	14.7
試料名												番号	形状	Q	Q _{sp}	Q _s	F _r	R.P.	M	P.A.	C	測定した風化度																																																																																																																																																																																																																																					
	風化度	風化度																																																																																																																																																																																																																																																									
A	A-138 A-045 A-045	6.876 6.618 6.15	0.14 0.15 0.15	20.0 35.7 35.8	29.5 31.4 34.8	36.0 43 43	4.5 3.8 3.8	2.0 3.8 3.8	2.0 3.8 3.8	2.0 3.8 3.8	2.0 3.8 3.8																																																																																																																																																																																																																																																
B	B-147 B-046 B-045	6.998 6.300 6.006	0.13 0.21 0.28	26.5 27.5 27.5	28.5 26.0 26.5	1.0 0.5 1.0	2.5 2.5 1.0	9.5 2.5 2.0	1.0 1.0 1.0	1.0 1.0 1.0	1.0 1.0 1.0																																																																																																																																																																																																																																																
C	C-131 C-046 C-045	6.891 6.611 6.301	0.37 0.30 0.30	34.8 38.0 38.0	17.0 10.5 10.5	8.5 1.0 0.5																																																																																																																																																																																																																																																					
D	D-214 D-045	6.800 6.005	0.23 0.21	6.4 11.9	8.1 7.2	59.2 55.2	3.9 3.4	19.3 13.0																																																																																																																																																																																																																																																			
E	E-131 E-045 E-045	6.372 6.020 6.006	0.27 0.20 0.29	0.5 4.3 4.3	7.9 3.4 3.4	21.8 33.6 33.6	39.3 39.3 39.3	9.0 9.0 9.0	1.0 1.0 1.0	1.0 1.0 1.0	1.0 1.0 1.0																																																																																																																																																																																																																																																
F	F-145 G-045	6.052 6.006	0.28 0.28	0.1 22.8	16.7 1.0	40.8 1.0	1.0 0.6	29.0 31.5																																																																																																																																																																																																																																																			
H	H-132	6.641	0.20	3.9	2.5	2.5	9.5	81.0																																																																																																																																																																																																																																																			
I	I-133	6.457	0.19	22.5	22.5	1.4	43.3	3.2																																																																																																																																																																																																																																																			
J	J-045	6.078	0.22	6.3	8.4	12.4	0.4	48.7	14.7	14.7	14.7																																																																																																																																																																																																																																																
試料名	測定した風化度	R	Q	Q _{sp}	Q _s	F _r	R.P.	M	P.A.	O	測定した風化度																																																																																																																																																																																																																																																
											風化度	風化度																																																																																																																																																																																																																																															
A	A-138 A-045 A-045	0.655 0.638 0.634	0.14 0.15 0.15	29.0 30.7 31.4	29.5 31.8 31.8	36.0 33.8 33.8	4.5 4.3 4.3	2.0 3.8 3.8	4.5 3.8 3.8	4.5 3.8 3.8																																																																																																																																																																																																																																																	
B	B-147 B-046 B-045	0.686 0.700 0.706	0.13 0.14 0.18	28.5 30.2 30.5	34.5 36.0 36.5	36.5 36.0 36.5	1.0 1.0 1.0	2.5 2.5 2.6	2.5 2.5 2.6	2.5 2.5 2.6																																																																																																																																																																																																																																																	
C	C-131 C-046 C-045	0.696 0.671 0.671	0.27 0.21 0.20	24.5 11.9 10.0	24.5 32.0 32.0	37.0 36.5 36.5	8.5 8.5 8.5	1.0 1.0 1.0	1.0 1.0 1.0	1.0 1.0 1.0																																																																																																																																																																																																																																																	
D	D-214 D-045	0.607 0.608	0.26 0.21	6.4 11.9	8.1 7.2	59.2 53.2	3.9 3.4	19.3 20.0	1.0 1.0	1.0 1.0	1.0 1.0																																																																																																																																																																																																																																																
E	E-131 E-045 E-045	0.575 0.598 0.606	0.22 0.26 0.25	0.5 2.3 2.5	7.9 4.0 3.5	21.8 30.4 30.4	60.3 59.8 58.3	0.5 0.9 0.9	0.5 1.1 1.1	0.5 1.1 1.1																																																																																																																																																																																																																																																	
F	F-145	0.602	0.24	3.1	3.1	40.7	4.6	28.8																																																																																																																																																																																																																																																			
G	G-045	0.603	0.25	22.0	1.0	1.0			0.5	0.5																																																																																																																																																																																																																																																	
H	H-132	0.601	0.20	32.0	2.5	2.5	2.5	41.8																																																																																																																																																																																																																																																			
I	I-133	0.607	0.19	22.0	22.0	1.4	41.3	2.1																																																																																																																																																																																																																																																			
J	J-045	0.679	0.23	40.3				8.4	12.4	14.7	14.7																																																																																																																																																																																																																																																

泊発電所3号炉 DB基準適合性 比較表

第6条 外部からの衝撃による損傷の防止（火山：別添資料1）

大飯発電所3／4号炉	女川原子力発電所2号炉	泊発電所3号炉	相違理由																																																																																																																																																																																																																																																																																																																																																																																																																																																																																																							
<p>No. 87</p> <p>結果によると、砂粒子の粒度が試験結果を大きく左右する。この事実から構成粒子の粒度を考慮した分類が望ましい。しかし、上記の分類では岩片の粒度を決定する粒度や粒度や粒子間結合力などは無視せざるを得なかつた。そこで、構成粒子の風化程度や成形性について定性的な記述を表-2に示した。</p> <p>4. 最大・最小間ゲキ比試験と直接センシ断試験</p> <p>4.1 最大・最小間ゲキ比試験</p> <p>最大・最小間ゲキ比試験は砂粒子の形状、表面のあらさ、粒径、粒度などの物理的・機械的性質に依存すると判断する。既往の方法によっては相当大きくなつた値を出す。測定容器の大きさ、詰め込み速度、詰め込み方法、詰め込み時間、含水状態などの影響を受ける。他の ϵ_{max}, ϵ_{min} の重要性はすでに認識されているが、かららすも統一的試験方法は確立されておらず、各研究者によって算出されている標準標準値の測定結果も相当にばらついている現状である。</p> <p>最大間ゲキ比 (ϵ_{max})……Kolbuszewski⁽¹⁾ は粒子の落下距離、詰め込み時間、容器の大きさ、水の影響などをについて詳しく実験し、ϵ_{max} の算定法について次のよ</p> <p>うな提議をした。2000 cc の円柱状容器に 1000 g の砂を入れて（振り）容器を逆さにする。その後で、しばらく容器をじょうの状態に戻し、その時の空の状態における砂の間隔を土を測定する。</p> <p>本研究では直径 9 cm、長さ 20 cm の円筒容器を用い、(b) 波 Kolbuszewski の方法に従つて求めた。</p> <p>最小間ゲキ比 (ϵ_{min})……最大間ゲキ比の場合と同様 Kolbuszewski の実験がある。しかし、氏の提案している方法は砂粒子の形状（特に A, B の場合はいちじらしい）が認められ、今回の実験には不適当であると判断した。そこで、便宜的に砂粒子の粒度が少ないと、次のように測定方法を採用した。</p> <p>直徑 5 cm、高さ 10 cm の円筒容器に砂を 3 層に均分詰め込む。各層ごとに上面に 0.85 kg のオモリを置き、容器の側壁を 30 回叩打する。以上のようにして求めた ϵ_{min}, ϵ_{max} を表-1 に示した。</p> <p>4.2 直接センシ断試験</p> <p>試験方法……本研究に使用した試験機は下部可動直接センシ断試験機である。この型の試験機はセンシ断の試験の形態に限らず、試料とセンシ断缶内壁との間に大きな損傷発生が懸念されるため、三種の実験試験や上部可動直接センシ断</p> <p>表-1</p> <table border="1"> <thead> <tr> <th>試験名</th> <th>最小間 ゲキ比 ϵ_{min}</th> <th>最大間 ゲキ比 ϵ_{max}</th> <th>$\epsilon_{max}/\epsilon_{min}$</th> <th>$\epsilon_1$</th> <th>$\epsilon'_1$</th> <th>$\epsilon_2$</th> <th>$\epsilon'_2$</th> <th>$\epsilon_3$</th> <th>$\epsilon'_3$</th> <th>$C_1$</th> <th>$C_1'$</th> <th>相違度</th> </tr> </thead> <tbody> <tr> <td>A</td> <td>A₁^{1.0} A₂^{1.0} A₃^{1.0}</td> <td>1.125 0.676 1.214</td> <td>0.676 0.460 0.686</td> <td>46.5 46.5 47.5</td> <td>44.0 44.0 —</td> <td>44.1 47.0 —</td> <td>44.0 43.0 —</td> <td>44.0 43.0 —</td> <td>44.0 43.0 —</td> <td>0.05 0.14 0.21</td> <td>91 96 88</td> </tr> <tr> <td>B</td> <td>B₁^{1.0} B₂^{1.0} B₃^{1.0}</td> <td>1.108 0.706 1.202</td> <td>0.706 0.459 0.714</td> <td>49.0 49.0 49.0</td> <td>49.1 49.1 —</td> <td>48.5 48.5 —</td> <td>48.5 48.5 —</td> <td>48.5 48.5 —</td> <td>48.5 48.5 —</td> <td>— — —</td> <td>98 98 98</td> </tr> <tr> <td>C</td> <td>C₁^{1.0} C₂^{1.0} C₃^{1.0}</td> <td>0.809 0.509 0.801</td> <td>0.509 0.359 0.501</td> <td>47.5 47.5 47.5</td> <td>— — —</td> <td>— — —</td> <td>— — —</td> <td>— — —</td> <td>— — —</td> <td>— — —</td> <td>98 98 98</td> </tr> <tr> <td>D</td> <td>D₁^{1.0} D₂^{1.0} D₃^{1.0}</td> <td>1.067 0.694 1.120</td> <td>0.694 0.429 0.740</td> <td>54.9 52.1 51.1</td> <td>— — —</td> <td>— — —</td> <td>— — —</td> <td>— — —</td> <td>— — —</td> <td>— — —</td> <td>100 100 100</td> </tr> <tr> <td>E</td> <td>E₁^{1.0} E₂^{1.0} E₃^{1.0}</td> <td>1.111 0.756 1.201</td> <td>0.756 0.488 0.801</td> <td>48.5 48.5 49.0</td> <td>48.5 48.5 —</td> <td>48.5 48.5 —</td> <td>48.5 48.5 —</td> <td>48.5 48.5 —</td> <td>48.5 48.5 —</td> <td>— — —</td> <td>98 98 98</td> </tr> <tr> <td>F</td> <td>F₁^{1.0} F₂^{1.0} F₃^{1.0}</td> <td>1.147 0.797 1.201</td> <td>0.797 0.499 0.801</td> <td>48.2 48.2 47.5</td> <td>48.1 48.1 47.5</td> <td>— — —</td> <td>— — —</td> <td>— — —</td> <td>— — —</td> <td>— — —</td> <td>98 98 98</td> </tr> <tr> <td>G</td> <td>G₁^{1.0} G₂^{1.0} G₃^{1.0}</td> <td>0.888 0.598 0.886</td> <td>0.598 0.359 0.886</td> <td>52.2 51.1 51.1</td> <td>— — —</td> <td>— — —</td> <td>— — —</td> <td>— — —</td> <td>— — —</td> <td>— — —</td> <td>100 100 100</td> </tr> <tr> <td>H</td> <td>H₁^{1.0} H₂^{1.0} H₃^{1.0}</td> <td>1.159 0.786 1.111</td> <td>0.786 0.499 0.786</td> <td>47.3 47.3 46.6</td> <td>47.3 47.3 —</td> <td>— — —</td> <td>— — —</td> <td>— — —</td> <td>— — —</td> <td>— — —</td> <td>98 98 98</td> </tr> <tr> <td>I</td> <td>I₁^{1.0} I₂^{1.0} I₃^{1.0}</td> <td>1.109 0.721 1.111</td> <td>0.721 0.488 0.721</td> <td>49.0 49.0 49.0</td> <td>49.0 49.0 —</td> <td>49.5 49.5 —</td> <td>49.5 49.5 —</td> <td>49.5 49.5 —</td> <td>49.5 49.5 —</td> <td>— — —</td> <td>98 98 98</td> </tr> </tbody> </table> <p>表-2</p> <table border="1"> <thead> <tr> <th>試験名</th> <th>最小間 ゲキ比 ϵ_{min}</th> <th>最大間 ゲキ比 ϵ_{max}</th> <th>$\epsilon_{max}/\epsilon_{min}$</th> <th>$\epsilon_1$</th> <th>$\epsilon'_1$</th> <th>$\epsilon_2$</th> <th>$\epsilon'_2$</th> <th>$\epsilon_3$</th> <th>$\epsilon'_3$</th> <th>$C_1$</th> <th>$C_1'$</th> <th>相違度</th> </tr> </thead> <tbody> <tr> <td>A</td> <td>A₁^{1.0} A₂^{1.0} A₃^{1.0}</td> <td>1.126 0.676 1.314</td> <td>0.678 0.440 0.684</td> <td>56.5 56.6 54.0</td> <td>54.5 54.6 54.0</td> <td>44.0 44.0 47.0</td> <td>44.0 44.0 47.0</td> <td>44.0 44.0 47.0</td> <td>44.0 44.0 47.0</td> <td>0.18 0.20 0.25</td> <td>0.05 0.14 0.21</td> <td>98 98 98</td> </tr> <tr> <td>B</td> <td>B₁^{1.0} B₂^{1.0} B₃^{1.0}</td> <td>1.108 0.706 1.210</td> <td>0.705 0.431 0.714</td> <td>55.6 55.6 55.8</td> <td>55.6 55.6 55.8</td> <td>46.0 46.0 48.0</td> <td>46.0 46.0 48.0</td> <td>46.0 46.0 48.0</td> <td>46.0 46.0 48.0</td> <td>0.20 0.18 —</td> <td>0.12 0.12 —</td> <td>98 98 —</td> </tr> <tr> <td>C</td> <td>C₁^{1.0} C₂^{1.0} C₃^{1.0}</td> <td>0.809 0.509 0.801</td> <td>0.509 0.359 0.501</td> <td>43.5 43.5 43.5</td> <td>43.5 43.5 43.5</td> <td>— — —</td> <td>— — —</td> <td>— — —</td> <td>— — —</td> <td>0.11 0.10 0.14</td> <td>0.10 0.10 0.12</td> <td>98 98 100</td> </tr> <tr> <td>D</td> <td>D₁^{1.0} D₂^{1.0} D₃^{1.0}</td> <td>1.067 0.694 1.131</td> <td>0.691 0.390 0.740</td> <td>54.0 52.5 51.5</td> <td>52.6 51.5 51.5</td> <td>— — —</td> <td>— — —</td> <td>— — —</td> <td>— — —</td> <td>0.05 0.12 —</td> <td>0.04 0.08 —</td> <td>100 100 —</td> </tr> <tr> <td>E</td> <td>E₁^{1.0} E₂^{1.0} E₃^{1.0}</td> <td>1.111 0.756 1.147</td> <td>0.756 0.488 0.797</td> <td>48.5 48.5 50.0</td> <td>48.5 48.5 50.0</td> <td>— — —</td> <td>— — —</td> <td>— — —</td> <td>— — —</td> <td>0.17 0.14 —</td> <td>0.15 0.05 —</td> <td>98 98 —</td> </tr> <tr> <td>F</td> <td>F₁^{1.0} F₂^{1.0} F₃^{1.0}</td> <td>1.120 0.761 1.124</td> <td>0.761 0.491 0.764</td> <td>48.5 48.5 48.5</td> <td>48.5 48.5 48.5</td> <td>— — —</td> <td>— — —</td> <td>— — —</td> <td>— — —</td> <td>0.11 0.11 0.11</td> <td>0.10 0.10 0.10</td> <td>98 98 98</td> </tr> <tr> <td>G</td> <td>G₁^{1.0} G₂^{1.0} G₃^{1.0}</td> <td>0.898 0.598 0.896</td> <td>0.598 0.359 0.896</td> <td>52.2 51.1 51.1</td> <td>51.1 51.1 51.1</td> <td>— — —</td> <td>— — —</td> <td>— — —</td> <td>— — —</td> <td>0.10 0.10 0.10</td> <td>0.08 0.08 0.10</td> <td>100 100 100</td> </tr> <tr> <td>H</td> <td>H₁^{1.0} H₂^{1.0} H₃^{1.0}</td> <td>1.260 0.808 1.113</td> <td>0.808 0.421 0.826</td> <td>53.0 53.0 53.0</td> <td>53.0 53.0 53.0</td> <td>— — —</td> <td>— — —</td> <td>— — —</td> <td>— — —</td> <td>0.30 0.30 —</td> <td>0.20 0.20 —</td> <td>100 100 —</td> </tr> <tr> <td>I</td> <td>I₁^{1.0} I₂^{1.0} I₃^{1.0}</td> <td>1.113 0.766 1.109</td> <td>0.766 0.499 0.721</td> <td>47.3 47.3 49.0</td> <td>47.3 47.3 49.0</td> <td>— — —</td> <td>— — —</td> <td>— — —</td> <td>— — —</td> <td>0.10 0.10 0.10</td> <td>0.10 0.10 0.10</td> <td>98 98 98</td> </tr> <tr> <td>J</td> <td>J₁^{1.0} J₂^{1.0} J₃^{1.0}</td> <td>1.159 0.798 1.159</td> <td>0.798 0.499 0.798</td> <td>45.0 45.0 45.0</td> <td>45.0 45.0 45.0</td> <td>— — —</td> <td>— — —</td> <td>— — —</td> <td>— — —</td> <td>0.10 0.10 0.10</td> <td>0.10 0.10 0.10</td> <td>98 98 98</td> </tr> </tbody> </table> <p>表-3</p> <table border="1"> <thead> <tr> <th>試験名</th> <th>最小間 ゲキ比 ϵ_{min}</th> <th>最大間 ゲキ比 ϵ_{max}</th> <th>$\epsilon_{max}/\epsilon_{min}$</th> <th>$\epsilon_{max}$-$\epsilon_{min}$</th> <th>$\epsilon_1$</th> <th>$\epsilon'_1$</th> <th>$\epsilon_2$</th> <th>$\epsilon'_2$</th> <th>$\epsilon_3$</th> <th>$\epsilon'_3$</th> <th>$C_1$</th> <th>$C_1'$</th> <th>相違度</th> </tr> </thead> <tbody> <tr> <td>A</td> <td>A₁^{1.0} A₂^{1.0} A₃^{1.0}</td> <td>1.126 0.676 1.314</td> <td>0.678 0.440 0.684</td> <td>56.5 56.6 54.0</td> <td>54.5 54.6 54.0</td> <td>44.0 44.0 47.0</td> <td>44.0 44.0 47.0</td> <td>44.0 44.0 47.0</td> <td>44.0 44.0 47.0</td> <td>44.0 44.0 47.0</td> <td>0.18 0.20 0.25</td> <td>0.05 0.14 0.21</td> <td>98 98 98</td> </tr> <tr> <td>B</td> <td>B₁^{1.0} B₂^{1.0} B₃^{1.0}</td> <td>1.108 0.706 1.210</td> <td>0.705 0.431 0.714</td> <td>55.6 55.6 55.8</td> <td>55.6 55.6 55.8</td> <td>46.0 46.0 48.0</td> <td>46.0 46.0 48.0</td> <td>46.0 46.0 48.0</td> <td>46.0 46.0 48.0</td> <td>46.0 46.0 48.0</td> <td>0.20 0.18 —</td> <td>0.12 0.12 —</td> <td>98 98 —</td> </tr> <tr> <td>C</td> <td>C₁^{1.0} C₂^{1.0} C₃^{1.0}</td> <td>0.809 0.509 0.801</td> <td>0.509 0.359 0.501</td> <td>43.5 43.5 43.5</td> <td>43.5 43.5 43.5</td> <td>— — —</td> <td>— — —</td> <td>— — —</td> <td>— — —</td> <td>— — —</td> <td>0.11 0.10 0.14</td> <td>0.10 0.10 0.12</td> <td>98 98 100</td> </tr> <tr> <td>D</td> <td>D₁^{1.0} D₂^{1.0} D₃^{1.0}</td> <td>1.067 0.694 1.131</td> <td>0.691 0.390 0.740</td> <td>54.0 52.5 51.5</td> <td>52.6 51.5 51.5</td> <td>— — —</td> <td>— — —</td> <td>— — —</td> <td>— — —</td> <td>— — —</td> <td>0.05 0.12 —</td> <td>0.04 0.08 —</td> <td>100 100 —</td> </tr> <tr> <td>E</td> <td>E₁^{1.0} E₂^{1.0} E₃^{1.0}</td> <td>1.111 0.756 1.147</td> <td>0.756 0.488 0.797</td> <td>48.5 48.5 50.0</td> <td>48.5 48.5 50.0</td> <td>— — —</td> <td>— — —</td> <td>— — —</td> <td>— — —</td> <td>— — —</td> <td>0.17 0.14 —</td> <td>0.15 0.05 —</td> <td>98 98 —</td> </tr> <tr> <td>F</td> <td>F₁^{1.0} F₂^{1.0} F₃^{1.0}</td> <td>1.120 0.761 1.124</td> <td>0.761 0.491 0.764</td> <td>48.5 48.5 48.5</td> <td>48.5 48.5 48.5</td> <td>— — —</td> <td>— — —</td> <td>— — —</td> <td>— — —</td> <td>— — —</td> <td>0.11 0.11 0.11</td> <td>0.10 0.10 0.10</td> <td>98 98 98</td> </tr> <tr> <td>G</td> <td>G₁^{1.0} G₂^{1.0} G₃^{1.0}</td> <td>0.898 0.598 0.896</td> <td>0.598 0.359 0.896</td> <td>52.2 51.1 51.1</td> <td>51.1 51.1 51.1</td> <td>— — —</td> <td>— — —</td> <td>— — —</td> <td>— — —</td> <td>— — —</td> <td>0.10 0.10 0.10</td> <td>0.08 0.08 0.10</td> <td>100 100 100</td> </tr> <tr> <td>H</td> <td>H₁^{1.0} H₂^{1.0} H₃^{1.0}</td> <td>1.260 0.808 1.113</td> <td>0.808 0.421 0.826</td> <td>53.0 53.0 53.0</td> <td>53.0 53.0 53.0</td> <td>— — —</td> <td>— — —</td> <td>— — —</td> <td>— — —</td> <td>— — —</td> <td>0.30 0.30 —</td> <td>0.20 0.20 —</td> <td>100 100 —</td> </tr> <tr> <td>I</td> <td>I₁^{1.0} I₂^{1.0} I₃^{1.0}</td> <td>1.159 0.798 1.159</td> <td>0.798 0.499 0.798</td> <td>45.0 45.0 45.0</td> <td>45.0 45.0 45.0</td> <td>— — —</td> <td>— — —</td> <td>— — —</td> <td>— — —</td> <td>— — —</td> <td>0.10 0.10 0.10</td> <td>0.10 0.10 0.10</td> <td>98 98 98</td> </tr> <tr> <td>J</td> <td>J₁^{1.0} J₂^{1.0} J₃^{1.0}</td> <td>1.159 0.798 1.159</td> <td>0.798 0.499 0.798</td> <td>45.0 45.0 45.0</td> <td>45.0 45.0 45.0</td> <td>— — —</td> <td>— — —</td> <td>— — —</td> <td>— — —</td> <td>— — —</td> <td>0.10 0.10 0.10</td> <td>0.10 0.10 0.10</td> <td>98 98 98</td> </tr> </tbody> </table> <p>表-4</p> <table border="1"> <thead> <tr> <th>試験名</th> <th>最小間 ゲキ比 ϵ_{min}</th> <th>最大間 ゲキ比 ϵ_{max}</th> <th>$\epsilon_{max}/\epsilon_{min}$</th> <th>$\epsilon_{max}$-$\epsilon_{min}$</th> <th>$\epsilon_1$</th> <th>$\epsilon'_1$</th> <th>$\epsilon_2$</th> <th>$\epsilon'_2$</th> <th>$\epsilon_3$</th> <th>$\epsilon'_3$</th> <th>$C_1$</th> <th>$C_1'$</th> <th>相違度</th> </tr> </thead> <tbody> <tr> <td>A</td> <td>A₁^{1.0} A₂^{1.0} A₃^{1.0}</td> <td>1.126 0.676 1.314</td> <td>0.678 0.440 0.684</td> <td>56.5 56.6 54.0</td> <td>54.5 54.6 54.0</td> <td>44.0 44.0 47.0</td> <td>44.0 44.0 47.0</td> <td>44.0 44.0 47.0</td> <td>44.0 44.0 47.0</td> <td>44.0 44.0 47.0</td> <td>0.18 0.20 0.25</td> <td>0.05 0.14 0.21</td> <td>98 98 98</td> </tr> <tr> <td>B</td> <td>B₁^{1.0} B₂^{1.0} B₃^{1.0}</td> <td>1.108 0.706 1.210</td> <td>0.705 0.431 0.714</td> <td>55.6 55.6 55.8</td> <td>55.6 55.6 55.8</td> <td>46.0 46.0 48.0</td> <td>46.0 46.0 48.0</td> <td>46.0 46.0 48.0</td> <td>46.0 46.0 48.0</td> <td>46.0 46.0 48.0</td> <td>0.20 0.18 —</td> <td>0.12 0.12 —</td> <td>98 98 —</td> </tr> <tr> <td>C</td> <td>C₁^{1.0} C₂^{1.0} C₃^{1.0}</td> <td>0.809 0.509 0.801</td> <td>0.509 0.359 0.801</td> <td>43.5 43.5 43.5</td> <td>43.5 43.5 43.5</td> <td>— — —</td> <td>— — —</td> <td>— — —</td> <td>— — —</td> <td>— — —</td> <td>0.11 0.10 0.14</td> <td>0.10 0.10 0.12</td> <td>98 98 100</td> </tr> <tr> <td>D</td> <td>D₁^{1.0} D₂^{1.0} D₃^{1.0}</td> <td>1.067 0.694 1.131</td> <td>0.691 0.390 0.740</td> <td>54.0 52.5 51.5</td> <td>52.6 51.5 51.5</td> <td>— — —</td> <td>— — —</td> <td>— — —</td> <td>— — —</td> <td>— — —</td> <td>0.05 0.12 —</td> <td>0.04 0.08 —</td> <td>100 100 —</td> </tr> <tr> <td>E</td> <td>E₁^{1.0} E</td></tr></tbody></table>	試験名	最小間 ゲキ比 ϵ_{min}	最大間 ゲキ比 ϵ_{max}	$\epsilon_{max}/\epsilon_{min}$	ϵ_1	ϵ'_1	ϵ_2	ϵ'_2	ϵ_3	ϵ'_3	C_1	C_1'	相違度	A	A ₁ ^{1.0} A ₂ ^{1.0} A ₃ ^{1.0}	1.125 0.676 1.214	0.676 0.460 0.686	46.5 46.5 47.5	44.0 44.0 —	44.1 47.0 —	44.0 43.0 —	44.0 43.0 —	44.0 43.0 —	0.05 0.14 0.21	91 96 88	B	B ₁ ^{1.0} B ₂ ^{1.0} B ₃ ^{1.0}	1.108 0.706 1.202	0.706 0.459 0.714	49.0 49.0 49.0	49.1 49.1 —	48.5 48.5 —	48.5 48.5 —	48.5 48.5 —	48.5 48.5 —	— — —	98 98 98	C	C ₁ ^{1.0} C ₂ ^{1.0} C ₃ ^{1.0}	0.809 0.509 0.801	0.509 0.359 0.501	47.5 47.5 47.5	— — —	— — —	— — —	— — —	— — —	— — —	98 98 98	D	D ₁ ^{1.0} D ₂ ^{1.0} D ₃ ^{1.0}	1.067 0.694 1.120	0.694 0.429 0.740	54.9 52.1 51.1	— — —	— — —	— — —	— — —	— — —	— — —	100 100 100	E	E ₁ ^{1.0} E ₂ ^{1.0} E ₃ ^{1.0}	1.111 0.756 1.201	0.756 0.488 0.801	48.5 48.5 49.0	48.5 48.5 —	48.5 48.5 —	48.5 48.5 —	48.5 48.5 —	48.5 48.5 —	— — —	98 98 98	F	F ₁ ^{1.0} F ₂ ^{1.0} F ₃ ^{1.0}	1.147 0.797 1.201	0.797 0.499 0.801	48.2 48.2 47.5	48.1 48.1 47.5	— — —	— — —	— — —	— — —	— — —	98 98 98	G	G ₁ ^{1.0} G ₂ ^{1.0} G ₃ ^{1.0}	0.888 0.598 0.886	0.598 0.359 0.886	52.2 51.1 51.1	— — —	— — —	— — —	— — —	— — —	— — —	100 100 100	H	H ₁ ^{1.0} H ₂ ^{1.0} H ₃ ^{1.0}	1.159 0.786 1.111	0.786 0.499 0.786	47.3 47.3 46.6	47.3 47.3 —	— — —	— — —	— — —	— — —	— — —	98 98 98	I	I ₁ ^{1.0} I ₂ ^{1.0} I ₃ ^{1.0}	1.109 0.721 1.111	0.721 0.488 0.721	49.0 49.0 49.0	49.0 49.0 —	49.5 49.5 —	49.5 49.5 —	49.5 49.5 —	49.5 49.5 —	— — —	98 98 98	試験名	最小間 ゲキ比 ϵ_{min}	最大間 ゲキ比 ϵ_{max}	$\epsilon_{max}/\epsilon_{min}$	ϵ_1	ϵ'_1	ϵ_2	ϵ'_2	ϵ_3	ϵ'_3	C_1	C_1'	相違度	A	A ₁ ^{1.0} A ₂ ^{1.0} A ₃ ^{1.0}	1.126 0.676 1.314	0.678 0.440 0.684	56.5 56.6 54.0	54.5 54.6 54.0	44.0 44.0 47.0	44.0 44.0 47.0	44.0 44.0 47.0	44.0 44.0 47.0	0.18 0.20 0.25	0.05 0.14 0.21	98 98 98	B	B ₁ ^{1.0} B ₂ ^{1.0} B ₃ ^{1.0}	1.108 0.706 1.210	0.705 0.431 0.714	55.6 55.6 55.8	55.6 55.6 55.8	46.0 46.0 48.0	46.0 46.0 48.0	46.0 46.0 48.0	46.0 46.0 48.0	0.20 0.18 —	0.12 0.12 —	98 98 —	C	C ₁ ^{1.0} C ₂ ^{1.0} C ₃ ^{1.0}	0.809 0.509 0.801	0.509 0.359 0.501	43.5 43.5 43.5	43.5 43.5 43.5	— — —	— — —	— — —	— — —	0.11 0.10 0.14	0.10 0.10 0.12	98 98 100	D	D ₁ ^{1.0} D ₂ ^{1.0} D ₃ ^{1.0}	1.067 0.694 1.131	0.691 0.390 0.740	54.0 52.5 51.5	52.6 51.5 51.5	— — —	— — —	— — —	— — —	0.05 0.12 —	0.04 0.08 —	100 100 —	E	E ₁ ^{1.0} E ₂ ^{1.0} E ₃ ^{1.0}	1.111 0.756 1.147	0.756 0.488 0.797	48.5 48.5 50.0	48.5 48.5 50.0	— — —	— — —	— — —	— — —	0.17 0.14 —	0.15 0.05 —	98 98 —	F	F ₁ ^{1.0} F ₂ ^{1.0} F ₃ ^{1.0}	1.120 0.761 1.124	0.761 0.491 0.764	48.5 48.5 48.5	48.5 48.5 48.5	— — —	— — —	— — —	— — —	0.11 0.11 0.11	0.10 0.10 0.10	98 98 98	G	G ₁ ^{1.0} G ₂ ^{1.0} G ₃ ^{1.0}	0.898 0.598 0.896	0.598 0.359 0.896	52.2 51.1 51.1	51.1 51.1 51.1	— — —	— — —	— — —	— — —	0.10 0.10 0.10	0.08 0.08 0.10	100 100 100	H	H ₁ ^{1.0} H ₂ ^{1.0} H ₃ ^{1.0}	1.260 0.808 1.113	0.808 0.421 0.826	53.0 53.0 53.0	53.0 53.0 53.0	— — —	— — —	— — —	— — —	0.30 0.30 —	0.20 0.20 —	100 100 —	I	I ₁ ^{1.0} I ₂ ^{1.0} I ₃ ^{1.0}	1.113 0.766 1.109	0.766 0.499 0.721	47.3 47.3 49.0	47.3 47.3 49.0	— — —	— — —	— — —	— — —	0.10 0.10 0.10	0.10 0.10 0.10	98 98 98	J	J ₁ ^{1.0} J ₂ ^{1.0} J ₃ ^{1.0}	1.159 0.798 1.159	0.798 0.499 0.798	45.0 45.0 45.0	45.0 45.0 45.0	— — —	— — —	— — —	— — —	0.10 0.10 0.10	0.10 0.10 0.10	98 98 98	試験名	最小間 ゲキ比 ϵ_{min}	最大間 ゲキ比 ϵ_{max}	$\epsilon_{max}/\epsilon_{min}$	ϵ_{max} - ϵ_{min}	ϵ_1	ϵ'_1	ϵ_2	ϵ'_2	ϵ_3	ϵ'_3	C_1	C_1'	相違度	A	A ₁ ^{1.0} A ₂ ^{1.0} A ₃ ^{1.0}	1.126 0.676 1.314	0.678 0.440 0.684	56.5 56.6 54.0	54.5 54.6 54.0	44.0 44.0 47.0	44.0 44.0 47.0	44.0 44.0 47.0	44.0 44.0 47.0	44.0 44.0 47.0	0.18 0.20 0.25	0.05 0.14 0.21	98 98 98	B	B ₁ ^{1.0} B ₂ ^{1.0} B ₃ ^{1.0}	1.108 0.706 1.210	0.705 0.431 0.714	55.6 55.6 55.8	55.6 55.6 55.8	46.0 46.0 48.0	46.0 46.0 48.0	46.0 46.0 48.0	46.0 46.0 48.0	46.0 46.0 48.0	0.20 0.18 —	0.12 0.12 —	98 98 —	C	C ₁ ^{1.0} C ₂ ^{1.0} C ₃ ^{1.0}	0.809 0.509 0.801	0.509 0.359 0.501	43.5 43.5 43.5	43.5 43.5 43.5	— — —	— — —	— — —	— — —	— — —	0.11 0.10 0.14	0.10 0.10 0.12	98 98 100	D	D ₁ ^{1.0} D ₂ ^{1.0} D ₃ ^{1.0}	1.067 0.694 1.131	0.691 0.390 0.740	54.0 52.5 51.5	52.6 51.5 51.5	— — —	— — —	— — —	— — —	— — —	0.05 0.12 —	0.04 0.08 —	100 100 —	E	E ₁ ^{1.0} E ₂ ^{1.0} E ₃ ^{1.0}	1.111 0.756 1.147	0.756 0.488 0.797	48.5 48.5 50.0	48.5 48.5 50.0	— — —	— — —	— — —	— — —	— — —	0.17 0.14 —	0.15 0.05 —	98 98 —	F	F ₁ ^{1.0} F ₂ ^{1.0} F ₃ ^{1.0}	1.120 0.761 1.124	0.761 0.491 0.764	48.5 48.5 48.5	48.5 48.5 48.5	— — —	— — —	— — —	— — —	— — —	0.11 0.11 0.11	0.10 0.10 0.10	98 98 98	G	G ₁ ^{1.0} G ₂ ^{1.0} G ₃ ^{1.0}	0.898 0.598 0.896	0.598 0.359 0.896	52.2 51.1 51.1	51.1 51.1 51.1	— — —	— — —	— — —	— — —	— — —	0.10 0.10 0.10	0.08 0.08 0.10	100 100 100	H	H ₁ ^{1.0} H ₂ ^{1.0} H ₃ ^{1.0}	1.260 0.808 1.113	0.808 0.421 0.826	53.0 53.0 53.0	53.0 53.0 53.0	— — —	— — —	— — —	— — —	— — —	0.30 0.30 —	0.20 0.20 —	100 100 —	I	I ₁ ^{1.0} I ₂ ^{1.0} I ₃ ^{1.0}	1.159 0.798 1.159	0.798 0.499 0.798	45.0 45.0 45.0	45.0 45.0 45.0	— — —	— — —	— — —	— — —	— — —	0.10 0.10 0.10	0.10 0.10 0.10	98 98 98	J	J ₁ ^{1.0} J ₂ ^{1.0} J ₃ ^{1.0}	1.159 0.798 1.159	0.798 0.499 0.798	45.0 45.0 45.0	45.0 45.0 45.0	— — —	— — —	— — —	— — —	— — —	0.10 0.10 0.10	0.10 0.10 0.10	98 98 98	試験名	最小間 ゲキ比 ϵ_{min}	最大間 ゲキ比 ϵ_{max}	$\epsilon_{max}/\epsilon_{min}$	ϵ_{max} - ϵ_{min}	ϵ_1	ϵ'_1	ϵ_2	ϵ'_2	ϵ_3	ϵ'_3	C_1	C_1'	相違度	A	A ₁ ^{1.0} A ₂ ^{1.0} A ₃ ^{1.0}	1.126 0.676 1.314	0.678 0.440 0.684	56.5 56.6 54.0	54.5 54.6 54.0	44.0 44.0 47.0	44.0 44.0 47.0	44.0 44.0 47.0	44.0 44.0 47.0	44.0 44.0 47.0	0.18 0.20 0.25	0.05 0.14 0.21	98 98 98	B	B ₁ ^{1.0} B ₂ ^{1.0} B ₃ ^{1.0}	1.108 0.706 1.210	0.705 0.431 0.714	55.6 55.6 55.8	55.6 55.6 55.8	46.0 46.0 48.0	46.0 46.0 48.0	46.0 46.0 48.0	46.0 46.0 48.0	46.0 46.0 48.0	0.20 0.18 —	0.12 0.12 —	98 98 —	C	C ₁ ^{1.0} C ₂ ^{1.0} C ₃ ^{1.0}	0.809 0.509 0.801	0.509 0.359 0.801	43.5 43.5 43.5	43.5 43.5 43.5	— — —	— — —	— — —	— — —	— — —	0.11 0.10 0.14	0.10 0.10 0.12	98 98 100	D	D ₁ ^{1.0} D ₂ ^{1.0} D ₃ ^{1.0}	1.067 0.694 1.131	0.691 0.390 0.740	54.0 52.5 51.5	52.6 51.5 51.5	— — —	— — —	— — —	— — —	— — —	0.05 0.12 —	0.04 0.08 —	100 100 —	E	E ₁ ^{1.0} E
試験名	最小間 ゲキ比 ϵ_{min}	最大間 ゲキ比 ϵ_{max}	$\epsilon_{max}/\epsilon_{min}$	ϵ_1	ϵ'_1	ϵ_2	ϵ'_2	ϵ_3	ϵ'_3	C_1	C_1'	相違度																																																																																																																																																																																																																																																																																																																																																																																																																																																																																														
A	A ₁ ^{1.0} A ₂ ^{1.0} A ₃ ^{1.0}	1.125 0.676 1.214	0.676 0.460 0.686	46.5 46.5 47.5	44.0 44.0 —	44.1 47.0 —	44.0 43.0 —	44.0 43.0 —	44.0 43.0 —	0.05 0.14 0.21	91 96 88																																																																																																																																																																																																																																																																																																																																																																																																																																																																																															
B	B ₁ ^{1.0} B ₂ ^{1.0} B ₃ ^{1.0}	1.108 0.706 1.202	0.706 0.459 0.714	49.0 49.0 49.0	49.1 49.1 —	48.5 48.5 —	48.5 48.5 —	48.5 48.5 —	48.5 48.5 —	— — —	98 98 98																																																																																																																																																																																																																																																																																																																																																																																																																																																																																															
C	C ₁ ^{1.0} C ₂ ^{1.0} C ₃ ^{1.0}	0.809 0.509 0.801	0.509 0.359 0.501	47.5 47.5 47.5	— — —	— — —	— — —	— — —	— — —	— — —	98 98 98																																																																																																																																																																																																																																																																																																																																																																																																																																																																																															
D	D ₁ ^{1.0} D ₂ ^{1.0} D ₃ ^{1.0}	1.067 0.694 1.120	0.694 0.429 0.740	54.9 52.1 51.1	— — —	— — —	— — —	— — —	— — —	— — —	100 100 100																																																																																																																																																																																																																																																																																																																																																																																																																																																																																															
E	E ₁ ^{1.0} E ₂ ^{1.0} E ₃ ^{1.0}	1.111 0.756 1.201	0.756 0.488 0.801	48.5 48.5 49.0	48.5 48.5 —	48.5 48.5 —	48.5 48.5 —	48.5 48.5 —	48.5 48.5 —	— — —	98 98 98																																																																																																																																																																																																																																																																																																																																																																																																																																																																																															
F	F ₁ ^{1.0} F ₂ ^{1.0} F ₃ ^{1.0}	1.147 0.797 1.201	0.797 0.499 0.801	48.2 48.2 47.5	48.1 48.1 47.5	— — —	— — —	— — —	— — —	— — —	98 98 98																																																																																																																																																																																																																																																																																																																																																																																																																																																																																															
G	G ₁ ^{1.0} G ₂ ^{1.0} G ₃ ^{1.0}	0.888 0.598 0.886	0.598 0.359 0.886	52.2 51.1 51.1	— — —	— — —	— — —	— — —	— — —	— — —	100 100 100																																																																																																																																																																																																																																																																																																																																																																																																																																																																																															
H	H ₁ ^{1.0} H ₂ ^{1.0} H ₃ ^{1.0}	1.159 0.786 1.111	0.786 0.499 0.786	47.3 47.3 46.6	47.3 47.3 —	— — —	— — —	— — —	— — —	— — —	98 98 98																																																																																																																																																																																																																																																																																																																																																																																																																																																																																															
I	I ₁ ^{1.0} I ₂ ^{1.0} I ₃ ^{1.0}	1.109 0.721 1.111	0.721 0.488 0.721	49.0 49.0 49.0	49.0 49.0 —	49.5 49.5 —	49.5 49.5 —	49.5 49.5 —	49.5 49.5 —	— — —	98 98 98																																																																																																																																																																																																																																																																																																																																																																																																																																																																																															
試験名	最小間 ゲキ比 ϵ_{min}	最大間 ゲキ比 ϵ_{max}	$\epsilon_{max}/\epsilon_{min}$	ϵ_1	ϵ'_1	ϵ_2	ϵ'_2	ϵ_3	ϵ'_3	C_1	C_1'	相違度																																																																																																																																																																																																																																																																																																																																																																																																																																																																																														
A	A ₁ ^{1.0} A ₂ ^{1.0} A ₃ ^{1.0}	1.126 0.676 1.314	0.678 0.440 0.684	56.5 56.6 54.0	54.5 54.6 54.0	44.0 44.0 47.0	44.0 44.0 47.0	44.0 44.0 47.0	44.0 44.0 47.0	0.18 0.20 0.25	0.05 0.14 0.21	98 98 98																																																																																																																																																																																																																																																																																																																																																																																																																																																																																														
B	B ₁ ^{1.0} B ₂ ^{1.0} B ₃ ^{1.0}	1.108 0.706 1.210	0.705 0.431 0.714	55.6 55.6 55.8	55.6 55.6 55.8	46.0 46.0 48.0	46.0 46.0 48.0	46.0 46.0 48.0	46.0 46.0 48.0	0.20 0.18 —	0.12 0.12 —	98 98 —																																																																																																																																																																																																																																																																																																																																																																																																																																																																																														
C	C ₁ ^{1.0} C ₂ ^{1.0} C ₃ ^{1.0}	0.809 0.509 0.801	0.509 0.359 0.501	43.5 43.5 43.5	43.5 43.5 43.5	— — —	— — —	— — —	— — —	0.11 0.10 0.14	0.10 0.10 0.12	98 98 100																																																																																																																																																																																																																																																																																																																																																																																																																																																																																														
D	D ₁ ^{1.0} D ₂ ^{1.0} D ₃ ^{1.0}	1.067 0.694 1.131	0.691 0.390 0.740	54.0 52.5 51.5	52.6 51.5 51.5	— — —	— — —	— — —	— — —	0.05 0.12 —	0.04 0.08 —	100 100 —																																																																																																																																																																																																																																																																																																																																																																																																																																																																																														
E	E ₁ ^{1.0} E ₂ ^{1.0} E ₃ ^{1.0}	1.111 0.756 1.147	0.756 0.488 0.797	48.5 48.5 50.0	48.5 48.5 50.0	— — —	— — —	— — —	— — —	0.17 0.14 —	0.15 0.05 —	98 98 —																																																																																																																																																																																																																																																																																																																																																																																																																																																																																														
F	F ₁ ^{1.0} F ₂ ^{1.0} F ₃ ^{1.0}	1.120 0.761 1.124	0.761 0.491 0.764	48.5 48.5 48.5	48.5 48.5 48.5	— — —	— — —	— — —	— — —	0.11 0.11 0.11	0.10 0.10 0.10	98 98 98																																																																																																																																																																																																																																																																																																																																																																																																																																																																																														
G	G ₁ ^{1.0} G ₂ ^{1.0} G ₃ ^{1.0}	0.898 0.598 0.896	0.598 0.359 0.896	52.2 51.1 51.1	51.1 51.1 51.1	— — —	— — —	— — —	— — —	0.10 0.10 0.10	0.08 0.08 0.10	100 100 100																																																																																																																																																																																																																																																																																																																																																																																																																																																																																														
H	H ₁ ^{1.0} H ₂ ^{1.0} H ₃ ^{1.0}	1.260 0.808 1.113	0.808 0.421 0.826	53.0 53.0 53.0	53.0 53.0 53.0	— — —	— — —	— — —	— — —	0.30 0.30 —	0.20 0.20 —	100 100 —																																																																																																																																																																																																																																																																																																																																																																																																																																																																																														
I	I ₁ ^{1.0} I ₂ ^{1.0} I ₃ ^{1.0}	1.113 0.766 1.109	0.766 0.499 0.721	47.3 47.3 49.0	47.3 47.3 49.0	— — —	— — —	— — —	— — —	0.10 0.10 0.10	0.10 0.10 0.10	98 98 98																																																																																																																																																																																																																																																																																																																																																																																																																																																																																														
J	J ₁ ^{1.0} J ₂ ^{1.0} J ₃ ^{1.0}	1.159 0.798 1.159	0.798 0.499 0.798	45.0 45.0 45.0	45.0 45.0 45.0	— — —	— — —	— — —	— — —	0.10 0.10 0.10	0.10 0.10 0.10	98 98 98																																																																																																																																																																																																																																																																																																																																																																																																																																																																																														
試験名	最小間 ゲキ比 ϵ_{min}	最大間 ゲキ比 ϵ_{max}	$\epsilon_{max}/\epsilon_{min}$	ϵ_{max} - ϵ_{min}	ϵ_1	ϵ'_1	ϵ_2	ϵ'_2	ϵ_3	ϵ'_3	C_1	C_1'	相違度																																																																																																																																																																																																																																																																																																																																																																																																																																																																																													
A	A ₁ ^{1.0} A ₂ ^{1.0} A ₃ ^{1.0}	1.126 0.676 1.314	0.678 0.440 0.684	56.5 56.6 54.0	54.5 54.6 54.0	44.0 44.0 47.0	44.0 44.0 47.0	44.0 44.0 47.0	44.0 44.0 47.0	44.0 44.0 47.0	0.18 0.20 0.25	0.05 0.14 0.21	98 98 98																																																																																																																																																																																																																																																																																																																																																																																																																																																																																													
B	B ₁ ^{1.0} B ₂ ^{1.0} B ₃ ^{1.0}	1.108 0.706 1.210	0.705 0.431 0.714	55.6 55.6 55.8	55.6 55.6 55.8	46.0 46.0 48.0	46.0 46.0 48.0	46.0 46.0 48.0	46.0 46.0 48.0	46.0 46.0 48.0	0.20 0.18 —	0.12 0.12 —	98 98 —																																																																																																																																																																																																																																																																																																																																																																																																																																																																																													
C	C ₁ ^{1.0} C ₂ ^{1.0} C ₃ ^{1.0}	0.809 0.509 0.801	0.509 0.359 0.501	43.5 43.5 43.5	43.5 43.5 43.5	— — —	— — —	— — —	— — —	— — —	0.11 0.10 0.14	0.10 0.10 0.12	98 98 100																																																																																																																																																																																																																																																																																																																																																																																																																																																																																													
D	D ₁ ^{1.0} D ₂ ^{1.0} D ₃ ^{1.0}	1.067 0.694 1.131	0.691 0.390 0.740	54.0 52.5 51.5	52.6 51.5 51.5	— — —	— — —	— — —	— — —	— — —	0.05 0.12 —	0.04 0.08 —	100 100 —																																																																																																																																																																																																																																																																																																																																																																																																																																																																																													
E	E ₁ ^{1.0} E ₂ ^{1.0} E ₃ ^{1.0}	1.111 0.756 1.147	0.756 0.488 0.797	48.5 48.5 50.0	48.5 48.5 50.0	— — —	— — —	— — —	— — —	— — —	0.17 0.14 —	0.15 0.05 —	98 98 —																																																																																																																																																																																																																																																																																																																																																																																																																																																																																													
F	F ₁ ^{1.0} F ₂ ^{1.0} F ₃ ^{1.0}	1.120 0.761 1.124	0.761 0.491 0.764	48.5 48.5 48.5	48.5 48.5 48.5	— — —	— — —	— — —	— — —	— — —	0.11 0.11 0.11	0.10 0.10 0.10	98 98 98																																																																																																																																																																																																																																																																																																																																																																																																																																																																																													
G	G ₁ ^{1.0} G ₂ ^{1.0} G ₃ ^{1.0}	0.898 0.598 0.896	0.598 0.359 0.896	52.2 51.1 51.1	51.1 51.1 51.1	— — —	— — —	— — —	— — —	— — —	0.10 0.10 0.10	0.08 0.08 0.10	100 100 100																																																																																																																																																																																																																																																																																																																																																																																																																																																																																													
H	H ₁ ^{1.0} H ₂ ^{1.0} H ₃ ^{1.0}	1.260 0.808 1.113	0.808 0.421 0.826	53.0 53.0 53.0	53.0 53.0 53.0	— — —	— — —	— — —	— — —	— — —	0.30 0.30 —	0.20 0.20 —	100 100 —																																																																																																																																																																																																																																																																																																																																																																																																																																																																																													
I	I ₁ ^{1.0} I ₂ ^{1.0} I ₃ ^{1.0}	1.159 0.798 1.159	0.798 0.499 0.798	45.0 45.0 45.0	45.0 45.0 45.0	— — —	— — —	— — —	— — —	— — —	0.10 0.10 0.10	0.10 0.10 0.10	98 98 98																																																																																																																																																																																																																																																																																																																																																																																																																																																																																													
J	J ₁ ^{1.0} J ₂ ^{1.0} J ₃ ^{1.0}	1.159 0.798 1.159	0.798 0.499 0.798	45.0 45.0 45.0	45.0 45.0 45.0	— — —	— — —	— — —	— — —	— — —	0.10 0.10 0.10	0.10 0.10 0.10	98 98 98																																																																																																																																																																																																																																																																																																																																																																																																																																																																																													
試験名	最小間 ゲキ比 ϵ_{min}	最大間 ゲキ比 ϵ_{max}	$\epsilon_{max}/\epsilon_{min}$	ϵ_{max} - ϵ_{min}	ϵ_1	ϵ'_1	ϵ_2	ϵ'_2	ϵ_3	ϵ'_3	C_1	C_1'	相違度																																																																																																																																																																																																																																																																																																																																																																																																																																																																																													
A	A ₁ ^{1.0} A ₂ ^{1.0} A ₃ ^{1.0}	1.126 0.676 1.314	0.678 0.440 0.684	56.5 56.6 54.0	54.5 54.6 54.0	44.0 44.0 47.0	44.0 44.0 47.0	44.0 44.0 47.0	44.0 44.0 47.0	44.0 44.0 47.0	0.18 0.20 0.25	0.05 0.14 0.21	98 98 98																																																																																																																																																																																																																																																																																																																																																																																																																																																																																													
B	B ₁ ^{1.0} B ₂ ^{1.0} B ₃ ^{1.0}	1.108 0.706 1.210	0.705 0.431 0.714	55.6 55.6 55.8	55.6 55.6 55.8	46.0 46.0 48.0	46.0 46.0 48.0	46.0 46.0 48.0	46.0 46.0 48.0	46.0 46.0 48.0	0.20 0.18 —	0.12 0.12 —	98 98 —																																																																																																																																																																																																																																																																																																																																																																																																																																																																																													
C	C ₁ ^{1.0} C ₂ ^{1.0} C ₃ ^{1.0}	0.809 0.509 0.801	0.509 0.359 0.801	43.5 43.5 43.5	43.5 43.5 43.5	— — —	— — —	— — —	— — —	— — —	0.11 0.10 0.14	0.10 0.10 0.12	98 98 100																																																																																																																																																																																																																																																																																																																																																																																																																																																																																													
D	D ₁ ^{1.0} D ₂ ^{1.0} D ₃ ^{1.0}	1.067 0.694 1.131	0.691 0.390 0.740	54.0 52.5 51.5	52.6 51.5 51.5	— — —	— — —	— — —	— — —	— — —	0.05 0.12 —	0.04 0.08 —	100 100 —																																																																																																																																																																																																																																																																																																																																																																																																																																																																																													
E	E ₁ ^{1.0} E																																																																																																																																																																																																																																																																																																																																																																																																																																																																																																									

第6条 外部からの衝撃による損傷の防止（火山：別添資料1）

泊発電所3号炉 DB基準適合性 比較表

大飯発電所3／4号炉	女川原子力発電所2号炉	泊発電所3号炉	相違理由
<p>衝によるものと比べ大きなセン断抵抗が生じる¹³⁾。しかし、下部可動底盤セン断抵抗の普及性、操作の簡便性などの利点とともに、得られる強度の絶対値ではなく、相等的な相応の強度関係を求める目的には十分適用できるものと考え本試験機を採用した。今回の実験は砂粒子の基本的要素セメント抵抗への影響について問題にしただけで、含水比、相対密度および砂などの他の要素を、次に述べるように、各試験で同一になるよう工夫した。</p> <p>使用した試料は表-1に示した10種の合計17試料である。洗い乾燥の後、自然乾燥状態で放置した試料（含水比0.1～0.5%）をセン断箱内に注ぎ込み、上方を手で静かにおさえ、セメント粉の側面を打ちし、ならべて直線状に詰めた。詰め込み終了時の試料厚さとセン断強度との比が2.3～3.5となるように調整する。セン断前の試料の相対密度はほぼ90～100%であり、同一割れ密度を見たした。並進応力は0.1, 0.3, 0.6, 1.1, 1.4, 1.6, 2.1, 2.6kg/cm²に変化させることができ、毎分1～5%のセン断速度でセン断する。</p> <p>既往セン断試験結果……上のように、常に細かく砂試料のセン断試験において、その試料の強度における並進応力とせん断応力とも、それぞれ比例する。A1基準、B1基準、C1基準、D1基準の各砂試料について、σとτ_fの関係を図-2～図-4に示した。図-2～図-6によると、既往がほぼ直線上にあると見えるもの（C1基準、D1基準、E1基準）と、斜めへと傾いて直線ではないものの（A1基準、B1基準）とある。ここで、便換上、σの直線、$\tau_f = C_1 + \tan \phi_1 \sigma$と、$\tau_f = C_1' + \tan \phi_1' \sigma$とに従って表わせるものとした。直線で表わせる場合は、$C_1 = C_1'$、$\phi_1 = \phi_1'$のようだ。σとτ_fの関係の直線性は、粒子の並進と垂直に開いてると考えられているが¹⁴⁾、この報告ではこの直線には触れない。セン断抵抗τ_fと体積膨張に費されるエネルギーを考慮した補正式、$\tau_f = \tau_f - \frac{dH}{d\sigma}$（ただし、$dH$はセン断に伴う増分、$d\sigma$は試料高さの増分）から求めた$\tau_f$と$\sigma$との関係を図-2～図-6に示した。$\tau_f$と$\sigma$との関係曲線、$\tau_f' = C_1' + \tan \phi_1' \sigma$と、$\tau_f' = C_1' + \tan \phi_1' \sigma + dH/d\sigma$とで比較される。</p> <p>各試料で求めた$\phi_1$、$\phi_1'$、$C_1$、$C_1'$を表-3に示した。$C_1$、$C_1'$は、機械的強度が大きく影響し、構成粒子の基本的要素との相間にはさりせず、分後の議論では触れないことにする。</p> <p>5. 最大・最小間ゲキ比およびセン断抵抗角に与える砂粒子の基本的要素の影響</p> <p>5.1 細粒組成の影響</p> <p>砂のセン断抵抗は、砂の粒子間摩擦、ダイレイクション</p> <p style="text-align: right;">February, 1971</p> <p>No. 691 図-2 A1基準砂の$\sigma-\tau_f$と$\sigma-\tau'_f$関係図</p> <p>No. 692 図-3 B1基準砂の$\sigma-\tau_f$と$\sigma-\tau'_f$関係図</p> <p>No. 693 図-4 C1基準砂の$\sigma-\tau_f$と$\sigma-\tau'_f$関係図</p> <p>The Japanese Geotechnical Society</p> <p>No. 694 図-5 D1基準砂の$\sigma-\tau_f$と$\sigma-\tau'_f$関係図</p> <p>No. 695 図-6 E1基準砂の$\sigma-\tau_f$と$\sigma-\tau'_f$関係図</p> <p>February, 1971</p> <p>NII-Electronic Library Service</p>			

泊発電所 3号炉 DB基準適合性 比較表

赤字：設備、運用又は体制の相違（設計方針の相違）
青字：記載箇所又は記載内容の相違（記載方針の相違）
緑字：記載表現、設備名称の相違（実質的な相違なし）

第6条 外部からの衝撃による損傷の防止（火山：別添資料1）

大飯発電所3／4号炉	女川原子力発電所2号炉	泊発電所3号炉	相違理由
<p>N.s. 607</p> <p>図-7 σ_0/t_0 と修正円摩擦角 ϕ_0 の関係</p> <p>図-8 σ_0/t_0 と ϵ_0/t_0 の関係</p> <p>図-9 ϵ_0/t_0 と σ_0/t_0 の関係</p> <p>図-7, 8, 9 は、修正円摩擦角 ϕ_0 が約 1 kg/cm^2 以下でセン断抵抗角 ϕ_0 はほとんど修正円摩擦角 ϕ_0 と等しいと判断される。すなわち 図-7の左の y 軸の値を用いて 図-8の右の x 軸の値を算出すれば、図-9の右の y 軸の値を得られる。</p> <p>図-7, 8, 9 によると、粒径 $1.2 \sim 0.84 \text{ mm}$ および $0.84 \sim 0.42 \text{ mm}$ の砂の測定結果はほぼ同じ傾き曲線上にあるが、$0.42 \sim 0.25 \text{ mm}$ の砂はその傾き曲線よりわずか下方にずれている。このことは修正円摩擦角の頭でも述べたように、$0.42 \sim 0.25 \text{ mm}$ 砂の修正円摩擦角の測定にともなうあいまいさが原因なのだと粒径の違いが主因のから今後の問題である。次に粒径をそろめた粒子摩擦角 ϕ_m の測定による結果。</p> <p>シルト→粘土→砂→粗砂→石の順度で、すなわち粒径が大きくなるにつれて、ϕ_m は 31° から 22° へと小さくなっている。この実験事実を考慮すれば、粒径 $0.42 \sim 0.25 \text{ mm}$ の砂の測定は $1.19 \sim 0.84 \text{ mm}$, $0.84 \sim 0.42 \text{ mm}$ の測定からもとめた回帰線より上方にあることが予想されるが、今回得た結果はこの予想と矛盾している。</p> <p>さて粒径の両端部、粒子の種類などの諸要因で決定される、粒径の両端部摩擦角 ϕ_m はセン断抵抗に重要な役割を占めるが、ϕ_m の測定法および測定結果の報告は比較的まれである。自記装置試験における粒子表面のためらかな石英、長石、雲母の粒子摩擦角はそれぞれ $0.11 \sim 0.16$, $0.12 \sim 0.11$, $0.28 \sim 0.30$ である¹⁾。しかし、粒子表面のあらい粘物質の ϕ_m は、表面の滑らかでなければ ϕ_m は 31° と異なり²⁾、またチャート、クリンなどとの混合の ϕ_m は実験的に求められていない³⁾。それゆえ、砂の組成から砂の ϕ_m を正確に測定することはできない⁴⁾。各試料に対する化学組成、結晶構造、表面あらさが異なる、試料によって ϕ_m は相当変化すると考えられる。それゆえに、砂の ϕ_m の測定結果は歴史的影響が甚しそうなが、表-2の颗粒組成と表-3の ϕ_m との対応、および、図-7と図-8の (a) によても明らかなように、粒物混成の強度の影響が大きい。今回使用した試料に関する限り、下記可動範囲とし断によるとセン断抵抗が</p> <p>1) 田中・高橋・西村：「砂の粒度による摩擦角の変化」、土と基礎、19-2 (1968).</p>	<p>女川原子力発電所2号炉</p> <p>（重直応力範囲は、$0.1 \sim 2.5 \text{ kg/cm}^2$ に粒物組成の影響は小さいと判断できる。）</p> <p>5.2 修正円摩擦角 (ϕ_m)、種長比 (R) の影響</p> <p>図-7, 8, 9 などの相関関係を 図-7, 図-8 の (a), 図-9 の (a) に示す。</p> <p>図-7, 8, 9 と修正円摩擦角との関係</p> <p>図-7, 8 の (a) に示す、垂直応力範囲約 1 kg/cm^2 以下の修正円摩擦角 ϕ_m はほとんど修正円摩擦角 ϕ_0 と等しいと判断される。すなわち粒子表面のあらさからの相関関係を示すが、ϕ_m はほとんど無相關である。</p> <p>図-7, 8, 9 によると、粒径 $1.2 \sim 0.84 \text{ mm}$ および $0.84 \sim 0.42 \text{ mm}$ の砂の測定結果はほぼ同じ傾き曲線上にあるが、$0.42 \sim 0.25 \text{ mm}$ の砂はその傾き曲線よりわずか下方にずれている。このことは修正円摩擦角の頭でも述べたように、$0.42 \sim 0.25 \text{ mm}$ 砂の修正円摩擦角の測定にともなうあいまいさが原因なのだと粒径の違いが主因のから今後の問題である。水を飽和した石英の粒子摩擦角 ϕ_m の測定による¹⁾、シルト→粘土→砂→粗砂→石の順度で、すなわち粒径が大きくなるにつながって、ϕ_m は 31° から 22° へと小さくなっている。この実験事実を考慮すれば、粒径 $0.42 \sim 0.25 \text{ mm}$ の砂の測定は $1.19 \sim 0.84 \text{ mm}$, $0.84 \sim 0.42 \text{ mm}$ の測定からもとめた回帰線より上方にあることが予想されるが、今回得た結果はこの予想と矛盾している。</p> <p>下記可動範囲セン断抵抗から得た ϕ_m および ϕ_m' の関係は、かららずも直線的でないことはすでに指摘した。ϕ_m の測定関係を 3 直線、すなわち $\phi_m' = C_1 + \tan \phi_m'$ と $\phi_m' = C_2 + \tan \phi_m'$ とで表わすと、この 3 直線の交点は垂直応力が $0.6 \sim 1.7 \text{ kg/cm}^2$ の所にある。R と ϕ_m' との関係を 図-9 (a) に示す。図-9 (a) によると、ϕ_m' はほぼ無相関の関係でばらついている。このことは、粒子密度の低い A, B, C 組のような砂を除いて、粒径 1.7 kg/cm^2 以上の垂直応力でセン断する時、そのセン断抵抗は $C_1 + \tan \phi_m'$ の形で表される。K グループは ϕ_m' 関係において直線をせずむの、つまり $\phi_m' = \phi_m$ であり、L グループは ϕ_m' 関係が直線である。L グループに属する砂は、K グループに属する砂に比べて、粒子密度が低くよりに思われるが、まだ</p> <p>1) 田中・高橋・西村：「砂の粒度による摩擦角の変化」、土と基礎、19-2 (1968).</p> <p>2) 田中・高橋・西村：「砂の粒度による摩擦角の変化」、土と基礎、19-2 (1968).</p> <p>3) 田中・高橋・西村：「砂の粒度による摩擦角の変化」、土と基礎、19-2 (1968).</p> <p>4) 田中・高橋・西村：「砂の粒度による摩擦角の変化」、土と基礎、19-2 (1968).</p>	<p>泊発電所3号炉</p> <p>（重直応力範囲は、$0.1 \sim 2.5 \text{ kg/cm}^2$ に粒物組成の影響は小さいと判断できる。）</p> <p>5.2 修正円摩擦角 (ϕ_m)、種長比 (R) の影響</p> <p>図-7, 8 の (a) に示す。</p> <p>図-7, 8 の (a) と修正円摩擦角との関係</p> <p>図-7, 8 の (a) に示す、垂直応力範囲約 1 kg/cm^2 以下の修正円摩擦角 ϕ_m はほとんど修正円摩擦角 ϕ_0 と等しいと判断される。すなわち粒子表面のあらさからの相関関係を示すが、ϕ_m はほとんど無相関である。</p> <p>図-7, 8 の (a) によると、粒径 $1.2 \sim 0.84 \text{ mm}$ および $0.84 \sim 0.42 \text{ mm}$ の砂の測定結果はほぼ同じ傾き曲線上にあるが、$0.42 \sim 0.25 \text{ mm}$ の砂はその傾き曲線よりわずか下方にずれている。このことは修正円摩擦角の頭でも述べたように、$0.42 \sim 0.25 \text{ mm}$ 砂の修正円摩擦角の測定にともなうあいまいさが原因なのだと粒径の違いが主因のから今後の問題である。水を飽和した石英の粒子摩擦角 ϕ_m の測定による¹⁾、シルト→粘土→砂→粗砂→石の順度で、すなわち粒径が大きくなるにつながって、ϕ_m は 31° から 22° へと小さくなっている。この実験事実を考慮すれば、粒径 $0.42 \sim 0.25 \text{ mm}$ の砂の測定は $1.19 \sim 0.84 \text{ mm}$, $0.84 \sim 0.42 \text{ mm}$ の測定からもとめた回帰線より上方にあることが予想されるが、今回得た結果はこの予想と矛盾している。</p> <p>下記可動範囲セン断抵抗から得た ϕ_m および ϕ_m' の関係は、かららずも直線的でないことはすでに指摘した。ϕ_m' の測定関係を 3 直線、すなわち $\phi_m' = C_1 + \tan \phi_m'$ と $\phi_m' = C_2 + \tan \phi_m'$ とで表わすと、この 3 直線の交点は垂直応力が $0.6 \sim 1.7 \text{ kg/cm}^2$ の所にある。R と ϕ_m' との関係を 図-9 (a) に示す。図-9 (a) によると、ϕ_m' はほぼ無相関の関係でばらついている。このことは、粒子密度の低い A, B, C 組のような砂を除いて、粒径 1.7 kg/cm^2 以上の垂直応力でセン断する時、そのセン断抵抗は $C_1 + \tan \phi_m'$ の形で表される。K グループは ϕ_m' 関係において直線をせずむの、つまり $\phi_m' = \phi_m$ であり、L グループは ϕ_m' 関係が直線である。L グループに属する砂は、K グループに属する砂に比べて、粒子密度が低くよりに思われるが、まだ</p> <p>1) 田中・高橋・西村：「砂の粒度による摩擦角の変化」、土と基礎、19-2 (1968).</p> <p>2) 田中・高橋・西村：「砂の粒度による摩擦角の変化」、土と基礎、19-2 (1968).</p> <p>3) 田中・高橋・西村：「砂の粒度による摩擦角の変化」、土と基礎、19-2 (1968).</p> <p>4) 田中・高橋・西村：「砂の粒度による摩擦角の変化」、土と基礎、19-2 (1968).</p>	

第6条 外部からの衝撃による損傷の防止（火山：別添資料1）

泊発電所 3号炉 DB基準適合性 比較表

第6条 外部からの衝撃による損傷の防止（火山：別添資料1）

大飯発電所3／4号炉	女川原子力発電所2号炉	泊発電所3号炉	相違理由
<p>図-47 最大間引き比、最小間引き比と修正円満度との関係図</p> <p>図-48 最大間引き比、最小間引き比と修正円満度との関係図</p>	<p>参考文献</p> <ol style="list-style-type: none"> 1) 三井正人：土の工学的性質の分類法とその意義、土と基礎、第 12 号、第 4 号、1961、pp.17~20 2) 小田正志、風野秀宗：砂の幾何性に関する基礎的研究、土と基礎、第 18 号、1965、pp.15~21 3) 小田正志、伊藤一郎：粒度分布の幾何的測定法の研究、第 8 国土工学研究発表会論文集、1967、pp.45~48 4) H. Waddell : Volume, Shape and Roundness of Quartz Particles, Jour. Geol., Vol. 48, 1940. 5) W.C. Krumbein : Measurement and Geological Significance of Shape and Roundness of Sedimentary Particles, Jour. Sed. Petrol., II, No. 2 6) 香川 利：砂粒の形状と粒度の関係(1), 土木工学講義、No. 179, 1月号, pp. 5~11 7) H.M. Horn and D.V. Leers : Frictional Characteristics of Minerals, Geotechnique, Vol. 13, 1963, pp. 319~325 8) P.W. Rose : The Stress-Dilatancy Relations for Static Equilibrium of an Assembly of Particles in Contact, Proc. Roy. Soc. London, Series A, Vol. 233, 1959, pp. 209~237 9) K.L. Lee and I. Farhoush : Compressibility and Crushing of Granular Soil in Anisotropic Triaxial Compression, Canadian Geotechnical Jour., Vol. 4, 1967, No. 1 10) K.L. Lee and H.B. Seed : Drained Strength Characteristics of Sands, Jour. Soil Mech. Found. Div., No. SM 6, 1967, pp. 117~131 11) J.J. Kellaherowski : An Experimental Study of the Maximum and Minimum Porosities of Sands, Proc. 2nd Int. Conf. Soil Mech. Found. Eng., Vol. 1, 1948, pp. 138~205 12) 土のセメント強度法による强度の基礎的研究、土質工学会、1968 13) 最上武雄：粒度4.0の沙子、土質力学（復版）、第 5 版、1979, pp. 420~422 14) W.M. Kirkpatrick : Effects of Grain Size and Grading on the Shearing Behaviour of Granular Materials, Proc. 4th Int. Conf. Soil Mech. Found. Eng., Vol. 1, 1965, pp. 253~258 15) L.K. Lee : Stress-Dilatancy Performance of Feldspar, Jour. Soil Mech. Found. Div., No. SM 2, 1965 (原稿受付、1970.5.16) 	<p>The Japanese Geotechnical Society</p> <p>図-47 最大間引き比、最小間引き比と修正円満度との関係図</p> <p>図-48 最大間引き比、最小間引き比と修正円満度との関係図</p>	<p>参考文献</p> <ol style="list-style-type: none"> 1) 三井正人：土の工学的性質の分類法とその意義、土と基礎、第 12 号、第 4 号、1961、pp.17~20 2) 小田正志、風野秀宗：砂の幾何性に関する基礎的研究、土と基礎、第 18 号、1965、pp.15~21 3) 小田正志、伊藤一郎：粒度分布の幾何的測定法の研究、第 8 国土工学研究発表会論文集、1967、pp.45~48 4) H. Waddell : Volume, Shape and Roundness of Quartz Particles, Jour. Geol., Vol. 48, 1940. 5) W.C. Krumbein : Measurement and Geological Significance of Shape and Roundness of Sedimentary Particles, Jour. Sed. Petrol., II, No. 2 6) 香川 利：砂粒の形状と粒度の関係(1), 土木工学講義、No. 179, 1月号, pp. 5~11 7) H.M. Horn and D.V. Leers : Frictional Characteristics of Minerals, Geotechnique, Vol. 13, 1963, pp. 319~325 8) P.W. Rose : The Stress-Dilatancy Relations for Static Equilibrium of an Assembly of Particles in Contact, Proc. Roy. Soc. London, Series A, Vol. 233, 1959, pp. 209~237 9) K.L. Lee and I. Farhoush : Compressibility and Crushing of Granular Soil in Anisotropic Triaxial Compression, Canadian Geotechnical Jour., Vol. 4, 1967, No. 1 10) K.L. Lee and H.B. Seed : Drained Strength Characteristics of Sands, Jour. Soil Mech. Found. Div., No. SM 6, 1967, pp. 117~131 11) J.J. Kellaherowski : An Experimental Study of the Maximum and Minimum Porosities of Sands, Proc. 2nd Int. Conf. Soil Mech. Found. Eng., Vol. 1, 1948, pp. 138~205 12) 土のセメント強度法による强度の基礎的研究、土質工学会、1968 13) 最上武雄：粒度4.0の沙子、土質力学（復版）、第 5 版、1979, pp. 420~422 14) W.M. Kirkpatrick : Effects of Grain Size and Grading on the Shearing Behaviour of Granular Materials, Proc. 4th Int. Conf. Soil Mech. Found. Eng., Vol. 1, 1965, pp. 253~258 15) L.K. Lee : Stress-Dilatancy Performance of Feldspar, Jour. Soil Mech. Found. Div., No. SM 2, 1965 (原稿受付、1970.5.16)

自発電所 3 号炉 DB 基準適合性 比較表

第6条 外部からの衝撃による損傷の防止（火山：別添資料1）

赤字：設備、運用又は体制の相違（設計方針の相違）
 青字：記載箇所又は記載内容の相違（記載方針の相違）
 緑字：記載表現、設備名称の相違（実質的な相違なし）

第6条 外部からの衝撃による損傷の防止（火山：別添資料1）

泊発電所3号炉 DB基準適合性 比較表

大飯発電所3／4号炉	女川原子力発電所2号炉	泊発電所3号炉	相違理由																																																					
	<p>火山ガラスを有します。半裸成岩は一般には地下深部で固結した岩石で、火山ガラスを有しません。それに対し、裸成岩は地下深部でマグマがゆっくり冷却凝固してできた岩石で、礦物性が大きく成長します。雪崩状組織を示すのが一般的です。</p> <p>マグマがゆっくり冷えれば冷えるほど礦物は大きくなり成長します。地下深い場所では相性に悪いがあるためゆっくり冷えますが、地表では周期の大気中に熱が逃げていってしまうため急速に冷却します。これが、火山岩と裸成岩との間に礦物の構造面を生じている理由です。また巣状組織の場合、石墨はマグマが最終的に溶融場所に到達したとき液体状態であった部分で、それに対し、斑晶はすでに大きな結晶として成長していたことを示しています。つまり、斑晶は地下深い位置でできあがっていた結晶で、それが液体とともに上昇してきたものなのです。</p> <p>このような組織（主たる冷却場所による）をもとにした3分類に、組成に基づく4分類を組み合わせると表2-2のように玄武岩から花こう岩までの合計12種類の岩石名が生まれます。表の左側に書かれている耐震性岩石の火山岩は、カナダやオーストラリアなどに産する約18億年以上昔のコマチアイトという岩石で知られています。しかし現在ではそのような組成のマグマは形成されていないと考えられているため当面の分類からは省略します。ただし、マグマ自身に隕石に關係してくる上部マントルを構成している岩石も隕石岩石の一體であるため、非常に大切ではあります。デイサイトと命名されている火山岩は、以前、石英火山岩と呼ばれていました。しかしこの以前にはちょっと誤解を招きやす</p> <p>表2-2 火成岩をまとめた岩類組織物の代表例</p> <table border="1"> <thead> <tr> <th>地名</th> <th>岩石名</th> <th>主な組成</th> </tr> </thead> <tbody> <tr> <td>セリカ岩</td> <td>石英 カリオストロ石</td> <td>SiO_4 SiO_4</td> </tr> <tr> <td>長石岩</td> <td>閃長石 カリ長石</td> <td>$Ca_{0.5}Na_{0.5}Al_{2.5}Si_{2.5}O_{10}$ $Ca_{0.5}Na_{0.5}AlSi_{3}O_{8}$</td> </tr> <tr> <td>準長石岩</td> <td>キラフラン</td> <td>$NaAlSi_3O_8$</td> </tr> <tr> <td>漂砾岩</td> <td>漂砾母 白母母</td> <td>$K(OH)_2 \cdot Fe_2(OH)_3 \cdot Al_2Si_2O_5 \cdot K(OH)_2$ $KAl(CO_3)_{2n} \cdot (OH)_2$</td> </tr> <tr> <td>角閃石岩</td> <td>普通角閃石</td> <td>$NaMgSi_3O_8$ $Mg(Mg,Fe)^2Si_2O_6$</td> </tr> <tr> <td>輝石岩</td> <td>輝方輝石 单斜辉石</td> <td>$(Mg,Fe)^2Si_2O_6$ $Ca,Mg,Fe^2Si_2O_6$</td> </tr> <tr> <td>ざくろ石岩</td> <td>アルマンジン</td> <td>$Fe^2+AlSi_3O_8$</td> </tr> <tr> <td>かんらん石岩</td> <td>かんらん石</td> <td>$(Mg,Fe)^2Si_2O_6$</td> </tr> </tbody> </table> <p>ずい問題点があるため、現在ではデイサイトと呼ぶようになります。また、火成岩の中に由来する元素を鉱物の化学組成を表2-3に示します。実際に火成岩中に出てくる鉱物はこれよりかなり複雑も多く、細度も複雑になっています。</p> <p>マグマがどこで冷え固まるかによって、火山岩、半裸成岩をして裸成岩の3分類が生まれたわけですから、もとのマグマは同じものです。このため、今後の話では限りのないかぎりマグマの組成的分類は火山岩名を用いて行うことになります。すなわち玄武岩、安息岩質、デイサイト質そして隕石岩質マグマです。裏に示された分類は鉱物組成に基づくものですが、火山岩の場合、沿岸のスピードが早すぎるため液体が完全には結晶（結晶）になります。一部分が火山ガラスとして残ってしまいます。</p> <p>枠囲み部は本資料における抜粋又は参照箇所を示す</p>	地名	岩石名	主な組成	セリカ岩	石英 カリオストロ石	SiO_4 SiO_4	長石岩	閃長石 カリ長石	$Ca_{0.5}Na_{0.5}Al_{2.5}Si_{2.5}O_{10}$ $Ca_{0.5}Na_{0.5}AlSi_{3}O_{8}$	準長石岩	キラフラン	$NaAlSi_3O_8$	漂砾岩	漂砾母 白母母	$K(OH)_2 \cdot Fe_2(OH)_3 \cdot Al_2Si_2O_5 \cdot K(OH)_2$ $KAl(CO_3)_{2n} \cdot (OH)_2$	角閃石岩	普通角閃石	$NaMgSi_3O_8$ $Mg(Mg,Fe)^2Si_2O_6$	輝石岩	輝方輝石 单斜辉石	$(Mg,Fe)^2Si_2O_6$ $Ca,Mg,Fe^2Si_2O_6$	ざくろ石岩	アルマンジン	$Fe^2+AlSi_3O_8$	かんらん石岩	かんらん石	$(Mg,Fe)^2Si_2O_6$	<p>火山ガラスを有します。半裸成岩は一般には地下深部で固結した岩石で、火山ガラスを有しません。それに対し、裸成岩は地下深部でマグマがゆっくり冷却凝固してできた岩石で、礦物性が大きく成長します。雪崩状組織を示すのが一般的です。</p> <p>マグマがゆっくり冷えれば冷えるほど鉱物は大きくなり成長します。地下深い場所では相性に悪いがあるためゆっくり冷えますが、地表では周期の大気中に熱が逃げてしまつため急速に冷却します。これが、火山岩と裸成岩との間に鉱物の構造面を生じている理由です。また巣状組織の場合、石墨はマグマが最終的に溶融場所に到達したとき液体状態であった部分で、それに対し、斑晶はすでに大きな結晶として成長していましたことを示しています。つまり、斑晶は地下深い位置でできあがっていた結晶で、それが液体とともに上昇してきたものなのです。</p> <p>このような組織（主たる冷却場所による）をもとにした3分類に、組成に基づく4分類を組み合わせると表2-2のように玄武岩から花こう岩までの合計12種類の岩石名が生まれます。表の左側に書かれている耐震性岩石の火山岩は、カナダやオーストラリアなどに産する約18億年以上昔のコマチアイトという岩石で知られています。しかし現在ではそのような組成のマグマは形成されていません。と考えられているため当面の分類からは省略します。ただし、マグマ自身に隕石に關係してくる上部マントルを構成している岩石も隕石岩石の一體であるため、非常に大切ではあります。デイサイトと命名されている火山岩は、以前、石英火山岩と呼ばれていました。しかしこの以前にはちょっと誤解を招きやす</p> <p>表2-3 火成岩をまとめた岩類組織物の代表例</p> <table border="1"> <thead> <tr> <th>地名</th> <th>岩石名</th> <th>主な組成</th> </tr> </thead> <tbody> <tr> <td>セリカ岩</td> <td>石英 カリオストロ石</td> <td>SiO_4 SiO_4</td> </tr> <tr> <td>長石岩</td> <td>閃長石 カリ長石</td> <td>$Ca_{0.5}Na_{0.5}Al_{2.5}Si_{2.5}O_{10}$ $Ca_{0.5}Na_{0.5}AlSi_{3}O_{8}$</td> </tr> <tr> <td>準長石岩</td> <td>キラフラン</td> <td>$NaAlSi_3O_8$</td> </tr> <tr> <td>漂砾岩</td> <td>漂砾母 白母母</td> <td>$K(OH)_2 \cdot Fe_2(OH)_3 \cdot Al_2Si_2O_5 \cdot K(OH)_2$ $KAl(CO_3)_{2n} \cdot (OH)_2$</td> </tr> <tr> <td>角閃石岩</td> <td>普通角閃石</td> <td>$NaMgSi_3O_8$ $Mg(Mg,Fe)^2Si_2O_6$</td> </tr> <tr> <td>輝石岩</td> <td>輝方輝石 单斜辉石</td> <td>$(Mg,Fe)^2Si_2O_6$ $Ca,Mg,Fe^2Si_2O_6$</td> </tr> <tr> <td>ざくろ石岩</td> <td>アルマンジン</td> <td>$Fe^2+AlSi_3O_8$</td> </tr> <tr> <td>かんらん石岩</td> <td>かんらん石</td> <td>$(Mg,Fe)^2Si_2O_6$</td> </tr> </tbody> </table> <p>ずい問題点があるため、現在ではデイサイトと呼ぶようになります。また、火成岩の中に由来する元素を鉱物の化学組成を表2-3に示します。実際に火成岩中に出てくる鉱物はこれよりかなり複雑が多く、細度も複雑になっています。</p> <p>マグマがどこで冷え固まるかによって、火山岩、半裸成岩をして裸成岩の3分類が生まれたわけですから、もとのマグマは同じものです。このため、今後の話では限りのないかぎりマグマの組成的分類は火山岩名を用いて行うことになります。すなわち玄武岩、安息岩質、デイサイト質そして隕石岩質マグマです。裏に示された分類は鉱物組成に基づくものですが、火山岩の場合、沿岸のスピードが早すぎるため液体が完全には結晶（結晶）になります。一部分が火山ガラスとして残ってしまいます。</p> <p>枠囲み部は本資料における抜粋又は参照箇所を示す</p>	地名	岩石名	主な組成	セリカ岩	石英 カリオストロ石	SiO_4 SiO_4	長石岩	閃長石 カリ長石	$Ca_{0.5}Na_{0.5}Al_{2.5}Si_{2.5}O_{10}$ $Ca_{0.5}Na_{0.5}AlSi_{3}O_{8}$	準長石岩	キラフラン	$NaAlSi_3O_8$	漂砾岩	漂砾母 白母母	$K(OH)_2 \cdot Fe_2(OH)_3 \cdot Al_2Si_2O_5 \cdot K(OH)_2$ $KAl(CO_3)_{2n} \cdot (OH)_2$	角閃石岩	普通角閃石	$NaMgSi_3O_8$ $Mg(Mg,Fe)^2Si_2O_6$	輝石岩	輝方輝石 单斜辉石	$(Mg,Fe)^2Si_2O_6$ $Ca,Mg,Fe^2Si_2O_6$	ざくろ石岩	アルマンジン	$Fe^2+AlSi_3O_8$	かんらん石岩	かんらん石	$(Mg,Fe)^2Si_2O_6$
地名	岩石名	主な組成																																																						
セリカ岩	石英 カリオストロ石	SiO_4 SiO_4																																																						
長石岩	閃長石 カリ長石	$Ca_{0.5}Na_{0.5}Al_{2.5}Si_{2.5}O_{10}$ $Ca_{0.5}Na_{0.5}AlSi_{3}O_{8}$																																																						
準長石岩	キラフラン	$NaAlSi_3O_8$																																																						
漂砾岩	漂砾母 白母母	$K(OH)_2 \cdot Fe_2(OH)_3 \cdot Al_2Si_2O_5 \cdot K(OH)_2$ $KAl(CO_3)_{2n} \cdot (OH)_2$																																																						
角閃石岩	普通角閃石	$NaMgSi_3O_8$ $Mg(Mg,Fe)^2Si_2O_6$																																																						
輝石岩	輝方輝石 单斜辉石	$(Mg,Fe)^2Si_2O_6$ $Ca,Mg,Fe^2Si_2O_6$																																																						
ざくろ石岩	アルマンジン	$Fe^2+AlSi_3O_8$																																																						
かんらん石岩	かんらん石	$(Mg,Fe)^2Si_2O_6$																																																						
地名	岩石名	主な組成																																																						
セリカ岩	石英 カリオストロ石	SiO_4 SiO_4																																																						
長石岩	閃長石 カリ長石	$Ca_{0.5}Na_{0.5}Al_{2.5}Si_{2.5}O_{10}$ $Ca_{0.5}Na_{0.5}AlSi_{3}O_{8}$																																																						
準長石岩	キラフラン	$NaAlSi_3O_8$																																																						
漂砾岩	漂砾母 白母母	$K(OH)_2 \cdot Fe_2(OH)_3 \cdot Al_2Si_2O_5 \cdot K(OH)_2$ $KAl(CO_3)_{2n} \cdot (OH)_2$																																																						
角閃石岩	普通角閃石	$NaMgSi_3O_8$ $Mg(Mg,Fe)^2Si_2O_6$																																																						
輝石岩	輝方輝石 单斜辉石	$(Mg,Fe)^2Si_2O_6$ $Ca,Mg,Fe^2Si_2O_6$																																																						
ざくろ石岩	アルマンジン	$Fe^2+AlSi_3O_8$																																																						
かんらん石岩	かんらん石	$(Mg,Fe)^2Si_2O_6$																																																						

泊発電所 3号炉 DB基準適合性 比較表

赤字：設備、運用又は体制の相違（設計方針の相違）
 青字：記載箇所又は記載内容の相違（記載方針の相違）
 緑字：記載表現、設備名称の相違（実質的な相違なし）

第6条 外部からの衝撃による損傷の防止（火山：別添資料1）

大飯発電所3／4号炉	女川原子力発電所2号炉	泊発電所3号炉	相違理由																																																																											
	<p>そのため、岩石に基づく分類は適切とは限らず、正確には化学組成に基づいた分類が使用されています。化学組成に基づく精度で分類はいろいろあるのですが、最も精度を分類は二氧化硅の含有量に基づくものです。すなわち玄武岩ではSiO₂が45~52重量%、安山岩は53~68%、デイサイトは69~78%。そして斑紋岩ではSiO₂>70重量%となっています。ただし、岩石の化学組成は本来複数であります。これより多く分類するのもまた便宜的なものであるため、研究者によって多少異なることに注意してください。</p> <p>表2-4に、マグマの代表的な化学組成を示します。一般にマグマ（火成岩）の化学組成はSiO₂からK₂Oまでの12種類の酸化物で構成されています。</p> <p>表2-4 マグマ（火成岩）の代表的な化学組成^{参考文献} (0.01質量%)</p> <table border="1"> <thead> <tr> <th>組成物</th> <th>玄武岩</th> <th>安山岩</th> <th>デイサイト</th> <th>斑紋岩</th> </tr> </thead> <tbody> <tr> <td>SiO₂</td> <td>49.98</td> <td>47.11</td> <td>49.74</td> <td>79.99</td> </tr> <tr> <td>TiO₂</td> <td>0.72</td> <td>0.83</td> <td>0.45</td> <td>0.22</td> </tr> <tr> <td>Al₂O₃</td> <td>17.09</td> <td>16.94</td> <td>15.50</td> <td>10.02</td> </tr> <tr> <td>FeO</td> <td>3.85</td> <td>3.91</td> <td>3.02</td> <td>0.21</td> </tr> <tr> <td>MnO</td> <td>1.04</td> <td>1.09</td> <td>2.09</td> <td>0.27</td> </tr> <tr> <td>MnO</td> <td>0.18</td> <td>0.15</td> <td>0.05</td> <td>0.08</td> </tr> <tr> <td>MgO</td> <td>7.08</td> <td>3.87</td> <td>0.85</td> <td>6.08</td> </tr> <tr> <td>CaO</td> <td>10.07</td> <td>6.42</td> <td>3.63</td> <td>0.73</td> </tr> <tr> <td>Na₂O</td> <td>1.29</td> <td>2.99</td> <td>3.13</td> <td>4.15</td> </tr> <tr> <td>K₂O</td> <td>0.25</td> <td>1.37</td> <td>1.38</td> <td>2.39</td> </tr> <tr> <td>ZnO</td> <td>0.06</td> <td>0.15</td> <td>0.22</td> <td>0.02</td> </tr> <tr> <td>HfO²</td> <td>1.18</td> <td>0.11</td> <td>0.07</td> <td>0.81</td> </tr> <tr> <td>LaO²</td> <td>0.28</td> <td>0.11</td> <td>0.23</td> <td>0.39</td> </tr> <tr> <td>合計</td> <td>100.43</td> <td>100.04</td> <td>100.36</td> <td>100.32</td> </tr> </tbody> </table> <p>の組み合わせで表現します。もちろん他の種類の酸化物も入っているのですが、量的には少ないため、ここでは無視します。表2-2の火成岩の組み合わせと表2-3の岩石の化学組成を見ればわかるように、表2-4のように火成岩の組成を酸化物の形で示したかといって、岩石中ににおいて個々の酸化物が存在するのではなく、岩石中に混じることを意味しているわけではありません。また参考《マグマ》でも各々の酸化物がそのまま入り混じっていません。後に詳しく述べるようだ、マグマ中でこれら酸化物は結晶し、新たに組み合わせをつくり、複雑なイオンの化合物となっています。酸化物の形で示したのは、たんなる分析結果上の強調かろくと便利的なものです。さきに各酸化物のうちH₂Oは、110°C以下で試料から抜き出る“マイナスの水”と、それ以上で蒸発される“プラスの水”との区別に区分されています。マイナスの水は分析用とき試料管子間に付着していた水で、プラスの水が本当に岩石中に混じていた水。というふうに受け取られています。また水は揮発性成分ですから、量的にはマグマ過程のままざまを隠蔽で簡単に変化してしまいます。</p> <p>結論的にそれますが、マグマの化学組成がこのように多様である原因を探ることは古いから重要な研究テーマとされていました。いくつかの機構が考えられます。最も確実なものに熔融共晶化作用があります。これは主にジルナムマグマの中で、冷却にもとないそのマグマよりもSiO₂量の少ない岩石が生まれ、取り去られ、その後残りの液体部分にはSiO₂が含み多様性が生まれる。という考え方です。</p> <p>さて、表2-4でもう一つ注意しておきたいことがあります。それは4種、5種の酸化物（SiO₂、P₂O₅など）の総量が玄武岩から斑紋岩になるにしたがって増加するのにに対し、1種および2種の金属酸化物（MgO、Na₂Oなど）の総量、および1種に3種の金属酸化物の総量はともに減少することです。このことは後にマグマの物理や構造とその化学組成との関係を考えるうえにおいてとても大切になります。</p> <p>枠囲い部、下線部は本資料における抜粋又は参照箇所を示す</p>	組成物	玄武岩	安山岩	デイサイト	斑紋岩	SiO ₂	49.98	47.11	49.74	79.99	TiO ₂	0.72	0.83	0.45	0.22	Al ₂ O ₃	17.09	16.94	15.50	10.02	FeO	3.85	3.91	3.02	0.21	MnO	1.04	1.09	2.09	0.27	MnO	0.18	0.15	0.05	0.08	MgO	7.08	3.87	0.85	6.08	CaO	10.07	6.42	3.63	0.73	Na ₂ O	1.29	2.99	3.13	4.15	K ₂ O	0.25	1.37	1.38	2.39	ZnO	0.06	0.15	0.22	0.02	HfO ²	1.18	0.11	0.07	0.81	LaO ²	0.28	0.11	0.23	0.39	合計	100.43	100.04	100.36	100.32		
組成物	玄武岩	安山岩	デイサイト	斑紋岩																																																																										
SiO ₂	49.98	47.11	49.74	79.99																																																																										
TiO ₂	0.72	0.83	0.45	0.22																																																																										
Al ₂ O ₃	17.09	16.94	15.50	10.02																																																																										
FeO	3.85	3.91	3.02	0.21																																																																										
MnO	1.04	1.09	2.09	0.27																																																																										
MnO	0.18	0.15	0.05	0.08																																																																										
MgO	7.08	3.87	0.85	6.08																																																																										
CaO	10.07	6.42	3.63	0.73																																																																										
Na ₂ O	1.29	2.99	3.13	4.15																																																																										
K ₂ O	0.25	1.37	1.38	2.39																																																																										
ZnO	0.06	0.15	0.22	0.02																																																																										
HfO ²	1.18	0.11	0.07	0.81																																																																										
LaO ²	0.28	0.11	0.23	0.39																																																																										
合計	100.43	100.04	100.36	100.32																																																																										

泊発電所3号炉 DB基準適合性 比較表

赤字：設備、運用又は体制の相違（設計方針の相違）
 青字：記載箇所又は記載内容の相違（記載方針の相違）
 緑字：記載表現、設備名称の相違（実質的な相違なし）

第6条 外部からの衝撃による損傷の防止（火山：別添資料1）

大飯発電所3／4号炉	女川原子力発電所2号炉	泊発電所3号炉	相違理由																																																																																																																																																																																																																																																																																						
	<p>参考文献：町田洋・新井房夫, 新編 火山灰アトラス [日本列島とその周辺], 東京大学出版会, 2011, P144-153</p> <p>会津・福島・仙台 (1 / 2)</p> <table border="1"> <thead> <tr> <th>災害・データ名</th><th>日号</th><th>年代</th><th>被災地名</th><th>被災模式と属性</th><th>分布・半径</th><th>A V</th><th>注・(緑色・青色)</th></tr> </thead> <tbody> <tr> <td>千葉日出</td><td>Ts-a</td><td>AD520</td><td>tsu</td><td></td><td></td><td></td><td>赤字: 被災地名</td></tr> <tr> <td>神宮二ノ宮伊勢原</td><td>Tr-77</td><td>1800C</td><td>tsu</td><td></td><td></td><td></td><td>青字: 被災地名</td></tr> <tr> <td>房総沖⁽¹⁾</td><td>Nw-N</td><td>3</td><td>C⁽²⁾, A</td><td>tsu, tsu, tsu</td><td>E>50 km E13.5°-1</td><td>3 - 4.5</td><td>周辺域をカバーする十分な 数であることを考慮して 示す。</td></tr> <tr> <td>浅間山⁽³⁾</td><td>Ar-Yp</td><td></td><td></td><td>tsu</td><td></td><td></td><td>赤字: (1)アーリーピー 系火山噴火</td></tr> <tr> <td>磐梯山⁽⁴⁾</td><td>At-Tn</td><td>20~30</td><td></td><td>tsu, tsu, tsu</td><td></td><td></td><td>本文・第3.1.1参照</td></tr> <tr> <td>安達太良山⁽⁵⁾</td><td>As-NL</td><td></td><td></td><td>tsu</td><td>ESE>10 km</td><td>2.5 - 4</td><td>本文・(a)-(d)</td></tr> <tr> <td>裏王⁽⁶⁾</td><td>Zs-Kw</td><td>>20</td><td>C, ST</td><td>tsu</td><td>ESE>40 km E23.5°-3</td><td>3 - 4</td><td>赤字: (e)-(f)</td></tr> <tr> <td>筑波山⁽⁷⁾</td><td>At-NR</td><td></td><td></td><td>tsu</td><td>ESE>10 km</td><td>3 - 4</td><td>(A) (f) ホーリー⁽⁸⁾ (B) (f), (B) (f)⁽⁹⁾</td></tr> <tr> <td>御嶽山⁽¹⁰⁾</td><td>Tr-Ht</td><td>80~90</td><td>ST</td><td>tsu, tsu</td><td></td><td></td><td>赤字: (B) (f) B</td></tr> <tr> <td>丸山南面⁽¹¹⁾</td><td>Us-P</td><td>>30</td><td></td><td>tsu, tsu, tsu</td><td></td><td></td><td>本文・第3.2.1参照</td></tr> <tr> <td>御嶽山⁽¹²⁾</td><td>Nw-Kn</td><td>>20~30</td><td>ST, PT</td><td>tsu, tsu, tsu</td><td>ESE>40 km</td><td>3 - 4.5</td><td>[Suzuki⁽¹³⁾, Imai⁽¹⁴⁾]</td></tr> <tr> <td>御嶽山⁽¹⁵⁾</td><td>Ad-Hh</td><td></td><td></td><td>tsu</td><td>E>5 km</td><td>3 - 4</td><td>赤字: (e)-(f)</td></tr> <tr> <td>赤城山⁽¹⁶⁾</td><td>Ag-Ck</td><td></td><td></td><td>tsu</td><td></td><td></td><td>赤字: (g)</td></tr> <tr> <td>御嶽山⁽¹⁷⁾</td><td>Tr-Tu</td><td>10~30</td><td>ST</td><td>tsu, tsu</td><td></td><td></td><td>[Hori⁽¹⁸⁾, Imai⁽¹⁹⁾]</td></tr> <tr> <td>御嶽山⁽²⁰⁾</td><td>Os-Sg</td><td></td><td></td><td>tsu</td><td></td><td></td><td>赤字: (h)</td></tr> <tr> <td>日輪山⁽²¹⁾</td><td>Ad-4</td><td>>30~35</td><td></td><td>tsu</td><td></td><td></td><td>赤字: (i)</td></tr> </tbody> </table> <p>会津・福島・仙台 (2 / 2)</p> <table border="1"> <thead> <tr> <th>災害・データ名</th><th>日号</th><th>年代</th><th>被災地名</th><th>被災模式と属性</th><th>分布・半径</th><th>A V</th><th>注・(緑色・青色)</th></tr> </thead> <tbody> <tr> <td>安達太良山⁽¹⁾</td><td>Ad-NL</td><td></td><td>tsu, tsu</td><td></td><td>ESE>10 km</td><td>3 - 4</td><td>周辺域をカバーする十分な 数であることを考慮して 示す。</td></tr> <tr> <td>安達太良山⁽²⁾</td><td>Ad-NL</td><td>90~100</td><td>ST</td><td>tsu</td><td>E>5 km E13.5°-1</td><td>3 - 4</td><td>周辺域をカバーする十分な 数であることを考慮して 示す。</td></tr> <tr> <td>西化笠原⁽³⁾</td><td>Nm-Sk</td><td>30~130</td><td>PT⁽¹⁾</td><td>tsu, tsu</td><td>ESE>40 km</td><td></td><td>赤字: (j)</td></tr> <tr> <td>安達太良山⁽⁴⁾</td><td>Ad-Dk</td><td>100</td><td>ST</td><td>tsu</td><td>E>5 km E23.5°-1</td><td>3 - 4</td><td>周辺域をカバーする十分な 数であることを考慮して 示す。</td></tr> <tr> <td>御嶽山⁽⁵⁾</td><td>Nw-Tg</td><td>10</td><td>PT⁽²⁾</td><td>tsu, tsu</td><td>E</td><td></td><td>赤字: (k), (l), (m), (n), (o)</td></tr> </tbody> </table> <p>肘折・鳴子・鬼首</p> <table border="1"> <thead> <tr> <th>(a) - カラマキ</th><th>日号</th><th>年代</th><th>被災地名</th><th>被災模式と属性</th><th>分布・半径</th><th>A V</th><th>注・[緑色・青色名前]</th></tr> </thead> <tbody> <tr> <td>磐梯山⁽¹⁾</td><td>Tr-O</td><td>11~12</td><td>C⁽²⁾</td><td>tsu, pft</td><td>ESE>10 km E13.5°-1</td><td>3 - 5</td><td>周辺域で、平均15km 程度の半径で、被災地名と被災模式が複数 ある場合に示す。</td></tr> <tr> <td>鳴子御前山⁽³⁾</td><td>Nw-KU</td><td>10~30</td><td>C, ST</td><td>tsu - tsu, (pft)</td><td>E>4 km</td><td>3 - 4</td><td>(渋谷⁽⁴⁾)⁽⁵⁾</td></tr> <tr> <td>磐梯山⁽⁴⁾</td><td>At-T</td><td>30~90</td><td>C</td><td>tsu</td><td></td><td></td><td>本文・第3.1.1参照</td></tr> <tr> <td>鳴子御前山⁽⁵⁾</td><td>Os-Y</td><td>41~60</td><td>PT⁽⁶⁾</td><td>tsu, tsu, pft, (pft)</td><td>ESE>10 km E13.5°-1</td><td>3 - 4</td><td>(空木⁽⁷⁾)⁽⁸⁾毛倉村 御前山御前山⁽⁹⁾</td></tr> <tr> <td>阿蘇⁽¹⁰⁾</td><td>As-4</td><td>50~90</td><td></td><td>tsu</td><td></td><td></td><td>本文・第3.2.1参照</td></tr> <tr> <td>鳴子御前山⁽¹¹⁾</td><td>Nw-N</td><td>30</td><td>ST</td><td>tsu, tsu, tsu, tsu</td><td>ESE>10 km E13.5°-1</td><td>3 - 4</td><td>森吉山⁽¹²⁾御前山 御前山御前山⁽¹³⁾</td></tr> <tr> <td>山形山⁽¹⁴⁾</td><td>Ks</td><td>90~100</td><td>PT</td><td>tsu, tsu</td><td>ESE>10 km E13.5°-1</td><td>3 - 4</td><td>吉田⁽¹⁵⁾吉田⁽¹⁶⁾吉田⁽¹⁷⁾ 吉田⁽¹⁸⁾吉田⁽¹⁹⁾吉田⁽²⁰⁾</td></tr> <tr> <td>御嶽山⁽¹⁸⁾</td><td>Tr-PH1</td><td>80~100</td><td>PT</td><td>tsu, tsu</td><td>ESE>10 km E13.5°-1</td><td>3 - 4</td><td>本文・(a)-(d)</td></tr> <tr> <td>二瓶大丸</td><td>Sh</td><td>70</td><td></td><td>tsu</td><td></td><td></td><td>本文・(e)-(f)</td></tr> <tr> <td>湯瀬⁽²¹⁾</td><td>Tsuk</td><td>112~115</td><td></td><td>tsu</td><td></td><td></td><td>本文・(g)-(h)</td></tr> <tr> <td>鳴子一山⁽²²⁾</td><td>Nr-B</td><td>100~ 140<--> 110~130⁽²³⁾ PT</td><td>pft</td><td></td><td>E>4 km E13.5°-1</td><td>3 - 5</td><td>(中里⁽²⁴⁾)⁽²⁵⁾ 鳴子一山</td></tr> </tbody> </table> <p>枠囲み部は本資料における抜粋又は参照箇所を示す</p>	災害・データ名	日号	年代	被災地名	被災模式と属性	分布・半径	A V	注・(緑色・青色)	千葉日出	Ts-a	AD520	tsu				赤字: 被災地名	神宮二ノ宮伊勢原	Tr-77	1800C	tsu				青字: 被災地名	房総沖 ⁽¹⁾	Nw-N	3	C ⁽²⁾ , A	tsu, tsu, tsu	E>50 km E13.5°-1	3 - 4.5	周辺域をカバーする十分な 数であることを考慮して 示す。	浅間山 ⁽³⁾	Ar-Yp			tsu			赤字: (1)アーリーピー 系火山噴火	磐梯山 ⁽⁴⁾	At-Tn	20~30		tsu, tsu, tsu			本文・第3.1.1参照	安達太良山 ⁽⁵⁾	As-NL			tsu	ESE>10 km	2.5 - 4	本文・(a)-(d)	裏王 ⁽⁶⁾	Zs-Kw	>20	C, ST	tsu	ESE>40 km E23.5°-3	3 - 4	赤字: (e)-(f)	筑波山 ⁽⁷⁾	At-NR			tsu	ESE>10 km	3 - 4	(A) (f) ホーリー ⁽⁸⁾ (B) (f), (B) (f) ⁽⁹⁾	御嶽山 ⁽¹⁰⁾	Tr-Ht	80~90	ST	tsu, tsu			赤字: (B) (f) B	丸山南面 ⁽¹¹⁾	Us-P	>30		tsu, tsu, tsu			本文・第3.2.1参照	御嶽山 ⁽¹²⁾	Nw-Kn	>20~30	ST, PT	tsu, tsu, tsu	ESE>40 km	3 - 4.5	[Suzuki ⁽¹³⁾ , Imai ⁽¹⁴⁾]	御嶽山 ⁽¹⁵⁾	Ad-Hh			tsu	E>5 km	3 - 4	赤字: (e)-(f)	赤城山 ⁽¹⁶⁾	Ag-Ck			tsu			赤字: (g)	御嶽山 ⁽¹⁷⁾	Tr-Tu	10~30	ST	tsu, tsu			[Hori ⁽¹⁸⁾ , Imai ⁽¹⁹⁾]	御嶽山 ⁽²⁰⁾	Os-Sg			tsu			赤字: (h)	日輪山 ⁽²¹⁾	Ad-4	>30~35		tsu			赤字: (i)	災害・データ名	日号	年代	被災地名	被災模式と属性	分布・半径	A V	注・(緑色・青色)	安達太良山 ⁽¹⁾	Ad-NL		tsu, tsu		ESE>10 km	3 - 4	周辺域をカバーする十分な 数であることを考慮して 示す。	安達太良山 ⁽²⁾	Ad-NL	90~100	ST	tsu	E>5 km E13.5°-1	3 - 4	周辺域をカバーする十分な 数であることを考慮して 示す。	西化笠原 ⁽³⁾	Nm-Sk	30~130	PT ⁽¹⁾	tsu, tsu	ESE>40 km		赤字: (j)	安達太良山 ⁽⁴⁾	Ad-Dk	100	ST	tsu	E>5 km E23.5°-1	3 - 4	周辺域をカバーする十分な 数であることを考慮して 示す。	御嶽山 ⁽⁵⁾	Nw-Tg	10	PT ⁽²⁾	tsu, tsu	E		赤字: (k), (l), (m), (n), (o)	(a) - カラマキ	日号	年代	被災地名	被災模式と属性	分布・半径	A V	注・[緑色・青色名前]	磐梯山 ⁽¹⁾	Tr-O	11~12	C ⁽²⁾	tsu, pft	ESE>10 km E13.5°-1	3 - 5	周辺域で、平均15km 程度の半径で、被災地名と被災模式が複数 ある場合に示す。	鳴子御前山 ⁽³⁾	Nw-KU	10~30	C, ST	tsu - tsu, (pft)	E>4 km	3 - 4	(渋谷 ⁽⁴⁾) ⁽⁵⁾	磐梯山 ⁽⁴⁾	At-T	30~90	C	tsu			本文・第3.1.1参照	鳴子御前山 ⁽⁵⁾	Os-Y	41~60	PT ⁽⁶⁾	tsu, tsu, pft, (pft)	ESE>10 km E13.5°-1	3 - 4	(空木 ⁽⁷⁾) ⁽⁸⁾ 毛倉村 御前山御前山 ⁽⁹⁾	阿蘇 ⁽¹⁰⁾	As-4	50~90		tsu			本文・第3.2.1参照	鳴子御前山 ⁽¹¹⁾	Nw-N	30	ST	tsu, tsu, tsu, tsu	ESE>10 km E13.5°-1	3 - 4	森吉山 ⁽¹²⁾ 御前山 御前山御前山 ⁽¹³⁾	山形山 ⁽¹⁴⁾	Ks	90~100	PT	tsu, tsu	ESE>10 km E13.5°-1	3 - 4	吉田 ⁽¹⁵⁾ 吉田 ⁽¹⁶⁾ 吉田 ⁽¹⁷⁾ 吉田 ⁽¹⁸⁾ 吉田 ⁽¹⁹⁾ 吉田 ⁽²⁰⁾	御嶽山 ⁽¹⁸⁾	Tr-PH1	80~100	PT	tsu, tsu	ESE>10 km E13.5°-1	3 - 4	本文・(a)-(d)	二瓶大丸	Sh	70		tsu			本文・(e)-(f)	湯瀬 ⁽²¹⁾	Tsuk	112~115		tsu			本文・(g)-(h)	鳴子一山 ⁽²²⁾	Nr-B	100~ 140<--> 110~130 ⁽²³⁾ PT	pft		E>4 km E13.5°-1	3 - 5	(中里 ⁽²⁴⁾) ⁽²⁵⁾ 鳴子一山
災害・データ名	日号	年代	被災地名	被災模式と属性	分布・半径	A V	注・(緑色・青色)																																																																																																																																																																																																																																																																																		
千葉日出	Ts-a	AD520	tsu				赤字: 被災地名																																																																																																																																																																																																																																																																																		
神宮二ノ宮伊勢原	Tr-77	1800C	tsu				青字: 被災地名																																																																																																																																																																																																																																																																																		
房総沖 ⁽¹⁾	Nw-N	3	C ⁽²⁾ , A	tsu, tsu, tsu	E>50 km E13.5°-1	3 - 4.5	周辺域をカバーする十分な 数であることを考慮して 示す。																																																																																																																																																																																																																																																																																		
浅間山 ⁽³⁾	Ar-Yp			tsu			赤字: (1)アーリーピー 系火山噴火																																																																																																																																																																																																																																																																																		
磐梯山 ⁽⁴⁾	At-Tn	20~30		tsu, tsu, tsu			本文・第3.1.1参照																																																																																																																																																																																																																																																																																		
安達太良山 ⁽⁵⁾	As-NL			tsu	ESE>10 km	2.5 - 4	本文・(a)-(d)																																																																																																																																																																																																																																																																																		
裏王 ⁽⁶⁾	Zs-Kw	>20	C, ST	tsu	ESE>40 km E23.5°-3	3 - 4	赤字: (e)-(f)																																																																																																																																																																																																																																																																																		
筑波山 ⁽⁷⁾	At-NR			tsu	ESE>10 km	3 - 4	(A) (f) ホーリー ⁽⁸⁾ (B) (f), (B) (f) ⁽⁹⁾																																																																																																																																																																																																																																																																																		
御嶽山 ⁽¹⁰⁾	Tr-Ht	80~90	ST	tsu, tsu			赤字: (B) (f) B																																																																																																																																																																																																																																																																																		
丸山南面 ⁽¹¹⁾	Us-P	>30		tsu, tsu, tsu			本文・第3.2.1参照																																																																																																																																																																																																																																																																																		
御嶽山 ⁽¹²⁾	Nw-Kn	>20~30	ST, PT	tsu, tsu, tsu	ESE>40 km	3 - 4.5	[Suzuki ⁽¹³⁾ , Imai ⁽¹⁴⁾]																																																																																																																																																																																																																																																																																		
御嶽山 ⁽¹⁵⁾	Ad-Hh			tsu	E>5 km	3 - 4	赤字: (e)-(f)																																																																																																																																																																																																																																																																																		
赤城山 ⁽¹⁶⁾	Ag-Ck			tsu			赤字: (g)																																																																																																																																																																																																																																																																																		
御嶽山 ⁽¹⁷⁾	Tr-Tu	10~30	ST	tsu, tsu			[Hori ⁽¹⁸⁾ , Imai ⁽¹⁹⁾]																																																																																																																																																																																																																																																																																		
御嶽山 ⁽²⁰⁾	Os-Sg			tsu			赤字: (h)																																																																																																																																																																																																																																																																																		
日輪山 ⁽²¹⁾	Ad-4	>30~35		tsu			赤字: (i)																																																																																																																																																																																																																																																																																		
災害・データ名	日号	年代	被災地名	被災模式と属性	分布・半径	A V	注・(緑色・青色)																																																																																																																																																																																																																																																																																		
安達太良山 ⁽¹⁾	Ad-NL		tsu, tsu		ESE>10 km	3 - 4	周辺域をカバーする十分な 数であることを考慮して 示す。																																																																																																																																																																																																																																																																																		
安達太良山 ⁽²⁾	Ad-NL	90~100	ST	tsu	E>5 km E13.5°-1	3 - 4	周辺域をカバーする十分な 数であることを考慮して 示す。																																																																																																																																																																																																																																																																																		
西化笠原 ⁽³⁾	Nm-Sk	30~130	PT ⁽¹⁾	tsu, tsu	ESE>40 km		赤字: (j)																																																																																																																																																																																																																																																																																		
安達太良山 ⁽⁴⁾	Ad-Dk	100	ST	tsu	E>5 km E23.5°-1	3 - 4	周辺域をカバーする十分な 数であることを考慮して 示す。																																																																																																																																																																																																																																																																																		
御嶽山 ⁽⁵⁾	Nw-Tg	10	PT ⁽²⁾	tsu, tsu	E		赤字: (k), (l), (m), (n), (o)																																																																																																																																																																																																																																																																																		
(a) - カラマキ	日号	年代	被災地名	被災模式と属性	分布・半径	A V	注・[緑色・青色名前]																																																																																																																																																																																																																																																																																		
磐梯山 ⁽¹⁾	Tr-O	11~12	C ⁽²⁾	tsu, pft	ESE>10 km E13.5°-1	3 - 5	周辺域で、平均15km 程度の半径で、被災地名と被災模式が複数 ある場合に示す。																																																																																																																																																																																																																																																																																		
鳴子御前山 ⁽³⁾	Nw-KU	10~30	C, ST	tsu - tsu, (pft)	E>4 km	3 - 4	(渋谷 ⁽⁴⁾) ⁽⁵⁾																																																																																																																																																																																																																																																																																		
磐梯山 ⁽⁴⁾	At-T	30~90	C	tsu			本文・第3.1.1参照																																																																																																																																																																																																																																																																																		
鳴子御前山 ⁽⁵⁾	Os-Y	41~60	PT ⁽⁶⁾	tsu, tsu, pft, (pft)	ESE>10 km E13.5°-1	3 - 4	(空木 ⁽⁷⁾) ⁽⁸⁾ 毛倉村 御前山御前山 ⁽⁹⁾																																																																																																																																																																																																																																																																																		
阿蘇 ⁽¹⁰⁾	As-4	50~90		tsu			本文・第3.2.1参照																																																																																																																																																																																																																																																																																		
鳴子御前山 ⁽¹¹⁾	Nw-N	30	ST	tsu, tsu, tsu, tsu	ESE>10 km E13.5°-1	3 - 4	森吉山 ⁽¹²⁾ 御前山 御前山御前山 ⁽¹³⁾																																																																																																																																																																																																																																																																																		
山形山 ⁽¹⁴⁾	Ks	90~100	PT	tsu, tsu	ESE>10 km E13.5°-1	3 - 4	吉田 ⁽¹⁵⁾ 吉田 ⁽¹⁶⁾ 吉田 ⁽¹⁷⁾ 吉田 ⁽¹⁸⁾ 吉田 ⁽¹⁹⁾ 吉田 ⁽²⁰⁾																																																																																																																																																																																																																																																																																		
御嶽山 ⁽¹⁸⁾	Tr-PH1	80~100	PT	tsu, tsu	ESE>10 km E13.5°-1	3 - 4	本文・(a)-(d)																																																																																																																																																																																																																																																																																		
二瓶大丸	Sh	70		tsu			本文・(e)-(f)																																																																																																																																																																																																																																																																																		
湯瀬 ⁽²¹⁾	Tsuk	112~115		tsu			本文・(g)-(h)																																																																																																																																																																																																																																																																																		
鳴子一山 ⁽²²⁾	Nr-B	100~ 140<--> 110~130 ⁽²³⁾ PT	pft		E>4 km E13.5°-1	3 - 5	(中里 ⁽²⁴⁾) ⁽²⁵⁾ 鳴子一山																																																																																																																																																																																																																																																																																		

自発電所 3 号炉 DB 基準適合性 比較表

赤字：設備、運用又は体制の相違（設計方針の相違）
青字：記載箇所又は記載内容の相違（記載方針の相違）
緑字：記載表現、設備名称の相違（実質的な相違なし）

第6条 外部からの衝撃による損傷の防止（火山：別添資料1）

赤字：設備、運用又は体制の相違（設計方針の相違）
 青字：記載箇所又は記載内容の相違（記載方針の相違）
 緑字：記載表現、設備名称の相違（実質的な相違なし）

第6条 外部からの衝撃による損傷の防止（火山：別添資料1）

泊発電所3号炉 DB基準適合性 比較表

大飯発電所3／4号炉	女川原子力発電所2号炉	泊発電所3号炉	相違理由																																																																																																																																																																																																																																																																																																																	
	<table border="1"> <caption>青森 (1/2)</caption> <thead> <tr> <th>大山・アフターホルダ</th> <th>記 号</th> <th>半径</th> <th>倒伏方法</th> <th>初期模式と属性</th> <th>立着・倒伏</th> <th>A V</th> <th>追+（決定・検討各段階）</th> <th>E S</th> <th>主な 記 事</th> </tr> </thead> <tbody> <tr> <td>古瀬田砂留¹⁾</td> <td>To-7m</td> <td>H-0.8</td> <td>C,A</td> <td>ptb</td> <td>R>180 km</td> <td>3- 4</td> <td>赤字：表記不一致。</td> <td>To-7m</td> <td>なし。d, (ep)</td> </tr> <tr> <td>十和田山²⁾</td> <td>To-a</td> <td>A-0.05</td> <td>H-C,A</td> <td>ptb, ctb, pbt</td> <td>R>60 km</td> <td>3- 4</td> <td>赤字：表記不一致。 緑字：記載箇所</td> <td>To-a</td> <td>なし。cpx, cpx, cpx</td> </tr> <tr> <td>十和田山³⁾</td> <td>To-b</td> <td>ca.3</td> <td>C*</td> <td>ptb</td> <td>R>60 km</td> <td>3- 4</td> <td>青字：記載内容の相違（記載方針の相違）</td> <td>To-b</td> <td>なし。cpx, cpx</td> </tr> <tr> <td>十和田山⁴⁾</td> <td>To-Cn</td> <td>5</td> <td>C**</td> <td>ptb</td> <td>R>200 km</td> <td>3- 4</td> <td>青字：記載内容の相違（記載方針の相違）</td> <td>To-Cn</td> <td>なし。cpx, cpx</td> </tr> <tr> <td>十和田山⁵⁾</td> <td>To-Nb</td> <td>3.1</td> <td>C*</td> <td>ptb</td> <td>R>200 km</td> <td>3- 4</td> <td>青字：記載内容の相違（記載方針の相違）</td> <td>To-Nb</td> <td>なし。cpx, cpx</td> </tr> <tr> <td>十和田山の森(高)⁶⁾</td> <td>To-Nk</td> <td>H-B</td> <td>C*</td> <td>複数のptb, ctb</td> <td>R>60 km</td> <td>3- 4</td> <td>[N/A]⁷⁾</td> <td>To-Nk</td> <td>なし。cpx, cpx</td> </tr> <tr> <td>十和田山の森(低)⁸⁾</td> <td>To-H</td> <td>ca.3</td> <td>C*</td> <td>ptb, ctb</td> <td>ol:ca.300 km R>60 km</td> <td>3- 4</td> <td>赤字：表記不一致。</td> <td>To-H</td> <td>なし。cpx, cpx, bco, nco</td> </tr> <tr> <td>十和田山の森(低)⁹⁾</td> <td>To-H</td> <td>ca.3</td> <td>C*</td> <td>ptb, ctb</td> <td>R>60 km</td> <td>3- 4</td> <td>青字：記載内容の相違（記載方針の相違）</td> <td>To-H</td> <td>なし。cpx, cpx, bco, nco</td> </tr> <tr> <td>十和田山アリヤト¹⁰⁾</td> <td>To-PPt</td> <td>ca.10</td> <td>ST</td> <td>ptb</td> <td>R>60 km</td> <td>3- 4</td> <td>イシガリユウゲン岩盤。</td> <td>To-PPt</td> <td>なし。cpx</td> </tr> <tr> <td>尾波 T3</td> <td>AT</td> <td>20~30</td> <td></td> <td></td> <td></td> <td></td> <td>赤字：表記不一致。</td> <td>AT</td> <td></td> </tr> <tr> <td>十和田大正断¹¹⁾</td> <td>To-Cf</td> <td>ca.20</td> <td>ST</td> <td>ptb, ctb</td> <td>ol:ca.30 km R>20 km</td> <td>3- 4</td> <td>赤字：表記不一致。</td> <td>To-Cf</td> <td>なし。cpx</td> </tr> <tr> <td>To-AB</td> <td>ca.20</td> <td>ST</td> <td>ptb</td> <td>R>60 km</td> <td>3- 4</td> <td>[N/A]¹²⁾ イシガリユウゲン岩盤。</td> <td>To-AB</td> <td>なし。cpx, cpx</td> </tr> <tr> <td colspan="10">青森 (2/2)</td></tr> <tr> <td>大山・アフターホルダ</td> <td>記 号</td> <td>半径</td> <td>倒伏方法</td> <td>初期模式と属性</td> <td>立着・倒伏</td> <td>A V</td> <td>追+（決定・検討各段階）</td> <td>E S</td> <td>主な 記 事</td> </tr> <tr> <td>十和田山¹³⁾</td> <td>To-G</td> <td>MIS G¹⁴⁾</td> <td>ol:ctb, ctb</td> <td>R>60 km R>3-4</td> <td>3- 4</td> <td>イシガリユウゲン岩盤。</td> <td>To-G</td> <td>なし。cpx</td> </tr> <tr> <td>十和田サレグン¹⁵⁾</td> <td>To-GS</td> <td>ST</td> <td>ptb</td> <td>無人調査箇所。</td> <td>3- 4</td> <td>青字：記載内容の相違（記載方針の相違）</td> <td>To-GS</td> <td>なし。cpx, cpx</td> </tr> <tr> <td>十和田東海岸¹⁶⁾</td> <td>To-Ga</td> <td>周一本火</td> <td>ptb</td> <td>無人調査箇所。</td> <td>3- 4</td> <td>青字：記載内容の相違（記載方針の相違）</td> <td>To-Ga</td> <td>なし。cpx, cpx</td> </tr> <tr> <td>十和田山¹⁷⁾</td> <td>To-Hd</td> <td>MIS G¹⁸⁾ ST</td> <td>ptb</td> <td>R>60 km R>3-4</td> <td>3- 4</td> <td>無人調査箇所。MIS G¹⁸⁾。</td> <td>To-Hd</td> <td>なし。cpx, cpx</td> </tr> <tr> <td>十和田山¹⁹⁾</td> <td>To-CP</td> <td>MIS G²⁰⁾ ST</td> <td>ptb, ctb</td> <td>R>60 km R>3-4</td> <td>3- 4</td> <td>青字：記載内容の相違（記載方針の相違）</td> <td>To-CP</td> <td>なし。cpx</td> </tr> <tr> <td>十和田山²¹⁾</td> <td>To-Og</td> <td>H-L</td> <td>ptb</td> <td>R>20 km R>3-4</td> <td>3- 4</td> <td>KP²²⁾ 未記載。KP²³⁾ 未記載。</td> <td>To-Og</td> <td>なし。cpx</td> </tr> <tr> <td>十和田山²⁴⁾</td> <td>To-GF</td> <td>H-L</td> <td>ptb</td> <td>R>60 km R>3-4</td> <td>3- 4</td> <td>青字：記載内容の相違（記載方針の相違）</td> <td>To-GF</td> <td>なし。cpx, cpx</td> </tr> <tr> <td>高瀬</td> <td>To</td> <td>ptb</td> <td></td> <td>3- 4</td> <td>赤字：1. や十和田サレグン 青字：記載内容の相違（記載方針の相違）</td> <td>To</td> <td>なし。cpx, cpx, bco, nco</td> </tr> <tr> <td>十和田山²⁵⁾</td> <td>To-TD</td> <td>ptb</td> <td>R>60 km</td> <td>3- 4</td> <td></td> <td>To-TD</td> <td>なし。cpx, cpx</td> </tr> <tr> <td>下北²⁶⁾</td> <td>Asa-4</td> <td>31~38</td> <td>ptb</td> <td>赤字：表記不一致。</td> <td>Asa-4</td> <td>なし。cpx</td> </tr> <tr> <td>十和田オオヌカ²⁷⁾</td> <td>To-AP</td> <td>MIS G²⁸⁾ ST</td> <td>ptb</td> <td>R>60 km R>3-4</td> <td>3- 4</td> <td>無人調査箇所。MIS G²⁸⁾。</td> <td>To-AP</td> <td>なし。cpx</td> </tr> <tr> <td>十和田エビセ²⁹⁾</td> <td>To-CP</td> <td>ptb</td> <td>R>60 km R>3-4</td> <td>3- 4</td> <td></td> <td>To-CP</td> <td>なし。cpx</td> </tr> <tr> <td>津軽³⁰⁾</td> <td>To-p</td> <td>ca.10~25</td> <td>ptb</td> <td>R>60 km R>3-4</td> <td>3- 4</td> <td>青字：4. 墓園付近(2)付近。 赤字：3. 墓園付近(2)付近。</td> <td>To-p</td> <td>なし。cpx</td> </tr> <tr> <td>サッサ³¹⁾</td> <td>To-p</td> <td>ptb</td> <td>R>60 km R>3-4</td> <td>3- 4</td> <td>赤字：1. 墓園付近。</td> <td>To-p</td> <td>なし。cpx, cpx</td> </tr> <tr> <td>サッサ³²⁾</td> <td>To-p</td> <td>ptb</td> <td>R>60 km R>3-4</td> <td>3- 4</td> <td>青字：3. 墓園付近(2)付近。 赤字：2. 墓園付近(2)付近。</td> <td>To-p</td> <td>なし。cpx, cpx, cpx</td> </tr> <tr> <td colspan="10">枠囲み部は本資料における抜粋又は参照箇所を示す</td></tr> <tr> <td colspan="10"> 鉱物組成の凡例³³⁾ <ul style="list-style-type: none"> • opx : 斜方輝石 • qt : 石英 • cpx : 单斜輝石 • ho : 角閃石 • cum : カミントン閃石 • ep : 緑簾石 • ol : カンラン石 • bi : 黒雲母 • ob : 黑曜石 • af : アルカリ長石 </td></tr> <tr> <td colspan="10">※ : 青枠囲みは追記</td></tr> </tbody> </table>	大山・アフターホルダ	記 号	半径	倒伏方法	初期模式と属性	立着・倒伏	A V	追+（決定・検討各段階）	E S	主な 記 事	古瀬田砂留 ¹⁾	To-7m	H-0.8	C,A	ptb	R>180 km	3- 4	赤字：表記不一致。	To-7m	なし。d, (ep)	十和田山 ²⁾	To-a	A-0.05	H-C,A	ptb, ctb, pbt	R>60 km	3- 4	赤字：表記不一致。 緑字：記載箇所	To-a	なし。cpx, cpx, cpx	十和田山 ³⁾	To-b	ca.3	C*	ptb	R>60 km	3- 4	青字：記載内容の相違（記載方針の相違）	To-b	なし。cpx, cpx	十和田山 ⁴⁾	To-Cn	5	C**	ptb	R>200 km	3- 4	青字：記載内容の相違（記載方針の相違）	To-Cn	なし。cpx, cpx	十和田山 ⁵⁾	To-Nb	3.1	C*	ptb	R>200 km	3- 4	青字：記載内容の相違（記載方針の相違）	To-Nb	なし。cpx, cpx	十和田山の森(高) ⁶⁾	To-Nk	H-B	C*	複数のptb, ctb	R>60 km	3- 4	[N/A] ⁷⁾	To-Nk	なし。cpx, cpx	十和田山の森(低) ⁸⁾	To-H	ca.3	C*	ptb, ctb	ol:ca.300 km R>60 km	3- 4	赤字：表記不一致。	To-H	なし。cpx, cpx, bco, nco	十和田山の森(低) ⁹⁾	To-H	ca.3	C*	ptb, ctb	R>60 km	3- 4	青字：記載内容の相違（記載方針の相違）	To-H	なし。cpx, cpx, bco, nco	十和田山アリヤト ¹⁰⁾	To-PPt	ca.10	ST	ptb	R>60 km	3- 4	イシガリユウゲン岩盤。	To-PPt	なし。cpx	尾波 T3	AT	20~30					赤字：表記不一致。	AT		十和田大正断 ¹¹⁾	To-Cf	ca.20	ST	ptb, ctb	ol:ca.30 km R>20 km	3- 4	赤字：表記不一致。	To-Cf	なし。cpx	To-AB	ca.20	ST	ptb	R>60 km	3- 4	[N/A] ¹²⁾ イシガリユウゲン岩盤。	To-AB	なし。cpx, cpx	青森 (2/2)										大山・アフターホルダ	記 号	半径	倒伏方法	初期模式と属性	立着・倒伏	A V	追+（決定・検討各段階）	E S	主な 記 事	十和田山 ¹³⁾	To-G	MIS G ¹⁴⁾	ol:ctb, ctb	R>60 km R>3-4	3- 4	イシガリユウゲン岩盤。	To-G	なし。cpx	十和田サレグン ¹⁵⁾	To-GS	ST	ptb	無人調査箇所。	3- 4	青字：記載内容の相違（記載方針の相違）	To-GS	なし。cpx, cpx	十和田東海岸 ¹⁶⁾	To-Ga	周一本火	ptb	無人調査箇所。	3- 4	青字：記載内容の相違（記載方針の相違）	To-Ga	なし。cpx, cpx	十和田山 ¹⁷⁾	To-Hd	MIS G ¹⁸⁾ ST	ptb	R>60 km R>3-4	3- 4	無人調査箇所。MIS G ¹⁸⁾ 。	To-Hd	なし。cpx, cpx	十和田山 ¹⁹⁾	To-CP	MIS G ²⁰⁾ ST	ptb, ctb	R>60 km R>3-4	3- 4	青字：記載内容の相違（記載方針の相違）	To-CP	なし。cpx	十和田山 ²¹⁾	To-Og	H-L	ptb	R>20 km R>3-4	3- 4	KP ²²⁾ 未記載。KP ²³⁾ 未記載。	To-Og	なし。cpx	十和田山 ²⁴⁾	To-GF	H-L	ptb	R>60 km R>3-4	3- 4	青字：記載内容の相違（記載方針の相違）	To-GF	なし。cpx, cpx	高瀬	To	ptb		3- 4	赤字：1. や十和田サレグン 青字：記載内容の相違（記載方針の相違）	To	なし。cpx, cpx, bco, nco	十和田山 ²⁵⁾	To-TD	ptb	R>60 km	3- 4		To-TD	なし。cpx, cpx	下北 ²⁶⁾	Asa-4	31~38	ptb	赤字：表記不一致。	Asa-4	なし。cpx	十和田オオヌカ ²⁷⁾	To-AP	MIS G ²⁸⁾ ST	ptb	R>60 km R>3-4	3- 4	無人調査箇所。MIS G ²⁸⁾ 。	To-AP	なし。cpx	十和田エビセ ²⁹⁾	To-CP	ptb	R>60 km R>3-4	3- 4		To-CP	なし。cpx	津軽 ³⁰⁾	To-p	ca.10~25	ptb	R>60 km R>3-4	3- 4	青字：4. 墓園付近(2)付近。 赤字：3. 墓園付近(2)付近。	To-p	なし。cpx	サッサ ³¹⁾	To-p	ptb	R>60 km R>3-4	3- 4	赤字：1. 墓園付近。	To-p	なし。cpx, cpx	サッサ ³²⁾	To-p	ptb	R>60 km R>3-4	3- 4	青字：3. 墓園付近(2)付近。 赤字：2. 墓園付近(2)付近。	To-p	なし。cpx, cpx, cpx	枠囲み部は本資料における抜粋又は参照箇所を示す										鉱物組成の凡例³³⁾ <ul style="list-style-type: none"> • opx : 斜方輝石 • qt : 石英 • cpx : 单斜輝石 • ho : 角閃石 • cum : カミントン閃石 • ep : 緑簾石 • ol : カンラン石 • bi : 黒雲母 • ob : 黑曜石 • af : アルカリ長石 										※ : 青枠囲みは追記									
大山・アフターホルダ	記 号	半径	倒伏方法	初期模式と属性	立着・倒伏	A V	追+（決定・検討各段階）	E S	主な 記 事																																																																																																																																																																																																																																																																																																											
古瀬田砂留 ¹⁾	To-7m	H-0.8	C,A	ptb	R>180 km	3- 4	赤字：表記不一致。	To-7m	なし。d, (ep)																																																																																																																																																																																																																																																																																																											
十和田山 ²⁾	To-a	A-0.05	H-C,A	ptb, ctb, pbt	R>60 km	3- 4	赤字：表記不一致。 緑字：記載箇所	To-a	なし。cpx, cpx, cpx																																																																																																																																																																																																																																																																																																											
十和田山 ³⁾	To-b	ca.3	C*	ptb	R>60 km	3- 4	青字：記載内容の相違（記載方針の相違）	To-b	なし。cpx, cpx																																																																																																																																																																																																																																																																																																											
十和田山 ⁴⁾	To-Cn	5	C**	ptb	R>200 km	3- 4	青字：記載内容の相違（記載方針の相違）	To-Cn	なし。cpx, cpx																																																																																																																																																																																																																																																																																																											
十和田山 ⁵⁾	To-Nb	3.1	C*	ptb	R>200 km	3- 4	青字：記載内容の相違（記載方針の相違）	To-Nb	なし。cpx, cpx																																																																																																																																																																																																																																																																																																											
十和田山の森(高) ⁶⁾	To-Nk	H-B	C*	複数のptb, ctb	R>60 km	3- 4	[N/A] ⁷⁾	To-Nk	なし。cpx, cpx																																																																																																																																																																																																																																																																																																											
十和田山の森(低) ⁸⁾	To-H	ca.3	C*	ptb, ctb	ol:ca.300 km R>60 km	3- 4	赤字：表記不一致。	To-H	なし。cpx, cpx, bco, nco																																																																																																																																																																																																																																																																																																											
十和田山の森(低) ⁹⁾	To-H	ca.3	C*	ptb, ctb	R>60 km	3- 4	青字：記載内容の相違（記載方針の相違）	To-H	なし。cpx, cpx, bco, nco																																																																																																																																																																																																																																																																																																											
十和田山アリヤト ¹⁰⁾	To-PPt	ca.10	ST	ptb	R>60 km	3- 4	イシガリユウゲン岩盤。	To-PPt	なし。cpx																																																																																																																																																																																																																																																																																																											
尾波 T3	AT	20~30					赤字：表記不一致。	AT																																																																																																																																																																																																																																																																																																												
十和田大正断 ¹¹⁾	To-Cf	ca.20	ST	ptb, ctb	ol:ca.30 km R>20 km	3- 4	赤字：表記不一致。	To-Cf	なし。cpx																																																																																																																																																																																																																																																																																																											
To-AB	ca.20	ST	ptb	R>60 km	3- 4	[N/A] ¹²⁾ イシガリユウゲン岩盤。	To-AB	なし。cpx, cpx																																																																																																																																																																																																																																																																																																												
青森 (2/2)																																																																																																																																																																																																																																																																																																																				
大山・アフターホルダ	記 号	半径	倒伏方法	初期模式と属性	立着・倒伏	A V	追+（決定・検討各段階）	E S	主な 記 事																																																																																																																																																																																																																																																																																																											
十和田山 ¹³⁾	To-G	MIS G ¹⁴⁾	ol:ctb, ctb	R>60 km R>3-4	3- 4	イシガリユウゲン岩盤。	To-G	なし。cpx																																																																																																																																																																																																																																																																																																												
十和田サレグン ¹⁵⁾	To-GS	ST	ptb	無人調査箇所。	3- 4	青字：記載内容の相違（記載方針の相違）	To-GS	なし。cpx, cpx																																																																																																																																																																																																																																																																																																												
十和田東海岸 ¹⁶⁾	To-Ga	周一本火	ptb	無人調査箇所。	3- 4	青字：記載内容の相違（記載方針の相違）	To-Ga	なし。cpx, cpx																																																																																																																																																																																																																																																																																																												
十和田山 ¹⁷⁾	To-Hd	MIS G ¹⁸⁾ ST	ptb	R>60 km R>3-4	3- 4	無人調査箇所。MIS G ¹⁸⁾ 。	To-Hd	なし。cpx, cpx																																																																																																																																																																																																																																																																																																												
十和田山 ¹⁹⁾	To-CP	MIS G ²⁰⁾ ST	ptb, ctb	R>60 km R>3-4	3- 4	青字：記載内容の相違（記載方針の相違）	To-CP	なし。cpx																																																																																																																																																																																																																																																																																																												
十和田山 ²¹⁾	To-Og	H-L	ptb	R>20 km R>3-4	3- 4	KP ²²⁾ 未記載。KP ²³⁾ 未記載。	To-Og	なし。cpx																																																																																																																																																																																																																																																																																																												
十和田山 ²⁴⁾	To-GF	H-L	ptb	R>60 km R>3-4	3- 4	青字：記載内容の相違（記載方針の相違）	To-GF	なし。cpx, cpx																																																																																																																																																																																																																																																																																																												
高瀬	To	ptb		3- 4	赤字：1. や十和田サレグン 青字：記載内容の相違（記載方針の相違）	To	なし。cpx, cpx, bco, nco																																																																																																																																																																																																																																																																																																													
十和田山 ²⁵⁾	To-TD	ptb	R>60 km	3- 4		To-TD	なし。cpx, cpx																																																																																																																																																																																																																																																																																																													
下北 ²⁶⁾	Asa-4	31~38	ptb	赤字：表記不一致。	Asa-4	なし。cpx																																																																																																																																																																																																																																																																																																														
十和田オオヌカ ²⁷⁾	To-AP	MIS G ²⁸⁾ ST	ptb	R>60 km R>3-4	3- 4	無人調査箇所。MIS G ²⁸⁾ 。	To-AP	なし。cpx																																																																																																																																																																																																																																																																																																												
十和田エビセ ²⁹⁾	To-CP	ptb	R>60 km R>3-4	3- 4		To-CP	なし。cpx																																																																																																																																																																																																																																																																																																													
津軽 ³⁰⁾	To-p	ca.10~25	ptb	R>60 km R>3-4	3- 4	青字：4. 墓園付近(2)付近。 赤字：3. 墓園付近(2)付近。	To-p	なし。cpx																																																																																																																																																																																																																																																																																																												
サッサ ³¹⁾	To-p	ptb	R>60 km R>3-4	3- 4	赤字：1. 墓園付近。	To-p	なし。cpx, cpx																																																																																																																																																																																																																																																																																																													
サッサ ³²⁾	To-p	ptb	R>60 km R>3-4	3- 4	青字：3. 墓園付近(2)付近。 赤字：2. 墓園付近(2)付近。	To-p	なし。cpx, cpx, cpx																																																																																																																																																																																																																																																																																																													
枠囲み部は本資料における抜粋又は参照箇所を示す																																																																																																																																																																																																																																																																																																																				
鉱物組成の凡例³³⁾ <ul style="list-style-type: none"> • opx : 斜方輝石 • qt : 石英 • cpx : 单斜輝石 • ho : 角閃石 • cum : カミントン閃石 • ep : 緑簾石 • ol : カンラン石 • bi : 黒雲母 • ob : 黑曜石 • af : アルカリ長石 																																																																																																																																																																																																																																																																																																																				
※ : 青枠囲みは追記																																																																																																																																																																																																																																																																																																																				

泊発電所 3号炉 DB基準適合性 比較表

第6条 外部からの衝撃による損傷の防止 (火山:別添資料1)

赤字: 設備、運用又は体制の相違 (設計方針の相違)
青字: 記載箇所又は記載内容の相違 (記載方針の相違)
緑字: 記載表現、設備名称の相違 (実質的な相違なし)

大飯発電所3／4号炉	女川原子力発電所2号炉	泊発電所3号炉	相違理由
	<p>補足資料-20 外部事象に対する津波防護施設、浸水防止設備及び津波監視設備の防護方針について</p> <p>1. 概要 津波防護施設、浸水防止設備及び津波監視設備（以下「津波防護施設等」という。）の外部事象に対する防護方針を以下に示す。</p> <p>2. 防護に関する考え方 以下の考え方に基づき、女川原子力発電所において設計上考慮すべき外部事象に対する津波防護施設等の機能維持のための対応の要否について整理した。 外部事象に対する津波防護施設等の機能維持対応要否判断フローを図1に示す。</p> <p>(1) 設計上考慮すべき事象が、津波もしくは津波の随伴、重畠が否定できない事象に該当するかを確認する。定量的な重畠確率が求められない事象については、保守的にその影響を考慮する。</p> <p>(2) 津波の随伴、重畠が否定できない場合は、当該事象による津波防護施設の機能喪失モードの有無を確認する。機能喪失モードが認められる場合は、設計により健全性を確保する。</p> <p>(3) 津波の随伴、重畠が有意でないと評価される事象についても、女川原子力発電所の津波防護施設については、基準津波の高さや防護範囲の広さ等その重要性に鑑み、自主的に機能維持のための配慮を行う。</p> <p>図1 外部事象に対する津波防護施設等の機能維持対応要否判断フロー</p>	<p>補足資料-20 外部事象に対する津波防護施設、浸水防止設備及び津波監視設備の防護方針について</p> <p>1. 概要 津波防護施設、浸水防止設備及び津波監視設備（以下「津波防護施設等」という。）の外部事象に対する防護方針を以下に示す。</p> <p>2. 防護に関する考え方 以下の考え方に基づき、泊発電所において設計上考慮すべき外部事象に対する津波防護施設等の機能維持のための対応の要否について整理した。 外部事象に対する津波防護施設等の機能維持対応要否判断フローを図1に示す。</p> <p>(1) 設計上考慮すべき事象が、津波もしくは津波の随伴、重畠が否定できない事象に該当するかを確認する。定量的な重畠確率が求められない事象については、保守的にその影響を考慮する。</p> <p>(2) 津波の随伴、重畠が否定できない場合は、当該事象による津波防護施設の機能喪失モードの有無を確認する。機能喪失モードが認められる場合は、設計により健全性を確保する。</p> <p>(3) 津波の随伴、重畠が有意でないと評価される事象についても、泊発電所の津波防護施設については、基準津波の高さや防護範囲の広さ等その重要性に鑑み、自主的に機能維持のための配慮を行う。</p> <p>※1: 定量的に評価できないものを含む ※2: 「○」、「△」、「-」は、裏掲の表1における整理に対応している。</p> <p>図1 外部事象に対する津波防護施設等の機能維持対応要否判断フロー</p>	<p>【大飯】記載方針の相違 女川審査実績の反映</p> <p>【女川】記載表現の相違 ・プラント名称の相違</p> <p>【女川】記載表現の相違 ・プラント名称の相違</p>

泊発電所3号炉 DB基準適合性 比較表

第6条 外部からの衝撃による損傷の防止 (火山:別添資料1)

赤字: 設備、運用又は体制の相違 (設計方針の相違)
 青字: 記載箇所又は記載内容の相違 (記載方針の相違)
 緑字: 記載表現、設備名称の相違 (実質的な相違なし)

大飯発電所3／4号炉	女川原子力発電所2号炉	泊発電所3号炉	相違理由
	<p>3. 検討結果 上記フローに基づく各事象に対する防護方針の検討結果を以下に示す。 (詳細は表1のとおり)</p> <p>(1) 津波の随伴、重畳が否定できない事象^{※1}に対する防護方針 これらの外部事象に対しては、津波との随伴もしくは重畳の可能性を否定できないため、荷重の重ね合わせのタイミングも考慮した上で設計への反映の要否を検討し、津波防護施設等への影響が考えられる事象に対しては、津波防護施設等の機能を維持する設計とする。 ※1: 地震、風(台風)、凍結、降水、積雪、落雷、森林火災</p> <p>(2) 津波の随伴、重畳が有意ではない事象(竜巻、火山の影響)に対する防護方針 「竜巻」、「火山の影響」の2つの外部事象に津波は随伴せず、また、基準津波との重畳の確率も有意ではないため、津波防護施設等を防護対象施設とはしないものの、津波防護施設等の機能が要求される時にはその機能を期待できるように以下の対応を自主的に実施する。</p> <p>a. 「竜巻」 設計竜巻と基準津波が重畳する年超過確率は約 $1.9 \times 10^{-12} \sim 1.9 \times 10^{-13}$ (/年) であり、竜巻と津波の重畳は有意ではないと評価されるが、竜巻が襲来した場合には必ず作用する風荷重に対しては、津波防護施設等の健全性を維持する設計とする。また、竜巻が襲来した場合でも、必ずしも津波防護施設に作用するとは限らない竜巻飛来物の衝撃荷重に対しては、大規模な損傷に至り難い構造とする。</p> <p>b. 「火山の影響」 設計で想定する降下火碎物の噴火と基準津波が重畳する年超過確率は約 $1.2 \times 10^{-10} \sim 1.2 \times 10^{-11}$ (/年) ^{※2}であり、火山の影響と基準津波の重畳は有意ではないと評価されるが、降下火碎物の堆積荷重について長期荷重に対する構造健全性を確保するとともに、降灰後に適宜除去が可能な設計とする。 ※2: 約1万2千年前の肘折尾花沢噴火を考慮</p>	<p>3. 検討結果 上記フローに基づく各事象に対する防護方針の検討結果を以下に示す。 (詳細は表1のとおり)</p> <p>(1) 津波の随伴、重畳が否定できない事象^{※1}に対する防護方針 これらの外部事象に対しては、津波との随伴もしくは重畳の可能性を否定できないため、荷重の重ね合わせのタイミングも考慮した上で設計への反映の要否を検討し、津波防護施設等への影響が考えられる事象に対しては、津波防護施設等の機能を維持する設計とする。 ※1: 地震、風(台風)、凍結、降水、積雪、落雷、地滑り、森林火災</p> <p>(2) 津波の随伴、重畳が有意ではない事象(竜巻、火山の影響)に対する防護方針 「竜巻」、「火山の影響」の2つの外部事象に津波は随伴せず、また、基準津波との重畳の確率も有意ではないため、津波防護施設等を防護対象施設とはしないものの、津波防護施設等の機能が要求される時にはその機能を期待できるように以下の対応を自主的に実施する。</p> <p>a. 「竜巻」 設計竜巻と基準津波が重畳する年超過確率は約● (/年) であり、竜巻と津波の重畳は有意ではないと評価されるが、竜巻が襲来した場合には必ず作用する風荷重に対しては、津波防護施設等の健全性を維持する設計とする。また、竜巻が襲来した場合でも、必ずしも津波防護施設に作用するとは限らない竜巻飛来物の衝撃荷重に対しては、大規模な損傷に至り難い構造とする。</p> <p>b. 「火山の影響」 設計で想定する降下火碎物の噴火と基準津波が重畳する年超過確率は、約● (/年) ^{※2}であり、火山の影響と基準津波の重畳は有意ではないと評価されるが、降下火碎物の堆積荷重について長期荷重に対する構造健全性を確保するとともに、降灰後に適宜除去が可能な設計とする。 ※2: 敷地で確認された降下火碎物の層厚は20cmと評価しております、この降下火碎物噴出年代は約●万年前であることを考慮</p>	<p>【女川】設計方針の相違 •泊は立地地域の相違により地滑りを考慮する</p> <p>【女川】設計方針の相違 •評価結果の相違</p> <p>【女川】設計方針の相違 •評価結果の相違</p> <p>【女川】設計表現の相違</p>

追面【地震津波倒審査の反映】
 (上記●については、地震津波倒審査結果を受けて反映のため)

赤字：設備、運用又は体制の相違（設計方針の相違）
 青字：記載箇所又は記載内容の相違（記載方針の相違）
 緑字：記載表現、設備名称の相違（実質的な相違なし）

第6条 外部からの衝撃による損傷の防止（火山：別添資料1）

大飯発電所3／4号炉

泊発電所3号炉 DB基準適合性 比較表

女川原子力発電所2号炉										泊発電所3号炉	相違理由	
大飯発電所3／4号炉												
設計上考慮すべき 外部事象	① 防作用として 津波を考慮する 必要	② 既に事象として 津波が考慮し得る 可能性	津度との重複 津波の衝撃による機能喪失の可能性 安全施設等の機能喪失の可能性	設計上の対応方針								
表1 外部事象に対する津波防護施設等の対応方針整理表（1／2）												
地図	○	—	○	○	○	○	○	○	○	○	○	○
風（台風）	—	○	○	○	○	○	○	○	○	○	○	○
海	—	—	—	—	—	—	—	—	—	—	—	—
降水	—	○	○	○	○	○	○	○	○	○	○	○
海水	—	○	○	○	○	○	○	○	○	○	○	○

■：津波の場合は、津波が考慮できないため、設計で健全性と面倒な事象（○）
 ■：津波の場合は、津波は考慮ではないが、機能維持について設計上配慮する事象（△）
 ○：対応が不要な事象（—）

表1 外部事象に対する津波防護施設等の対応方針整理表（1／2）

設計上考慮すべき 外部事象	① 耐立候象として 津波を考慮する 必要	② 津波の重複 津波の衝撃による機能喪失の可能性 安全施設等への津 波の影響	津度との重複 津波の衝撃による機能喪失の可能性 安全施設等への津 波の影響	設計上の対応方針							
表1 外部事象に対する津波防護施設等の対応方針整理表（2／2）											
地図	○	—	○	○	○	○	○	○	○	○	○
風（台風）	—	○	○	○	○	○	○	○	○	○	○
海	—	—	—	—	—	—	—	—	—	—	—
降水	—	○	○	○	○	○	○	○	○	○	○
海水	—	○	○	○	○	○	○	○	○	○	○

■：津波の場合は、津波が考慮できないため、設計で健全性と面倒な事象（○）
 ■：津波の場合は、津波は考慮ではないが、機能維持については設計上配慮する事象（△）
 ○：対応が不要な事象（—）

表1 外部事象に対する津波防護施設等の対応方針整理表（2／2）

設計上考慮すべき 外部事象	① 耐立候象として 津波を考慮する 必要	② 津波の重複 津波の衝撃による機能喪失の可能性 安全施設等への津 波の影響	津度との重複 津波の衝撃による機能喪失の可能性 安全施設等への津 波の影響	設計上の対応方針							
表3 設置認可申請添付書類六「●・施設設計の参照」を考慮											
地図	○	—	○	○	○	○	○	○	○	○	○
風（台風）	—	—	—	—	—	—	—	—	—	—	—
海	—	○	○	○	○	○	○	○	○	○	○
降水	—	○	○	○	○	○	○	○	○	○	○
海水	—	○	○	○	○	○	○	○	○	○	○

注記●について：地盤防護装置を設置を受けた設計のため

第6条 外部からの衝撃による損傷の防止（火山：別添資料1）

大飯発電所3／4号炉

女川原子力発電所2号炉

● 認度の難解、重複が否定できないため、設計で健全性を確保する事象 (○)
 ■ 青波の難解、重複は有効ではないが、機能維持について設計上配慮する事象 (△)
 ▲ 対応が不要な事象 (—)

表題 1 外部事象に対する津波防護施設等の対応方針整理表 (2/2)

事象	危険度	対応方針	現地調査結果		対応方針
			現地調査結果	現地調査結果	
外部事象 設計上考慮すべき 事件として 評定を考慮する	① 事件として 評定を考慮する	② 確立事象として 評定を考慮する	構造との重複 を考慮する (0.02分○)	構造防護施設の構造喪失による 安全施設等の機能喪失の可能性 を考慮する (0.02分○)	構造防護施設の構造喪失による 安全施設等の機能喪失の可能性 を考慮する (0.02分○)
積雪	—	○	○	積雪荷重により相應した場合、安全施設等へ の作用の判明、既存による機能喪失が想定さ れる。 <u>△</u>	積雪荷重と構造防護を考慮した設計と 現地調査結果 ○
落雷	—	○	○	落雷による構造防護設備の機能喪失が想定さ れる。 <u>△</u>	落雷監視設備についても、既設避雷設 備の遮蔽範囲内への位置を行子。 <u>○</u>
火山	—	—	—	以下のとおり、直接の被害は無視し得る。 ・想定する火山の発生率：約 1.4×10^{-4} 年。 ・基準津波の半周潜伏時間： $1 \times 10^{4} \sim 1 \times 10^{3}$ 年 =重複潜伏率：約 $1.2 \times 10^{-9} \sim 1.2 \times 10^{-8}$ 年 ではある。 <u>△</u>	既往にて長期信頼に付ける構造健全性 を確保するとともに、既設後に備え火 山噴火時の避難方法が可能な設計とする。 <u>○</u>
生物学的事象	—	—	—	生物による影響 (開拓、侵入)による地盤喪 失モードを有しない。 <u>△</u>	—
森林火災	—	○	○	森林火災により構造などの遮蔽距離が確保され ないため、熱影響を受けることはない。 <u>△</u>	—
※	約1万2千年前の帯折層花石暗火を基盤				

卷之三

実験	外部車載に対する体波の遮蔽効率	非接触地図による 車両防護施設の構造変更による 設計への反
実験	車両との距離	車両との距離

被災地の特徴		被災地の特徴		被災地の特徴		被災地の特徴		被災地の特徴		被災地の特徴	
被災地	被災地	被災地	被災地	被災地	被災地	被災地	被災地	被災地	被災地	被災地	被災地
ナガキ外環 林業	森林伐採によって 林立地が荒廃 した事象	安全対策等の施設が取り付け されている箇所	安全対策等の施設が取り付け されていない箇所	林立地より倒木した場合、安全地帯 等への侵入の問題、保水による機能喪失 が想定される。	林立地による林立地防護の機能喪失が想 定される。						
大山の影響	—	—	—	以下のとおり、高い確度で想定される。 ・足跡・大山の跡の跡・●→△ ・高確度の跡の跡・●→△ →確度が△と△	—	—	—	—	—	—	—
焼け残り	—	—	—	放棄により土壤保護地帯地帯に する事はない。	—	—	—	—	—	—	—
生物的災象	—	—	—	生物による影響(侵入)による機能 喪失をも有しない。	—	—	—	—	—	—	—
森林火災	—	—	—	防火網により森林火災による機能喪失が想定さ れ、然るに燃料供給を受けることはない。	—	—	—	—	—	—	—

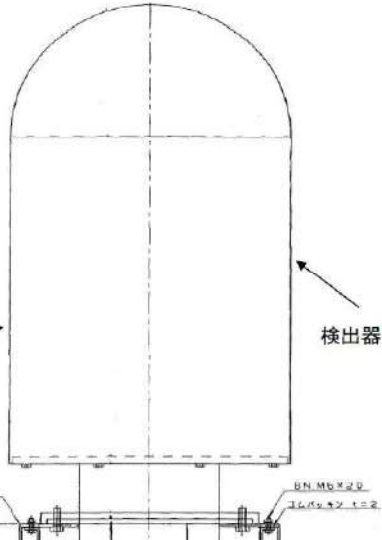
●万年前であることを考慮すれば、この海下火葬物の出年は約

「治癒率の参照」を考慮

●地図【地図津波警報審査の反映】
（上記●については、地震津波警報審査結果を受けて反映のため）

100

第6条 外部からの衝撃による損傷の防止（火山：別添資料1）

大飯発電所3／4号炉	女川原子力発電所2号炉	泊発電所3号炉	相違理由																																												
<p>補足資料－12</p> <p>1.2. 火山灰によるその他設備への影響について</p> <p>火山灰によるその他設備（モニタリング設備、消火設備、緊急時対策所、通信設備）に対する影響評価について以下に示す。</p> <p>1. モニタリング設備</p> <p>下図のとおり、モニタリングポストの検出器は、上部が半球型であり、火山灰が堆積しにくい構造となっていることから、火山灰の荷重により機能に影響を及ぼすことはない。</p> <p>また、モニタリングカーによる測定も可能である。</p>  <p>図 モニタリングポストの外観図</p> <p>2. 消火設備</p> <p>(1) ディーゼル消火ポンプ 建屋内設備であり、給気設備もなく、火山灰の影響を受けない。</p> <p>(2) 電動消火ポンプ 建屋内設備であり、給気設備もなく、火山灰の影響を受けない。</p> <p>仮に、上記消火設備に影響が生じた場合でも、消防自動車を用いた自衛消防隊による消火が可能。</p>	<p>補足資料－21</p> <p>火山影響評価における監視カメラ及びモニタリングポストの扱いについて</p> <p>監視カメラは設置許可基準規則第26条（原子炉制御室）、モニタリングポストは同規則第31条（監視設備）の要求を満足する必要があることから、本設備については、降下火砕物の影響に対して機能維持、又は降下火砕物による損傷を考慮して、代替設備により必要な機能を確保すること、必要に応じてプラントを停止し、安全上支障のない期間での除灰、修復等の対応、又はそれらを適切に組み合わせることで安全機能を損なわない設計としている。</p> <p>なお、監視カメラ及びモニタリングポストは、外部事象防護対象施設ではないが、損傷した場合でも外部事象防護対象施設に対して波及的影響を及ぼすことはないことから、火山影響評価における評価対象施設等として抽出していない。</p> <p>表1に監視カメラ及びモニタリングポストの概要を示す。</p> <p>表1 監視カメラ及びモニタリングポストの概要</p> <table border="1"> <thead> <tr> <th></th> <th>監視カメラ</th> <th>モニタリングポスト</th> </tr> </thead> <tbody> <tr> <td>イメージ</td> <td></td> <td></td> </tr> <tr> <td>数量</td> <td>計8台（津波用×2、自然現象用×6）</td> <td>計6箇所</td> </tr> <tr> <td>火山影響への考慮</td> <td> <ul style="list-style-type: none"> ・降下火砕物の影響を受けにくい ・設置場所の考慮 ・降下火砕物が堆積しにくい形状 </td> <td> <ul style="list-style-type: none"> ・降下火砕物が堆積しにくい形状 </td> </tr> <tr> <td>構造物への化学的影響（腐食）</td> <td> <ul style="list-style-type: none"> ・外装は鋼製（塗装あり）であり、定期での腐食は生じない </td> <td> <ul style="list-style-type: none"> ・外装はアルミニウム合金（塗装あり）であり、定期での腐食は生じない </td> </tr> <tr> <td>絶縁低下</td> <td> <ul style="list-style-type: none"> ・外気を取込む機構がなく、防腐構造である </td> <td> <ul style="list-style-type: none"> ・外気を取込む機構がなく、防腐構造である </td> </tr> <tr> <td>その他</td> <td> <ul style="list-style-type: none"> ・自然現象の検知は水位計、気象観測設備、目視確認で可能 ・可搬型モニタリングポスト[※]及び放射能測定車[※]でも同様な測定が可能 </td> <td> <ul style="list-style-type: none"> ・自然現象の検知は水位計、気象観測設備、目視確認で可能 ・可搬型モニタリングポスト及び放射能測定装置でも同様な測定が可能 </td> </tr> </tbody> </table> <p style="text-align: right;">以上</p>		監視カメラ	モニタリングポスト	イメージ			数量	計8台（津波用×2、自然現象用×6）	計6箇所	火山影響への考慮	<ul style="list-style-type: none"> ・降下火砕物の影響を受けにくい ・設置場所の考慮 ・降下火砕物が堆積しにくい形状 	<ul style="list-style-type: none"> ・降下火砕物が堆積しにくい形状 	構造物への化学的影響（腐食）	<ul style="list-style-type: none"> ・外装は鋼製（塗装あり）であり、定期での腐食は生じない 	<ul style="list-style-type: none"> ・外装はアルミニウム合金（塗装あり）であり、定期での腐食は生じない 	絶縁低下	<ul style="list-style-type: none"> ・外気を取込む機構がなく、防腐構造である 	<ul style="list-style-type: none"> ・外気を取込む機構がなく、防腐構造である 	その他	<ul style="list-style-type: none"> ・自然現象の検知は水位計、気象観測設備、目視確認で可能 ・可搬型モニタリングポスト[※]及び放射能測定車[※]でも同様な測定が可能 	<ul style="list-style-type: none"> ・自然現象の検知は水位計、気象観測設備、目視確認で可能 ・可搬型モニタリングポスト及び放射能測定装置でも同様な測定が可能 	<p>補足資料－21</p> <p>火山影響評価における監視カメラ及びモニタリングポストの扱いについて</p> <p>監視カメラは設置許可基準規則第26条（原子炉制御室）、モニタリングポストは同規則第31条（監視設備）の要求を満足する必要があることから、本設備については、降下火砕物の影響に対して機能維持、又は降下火砕物による損傷を考慮して、代替設備により必要な機能を確保すること、必要に応じてプラントを停止し、安全上支障のない期間での除灰、修復等の対応、又はそれらを適切に組み合わせることで安全機能を損なわない設計としている。</p> <p>なお、監視カメラ及びモニタリングポストは、外部事象防護対象施設ではないが、損傷した場合でも外部事象防護対象施設に対して波及的影響を及ぼすことはないことから、火山影響評価における評価対象施設等として抽出していない。</p> <p>表1に監視カメラ及びモニタリングポストの概要を示す。</p> <p>表1 監視カメラ及びモニタリングポストの概要</p> <table border="1"> <thead> <tr> <th></th> <th>監視カメラ</th> <th>モニタリングポスト</th> </tr> </thead> <tbody> <tr> <td>イメージ</td> <td></td> <td></td> </tr> <tr> <td>数量</td> <td>津波監視カメラ：計4台 構内監視カメラ：計7台</td> <td>計7箇所</td> </tr> <tr> <td>火山影響への考慮</td> <td> <ul style="list-style-type: none"> ・降下火砕物の影響を受けにくい ・設置場所の考慮 ・降下火砕物が堆積しにくい形状 </td> <td> <ul style="list-style-type: none"> ・降下火砕物が堆積しにくい形状 </td> </tr> <tr> <td>構造物への静的負荷</td> <td> <ul style="list-style-type: none"> ・外装は鋼製（塗装あり）であり、定期での腐食は生じない </td> <td> <ul style="list-style-type: none"> ・外装はアルミニウム合金（塗装あり）であり、定期での腐食は生じない </td> </tr> <tr> <td>構造物への化学的影響（腐食）</td> <td> <ul style="list-style-type: none"> ・外装は鋼製（塗装あり）であり、定期での腐食は生じない </td> <td> <ul style="list-style-type: none"> ・外装はアルミニウム合金（塗装あり）であり、定期での腐食は生じない </td> </tr> <tr> <td>絶縁低下</td> <td> <ul style="list-style-type: none"> ・外気を取込む機構がなく、防腐構造である </td> <td> <ul style="list-style-type: none"> ・外気を取込む機構がなく、防腐構造である </td> </tr> <tr> <td>その他</td> <td> <ul style="list-style-type: none"> ・自然現象の検知は水位計、気象観測設備、目視確認で可能 </td> <td> <ul style="list-style-type: none"> ・自然現象の検知は水位計、気象観測設備、目視確認で可能 ・可搬型モニタリングポスト及び放射能測定装置でも同様な測定が可能 </td> </tr> </tbody> </table> <p style="text-align: right;">以上</p>		監視カメラ	モニタリングポスト	イメージ			数量	津波監視カメラ：計4台 構内監視カメラ：計7台	計7箇所	火山影響への考慮	<ul style="list-style-type: none"> ・降下火砕物の影響を受けにくい ・設置場所の考慮 ・降下火砕物が堆積しにくい形状 	<ul style="list-style-type: none"> ・降下火砕物が堆積しにくい形状 	構造物への静的負荷	<ul style="list-style-type: none"> ・外装は鋼製（塗装あり）であり、定期での腐食は生じない 	<ul style="list-style-type: none"> ・外装はアルミニウム合金（塗装あり）であり、定期での腐食は生じない 	構造物への化学的影響（腐食）	<ul style="list-style-type: none"> ・外装は鋼製（塗装あり）であり、定期での腐食は生じない 	<ul style="list-style-type: none"> ・外装はアルミニウム合金（塗装あり）であり、定期での腐食は生じない 	絶縁低下	<ul style="list-style-type: none"> ・外気を取込む機構がなく、防腐構造である 	<ul style="list-style-type: none"> ・外気を取込む機構がなく、防腐構造である 	その他	<ul style="list-style-type: none"> ・自然現象の検知は水位計、気象観測設備、目視確認で可能 	<ul style="list-style-type: none"> ・自然現象の検知は水位計、気象観測設備、目視確認で可能 ・可搬型モニタリングポスト及び放射能測定装置でも同様な測定が可能
	監視カメラ	モニタリングポスト																																													
イメージ																																															
数量	計8台（津波用×2、自然現象用×6）	計6箇所																																													
火山影響への考慮	<ul style="list-style-type: none"> ・降下火砕物の影響を受けにくい ・設置場所の考慮 ・降下火砕物が堆積しにくい形状 	<ul style="list-style-type: none"> ・降下火砕物が堆積しにくい形状 																																													
構造物への化学的影響（腐食）	<ul style="list-style-type: none"> ・外装は鋼製（塗装あり）であり、定期での腐食は生じない 	<ul style="list-style-type: none"> ・外装はアルミニウム合金（塗装あり）であり、定期での腐食は生じない 																																													
絶縁低下	<ul style="list-style-type: none"> ・外気を取込む機構がなく、防腐構造である 	<ul style="list-style-type: none"> ・外気を取込む機構がなく、防腐構造である 																																													
その他	<ul style="list-style-type: none"> ・自然現象の検知は水位計、気象観測設備、目視確認で可能 ・可搬型モニタリングポスト[※]及び放射能測定車[※]でも同様な測定が可能 	<ul style="list-style-type: none"> ・自然現象の検知は水位計、気象観測設備、目視確認で可能 ・可搬型モニタリングポスト及び放射能測定装置でも同様な測定が可能 																																													
	監視カメラ	モニタリングポスト																																													
イメージ																																															
数量	津波監視カメラ：計4台 構内監視カメラ：計7台	計7箇所																																													
火山影響への考慮	<ul style="list-style-type: none"> ・降下火砕物の影響を受けにくい ・設置場所の考慮 ・降下火砕物が堆積しにくい形状 	<ul style="list-style-type: none"> ・降下火砕物が堆積しにくい形状 																																													
構造物への静的負荷	<ul style="list-style-type: none"> ・外装は鋼製（塗装あり）であり、定期での腐食は生じない 	<ul style="list-style-type: none"> ・外装はアルミニウム合金（塗装あり）であり、定期での腐食は生じない 																																													
構造物への化学的影響（腐食）	<ul style="list-style-type: none"> ・外装は鋼製（塗装あり）であり、定期での腐食は生じない 	<ul style="list-style-type: none"> ・外装はアルミニウム合金（塗装あり）であり、定期での腐食は生じない 																																													
絶縁低下	<ul style="list-style-type: none"> ・外気を取込む機構がなく、防腐構造である 	<ul style="list-style-type: none"> ・外気を取込む機構がなく、防腐構造である 																																													
その他	<ul style="list-style-type: none"> ・自然現象の検知は水位計、気象観測設備、目視確認で可能 	<ul style="list-style-type: none"> ・自然現象の検知は水位計、気象観測設備、目視確認で可能 ・可搬型モニタリングポスト及び放射能測定装置でも同様な測定が可能 																																													

泊発電所3号炉 DB基準適合性 比較表

赤字：設備、運用又は体制の相違（設計方針の相違）
 青字：記載箇所又は記載内容の相違（記載方針の相違）
 緑字：記載表現、設備名称の相違（実質的な相違なし）

第6条 外部からの衝撃による損傷の防止（火山：別添資料1）

大飯発電所3／4号炉	女川原子力発電所2号炉	泊発電所3号炉	相違理由				
<p>3. 緊急時対策所 緊急時対策所（大飯1、2号機 原子炉補助建屋）について、火山灰と積雪を組み合わせた想定堆積荷重（4,500N/m²）と許容堆積荷重を比較することにより、健全性を確認する。 許容堆積荷重は、使用している材料の許容応力度の比1.5（短期／長期）に基づき、設計時に考慮されている常時荷重（自重、積載荷重、積雪荷重）から算出する。 裕度が最も小さい部位（EL33.6m 屋根スラブ）における評価結果は以下のとおりであり、評価の結果、堆積荷重は許容堆積荷重を下回っており、対象建屋の安全性に影響はない。</p> <p>【評価結果】 堆積荷重（火山灰+積雪） 4,500 N/m² < 8,750 N/m² （裕度：1.9）</p> <p>4. 通信設備 通信設備は、発電所内・発電所外用として有線、無線の多種多様な連絡手段を有しております。火山灰の影響により、通信機能を喪失することは考えにくい。なお、衛星電話については、天候（雲、霧、雨、雪、風、煙など）による影響を受けにくく周波数帯を利用していることから、降灰時においても通信機能を維持することが可能と考えられる。</p> <p>表 発電所内外の各種通信設備</p> <table border="1"> <thead> <tr> <th>発電所内の通信設備</th><th>発電所外の通信設備</th></tr> </thead> <tbody> <tr> <td> <ul style="list-style-type: none"> ・運転指令設備 ・トランシーバー ・携行型通話装置 ・衛星電話（固定、携帯） ・保安電話 </td><td> <ul style="list-style-type: none"> ・加入電話、携帯電話 ・保安電話 ・衛星電話（固定、携帯） ・統合原子力防災ネットワーク専用回線に接続する通信連絡設備（IP電話） </td></tr> </tbody> </table> <p style="text-align: center;">以 上</p>	発電所内の通信設備	発電所外の通信設備	<ul style="list-style-type: none"> ・運転指令設備 ・トランシーバー ・携行型通話装置 ・衛星電話（固定、携帯） ・保安電話 	<ul style="list-style-type: none"> ・加入電話、携帯電話 ・保安電話 ・衛星電話（固定、携帯） ・統合原子力防災ネットワーク専用回線に接続する通信連絡設備（IP電話） 			【大飯】記載方針の相違 女川審査実績の反映
発電所内の通信設備	発電所外の通信設備						
<ul style="list-style-type: none"> ・運転指令設備 ・トランシーバー ・携行型通話装置 ・衛星電話（固定、携帯） ・保安電話 	<ul style="list-style-type: none"> ・加入電話、携帯電話 ・保安電話 ・衛星電話（固定、携帯） ・統合原子力防災ネットワーク専用回線に接続する通信連絡設備（IP電話） 						

泊発電所 3号炉 DB基準適合性 比較表

第6条 外部からの衝撃による損傷の防止 (火山:別添資料1)

赤字: 設備、運用又は体制の相違 (設計方針の相違)
 青字: 記載箇所又は記載内容の相違 (記載方針の相違)
 緑字: 記載表現、設備名称の相違 (実質的な相違なし)

大飯発電所3／4号炉	女川原子力発電所2号炉	泊発電所3号炉	相違理由
<p>補足資料-3 3. 原子炉の高温停止及び低温停止に必要な設備に関する火山灰の影響評価について</p> <p>火山灰に起因する外部電源喪失事象により、原子炉の停止が想定されることから、原子炉の高温停止及び低温停止に必要な機能を以下のとおり抽出した。</p> <p>(1) 原子炉停止：原子炉停止系 (2) ほう酸添加：原子炉停止系（化学体積制御系のほう酸注入機能） (3) 崩壊熱除去：補助給水系、主蒸気系、余熱除去系 (4) 上記系統の関連系（安全保護系、中央制御室換気空調系、制御用圧縮空気系、非常用所内電源系、原子炉補機冷却水系、直流電源系、原子炉補機冷却海水系等）</p> <p>以上の機能を達成するために必要な設備は、次頁以降の防護対象に含まれていることを確認した。</p>		<p>補足資料-22 原子炉の高温停止及び低温停止に必要な設備に関する降下火砕物の影響評価について</p> <p>降下火砕物に起因する外部電源喪失事象により、原子炉の停止が想定されることから、原子炉の高温停止及び低温停止に必要な機能を以下のとおり抽出した。</p> <p>(1) 原子炉停止：原子炉停止系 (2) ほう酸添加：原子炉停止系（化学体積制御設備のほう酸注入機能） (3) 崩壊熱除去：補助給水系、主蒸気系、余熱除去系 (4) 上記系統の関連系（安全保護系、中央制御室空調装置、制御用空気圧縮設備、非常用所内電源設備、原子炉補機冷却水設備、直流電源設備、原子炉補機冷却海水設備等）</p> <p>以上の機能を達成するために必要な設備は、次頁以降の防護対象に含まれていることを確認した。</p>	<p>【女川】記載方針の相違 大飯審査実績の反映 【大飯】記載表現の相違</p> <p>【大飯】記載表現の相違</p> <p>【大飯】記載表現の相違 ・名称の相違</p>

第6条 外部からの衝撃による損傷の防止（火山：別添資料1）

泊発電所 3号炉 DB基準適合性 比較表

赤字：設備、運用又は体制の相違（設計方針の相違）
青字：記載箇所又は記載内容の相違（記載方針の相違）
緑字：記載表現、設備名称の相違（実質的な相違なし）

表1 原子炉の高温停止及び低温停止に必要な設備に対する防護対策(1/2)

泊発電所 3号炉 DB基準適合性 比較表

赤字：設備、運用又は体制の相違（設計方針の相違）
青字：記載箇所又は記載内容の相違（記載方針の相違）
緑字：記載表現、設備名称の相違（実質的な相違なし）

第6条 外部からの衝撃による損傷の防止（火山：別添資料1）

大飯発電所3／4号炉

女川原子力発電所2号炉

泊発電所3号炉

相違理由

分類	計画	次子機器の重要度分類		設備名、系統又は機器 区分（緑色）	設備の位置、系统又は機器 区分（赤線囲み）	設備の位置、系統又は機器 区分（黒字）
		機器	機器			
M5-1	2.1 安全上に重要な機器、システム及び構造、運転方針、運転手順等 2.2 安全上に重要な監視装置	1) 工学的安全施設及び原子炉停止系への作動条件の発生 機器	○	○	○	○
		2) 安全上に重要な監視装置	○	○	○	○
		3) 安全上に重要な機器、システム及び構造、運転方針、運転手順等 4) 安全上に重要な監視装置	○	○	○	○
		5) 安全上に重要な機器、システム及び構造、運転方針、運転手順等 6) 安全上に重要な監視装置	○	○	○	○
		7) 安全上に重要な機器、システム及び構造、運転方針、運転手順等 8) 安全上に重要な監視装置	○	○	○	○
		9) 安全上に重要な機器、システム及び構造、運転方針、運転手順等 10) 安全上に重要な監視装置	○	○	○	○
		11) 安全上に重要な機器、システム及び構造、運転方針、運転手順等 12) 安全上に重要な監視装置	○	○	○	○

表1 原子炉の高温停止及び低温停止に必要な設備に関する防護対象(2/2)

分類	定義	次子機器の重要度分類		機器名、系統又は機器 区分（緑色）	設備の位置、系統又は機器 区分（赤線囲み）	設備の位置、系統又は機器 区分（黒字）
		機器	機器			
M5-1	1) 工学的安全施設及び原子炉停止系への作動条件の発生 機器	○	○	○	○	○
	2) 安全上に重要な機器、システム及び構造、運転方針、運転手順等 (いすれか、M-1 開闢のもの)	○	○	○	○	○

【女川】記載方針の相違
大飯審査実績の反映
なお、左図の赤線囲み
は差異を表すもので
なく、抽出結果を表し
ているものである。

泊発電所 3号炉 DB基準適合性 比較表

赤字：設備、運用又は体制の相違（設計方針の相違）
青字：記載箇所又は記載内容の相違（記載方針の相違）
緑字：記載表現、設備名称の相違（実質的な相違なし）

第6条 外部からの衝撃による損傷の防止（火山：別添資料1）

設備	設備名	設備の構造・機能	設備の構造・機能	設備の構造・機能	設備の構造・機能	相違理由
大飯発電所3／4号炉	女川原子力発電所2号炉	泊発電所3号炉				【女川】記載方針の相違 大飯審査実績の反映 なお、左図の赤線囲み は差異を表すものでは なく、抽出結果を表し ているものである。
MS-1	MS-2	MS-2	MS-2	MS-2	MS-2	
1. 原子炉の高溫停止及び低温停止に必要な設備に関する検討対象（3／3）						

泊発電所3号炉 DB基準適合性 比較表

赤字：設備、運用又は体制の相違（設計方針の相違）
 青字：記載箇所又は記載内容の相違（記載方針の相違）
 緑字：記載表現、設備名称の相違（実質的な相違なし）

第6条 外部からの衝撃による損傷の防止（火山：別添資料1）

大飯発電所3／4号炉	女川原子力発電所2号炉	泊発電所3号炉	相違理由
<p>補足資料-8 8. ディーゼル機関の故障要因について</p> <p>ディーゼル機関の故障要因、火山灰の機関内への侵入による影響について以下に示す。</p> <p>予防保全の観点から、ディーゼル機関に限らず機械全般において、故障・不具合の防止を目的として一般的に用いられる要因の考え方に基づき、潜在的な故障・不具合要因としてメーカーが推奨しているディーゼル機関の故障要因は以下の3種類が該当するとされている。なお、設計に起因するもの、管理ミス等の要因によって発生するものは除いている。</p> <p>以下の故障要因に対して、火山灰の機関内への侵入による影響の観点から検討した。</p> <p>1. 機器の経年劣化によって発生する故障 使用頻度とは直接関連なく、その材質変化（化学変化等）によって生ずる「経年劣化」に該当する代表的な故障としては「腐食」「錆」「材質の変化によるひび割れ」等が考えられるが、いずれも火山灰によって、ディーゼル機間に有意に発生する故障ではない。</p> <p>2. 機器の疲労によって発生する故障 材料が摩耗等の変化を引き起こす「機器疲労」に該当する代表的な故障としては「磨耗」「減肉」等があり、このうち「磨耗」については火山灰によってディーゼル機間に発生する故障要因に該当する。</p> <p>3. 偶発的に発生する故障 万全な環境に置かれ、かつ使用頻度が制限されていても機器が個別に有する故障発生確率で発生する「偶発故障」に該当する代表的な故障としては「ミクロ的に発生するクラック」等が考えられるが、火山灰によってディーゼル機間に有意に発生する故障ではない。</p> <p>以上のことから、ディーゼル機関への火山灰侵入により発生する故障要因として、機関内摺動面への火山灰侵入による「磨耗」が考えられ、これ以外の故障要因は有意に発生しないと考えられる。</p> <p style="text-align: center;">以 上</p>		<p>補足資料-23 ディーゼル発電機機関の故障要因について</p> <p>ディーゼル発電機機関の故障要因、降下火砕物の機関内への侵入による影響について以下に示す。</p> <p>予防保全の観点から、ディーゼル発電機機間に限らず機械全般において、故障・不具合の防止を目的として一般的に用いられる要因の考え方に基づき、潜在的な故障・不具合要因としてメーカーが推奨しているディーゼル発電機機関の故障要因は以下の3種類が該当するとされている。なお、設計に起因するもの、管理ミス等の要因によって発生するものは除いている。</p> <p>以下の故障要因に対して、降下火砕物の機関内への侵入による影響の観点から検討した。</p> <p>1. 機器の経年劣化によって発生する故障 使用頻度とは直接関係なく、その材質変化（化学変化等）によって生ずる「経年劣化」に該当する代表的な故障としては「腐食」「錆」「材質の変化によるひび割れ」等が考えられるが、いずれも降下火砕物によって、ディーゼル発電機機間に有意に発生する故障ではない。</p> <p>2. 機器の疲労によって発生する故障 材料が摩耗等の変化を引き起こす「機器疲労」に該当する代表的な故障としては「磨耗」「減肉」等があり、このうち「磨耗」については降下火砕物によってディーゼル発電機機間に発生する故障要因に該当する。</p> <p>3. 偶発的に発生する故障 万全な環境に置かれ、かつ使用頻度が制限されていても機器が個別に有する故障発生確率で発生する故障が「偶発故障」に該当する。該当する代表的な故障としては「ミクロ的に発生するクラック」等が考えられるが、降下火砕物によってディーゼル発電機機間に有意に発生する故障ではない。</p> <p>以上のことから、ディーゼル発電機機間への降下火砕物の侵入により発生する故障要因として、機関内摺動面への降下火砕物の侵入による「磨耗」が考えられ、これ以外の故障要因は有意に発生しないと考えられる。</p> <p style="text-align: center;">以 上</p>	<p>【女川】記載方針の相違 大飯審査実績の反映 【大飯】記載表現の相違 【大飯】記載表現の相違</p> <p>【大飯】記載表現の相違</p> <p>【大飯】記載表現の相違</p> <p>【大飯】記載表現の相違</p> <p>【大飯】記載表現の相違</p> <p>【大飯】記載表現の相違</p>

泊発電所3号炉 DB基準適合性 比較表

赤字：設備、運用又は体制の相違（設計方針の相違）
 青字：記載箇所又は記載内容の相違（記載方針の相違）
 緑字：記載表現、設備名称の相違（実質的な相違なし）

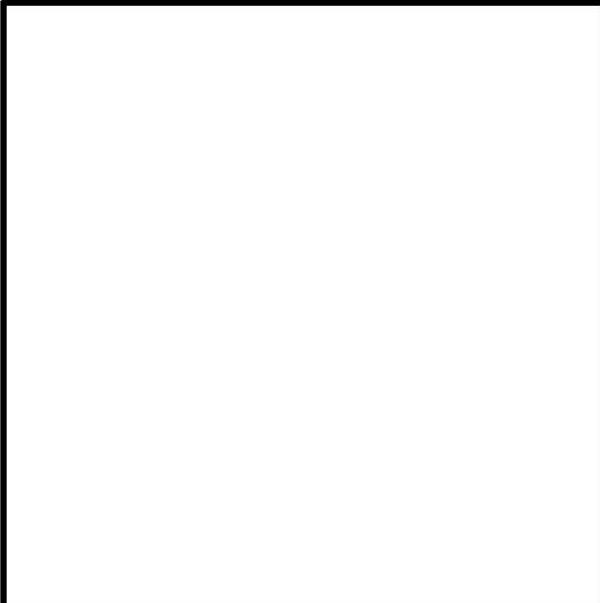
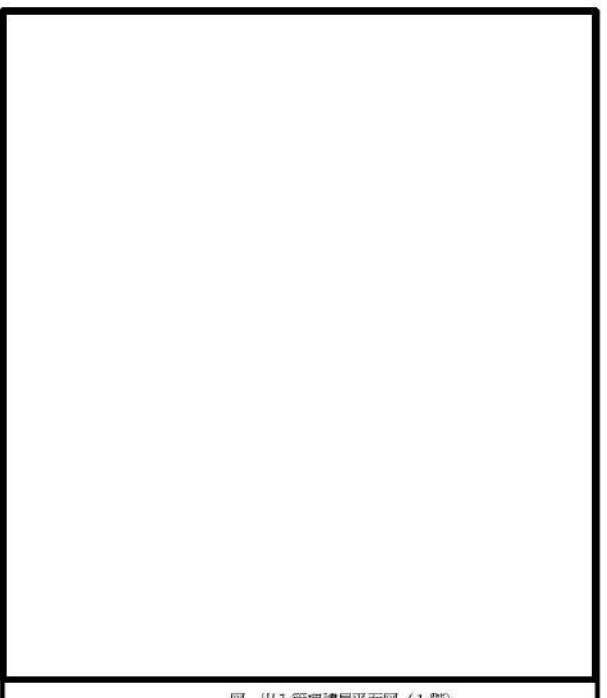
第6条 外部からの衝撃による損傷の防止（火山：別添資料1）

大飯発電所3／4号炉	女川原子力発電所2号炉	泊発電所3号炉	相違理由
<p>補足資料－13 13. 火山灰が降下した際の対応手順について</p> <p>火山灰が降下した際の対応については、「非常災害対策」「事故時操作」等に係る社内ルールを見直し、発電所を降灰予報範囲に含む「降灰予報」が発表された場合に、「警戒本部」を設置し、予防対策として、海水ポンプ、ディーゼル発電機等の安全施設に対する機能維持確認、その他屋外設備に対する状況確認、加えて中央制御室換気空調系の閉回路循環運転等の対応を行い、必要に応じて除灰を実施することとしている。</p> <p>火山灰の降灰が想定される場合の対応について、上述した対応手順の基本的な流れを以下に示す。</p> <pre> graph TD A[降灰予報 発表 (降灰確認時)] --> B[○警戒本部を設置 ○非常災害時の対策ルールにしたがい予防対策として特別点検実施 評価対象施設に対する降灰時の機能維持確認を実施(発電室当直) ・海水ポンプ ・主蒸気逃げ弁、主蒸気安全弁 ・ディーゼル発電機 ・排気筒 ・換気空調系の給気フィルタなど ・その他屋外設備の降灰時の状況確認、目視点検 必要に応じて除灰を実施(関係各課室) ・アクセスルートの除灰 ・重大事故等対処設備の除灰] B --> C[○機能異常が確認された場合には、原子炉施設保安規定の定めに したがい、必要な処置・対応を実施] C --> D[○発電室による日常巡回点検(既存ルール) ・降灰後の異常等の中長期影響については、直ちに出現しない ため、日々行われる日常巡回点検(外観点検・パラメータ確認) において異常が確認されれば、関係課室にて適宜処置がなされる] D --> E[中長期的対応] </pre> <p>図 火山灰が降下した際の基本的な手順の流れ</p> <p>以上</p>	<p>女川原子力発電所2号炉</p>	<p>補足資料－24 降下火砕物が降灰した際の対応手順について</p> <p>降下火砕物が降灰した際の対応については、「災害対策」「運転操作」等に係る社内ルールを見直し、発電所を降灰予報範囲に含む「降灰予報」が発令された場合に、「降灰対応体制」を発令し、予防対策として、原子炉補機冷却海水ポンプ、ディーゼル発電機等の安全施設に対する特別点検の実施、その他屋外設備、重大事故対処設備並びにアクセスルート等に対する状況確認、加えて中央制御室空調装置の閉回路循環運転等の対応を行い、必要に応じて除灰を実施することとしている。</p> <p>降下火砕物の降灰が想定される場合の対応について、上述した対応手順の基本的な流れを以下に示す。</p> <pre> graph TD A[降灰予報 発表 (降灰確認時)] --> B[○発電所対策本部を設置 ○降灰時の対応手順に従い予防対策として特別点検実施 評価対象施設に対する降灰時の機能維持確認を実施 ・原子炉補機冷却海水ポンプ ・主蒸気逃げ弁消音器、主蒸気安全弁排気管 ・ディーゼル発電機、制御用空気圧縮機 ・排気筒 ・換気空調設備のフィルタなど ・その他屋外設備の降灰時の状況確認、目視点検 必要に応じて除灰を実施 ・アクセスルートの除灰 ・重大事故等対処設備の除灰] B --> C[○機能異常が確認された場合には、原子炉施設保安規定の定めに したがい、必要な処置・対応を実施] C --> D[○発電室による日常巡回点検(既存ルール) ・降灰後の異常等の中長期影響については、直ちに出現しない ため、日々行われる日常巡回点検(外観点検・パラメータ確認) において異常が確認されれば、関係各課(室)にて適宜処置がなされる] D --> E[中長期的対応] </pre> <p>図 降下火砕物が降灰した際の基本的な手順の流れ</p> <p>以上</p>	<p>【女川】記載方針の相違 大飯審査実績の反映</p> <p>【大飯】記載表現の相違</p>

泊発電所3号炉 DB基準適合性 比較表

赤字：設備、運用又は体制の相違（設計方針の相違）
 青字：記載箇所又は記載内容の相違（記載方針の相違）
 緑字：記載表現、設備名称の相違（実質的な相違なし）

第6条 外部からの衝撃による損傷の防止（火山：別添資料1）

大飯発電所3／4号炉	女川原子力発電所2号炉	泊発電所3号炉	相違理由
<p>補足資料-15 1.5. 負圧管理箇所への火山灰の侵入影響について</p> <p>発電所における負圧管理箇所への火山灰の侵入の可能性について、以下のとおり検討した。</p> <p>負圧管理を行っている施設は1次系建屋であり、1次系建屋へは出入管理室を経由して入域することになる。</p> <p>下図のとおり、出入管理室から1次系建屋内への入域には、多重の扉を経由する構成となっており、負圧の影響により、火山灰が外気から直接侵入するおそれはない。</p>  <p>図 出入管理室平面図</p> <p>枠組みの範囲は機密に係る事項ですので公開することはできません。</p> <p>以上</p>		<p>補足資料-25 負圧管理箇所への降下火砕物の侵入影響について</p> <p>発電所における負圧管理箇所への降下火砕物の侵入の可能性について、以下のとおり検討した。</p> <p>負圧管理を行っている施設は放射線管理区域であり、放射線管理区域へは出入管理建屋を経由して入域することになる。</p> <p>下図のとおり、出入管理建屋から放射線管理区域への入域には、多重の扉を経由する構成となっており、負圧の影響により、降下火砕物が外気から直接侵入するおそれはない。</p>  <p>図 出入管理建屋平面図（1階）</p> <p>枠組みの内容は商業機密の観点から公開できません</p> <p>以上</p>	<p>【女川】記載方針の相違 大飯審査実績の反映 【大飯】記載表現の相違 【大飯】記載表現の相違</p> <p>【大飯】 泊は建屋毎での負圧管理ではないので、より適切な表現とした 【大飯】記載表現の相違</p>

泊発電所3号炉 DB基準適合性 比較表

第6条 外部からの衝撃による損傷の防止 (火山:別添資料1)

赤字: 設備、運用又は体制の相違 (設計方針の相違)
 青字: 記載箇所又は記載内容の相違 (記載方針の相違)
 緑字: 記載表現、設備名称の相違 (実質的な相違なし)

大飯発電所3／4号炉	女川原子力発電所2号炉	泊発電所3号炉	相違理由
<p>補足資料-16 1.6. 腐食による機能影響について</p> <p>「火山灰」が影響を与える防護対象施設と影響因子の組合せにおいて「腐食があっても、機能に有意な影響を受けにくい」とした設備については評価対象としていないが、その除外理由を以下に示す。</p> <p>1. 主蒸気逃がし弁消音器 主蒸気逃がし弁消音器は主蒸気逃がし弁動作時の排出蒸気を建屋外に排出する際に消音するために設置されており、屋外に露出した外装板等に堆積した火山灰により腐食した場合でも、消音機能は低下するものの主蒸気逃がし弁の噴出し機能としては影響がないため、評価対象より除外した。</p> <p>2. 主蒸気安全弁排気管 主蒸気安全弁排気管は主蒸気安全弁動作時の排出蒸気を建屋外に排出するための排気管であり、屋外に露出した部分が腐食した場合でも主蒸気安全弁の噴出し機能としては影響がないため、評価対象より除外した。 なお、排気管内に侵入した火山灰については排気管下部のドレン受け部での堆積が考えられるが、ドレン受け部は二重管構造となっており、排気管自体への影響は考えにくい。</p> <p>3. タービン動補助給水ポンプ蒸気大気放出管 タービン動補助給水ポンプ蒸気大気放出管には、タービン動補助給水ポンプ起動時の排気蒸気を屋外に排出するための排気管であり、屋外に露出した部分が腐食した場合でもタービン動補助給水ポンプの運転状態には影響はないため、評価対象より除外した。</p> <p>4. ディーゼル発電機の消音器 ディーゼル発電機の吸気及び排気消音器がタービン建屋屋外に設置されており、ディーゼル機関起動時の吸気音及び排気音を消音しているが、屋外に露出した部分が腐食した場合でも、消音機能は低下するもののディーゼル機関自体の機能には影響がないため、評価対象より除外した。</p> <p>5. 換気空調設備の給気系外気取入口 換気空調設備の外気取入口は、開口部の近い位置に金網を設置しており、その背後に平型フィルタを配置している。外気取入口は火山灰が侵入しにくい構造であること、また火山灰による腐食の影響を受けたとしても金網部の構造物であり、その腐食により脱落が発生したとしても平型フィルタの機能へ影響を与えるものではないことから、評価対象より除外した。</p>		<p>補足資料-26 腐食による機能影響について</p> <p>「降下火砕物」が影響を与える防護対象施設と影響因子の組合せにおいて「腐食があっても、機能に有意な影響を受けにくい」とした設備については評価対象としていないが、その除外理由を以下に示す。</p> <p>1. 主蒸気逃がし弁消音器 主蒸気逃がし弁消音器は主蒸気逃がし弁動作時の排出蒸気を建屋外に排出する際に消音するために設置されており、屋外に露出した外装板等に堆積した降下火砕物により腐食した場合でも、消音機能は低下するものの主蒸気逃がし弁の噴出し機能としては影響がないため、評価対象より除外した。</p> <p>2. 主蒸気安全弁排気管 主蒸気安全弁排気管は主蒸気安全弁動作時の排出蒸気を建屋外に排出するための排気管であり、屋外に露出した部分が腐食した場合でも主蒸気安全弁の噴出し機能としては影響がないため、評価対象より除外した。 なお、排気管内に侵入した降下火砕物については排気管下部のドレン受け部での堆積が考えられるが、ドレン受け部は二重管構造となっており、排気管自体への影響は考えにくい。</p> <p>3. タービン動補助給水ポンプ排気管 タービン動補助給水ポンプ排気管には、タービン動補助給水ポンプ起動時の排気蒸気を屋外に排出するための排気管であり、屋外に露出した部分が腐食した場合でもタービン動補助給水ポンプの運転状態には影響はないため、評価対象より除外した。</p> <p>4. ディーゼル発電機の消音器 ディーゼル発電機の排気消音器がディーゼル発電機建屋屋外に設置されており、ディーゼル機関起動時の排気音を消音しているが、屋外に露出した部分が腐食した場合でも、消音機能は低下するもののディーゼル機関自体の機能には影響がないため、評価対象より除外した。 また、ディーゼル発電機の吸気消音器は屋内に設置されており、腐食によるディーゼル発電機の機能に影響を及ぼすことはない。</p> <p>5. 換気空調設備外気取入口 換気空調設備の外気取入口は、開口部の近い位置に金網を設置しており、その背後に平型フィルタを配置している。外気取入口は降下火砕物が侵入しにくい構造であること、また降下火砕物による腐食の影響を受けたとしても金網部の構造物であり、その腐食により脱落が発生したとしても平型フィルタの機能へ影響を与えるものではないことから、評価対象より除外した。</p>	<p>【女川】記載方針の相違 大飯審査実績の反映</p> <p>【大飯】記載表現の相違</p> <p>【大飯】記載表現の相違</p> <p>【大飯】記載表現の相違</p> <p>【大飯】記載表現の相違</p> <p>【大飯】記載表現の相違</p> <p>【大飯】設計方針の相違 ・泊の吸気消音器は屋内に設置している</p> <p>【大飯】記載表現の相違</p>

赤字: 設備、運用又は体制の相違（設計方針の相違）
 青字: 記載箇所又は記載内容の相違（記載方針の相違）
 緑字: 記載表現、設備名称の相違（実質的な相違なし）

大飯発電所3／4号炉	女川原子力発電所2号炉	泊発電所3号炉	相違理由
以 上		なお、平型フィルタのフレームや支持枠等の構造物はSUS材等の耐食性のある材料を使用しており、腐食の影響を受けることは考えにくい。 以 上	

泊発電所3号炉 DB基準適合性 比較表

赤字：設備、運用又は体制の相違（設計方針の相違）
 青字：記載箇所又は記載内容の相違（記載方針の相違）
 緑字：記載表現、設備名称の相違（実質的な相違なし）

第6条 外部からの衝撃による損傷の防止（火山：別添資料1）

大飯発電所3／4号炉	女川原子力発電所2号炉	泊発電所3号炉	相違理由																				
<p>補足資料－17 1.7. 腐食の長期的影響に対する保守管理について</p> <p>屋外設備については、巡視点検による外観の点検を実施するとともに、定期的な塗替塗装を実施しており、腐食の長期的影響について適切に対応している。なお、塗替塗装周期については必要に応じて適切に見直しを行っている。以下に、巡視点検の頻度及び塗替塗装の周期を示す。</p> <p>表 巡視点検</p> <table border="1"> <thead> <tr> <th>項目</th><th>実施内容</th><th>頻度</th></tr> </thead> <tbody> <tr> <td>巡視点検</td><td>外観点検</td><td>1回／1日</td></tr> </tbody> </table> <p>表 塗替塗装</p> <table border="1"> <thead> <tr> <th>機器</th><th>塗替塗装周期</th></tr> </thead> <tbody> <tr> <td>海水ポンプ</td><td>1回／4定検</td></tr> <tr> <td>循環水ポンプ</td><td>1回／1定検</td></tr> <tr> <td>海水管</td><td>1回／1定検</td></tr> </tbody> </table> <p>火山灰による腐食が現れるまでの時間は、周囲の環境の影響等により一概には言えないが、「補足資料－5 火山灰の金属腐食研究について」に示すように、火山灰による腐食は自然環境に存在する火山灰よりも厳しい腐食条件においても表面厚さにして十数μmのオーダーの腐食であり、さらに実機においては塗装等により腐食を防止していることから、現状の巡視点検の頻度で発見し、必要に応じて塗替塗装等の対応が可能である。</p> <p>以上</p>	項目	実施内容	頻度	巡視点検	外観点検	1回／1日	機器	塗替塗装周期	海水ポンプ	1回／4定検	循環水ポンプ	1回／1定検	海水管	1回／1定検		<p>補足資料－27 腐食の長期的影響に対する保守管理について</p> <p>屋外設備については、巡視点検による外観の点検を実施しており、腐食の長期的影響について適切に対応している。なお、以下に、巡視点検の周期を示す。</p> <p>表 巡視点検</p> <table border="1"> <thead> <tr> <th>項目</th><th>実施内容</th><th>頻度</th></tr> </thead> <tbody> <tr> <td>巡視点検</td><td>外観点検</td><td>1回／1日</td></tr> </tbody> </table> <p>降下火砕物による腐食が現れるまでの時間は、周囲の環境の影響等により一概には言えないが、「補足資料－8 降下火砕物の金属腐食研究について」に示すように、降下火砕物による腐食は自然環境に存在する降下火砕物よりも厳しい腐食条件においても表面厚さにして十数μmのオーダーの腐食であり、さらに実機においては塗装等により腐食を防止していることから、現状の巡視点検の頻度で発見し、必要に応じて塗替塗装等の対応が可能である。</p> <p>以上</p>	項目	実施内容	頻度	巡視点検	外観点検	1回／1日	<p>【女川】記載方針の相違 大飯審査実績の反映</p> <p>【大飯】運用の相違 ・泊では原子炉補機冷却海水ポンプなどの重要安全施設が屋外にないため、必要に応じて都度塗替塗装等を実施することで対応している。</p> <p>【大飯】記載表現の相違</p> <p>【大飯】運用の相違</p>
項目	実施内容	頻度																					
巡視点検	外観点検	1回／1日																					
機器	塗替塗装周期																						
海水ポンプ	1回／4定検																						
循環水ポンプ	1回／1定検																						
海水管	1回／1定検																						
項目	実施内容	頻度																					
巡視点検	外観点検	1回／1日																					

泊発電所3号炉 DB基準適合性 比較表

赤字：設備、運用又は体制の相違（設計方針の相違）
 青字：記載箇所又は記載内容の相違（記載方針の相違）
 緑字：記載表現、設備名称の相違（実質的な相違なし）

第6条 外部からの衝撃による損傷の防止（火山：別添資料1）

大飯発電所3／4号炉	女川原子力発電所2号炉	泊発電所3号炉	相違理由																
補足資料-18 18. 灰置場について		補足資料-28 灰置場について	【女川】記載方針の相違 大飯審査実績の反映																
灰置場として、積み上げた火山灰が崩れるなど、発電所の重要安全施設やSA時に必要となるアクセスルートに影響を及ぼすことがないように、それらから離れ、かつ、低い場所にある放水口近傍のエリアを選定しており、除去した火山灰が灰置場に現実的に集積可能かどうか概略試算を行った。 図に示す範囲に仮に高さ約0.9mで集積した場合でも、その容量は約1,800m ³ となる。ここで、層厚10cmの火山灰を想定した場合、表のとおり火山灰の除去が必要となる施設の屋根部に堆積する火山灰の量は約1,700m ³ であり、灰置場として十分スペースが確保できるものと考えられる。		灰置場として、 積み上げた降下火災物が崩れる等 発電所の重要安全施設やSA時に必要となるアクセスルートに影響を及ぼすことがないように、 それらから離れ、かつ、低い場所にある放水口近傍のエリア を選定しており、 除去した降下火災物が灰置場に現実的に集積可能かどうか 概略試算を行った。 図1に示す範囲に高さ0.7mで集積した場合、その容量は51,800m ³ となる。ここで、層厚20cmの降下火碎物を想定した場合、表1のとおり降下火碎物の除去が必要となる施設の屋根部等に堆積する降下火碎物の量は2,332m ³ であることから、灰置場として十分な容量があると考えられる。																	
表 火山灰の除去が必要な施設の屋根部に堆積する火山灰の量		表1 降下火碎物の除去が必要な施設の屋根部等に堆積する降下火碎物の量																	
<table border="1"> <thead> <tr> <th>項目</th><th>建屋</th></tr> </thead> <tbody> <tr> <td>対象施設</td><td> <ul style="list-style-type: none"> 原子炉周辺建屋（3号機） 原子炉周辺建屋（4号機） 制御建屋 廃棄物処理建屋 </td></tr> <tr> <td>面積合計</td><td>約17,000m²</td></tr> <tr> <td>降灰量（層厚10cm）</td><td>約1,700m³</td></tr> </tbody> </table>	項目	建屋	対象施設	<ul style="list-style-type: none"> 原子炉周辺建屋（3号機） 原子炉周辺建屋（4号機） 制御建屋 廃棄物処理建屋 	面積合計	約17,000m ²	降灰量（層厚10cm）	約1,700m ³		<table border="1"> <thead> <tr> <th>項目</th><th>建屋</th></tr> </thead> <tbody> <tr> <td>対象施設</td><td> <ul style="list-style-type: none"> 原子炉建屋 原子炉補助建屋 ディーゼル発電機建屋 循環水ポンプ建屋 A1, A2, B1, B2-燃料油貯油槽 A1, A2, B1, B2-ディーゼル発電機燃料油貯油槽トレーナー </td></tr> <tr> <td>面積</td><td>約11,660m²</td></tr> <tr> <td>降灰量（層厚20cm）</td><td>2,332m³</td></tr> </tbody> </table>	項目	建屋	対象施設	<ul style="list-style-type: none"> 原子炉建屋 原子炉補助建屋 ディーゼル発電機建屋 循環水ポンプ建屋 A1, A2, B1, B2-燃料油貯油槽 A1, A2, B1, B2-ディーゼル発電機燃料油貯油槽トレーナー 	面積	約11,660m ²	降灰量（層厚20cm）	2,332m ³	
項目	建屋																		
対象施設	<ul style="list-style-type: none"> 原子炉周辺建屋（3号機） 原子炉周辺建屋（4号機） 制御建屋 廃棄物処理建屋 																		
面積合計	約17,000m ²																		
降灰量（層厚10cm）	約1,700m ³																		
項目	建屋																		
対象施設	<ul style="list-style-type: none"> 原子炉建屋 原子炉補助建屋 ディーゼル発電機建屋 循環水ポンプ建屋 A1, A2, B1, B2-燃料油貯油槽 A1, A2, B1, B2-ディーゼル発電機燃料油貯油槽トレーナー 																		
面積	約11,660m ²																		
降灰量（層厚20cm）	2,332m ³																		
図 大飯発電所の平面図 枠囲みの範囲は機密に係る事項ですので公開することはできません。		図1 泊発電所の平面図 枠囲みの内容は商業機密の観点から公開できません																	
以上																			

泊発電所3号炉 DB基準適合性 比較表

第6条 外部からの衝撃による損傷の防止 (火山:別添資料1)

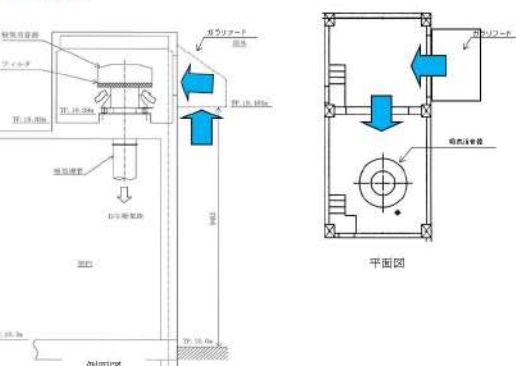
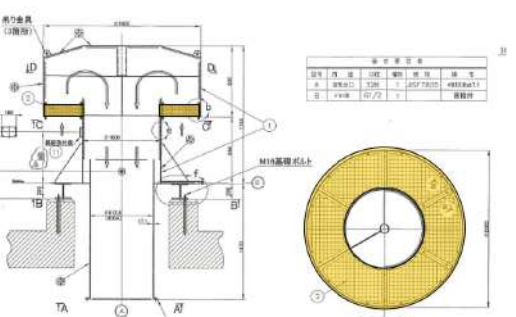
赤字: 設備、運用又は体制の相違 (設計方針の相違)
 青字: 記載箇所又は記載内容の相違 (記載方針の相違)
 緑字: 記載表現、設備名称の相違 (実質的な相違なし)

大飯発電所3／4号炉	女川原子力発電所2号炉	泊発電所3号炉	相違理由
<p>補足資料-23 2.3. アイスランド火山を用いる基本的考え方とセントヘレンズ火山による影響評価</p> <p>大飯3,4号機において、フィルタ閉塞の評価対象となる施設は、ディーゼル発電機吸気消音器のフィルタ、換気空調設備のフィルタ（外気取入口）が該当するが、ディーゼル発電機吸気消音器のフィルタについては屋外からの給気口が下向きに設置されており、降下火砕物が内部に侵入しにくい構造となっている。また、換気空調設備については降灰が確認された場合には外気取入口のダンバを閉止する運用としており、フィルタへの降下火砕物の付着を抑制できる設計となっている。</p> <p>この前提のもと、降下火砕物によるフィルタ閉塞に対する評価に当たっては、参考としてアイスランド南部エイヤヒャトラ氷河で発生(H22年4月)した火山噴火地点から約40km離れたヘイマラン地区において観測された大気中の降下火砕物濃度のピーク値、$3,241\mu\text{g}/\text{m}^3$を用いている。</p> <p>これは、</p> <ul style="list-style-type: none"> ①比較的規模が大きい噴火であること (VEI4以上) ②原子力施設が設置されている地表レベルで観測された降下火砕物の大気中濃度がデータとして存在すること <p>という条件に照らして、学会誌等の関係図書を確認したところ、上記のアイスランド南部のエイヤヒャトラ氷河で発生した大規模噴火における噴火口より約40km程度離れた地域での地表における大気中濃度を参照したものである。</p> <p>また、大飯発電所で想定する降下火砕物の給源となる火山については、大山等いずれも発電所から40km以遠にある（第四紀火山のうち発電所から最も近い火山は約67km離れた宝山である）ことから、参照したアイスランド火山の観測データは噴火口からより近距離の観測データである。</p> <p>なお、噴火口からの観測地点の距離が135kmであるセントヘレンズ火山噴火の観測データ（観測濃度 $33,400\mu\text{g}/\text{m}^3$）について、当該濃度による影響評価を以下のとおり行った。各施設のフィルタが閉塞するまでの時間は、ディーゼル発電機吸気消音器のフィルタで約1.7時間（約100分）、換気空調設備のフィルタで約3.3時間（約200分）となる。フィルタ交換に要する時間は最も時間を要するディーゼル発電機吸気消音器のフィルタでも、大飯発電所で実施した「ディーゼル発電機吸気消音器のフィルタ交換に係る実証試験結果」を踏まえると約0.4時間（約20分）以内で交換が可能である。換気空調設備のフィルタについても、より短時間で交換することが可能であり、セントヘレンズ火山の濃度を用いて評価を行った場合でも影響が生じることはない。詳細については、別添「ディーゼル発電機吸気消音器フィルタの交換作業について」に示す。</p> <p>なお、ディーゼル発電機吸気消音器は、屋外からの給気口が下向きに設置されており降下火砕物を吸い込みにくい構造としているが、上</p>	<p>補足資料-29 アイスランド火山を用いる基本的考え方とセントヘレンズ火山による影響評価について</p> <p>泊発電所3号炉において、■ フィルタ閉塞の評価対象となる施設は、■ ディーゼル発電機吸気消音器のフィルタ、■ 換気空調設備のフィルタ（外気取入口）が該当するが、■ ディーゼル発電機吸気消音器のフィルタについては、図1に示すとおり下からガラリ内に吸い上げ、さらにそのガラリ内に設置された吸入口から吸い込むため、降下火砕物が内部に侵入しにくい構造となっている。また、■ 換気空調設備については降灰が確認された場合には外気取入口のダンバを閉止する運用としており、■ フィルタへの降下火砕物の付着を抑制できる設計となっている。</p> <p>この前提のもと、■ 降下火砕物によるフィルタ閉塞に対する評価に当たっては、■ 参考としてアイスランド南部エイヤヒャトラ氷河で発生(H22年4月)した火山噴火地点から約40km離れたヘイマラン地区において観測された大気中の降下火砕物濃度のピーク値、■ $3,241\mu\text{g}/\text{m}^3$ を用いている。</p> <p>これは、</p> <ul style="list-style-type: none"> ①比較的規模が大きい噴火であること (VEI4以上) ②原子力施設が設置されている地表レベルで観測された降下火砕物の大気中濃度がデータとして存在すること <p>という条件に照らして、■ 学会誌等の関係図書を確認したところ、■ 上記のアイスランド南部のエイヤヒャトラ氷河で発生した大規模噴火における噴火口より約40km程度離れた地域での地表における大気中濃度を参照したものである。</p> <p>なお、■ 噴火口からの観測地点の距離が135kmであるセントヘレンズ火山噴火の観測データ（観測濃度 $33,400\mu\text{g}/\text{m}^3$）について、当該濃度による影響評価を以下のとおり行った。各施設のフィルタが閉塞するまでの時間は、■ ディーゼル発電機吸気消音器のフィルタで約1.8時間、■ 換気空調設備のフィルタで約3.4時間となる。フィルタ交換に要する時間については、ディーゼル発電機の吸気フィルタは6つに分割されており、フィルタ交換には複雑な作業が必要ないことから、要員3名で40分程度を見込んでいる。</p> <p>なお、■ ディーゼル発電機吸気消音器は、■ 下からガラリ内に吸い上げ、さらにそのガラリ内に設置された吸入口から吸い込むため、降下火砕物を吸い込みにくい構造としているが、上</p>	<p>【女川】 記載方針の相違 ・大飯審査実績の反映</p> <p>【大飯】 プラント名称の相違</p> <p>【大飯】 設備仕様の相違</p> <p>【大飯】 評価結果の相違</p> <p>【大飯】 記載方針の相違</p> <p>泊は定期検査時の作業経験から時間を算出しており、大飯のような実証試験は実施していない</p> <p>【大飯】 設備仕様の相違</p>	

泊発電所3号炉 DB基準適合性 比較表

赤字：設備、運用又は体制の相違（設計方針の相違）
 青字：記載箇所又は記載内容の相違（記載方針の相違）
 緑字：記載表現、設備名称の相違（実質的な相違なし）

第6条 外部からの衝撃による損傷の防止（火山：別添資料1）

大飯発電所3／4号炉	女川原子力発電所2号炉	泊発電所3号炉	相違理由
<p>記試算では、こうした点を考慮せず、しかも大気中を降下・浮遊する火碎物の粒子が、粒径にかかわらず、大気中濃度のまますべて吸い込まれてフィルタに捕集されることを前提とした計算となっているため、実際には吸気フィルタが閉塞するまでの時間にはさらに余裕があると考えられること、さらに、換気空調設備のフィルタに関しては、フィルタを通過する降下火碎物は細かな微細粒子ではあるが、降下火碎物が建屋内へ侵入することを抑制するため、降灰が確認された時点で空調停止やダンパ閉止の運用により影響防止を図ることとしており、機能に影響を及ぼすことはないと考える。</p> <p style="text-align: center;">以上</p>		<p>物を吸い込みにくい構造としているが、上記試算では、こうした点を考慮せず、しかも大気中を降下・浮遊する火碎物の粒子が、粒径にかかわらず、大気中濃度のまますべて吸い込まれてフィルタに捕集されることを前提とした計算となっているため、実際には吸気フィルタが閉塞するまでの時間にはさらに余裕があると考えられること、さらに、換気空調設備のフィルタに関しては、フィルタを通過する降下火碎物は細かな微細粒子ではあるが、降下火碎物が建屋内へ侵入することを抑制するため、降灰が確認された時点で空調停止やダンパ閉止の運用により影響防止を図ることとしており、機能に影響を及ぼすことはないと考える。</p>  <p>図1 泊発電所のディーゼル発電機吸気ガラリ</p>  <p>図2 泊発電所のディーゼル発電機の吸気消音器と吸気フィルタ</p> <p style="text-align: center;">以上</p>	

泊発電所3号炉 DB基準適合性 比較表

赤字：設備、運用又は体制の相違（設計方針の相違）
 青字：記載箇所又は記載内容の相違（記載方針の相違）
 緑字：記載表現、設備名称の相違（実質的な相違なし）

第6条 外部からの衝撃による損傷の防止（火山：別添資料1）

大飯発電所3／4号炉	女川原子力発電所2号炉	泊発電所3号炉	相違理由
<p>別添</p> <p>ディーゼル発電機吸気消音器フィルタの交換作業について</p> <p>セントヘレンズ火山噴火の観測データ（観測濃度 $33,400 \mu\text{g}/\text{m}^3$）による大飯3、4号機のディーゼル発電機の吸気消音器フィルタへの影響について、ディーゼル発電機の運転機能に影響を与えることなく、準備作業も含めたフィルタの交換に係る全体の作業時間の成立性について以下に示す。</p> <p>1. 評価に当たっての前提条件</p> <p>(1) ディーゼル発電機の運転状態を考慮した評価ケース</p> <p>①ディーゼル発電機は2台設置されており、通常の場合には機器を切り替えてフィルタの交換作業を行うため、ディーゼル発電機を切り替えてフィルタの交換を行うケースについて作業時間の影響を評価する。なお、外部電源喪失時には2台自動起動するが、必要な負荷は1台で確保できることから降灰時には1台を停止する。</p> <p>②機器の切り替えができない非常時の場合に、運転中のディーゼル発電機でフィルタを交換するケースについて作業時間の影響を評価する。</p> <p>(2) 給源火山の噴火から降灰の到達時間</p> <p>大飯発電所において給源火山の対象としている大山火山（大飯発電所から約 190km）が噴火した後、保守的に当該地域の最大風速約 $60\text{m}/\text{s}$ でそのまま火山灰が飛散すると仮定して試算した場合、約1時間程度で発電所に到達する可能性があることから、火山の噴火から大飯発電所で降灰が開始する最短時間を約1時間とする。</p> <p>(3) ディーゼル発電機吸気消音器フィルタの交換に係る準備作業</p> <p>大山火山で発電所に降灰が生じるような大規模噴火が発生した場合、降灰予報（5～10分程度）が発信されるため、速やかに発電所内に対応本部を設置し、直ちに以下の作業準備に着手することとしており、上記（2）で示した保守的に設定した最短時間1時間以内での事前準備は可能である。</p> <p>①交換用のフィルタ、マスク、脚立、工具等の事前準備（20～30分程度）</p> <p>構内の保管庫からディーゼル発電機吸気消音器室への搬入</p> <p>なお、万全を期して、フィルタの交換作業に直ちに着手できるよう、脚立や工具は現地に常備することとする。</p> <p>(4) フィルタ交換作業に係る所要時間</p> <p>①発電所におけるフィルタ交換実証試験</p> <p>（参考資料「ディーゼル発電機吸気消音器のフィルタ交換に係る実証試験結果」参照）</p> <p>大飯発電所のディーゼル発電機吸気消音器室は屋内であるが、降灰中のより厳しい作業環境を模擬して、酸素吸入器（ボンベ・全面マスク）、ヘッドライト等を装備した状態でフィルタ交換に係る実証試験を実施し、5分割されたフィルタを順次取り替え、全て取り替えを終えるまでに13分で完了することが確認できた。</p>			

泊発電所3号炉 DB基準適合性 比較表

赤字：設備、運用又は体制の相違（設計方針の相違）
 青字：記載箇所又は記載内容の相違（記載方針の相違）
 緑字：記載表現、設備名称の相違（実質的な相違なし）

第6条 外部からの衝撃による損傷の防止（火山：別添資料1）

大飯発電所3／4号炉	女川原子力発電所2号炉	泊発電所3号炉	相違理由
<p>ディーゼル発電機の吸気消音器は、建屋内の吸気消音器室内に設置されており、また屋外から空気を取り込む給気口は吸気消音器のある場所から上方20m程度離れた位置にあり、屋外を降灰する火山灰がそのまま室内に侵入することは考えにくいが、ここでは実際に火山灰が存在する状態ではさらに作業効率が低下するものと仮定し、安全側にトータルの交換時間を20分以内と想定する。</p> <p>なお、ディーゼル発電機1台のフィルタ交換に必要な作業員4人、別途並行して実施するフィルタ清掃^(※)を行う作業員2人の計6名の人員が必要となるが、要員の確保が厳しい夜間・休日の場合においても、発電所に常駐している緊急安全対策要員によって対応が可能であり、作業員の確保に影響が生じることはない。</p> <p>(※) フィルタは金属性であり破損することがないため、付着した火山灰を清掃することができる。なお、火山灰がフィルタに付着しても重量はそれほど増えない（最大3kg程度）ため取り扱いに影響することもない。</p> <p>(5) ディーゼル発電機の運転機能に対する裕度</p> <p>①ディーゼル発電機は、エンジンの燃焼に必要な空気量の2倍以上の空気を吸気し、エンジンの燃焼に必要以上の空気は機関の冷却に利用している。このため、吸気が減少してくると、機関の冷却に使われる空気が減少し排気温度が上昇することとなる。さらに吸気量が減少し、仮に通常時の半分程度まで吸気量が減少したとすると出力に影響が生じ始める可能性がある。</p> <p>②外部電源喪失時に自動的に起動する負荷は、ディーゼル発電機の定格容量である7100kWに対し4900kWであり、外部電源喪失時にディーゼル発電機に求められる負荷容量は定格容量に対し7割程度であり、燃焼に必要な空気量は出力に比例すると考えられることからディーゼル発電機に必要な空気量は負荷容量に応じて減少し、仮に吸気量が半分程度に減少しても燃焼に必要な空気量にはまだ余裕がある。</p> <p>③ディーゼル発電機は、燃焼に必要な空気量の2倍以上の空気を吸気していること、また必要な出力に対してもさらに3割程度の裕度があることから、保守的な想定における閉塞時間100分に対して、単純に吸気量が半分程度に減少すると想定される50分程度までは、少なくともディーゼル発電機の運転機能に影響が生じることはないことから、当該時間50分をディーゼル発電機の機能維持の観点から評価する目安時間として想定する。</p> <p>2. フィルタの交換に係る影響評価</p> <p>(1) ディーゼル発電機を切り替えて停止中にフィルタの交換を行うケース</p> <p>降灰時には、ディーゼル発電機の吸気消音器室内での降灰の監視、並びに運転員による排気温度の監視を強化し、吸気消音器室内での降灰の確認、もしくは排気温度の上昇傾向等の兆候が確認された時点で、直ちにもう1台のディーゼル発電機を起動し、フィルタを交換する起動中のディーゼル発電機を停止（切り替えに要する時間は10分程度）次第、フィルタ交換作業に着手し5分割のフィルタを1枚ずつ順次</p>			

泊発電所3号炉 DB基準適合性 比較表

赤字：設備、運用又は体制の相違（設計方針の相違）
 青字：記載箇所又は記載内容の相違（記載方針の相違）
 緑字：記載表現、設備名称の相違（実質的な相違なし）

第6条 外部からの衝撃による損傷の防止（火山：別添資料1）

大飯発電所3／4号炉	女川原子力発電所2号炉	泊発電所3号炉	相違理由
<p>交換する。</p> <p>この場合、評価の目安時間となる50分に対して、ディーゼル発電機の切り替え時間10分に加え、交換時間20分のトータル30分でフィルタを交換することができ、ディーゼル発電機の運転機能に影響を与えることなくフィルタの交換作業を実施することが可能である。火山灰の降灰中は、排気温度の上昇傾向等を確認しながら上記の交換作業を繰り返すことになる。なお、フィルタ閉塞評価については保守的に大気中の火山灰ピーク濃度が継続する前提で評価して安全性を確認している。</p> <p>(2) 運転中のディーゼル発電機でフィルタの交換を行うケース</p> <p>① (1)と同様に、ディーゼル発電機の吸気消音器室内での降灰の監視、並びに運転員による排気温度の監視を強化し、フィルタへの火山灰の付着または排気温度の上昇傾向等の兆候が確認された時点で、直ちにディーゼル発電機を切り替えフィルタ交換作業に着手するが、運転中のディーゼル発電機のフィルタ交換作業についても、5分割のフィルタを1枚ずつ交換しディーゼル発電機の運転を継続しながら順次交換作業を繰り返し実施することになる。なお、必要な吸気はフィルタを外した部位から優先的に吸気されるため、エンジンの燃焼に必要な空気量を確保しながら交換することができる。</p> <p>したがって、兆候が確認され次第、直ちに交換作業に着手し、評価の目安時間となる50分に対して20分で全てのフィルタを交換することができ、かつフィルタを交換しながら吸気も確保できることから、ディーゼル発電機の運転機能に影響を与えることなくフィルタの交換作業を実施することができる。火山灰の降灰中は、排気温度の上昇傾向等を確認しながら上記の交換作業を繰り返すことになる。なお、フィルタ閉塞評価については保守的に大気中の火山灰ピーク濃度が継続する前提で評価して安全性を確認している。</p> <p>②ディーゼル発電機のフィルタ交換に係る実証試験では、5分割されたフィルタ1枚の交換時間は数分程度で実施できることが確認されており、一時的ではあるが一部フィルタのない状態で運転することでディーゼル発電機の機関内にフィルタのメッシュより大きな1mm以下の火山灰が混入した場合を想定する必要があるが、以下に示すとおり、フィルタより小さな火山灰が機関内に混入した場合と同様に影響が生じることはない。</p> <ul style="list-style-type: none"> ・ディーゼル発電機吸気消音器を通過した火山灰は過給機及び機間に到達するが、いずれも磨耗に強い鉄であること、また火山灰は比較的脆く破碎しやすいことから、過給機及び機間において摺動運動が繰り返されるごとに細かな粒子に粉碎され、排気ガスとして排出されるため、混入した火山灰粒子によるディーゼル発電機の機能に影響を与えることはない。 <p>3.まとめ</p> <p>(1) 準備作業の成立性</p> <p>想定する大山火山の噴火発生から最短1時間程度で降灰が発電所に到達する可能性があるが、降灰予報の発表後、直ちに対応体制が構築</p>			

泊発電所 3号炉 DB基準適合性 比較表

赤字：設備、運用又は体制の相違（設計方針の相違）
 青字：記載箇所又は記載内容の相違（記載方針の相違）
 緑字：記載表現、設備名称の相違（実質的な相違なし）

第6条 外部からの衝撃による損傷の防止（火山：別添資料1）

大飯発電所3／4号炉	女川原子力発電所2号炉	泊発電所3号炉	相違理由
<p>され、必要な資機材の準備も含めて30～40分程度で対応準備が可能であり、準備作業が与える時間的影響はない。</p> <p>(2) フィルタ交換作業の時間的成立性</p> <p>ディーゼル発電機を切り替えて停止中にフィルタ交換を行うケース、また運転中のディーゼル発電機でフィルタの交換を行うケースいずれの場合でも、ディーゼル発電機の機能維持の観点から想定される目安時間50分（閉塞時間の半分）に対して、兆候の確認から20分以内で交換することが可能であり、ディーゼル発電機の運転機能に影響を与えることなく対応することが可能である。</p> <p>【参考資料】 ディーゼル発電機吸気消音器のフィルタ交換に係る実証試験結果</p> <p style="text-align: center;">参考資料 ディーゼル発電機吸気消音器のフィルタ交換に係る実証試験結果</p> <p>1. 実証試験日時 平成28年12月12日（月） 14時00分～15時00分</p> <p>2. 実証試験場所 大飯発電所4号機 Bディーゼル発電機 吸気消音器室</p> <p>3. 作業人員 4名</p> <p>4. 実証試験結果 トータル時間13分で全てのフィルタ交換作業を完了することができた。</p> <p>5. その他 試験に当たっては、外部電源喪失時の照明状況（照明消灯）、並びに降灰時の作業環境も考慮して、ヘッドライト、酸素ボンベ、全面マスク、ヘルメットを装着して交換作業を実施した。 なお、吸気消音器室への現場召集時間、作業工具や脚立等の準備時間は、上記時間には含まれていない。</p> <p>【添付資料】ディーゼル発電機吸気消音器フィルタ交換に係る実証試験の状況</p> <p style="text-align: center;">以 上</p>			

泊発電所 3号炉 DB基準適合性 比較表

赤字：設備、運用又は体制の相違（設計方針の相違）
 青字：記載箇所又は記載内容の相違（記載方針の相違）
 緑字：記載表現、設備名称の相違（実質的な相違なし）

第6条 外部からの衝撃による損傷の防止（火山：別添資料1）

大飯発電所3／4号炉	女川原子力発電所2号炉	泊発電所3号炉	相違理由
<p>添付</p> <p>【検証試験の実施条件】</p> <p>ディーゼル発電機吸気消音器フィルタ交換に係る実証試験の状況①</p> <ul style="list-style-type: none"> △ 消音器フィルタ室の照明は常用電源から受電していることから、全交流電源喪失時を想定し、照明を消しLTL状態で実施 △ ベリーライトのみで交換作業を実施 △ ヘルメットのベリーライトのみで、酸素ボンベ、全面マスク、ヘルメットを装着して交換作業を実施 △ 交換要員は4名で実施 			

泊発電所 3号炉 DB基準適合性 比較表

赤字：設備、運用又は体制の相違（設計方針の相違）
 青字：記載箇所又は記載内容の相違（記載方針の相違）
 緑字：記載表現、設備名称の相違（実質的な相違なし）

第6条 外部からの衝撃による損傷の防止（火山：別添資料1）

大飯発電所3／4号炉	女川原子力発電所2号炉	泊発電所3号炉	相違理由
<p>ディーゼル発電機吸気消音器フィルタ交換に係る実証試験の状況②</p> <p>【フィルタ交換開始】</p> <p>No.1 [旧] フィルタ取外、新[ルバ取付] 経過時間：0分</p>  <p>No.2 [旧] フィルタ取外、新[ルバ取付] 経過時間：6分 [No.2] フィルタ交換完了</p>  <p>No.3 [旧] フィルタ取外、新[ルバ取付] 経過時間：4分 [No.1] フィルタ交換完了</p>  <p>No.4 [旧] フィルタ取外、新[ルバ取付] 経過時間：4分 [No.4] フィルタ交換完了</p>  <p>No.5 [旧] フィルタ取外、新[ルバ取付] 経過時間：13分 [No.5] フィルタ交換完了</p>  <p>※部屋の照明は消れた状態。なお、カーテン影においてはラフカを使用。</p>			

泊発電所 3号炉 DB基準適合性 比較表

赤字	設備、運用又は体制の相違（設計方針の相違）
青字	記載箇所又は記載内容の相違（記載方針の相違）
緑字	記載表現、設備名称の相違（実質的な相違なし）

第6条 外部からの衝撃による損傷の防止（火山：別添資料1）

ディーゼル発電機吸気消音器フィルタ交換に係る対応イメージ

The diagram illustrates the timeline and sequence of events for the filter replacement:

- Event Timeline:**
 - At 0 minutes, the fire alarm sounds.
 - At 30 minutes, the operator arrives at the power plant.
 - At 20 minutes after arrival, the operator reaches the site of the faulty filter.
 - At 13 minutes after arrival, the filter is replaced.
 - At 140 minutes, the filter is confirmed to be in place.
- Annotations:**
 - A red arrow points from the fire alarm sound to the arrival of the operator.
 - A blue arrow points from the operator's arrival to the replacement of the faulty filter.
 - A green arrow points from the filter replacement to the confirmation of the new filter.

The diagram illustrates the timeline and sequence of events for the filter replacement:

- Event Timeline:**
 - At 0 minutes, the faulty filter is identified.
 - At 20 minutes, the filter is replaced.
 - At 13 minutes, the filter is confirmed to be in place.
- Annotations:**
 - A red arrow points from the faulty filter identification to the replacement.
 - A green arrow points from the replacement to the confirmation of the new filter.

大飯発電所3／4号炉	女川原子力発電所2号炉	泊発電所3号炉	相違理由
	<p>光候が確認された時点で、直方にフルク交換を判断し 作業に着手後、約5分後には、1枚（全部で5枚） の交換が完了し、吸気ルートが確保できる。 また、約1.3分で5枚全てのフルク交換が完了した。 【作業環境を模擬したフルク交換実証試験実績より】</p> <p>海灰予報受信後、降灰状況並び に降灰量を監視し、屋内への降 灰もしくは排湯水の昇降傾向等 の状況を確認された時点と直ちに フルク交換を判断</p>		

泊発電所3号炉 DB基準適合性 比較表

赤字：設備、運用又は体制の相違（設計方針の相違）
 青字：記載箇所又は記載内容の相違（記載方針の相違）
 緑字：記載表現、設備名称の相違（実質的な相違なし）

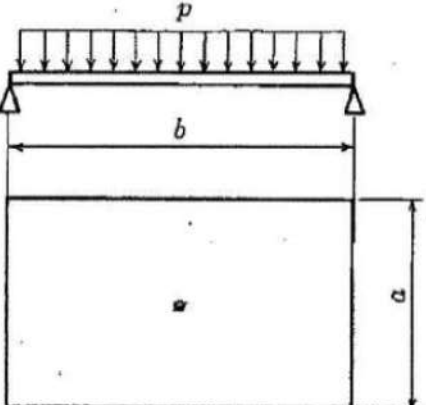
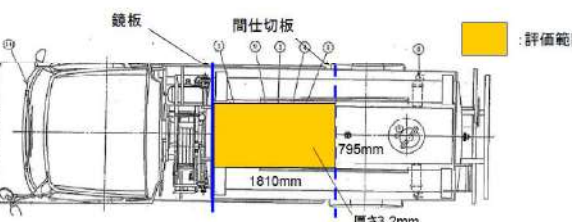
第6条 外部からの衝撃による損傷の防止（火山：別添資料1）

大飯発電所3／4号炉	女川原子力発電所2号炉	泊発電所3号炉	相違理由														
<p style="color: red;">補足資料-21 2.1. タンクローリーへの荷重による影響について</p> <p>火山灰によるタンクローリーへの荷重影響について以下に示す。</p> <p>タンクローリーについては、屋根部に堆積した火山灰と積雪を除去することも可能であるが、上部に火山灰と積雪が堆積した状態で、タンク室の支持されている最も面積が大きい防護枠に囲まれた範囲に対する荷重の影響を確認する。</p> <p>ここではタンク室を平板と仮定し、等分布荷重が作用する4辺支持平板とする。また、モデル化範囲は中間部に間仕切板があるため、間仕切板を支持点と考え、ストレート部から間仕切板までとする。（下図の色塗り範囲）</p> <p>(1) 荷重条件</p> <ul style="list-style-type: none"> 火山灰と積雪の想定堆積荷重 : $4500(\text{N}/\text{cm}^2) = 4.50 \times 10^{-3} (\text{N}/\text{mm}^2)$ 平板の自重 : $7.85 \times 10^{-6}(\text{kg}/\text{mm}^3)^* \times 3.2(\text{mm}) = 2.46 \times 10^{-4} (\text{N}/\text{mm}^2)$ 評価荷重 : $4.50 \times 10^{-3} (\text{N}/\text{mm}^2) + 2.46 \times 10^{-4} (\text{N}/\text{mm}^2) = 4.75 \times 10^{-3} (\text{N}/\text{mm}^2)$ <p>(※) JIS G 3113 「自動車構造用熱間圧延鋼板及び鋼帯」に基づく</p> <p>(2) 評価結果</p> <p>等分布荷重の4辺支持条件の最大曲げ応力は以下の式となる。</p> $\sigma_{\max} = \beta_1 \frac{pa^2}{h^2} \quad (\text{機械工学便覧より})$ <p>β_1 : 長方形板の最大応力の係数（機械工学便覧より = 0.67） p : 等分布荷重 ($= 4.36 \times 10^{-3} \text{ N}/\text{mm}^2$) a : 短辺の長さ（防護枠の幅 = 795mm) h : 板厚 (= 3.2mm)</p> $\sigma_{\max} = 0.67 \times \frac{4.75 \times 10^{-3} \times 795^2}{3.2^2} = 197(\text{MPa})$ <p>評価部位における算出応力と許容応力を下表に示す。</p> <p>表 代表部位に対する評価結果</p> <table border="1"> <thead> <tr> <th>評価部位</th> <th>材料</th> <th>応力の種類</th> <th>算出応力 (MPa)</th> <th>許容応力[†] (MPa)</th> <th>裕度</th> <th>結果</th> </tr> </thead> <tbody> <tr> <td>タンク室</td> <td>SAPH400</td> <td>曲げ応力</td> <td>197</td> <td>255</td> <td>1.2</td> <td>○</td> </tr> </tbody> </table> <p>(※) 弾性範囲内を許容限度とし、当該材質のJIS記載の降伏点又は耐力(JISMEのSyに相当)を用いた。</p>	評価部位	材料	応力の種類	算出応力 (MPa)	許容応力 [†] (MPa)	裕度	結果	タンク室	SAPH400	曲げ応力	197	255	1.2	○			<p>【大飯】記載方針の相違</p> <ul style="list-style-type: none"> ・大飯は間接的影響評価にてタンクローリーによる燃料補給をおこなうことから資料を作成
評価部位	材料	応力の種類	算出応力 (MPa)	許容応力 [†] (MPa)	裕度	結果											
タンク室	SAPH400	曲げ応力	197	255	1.2	○											

泊発電所 3号炉 DB基準適合性 比較表

赤字：設備、運用又は体制の相違（設計方針の相違）
 青字：記載箇所又は記載内容の相違（記載方針の相違）
 緑字：記載表現、設備名称の相違（実質的な相違なし）

第6条 外部からの衝撃による損傷の防止（火山：別添資料1）

大飯発電所3／4号炉	女川原子力発電所2号炉	泊発電所3号炉	相違理由
 図 4辺支持平板の評価モデル  図 評価対象範囲 以上			

赤字：設備、運用又は体制の相違（設計方針の相違）
 青字：記載箇所又は記載内容の相違（記載方針の相違）
 緑字：記載表現、設備名称の相違（実質的な相違なし）

第6条 外部からの衝撃による損傷の防止（火山：別添資料2）

泊発電所3号炉 技術的能力 比較表

大飯発電所3／4号炉	女川原子力発電所2号炉	泊発電所3号炉	相違理由
<p>別添2</p> <p>大飯発電所3号炉及び4号炉 技術的能力説明資料 (火山に対する防護)</p>	<p>別添資料2</p> <p>女川原子力発電所 2号炉 運用、手順説明資料 外部からの衝撃による損傷の防止 (火山)</p>	<p>泊発電所3号炉 運用、手順説明資料 外部からの衝撃による損傷の防止 (火山)</p>	<p>別添2</p> <p>【大飯、女川】 プラント名称の相違 【大飯】 資料名称の相違</p>

泊発電所3号炉 技術的能力 比較表

赤字：設備、運用又は体制の相違（設計方針の相違）
 青字：記載箇所又は記載内容の相違（記載方針の相違）
 緑字：記載表現、設備名称の相違（実質的な相違なし）

第6条 外部からの衝撃による損傷の防止（火山：別添資料2）

大飯発電所3／4号炉	女川原子力発電所2号炉	泊発電所3号炉	相違理由
<p>安全施設は、想定される自然現象（地震及び津波を除く。次項において同じ。）が発生した場合においても安全機能を損なわないものでなければならない。</p> <p>2 重要安全施設は、当該重要安全施設に大きな影響を及ぼすおそれがあると想定された自然現象により当該重要安全施設に作用する衝撃及び設計基準事故時に生ずる応力を適切に考慮したものでなければならない。</p> 	<p>安全施設は、想定される自然現象（地震及び津波を除く。次項において同じ。）が発生した場合においても安全機能を損なわないものでなければならない。</p> <p>2 重要安全施設は、当該重要安全施設に大きな影響を及ぼすおそれがあると想定された自然現象により当該重要安全施設に作用する衝撃及び設計基準事故時に生ずる応力を適切に考慮したものでなければならない。</p>	<p>安全施設（兼用キャスクを除く。）は、想定される自然現象（地震及び津波を除く。次項において同じ。）が発生した場合においても安全機能を損なわないものでなければならない。</p> <p>2 重要安全施設は、当該重要安全施設に大きな影響を及ぼすおそれがあると想定された自然現象により当該重要安全施設に作用する衝撃及び設計基準事故時に生ずる応力を適切に考慮したものでなければならない。</p>	<p>【大飯】 記載方針の相違 ・女川審査実績の反映</p>
<p>安全施設（兼用キャスクを除く。）は、想定される自然現象（地震及び津波を除く。次項において同じ。）が発生した場合においても安全機能を損なわないものでなければならない。</p> <p>2 重要安全施設は、当該重要安全施設に大きな影響を及ぼすおそれがあると想定された自然現象により当該重要安全施設に作用する衝撃及び設計基準事故時に生ずる応力を適切に考慮したものでなければならない。</p>	<p>安全施設（兼用キャスクを除く。）は、想定される自然現象（地震及び津波を除く。次項において同じ。）が発生した場合においても安全機能を損なわないものでなければならない。</p> <p>2 重要安全施設は、当該重要安全施設に大きな影響を及ぼすおそれがあると想定された自然現象により当該重要安全施設に作用する衝撃及び設計基準事故時に生ずる応力を適切に考慮したものでなければならない。</p>	<p>安全施設（兼用キャスクを除く。）は、想定される自然現象（地震及び津波を除く。次項において同じ。）が発生した場合においても安全機能を損なわないものでなければならない。</p> <p>2 重要安全施設は、当該重要安全施設に大きな影響を及ぼすおそれがあると想定された自然現象により当該重要安全施設に作用する衝撃及び設計基準事故時に生ずる応力を適切に考慮したものでなければならない。</p>	<p>【大飯】 記載方針の相違 ・女川審査実績の反映</p>

自発電所 3号炉 技術的能力 比較表

赤字：設備、運用又は体制の相違（設計方針の相違）
青字：記載箇所又は記載内容の相違（記載方針の相違）
緑字：記載表現、設備名称の相違（実質的な相違なし）

第6条 外部からの衝撃による損傷の防止（火山：別添資料2）

相違理由

【大飯、女川】
運用の相違
・泊は降下火砕物の除灰（建屋等）、フィルタの清掃・取替及び中央制御室空調設備閉回路循環運転に加え、原子炉補機冷却海水ポンプ出口ストレーナ清掃及び開閉所碍子清掃等の手順を定めている。

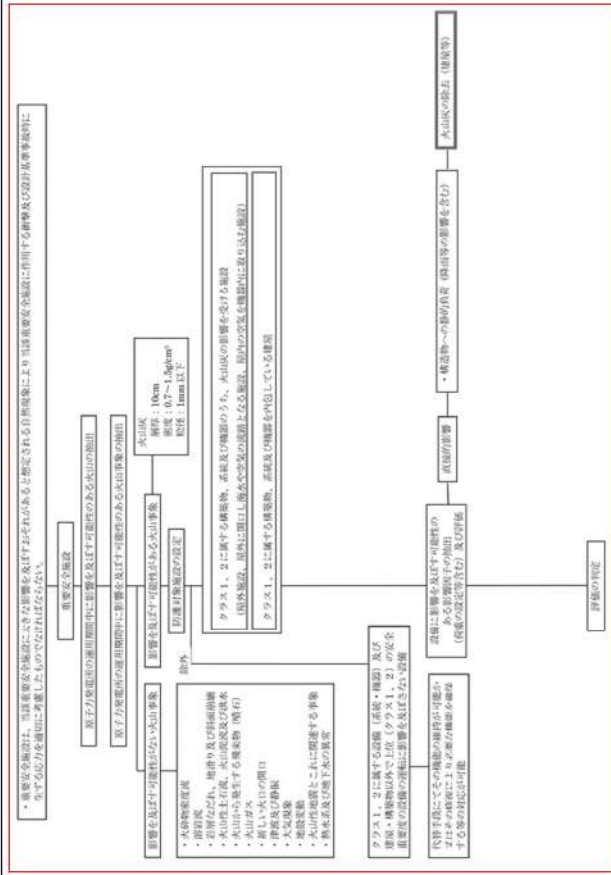
大飯発電所3／4号炉 女川原子力発電所2号炉 泊発電所3号炉

自発電所 3号炉 技術的能力 比較表

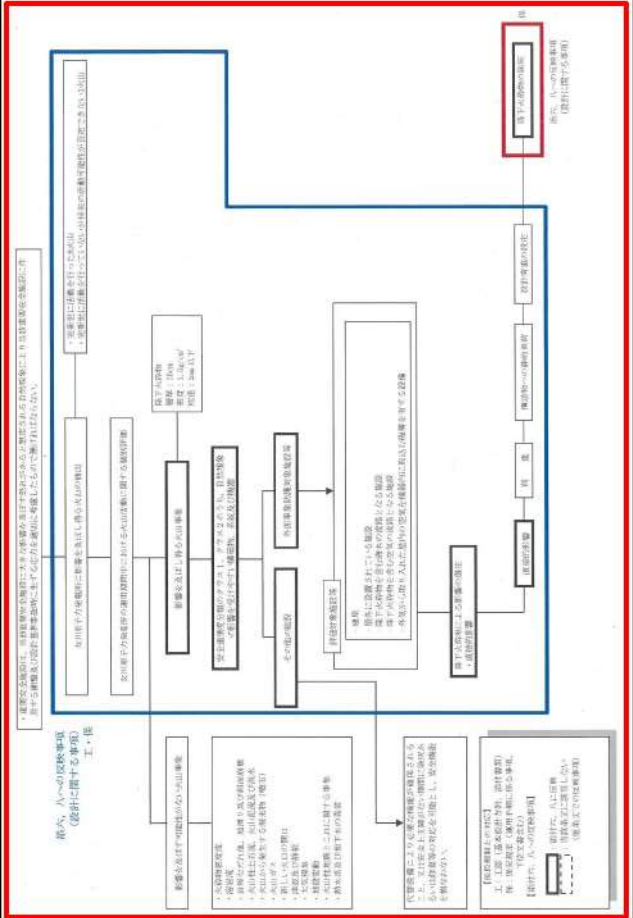
赤字：設備、運用又は体制の相違（設計方針の相違）
青字：記載箇所又は記載内容の相違（記載方針の相違）
緑字：記載表現、設備名称の相違（実質的な相違なし）

第6条 外部からの衝撃による損傷の防止（火山：別添資料2）

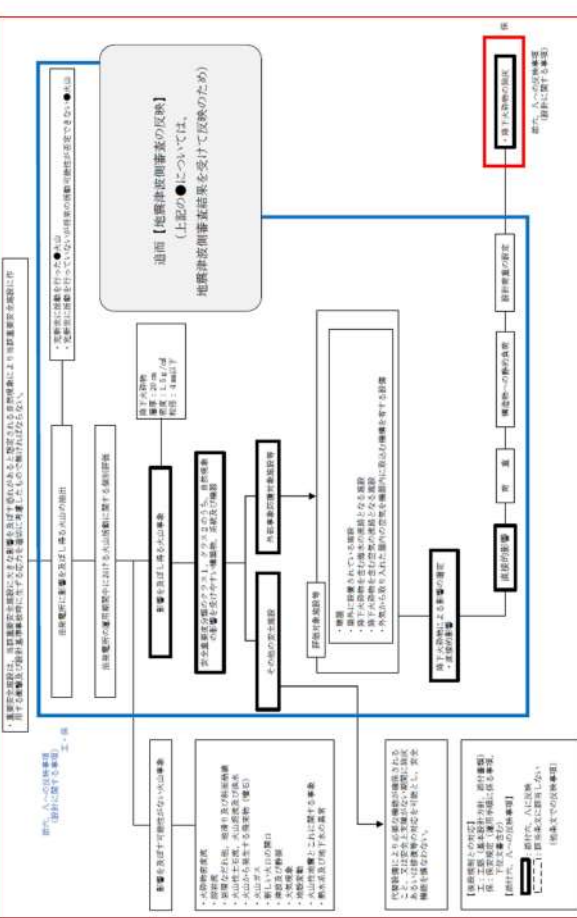
大飯発電所3／4号炉



女川原子力発電所2号炉



泊発電所 3号炉



【大飯、女川】 運用の相違

自發電所 3号炉 技術的能力 比較表

赤字: 設備、運用又は体制の相違（設計方針の相違）
青字: 記載箇所又は記載内容の相違（記載方針の相違）
緑字: 記載表現、設備名称の相違（実質的な相違なし）

第6条 外部からの衝撃による損傷の防止（火山：別添資料2）

赤字：設備、運用又は体制の相違（設計方針の相違）
 青字：記載箇所又は記載内容の相違（記載方針の相違）
 緑字：記載表現、設備名称の相違（実質的な相違なし）

第6条 外部からの衝撃による損傷の防止（火山：別添資料2）

泊発電所3号炉 技術的能力 比較表

設置許可基準規則 対象条文	対象項目	区分	体制	運用対策等	相違理由
磯子先淨			・運転員の当直体制 ・降灰時の災害対応体制		
保守管理			・運用・手順、保守管理に関する教育		
運用・手順	・降灰時には、磯子洗浄を実施する				
体制	・運転員の当直体制 ・降灰時の災害対応体制				
保守管理			・運用・手順、保守管理に関する教育		
教育・訓練	・降灰時の特別点検	運用	・運用・手順、保守管理に関する教育	・防護対象施設に対して火山灰の堆積や侵入等により影響を受ける可能性がある設備について特別点検を実施する	【大飯】運用の相違
運用・手順	・降灰後、火山灰の堆積や侵入等により影響を受ける可能性がある設備に応じて保守管理を行う				
体制	・運転員の当直体制 ・降灰時の災害対応体制				
保守管理			・運用・手順、保守管理に関する教育		
教育・訓練	・降灰後の点検、補修	運用	・運用・手順、保守管理に関する教育	・降灰後、火山灰の堆積や侵入等により影響を受ける可能性がある設備に応じて保守管理を行う	【大飯】運用の相違
運用・手順	・降灰後、火山灰の堆積や侵入等により影響を受ける可能性がある設備に応じて保守管理を行う				
体制	・運転員の当直体制 ・日常点検の体制（保修課・土木建築課による保守管理の体制）				
保守管理	・日常点検、定期点検				
教育・訓練			・運用・手順、保守管理に関する教育		
磯子先淨					
バグフィルタ取替・清掃作業等					
第6条 外部からの衝撃による損傷の防止					
バグフィルタ取替・清掃・作業等					
運用・手順		運用	・降灰が確認された場合には、非常用換気空調系の外気取入口がバグフィルタについて、バグフィルタを確認するとともに、状況に応じて清掃や取替を実施する。	・降灰が確認された場合には、非常用換気空調系の外気取入口がバグフィルタについて、バグフィルタを確認するとともに、状況に応じて清掃や取替を実施する。	【大飯】運用の相違
体制			・ディーゼル発電機運転時は、バグフィルタの巡視点検を行い、必要に応じ取替・清掃を行う。	・ディーゼル発電機運転時は、バグフィルタの巡視点検を行い、必要に応じ取替・清掃を行う。	【大飯】運用の相違
保守・点検			(降灰時の体制)		
教育・訓練			・降灰時の巡回点検		
運用・手順			・運用・手順に関する教育		
泊発電所3号炉					
バグフィルタ取替・清掃作業等					
第6条 外部からの衝撃による損傷の防止					
バグフィルタ取替・清掃作業等					
運用・手順		運用	・降灰が確認された場合には、換気空調設備の外気取入口の平型フィルタにフィルタ圧力を確認するとともに、状況に応じて清掃や取替を実施する。	・降灰が確認された場合には、換気空調設備の外気取入口の平型フィルタにフィルタ圧力を確認するとともに、状況に応じて清掃や取替を実施する。	【大飯】運用の相違
体制			・ディーゼル発電機運転時は、ディーゼル発電機吸気消音器吸気フィルタの巡回点検を行い、必要に応じ取替・清掃を行う。	・ディーゼル発電機運転時は、ディーゼル発電機吸気消音器吸気フィルタの巡回点検を行い、必要に応じ取替・清掃を行う。	【大飯】運用の相違
保守・点検			(降灰時の体制)		
教育・訓練			・降灰時の巡回点検		
運用・手順			・運用・手順に関する教育		
泊発電所3号炉					
原子炉補機冷却海水ポンプ出ロストレーナ清掃					
第6条 外部からの衝撃による損傷の防止					
原子炉補機冷却海水ポンプ出ロストレーナ清掃					
運用・手順		運用	・降灰時に、海水を通水する原子炉補機冷却海水ポンプ出ロストレーナ差圧の巡回点検を行い、状況に応じて洗浄を行う。	・降灰時に、海水を通水する原子炉補機冷却海水ポンプ出ロストレーナ差圧の巡回点検を行い、状況に応じて洗浄を行う。	【大飯】運用の相違
体制			(降灰時の体制)		
保守・点検			・ストレーナの日常点検		
教育・訓練			・降灰時の巡回点検		
運用・手順			・運用・手順、保守・点検に関する教育		

泊発電所 3号炉 技術的能力 比較表

第6条 外部からの衝撃による損傷の防止（火山：別添資料2）

赤字：設備、運用又は体制の相違（設計方針の相違）
青字：記載箇所又は記載内容の相違（記載方針の相違）
緑字：記載表現、設備名称の相違（実質的な相違なし）

大飯発電所3／4号炉	女川原子力発電所2号炉	泊発電所3号炉	相違理由																																		
		<table border="1"> <thead> <tr> <th>設置許可基準規則 対象条文</th><th>対象項目</th><th>区分</th><th>運用対策等</th></tr> </thead> <tbody> <tr> <td rowspan="6">第6条 外部からの衝撃による相傷の防止</td><td rowspan="3">母子格闘</td><td>通用・手順</td><td>母子表面に降下火砕物の付着が見られた場合、母子の清掃を行う。</td></tr> <tr> <td>体制</td><td>(降灰時の体制)</td></tr> <tr> <td>保守・点検</td><td>・日常保守点検 ・定期点検 ・降灰時の巡視点検</td></tr> <tr> <td rowspan="3">教育・訓練</td><td>・通用・手順、保守・点検に関する教育</td></tr> <tr> <td>・降灰が確認された場合には、設計基準対応施設に対して降下火砕物の堆積や侵入等により影響を受けた可能性がある設備について、特別点検を実施する。</td></tr> <tr> <td>・通用・手順 ・侵入等により影響を受けた可能性がある設備について、特別点検を実施する。</td></tr> <tr> <td rowspan="6">降灰時の特別点検</td><td rowspan="3">体制</td><td>(降灰時の体制)</td></tr> <tr> <td>保守・点検</td><td>・降灰時の巡視点検、状況確認</td></tr> <tr> <td>教育・訓練</td><td>・通用・手順、保守・点検に関する教育</td></tr> <tr> <td rowspan="3">通用・手順</td><td>・降灰後、降下火砕物の堆積や侵入等により影響を受けた可能性がある設備について、巡視点検を実施し、降下火砕物による影響を確認した場合は、必要に応じて点検等を行う。</td></tr> <tr> <td>・降灰等の中長期的な影響については、日常点検・定期点検により確認する。</td></tr> <tr> <td>・降灰後の点検</td><td>(降灰後の体制)</td></tr> <tr> <td rowspan="3">教育・訓練</td><td>・巡視点検</td></tr> <tr> <td>・定期点検</td><td>・通用・手順、保守・点検に関する教育</td></tr> <tr> <td></td><td></td></tr> </tbody> </table>	設置許可基準規則 対象条文	対象項目	区分	運用対策等	第6条 外部からの衝撃による相傷の防止	母子格闘	通用・手順	母子表面に降下火砕物の付着が見られた場合、母子の清掃を行う。	体制	(降灰時の体制)	保守・点検	・日常保守点検 ・定期点検 ・降灰時の巡視点検	教育・訓練	・通用・手順、保守・点検に関する教育	・降灰が確認された場合には、設計基準対応施設に対して降下火砕物の堆積や侵入等により影響を受けた可能性がある設備について、特別点検を実施する。	・通用・手順 ・侵入等により影響を受けた可能性がある設備について、特別点検を実施する。	降灰時の特別点検	体制	(降灰時の体制)	保守・点検	・降灰時の巡視点検、状況確認	教育・訓練	・通用・手順、保守・点検に関する教育	通用・手順	・降灰後、降下火砕物の堆積や侵入等により影響を受けた可能性がある設備について、巡視点検を実施し、降下火砕物による影響を確認した場合は、必要に応じて点検等を行う。	・降灰等の中長期的な影響については、日常点検・定期点検により確認する。	・降灰後の点検	(降灰後の体制)	教育・訓練	・巡視点検	・定期点検	・通用・手順、保守・点検に関する教育			<p>【大飯、女川】</p> <p>運用の相違</p> <ul style="list-style-type: none"> ・泊は降下火砕物の除灰（建屋等）、フィルタの清掃・取替及び中央制御室空調設備閉回路循環運転に加え、原子炉補機冷却海水ポンプ出口ストレーナ清掃及び閉閉所碍子清掃等の手順を定めている。
設置許可基準規則 対象条文	対象項目	区分	運用対策等																																		
第6条 外部からの衝撃による相傷の防止	母子格闘	通用・手順	母子表面に降下火砕物の付着が見られた場合、母子の清掃を行う。																																		
		体制	(降灰時の体制)																																		
		保守・点検	・日常保守点検 ・定期点検 ・降灰時の巡視点検																																		
	教育・訓練	・通用・手順、保守・点検に関する教育																																			
		・降灰が確認された場合には、設計基準対応施設に対して降下火砕物の堆積や侵入等により影響を受けた可能性がある設備について、特別点検を実施する。																																			
		・通用・手順 ・侵入等により影響を受けた可能性がある設備について、特別点検を実施する。																																			
降灰時の特別点検	体制	(降灰時の体制)																																			
		保守・点検	・降灰時の巡視点検、状況確認																																		
		教育・訓練	・通用・手順、保守・点検に関する教育																																		
	通用・手順	・降灰後、降下火砕物の堆積や侵入等により影響を受けた可能性がある設備について、巡視点検を実施し、降下火砕物による影響を確認した場合は、必要に応じて点検等を行う。																																			
		・降灰等の中長期的な影響については、日常点検・定期点検により確認する。																																			
		・降灰後の点検	(降灰後の体制)																																		
教育・訓練	・巡視点検																																				
	・定期点検	・通用・手順、保守・点検に関する教育																																			